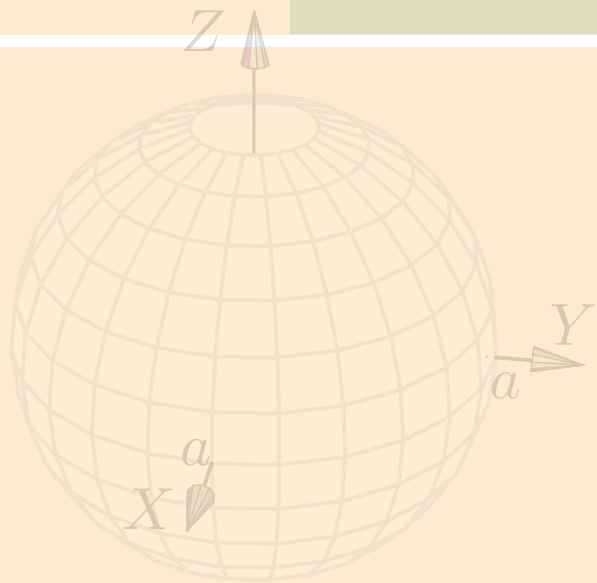


2018



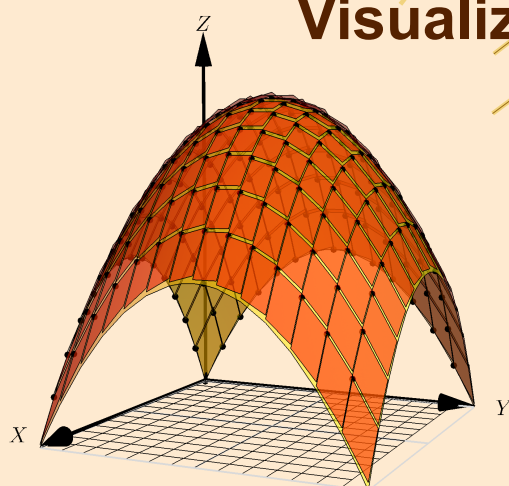
Walter Mora F.

Escuela de Matemática
Instituto Tecnológico de Costa Rica

Cálculo en Varias Variables

Visualización Interactiva

1ra edición



Revista digital

Matemática, Educación e Internet <http://tecdigital.tec.ac.cr/revistamatematica/>

Walter Mora F.

Visualización Interactiva 

Cálculo en Varias Variables

Visualización Interactiva con Wolfram CDFPlayer (libre)

Primeră edición



Revista digital

Matemática, Educación e Internet. (<https://tecdigital.tec.ac.cr/revistamatematica/>).

Copyright© Revista digital Matemática Educación e Internet (<http://tecdigital.tec.ac.cr/revistamatematica/>).
Correo Electrónico: wmora2@itcr.ac.cr
Escuela de Matemática
Instituto Tecnológico de Costa Rica
Apdo. 159-7050, Cartago
Teléfono (506)25502225
Fax (506)25502493

Mora Flores, Walter.
Cálculo en Varias Variables. Visualización interactiva. 1ra ed.
– Escuela de Matemática, Instituto Tecnológico de Costa Rica. 2017.
464 pp.
ISBN Obra Independiente: 978-9930-541-04-3
1. Cálculo. 2. Integral doble y triple 3. Integral de línea y superficie.

Derechos reservados © 2017

Revista digital
Matemática, Educación e Internet.
<http://tecdigital.tec.ac.cr/revistamatematica/>.

Photos by: Viviana Loaiza. Parque Nacional Chirripó, Costa Rica.

Licencia Creative Commons Reconocimiento - No Comercial 3.0 Unported Licence (la “Licencia”). Usted puede utilizar este archivo de conformidad con la Licencia. Usted puede obtener una copia de la Licencia en <http://creativecommons.org/licenses/by-nc/3.0>. A menos que lo requiera la ley aplicable o se acuerde por escrito, el software distribuido bajo la Licencia se distribuye “*tal y como está*”, *sin garantías ni condiciones de ningún tipo*, ya sea expresa o implícita.



Índice general

PRÓLOGO	9
1 Secciones Cónicas	11
1.1 Introducción.	12
1.2 Preliminares	15
1.3 La Parábola	17
1.4 La Elipse	24
1.5 La Hipérbola.	34
1.6 (*) Clasificación de cónicas y la ecuación de segundo grado	42
2 Superficies y Sólidos.	47
2.1 Espacio tridimensional. Coordenadas cartesianas.	47
2.2 Funciones escalares de dos variables	50
2.3 Curvas y Superficies en \mathbb{R}^3	57
2.4 Superficies cuadráticas.	68
2.5 Sólidos simples	80
2.6 Proyección (ortogonal) de un sólido simple	94
2.7 (*) Definición formal de una superficie	100
3 Cálculo diferencial en varias variables	103
3.1 Introducción	103

3.2	Derivadas parciales.	104
3.3	Derivadas parciales de orden superior	107
3.4	Función diferenciable. Diferencial total.	113
3.5	Regla de la cadena.	114
3.6	Derivadas de una función definida de manera implícita.	119
3.7	(*) Derivación implícita: Caso de dos ecuaciones.	124
3.8	Gradiente.	126
3.9	Parametrización de una curva	128
3.10	Gradiente, curvas y superficies de nivel.	130
3.11	Derivada direccional	133
3.12	Plano tangente y el vector normal.	139
4	Máximos y mínimos locales.	147
4.1	Introducción	147
4.2	Máximos y mínimos locales en dos variables.	148
4.3	Extremos con restricciones: Multiplicadores de Lagrange	159
4.4	Cuando las condiciones de primer orden fallan.	165
4.5	Máximos y mínimos locales en varias variables.	169
4.6	Puntos críticos y extremos locales	170
4.7	Clasificación de puntos críticos	170
4.8	Clasificación de puntos críticos en el caso de dos variables.	171
4.9	Criterio de clasificación para $n \geq 3$.	172
4.10	(*) Extremos globales. Condiciones de Kuhn-Tucker.	182
5	Integral doble e integral triple.	189
5.1	Integral doble.	189
5.2	Cálculo de integrales dobles. Integral iterada.	191
5.3	Área y Volumen	197
5.4	Cambio de variable en una integral doble.	207
5.5	Coordinadas Polares.	212
5.5.1	Coordinadas polares y elipses	214
5.6	Integral triple.	226
5.7	Cambio de variables en integral triple.	233

5.8	Coordenadas cilíndricas.	235
5.9	(*) Coordenadas esféricas.	246
5.9.1	Describiendo Superficies en Coordenadas Esféricas.	246
5.9.2	Cambio de variable con coordenadas esféricas.	249
5.10	(*) Singularidades.	256
6	Integral de superficie.	261
6.1	Superficies parametrizadas.	261
6.2	Superficies regulares.	262
6.3	Área de una superficie.	263
6.4	Flujo través de una superficie S	271
6.5	Integral de flujo.	275
6.6	Superficies orientables.	282
6.7	Teorema de la Divergencia.	283
6.8	Integral sobre una superficie.	291
7	Integral de línea.	303
7.1	Curvas y parametrizaciones.	303
7.2	Longitud de una curva.	314
7.3	Integral de línea para campos escalares.	317
7.4	(*) Longitud de arco en coordenadas polares.	320
7.5	Integral de línea de campos vectoriales. Trabajo.	321
7.6	Campos conservativos. Independencia de la trayectoria.	332
7.7	Teorema de Green (en el plano).	339
7.8	Área como una integral de línea.	343
7.9	Teorema de Stokes (Teorema de Green en el espacio).	345
8	Apéndices	357
8.1	Apéndice A: Más sobre cónicas	357
8.2	Apéndice B: Coordinadas Polares	379
8.3	Apéndice C: Representación gráfica de regiones definidas por desigualdades	395
	Bibliografía	400
9	Soluciones de los ejercicios	403



Prólogo

El objetivo de este libro es la visualización interactiva en 2D y en 3D. La mayoría de los gráficos (con el logo ) vienen con una liga a una aplicación, llamada usualmente “demostración” (aplicación interactiva), que se corre con Wolfram CDFPlayer (libre). Las “aplicaciones interactivas” son un archivo .cdf que se ejecuta con WOLFRAM CDFPLAYER y requieren haber instalado en la computadora esta aplicación WOLFRAM CDFPLAYER. La aplicación es gratuita.

En la “versión 1” el libro viene con un folder con las aplicaciones interactivas .cdf. En la “versión 2” el libro solo es un pdf con ligas a Internet (la liga descarga la aplicación interactiva desde Internet, y el CDFPlayer la ejecuta).

El lector puede visualizar la teoría y muchos de los ejemplos, e interactuar con las figuras en la aplicación interactiva, usando el ratón. La idea es visualizar no solo el espacio tridimensional, también poder entrenar en visualizar cortes de superficies, intersecciones y proyecciones de una superficie o un sólido, en algunos de los planos XY , XZ o YZ . Este conocimiento se aplica después en el cálculo de integrales dobles, triples, de línea y de superficie. Varias aplicaciones interactivas se usan para visualizar la dinámica de una definición o un teorema y su alcance y significado.

Como es conocido, la visualización interactiva funciona bien como complemento y requiere “narrativa” por parte del profesor, para obtener buenos resultados en la enseñanza. También es deseable ejercicios de verbalización, en algunas actividades, por parte del estudiante

Este es un libro para el profesor y el estudiante. Se trata de refrescar con una introducción con la teoría que sustenta los cálculos. Luego se presentan una ejemplos para aprender destrezas de cálculo. Muchos de estos ejemplos han aparecido en exámenes, en el curso de Cálculo Superior del Instituto Tecnológico de Costa Rica. Esta es una nueva edición con ajuste al formato “Wolfram CDF”, del libro “Cálculo en varias variables” del mismo autor. Se cambiaron y/o se mejoraron algunos gráficos, se mejoró la exposición teórica y se redistribuyó parte del material y,

en general, se corrigieron errores en algunos enunciados y en los ejemplos.

Se está desarrollando una versión del libro totalmente en formato CDF. El material en su estado actual, disponible lo puede encontrar en <https://tecdigital.tec.ac.cr/revistamatematica/Libros/CDFindex.htm>

La plantilla L^AT_EX de este libro se puede solicitar al autor (wmora2@gmail.com)

Cartago, Agosto 2017.

W. MORA F.

Introducción.

Preliminares

La Parábola

La Elipse

La Hipérbola.

(*) Clasificación de cónicas y la ecuación de segundo grado

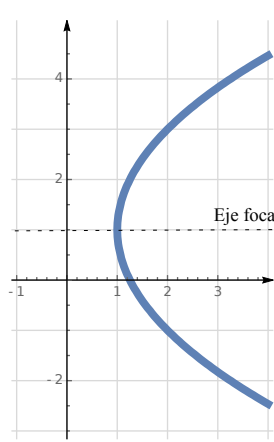


1 — Secciones Cónicas

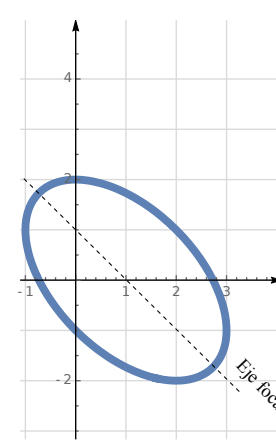
La parábola, la elipse y la hipérbola son llamadas “secciones cónicas”. La circunferencia es un caso especial de elipse. Todas estas curvas se pueden obtener como curvas de intersección entre un plano y un cono. Se atribuye a Menecmo (320 a. C.) su descubrimiento inicial. En el siglo III a.C., Apolonio de Perga estudia las cónicas como una sección de un cono circular y caracteriza los puntos de la cónica según sus distancias a dos líneas y deduce una gran cantidad de propiedades geométricas a partir de su caracterización, todo en términos geométricos, sin notación algebraica (la manipulación de las cónicas es esencialmente algebraica, disfrazada en forma geométrica). Sus tratados sobre cónicas fueron una joya de las matemática antigua.

En coordenadas rectangulares, una cónica tiene “ecuación general”

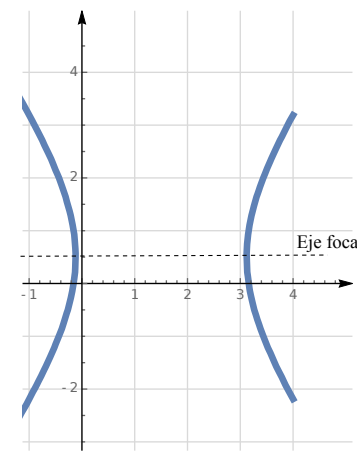
$$Ax^2 + Bxy + Cy^2 + Dx + Ey + F = 0.$$



Parábola $y^2 - 4x - 2y + 5 = 0$



Elipse $2x^2 + 2xy + 2y^2 - 4x - 2y - 4 = 0$



Hipérbola $2x^2 - y^2 - 6x + y - 1 = 0$

Sin embargo, hay casos en los que esta ecuación no tiene solución (no hay lugar geométrico) o el conjunto solución es una “cónica degenerada”: Un punto o una o dos rectas.

Usando la teoría de formas cuadráticas podemos obtener un criterio para clasificar las cónicas a partir de su ecuación general.

Si $\Delta = 4ACF - AE^2 - B^2F + BDE - CD^2$, tenemos el siguiente resultado.

Teorema 1.1

Consideremos la cónica de ecuación $Ax^2 + Bxy + Cy^2 + Dx + Ey + F = 0$, entonces:

- a.) Si $B^2 - 4AC = 0$ y $\Delta \neq 0$, tenemos una parábola.
- b.) Si $B^2 - 4AC < 0$ y $\Delta \neq 0$, tenemos una elipse.
- c.) Si $B^2 - 4AC > 0$ y $\Delta \neq 0$, tenemos una hipérbola.

En coordenadas rectangulares, una hipérbola tiene ecuación

$$Ax^2 + Bxy + Cy^2 + Dx + Ey + F = 0.$$

con $B^2 - 4AC > 0$ y $\Delta \neq 0$.

Si $B \neq 0$, el “eje focal” no es paralelo a los ejes X ni Y y la cónica presenta una rotación respecto a estos ejes. Esta rotación se puede “eliminar” haciendo un cambio de variable.

Por ejemplo, si la cónica presenta una rotación de ángulo θ respecto al eje X , entonces el cambio de variable puede ser $x = x' \cos \theta - y' \sen \theta$ y $y = x' \sen \theta + y' \cos \theta$. De esta manera la cónica aparecerá sin rotación en el sistema $X'Y'$.

Si $B = 0$, el “eje focal” es paralelo al eje X o es paralelo al eje Y . En este caso decimos que la cónica está en “posición estándar” y podemos simplificar la ecuación de la hipérbola de tal manera que podamos ver mucha información con solo inspeccionar la ecuación.

1.1 Introducción.

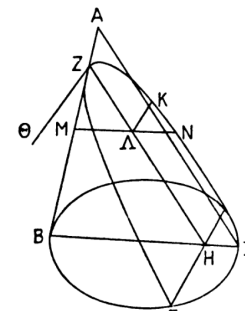
Además de la rectas, los círculos, los planos y las esferas; los griegos se interesaron por las curvas obtenidas como secciones de un cono (paráolas, elipses e hipérbolas). No es totalmente claro el por qué del interés en estas curvas ([17], [14]).

Las referencias que están disponibles parecen relacionar las cónicas con el problema de duplicación del cubo (problema de Delos):

Dado un cubo de lados de medida s y por tanto de volumen s^3 , encontrar un cubo de lados de medida x y volumen $2s^3$. Hay que entender que solo se podía usar las condiciones auto-impuestas en la época: Las construcciones debían hacerse solo con regla (sin marcas) y compás. Hipócrates redujo el problema a un problema de proporciones,

$$s : x = x : y = y : 2s \quad (1.1)$$

De aquí se deduce que los valores x, y deben estar en la parábola $x^2 = sy$ y en la hipérbola $xy = 2s^2$. La solución se obtiene como la intersección de estas curvas, $x = \sqrt[3]{2}s$ que es un número que no se puede construir con regla y compás (como se demostró un 2000 años después). En la época griega, estas curvas aparecen como relaciones geométricas.



$$KL^2 = M\Lambda \cdot \Lambda N = Z\Lambda \cdot \frac{BH}{ZH} \cdot H\Gamma = \frac{HE^2}{ZH} \cdot Z\Lambda.$$

Figura 1.1: Derivación de la ecuación de la parábola según Apolonio de Perga ([14]).

Menecmo (320 a. C.) parece ser el primero en encontrar estas curvas, en sus esfuerzos por resolver el problema de Delos de manera geométrica. No es claro como pudo llegar a estas curvas (aunque hay varias conjeturas). Es probable que fuera de una manera similar a la manera en la que Apolonio de Perga (262 a.C.) las deduce en sus libros.

En el siglo III a.C., Apolonio estudia las cónicas como una sección de un cono circular y caracteriza los puntos de la cónica según sus distancias a dos líneas y deduce una gran cantidad de propiedades geométricas a partir de su caracterización, todo en términos geométricos, sin notación algebraica (la manipulación de las cónicas es esencialmente algebraica, disfrazada en forma geométrica). Sus tratados sobre cónicas fueron una joya de las matemática antigua.

Pappus de Alejandría (a.C.290 - a. C.350) publicó una obra en la que se resume los conocimientos matemáticos de su época, recogiendo fragmentos, a veces íntegros, de las obras que constituyan los fundamentos de la enseñanza de las matemáticas en la ciudad de Alejandría, hoy en gran parte perdidas. En lo que respecta a cónicas, su contribución más importante fue la introducción de los conceptos de foco, directriz y excentricidad de una cónica con lo que se puede dar una definición equivalente en términos de la proporción entre la distancia de los puntos de la cónica a un foco y la distancia a una directriz; esta proporción es constante y se denota con e y se le llama *excentricidad* de la cónica.

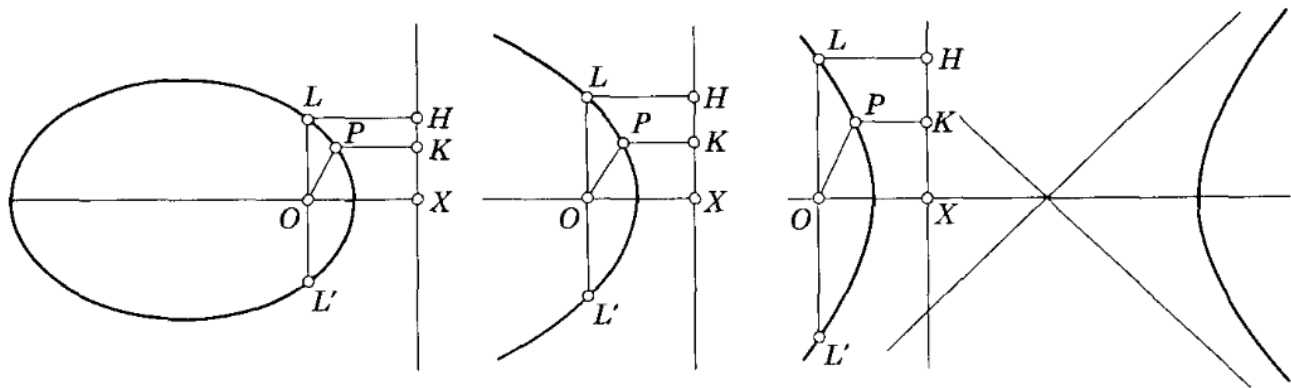


Figura 1.2: Definición de una cónica usando foco, directriz y excentricidad.

Después de Pappus pasaron doce siglos en el que hubo una total pérdida de interés por las cónicas (desde los tiempos de Pappus hasta el siglo XVII). Luego vino un renovado interés en una época en que se tenían nuevos métodos (los de Desargues y los de la geometría analítica) y las necesidades de la nueva astronomía, por ejemplo.

Para los pioneros de la ciencia moderna (Galileo, Kepler, Huygens y Newton), los estudios de Apolonio sobre la parábola, hipérbola y la elipse fueron el punto de partida para su exploración de las leyes de la naturaleza.

Con la introducción de la geometría analítica (geometría con coordenadas más la posibilidad de manipular y resolver ecuaciones algebraicas), las curvas planas se podían definir por una ecuación de dos variables. J. Wallis fue el primero en probar de manera clara, en 1655, que la ecuación

$$Ax^2 + Bxy + Cy^2 + Dx + Ey + F = 0$$

es la representación algebraica de las cónicas. Según los coeficientes A, B, C, D, E y F , hay curvas de diversa naturaleza. Por ejemplo, $x^2 + y^2 = 0$ la satisface solo el punto $(x, y) = (0, 0)$ mientras que $x^2 + y^2 + 1 = 0$ no tiene solución. Si la ecuación factoriza como $(A_1x + B_1y + C_1)(A_2x + B_2y + C_2) = 0$ tendríamos un par de rectas, es decir, los puntos que están sobre las rectas de ecuación $A_1x + B_1y + C_1 = 0$ o $A_2x + B_2y + C_2 = 0$ satisfacen el caso reducible. Fuera de estos ‘casos degenerados’ y del caso reducible, queda el caso irreducible que corresponde a las paráolas, elipses e hipérbolas.

En este capítulo se introducen las cónicas como lugares geométricos¹ y luego se pasa a la versión analítica. En la primera parte solo consideraremos cónicas con eje focal paralelo a los ejes coordinados, es decir, cónicas de ecuación $Ax^2 + Cy^2 + Dx + Ey + F = 0$. En la segunda parte se considera la ecuación general $Ax^2 + Bxy + Cy^2 + Dx + Ey + F = 0$ que, en el caso no degenerado, corresponde a cónicas con rotación. Haciendo un cambio de variable, se “elimina la rotación” y volvemos al caso estándar en un nuevo sistema de ejes.

Graficador de cónicas. Una manera fácil de obtener la representación gráfica de una cónica es introducir su ecuación (o sus propiedades) en WOLFRAM ALPHA, en <http://www.wolframalpha.com/input/?i=conics>

¹Las definiciones que se presentan son equivalentes a la definición original de las “cónicas” como una sección de un cono. Una demostración elegante de esta equivalencia fue presentada en 1822 por el matemático belga G.P. Dandelin. Aunque es sencilla, en este texto no se incluye la demostración. Se puede consultar [11].

1.2 Preliminares

Distancia entre dos puntos. La distancia euclídea de un punto $A = (a_1, a_2)$ a otro punto $B = (b_1, b_2)$ se puede obtener usando el teorema de Pitágoras: $d(A, B) = \|A - B\| = \sqrt{(a_1 - b_1)^2 + (a_2 - b_2)^2}$

Ejemplo 1.1

Sean $A = (1, 1)$ y $B = (5, 3)$. Entonces,

$$d(A, B) = \|A - B\| = \sqrt{(1 - 5)^2 + (1 - 3)^2} = \sqrt{20}$$

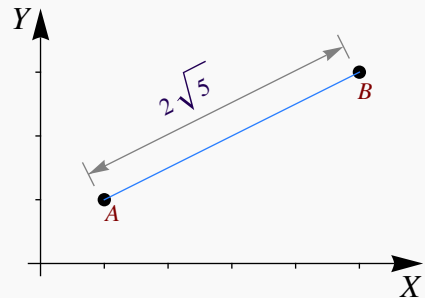


Figura 1.3: $\|B - A\| = \sqrt{20}$

Punto Medio. El punto medio entre A y B es $M = \frac{A+B}{2}$. La distancia de A a M es $d(A, M) = \frac{\|A - B\|}{2}$.

Ejemplo 1.2

Sean $A = (1, 1)$ y $B = (5, 3)$. El punto medio es $M = \frac{(1+5, 3+1)}{2} = (3, 2)$.

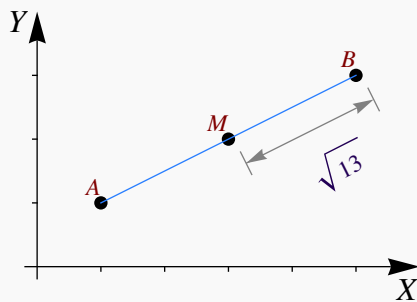


Figura 1.4: $d(M, B) = \sqrt{13}$

Completar el cuadrado. En el tema de cónicas es muy útil la “completación de cuadrados” pues nos permite reducir ecuaciones del tipo $Ax^2 + Cy^2 + Dx + Ey + F = 0$ a una ecuación más natural y con más información. Una manera de completar cuadrados es

$$ax^2 + bx + c = a \left(x + \frac{b}{2a} \right)^2 - \frac{b^2}{4a} + c$$

Ejemplo 1.3

a.) Completar el cuadrado en $4x^2 - 8x$

$$\begin{aligned}\text{Solución: } 4x^2 - 8x &= 4 \left(x + \frac{-8}{2 \cdot 4} \right)^2 - \frac{(-8)^2}{4 \cdot 4} \\ &= 4(x-1)^2 - 4\end{aligned}$$

b.) Completar el cuadrado en $y^2 + 4y - 8$

$$\text{Solución: } y^2 + 4y - 8 = \left(y + \frac{4}{2} \right)^2 - \frac{(4)^2}{4 \cdot 1} - 8 = (y+2)^2 - 12$$

Lugares geométricos. Informalmente, un “lugar geométrico” es el “rastro” o la “huella” que deja un punto que se mueve de acuerdo a una ley especificada. En lo que a nosotros concierne, usaremos esta definición: Un “lugar geométrico” es el conjunto de todos los puntos (usualmente los puntos de una curva o una superficie) que satisfacen algún criterio o propiedad.

Ejemplo 1.4 (Lugar geométrico).

Una circunferencia en el plano es el lugar geométrico de los puntos que equidistan de un punto O llamado “centro”.

Nos interesa la *ecuación cartesiana* de la curva que se forma: Una circunferencia de radio a está formada por todos los puntos (x, y) que están a una distancia “ a ” del centro $O = (h, k)$. Entonces

$$\begin{aligned}||(x, y) - (h, k)|| = a &\implies \sqrt{(x-h)^2 + (y-k)^2} = a \\ &\implies (x-h)^2 + (y-k)^2 = a^2\end{aligned}$$

La ecuación $(x-h)^2 + (y-k)^2 = a^2$ es la versión “analítica” para una circunferencia de centro (h, k) y radio a .

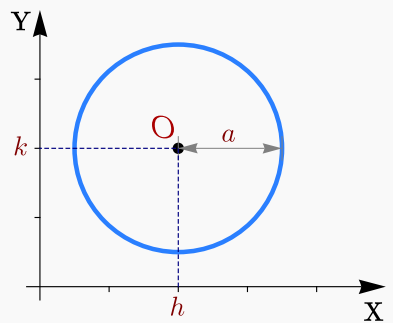


Figura 1.5: Lugar geométrico

1.3 La Parábola

 Ver con CDFPlayer

Requiere FreeCDF Player

Definición 1.1 (La parábola como lugar geométrico).

En un plano, una parábola es el lugar geométrico de todos los puntos Q equidistantes de un punto fijo F (llamado *foco*) y de una recta fija ℓ (llamada *directriz*) que no contiene a F , es decir, $d(Q, F) = d(Q, \ell)$.

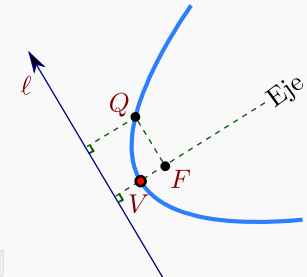
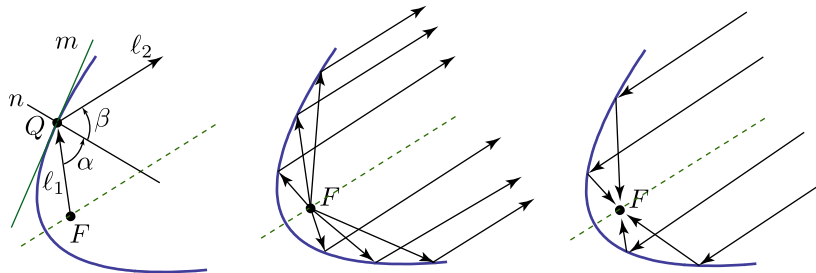


Figura 1.6: Parábola

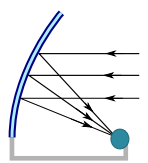
Propiedad focal de la parábola: En Física, la ley de reflexión establece que si un rayo de luz ℓ_1 toca una superficie pulida m en un punto Q , este rayo es reflejado a lo largo de otra recta ℓ_2 de tal manera que si n es la recta normal a m en Q , el ángulo de incidencia α es igual al ángulo de reflexión β . Esta ley combina muy bien con la llamada “propiedad focal” de la parábola: *La normal a la parábola en cualquier punto Q de la parábola forma ángulos iguales con el segmento FQ (que corresponde a ℓ_1) y la recta que pasa por Q y es paralela al eje de simetría de la parábola (que corresponde a ℓ_2).*



Aplicaciones. Las antenas utilizadas preferentemente en las comunicaciones vía satélite son las antenas parabólicas. Las señales que inciden sobre su superficie se reflejan y alimentan el foco de la parábola, donde se encuentra el elemento receptor (también podría ser un elemento emisor). Son antenas parabólicas de foco primario.



Se usa también otro tipo de antena que no es redonda, sino oval y simétrica y se obtiene como un corte de la antena parabólica; el receptor queda en el punto focal, pero recibe alimentación a un lado (antena offset) del plato resultante del corte, esto se hace así para evitar eliminar la ‘sombra’ del receptor (con lo que el rendimiento es algo mayor que en la de foco primario).



La propiedad focal de la parábola también se usa para el diseño de los focos de los automóviles, en este caso se debe usar un lente para desviar la luz de tal manera que no afecte a los conductores que vienen de frente,

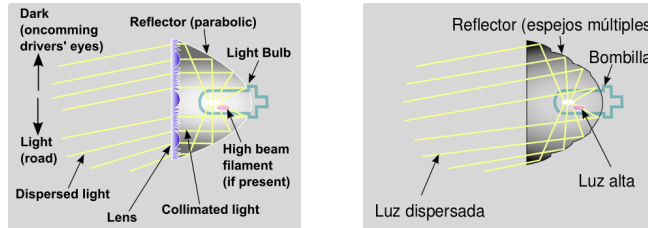
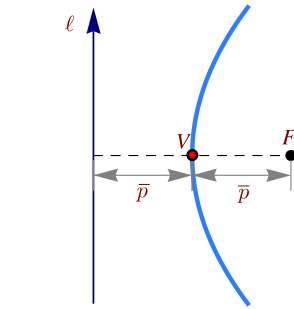
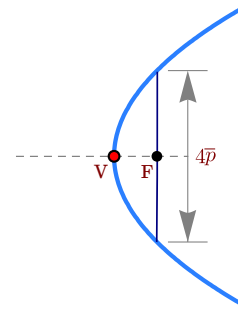


Figura 1.7: Reflectores parabólicos (Wikipedia Commons)

Directriz, eje, vértice y foco. La recta que pasa por F y es perpendicular a ℓ se llama “eje” o “eje de simetría”. El punto de la parábola que está sobre este eje transversal se llama *vértice* y lo denotamos con V . Por la definición de la parábola, el vértice está a la misma distancia de la recta ℓ y del Foco. Esta distancia la denotamos con \bar{p}



Latus Rectum: El *latus rectum* de la parábola es la cuerda que pasa por el foco y es perpendicular al eje. La longitud del *latus rectum* es $4\bar{p}$.



Tratamiento analítico.

En coordenadas rectangulares, una parábola tiene ecuación general (1.1)

$$Ax^2 + Bxy + Cy^2 + Dx + Ey + F = 0 \quad \text{con} \quad B^2 - 4AC = 0 \quad \text{y} \quad \Delta \neq 0$$

Si $B \neq 0$, el “eje focal” no es paralelo al eje X ni al eje Y . En este caso, la parábola presenta una rotación respecto a estos ejes. La rotación se puede eliminar (respecto a los nuevos ejes X' , Y') haciendo el cambio de variable $x = x' \cos \theta - y' \sin \theta$ y $y = x' \sin \theta + y' \cos \theta$.

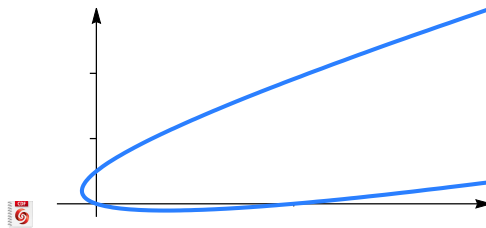


Figura 1.8: Parábola con rotación

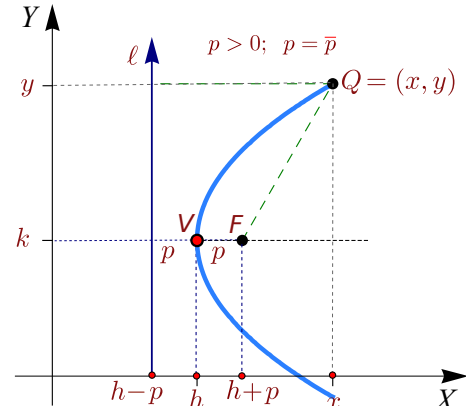
La versión analítica, en posición estándar, requiere colocar la directriz paralela al eje X o paralela al eje Y .

Directriz paralela al eje Y . Si la directriz es paralela al eje Y y si $V = (h, k)$, entonces hay dos posibilidades: la parábola abre a la izquierda o abre a la derecha.

En el caso de que la parábola abre a la derecha, el foco es

$$F = (h + \bar{p}, k)$$

Los puntos $Q = (x, y)$ de la parábola satisfacen $d(Q, F) = d(Q, \ell)$, es decir,



$$\sqrt{(x - h - \bar{p})^2 + (y - k)^2} = x - h + \bar{p}$$

$$(x - h - \bar{p})^2 + (y - k)^2 = (x - h + \bar{p})^2$$

$$(y - k)^2 = 4\bar{p}(x - h)^2$$

Como $\bar{p} > 0$, entonces $x \geq h$ como se espera. Así, si la parábola abre hacia la derecha, su *ecuación canónica* es

$$(y - k)^2 = 4p(x - h) \text{ con } p > 0.$$

En el caso de que la parábola abra a la izquierda, el foco es $F = (h - \bar{p}, k)$. Los puntos $Q = (x, y)$ de la parábola satisfacen $d(Q, F) = d(Q, L)$. Procediendo como antes,

$$\sqrt{(x - h + \bar{p})^2 + (y - k)^2} = x - h - \bar{p} \implies (y - k)^2 = 4p(x - h) \text{ con } p = -\bar{p}.$$

Como $p = -\bar{p}$, el foco es $F = (h + p, k)$ nuevamente.

En ambos casos, la ecuación simplificada es $(y - k)^2 = 4p(x - h)$ donde $\bar{p} = |p|$. Con esta notación, si $p > 0$, la parábola abre a la derecha y si $p < 0$, la parábola abre a la izquierda. Esta ecuación es llamada *ecuación canónica o natural*. Esta ecuación es especial pues contiene la información del vértice, el foco y la directriz.

 Ver con CDFPlayer

Requiere FreeCDF Player

Parábola $(y - k)^2 = 4p(x - h)$

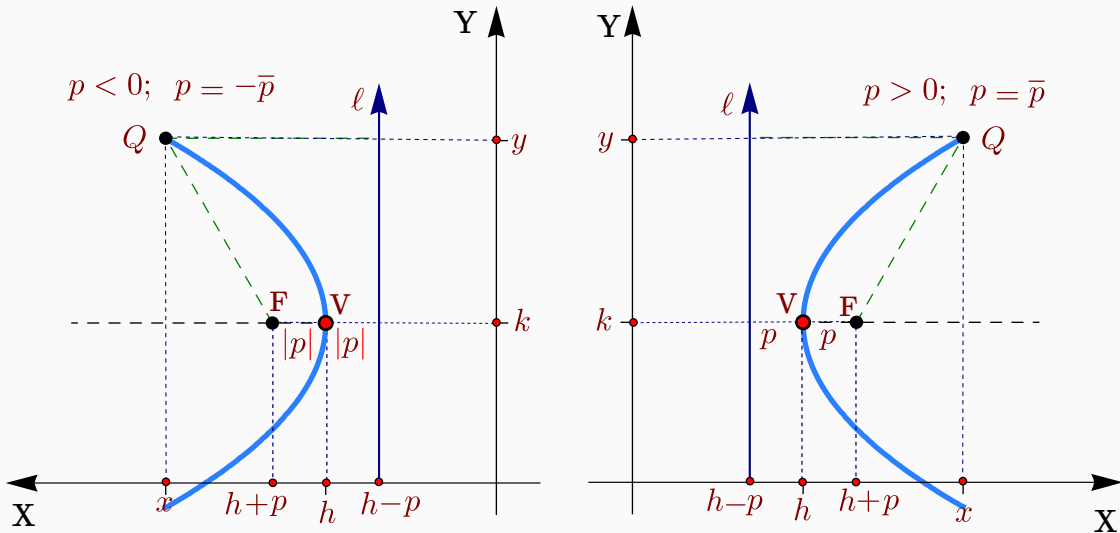


Figura 1.9:  Parábola con directriz ℓ paralela al eje Y .

Directriz paralela al eje X . De manera análoga al caso anterior, si la directriz es paralela al eje X , entonces la *ecuación canónica* de la parábola es

$$(x - h)^2 = 4p(y - k)$$

de tal manera que si $p > 0$, la parábola abre hacia arriba y si $p < 0$, la parábola abre hacia abajo. En resumen, si la directriz es paralela al eje X o paralela al eje Y , y si el vértice es $V = (h, k)$, la ecuación canónica es

Parábola $(x - h)^2 = 4p(y - k)$

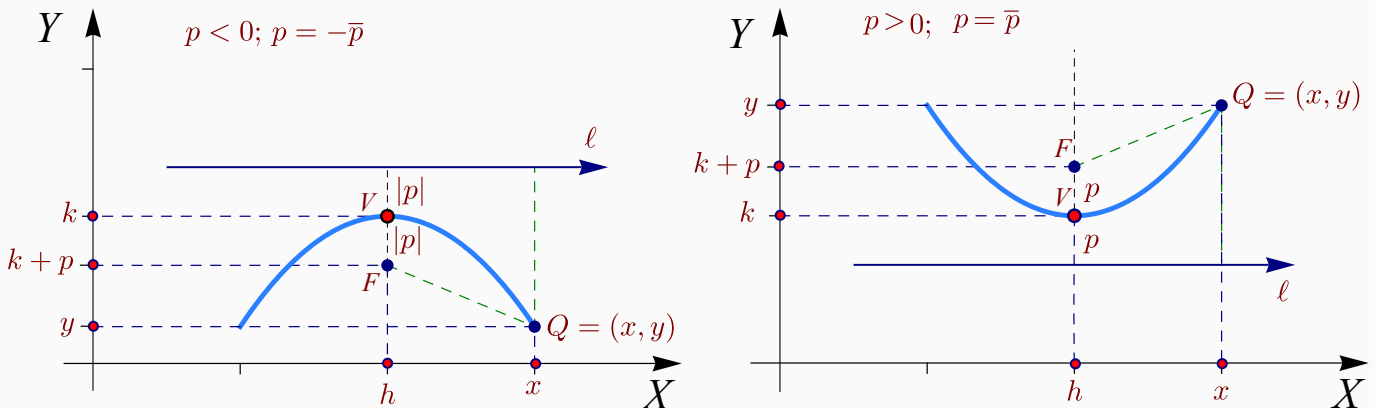


Figura 1.10:  Parábola con directriz ℓ paralela al eje X .

Ecuación general de la parábola en posición estándar. La ecuación general de la parábola es de la forma $Cy^2 + Dx + Ey + F = 0$ con $C \neq 0$ y $D \neq 0$ o de la forma $Ax^2 + Dx + Ey + F = 0$ con $A \neq 0$ y $E \neq 0$. Completando el cuadrado obtenemos la ecuación canónica. También podríamos obtener el vértice, el foco y la ecuación de la directriz en términos de C, D, E y F .

Ejemplo 1.5

Verificar que el vértice de la parábola $y = ax^2 + bx + c$ es el punto $\left(-\frac{b}{2a}, -\frac{\Delta}{4a}\right)$.

Solución: Completando cuadrados obtenemos

$$\begin{aligned} ax^2 + bx + c - y &= a\left(x + \frac{b}{2a}\right)^2 - \frac{b^2}{4a} + c - y \\ &= a\left(x + \frac{b}{2a}\right)^2 + \frac{-b^2 + 4ac}{4a} - y = a\left(x + \frac{b}{2a}\right)^2 - \frac{\Delta}{4a} - y \quad \text{si } \Delta = b^2 - 4ac. \end{aligned}$$

Entonces, $ax^2 + bx + c - y = 0 \implies \left(x + \frac{b}{2a}\right)^2 = \frac{1}{a}\left(y + \frac{\Delta}{4a}\right)$ y el vértice es $\left(-\frac{b}{2a}, -\frac{\Delta}{4a}\right)$.

Ejemplo 1.6

Hallar la ecuación canónica, el vértice, el foco y la directriz de la parábola cuya ecuación es $y^2 - 6y - 2x + 17 = 0$. Además realice la gráfica.

Solución: Para hallar la ecuación canónica debemos completar cuadrados.

$$y^2 - 6y - 2x + 17 = 0$$

$$(y - 3)^2 - 9 - 2x + 17 = 0$$

$$(y - 3)^2 = 2(x - 4)$$

El vértice es $V = (4, 3)$ y como $4p = 2 \Rightarrow p = 1/2 > 0$.

La parábola abre hacia la derecha y tiene el foco en $F = (4.5, 3)$.

La directriz es la recta de ecuación $x = 3.5$. La gráfica se muestra en la figura.

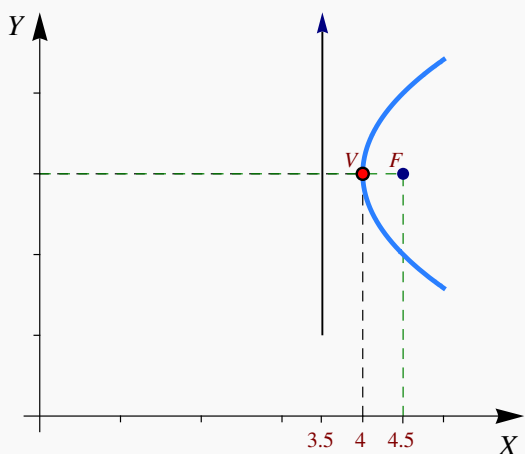


Figura 1.11: Parábola $(y - 3)^2 = 2(x - 4)$

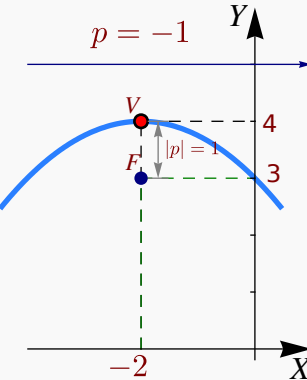
Ejemplo 1.7

Hallar la ecuación canónica de la parábola con vértice en $(-2, 4)$ y foco en $(-2, 3)$. Realizar la gráfica.

Solución: Dado que el vértice y el foco tienen igual abscisa, el eje de la parábola es vertical, además las distancia entre el foco y el vértice es $|p| = 1$ y como abre hacia abajo, $p = -1$. Entonces la ecuación canónica es,

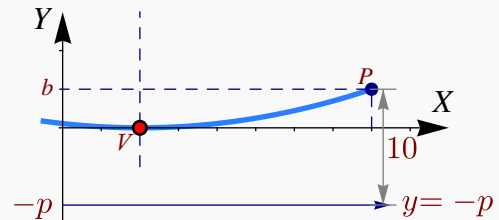
$$(x + 2)^2 = -4(y - 4)$$

La directriz es la recta $y = 5$. La gráfica se muestra en la figura.

**Ejemplo 1.8**

Determine la ecuación canónica y el foco de la parábola (o las parábolas) que satisfacen simultáneamente las siguientes condiciones:

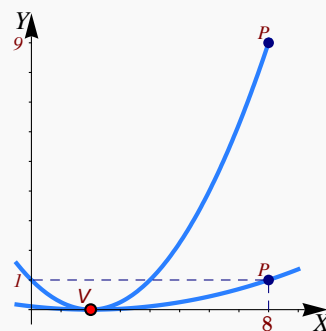
- a.) vértice en $(2, 0)$,
- b.) contiene al punto $P = (8, b)$ con $b > 0$,
- c.) la distancia de P a la directriz es 10,
- d.) eje de simetría paralelo al eje Y .



Solución: De acuerdo a d.) la parábola abre hacia arriba o hacia abajo. Por la posición del vértice y el punto $(8, b)$, solo podría abrir hacia arriba. El vértice es $(h, k) = (2, 0)$ por lo que la ecuación de la parábola es $(x - 2)^2 = 4p(y - 0)$; $p > 0$.

La directriz es $y = k - p = -p$. Para determinar p y b tenemos dos datos

- La distancia de $(8, b)$ a la directriz es 10, es decir $b + p = 10$
- El punto $(8, b)$ está en la parábola, es decir, $(8 - 2)^2 = 4p(b)$



$$\begin{aligned} b &= 10 - p \\ 36 &= 4pb \implies 36 = 4p(10 - p) \implies 36 - 40p + 4p^2 = 0 \end{aligned}$$

Con lo que $p = 1$ o $p = 9$. Por lo tanto, las paráolas que cumplen estas condiciones son $(x - 2)^2 = 4y$ (cuando $b = 1$) o $(x - 2)^2 = 36y$ (cuando $b = 9$). Ambas paráolas se muestran en la figura de la derecha.

Ejemplo 1.9

Hallar las paráolas que contienen los puntos $(4, 4), (4, -4)$ de la circunferencia $(x - 6)^2 + y^2 = 20$ y la distancia de su vértice al centro de esta circunferencia es 6 unidades.

Solución: La situación, según los datos, es la que se presenta en la figura de la derecha. La ecuación es, en ambos casos, $(y - k)^2 = 4p(x - h)$.

- Si el vértice es $(h, k) = (0, 0)$: Como $(4, 4)$ está en la paráola, entonces

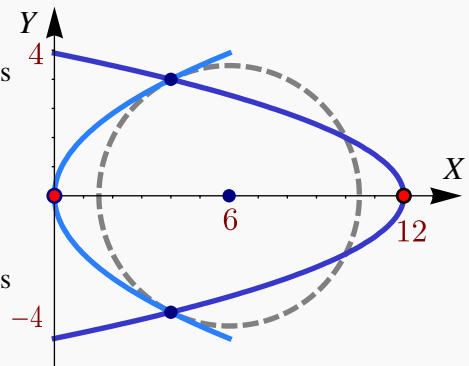
$$(y - k)^2 = 4p(x - h) \implies 4^2 = 16p \implies p = 1.$$

La ecuación de la paráola es $y^2 = 4x$.

- Si el vértice es $(h, k) = (12, 0)$: Como $(4, 4)$ está en la paráola, entonces

$$y^2 = 4p(x - 12) \implies 4^2 = 4p(-8) \implies p = -1/2$$

La ecuación de la paráola es $y^2 = -2(x - 12)$



1

Ejercicios

1.3.1 Determine la ecuación del lugar geométrico de los puntos Q del plano XY tales que equidistan del punto $(2, 3)$ y de la recta de ecuación $x = 4$.

1.3.2 Determine la ecuación canónica de las siguientes paráolas,

a.) $y = 2x^2 - 4x + 1$.

b.) $-9y^2 - 8x - 3 = 0$

c.) $y^2 + 2y - 4x = 7$

d.) $x^2 + 2x - 2y + 5 = 0$

e.) $x^2 - y + 2 = 0$

🕒 1.3.3 Determine la ecuación canónica de la parábola con vértice en $(1, 3)$ y foco en $(2, 3)$.

🕒 1.3.4 Determine la ecuación canónica de la parábola con eje focal paralelo al eje X y que pasa por los puntos $(0, 0)$, $(-1, 2)$ y $(-2, -2)$

🕒 1.3.5 Determine la ecuación canónica de la parábola con vértice en $(-1, 1)$ y directriz $y = 0$.

🕒 1.3.6 Determine la ecuación canónica de la parábola con foco en $(3, 4)$ y directriz $x = 7$.

🕒 1.3.7 Determine la ecuación canónica de la parábola con vértice en $(2, 3)$, eje focal paralelo al eje Y y que pasa por el punto $(4, 5)$.

🕒 1.3.8 Hay **tres** paráboles que satisfacen simultáneamente las siguientes condiciones:

- Vértice en $(2, 0)$,
- contiene al punto $P = (b, 8)$ con $b > 2$,
- la distancia de P a la directriz es 10.

Determine la ecuación canónica de cada una de estas paráboles y el valor de b en cada caso.

🕒 1.3.9 En la definición de la parábola como un lugar geométrico se indica que el foco no está en la directriz. ¿Qué pasa si el foco está en la directriz?

1.4 La Elipse

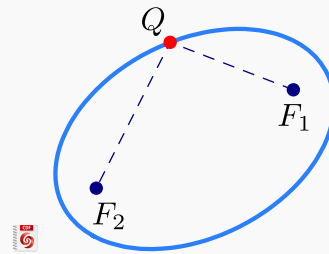
 Ver con CFDPlayer

Requiere FreeCDF Player

Definición 1.2 (La elipse como lugar geométrico).

En un plano, una elipse es el lugar geométrico de todos los puntos Q cuya suma de distancias a dos puntos fijos, F_1 y F_2 , (llamados *focos*), es constante (una constante mayor que $d(F_1, F_2)$). Si la suma es la constante $2a$, con $2a > d(F_1, F_2)$, entonces

$$d(Q, F_1) + d(Q, F_2) = 2a$$



Propiedad focal de la elipse. La elipse también tiene una “propiedad focal” análoga a la de la parábola: *La normal a la elipse en cualquier punto Q de la elipse forma ángulos iguales con el segmento F_1Q y el segmento F_2Q*

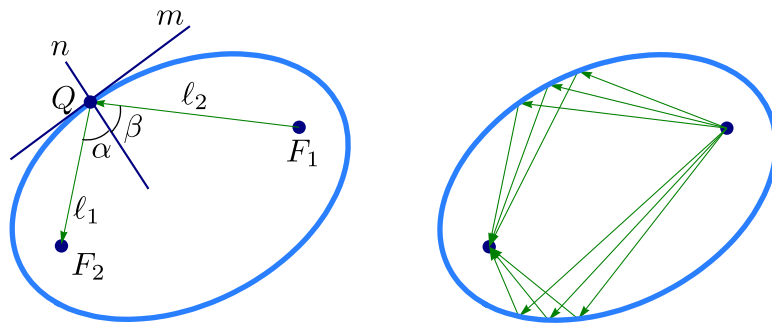
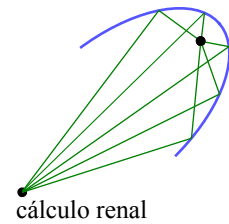
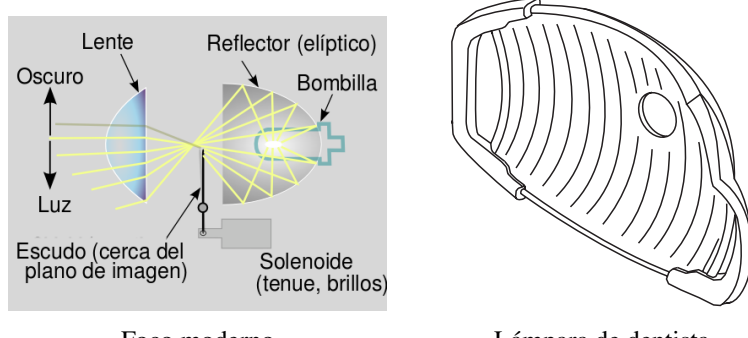


Figura 1.12

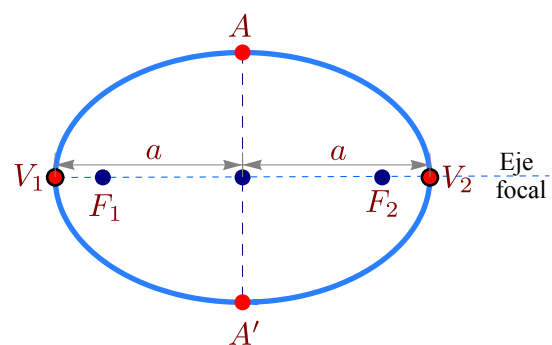
Esta propiedad se usa por ejemplo en medicina para tratar cálculos (“piedras”) que se forman en el riñón, vejiga y uréteres; con ondas de choque. La “litotricia extracorpórea” por ondas de choque consiste en la emisión de ondas desde un aparato emisor de ondas. El paciente se acuesta sobre una mesa y el emisor de ondas se acopla en un sistema reflector apropiado con forma elíptica, de tal manera que el emisor esté en un foco y el cálculo renal en el otro. De esta forma las ondas de choque (que casi no sufren pérdidas en agua y tejidos corporales) al reflejarse en la pared elíptica, inciden directamente en el cálculo.



Como en el caso de la parábola, también la propiedad focal de la elipse se usa para el diseño de focos para automóvil y de reflectores para las lámparas que vemos en el consultorio del dentista,

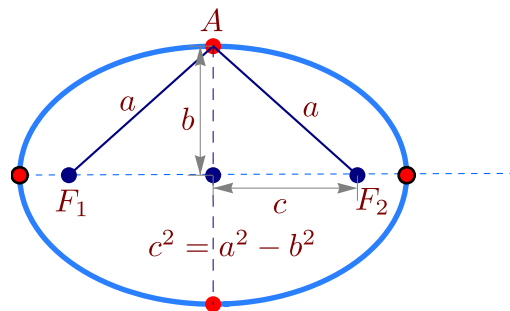


Ejes, centro y vértices. Supongamos que los focos de la elipse son F_1 y F_2 . Además, $d(Q, F_1) + d(Q, F_2) = 2a$ con $2a > d(F_1, F_2)$. La recta que pasa por los focos se llama *eje focal*. Este eje focal corta a la elipse en dos puntos V_1 , V_2 llamados *vértices*. El segmento de recta que une los vértices se llama *eje mayor*. El punto en la mitad del eje mayor se llama *centro* de la elipse. El *eje normal* es el eje que pasa por el centro y es perpendicular al eje focal. Este eje normal corta a la elipse en dos puntos A y A' . El segmento que une estos dos puntos se llama *eje menor*.



De acuerdo a la definición de la elipse, la distancia entre los vértices es $2a$ y cada vértice está a una distancia de a unidades del centro.

Si la longitud del semieje menor es b , entonces como el triángulo $\triangle F_1AF_2$ es isósceles, entonces $d(A, F_1) = a$ y se obtiene que la distancia de cada foco al centro es c con $c^2 = a^2 - b^2$.



Excentricidad. La excentricidad de la elipse se define como $e = \frac{c}{a}$ y describe la forma general de la elipse, además $0 < e < 1$. Para una circunferencia la excentricidad es cero y valores cercanos a 1 corresponden a elipses más alargadas y achatadas (ver sección 8.1).

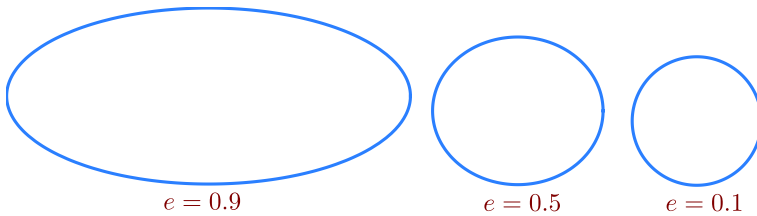
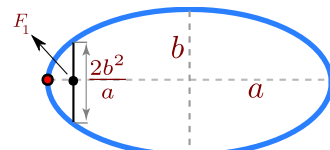


Figura 1.13: Excentricidad de la elipse

La excentricidad de las órbitas planetarias varían mucho en el sistema solar. La excentricidad de la tierra es 0.017 lo que la hace casi circular. La excentricidad de Plutón es 0.25 y es la más alta del sistema solar. La excentricidad del cometa Halley es 0.97 lo que hace que su órbita sea muy alargada, tanto que tarda 76 años en completar su órbita y la mayoría del tiempo permanece invisible para nosotros.



Latus Rectum. Los *latus rectum* en la elipse corresponden a las cuerdas perpendiculares al eje focal y que pasan por cada uno de los focos. Si a es la longitud del semieje mayor y b es la longitud del semieje menor, la longitud de cada cuerda es $\frac{2b^2}{a}$



Tratamiento analítico.

En coordenadas rectangulares, una elipse tiene ecuación general (ver 1.1)

$$Ax^2 + Bxy + Cy^2 + Dx + Ey + F = 0 \quad \text{con} \quad B^2 - 4AC < 0 \quad \text{y} \quad \Delta \neq 0$$

Si $B \neq 0$, el “eje focal” no es paralelo al eje X ni al eje Y . En este caso, la elipse presenta una rotación respecto a estos ejes. La rotación se puede eliminar (respecto a los nuevos ejes X' , Y') haciendo el cambio de variable $x = x' \cos \theta - y' \sin \theta$ y $y = x' \sin \theta + y' \cos \theta$.

La versión analítica, en posición estándar, requiere poner el eje mayor paralelo al eje X o paralelo al eje Y .

Eje mayor paralelo al eje Y . En este caso, si el centro es (h, k) , entonces $F_1 = (h, k+c)$ y $F_2 = (h, k-c)$. Los puntos (x, y) de la elipse satisfacen

$$d((x, y), F_1) + d((x, y), F_2) = 2a,$$

es decir,

$$\sqrt{(x-h)^2 + (y-k+c)^2} + \sqrt{(x-h)^2 + (y-k-c)^2} = 2a$$

Ahora simplificamos la ecuación,

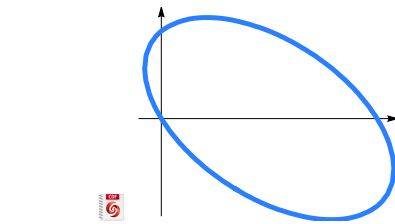
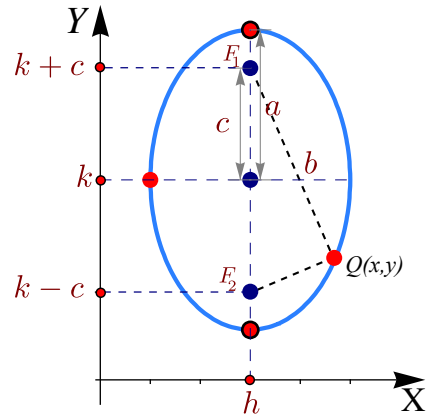


Figura 1.14: Elipse con rotación



$$\begin{aligned} \left(\sqrt{(x-h)^2 + (y-k+c)^2} \right)^2 &= \left(2a - \sqrt{(x-h)^2 + (y-k-c)^2} \right)^2 \\ a^2 - c(y-k) &= a\sqrt{(x-h)^2 + (y-k+c)^2}, \end{aligned}$$

elevamos al cuadrado,

$$a^4 + 2a^2c(y-k) + c^2(y-k)^2 = a^2(x-h)^2 + a^2(y-k)^2 + 2a^2c(y-k) + a^2c^2,$$

sustituyendo $c^2 = a^2 - b^2$,

$$-b^2(y-k)^2 = a^2(x-h)^2 - a^2b^2 \implies \frac{(x-h)^2}{b^2} + \frac{(y-k)^2}{a^2} = 1$$

La ecuación simplificada $\frac{(x-h)^2}{b^2} + \frac{(y-k)^2}{a^2} = 1$, se le llama *ecuación canónica* o *natural*. Contiene toda la información para determinar la longitud de los semiejes, la longitud c , focos y vértices.

Eje mayor paralelo al eje X. En este caso, si el centro es (h, k) , entonces $F_1 = (h - c, k)$ y $F_2 = (h + c, k)$. Los puntos (x, y) de la elipse satisfacen

$$d((x, y), F_1) + d((x, y), F_2) = 2a,$$

es decir,

$$\sqrt{(x - h + c)^2 + (y - k)^2} + \sqrt{(x - h - c)^2 + (y - k)^2} = 2a.$$

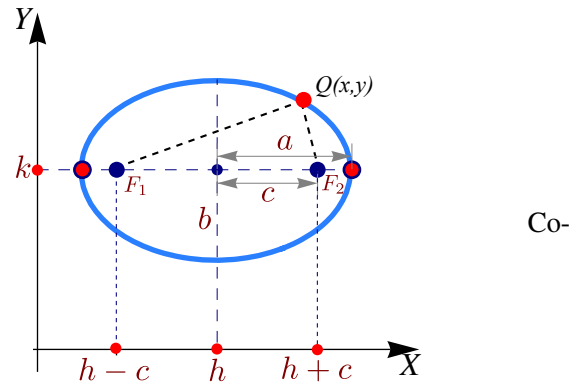


Figura 1.15: Elipse con eje mayor paralelo al eje X

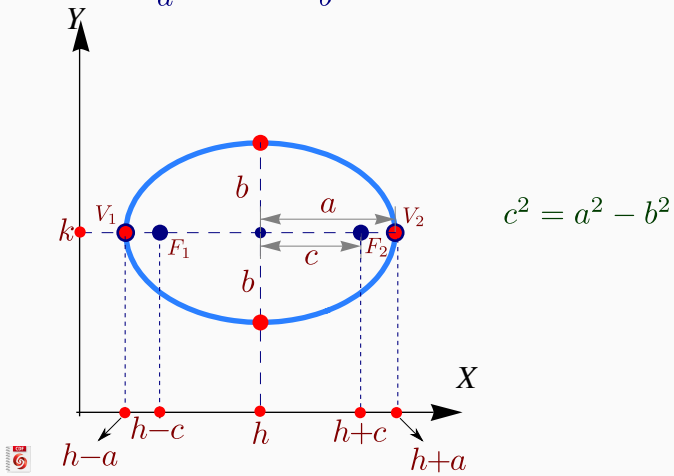
mo antes, la ecuación simplificada queda $\frac{(x - h)^2}{a^2} + \frac{(y - k)^2}{b^2} = 1$. A esta ecuación se le llama *ecuación canónica* o *natural*. Contiene toda la información para determinar la longitud de los semiejes, la longitud c , focos y vértices.,En resumen,

Ver con CFDPlayer

Requiere FreeCDF Player

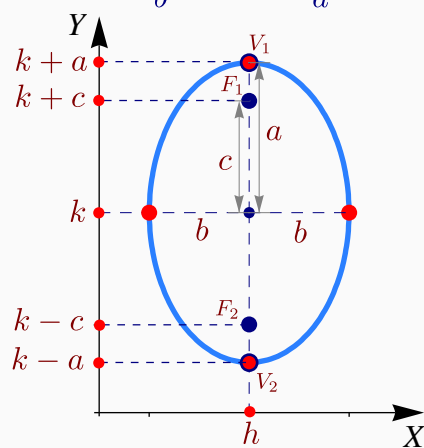
Elipse sin rotación. “ a ” es la longitud del semieje mayor

$$\frac{(x - h)^2}{a^2} + \frac{(y - k)^2}{b^2} = 1$$



$$c^2 = a^2 - b^2$$

$$\frac{(x - h)^2}{b^2} + \frac{(y - k)^2}{a^2} = 1$$



Circunferencia de radio a . Formalmente, la curva que delimita un círculo se llama *circunferencia*. Por abuso del lenguaje se habla de un “círculo de radio a ”. La circunferencia es un caso especial de elipse en la que los focos son iguales y coinciden con el centro de la circunferencia. En este caso, $a^2 = b^2 = a^2$. Por lo tanto, la ecuación de la circunferencia de un círculo con centro en $O = (h, k)$ y radio a , es

$$\frac{(x-h)^2}{a^2} + \frac{(y-k)^2}{a^2} = 1 \quad \text{o también} \quad (x-h)^2 + (y-k)^2 = a^2$$

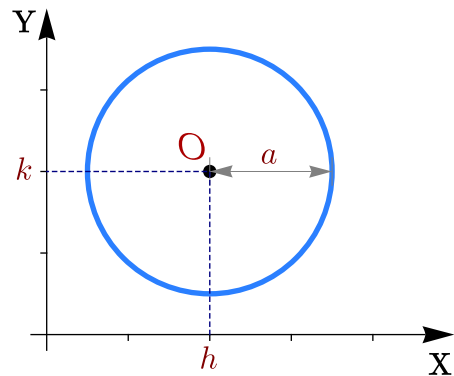


Figura 1.16: Circunferencia de radio a centrada en (h, k)

Ecuación general de la elipse en posición estándar. La ecuación general de un elipse con eje mayor paralelo al eje X o al eje Y es $Ax^2 + Cy^2 + Dx + Ey + F = 0$, con A y C no nulos y del mismo signo. Sin embargo, esta ecuación también podría tener como conjunto solución una cónica degenerada. Si la ecuación corresponde a una cónica propia, basta con que $AC > 0$ para decir que es una elipse. La manera práctica de decidir si es una elipse es obtener la ecuación canónica completando cuadrados. El estudio de la ecuación general se hace en la sección (1.6).

Ejemplo 1.10

Hallar la ecuación canónica de la elipse $4x^2 + y^2 - 8x + 4y - 8 = 0$. Realizar su gráfica identificando los vértices, los focos y el centro.

Solución: Para hallar la ecuación canónica debemos completar el cuadrado de la expresión en ambas variables x e y .

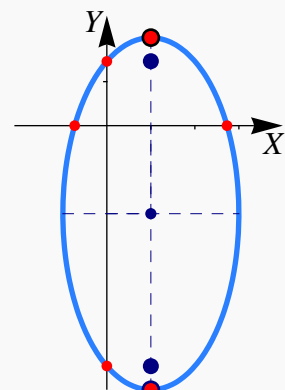
$$4x^2 + y^2 - 8x + 4y - 8 = 0$$

$$4x^2 - 8x + y^2 + 4y - 8 = 0$$

$$4(x-1)^2 + (y+2)^2 = 16$$

$$\frac{(x-1)^2}{4} + \frac{(y+2)^2}{16} = 1$$

El centro es $(h, k) = (1, -2)$. La elipse tiene eje mayor paralelo al eje Y . Como $a^2 = 16$ y $b^2 = 4$, entonces $a = 4$ y $b = 2$. Ahora, $c^2 = 16 - 4 \implies c = \sqrt{12}$. Los focos son $(1, -2 \pm \sqrt{12})$ y los vértices son $(1, -6)$, $(1, 2)$. Las intersecciones con los ejes son $y \approx -5.46$, $y \approx 1.46$, $x \approx -0.73$ y $x \approx 2.73$.



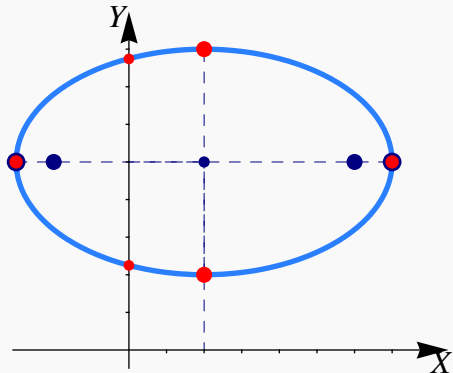
Ejemplo 1.11

Determine la ecuación canónica y las características más importantes de la elipse cuyo eje mayor tiene extremos $(-3, 5)$ y $(7, 5)$ y cuyo eje menor tiene extremos $(2, 2)$ y $(2, 8)$.

Solución: El centro es el punto medio entre $(-3, 5)$ y $(7, 5)$, es decir, $(2, 5)$. El semieje mayor mide $a = 5$ y el semieje menor mide $b = 3$. Como el eje mayor es paralelo al eje X , la ecuación canónica es,

$$\frac{(x-2)^2}{25} + \frac{(y-5)^2}{9} = 1.$$

Como $c^2 = 25 - 9$, entonces $c = 4$ y los focos son $(2 \pm 4, 5)$. Los vértices son $(2 \pm 5, 5)$. Las intersecciones con el eje Y son $y \approx 2.25$ y $y \approx 7.75$.

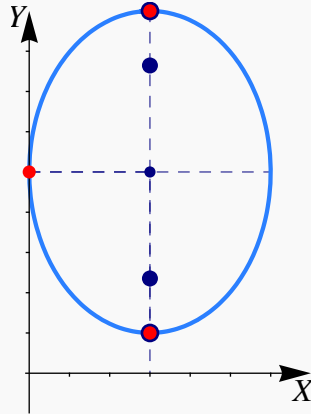
**Ejemplo 1.12**

Determine la ecuación canónica de la elipse con vértices en $(3, 1)$, $(3, 9)$ y eje menor de longitud 6. Realizar la gráfica.

Solución: El eje mayor de la elipse es paralelo al eje Y . Como la longitud del eje menor es de 6 unidades, entonces $b = 3$. Como los vértices están en $(3, 1)$ y $(3, 9)$, entonces el centro es $(h, k) = (3, 5)$ y por tanto $a = 4$. La ecuación canónica es

$$\frac{(x-3)^2}{9} + \frac{(y-5)^2}{16} = 1$$

La gráfica de la elipse se muestra en la figura de la derecha. Solo hay una intersección con el eje Y en $y = 5$.

**Ejemplo 1.13**

Determine la ecuación canónica de la elipse con focos en $(2, 5)$ y $(2, 3)$ y que contiene al punto $(3, 6)$. Realizar la gráfica.

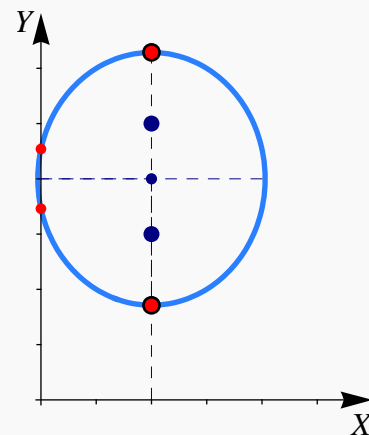
Solución: Por la posición de los focos, el eje mayor es paralelo al eje Y . Además también deducimos que el centro es $(h, k) = (2, 4)$ y que $c = 1$. Como $c^2 = a^2 - b^2$, tenemos $b^2 = a^2 - 1$.

Hasta ahora tenemos que la ecuación canónica es

$$\frac{(x-2)^2}{b^2} + \frac{(y-4)^2}{a^2} = 1$$

Como $b^2 = a^2 - 1$ y como la elipse contiene al punto $(3, 6)$, este punto satisface esta ecuación, es decir,

$$\begin{aligned} \frac{(3-2)^2}{b^2} + \frac{(6-4)^2}{a^2} &= 1, \\ \frac{1}{a^2-1} + \frac{4}{a^2} &= 1 \implies a^2 = 3 \pm \sqrt{5}. \end{aligned}$$



Como $b^2 = a^2 - 1 > 0$, la única solución es $\frac{(x-2)^2}{2+\sqrt{5}} + \frac{(y-4)^2}{3+\sqrt{5}} = 1$. Las intersecciones con el eje Y son $y \approx 3.46$, $y \approx 4.54$.

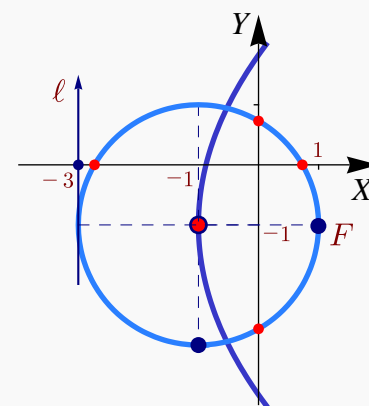
Ejemplo 1.14

Determine la ecuación de la circunferencia de radio 2 con centro en el vértice de la parábola de foco $(1, -1)$ y directriz $x = -3$. Realizar la gráfica.

Solución: Como el vértice de una parábola está a la mitad del camino entre el foco y la directriz entonces $(h, k) = (-1, -1)$. La ecuación de la circunferencia es

$$(x+1)^2 + (y+1)^2 = 4.$$

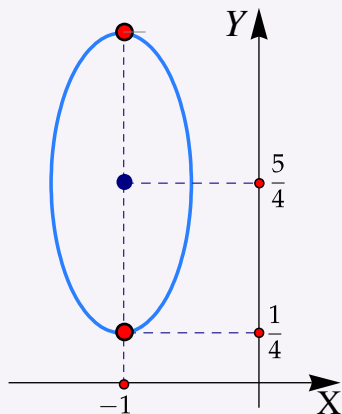
Las intersecciones con el eje X son $x \approx -2.73$ y $x \approx 0.73$. Las intersecciones con el eje Y son $y \approx -2.73$ y $y \approx 0.73$.



2

Ejercicios

- 1.4.1** Considere la elipse a la derecha. Si se sabe que el punto $(-1/2, 5/4)$ está en la elipse, determine su ecuación canónica, sus focos y sus vértices.



- 1.4.2** En cada caso, obtener la ecuación canónica de la elipse.

a.) $\frac{(y-1)^2}{2} + \frac{5(x+2)^2}{3} = 2$

b.) $\frac{x^2}{16} + \frac{x}{2} + \frac{y^2}{4} + y + 1 = 0$

c.) $\frac{x^2}{4} + x + \frac{y^2}{16} + \frac{y}{2} + 1 = 0$

d.) $x^2 + \frac{y^2}{2} - 2y + 1 = 0$

- 1.4.3** Considere la cónica $4x^2 + y^2 - 16x - 6y + 21 = 0$. Realizar su gráfica identificando los vértices, los focos, el centro y la intersección con los ejes.

- 1.4.4** Determine la ecuación de la elipse cuyo centro está en el origen, contiene al punto $(-1, 3)$ y uno de sus vértices es $(0, 5)$. Realizar la gráfica.

- 1.4.5** Determinar la ecuación canónica de la elipse si se sabe que es tangente a los ejes en el primer cuadrante y uno de sus vértices es $(8, 2)$.

- 1.4.6** Determine la ecuación canónica y los demás elementos de la elipse con centro en $(0, 0)$, eje mayor horizontal y los puntos $(3, 1)$ y $(4, 0)$ están en la elipse.

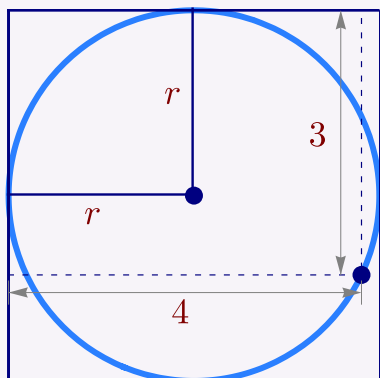
- 1.4.7** Determine la ecuación canónica y los demás elementos de la elipse con centro en $(2, 1)$, longitud del eje menor $2ul$ y eje mayor vertical y de longitud $6ul$.

- 1.4.8** Hallar la ecuación canónica y los demás elementos de la elipse que tiene un vértice y un foco en común con la parábola $y^2 + 4x = 32$ y que tiene su otro foco en el origen.

1.4.9 Determine la ecuación canónica y los demás elementos de la elipse cuya suma de distancias a los puntos $(\pm 3, 0)$ es 16.

1.4.10 Considere la cónica de ecuación $9y^2 + 16x^2 + 54y - 64x + 1 = 0$. Verifique que se trata de una elipse e indique sus características principales.

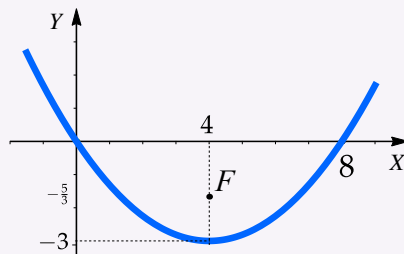
1.4.11 Se tiene un círculo inscrito en un cuadrado tal y como se muestra en la figura que sigue. Determinar el radio.



1.4.12 Considere la cónica \mathbf{C} de ecuación $x^2 - 4x + 8y + 12 = 0$. Determine la ecuación canónica y las características más importantes, de la elipse que cumple simultáneamente con las siguientes condiciones,

- Su centro coincide en el vértice de la cónica \mathbf{C}
- La distancia entre sus focos es 4 y están en la recta $x = 2$
- La distancia de un foco al vértice más cercano es 3

1.4.13 Considere la parábola P cuya gráfica se muestra en la figura. Determine la ecuación canónica de la elipse E cuyo centro es el foco de P y contiene los puntos $(0, 0)$ y $(9, -\frac{5}{3})$.



1.4.14 Determine la ecuación canónica de la elipse que satisface simultáneamente las siguientes condiciones:

- El vértice V_1 de la elipse coincide con el foco de la parábola de ecuación $(x - 2)^2 = -4y + 24$.

- b.) El vértice V_2 de la elipse coincide con el centro de la hipérbola de ecuación $x^2 - 4x - y^2 + 2y = -2$.
 c.) La elipse contiene el punto $(1, 2)$.

 **1.4.15** En la definición de la elipse como un lugar geométrico se indica que $2a > d(F_1, F_2)$. ¿Qué pasa si $2a \leq d(F_1, F_2)$?

1.5 La Hipérbola.

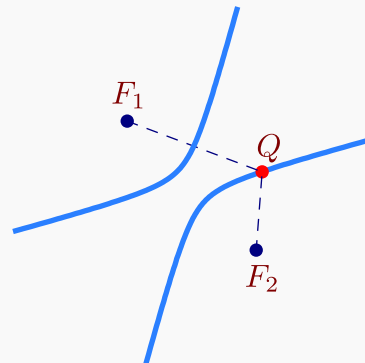
 Ver con CDFPlayer

Requiere FreeCDF Player

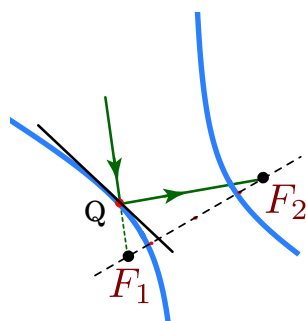
Definición 1.3 (La hipérbola como lugar geométrico).

En un plano, una hipérbola es el lugar geométrico de todos los puntos Q tales que el valor absoluto de la diferencia de sus distancias a dos puntos fijos del plano, F_1 y F_2 , (llamados *focos*), es constante (una constante menor que $d(F_1, F_2)$). Si la diferencia es la constante $2a$, con $2a < d(F_1, F_2)$, entonces

$$|d(Q, F_1) - d(Q, F_2)| = 2a$$



Propiedad focal de la hipérbola. La hipérbola también tiene una “propiedad focal” análoga a la de la elipse y la parábola: *La normal a la hipérbola en cualquier punto Q de la hipérbola, forma ángulos iguales con el segmento F_1Q y el segmentos F_2Q*



La propiedad focal de la hipérbola tiene varias aplicaciones. Por ejemplo, en la construcción de telescopios. Un telescopio común tipo Cassegrain consiste de un espejo primario parabólico y de un espejo secundario hiperbólico. En la figura (1.17) la luz se refleja en un espejo primario parabólico y se desplaza hacia el foco F . Antes de llegar a este foco, hay un espejo hiperbólico en el camino, que comparte el foco F con la parábola. Este espejo refleja la luz al otro foco de la hipérbola, donde se encuentra el observado.

Ejes, centro y vértices. Supongamos que los focos de la hipérbola son F_1 y F_2 . Además, $|d(Q, F_1) - d(Q, F_2)| = 2a$ con $2a < d(F_1, F_2)$. La recta que pasa por los focos se llama *eje focal*. Este eje focal corta a la hipérbola en dos puntos V_1 , V_2 llamados *vértices*. El segmento de recta que une los vértices se llama *eje transverso*. El punto medio de este eje se llama *centro* de la hipérbola.

De la definición de la hipérbola se puede deducir que la distancia entre los vértices es $2a$ y cada vértice está a una distancia de a unidades del centro.

Si la distancia del centro a cada uno de los focos es c , como $c > a$, podemos formar el triángulo isósceles $\triangle V_1V_2A$ que se muestra en la figura de la derecha. La altura de este triángulo la denotamos con b . El *eje conjugado* es el segmento AA' (en la figura de la derecha) y mide $2b$. Este segmento pasa por el centro y es perpendicular al eje focal. Claramente, este el semieje conjugado tiene longitud b y, por pitágoras,

$$c^2 = a^2 + b^2.$$

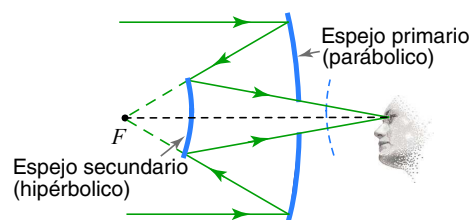
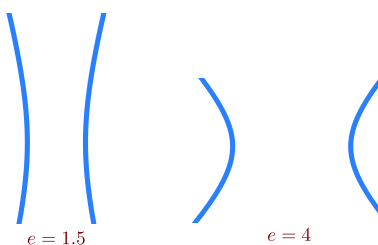
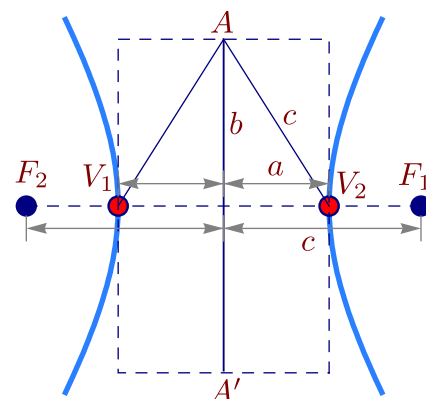
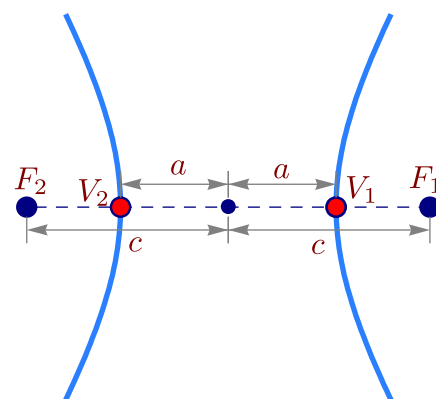
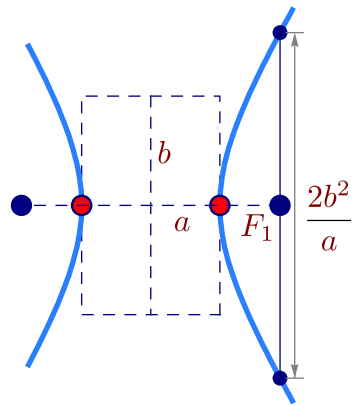


Figura 1.17: Telescopio Cassegrain.



Excentricidad. La excentricidad de la hipérbola es $e = \frac{c}{a}$. En este caso, $e > 1$. Si $e \approx 1$, la ramas de la hipérbola son muy abiertas mientras que si e no está cerca de 1, las ramas abren poco y la hipérbola se muestra “achatada” (ver sección 8.1).

Latus Rectum. Los *latus rectum* en la hipérbola corresponden a las cuerdas perpendiculares al eje focal y que pasan por cada uno de los focos. Al igual que en la elipse, cada lado recto mide $\frac{2b^2}{a}$.



Tratamiento analítico.

En coordenadas rectangulares, una hipérbola tiene ecuación general (ver 1.1)

$$Ax^2 + Bxy + Cy^2 + Dx + Ey + F = 0 \quad \text{con} \quad B^2 - 4AC > 0 \quad \text{y} \quad \Delta \neq 0$$

Si $B \neq 0$, el “eje focal” no es paralelo al eje X ni al eje Y . En este caso, la hipérbola presenta una rotación respecto a estos ejes. La rotación se puede eliminar (respecto a los nuevos ejes X' , Y') haciendo el cambio de variable $x = x' \cos \theta - y' \sin \theta$ y $y = x' \sin \theta + y' \cos \theta$.

La versión analítica, en posición estándar, requiere poner el eje focal paralelo al eje X o paralelo al eje Y .

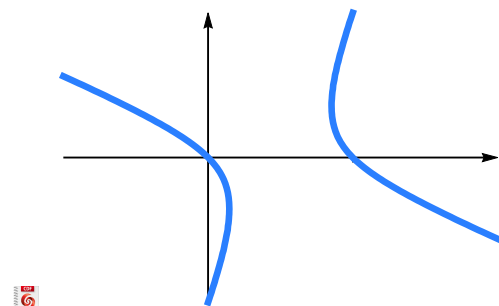


Figura 1.18: hipérbola con rotación

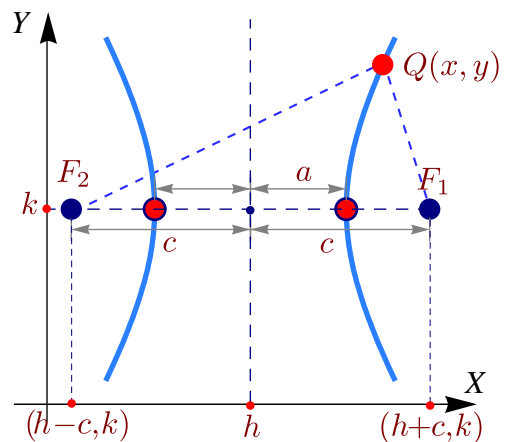
Eje mayor paralelo al eje X . En este caso, si el centro es (h, k) , entonces $F_1 = (h + c, k)$ y $F_2 = (h - c, k)$. Los puntos $Q = (x, y)$ de la hipérbola satisfacen

$$|d(Q, F_1) - d(Q, F_2)| = 2a,$$

es decir,

$$\left| \sqrt{(x-h+c)^2 + (y-k)^2} - \sqrt{(x-h-c)^2 + (y-k)^2} \right| = 2a$$

Para simplificar un poco el cálculo, supongamos que $d(Q, F_1) - d(Q, F_2) > 0$ (el otro caso es es totalmente similar), entonces



$$\left(\sqrt{(x-h+c)^2 + (y-k)^2} \right)^2 = \left(2a - \sqrt{(x-h-c)^2 + (y-k)^2} \right)^2,$$

$$c(x-h) - a^2 = a\sqrt{(x-h-c)^2 + (y-k)^2},$$

elevamos al cuadrado,

$$(c^2 - a^2)(x-h)^2 - a^2(y-k)^2 = a^2(c^2 - a^2),$$

$$\frac{(x-h)^2}{a^2} - \frac{(y-k)^2}{c^2 - a^2} = 1.$$

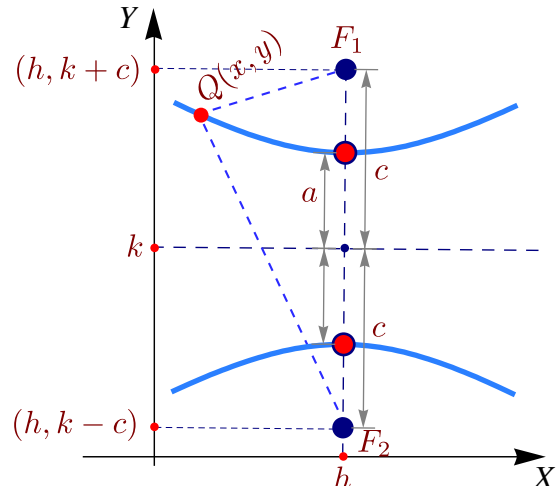
Poniendo $b^2 = c^2 - a^2$, la ecuación simplificada sería $\frac{(x-h)^2}{a^2} - \frac{(y-k)^2}{b^2} = 1$; esta ecuación se le llama *ecuación canónica o natural*. Contiene toda la información para determinar la longitud de los semiejes, c , focos y vértices.

Eje mayor paralelo al eje Y . En este caso, si el centro es (h, k) , entonces $F_1 = (h, k - c)$ y $F_2 = (h, k + c)$. Los puntos $Q = (x, y)$ de la hipérbola satisfacen

$$|d(Q, F_1) - d(Q, F_2)| = 2a,$$

es decir,

$$\left| \sqrt{(x-h)^2 + (y-k+c)^2} - \sqrt{(x-h)^2 + (y-k-c)^2} \right| = 2a.$$



Como antes, la ecuación simplificada queda $\frac{(y-k)^2}{a^2} - \frac{(x-h)^2}{b^2} = 1$. A esta ecuación se le llama *ecuación canónica o natural*. Contiene toda la información para determinar la longitud de los semiejes, c , focos y vértices.

Asintotas de la hipérbola. Consideremos las ecuaciones canónicas de la hipérbola. Despejando y en cada caso, se obtiene

$$\frac{(y-k)^2}{a^2} - \frac{(x-h)^2}{b^2} = 1 \implies y = k \pm \frac{a}{b} \sqrt{(x-h)^2 + b^2},$$

$$\frac{(x-h)^2}{a^2} - \frac{(y-k)^2}{b^2} = 1 \implies y = k \pm \frac{b}{a} \sqrt{(x-h)^2 - a^2}.$$

Si x es suficientemente grande, se pueden despreciar las constantes que suman o restan, es decir,

$$\frac{(y-k)^2}{a^2} - \frac{(x-h)^2}{b^2} = 1 \implies y \approx k \pm \frac{a}{b}(x-h),$$

$$\frac{(x-h)^2}{a^2} - \frac{(y-k)^2}{b^2} = 1 \implies y \approx k \pm \frac{b}{a}(x-h).$$

Esto sugiere que las rectas $y = k \pm \frac{a}{b}(x-h)$, $y = k \pm \frac{b}{a}(x-h)$ son asíntotas oblicuas de la hipérbola correspondiente. En efecto, un cálculo rápido nos permite establecer que

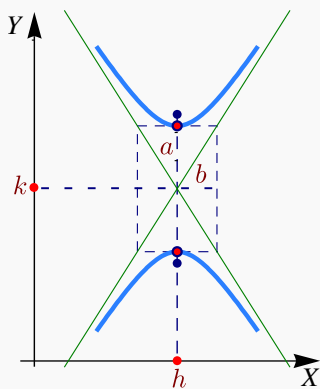
$$\frac{(y-k)^2}{a^2} - \frac{(x-h)^2}{b^2} = 1 \implies \lim_{x \rightarrow \pm\infty} y - \left(k \pm \frac{a}{b}(x-h) \right) = 0,$$

$$\frac{(x-h)^2}{a^2} - \frac{(y-k)^2}{b^2} = 1 \implies \lim_{x \rightarrow \pm\infty} y - \left(k \pm \frac{b}{a}(x-h) \right) = 0.$$

Teorema 1.2 (Asíntotas de la hipérbola).

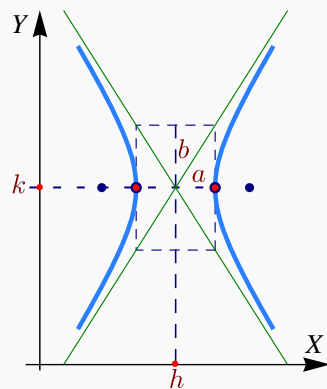
La hipérbola de ecuación $\frac{(y-k)^2}{a^2} - \frac{(x-h)^2}{b^2} = 1$ tiene asíntotas

$$y = k \pm \frac{a}{b}(x-h)$$



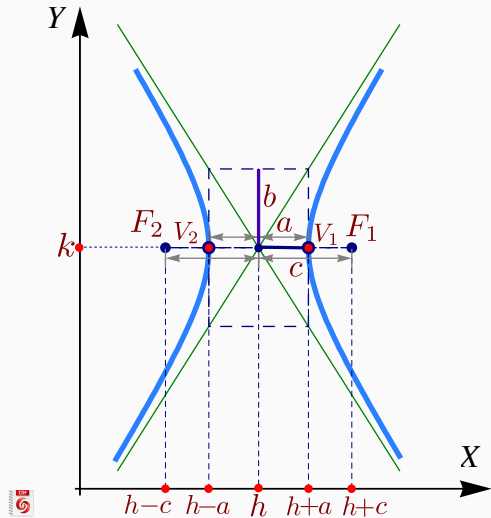
La hipérbola de ecuación $\frac{(x-h)^2}{a^2} - \frac{(y-k)^2}{b^2} = 1$ tiene asíntotas

$$y = k \pm \frac{b}{a}(x-h)$$

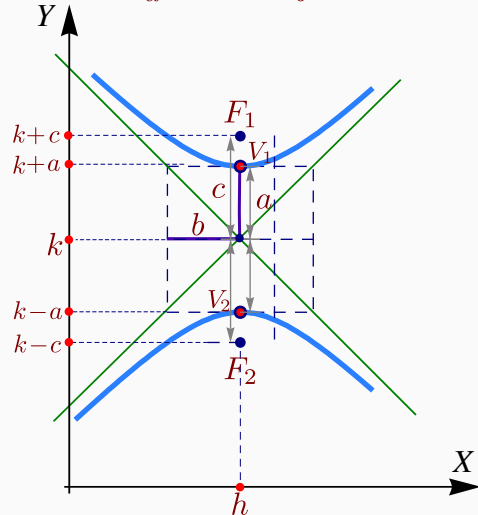


Hipérbolas.

$$\frac{(x-h)^2}{a^2} - \frac{(y-k)^2}{b^2} = 1$$



$$\frac{(y-k)^2}{a^2} - \frac{(x-h)^2}{b^2} = 1$$



$$c^2 = a^2 + b^2$$

Ecuación general de la hipérbola en posición estándar. La ecuación general de una hipérbola con eje focal paralelo al eje X o al eje Y es $Ax^2 + Cy^2 + Dx + Ey + F = 0$, con A y C no nulos y de diferente signo. Sin embargo, esta ecuación puede también corresponder a una cónica degenerada. Si la ecuación corresponde a una cónica propia, basta con que $AC < 0$ para decir que es una hipérbola. La manera práctica de decidir si es una hipérbola es obtener la ecuación canónica completando cuadrados. El estudio de la ecuación general se hace en la sección (1.6).

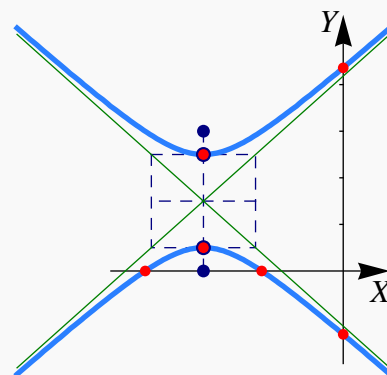
Ejemplo 1.15

Determine la ecuación canónica y las características de la cónica que contiene a los puntos $P = (x, y)$ para los cuales $|d(P, A) - d(P, B)| = 2$ donde $A = (-3, 0)$ y $B = (-3, 3)$. Realizar la gráfica.

Solución: Se trata de un hipérbola con focos A y B y por tanto $c = 1.5$ y el centro es $(h, k) = (-3, 3/2)$. Como $|d(P, F_1) - d(P, F_2)| = 2a$ entonces $a = 1$. y entonces $b^2 = 5/4$. Luego ecuación canónica es

$$\frac{(y - \frac{3}{2})^2}{1} - \frac{(x + 3)^2}{5/4} = 1$$

Las asíntotas son $y = \pm \frac{1}{\sqrt{5/4}}(x + 3) + 3/2$. La intersección con los ejes son $y \approx -1.363$, $y \approx 4.363$, $x \approx -4.25$ y $x \approx -1.75$,



Ejemplo 1.16

Identifique y trace la gráfica de la cónica de ecuación $4y^2 - 9x^2 + 36x - 24y - 36 = 0$, indicando centro, vértices, focos, asíntotas e intersección con los ejes.

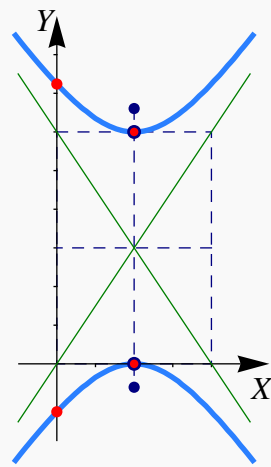
Solución: Completando cuadrados obtenemos

$$4(y-3)^2 - 9(x-2)^2 = 36$$

por lo que la ecuación canónica es

$$\frac{(y-3)^2}{9} - \frac{(x-2)^2}{4} = 1$$

Se trata de un hipérbola con eje transversal vertical y centro en $(2, 3)$. Como $a = 3$ y $b = 2$ entonces $c = \sqrt{13}$. Los vértices son $v_1 = (2, 0)$ y $v_2 = (2, 6)$ y los focos son $F_1 = (2, 3 - \sqrt{13})$ y $F_2 = (2, 3 + \sqrt{13})$. Las intersecciones con los ejes: $y \approx -1.24$, $y \approx 7.24$ y $x = 2$.

**Ejemplo 1.17**

Hallar la ecuación canónica, los focos, los vértices y las asíntotas de la hipérbola cuya ecuación es $9x^2 - y^2 - 36x - 6y + 18 = 0$. Realizar la gráfica.

Solución: Completando el cuadrado en ambas variables,

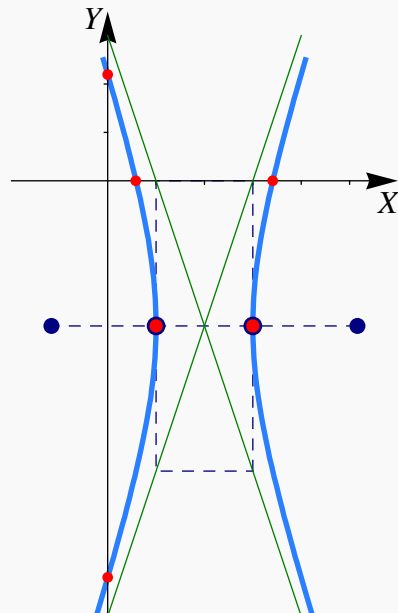
$$9(x^2 - 4x + 4 - 4) - (y^2 + 6y + 9 - 9) + 18 = 0$$

$$9(x-2)^2 - (y+3)^2 = 9$$

$$\frac{(x-2)^2}{1} - \frac{(y+3)^2}{9} = 1$$

Por tanto, el centro está en $(2, -3)$, $a = 1$, $b = 3$ y $c^2 = a^2 + b^2 \Rightarrow c^2 = 10 \Rightarrow c = \sqrt{10}$

Los vértices están en $(1, -3)$, $(3, -3)$, los focos en $(2 \pm \sqrt{10}, -3)$ y las asíntotas son $y = \pm 3(x-2) - 3$. Las intersecciones con los ejes son $y \approx -8.19$, $y \approx 2.196$, $x \approx 0.58$ y $x \approx 3.41$.



Ejemplo 1.18

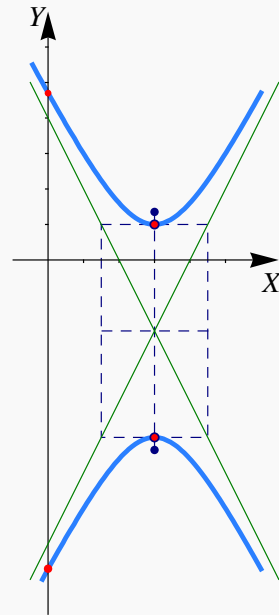
Hallar la ecuación canónica de la hipérbola con vértices en $(3, -5)$ y $(3, 1)$ y asíntotas $y = 2x - 8$ y $y = -2x + 4$. Además calcule los focos y realice la gráfica.

Solución: Como los vértices son vértices en $(3, -5)$ y $(3, 1)$, el centro es $(3, -2)$. Además, la hipérbola tiene eje transversal vertical y $a = 3$. Por otro lado, por el teorema de las asíntotas,

$$m_1 = 2 = \frac{a}{b} \Rightarrow b = \frac{a}{2} \Rightarrow b = \frac{3}{2}$$

Por tanto, la ecuación canónica es

$$\frac{(y+2)^2}{9} - \frac{(x-3)^2}{\frac{9}{4}} = 1$$



El valor de c está dado por

$$c^2 = a^2 + b^2 \Rightarrow c^2 = \frac{45}{4} \Rightarrow c = \frac{3\sqrt{5}}{2}$$

Los focos están en $(3, -2 - \frac{3\sqrt{5}}{2})$ y $(3, -2 + \frac{3\sqrt{5}}{2})$. Las intersecciones con el eje Y son $y \approx -8.70$, $y \approx 4.70$.

3**Ejercicios**

1.5.1 Determine la ecuación canónica y los demás elementos de la hipérbola $36x^2 - 64y^2 = 2304$

1.5.2 Determine la ecuación canónica de la hipérbola con focos en $(1, 4)$ y $(1, -4)$ y con $a = 3$.

1.5.3 Determine la ecuación canónica de la hipérbola con centro en $(-4, 1)$ y un vértice en $(2, 1)$ y semieje conjugado de longitud 4.

1.5.4 Determine la ecuación canónica de la hipérbola de ecuación $9x^2 - 16y^2 - 18x - 64y - 199 = 0$.

1.5.5 Determine la ecuación canónica de la hipérbola con vértices en $(0, 2)$ y $(6, 2)$ y asíntotas $y = 2/3x$ y $y = 4 - 2/3x$.

1.5.6 Determine la ecuación canónica de la hipérbola que contiene al punto $(4, 6)$ y cuyas asíntotas son $y = \pm\sqrt{3}x$.

1.5.7 Determine la ecuación de la hipérbola con centro en el origen y que contiene los puntos $(3, 1)$ y $(9, 5)$.

1.5.8 Determine la ecuación canónica de la hipérbola que satisface simultáneamente las siguientes condiciones,

a.) El centro de la hipérbola coincide con el vértice de la parábola de ecuación $y^2 - 2y + 8x + 17 = 0$.

b.) Uno de sus focos se ubica en $(3, 1)$

c.) Uno de sus vértices se ubica en $(1, 1)$.

Realice la gráfica e indique sus principales características.

1.5.9 Determine el tipo de cónica representada por la ecuación $\frac{x^2}{k} + \frac{y^2}{k-16} = 1$ en los casos

a.) Si $k > 16$

b.) Si $0 < k < 16$

c.) Si $k < 0$

1.5.10 Realice el dibujo de la sección cónica de ecuación $9(x-1)^2 - (y+1)^2 = 9$. Indique además todas sus características.

1.5.11 En la definición de la hipérbola como un lugar geométrico se indica que $2a < d(F_1, F_2)$. ¿Qué pasa si $2a \geq d(F_1, F_2)$?

1.6 (*) Clasificación de cónicas y la ecuación de segundo grado

Una cónica tiene ecuación general

$$Ax^2 + Bxy + Cy^2 + Dx + Ey + F = 0. \quad (1.2)$$

Sin embargo, hay casos en los que esta ecuación no tiene solución (no hay lugar geométrico) o el conjunto solución es una cónica degenerada (un punto, una o dos rectas).

En el caso de que tengamos una cónica no degenerada con ecuación 1.2, clasificar la cónica obteniendo la ecuación canónica: Si $B = 0$, solo habría que completar cuadrados. Si $B \neq 0$, habría que aplicar una rotación de ejes y luego completar cuadrados, con estos cálculos obtenemos la ecuación canónica de la cónica (en un nuevo sistema $X'Y'$) y sus características más importantes (centro, vértice(s), etc.).

Clasificación usando la representación matricial. Las cónicas tienen una representación matricial

$$Ax^2 + Bxy + Cy^2 + Dx + Ey + F = 0 \implies \begin{pmatrix} x & y \end{pmatrix} \begin{pmatrix} A & B/2 \\ B/2 & C \end{pmatrix} \begin{pmatrix} x \\ y \end{pmatrix} + \begin{pmatrix} D & E \end{pmatrix} \begin{pmatrix} x \\ y \end{pmatrix} + F = 0$$

De esta manera se puede usar la teoría de formas cuadráticas para obtener los siguientes resultados:

Teorema 1.3

Consideremos la cónica de ecuación $Ax^2 + Bxy + Cy^2 + Dx + Ey + F = 0$. Sea $\Delta = 4 \begin{vmatrix} A & B/2 & D/2 \\ B/2 & C & E/2 \\ D/2 & E/2 & F \end{vmatrix} = 4ACF - AE^2 - B^2F + BDE - CD^2$, entonces:

- a.) Si $B^2 - 4AC = 0$ y $\Delta \neq 0$, tenemos una parábola.
- b.) Si $B^2 - 4AC < 0$ y $\Delta \neq 0$, tenemos una elipse.
- c.) Si $B^2 - 4AC > 0$ y $\Delta \neq 0$, tenemos una hipérbola.
- d.) Si $B^2 - 4AC = 0$ y $\Delta = 0$, tenemos dos líneas paralelas o un conjunto vacío. Las líneas son distintas si $D^2 + E^2 > 4(A + C)F$, pero son una sola (coinciden) si $D^2 + E^2 = 4(A + C)F$ (por ejemplo, en el caso de que el foco está sobre la directriz, en la definición de más arriba), y son distintas en el plano complejo si $D^2 + E^2 < 4(A + C)F$.
- e.) Si $B^2 - 4AC < 0$ y $\Delta = 0$, tenemos un punto (la elipse colapsa en un punto).
- f.) Si $B^2 - 4AC > 0$ y $\Delta = 0$, tenemos dos líneas que se intersecan (solo quedan las “asíntotas”).

Invariantes. Usando la teoría de *invariantes* (ver Apéndice A.) podemos identificar la cónica, sin atender a sus elementos, directamente aplicando el siguiente teorema,

Teorema 1.4

Consideremos la ecuación general $Ax^2 + Bxy + Cy^2 + Dx + Ey + F = 0$. Entonces,

- a.) si $B^2 - 4AC = 0$ y $4ACF + BDE - AE^2 - CD^2 - FB^2 \neq 0$, tenemos una parábola,
- b.) si $B^2 - 4AC < 0$ y $(A + C)(4ACF + BDE - AE^2 - CD^2 - FB^2) < 0$, tenemos una elipse,
- c.) si $B^2 - 4AC > 0$ y $4ACF + BDE - AE^2 - CD^2 - FB^2 \neq 0$, tenemos una hipérbola.

Si definitivamente se sabe que la ecuación general corresponde a una cónica propia, entonces

- a) si $B^2 - 4AC = 0$, tenemos una parábola,
- b) si $B^2 - 4AC < 0$, tenemos una elipse,
- c) si $B^2 - 4AC > 0$, tenemos una hipérbola.

Una exposición más detallada se puede ver en el apéndice 8.1.

Ejemplo 1.19

Clasificar la cónica de ecuación $2x^2 - 5y^2 - xy + 3y + 1 = 0$.

Solución: En este caso $A = 2$, $B = -1$, $C = -5$, $D = 0$, $E = 3$ y $F = 1$. Ahora calculamos,

$$B^2 - 4AC = 41 > 0 \text{ y } 4ACF + BDE - AE^2 - CD^2 - FB^2 = -59 \neq 0, \text{ por tanto se trata de una hipérbola.}$$



Revisado: Enero, 2018
Versión actualizada de este libro y el formato CDF:
<http://tecdigital.tec.ac.cr/revistamatematica/Libros/>

Espacio tridimensional. Coordenadas cartesianas.

Funciones escalares de dos variables

Curvas y Superficies en \mathbb{R}^3

Superficies cuadráticas.

Sólidos simples

Proyección (ortogonal) de un sólido simple

(*) Definición formal de una superficie

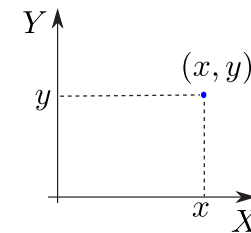


2 — Superficies y Sólidos.

2.1 Espacio tridimensional. Coordenadas cartesianas.

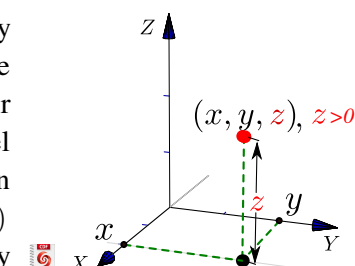
Una vez que se ha especificado una unidad de medida, un número $x \in \mathbb{R}$ puede ser usado para representar un punto en una línea, un par $(x, y) \in \mathbb{R}^2$ se puede usar para representar un punto en un plano,

(a) Punto en una línea



(b) Punto en el plano

De manera análoga, un triple $(x, y, z) \in \mathbb{R}^3$ se puede usar para representar un punto en el espacio tridimensional. Tomamos un punto fijo cualquiera O , llamado *origen*, y tres planos distintos, mutuamente perpendiculares, que pasan por O . Los planos se intersecan en pares en tres rectas (ejes) mutuamente perpendiculares que pasan por O llamadas X , Y y Z . Para hacer la representación en un plano podemos trazar el eje Y y el eje Z de frente y la parte positiva del eje X se representa en una dirección aproximadamente sur-oeste, para simular profundidad (perspectiva). Dibujamos (x, y) en el plano XY y, desde este punto, dibujamos un segmento paralelo al eje Z y orientado de acuerdo al signo de z y de longitud $|z|$, como se muestra en la figura.



Ejemplo 2.1

Los puntos en el eje X tienen coordenadas $(x, 0, 0)$, $x \in \mathbb{R}$, los puntos en el eje Y tienen coordenadas $(0, y, 0)$, $y \in \mathbb{R}$ y los puntos en el eje Z tienen coordenadas $(0, 0, z)$, $z \in \mathbb{R}$. En la figura que sigue se muestran cinco ejemplos de puntos en el espacio.

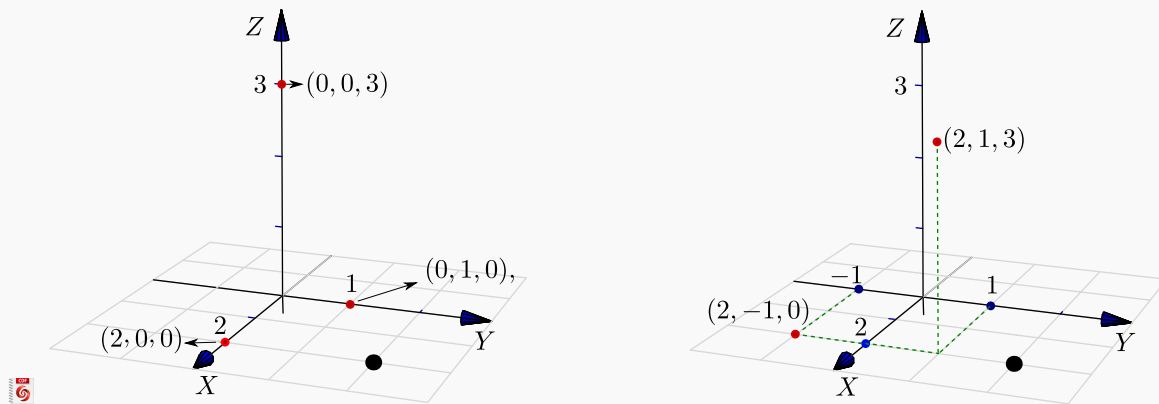


Figura 2.1: Puntos $(2, 0, 0)$, $(0, 1, 0)$, $(0, 0, 3)$, $(2, 1, 3)$ y $(2, -1, 0)$.

Planos XY , XZ y YZ . Hay tres planos que contienen un par de ejes coordinados: El plano XY es el plano que contiene el eje X y el eje Y , el plano XZ es el plano que contiene el eje X y el eje Z y el plano YZ es el plano que contiene el eje Y y el eje Z .

Ver con CFDPlayer

Requiere FreeCDF Player

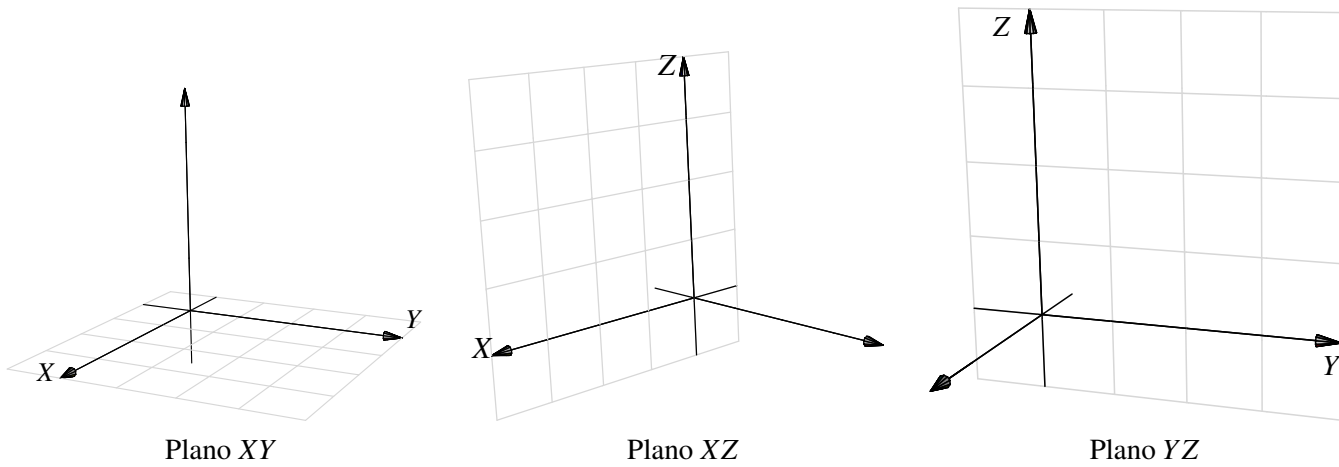


Figura 2.2

El primer octante. Los planos XY , XZ y YZ dividen el espacio en ocho partes llamadas *octantes*. El primer octante corresponde a la parte positiva de los ejes.

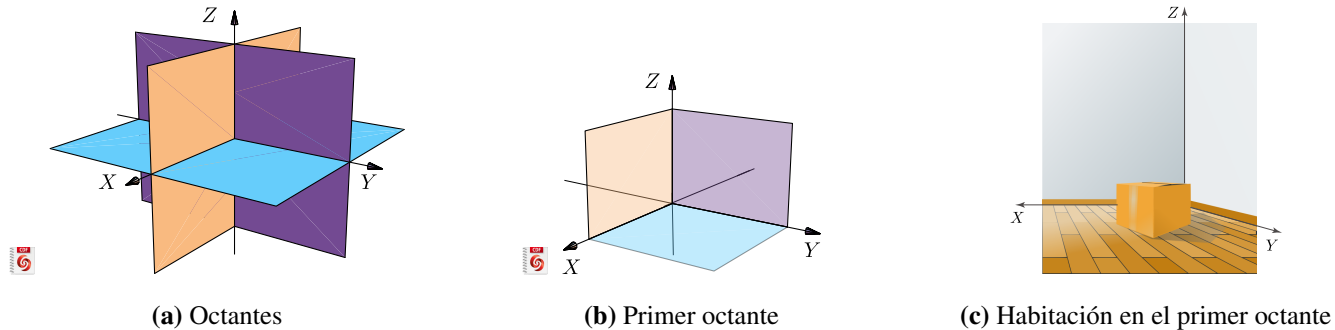
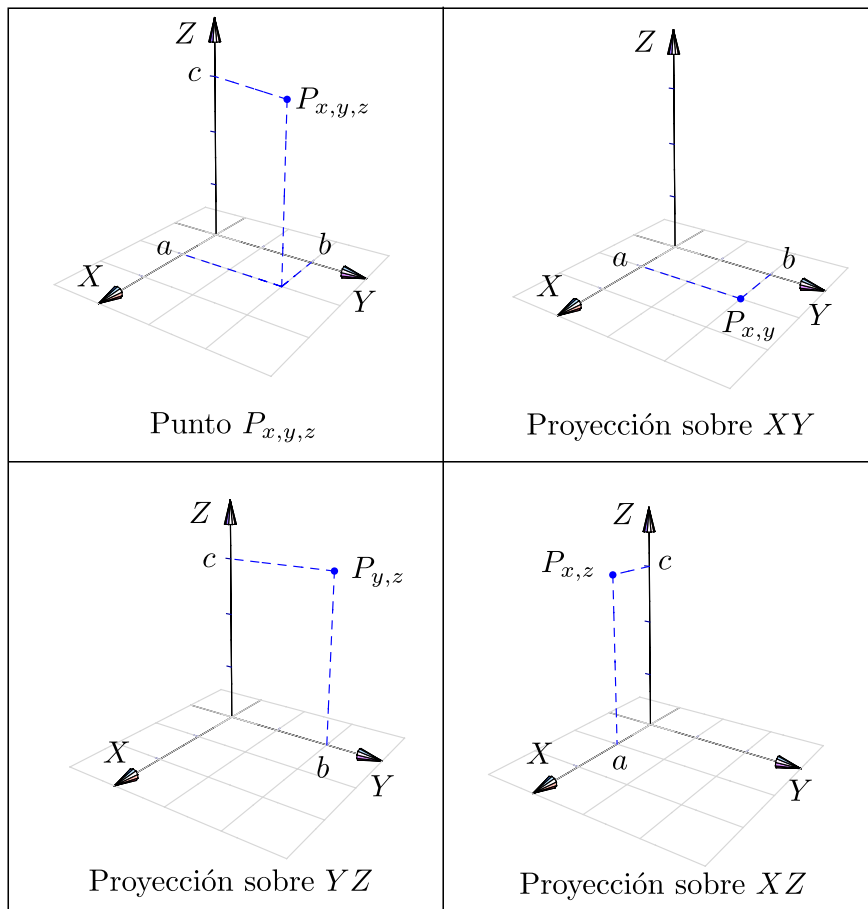


Figura 2.3

Vistas isométricas de un punto. Considere el punto $P_{x,y,z} = (a, b, c)$ en el espacio tridimensional, se define la *vista* de este punto en el plano XY como el punto $P_{x,y} = (a, b, 0)$. Análogamente se define la vista en el plano YZ como $P_{y,z} = (0, b, c)$ y la vista en el plano XZ como $P_{x,z} = (a, 0, c)$. Estas vistas también se denominan “proyecciones perpendiculares” del punto en el plano respectivo.



2.2 Funciones escalares de dos variables

Definición 2.1

Una función escalar de dos variables $f : \mathbb{R}^2 \rightarrow \mathbb{R}$ con dominio $D \subseteq \mathbb{R}^2$, asigna a cada par $(x, y) \in D$, un único número real denotado con $f(x, y)$. El gráfico de f es el conjunto $\{(x, y, z) : x, y \in D \text{ y } z = f(x, y)\}$.

El criterio (fórmula) que define a f puede ser explícito o implícito. Para hablar de una función de dos variables se escribe $z = f(x, y)$ o $F(x, y, z) = 0$.

Ejemplo 2.2

- Forma explícita: $z = x^2 + y^2$ o equivalentemente $f(x, y) = x^2 + y^2$. Por ejemplo, $f(1, 2) = 1^2 + 2^2 = 5$ y $f(0, 3) = 9$, por tanto, los puntos $(1, 2, 5)$ y $(0, 3, 9)$ están en la gráfica de f .

- Forma implícita: $\underbrace{x^2 + y^2 + z^2 - 1}_{F(x,y,z)} = 0; z \geq 0$. Por ejemplo, si $x = 1$ y $y = 0$ entonces $z = 0$ y el punto $(1, 0, 0)$ está en la gráfica de la función.

Si $x = 1$ y $y = 1$ entonces $1^2 + 1^2 + z^2 = 1 \implies z^2 = -1$, es decir, $(1, 1)$ no está en el dominio de la función.

La **representación gráfica** de f corresponde a la representación de todos los puntos (x, y, z) que satisfacen la ecuación $z = f(x, y)$ o $F(x, y, z) = 0$.

 Ver con CDFPlayer

Requiere FreeCDF Player

Ejemplo 2.3

Consideremos la función $f(x, y) = 3 + \sqrt{1 - \frac{(x-2)^2}{4} - \frac{(y-3)^2}{9}}$. La función está bien definida si el subradical $1 - \frac{(x-2)^2}{4} - \frac{(y-3)^2}{9} \geq 0$, entonces el dominio máximo de esta función es el conjunto

$$D_f = \left\{ (x, y) \in \mathbb{R}^2 : \frac{(x-2)^2}{4} + \frac{(y-3)^2}{9} \leq 1 \right\},$$

es decir, D_f es la región encerrada por la elipse $\frac{(x-2)^2}{4} + \frac{(y-3)^2}{9} = 1$ (incluido el borde).

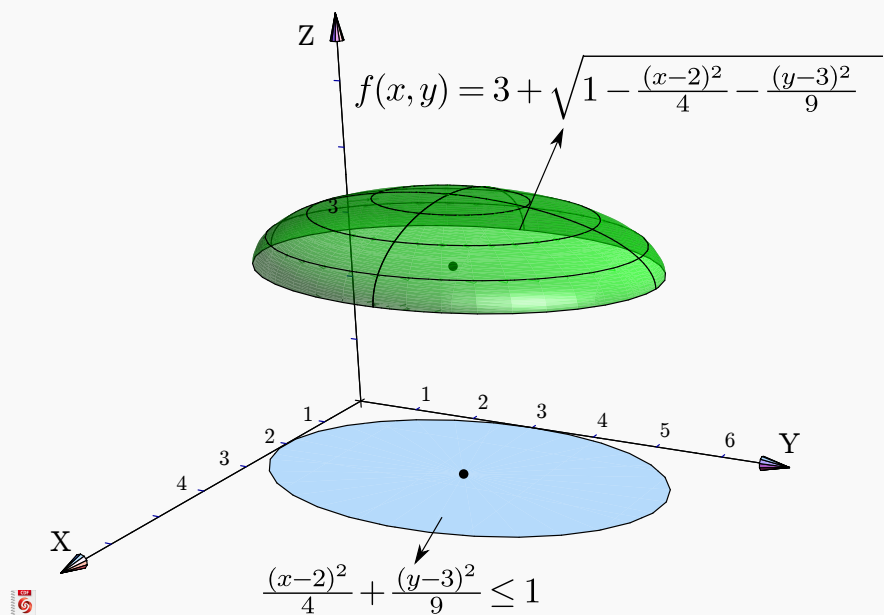


Figura 2.4: Dominio de la función $f(x, y) = 3 + \sqrt{1 - \frac{(x-2)^2}{4} - \frac{(y-3)^2}{9}}$ (en celeste)

Ejemplo 2.4

La función $z = \frac{1}{x^2 + y^2}$ solo se indefine en $(0, 0)$, entonces el dominio máximo de esta función es el conjunto

$$D_f = \mathbb{R}^2 - \{(0, 0)\}.$$

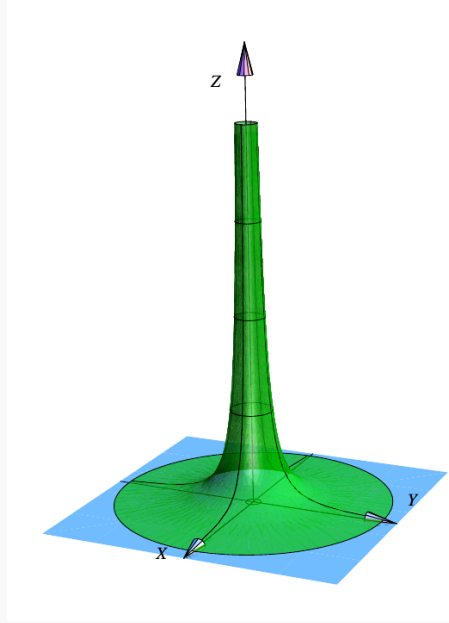


Figura 2.5: Dominio de la función $z = \frac{1}{x^2 + y^2}$ (en celeste)

Dominio y su representación gráfica.

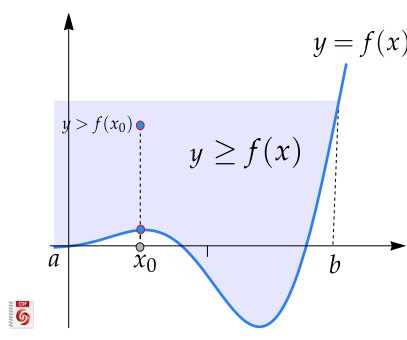
Como en funciones de una variable, el **dominio máximo** de f es el conjunto de puntos $(x,y) \in \mathbb{R}^2$ tal que $z = f(x,y)$ esté bien definida.

Representación gráfica de regiones definidas por desigualdades. En general, cualquier combinación de ecuaciones y desigualdades pueden definir una región, de manera implícita. En Esta sección se introduce casos sencillos. Una exposición más completa sobre representación de dominios la puede ver en el [apéndice 8.3](#)

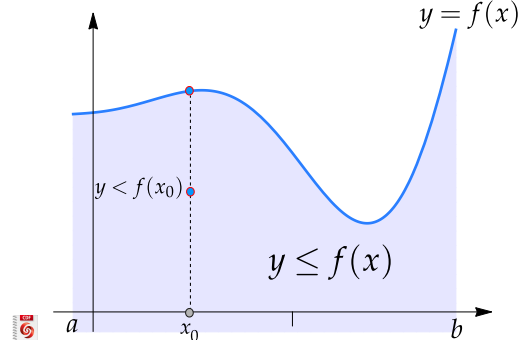
- Desigualdades del tipo $y \geq f(x)$ o $y \leq f(x)$ en un intervalo $[a,b]$.

La representación gráfica de la curva $y = f(x)$ consiste de la representación de los pares (x,y) con $y = f(x)$. Los puntos (x,y) con $y \geq f(x)$ conforman una región por encima de la representación gráfica de f (incluyendo esta representación) y, de manera análoga, los puntos (x,y) con $y \leq f(x)$ conforman una región por debajo de la representación gráfica de f (incluyendo esta representación.)

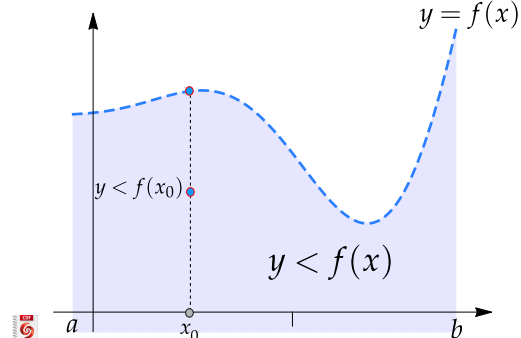
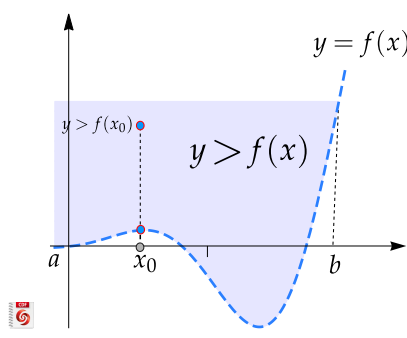
 Ver con CFDPlayer



Requiere FreeCDF Player



- Desigualdades del tipo $y > f(x)$ o $y < f(x)$ en un intervalo $[a,b]$. Este caso es similar al anterior, como la desigualdad es estricta, no incluye la curva $y = f(x)$.

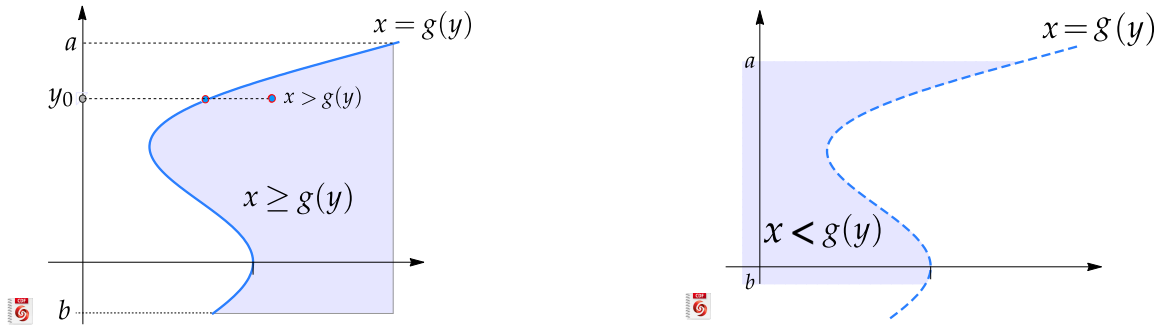


- Desigualdades del tipo $x \geq g(y)$ o $x \leq g(y)$ en un intervalo $[a,b]$.

La representación gráfica de la curva $x = g(y)$ consiste de la representación de los pares (x,y) con $x = g(y)$. Los puntos (x,y) con $y \geq g(x)$ conforman una región a la derecha de la representación gráfica de g (incluyendo esta

representación) y, de manera análoga, los puntos (x, y) con $x \leq g(y)$ conforman la región a la izquierda de la representación gráfica de g (incluyendo esta representación.)

Cuando la desigualdad es estricta, la región no incluye la curva.



Ejemplo 2.5 (Dominio de una función).

Determine y realice la representación gráfica del dominio de la función $z = \sqrt{3y - 6x + 3} + \ln(1 - x) + 1$

Solución: Necesitamos que $3y - 6x + 3 \geq 0$ y que $1 - x > 0$, es decir,

$$D_f = \{(x, y) \in \mathbb{R}^2 \text{ tal que } y \geq 2x - 1 \text{ y } x < 1\}$$

Representación gráfica: El dominio de f es la *intersección* de la región $y \geq 2x - 1$ (región arriba de la recta $y = 2x - 1$, incluida) y de la región $x < 1$ (región a la izquierda de la recta $x = 1$, sin incluirla).

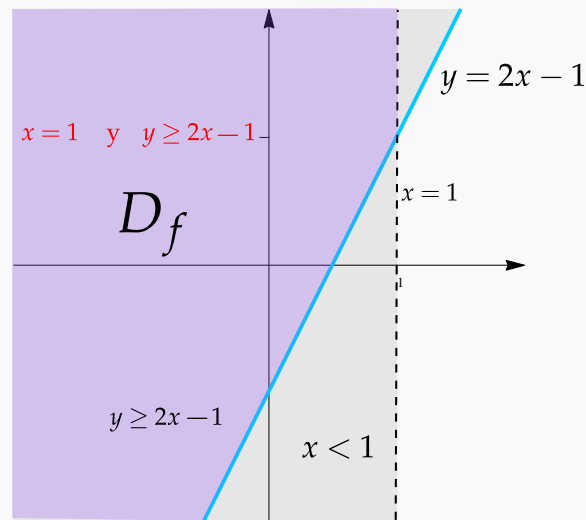


Figura 2.6: $D_f = \{(x, y) \in \mathbb{R}^2 \text{ tal que } y \geq 2x - 1 \text{ y } x < 1\}$

Ejemplo 2.6 (Dominio de una función).

Determine y realice la representación gráfica del dominio de la función

$$f(x,y) = \frac{1}{y^2 - 2y - 4x - 3} + \frac{1}{\sqrt{x-y}}$$

Solución: Necesitamos $x - y > 0$ y que $y^2 - 2y - 4x - 3 \neq 0$. Completando cuadrados obtenemos que la ecuación $y^2 - 2y - 4x - 3 = 0$ corresponde a la parábola $(y-1)^2 = 4(x+1)$.

$$D_f = \{(x,y) \in \mathbb{R}^2 \text{ tal que } y < x \text{ y } (y-1)^2 \neq 4(x+1)\}$$

Representación gráfica: El dominio de f es la región $y < x$ (región abajo de la recta $y = x$, sin incluirla) *excluyendo* la parábola $(y-1)^2 = 4(x+1)$.

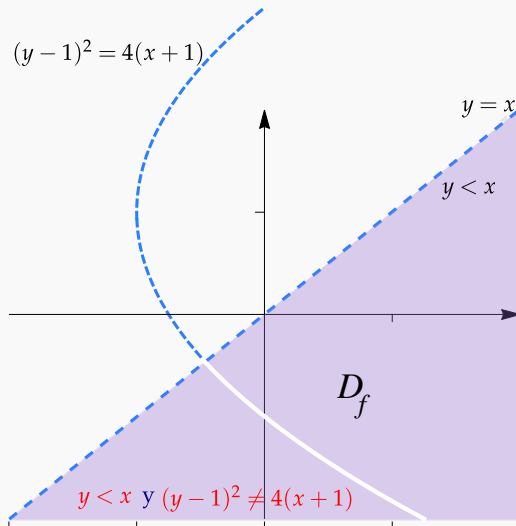


Figura 2.7: $D_f = \{(x,y) \in \mathbb{R}^2 \text{ tal que } y < x \text{ y } (y-1)^2 \neq 4(x+1)\}$

Ejemplo 2.7 (Dominio de una función).

Determine y realice la representación gráfica del dominio de la función $f(x,y) = \ln(x - y^2) + \sqrt{1 - y^2 - \frac{x^2}{2}}$

Solución: Necesitamos que $x - y^2 > 0$ y que $1 - y^2 - \frac{x^2}{2} \geq 0$, es decir,

$$D_f = \left\{ (x,y) \in \mathbb{R}^2 \text{ tal que } x > y^2 \text{ y } y^2 + \frac{x^2}{2} \leq 1 \right\}$$

Representación gráfica: El dominio de f es la *intersección* de la región $x > y^2$ (región a la derecha de la parábola $x = y^2$, sin incluirla) y de la región $y^2 + \frac{x^2}{2} \leq 1$ (el interior de la elipse $y^2 + \frac{x^2}{2} = 1$ incluyendo la elipse).

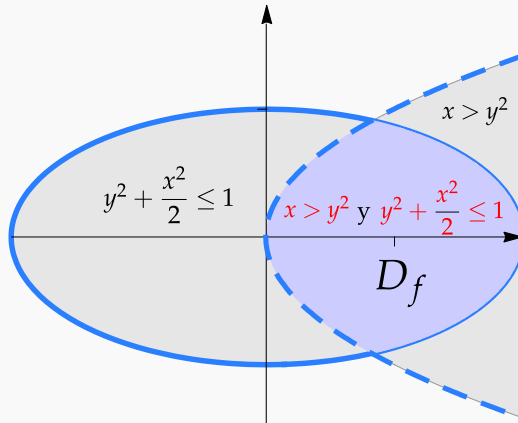


Figura 2.8: $D_f = \left\{ (x,y) \in \mathbb{R}^2 \text{ tal que } x > y^2 \text{ y } y^2 + \frac{x^2}{2} \leq 1 \right\}$

Ejemplo 2.8

Considere la función $f(x,y) = \frac{\log(x^2 - 3(y+2))}{x+y-1}$.

- Determine el dominio de la función f .
- Realizar la representación gráfica de este dominio.

Solución:

- $x^2 - 3(y+2) > 0 \implies y < \frac{x^2}{3} - 2$. Esto corresponde a la región por debajo de la parábola $y = \frac{x^2}{3} - 2$. Los puntos de la parábola no están en el dominio, por eso se dibuja “punteada”.
- $x+y-1 \neq 0 \implies y \neq 1-x$. Los puntos de esta recta no están en el dominio.
- $D_f = \{(x,y) \in \mathbb{R}^2 : y < \frac{x^2}{3} - 2 \wedge y \neq 1-x\}$

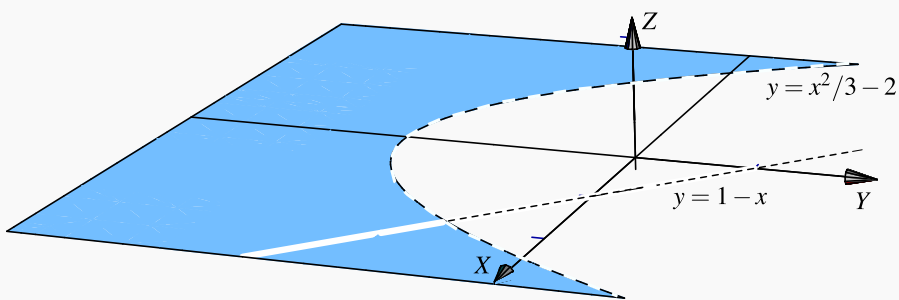


Figura 2.9: Dominio de la función $f(x,y) = \frac{\log(x^2 - 3(y+2))}{x+y-1}$.

Ejemplo 2.9

Consideremos la función $f(x,y) = \frac{2x+3}{\sqrt{y-x-2}}$.

- Determine el dominio de la función f .
- Realizar la representación gráfica de este dominio.

Solución: Los puntos (x,y) que están en el dominio son puntos tales que $y - x - 2 > 0$. Así que dominio máximo es

$$D_f = \{(x,y) \in \mathbb{R}^2 \text{ tq } y > x + 2\}.$$

Esto corresponde a la región que está sobre la recta $y = x + 2$.

La representación gráfica de este dominio corresponde a la región que está por encima de la recta $y = x + 2$ y se debe excluir la recta, por eso se dibuja “punteada”.

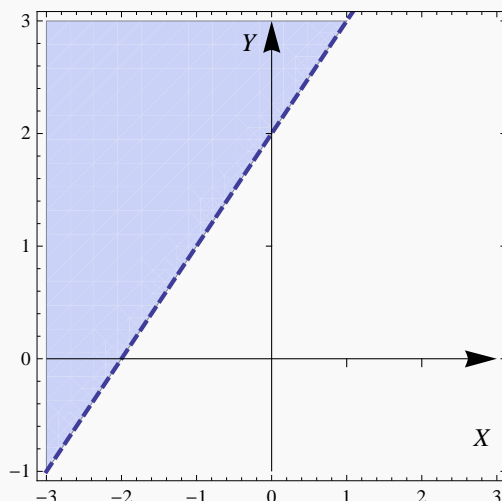
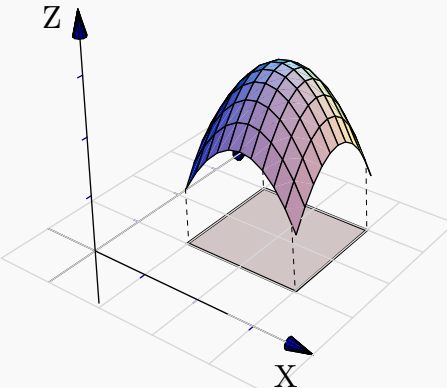


Figura 2.10: Dominio de la función $f(x,y) = \frac{2x+3}{\sqrt{y-x-2}}$.

Ejemplo 2.10

Consideremos la función $f(x,y) = 3 - (x-2)^2 - (y-2)^2$. Su dominio máximo es \mathbb{R}^2 . Frecuentemente hacemos la representación gráfica de f sobre un *dominio restringido*, por ejemplo sobre el conjunto $D = [1, 3] \times [1, 3]$,

**Figura 2.11:** f restringida a $D = [1, 3] \times [1, 3]$ **4****Ejercicios**

2.2.1 Considere la función $f(x,y) = \frac{\sqrt{(x-4)^2 + y^2 - 1}}{xy}$. Indique el dominio máximo de f y realice la representación gráfica.

2.2.2 Considere la función $f(x,y) = \frac{\sqrt{(y+1)^2 - x - 1}}{\log(x-y)}$. Indique el dominio máximo de f y realice la representación gráfica.

2.2.3 Considere la función $f(x,y) = \frac{3y - 6x + 3}{\ln(1-x) + 1}$. Indique el dominio máximo de f y realice la representación gráfica.

2.2.4 Considere la función $f(x,y) = \frac{\sqrt{1 - x^2 - \frac{y^2}{4}}}{x-y} + \sqrt{x-y}$. Indique el dominio máximo de f y realice la representación gráfica.

2.3 Curvas y Superficies en \mathbb{R}^3

Nos interesan las superficies de ecuación $z = f(x,y)$, es decir, las superficies formadas por los puntos (x,y,z) que satisfacen la ecuación $z = f(x,y)$ o también en la forma $F(x,y,z) = 0$.

A veces decimos “superficie de ecuación (explícita) $z = f(x,y)$ ” o “superficie de ecuación (implícita) $F(x,y,z) = 0$ ”. Como sugiere el ejemplo 2.2, un bosquejo de una superficie se puede hacer con un conjunto de curvas; a estas curvas se les

llama ‘trazas’ o ‘cortes verticales y horizontales’. En esta sección vamos a ocuparnos con superficies simples: Planos, superficies cilíndricas y superficies cuádricas¹

Curvas en el espacio.

Una manera de describir una curva en el plano XY es por medio de su ecuación cartesiana $F(x, y) = c$. Por ejemplo, una circunferencia de radio a tiene ecuación: $x^2 + y^2 = a^2$. Desde este punto de vista, una curva C definida por esta ecuación es un conjunto de puntos, a saber,

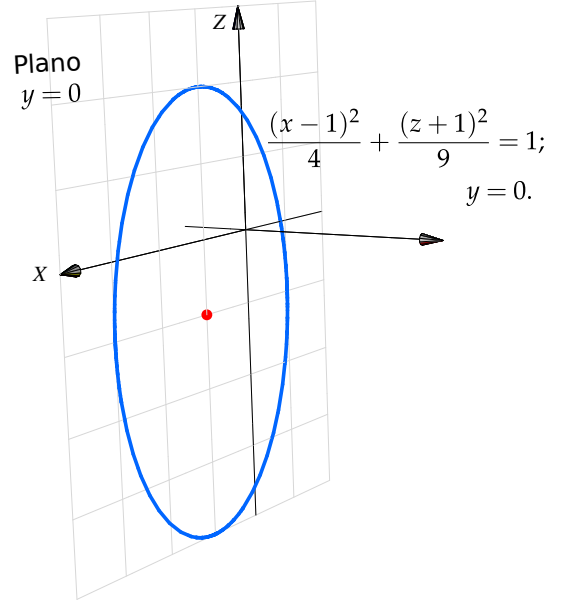
$$C = \{(x, y) \in \mathbb{R}^2 \mid F(x, y) = c\}$$

Las curvas en \mathbb{R}^3 podrían ser definidas por un par de ecuaciones (como intersección de dos superficies),

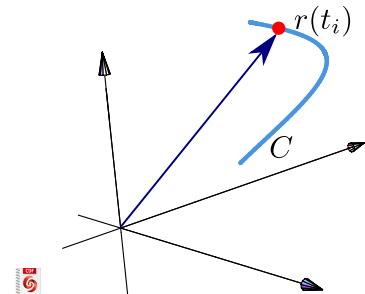
$$F_1(x, y, z) = c_1; \quad F_2(x, y, z) = c_2,$$

Por ejemplo, en el espacio tridimensional, la elipse de ecuación $\frac{(x-1)^2}{4} + \frac{(z+1)^2}{9} = 1$ (en el plano XZ) tendría ecuación

$$\frac{(x-1)^2}{4} + \frac{(z+1)^2}{9} = 1; \quad y = 0.$$



Ecuación paramétrica. En el capítulo 7 (integrales sobre una línea) necesitaremos describir un curva con un parámetro. La manera de definir una curva con un parámetro es considerar la curva como el lugar geométrico de un punto en movimiento, $r(t)$ es la posición del punto en el instante t . La curva es descrita por una función $r(t)$ de parámetro t . Para curvas planas: $r: \mathbb{R} \rightarrow \mathbb{R}^2$, $r(t) = x(t)\hat{i} + y(t)\hat{j}$. Para curvas en el espacio $r: \mathbb{R} \rightarrow \mathbb{R}^3$, $r(t) = x(t)\hat{i} + y(t)\hat{j} + z(t)\hat{k}$.



¹Un cono es una superficie si removemos el vértice.

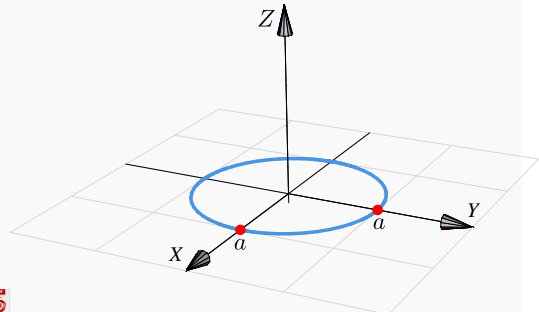
Ejemplo 2.11

En el espacio tridimensional, una circunferencia en el plano XY , de radio a y centrada en el origen, se puede describir de varias maneras, por ejemplo,

- Ecuación cartesiana: $x^2 + y^2 = a^2; z = 0$.

- Una ecuación paramétrica:

$$r(t) = a \cos t \hat{i} + a \sin t \hat{j} + 0 \cdot \hat{k}; t \in [0, 2\pi].$$



cdfCap2-CSCDFCurvasEj2.11.nb

Curvas en los planos XY , XZ y YZ . En general, “ $F(x, y) = 0; z = 0$ ” es la ecuación de una curva en el plano XY . De manera análoga, “ $F(x, z) = 0; y = 0$ ” corresponde a una curva en el plano XZ y “ $F(y, z) = 0; x = 0$ ” corresponde a una curva en el plano YZ .

Ejemplo 2.12

Realizar la representación gráfica, en el espacio, de la curva $C_1 : x + y = 3; z = 0$

Solución:

- La curva $C : x + y = 3; z = 0$, corresponde a una recta en el plano XY . Interseca al eje X en $x = 3$ y al eje Y en $y = 3$.
- Una parametrización es $x(t) = t$, $y(t) = 3 - t$ y $z(t) = 0$, es decir, $C : r(t) = t \hat{i} + (3 - t) \hat{j} + 0 \cdot \hat{k}; t \in \mathbb{R}$

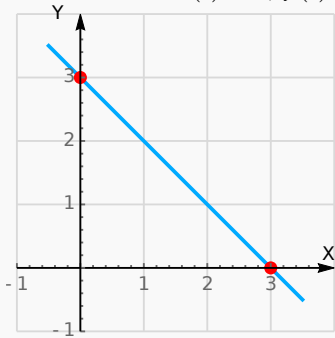


Figura 2.12: Recta $x + y = 3$ en el plano XY

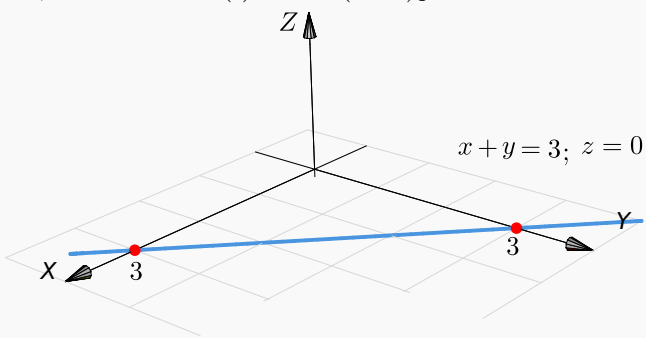


Figura 2.13: Recta $x + y = 3$ en el espacio tridimensional

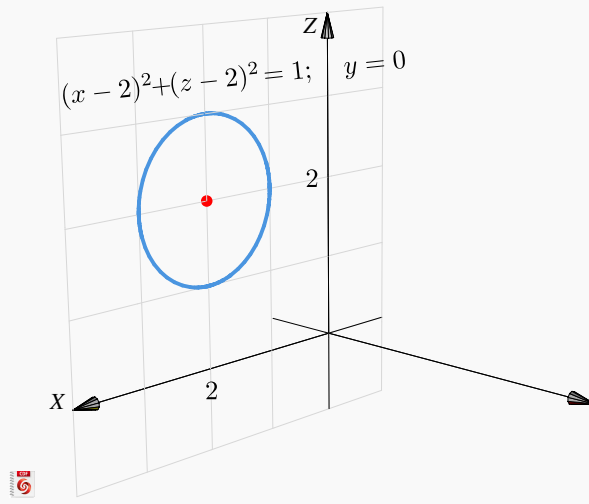
Ejemplo 2.13

Realizar la representación gráfica, en el espacio, de la curva $C : (x - 2)^2 + (z - 2)^2 = 1; y = 0$.

Solución:

- La curva $C : (x - 2)^2 + (z - 2)^2 = 1; y = 0$ corresponde a una circunferencia de radio 1 en el plano XZ . Su centro es $(2, 0, 2)$.
- Una parametrización es

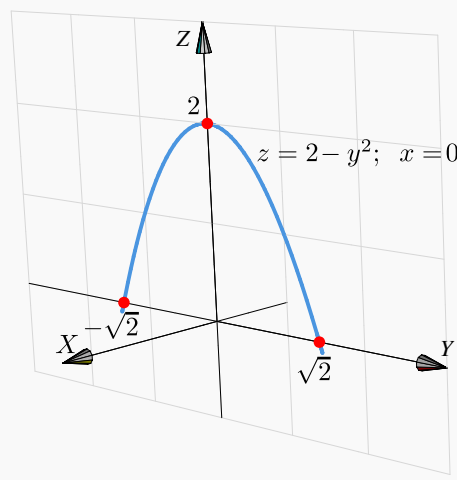
$$C : r(t) = (2 + \cos t)\hat{\mathbf{i}} + 0 \cdot \hat{\mathbf{j}} + (2 + \sin t)\hat{\mathbf{k}}; \quad t \in [0, 2\pi]$$

**Ejemplo 2.14**

Realizar la representación gráfica, en el espacio, de la curva $C_3 : z = 2 - y^2; x = 0$.

Solución:

- La curva C_3 es la parábola $: y^2 = -(z - 2)$ (cónica hacia abajo) en el plano YZ . El vértice es $(0, 0, 2)$ e interseca al eje X en $x = \sqrt{2}$ y $x = -\sqrt{2}$.
- Una parametrización es $C : r(t) = 0 \cdot \hat{\mathbf{i}} + t\hat{\mathbf{j}} + (2 - t^2)\hat{\mathbf{k}}; \quad t \in \mathbb{R}$



5

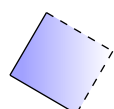
Ejercicios

2.3.1 Realizar la representación gráfica, en el espacio, de las curvas

- $z = 4 - x^2; y = 0.$
- $(z - 2)^2 + (y - 2)^2 = 4; x = 0.$
- $\frac{(y - 1)^2}{4} + x^2 = 1; z = 0.$
- $z + 2y = 4; x = 0.$
- $z^2 - y^2 = 4; x = 0.$
- $z^2 - x^2 = 4; y = 0.$
- $y^2 - x^2 = 4; z = 0.$

2.3.2 ¿Es $(x - 1)^2 + (y + 2)^2 + z^2 = 0$ la ecuación de una curva?

Planos



Possiblemente los planos son las superficies más sencillas de dibujar. La ecuación cartesiana de un plano es $ax + by + cz = d$ con $a^2 + b^2 + c^2 \neq 0$ (se prohíbe el caso $a = b = c = 0$). Para realizar la representación gráfica de un plano Π nos basamos en el hecho de que si P, Q son dos puntos en este plano, entonces la recta (o cualquier segmento de ella) que contiene a estos puntos, está en el plano. En la práctica necesitamos al menos dos segmentos de recta para dibujar una parte del plano, mediante un triángulo o un paralelogramo.

Planos de ecuación cartesiana con dos variables ausentes.

La ausencia de variables en la ecuación solo significa que estas variables tienen coeficiente nulo y, por tanto, estas variables pueden tomar valores arbitrarios.

Por ejemplo el plano $\Pi : 0 \cdot x + 0 \cdot y + z = 2$ es el plano $z = 2$, es decir, $\Pi = \{(x, y, 2) : x, y \in \mathbb{R}\}$. De aquí en adelante,

 Ver con CDFPlayer

Requiere FreeCDF Player

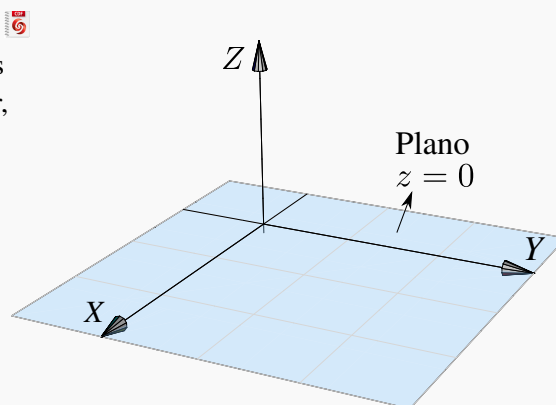
- El plano $x = a$ es el plano $\Pi = \{(a, y, z) : y, z \in \mathbb{R}\}$.
- El plano $y = b$ es el plano $\Pi = \{(x, b, z) : x, z \in \mathbb{R}\}$.
- El plano $z = c$ es el plano $\Pi = \{(x, y, c) : x, y \in \mathbb{R}\}$.

Ejemplo 2.15

- El plano $\Pi : z = 0$ lo constituyen todos los puntos de la forma $(x, y, 0)$ con $x, y \in \mathbb{R}$ arbitrarios, es decir, el plano $z = 0$ es el plano XY .

- Una parametrización es

$$\Pi : r(t, s) = t \hat{\mathbf{i}} + s \hat{\mathbf{j}} + 0 \cdot \hat{\mathbf{k}}, \quad (t, s) \in \mathbb{R} \times \mathbb{R}.$$



Ejemplo 2.16

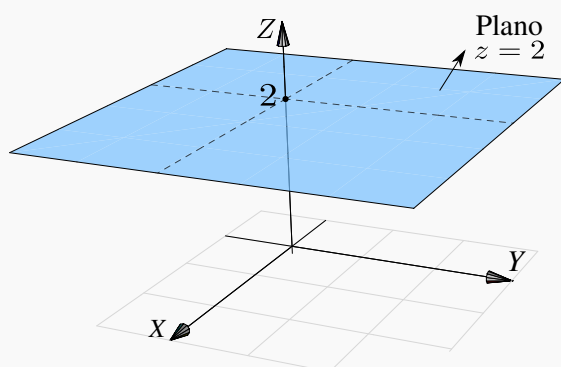
Dibujar el plano $z = 2$.

Solución:

- El plano $z = 2$ lo constituyen todos los puntos de la forma $(x, y, 2)$ con $x, y \in \mathbb{R}$ arbitrarios, es decir, es un plano paralelo al plano XY que pasa por la coordenada $z = 2$.

- Una parametrización es

$$\Pi : r(t, s) = t \hat{\mathbf{i}} + s \hat{\mathbf{j}} + 2 \cdot \hat{\mathbf{k}}, \quad (t, s) \in \mathbb{R} \times \mathbb{R}.$$



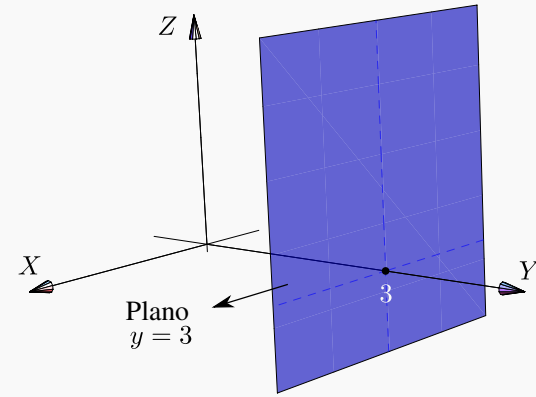
Ejemplo 2.17

Dibujar el plano $y = 3$.

Solución:

- El plano $\Pi : y = 3$ lo constituyen todos los puntos de la forma $(x, 3, z)$ con $x, z \in \mathbb{R}$, es decir, es un plano paralelo al plano YZ que pasa por la coordenada $y = 3$.
- Una parametrización es

$$\Pi : r(t, s) = t \hat{\mathbf{i}} + 3 \cdot \hat{\mathbf{j}} + s \hat{\mathbf{k}}, \quad (t, s) \in \mathbb{R} \times \mathbb{R}.$$

**Planos de ecuación cartesiana con una variable ausente.**

Cuando hay una variable ausente (*i.e.*, una variable con coeficiente nulo), el plano está ‘generado’ por la recta determinada por las variables presentes.

Ejemplo 2.18

Dibujar el plano $x + y = 2$.

Solución:

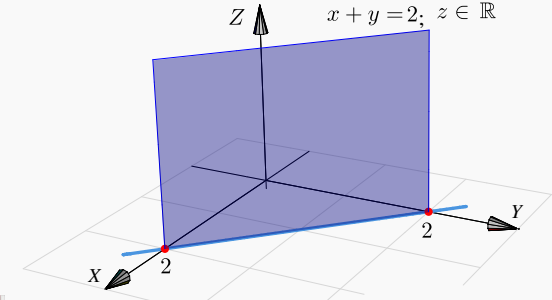
- El plano $\Pi : x + y = 2$ es el conjunto de puntos

$$\{(x, y, z) : x + y = 2, z \in \mathbb{R}\}$$

Las coordenadas x e y están sobre la recta $x + y = 2$, $z = 0$ y la coordenada z es arbitraria.

- Una parametrización es

$$\Pi : r(t, s) = t \hat{\mathbf{i}} + (2 - t) \hat{\mathbf{j}} + s \hat{\mathbf{k}}, \quad (t, s) \in \mathbb{R} \times \mathbb{R}.$$

**Ejemplo 2.19**

Dibujar el plano $y + z = 3$.

Solución:

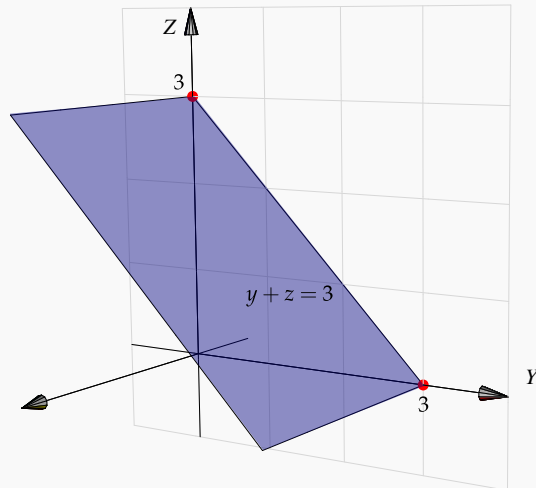
- El plano $\Pi : y + z = 3$ es el conjunto de puntos

$$\{(x, y, z) : y + z = 3, x \in \mathbb{R}\}$$

Las coordenadas y y z están sobre la recta $y + z = 3$, $x = 0$ y la coordenada x es arbitraria.

- Una parametrización es

$$\Pi : r(t, s) = t \hat{\mathbf{i}} + s \hat{\mathbf{j}} + (3 - s) \hat{\mathbf{k}}, \quad (t, s) \in \mathbb{R} \times \mathbb{R}.$$



Planos de ecuación cartesiana sin variables ausentes. Podemos distinguir entre los que pasan por el origen y los que no.

Una forma sencilla para dibujar planos que *no* contienen el origen consiste en determinar la intersección del plano con cada eje coordenado y trazar los segmentos de recta que unen estos puntos. En caso necesario, se pueden extender dos de estos segmentos y formar un paralelogramo.

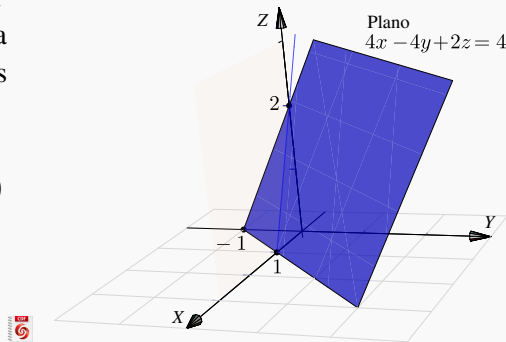
Ejemplo 2.20

Dibujar el plano $4x - 4y + 2z = 4$

Solución:

- El plano interseca a los ejes coordinados en $x = 1$, $y = -1$ y $z = 2$. Podemos usar el segmento que va de $x = 1$ a $y = -1$ y el segmento que va de $y = -1$ a $z = 2$. Con estos dos segmentos podemos dibujar un paralelogramo.
- Como los puntos $A = (1, 0, 0)$, $B = (0, -1, 0)$, $C = (0, 0, 2)$ están en el plano, una parametrización es

$$\begin{aligned} \Pi : r(t, s) &= A + t \cdot (B - A) + s \cdot (C - A) \\ &= t \hat{\mathbf{i}} + (t + s - 1) \hat{\mathbf{j}} + 2s \hat{\mathbf{k}}; \quad s, t \in \mathbb{R}. \end{aligned}$$



Planos que contienen el origen. Para dibujar planos que contienen el origen se anula una de las variables y se dibuja una primera recta resultante en el plano correspondiente. Luego se anula otra variable y se dibuja una segunda recta en el

plano correspondiente. Tomamos dos segmentos, uno en cada recta y formamos un paralelogramo.

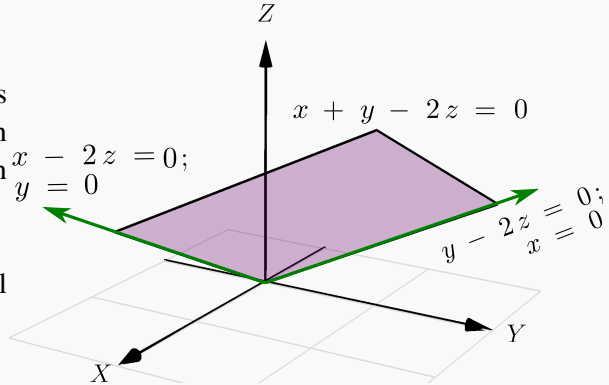
Ejemplo 2.21

Dibujar el plano $x + y - 2z = 0$.



Solución:

- Como el plano $x + y - 2z = 0$ pasa por el origen, podemos usar un segmento de la recta $x - 2z = 0; y = 0$ y un segmento de la recta $y - 2z = 0; x = 0$, para dibujar un paralelogramo que represente al plano.
 - Para obtener una parametrización, usamos los puntos del plano $A = (3, 0, 1.5)$, $B = (0, 0, 0)$ y $C = (0, 3, 1.5)$,
- $$\begin{aligned}\Pi : r(t, s) &= A + t \cdot (B - A) + s \cdot (C - A) \\ &= 3t\hat{i} + 3s\hat{j} + 1.5(s+t)\hat{k}; \quad s, t \in \mathbb{R}.\end{aligned}$$



6

Ejercicios

🕒 2.3.3 Dibujar los planos que se indican a continuación:

- $2z + y = 2$
- $x = 2$
- $x - y - z = 0$
- $x + y - z = 2$
- $2x + 2y + 2z = 2$

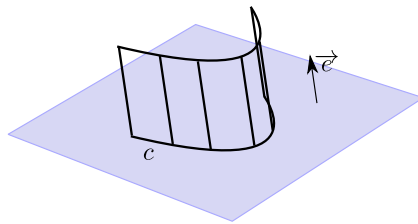
🕒 2.3.4 Dibujar el plano $4x - 4y + 2z = 4$ en el primer octante.

Superficies cilíndricas o “cilindros”.

El término “cilindro” tiene varios significados relacionados y puede ser un concepto algo confuso. La palabra “cilindro” probablemente evoque la imagen de un cilindro circular recto, pero en cálculo en varias variables *un cilindro* (cilindro generalizado) se refiere a una superficie generada por una curva: Un cilindro es una superficie formada por una familia de rectas paralelas, llamadas *generatrices*, que pasan por los puntos respectivos de una cierta curva *directriz*. Si la directriz vive en un plano y si la generatriz es perpendicular a este plano, el cilindro se le dice “cilindro recto”. Un cilindro es un

caso particular de una superficie *reglada*.

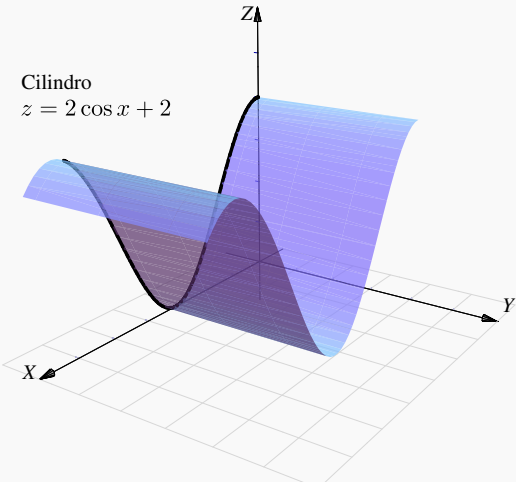
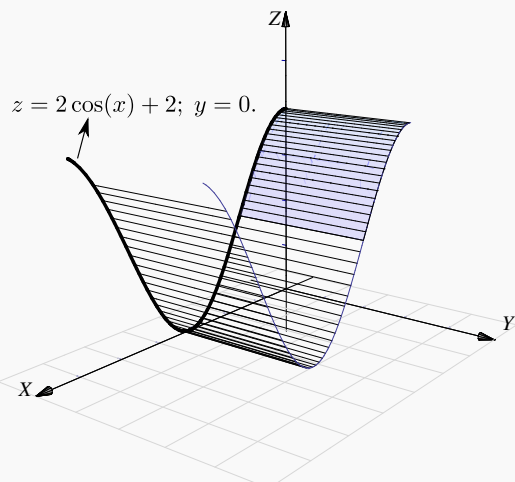
En este libro solo se consideran cilindros (generalizados) de ecuación $r(t, s) = c(t) + s \cdot \vec{e}$; $t \in I$, $s \in \mathbb{R}$ donde $c(t)$ es la parametrización de una curva que está en alguno de los planos XY , YZ o XZ y \vec{e} es un vector perpendicular al plano correspondiente.



Es decir, en nuestro caso, las superficies con ecuación en *dos* de las tres variables x, y y z van a ser cilindros rectos, con línea generatriz paralela al eje asociado con la variable ausente (en este libro, la línea generatriz es el eje asociado a la variable ausente!). Por ejemplo, el cilindro de ecuación $z = 1 - x^2$ tiene generatriz paralela al eje Y mientras que el cilindro $y^2 + (z - 1)^2 = 1$ tiene generatriz paralela al eje X .

Ejemplo 2.22

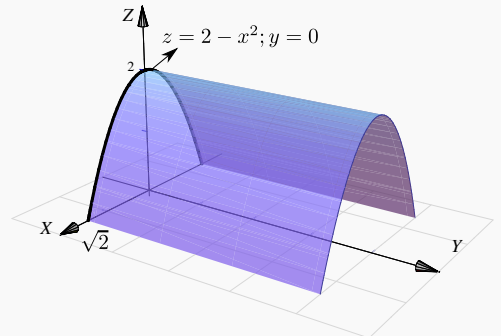
Para dibujar el cilindro de ecuación $z = 2\cos(x) + 2$ primero deberíamos dibujar la curva de ecuación $z = 2\cos(x) + 2$; $y = 0$. Luego, según nuestro convenio, la superficie cilíndrica $z = 2\cos(x) + 2$ tiene línea generatriz paralela al eje Y . Para obtener una parametrización de esta superficie, tomamos $x = t$ y $z = 2\cos(x) + 2$, $y = s$ es libre. $r(t, s) = (t, s, 2\cos t + 2)$, $t, s \in \mathbb{R}$,



Ejemplo 2.23

El cilindro de ecuación $z = 2 - x^2$ es una superficie cilíndrica generada por la parábola $z = 2 - x^2, y = 0$; con línea generatriz paralela al eje Y .

Para obtener una parametrización de esta superficie, usamos la ecuación de la curva en el plano XZ , tomamos $x = t$ y $z = 2 - t^2$. La coordenada $y = s$ es libre. $r(t, s) = (t, \textcolor{red}{s}, 2 - t^2)$, $t, s \in \mathbb{R}$.

**Ejemplo 2.24**

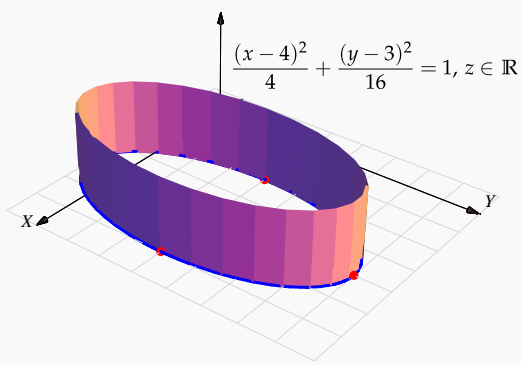
Dibujar el cilindro de ecuación $\frac{(x-4)^2}{4} + \frac{(y-3)^2}{16} = 1$.

Solución: La superficie cilíndrica generada por la elipse de ecuación $\frac{(x-4)^2}{4} + \frac{(y-3)^2}{16} = 1$ tiene su línea generatriz paralela al eje Z .

Una parametrización de esta superficie es

$$r(t, s) = (4 + 2 \cos t, 3 + 4 \sin t, \textcolor{red}{s}), t \in [0, 2\pi], s \in \mathbb{R}.$$

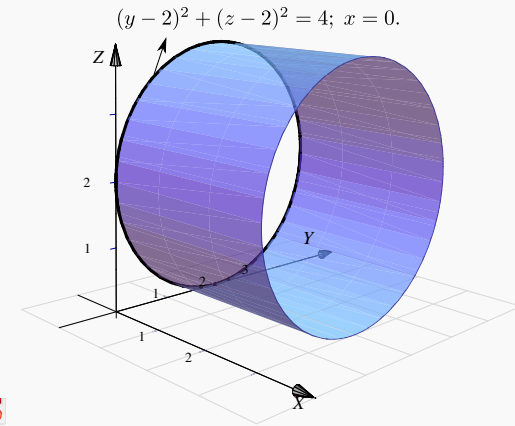
Aquí tomamos $x(t) = 4 + 2 \cos t$ y $y(t) = 3 + 4 \sin t$. $z = s$ es libre.



Ejemplo 2.25

Dibujar el cilindro de ecuación $(y - 2)^2 + (z - 2)^2 = 4$.

Solución: La superficie cilíndrica generada por la circunferencia $(y - 2)^2 + (z - 2)^2 = 4$ tiene su línea generatriz paralela al eje X . Una parametrización de esta superficie es $r(t, s) = (2 + 2\cos t, s, 2 + 2\sin t)$, $t \in [0, 2\pi]$, $s \in \mathbb{R}$. La circunferencia en el plano XZ se parametriza con $x = 2 + 2\cos t$ y $z = 2 + 2\sin t$. $y = s$ es libre.



2.4 Superficies cuadráticas.

Rotar una cónica (no degenerada) alrededor de su eje focal, por ejemplo, produce un caso especial de un conjunto más general de superficie llamadas *superficies de segundo orden*. Estas superficies satisfacen una ecuación de segundo grado en x , y y z y también son llamadas *superficies cuadráticas* o *cuádricas* [16].

La curva de intersección entre un plano y una superficie cuadrática es una cónica. Hay 17 tipos estándar de cuádricas, algunas de ellas son: parabolóide, esfera, esferoide, elipsoide, cono, hiperbolóide, cilindro, cono elíptico, cilindro elíptico, hiperbolóide elíptico, parabolóide elíptico, etc.

Aquí solo consideramos cuádricas en posición estándar (sin rotación). Estas superficies tienen ecuación

$$Ax^2 + By^2 + Cz^2 + Dx + Ey + Fz + G = 0.$$

Curvas de nivel y trazas.

Si S es una superficie en el espacio de ecuación $F(x, y, z) = 0$, todos los pares $(x, y) \in \mathbb{R}^2$ que satisfacen la ecuación $F(x, y, c) = 0$ definen una curva en el plano XY (siempre y cuando este conjunto no sea vacío). A esta curva se le llama una *curva de nivel* de la superficie. Geométricamente corresponden a la proyección sobre el plano XY , de el corte del plano $z = c$ con la superficie S .

También nos interesa dibujar la curva como una curva en el espacio. Por abuso del lenguaje se dice “la curva de nivel $z = c$ ” para indicar la curva de nivel “ $F(x, y, c) = 0$; $z = c$ ”. A las curvas “ $F(x, y, c) = 0$; $z = c$ ” (si existen) les llamamos ‘trazas’

o ‘cortes’ de la superficie.

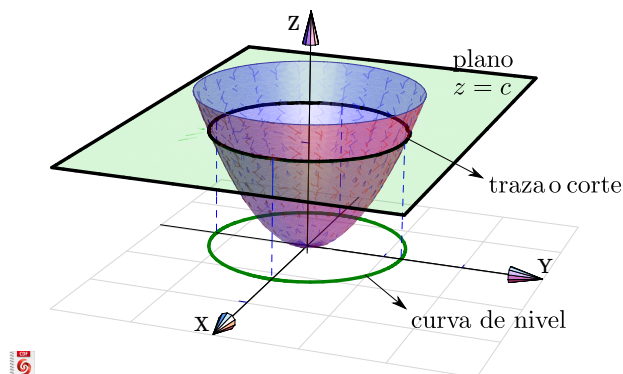


Figura 2.14: Traza o corte $z = c$ y curva de nivel.

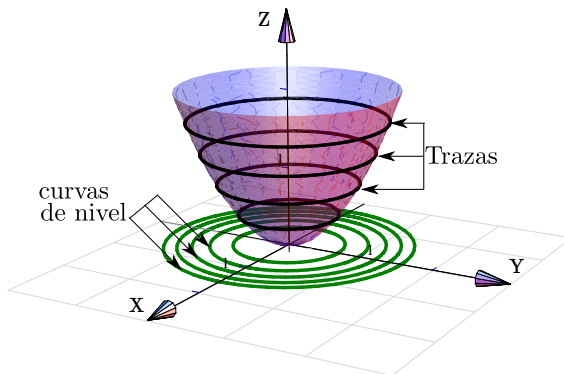


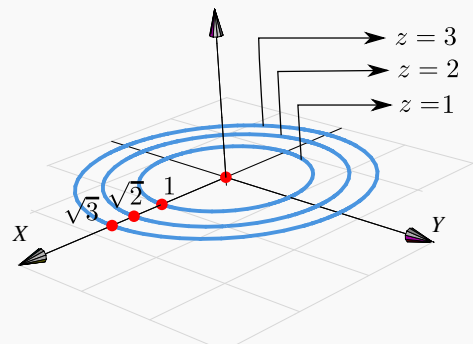
Figura 2.15: Algunas curvas de nivel y algunas trazas.

Como se deduce fácilmente, si nos movemos sobre una curva de nivel $z = c$, la función se mantiene constante.

Ejemplo 2.26

Consideremos la superficie de ecuación $z = x^2 + y^2$. Como z es una suma de cuadrados, z debe ser ≥ 0 . Vamos a dibujar las curvas de nivel correspondientes a $z = 0, 1, 2$ y $z = 3$.

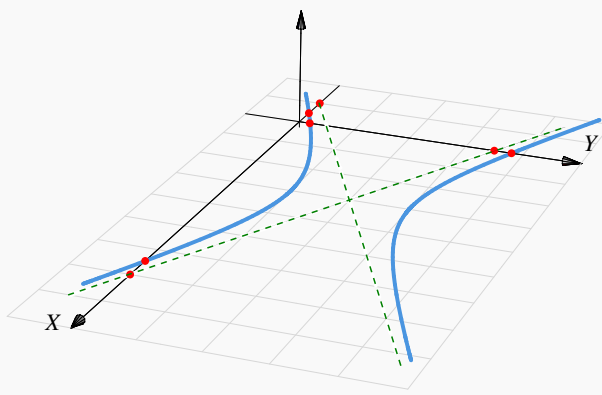
- La curva de nivel $z = 0$ es el punto $(0, 0, 0)$
- La curva de nivel $z = 1$: circunferencia $1 = x^2 + y^2$; $z = 0$.
- La curva de nivel $z = 2$: circunferencia $2 = x^2 + y^2$; $z = 0$.
- La curva de nivel $z = 3$: circunferencia $3 = x^2 + y^2$; $z = 0$.



Ejemplo 2.27

Consideremos la superficie de ecuación $z = (y - 2)^2 - \frac{(x - 3)^2}{4}$. Vamos a dibujar las curvas de nivel correspondientes a $z = 0$ y $z = 1$.

- Si $z = 0$ tenemos $(y - 2)^2 = \frac{(x - 3)^2}{4}$, es decir, un par de rectas: $y = 2 \pm \frac{(x - 3)}{2}$; $z = 0$.
- La curva de nivel $z = 1$ es la hipérbola $1 = (y - 2)^2 - \frac{(x - 3)^2}{4}$; $z = 0$.



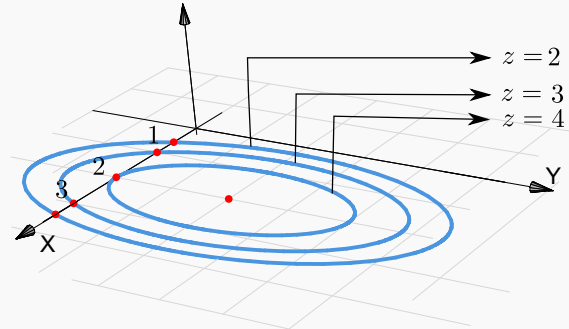
Ejemplo 2.28

Consideremos la superficie de ecuación $z - 1 = (x - 2)^2 + \frac{(y - 2)^2}{4}$. Dibujar las curvas de nivel correspondientes a $z = 1, 2, 3$ y $z = 4$.

Solución:

- La curva de nivel $z = 1$ es el punto $(2, 2, 0)$.
- La curva de nivel $z = 2$ es la elipse $1 = (x - 2)^2 + \frac{(y - 2)^2}{4}$.
- La curva de nivel $z = 3$ es la elipse $2 = (x - 2)^2 + \frac{(y - 2)^2}{4}$, es decir,

$$1 = \frac{(x - 2)^2}{2} + \frac{(y - 2)^2}{8}$$
.
- La curva de nivel $z = 4$ es la elipse $3 = (x - 2)^2 + \frac{(y - 2)^2}{4}$, es decir, $1 = \frac{(x - 2)^2}{3} + \frac{(y - 2)^2}{12}$.



Trazas o cortes. Con el fin de realizar el dibujo de una superficie S de ecuación explícita $z = f(x, y)$ o de ecuación implícita $F(x, y, z) = 0$, procedemos a realizar cortes a esta superficie con planos paralelos a los planos coordenados. Estas curvas son llamadas *trazas o cortes* y producen un dibujo ‘de alambre’ de la superficie a dibujar.

Para describir las trazas por ecuaciones se procede de la siguiente manera:

- Si la traza resulta de la intersección de la superficie S con el plano $x = c$, entonces su ecuación es “ $z = f(c, y); x = c$ ” o “ $F(c, y, z) = 0; x = c$,” y se representa en el plano $x = c$.
- Si la traza resulta de la intersección de la superficie S con el plano $y = c$, entonces su ecuación es “ $z = f(x, c); y = c$ ” o “ $F(x, c, z) = 0; y = c$,” y se representa en el plano $y = c$.

- Si la traza resulta de la intersección de la superficie S con el plano $z = c$, entonces su ecuación es “ $c = f(x, y)$, $z = c$ ” o “ $F(x, y, c) = 0$, $z = c$ ” y se representa en el plano $z = c$.

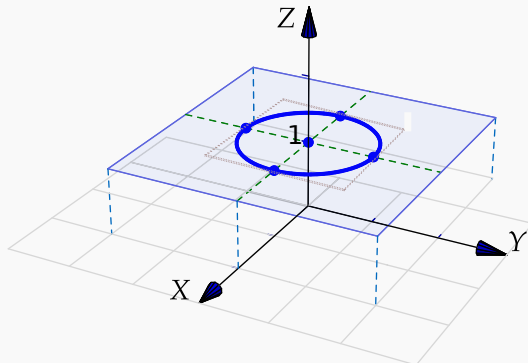
Ejemplo 2.29

Consideremos la superficie de ecuación $z = x^2 + y^2$. Dibujar la traza $z = 1$.

Solución: La traza $z = 1$ es la circunferencia

$$1 = x^2 + y^2; \quad \text{con } z = 1.$$

La curva se representa en el plano $z = 1$. Como la circunferencia vive en el plano $z = 1$, para dibujarla ubicamos su centro $(0, 0, 1)$ y trazamos un par de rectas paralelas a los ejes X e Y que pasen por este punto, estas líneas las podemos usar como “ejes” para dibujar este tipo de elipse.



La “caja” punteada que pasa por los vértices de la curva, nos ayuda a hacer el trazo de la curva “en perspectiva”

Estrategia general: Trasladar los ejes. Para dibujar trazas, una estrategia consiste en trasladar los ejes al plano de dibujo: $x = c$; $y = c$ o $z = c$.

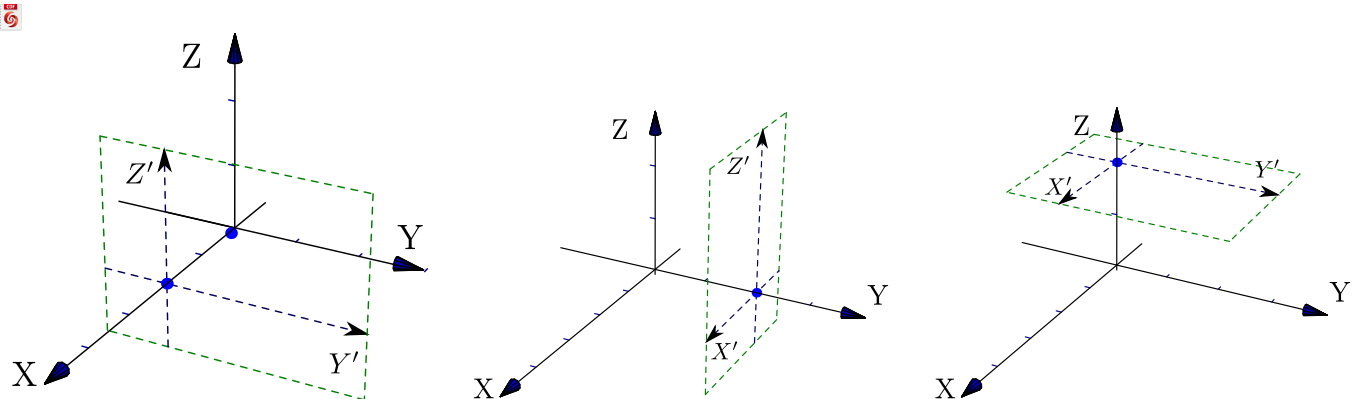


Figura 2.16: Traslación de ejes

Ejemplo 2.30

Consideremos la superficie S de ecuación $4(y - 1)^2 + 4(z - 1)^2 = x^2$. Dibujar la traza $x = 2$.

Solución: La traza $x = 2$ es la curva $(y - 1)^2 + (z - 1)^2 = 1; x = 2$.

Para dibujar la traza primero trasladamos los ejes al plano $x = 2$, luego dibujamos la curva en el plano YZ . Finalmente dibujamos la curva “ $(y - 1)^2 + (z - 1)^2 = 1; x = 2$ ” usando los ejes $Y'Z'$

 Ver con CFDPlayer

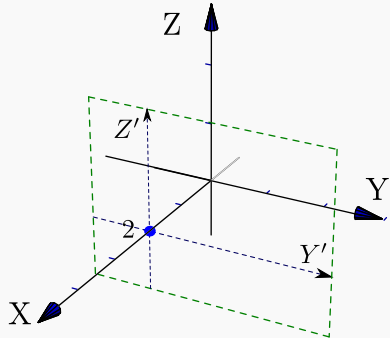


Figura 2.17: Traslación de ejes

Requiere FreeCDF Player

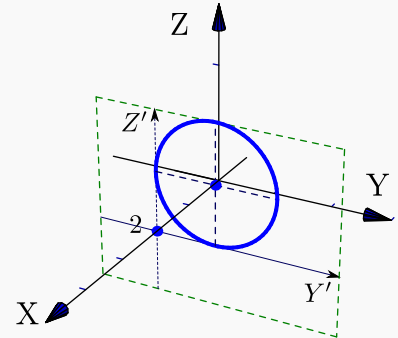


Figura 2.19: Traza $x = 2$

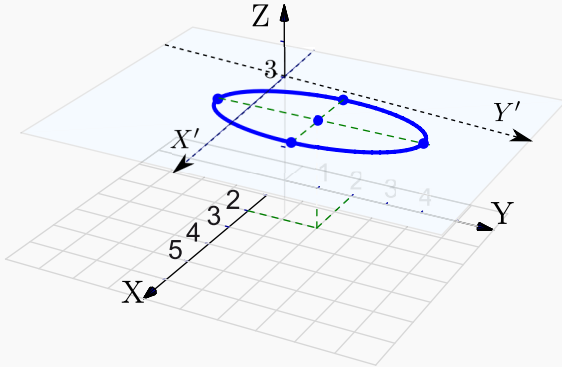
Ejemplo 2.31

Consideremos la superficie de ecuación $z - 1 = (x - 2)^2 + \frac{(y - 2)^2}{4}$. Dibujar la traza $z = 3$.

Solución: La traza $z = 3$ es la elipse

$$\frac{(x-2)^2}{2} + \frac{(y-2)^2}{8} = 1 \quad \text{en el plano } z=3.$$

Como la elipse vive en el plano $z = 3$, para dibujarla ubicamos su centro $(2, 2, 3)$ y trazamos un par de semiejes X' y Y' paralelos a los ejes X e Y que pasen por este punto, estas líneas las podemos usar para dibujar la elipse de la manera usual.



Cuádricas

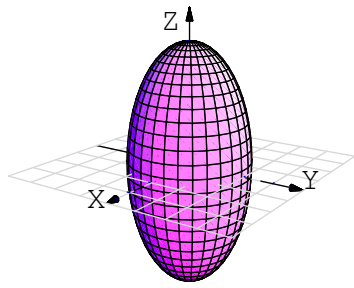
Nos interesan las cuádricas de ecuación $Ax^2 + By^2 + Cz^2 + Dx + Ey + Fz + G = 0$. Excepto casos degenerados, completando cuadrados podemos obtener la ecuación canónica de cada superficie cuadrática.

A continuación se muestra algunas cuádricas en posición estándar y centradas en el origen.

Cuádricas centradas en el origen

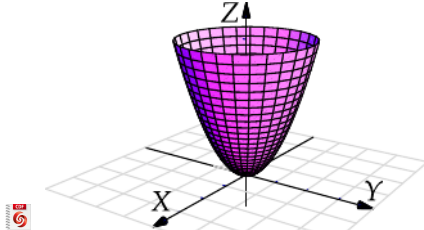
Elipsoide: Tiene ecuación $\frac{x^2}{a^2} + \frac{y^2}{b^2} + \frac{z^2}{c^2} = 1$

Es simétrico con respecto a cada uno de los tres planos coordinados y tiene intersección con los ejes coordinados en $(\pm a, 0, 0)$, $(0, \pm b, 0)$ y $(0, 0, \pm c)$. La traza del elipsoide sobre cada uno de los planos coordinados es un único punto o una ellipse.



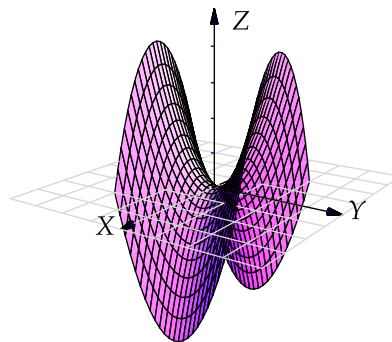
Paraboloide elíptico: Tiene ecuación $\frac{x^2}{a^2} + \frac{y^2}{b^2} = \frac{z}{c}$

Sus trazas sobre planos horizontales $z = k$ son elipses: $\frac{x^2}{a^2} + \frac{y^2}{b^2} = \frac{k}{c}$. Sus trazas sobre planos verticales, ya sean $x = k$ o $y = k$ son parábolas.



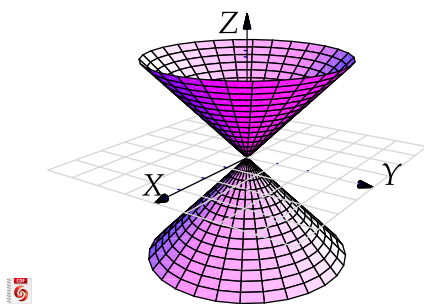
Paraboloide hiperbólico: Tiene ecuación $\frac{y^2}{b^2} - \frac{x^2}{a^2} = \frac{z}{c}$.

Sus trazas sobre planos horizontales $z = k$ son hipérbolas o dos rectas ($z = 0$). Sus trazas sobre planos verticales paralelos al plano x son parábolas que abren hacia abajo, mientras que las trazas sobre planos verticales paralelos al plano YZ son parábolas que abren hacia arriba. Su gráfica tiene la forma de una silla de montar.



Cono elíptico: Tiene ecuación $\frac{x^2}{a^2} + \frac{y^2}{b^2} = \frac{z^2}{c^2}$.

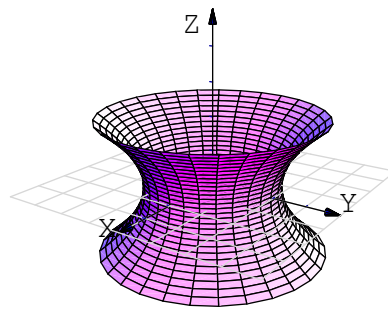
Sus trazas sobre planos horizontales $z = k$ son elipses. Sus trazas sobre planos verticales corresponden a hipérbolas o un par de rectas.



Hiperboloid de una hoja: Tiene ecuación

$$\frac{x^2}{a^2} + \frac{y^2}{b^2} - \frac{z^2}{c^2} = 1.$$

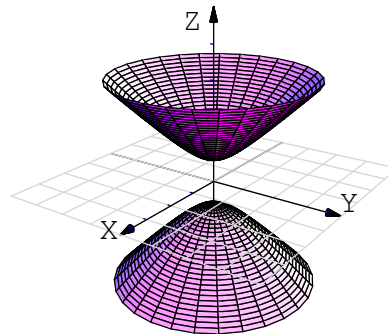
Sus trazas sobre planos horizontales $z = k$ son elipses $\frac{x^2}{a^2} + \frac{y^2}{b^2} = 1 + \frac{k^2}{c^2}$. Sus trazas sobre planos verticales son hipérbolas o un par de rectas que se intersecan.



Hiperboloid de dos hojas: Tiene ecuación

$$\frac{z^2}{a^2} - \frac{y^2}{b^2} - \frac{x^2}{c^2} = 1.$$

Es una superficie con dos *hojas* (o mantos) separadas. Sus trazas sobre planos horizontales $z = k$ son elipses y sobre planos verticales son hipérbolas

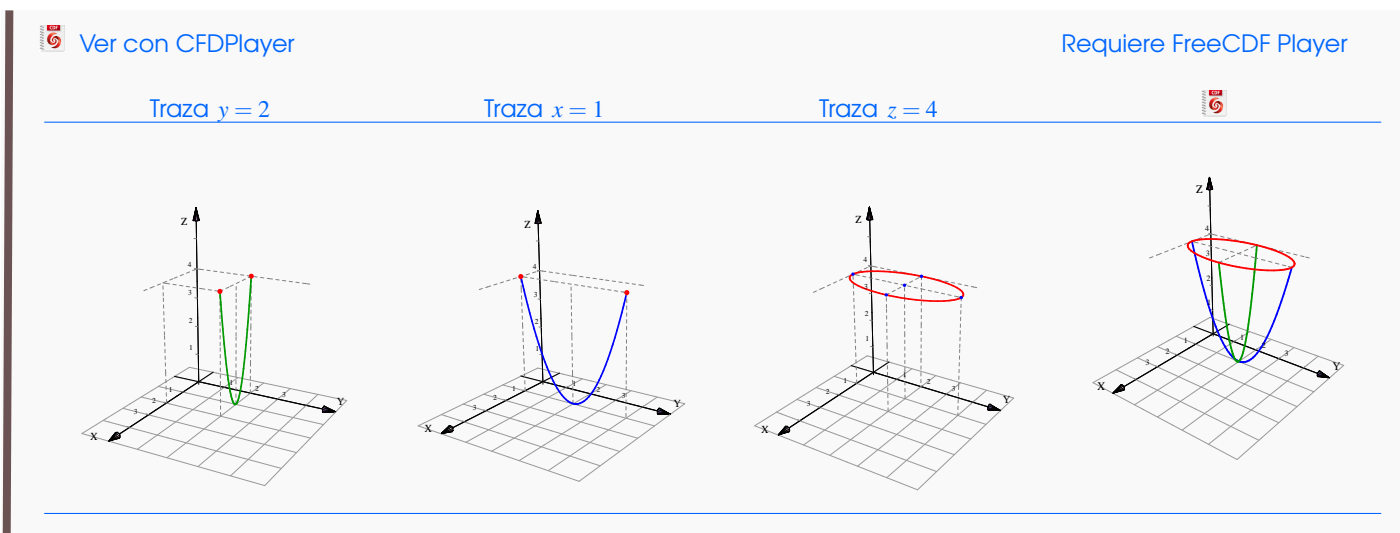


Ejemplo 2.32

Considere la superficie S de ecuación $z = (y-2)^2 + 4(x-1)^2$. Dibuje por separado las trazas obtenidas al interseccar S con los planos de ecuación $y = 2$, $x = 1$, $z = 0$ y $z = 4$, y dibuje la superficie.

Solución: Se trata de un parabolide elíptico.

- La traza $y = 2$ corresponde a la parábola $(x-1)^2 = \frac{1}{4}z$, $y = 2$.
- La traza $x = 1$ corresponde a la parábola $(y-2)^2 = z$, $x = 1$.
- La traza $z = 4$ corresponde a la elipse $\frac{(y-2)^2}{4} + (x-1)^2 = 1$, $z = 4$.
- La traza $z = 0$ corresponde al vértice del parabolide, $(1, 2, 0)$.

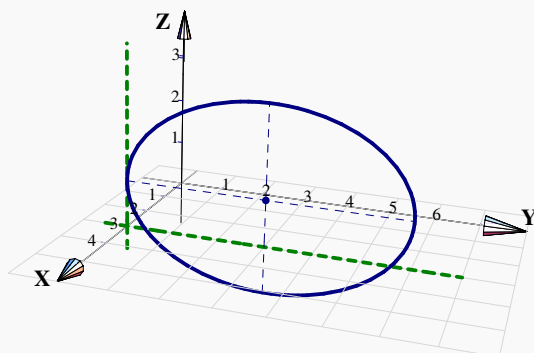


Ejemplo 2.33

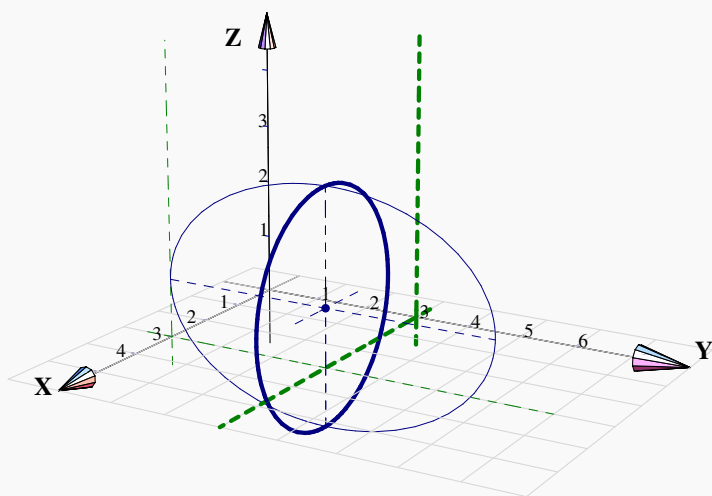
Identifique y dibuje la superficie cuadrática $\frac{(x-3)^2}{4} + \frac{(y-3)^2}{9} + \frac{(z-1)^2}{4} = 1$.

Solución: Se trata de un elipsoide con centro en $(3, 3, 1)$. Una estrategia de dibujo es la siguiente: Los elipsoides se pueden dibujar con tres elipses (trazas). En este caso, se pueden usar $x = 3$; $y = 3$ y $z = 1$ (estos valores corresponden al centro de la cuádrica).

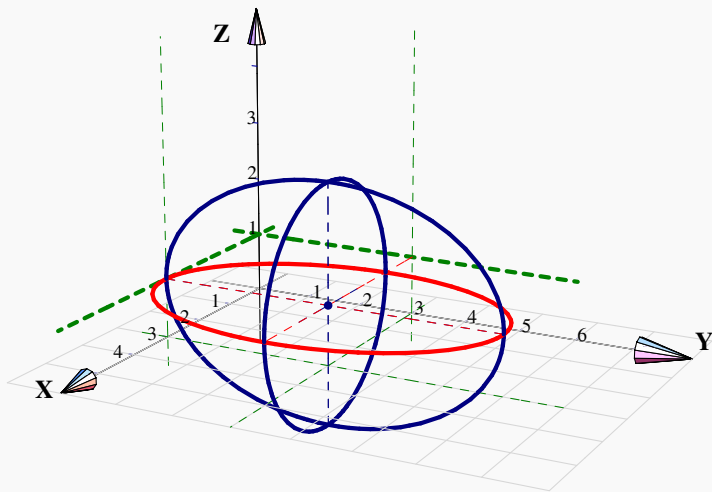
- La traza $x = 3$ corresponde a la elipse $\frac{(y-3)^2}{9} + \frac{(z-1)^2}{4} = 1$, $x = 3$; que se dibuja en el plano $x = 3$.



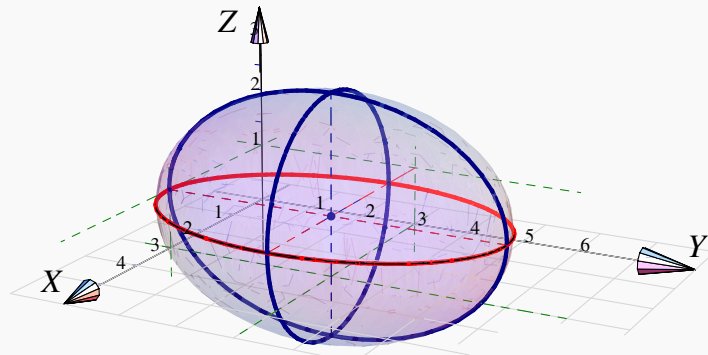
- Si $y = 3$ obtenemos la elipse (circunferencia) $(x-3)^2 + (z-1)^2 = 4$, $y = 3$; que se dibuja en el plano $y = 3$.



- Si $z = 1$ obtenemos la elipse $\frac{(x-3)^2}{4} + \frac{(y-3)^2}{9} = 1$, $z = 1$; que se dibuja en el plano $z = 1$.



Este es el elipsoide,

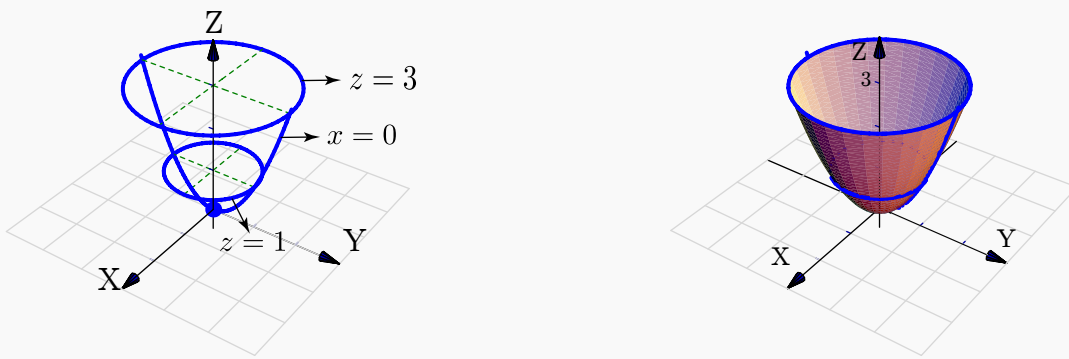


Ejemplo 2.34

Consideremos la superficie de ecuación $z = x^2 + y^2$. Trazar la superficie usando las trazas correspondientes a $z = 0, 1, 3$ y $x = 0$.

Solución:

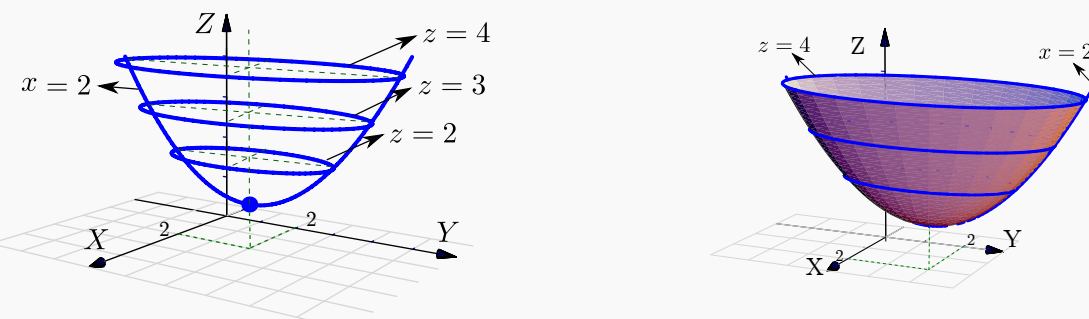
- La traza $z = 0$ es el punto $(0, 0, 0)$
- La traza $z = 1$ es la circunferencia $1 = x^2 + y^2$; en el plano $z = 1$
- La traza $z = 3$ es la circunferencia $3 = x^2 + y^2$; en el plano $z = 3$
- La traza $x = 0$ es la parábola $z = y^2$; en el plano $x = 0$

**Ejemplo 2.35**

Consideremos la superficie de ecuación $z - 1 = (x - 2)^2 + \frac{(y - 2)^2}{4}$. Trazar la superficie usando las trazas correspondientes a $z = 1, 2, 3, 4$ y $x = 2$.

Solución:

- La traza $z = 1$ es el punto $(2, 2, 1)$
- La traza $z = 2$ es la elipse $1 = (x - 2)^2 + \frac{(y - 2)^2}{4}$ en el plano $z = 2$.
- La traza $z = 3$ es la elipse $1 = \frac{(x - 2)^2}{2} + \frac{(y - 2)^2}{8}$ en el plano $z = 3$.
- La traza $z = 4$ es la elipse $1 = \frac{(x - 2)^2}{3} + \frac{(y - 2)^2}{12}$ en el plano $z = 4$.
- La traza $x = 2$ es la parábola $z - 1 = \frac{(y - 2)^2}{4}$ en el plano $x = 2$.

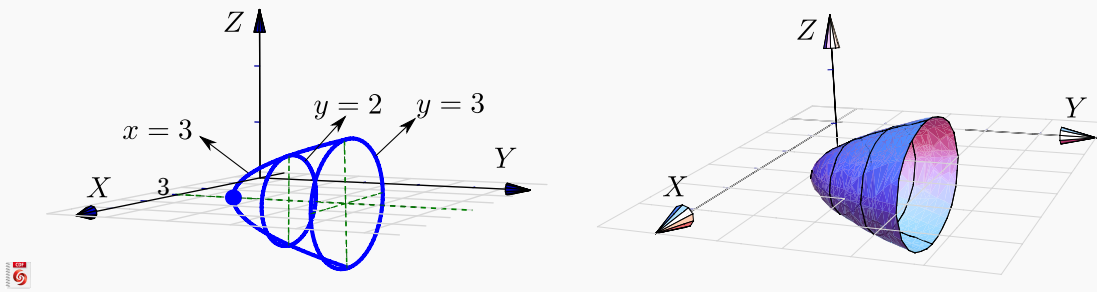
**Ejemplo 2.36**

Identifique y dibuje la superficie cuadrática $x^2 + 2z^2 - 6x - y + 10 = 0$

Solución: Completando el cuadrado en x obtenemos el *paraboloide elíptico* $y - 1 = (x - 3)^2 + 2z^2$. Abre en dirección del la parte positiva del eje Y .

Trazas. La estrategia es la siguiente: El *paraboloide elíptico* (que está más arriba), se puede dibujar con un par de elipses y una parábola. Para obtener las elipses le damos valores a y en la ecuación $y - 1 = (x - 3)^2 + 2z^2$. Se requiere que $y \geq 1$.

- Si $y = 1$ obtenemos el punto: $(3, 1, 0)$.
- Si $y = 2$ obtenemos la elipse $1 = (x - 3)^2 + \frac{z^2}{1/2}$ en el plano $y = 2$
- Si $y = 3$ obtenemos la elipse $1 = \frac{(x - 3)^2}{2} + z^2$ en el plano $y = 3$
- Para obtener la parábola, ponemos $x = 3$ y obtenemos la parábola $y = 2z^2 + 1$ en el plano $x = 3$.

**Ejemplo 2.37**

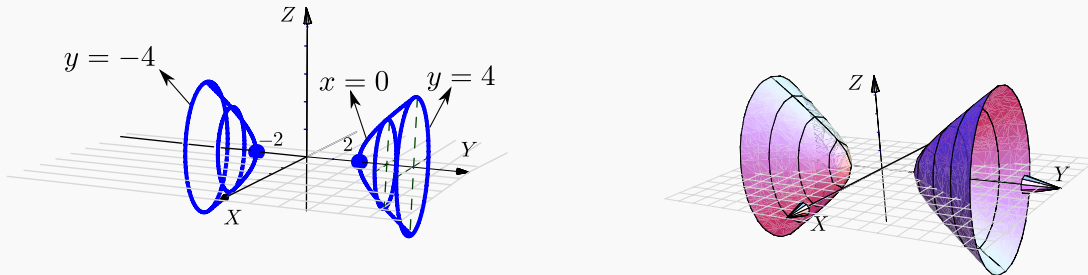
Identifique y dibuje la superficie cuadrática $4x^2 - y^2 + 2z^2 + 4 = 0$.

Solución: Dividiendo por 4 obtenemos: $-x^2 + \frac{y^2}{4} - \frac{z^2}{2} = 1$, que corresponde a un *hiperboloid de dos hojas*. Abre en dirección del eje Y .

Trazas. La estrategia es la siguiente: El *hiperboloid de dos hojas* (que está más arriba), se puede dibujar con dos elipses y una hipérbola *por cada hoja*.

Para obtener elipses, arreglamos la ecuación como $\frac{y^2}{4} - 1 = x^2 + \frac{z^2}{2}$. Las elipses se obtienen dando valores a y con $|y| > 2$.

- Si $y = \pm 2$ obtenemos dos puntos: $(0, 2, 0)$, $(0, -2, 0)$.
- Si $y = \pm 3$ obtenemos la elipse $\frac{x^2}{5/4} + \frac{z^2}{5/2} = 1$ en el plano $y = 3$ y el plano $y = -3$.
- Si $y = \pm 4$ obtenemos la elipse $\frac{x^2}{3} + \frac{z^2}{6} = 1$ en el plano $y = 4$ y el plano $y = -4$.
- Para obtener la hipérbola, ponemos $x = 0$ y arreglamos la ecuación como $\frac{y^2}{4} - \frac{z^2}{2} = 1$.



7

2.4.1 Dibuje cada una de las siguientes cuádricas:

a.) $y = (x - 2)^2 + (z - 2)^2$

b.) $z^2 + y^2 = x/4$

c.) $x^2 + y^2 + (z - 1)^2 / 9 = 1$

d.) $x^2 + y^2 - (z - 2)^2 = 1$

e.) $x^2 + y^2 - (z - 2)^2 = 0$

f.) $x^2 + (y - 2)^2 - z^2 = 0$

 **2.4.2** Considere la superficie de ecuación $S : 4 - z = x^2 + (y - 2)^2 + z$. Dibuje por separado las curvas de corte de S con los planos $x = 0$, $z = 3$ y $y = 0$. Y luego dibuje S .

2.5 Sólidos simples

Los sólidos simples se describen por medio de su frontera, es decir, se describen por las superficies que lo limitan. Un sólido simple es un conjunto compacto limitado por una o varias superficies orientables (de dos caras), sin hoyos, con borde y sin traslapos; en el interior del sólido no hay superficies ni ‘burbujas’ (la frontera del sólido es tal que divide el espacio en dos partes).

Visualizando curvas de intersección entre superficies

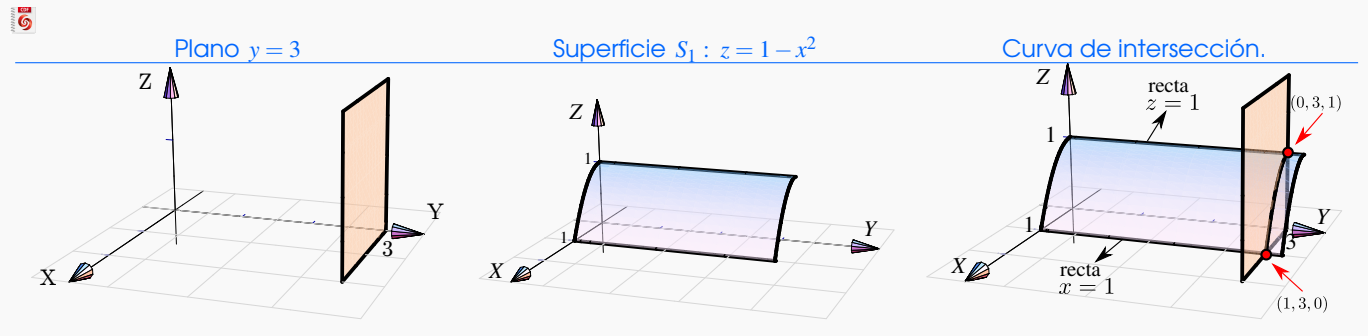
Para realizar dibujos ‘a mano’ es esencial visualizar las curvas de intersección entre superficies. En general, si dos superficies se cortan en una o varias curvas, una manera de bosquejar estas curvas es buscar algunos puntos de contacto. En los casos más sencillos, estos puntos los podemos localizar en los planos XY , XZ o YZ . En los ejemplos que siguen, estos ‘puntos-guía’ se señalan con un punto rojo.

Ejemplo 2.38

Consideremos la curva C de intersección de la superficie $S_1 : z = 1 - x^2$ y el plano $S_2 : y = 3$, en el primer octante.

Para dibujar esta curva, calculamos ‘dos puntos guía’ para trazar la curva. Los puntos guía están en rojo en la figura. Son el punto de intersección entre las rectas $z = 1$ y $y = 3$ en el plano YZ y el punto de intersección entre las rectas $z = 1$ y $y = 3$ en el plano XY . La curva que queremos dibujar inicia en uno de estos puntos y termina en el otro.

Para obtener una parametrización de esta curva C , podemos tomar a $x = t$ como parámetro, $C : r(t) = (t, 3, 1 - t^2)$ con $t \in [0, 1]$.



Ejemplo 2.39

Consideremos la curva C de intersección entre la superficie $S_1 : z = 4 - \frac{x^2}{4}$ y el plano $S_2 : x + y = 6$ *en el primer octante*.

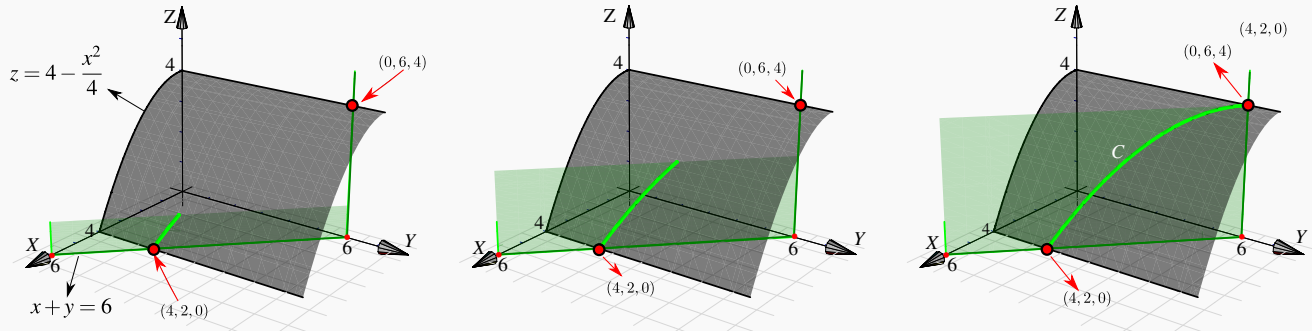
El plano $S_2 : x + y = 6$ interseca a los ejes X e Y en $x = 6$ y $y = 6$, respectivamente. Como se observa, los puntos-guía están en los planos XY y YZ .

En el plano XY el punto-guía se obtiene sustituyendo $x = 4$ en la ecuación de la recta $x + y = 6$, $z = 0$; se obtiene $(4, 2, 0)$.

En el plano YZ el punto-guía es claramente $(0, 6, 4)$.

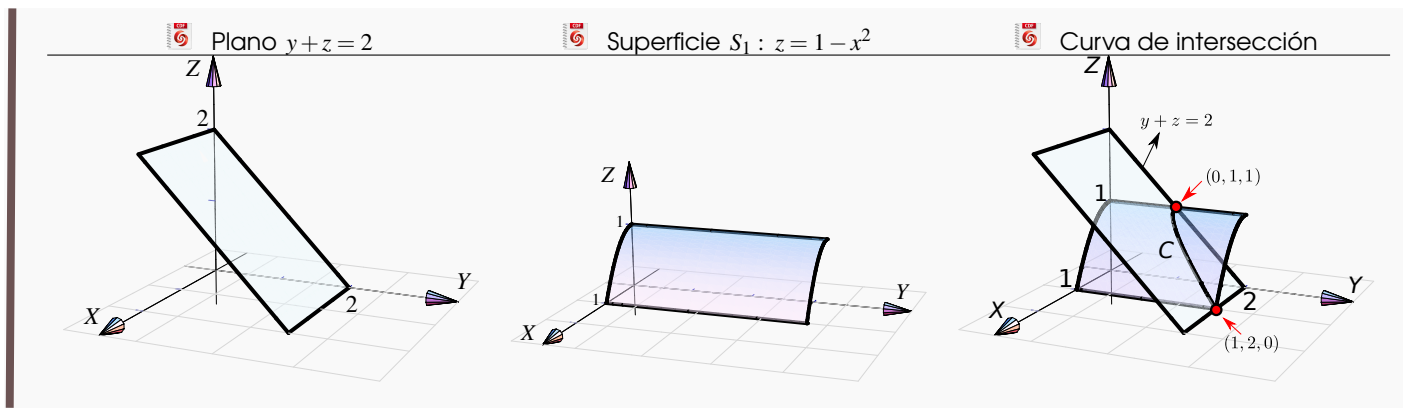
Usando $x = t$, una parametrización de la curva C es $r(t) = (t, 6-t, 4-t^2/4)$; $t \in [0, 6]$.

 Curva de intersección: $z = 4 - \frac{x^2}{4} \cap x + y = 6$

**Ejemplo 2.40**

Consideremos la superficie $S_1 : z = 1 - x^2$ y el plano $S_2 : y + z = 2$ *en el primer octante*. Los puntos-guía son $(1, 2, 0)$ y $(0, 1, 1)$. El punto $(0, 1, 1)$ se obtiene sustituyendo $z = 1$ en la ecuación de la recta $y + z = 2, x = 0$.

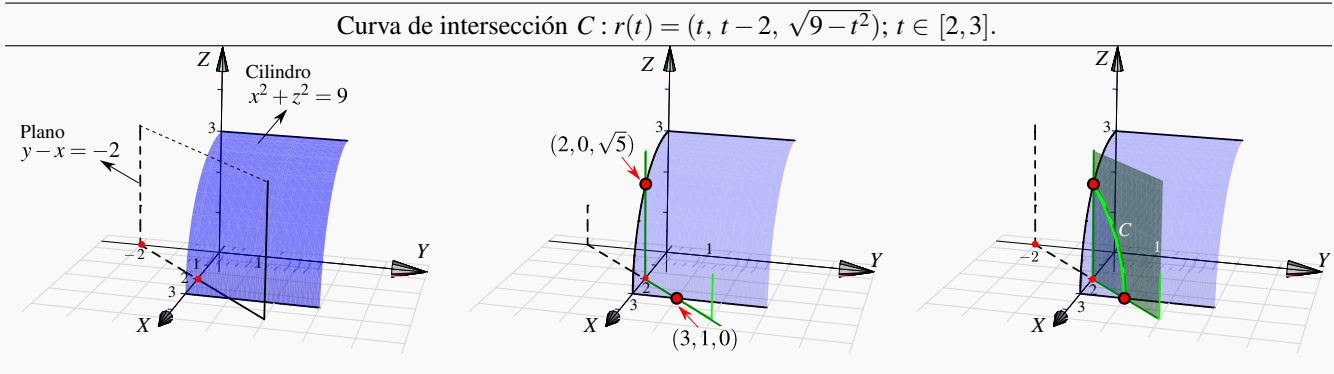
Para una parametrización, podemos tomar $x = t$ como parámetro, $C : r(t) = (t, 2 - (1 - t^2), 1 - t^2)$, $t \in [0, 1]$.

**Ejemplo 2.41**

Consideremos la curva de intersección entre la superficie $S_1 : x^2 + z^2 = 9$ y el plano $S_2 : y - x = -2$ *en el primer octante*.

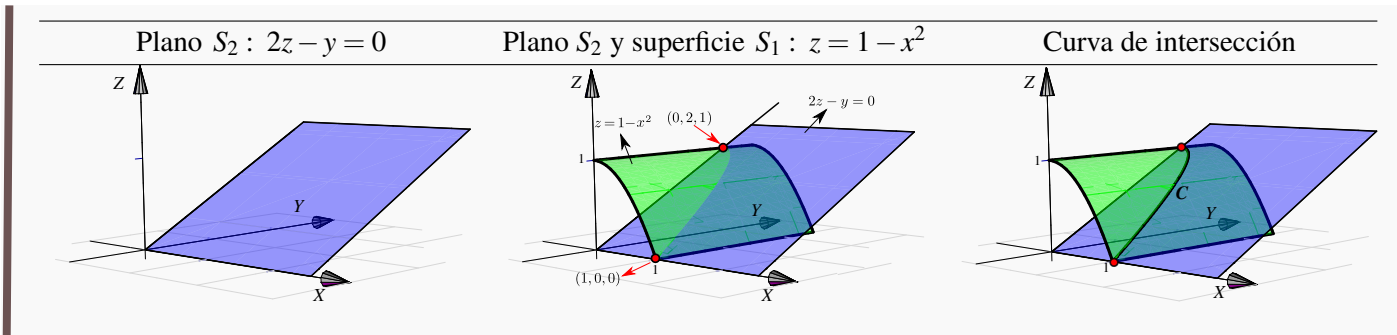
El corte del plano $S_2 : y - x = -2$ con el plano XZ es la recta $x = 2$ (pues sobre este plano, $y = 0$). Sustituyendo $x = 2$ en la ecuación $x^2 + z^2 = 9$, $y = 0$; obtenemos el punto de intersección $(2, 0, \sqrt{5})$.

El otro punto-guía se obtiene sustituyendo $x = 3$ en la ecuación del plano $S_2 : y - x = -2$, este punto es $(3, 1, 0)$. Para una parametrización podemos usar $x = t$ como parámetro.

**Ejemplo 2.42**

Consideremos la superficie $S_1 : z = 1 - x^2$ y el plano $S_2 : 2z - y = 0$, *en el primer octante*. Para dibujar la curva C de intersección en el primer octante, buscamos los puntos guía. En este caso estos puntos son $(1, 0, 0)$ y $(0, 2, 1)$.

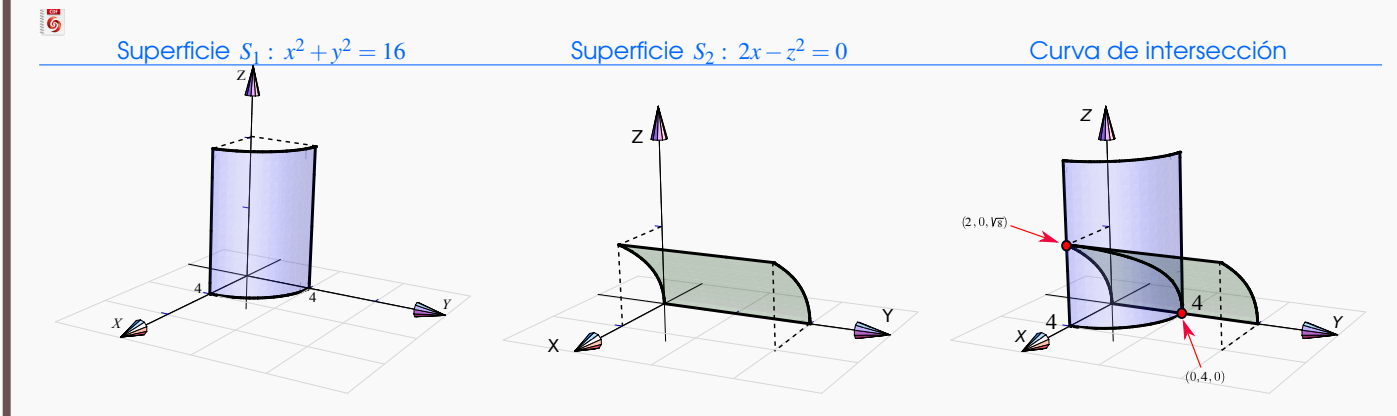
Para obtener una parametrización de la curva C , podemos usar $x = t$ como parámetro; $C : r(t) = (t, 2(1-t^2), 1-t^2)$, $t \in [0, 1]$.



Ejemplo 2.43

Consideremos las superficies $S_1 : x^2 + y^2 = 16$, $S_2 : 2x - z^2 = 0$, *en el primer octante*. Para dibujar la curva C de intersección en el primer octante, buscamos los puntos guía. En este caso estos puntos son $(0, 4, 0)$ y $(2, 0, \sqrt{8})$.

Para obtener una parametrización de la curva C , podemos parametrizar desde el plano XY . La circunferencia $x^2 + y^2 = 16$ se parametriza con $x = 4\cos t$ y $y = 4\sin t$. La coordenada z es $z = \sqrt{2x} = \sqrt{2\cos t}$. Así, $C : r(t) = (4\cos t, 4\sin t, \sqrt{2\cos t})$, $t \in [0, \pi/2]$.



Perspectiva. En general, cuando dibujamos el sistema de ejes XYZ en posición estándar, podemos mover el eje X un poco hacia arriba o un poco hacia abajo y esto hace que la perspectiva cambie.

En el dibujo que sigue, se muestra la intersección del mismo cilindro y el mismo plano, la diferencia está en la posición del eje X (lo que produce el cambio de perspectiva!). En el primer caso el plano se ve “desde arriba” en el segundo caso el plano lo vemos “desde abajo”

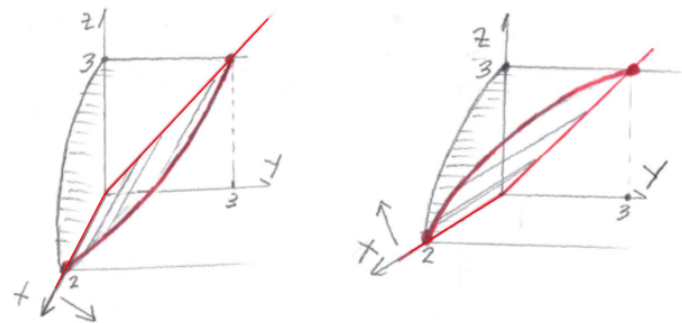
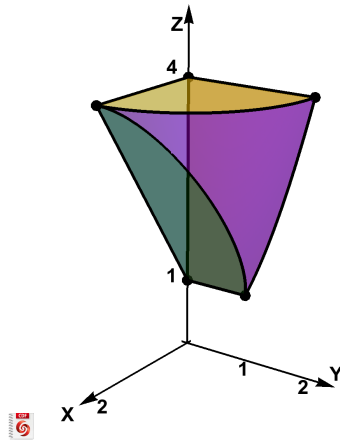


Figura 2.20: Efecto en la perspectiva al mover el eje X

Dibujo de sólidos simples

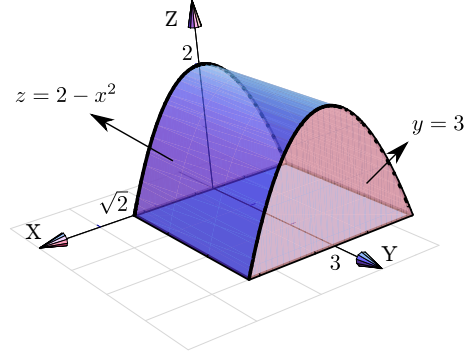
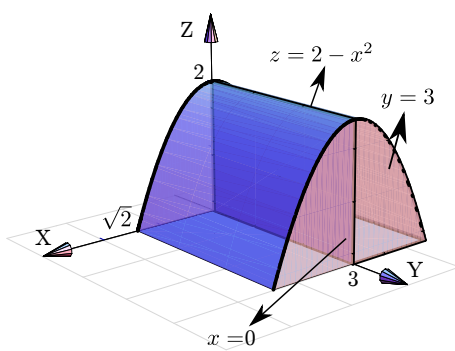
¿Siempre dibujamos en el I octante? No, excepto que se pida de manera específica. A veces se pide el dibujo en el primer octante para simplificar el dibujo, pero para otros sólidos es obligatorio especificar el octante para que se cumpla la especificación de *sólido simple* que dimos más arriba y así evitar ambigüedades (recuerde que los sólidos simples son conjuntos compactos y no tienen superficies interiores ni ‘burbujas’).

Por ejemplo, el sólido de la figura que sigue, es un “sólido simple”, limitado por las siguientes cinco superficies: $S_1 : z = x^2 + y^2$, $S_2 : 2z = 2 + 3x$, $S_3 : z = 4$, $S_4 : x = 0$ y $S_5 : y = 0$, en el primer octante.



Ambigüedades. Por ejemplo, el sólido Q limitado por $z = 2 - x^2$; $y = 3$; $x = 0$; $y = 0$ y $z = 0$, no es un sólido simple pues $x = 0$ es una superficie interior. Si eliminamos esta superficie interior, si tendríamos un sólido simple.

Sólido Q (no simple) limitado por $z = 2 - x^2$; $y = 3$; $x = 0$; $y = 0$ y $z = 0$. Sólido Q simple, limitado por $z = 2 - x^2$; $y = 3$; $y = 0$ y $z = 0$,



Los siguientes sólidos son una “variación” del sólido anterior, pero ahora se trata de sólidos simples. En particular muestran que la presencia de los planos “ $x = 0$, $y = 0$, $z = 0$ ” no implica que el sólido esté en el primer octante, de hecho se pueden usar estos planos especificando que el sólido está en otro octante. Los dos sólido de la figura que sigue, están limitados por las mismas superficies, pero el de la izquierda está en el primer octante y el de la derecha está en el segundo octante.

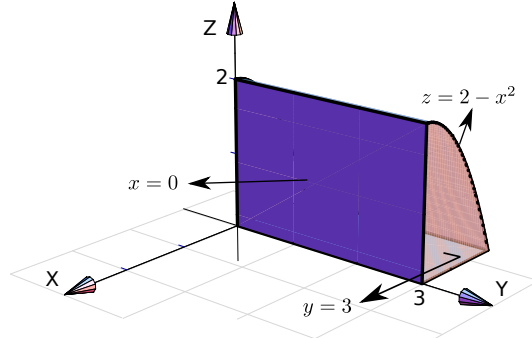
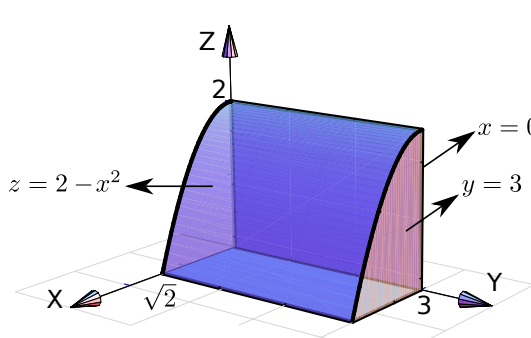


Figura 2.21: Sólidos limitados por las mismas superficies, pero en distinto octante.

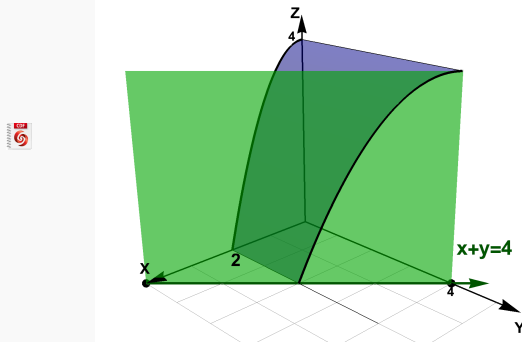
El dibujo de sólidos simples se hace estableciendo las rectas o las curvas de intersección entre las superficies que limitan el sólido.

Ejemplo 2.44

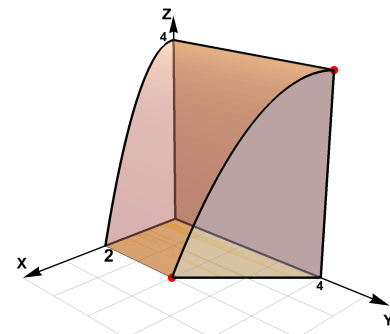
Dibujar el sólido Q limitado por la superficie $S_1 : z = 4 - x^2$ y el plano $S_2 : x + y = 4$; en el primer octante

Solución: Dibujamos ambas superficies y observamos dos puntos-guía: $(2, 2, 0)$ y $(0, 4, 4)$. Esto nos permite bosquejar la curva de intersección entre S_1 y S_2 .

Superficie $S_1 : z = 4 - x^2$ y plano $S_2 : x + y = 4$



Sólido Q

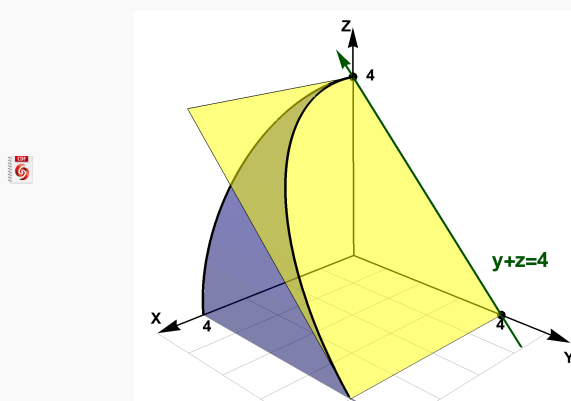


Ejemplo 2.45

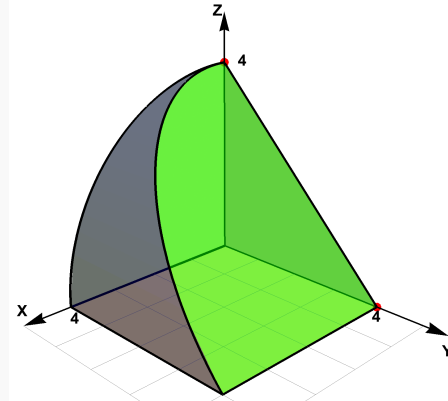
Dibujar el sólido Q limitado por la superficie $S_1 : x^2 + z^2 = 16$ y el plano $S_2 : y + z = 4$; en el primer octante

Solución: Dibujamos ambas superficies y observamos dos puntos-guía: $(4, 4, 0)$ y $(0, 0, 4)$. Esto nos permite bosquejar la curva de intersección entre S_1 y S_2 .

Superficie $S_1 : x^2 + z^2 = 16$ y plano $S_2 : y + z = 4$



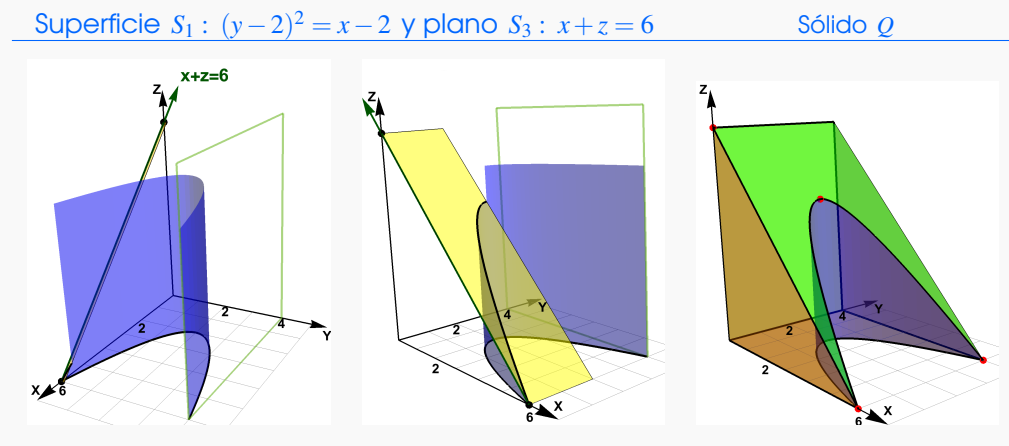
Sólido Q



Ejemplo 2.46

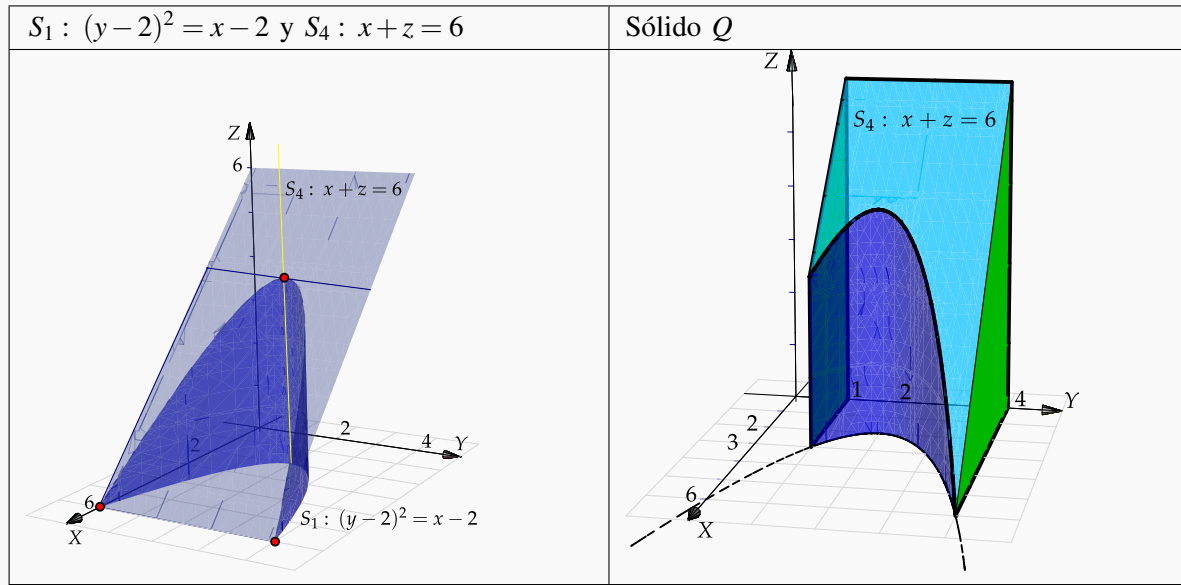
Dibuje el sólido Q limitado por las superficies $S_1 : (y - 2)^2 = x - 2$, $S_2 : y = 4$, $S_3 : x + z = 6$, $S_4 : x = 0$, $S_5 : y = 0$ y $S_6 : z = 0$.

Solución: La parte delicada es dibujar la intersección entre las superficies S_1 y S_3 . El plano $x + z = 6$ debe ajustarse para lograr visualizar la intersección con la superficie S_1 . Observe que el plano $x + z = 6$ debe pasar por $(2, 2, 4)$ que está encima del vértice de la parábola $(y - 2)^2 = x - 2$.

**Ejemplo 2.47**

Dibuje el sólido Q limitado por las superficies $S_1 : (y - 2)^2 = x - 2$, $S_2 : y = 1$, $S_3 : y = 4$, $S_4 : x + z = 6$, $S_5 : x = 0$ y $S_6 : z = 0$.

Solución: La parte delicada es dibujar la intersección entre las superficies S_1 y S_4 . El plano $x + z = 6$ debe ajustarse para lograr visualizar la intersección con la superficie S_1 .

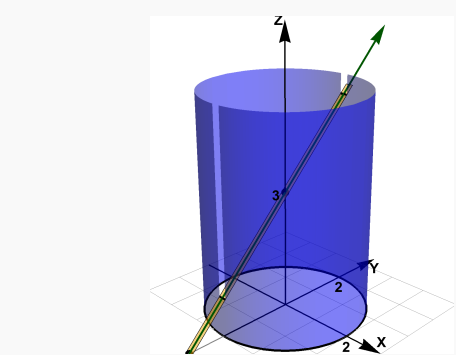


Ejemplo 2.48

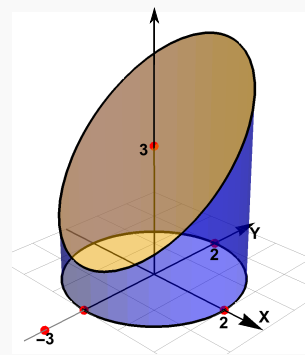
Dibuje el sólido Q limitado por las superficies $S_1 : x^2 + y^2 = 4$, $S_2 : z - y = 3$, y $S_3 : z = 0$.

Solución: El plano $S_2 : z - y = 3$ interseca al cilindro en los puntos $(0, -2, 1)$ y $(0, 2, 5)$. Podemos usar estos puntos para dirigir el bosquejo de la curva de intersección.

Superficie $S_1 : x^2 + y^2 = 4$ y plano $S_2 : z - y = 3$



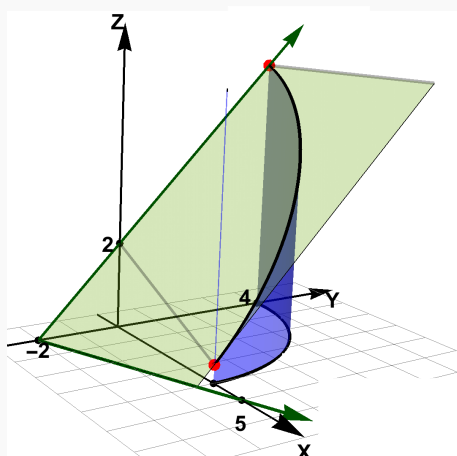
Sólido Q

**Ejemplo 2.49**

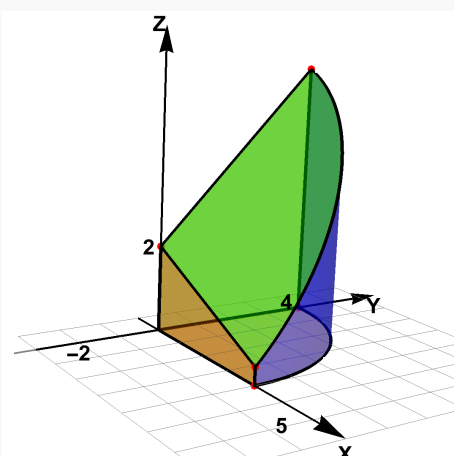
Dibuje el sólido Q limitado por las superficies $S_1 : x^2 + y^2 = 16$, $S_2 : \frac{2}{5}x - y + z = 2$, en el I octante.

Solución: Primero calculamos el par de puntos-guía en los que el plano $S_2 : \frac{2}{5}x - y + z = 2$ interseca al cilindro $S_1 : x^2 + y^2 = 16$, específicamente, en las rectas del cilindro $x = 4$ y $y = 4$. Estos puntos son $(0, 4, 6)$ y $(4, 0, 2/5)$. Ahora bosquejamos la curva de intersección, pero solo en el primer octante.

Superficie $S_1 : x^2 + y^2 = 16$ y plano $S_2 : \frac{2}{5}x - y + z = 2$



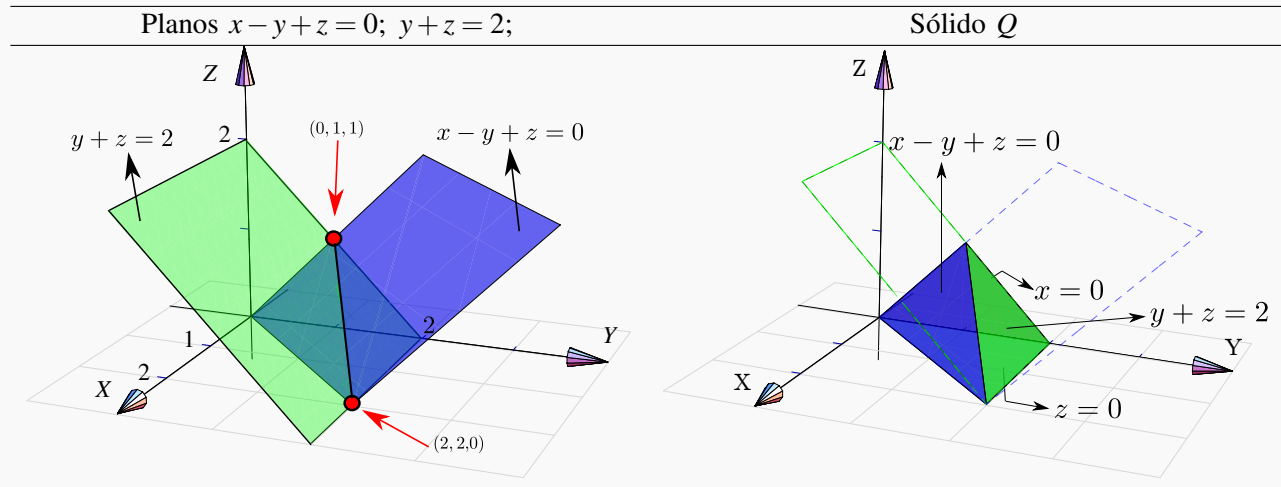
Sólido Q



Ejemplo 2.50

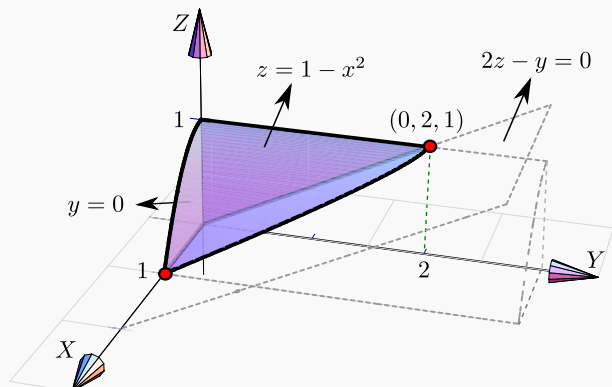
Dibujar el sólido Q limitado por los planos $x - y + z = 0$; $y + z = 2$; $x = 0$ y $z = 0$.

Solución: Dibujamos ambos planos y marcamos los puntos guía para trazar el segmento de intersección. Uno de los puntos se obtiene como la intersección de las rectas $-y + z = 0$ y $y + z = 2$, y el otro como la intersección de las rectas $x - y = 0$ y $y = 2$. Estos puntos son $(0, 1, 1)$ y $(2, 2, 0)$. El sólido se mantiene en el primer octante pues está limitado por el plano $x = 0$ (plano YZ) y el plano $z = 0$ (plano XY).

**Ejemplo 2.51**

Dibujar el sólido Q limitado por la superficie $S_1 : z = 1 - x^2$ y los planos $2z - y = 0$; $y = 0$; $x = 0$; en el primer octante.

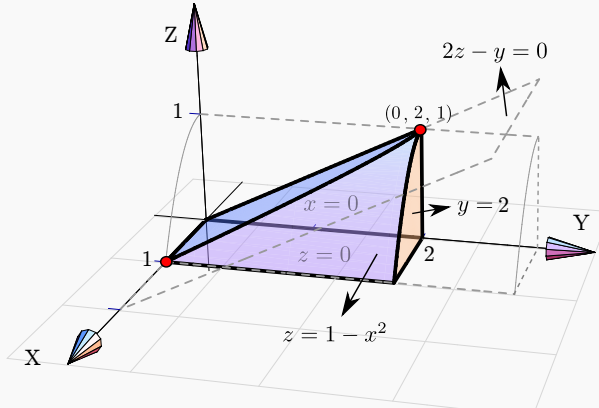
Solución: La superficie $S_1 : z = 1 - x^2$ queda arriba y el plano $2z - y = 0$ queda abajo. El plano $z = 0$ no es parte del sólido. El punto $(0, 2, 1)$ se obtiene como intersección de las rectas $z = 1$ y $2z - y = 0$.



Ejemplo 2.52

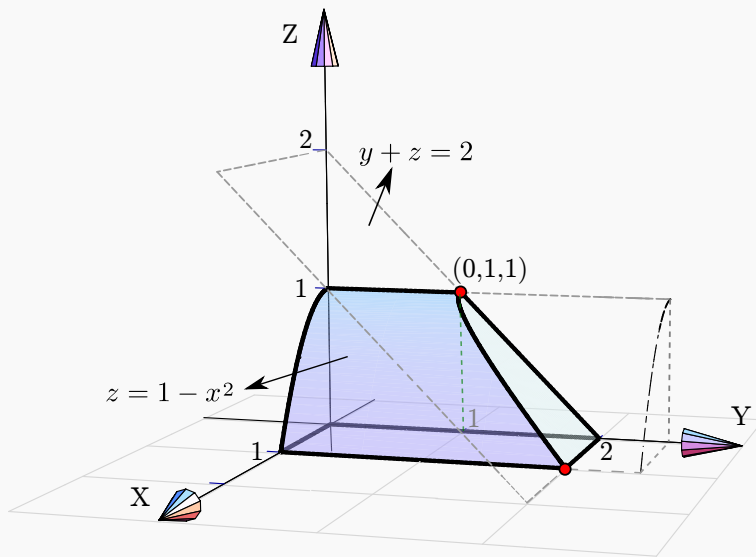
Dibujar el sólido Q limitado por la superficie $S_1 : z = 1 - x^2$ y los planos $2z - y = 0$; $x = 0$; $z = 0$ y $y = 2$, en el primer octante.

Solución: Como el sólido está limitado por los planos $z = 0$ y $x = 0$, entonces el plano $2z - y = 0$ queda en la parte de arriba del sólido.

**Ejemplo 2.53**

Dibujar el sólido Q limitado por la superficie $S_1 : z = 1 - x^2$ y el plano $y + z = 2$; en el primer octante.

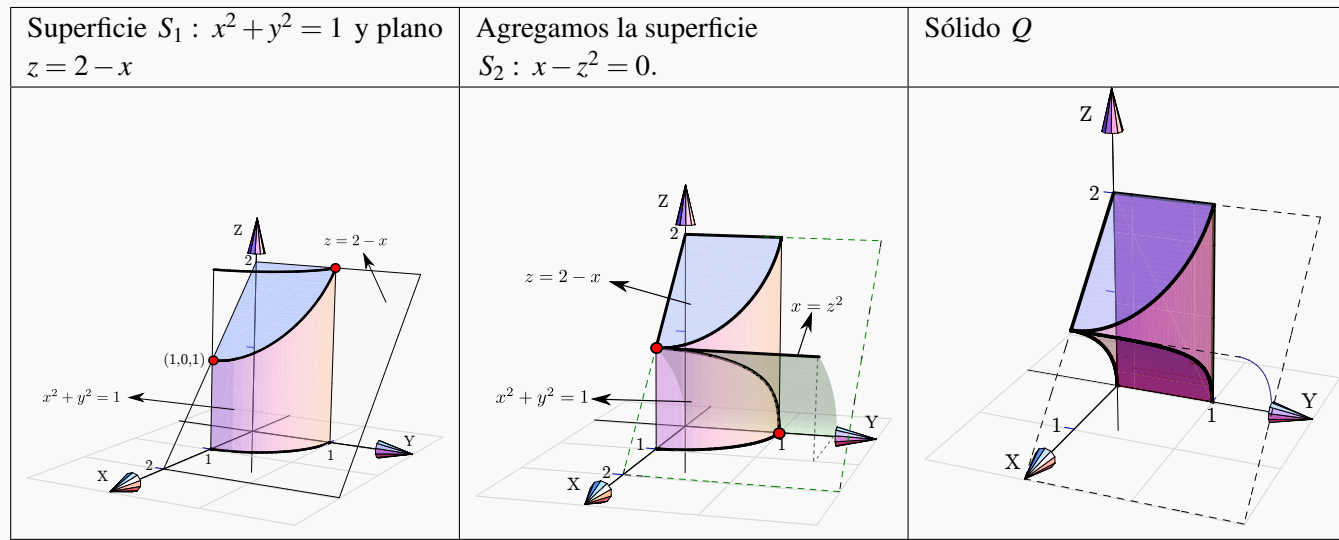
Solución: En este caso no es necesario especificar los planos $x = 0$; $y = 0$ y $z = 0$; con solo especificar que está en el primer octante es suficiente porque en este caso no hay ambigüedad.



Ejemplo 2.54

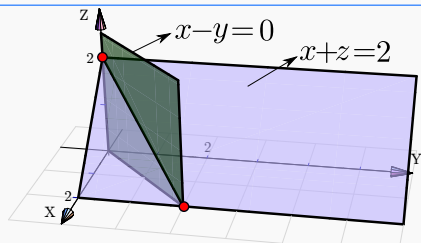
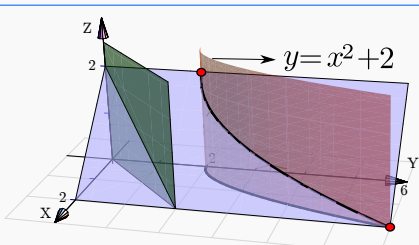
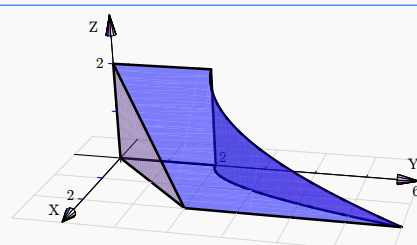
Dibujar el sólido Q limitado por las superficies $S_1 : x^2 + y^2 = 1$; $S_2 : x - z^2 = 0$ y los planos $z = 2 - x$; $x = 0$ y $y = 0$, en el primer octante.

Solución: Tal vez sea más sencillo dibujar primero la superficie $S_1 : x^2 + y^2 = 1$ y el plano $z = 2 - x$; luego dibujamos la otra superficie $S_2 : x - z^2 = 0$.

**Ejemplo 2.55**

Dibuje el sólido Q limitado por la superficie $y = x^2 + 2$ y los planos $x - y = 0$; $x + z = 2$; $x = 0$ y $z = 0$.

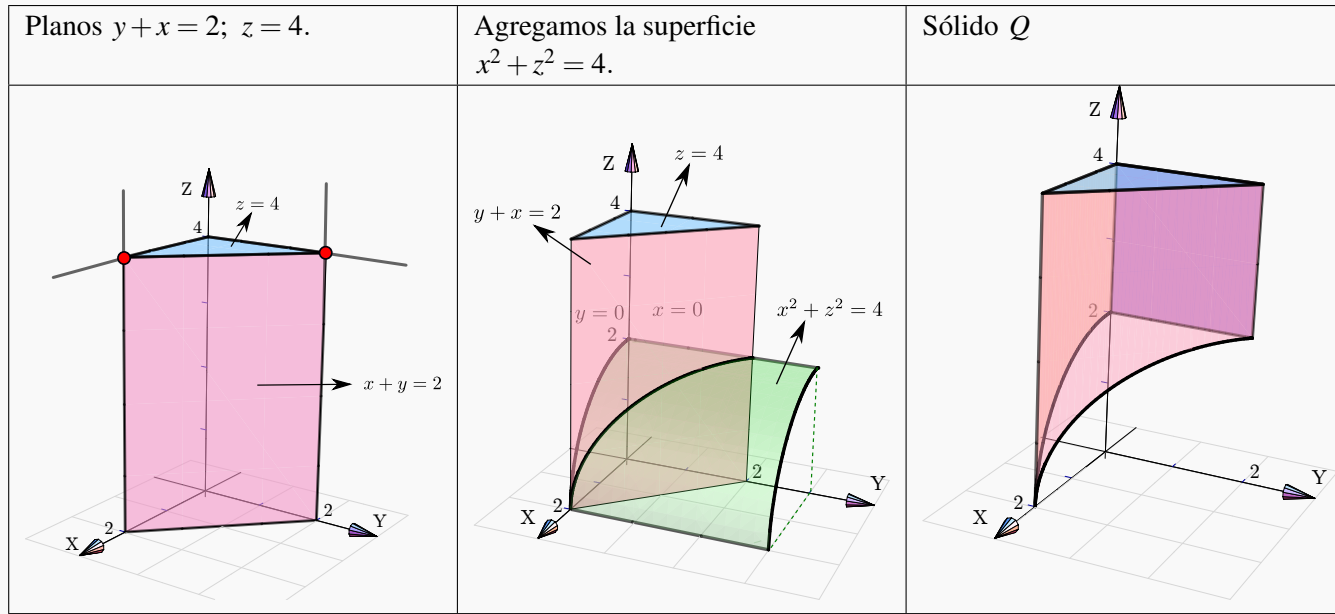
Solución: Tal vez sea más sencillo dibujar primero la superficie $y = x^2 + 2$ y luego intersecar con el plano $x + z = 2$ y éste último con el plano $x - y = 0$.

Planos $x - y = 0$ y $x + z = 2$ Agregamos $y = x^2 + 2$.Sólido Q 

Ejemplo 2.56

Dibuje el sólido Q limitado por las superficies $x^2 + z^2 = 4$; $y + x = 2$; $z = 4$; y $y = 0, x = 0$, en el I octante.

Solución: Dibujamos los planos $y + x = 2$ y $z = 4$; luego agregamos la otra superficie $x^2 + z^2 = 4$.

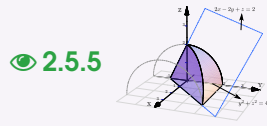
**8****Ejercicios**

2.5.1 Dibujar el sólido Q limitado por las superficies $x^2 + y^2 = 4z$; $z + x = 4$; $y = 1$ y $x = 0$, en el I octante.

2.5.2 Dibujar el sólido Q_1 limitado por las superficies $x^2 + y^2 = 4$; $z + y = 2$; $y = 1$ y $y = 0$, en el I octante.

2.5.3 Sólido Q_2 limitado por la superficie $x^2 + y^2 = 4$; y los planos $z + y = 2$; $x + \sqrt{3}y = 2\sqrt{3}$ y $x = 0$, en el I octante

2.5.4 Sólido Q_3 limitado por la superficie $y^2 + z^2 = 1$; y los planos $x + y = 2$; $x - y + z = 0$, en el I octante.



2.5.5 Sólido Q_4 limitado por la superficie $y^2 + z^2 = 4$ y los planos $2x - 2y + z = 2$; $x = 0$ y $z = 0$.



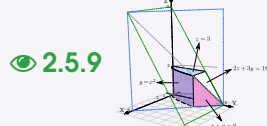
2.5.6 Sólido Q_5 limitado por la superficie $(x-4)^2 + y^2 = 4$ y los planos $x-z=0$; $y = -2$; $y = 2$; $y = 0$ con $0 \leq x \leq 4$.



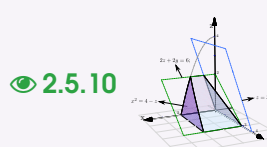
2.5.7 Sólido Q_6 limitado por la superficie $y^2 + z^2 = 16$ y los planos $x+2y+z = 2$; $x+z = 2$; $x = 0$; $y = 0$ en el I octante.



2.5.8 Sólido Q_7 limitado por la superficie $y^2 + z^2 = 16$ y los planos $x+2y+z = 2$; $x+z = 2$; $x = 0$; $y = 0$ en el I y IV octante.



2.5.9 Sólido Q_8 limitado por la superficie $y = x^2$ y los planos $2z + 3y = 18$; $x + y = 6$; $z = 3$; $x = 0$; $y = 0$, en el I octante.



2.5.10 Sólido Q_9 limitado por la superficie $x^2 = 4 - z$ y los planos $3z + 2y = 6$; $z = 2x$; $y = 0$; $z = 0$.



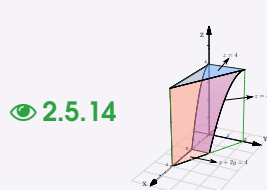
2.5.11 Sólido Q_{10} limitado por la superficie $z = 9 - x^2$ y los planos $5y - 5x + 2z = 0$ y $y = 3$, en el primer octante.



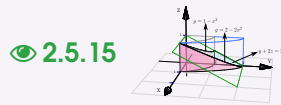
2.5.12 Sólido Q_{11} limitado por las superficies $z = 4 - x^2$; $2y + z = 8$; $y = x$; $x = 0$ y $z = 0$, en el primer octante.



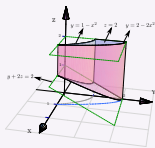
2.5.13 Sólido Q_{12} limitado por las superficies $z = 4 - x^2/4$; $y = 6 - x$; $y = 4$ y $y = 0$, en el primer octante.



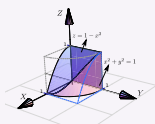
2.5.14 Sólido Q_{13} limitado por las superficies $z = 4 - x^2$; $x + 2y = 4$; $z = 4$; $z = 0$ y $y = 0$.



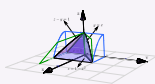
2.5.15 Sólido Q_{14} limitado por las superficies $y = 2 - 2x^2$; $y = 1 - x^2$; $y + 2z = 2$; $x = 0$ y $z = 0$; en el I octante.



2.5.16 Sólido Q_{15} limitado por las superficies $y = 2 - 2x^2$; $y = 1 - x^2$; $y + 2z = 2$; $x = 0$ y $z = 2$, en el I octante.



2.5.17 Sólido Q_{16} limitado por las superficies $x^2 + y^2 = 1$; $z = 1 - x^2$, en el I octante.

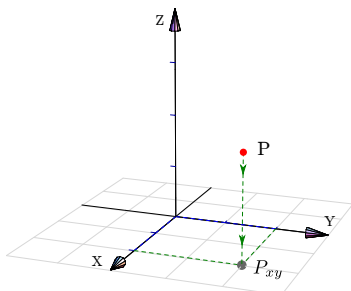


2.5.18 Sólido Q_{17} limitado por las superficies $z = 1 - x^2$; $z - y = 1$; $y = x$; $x = 0$ y $z = 0$, en el I y IV octante.

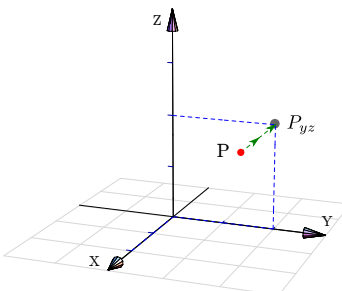
2.6 Proyección (ortogonal) de un sólido simple

Proyección ortogonal de un punto. La proyección ortogonal de un punto P en un plano Π es el punto en este plano cuya distancia (euclíadiana) a P es mínima. Intuitivamente corresponde a la “sombra” del punto proyectada perpendicularmente sobre el plano Π . En la figura que sigue se muestra la proyección de un punto P sobre cada uno de los planos XY , YZ y XZ .

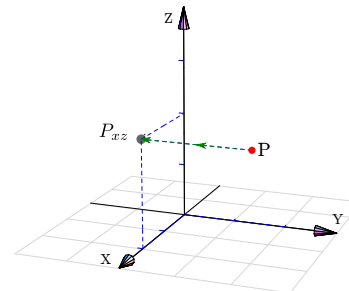
Proyección sobre XY



Proyección sobre YZ



Proyección sobre XZ

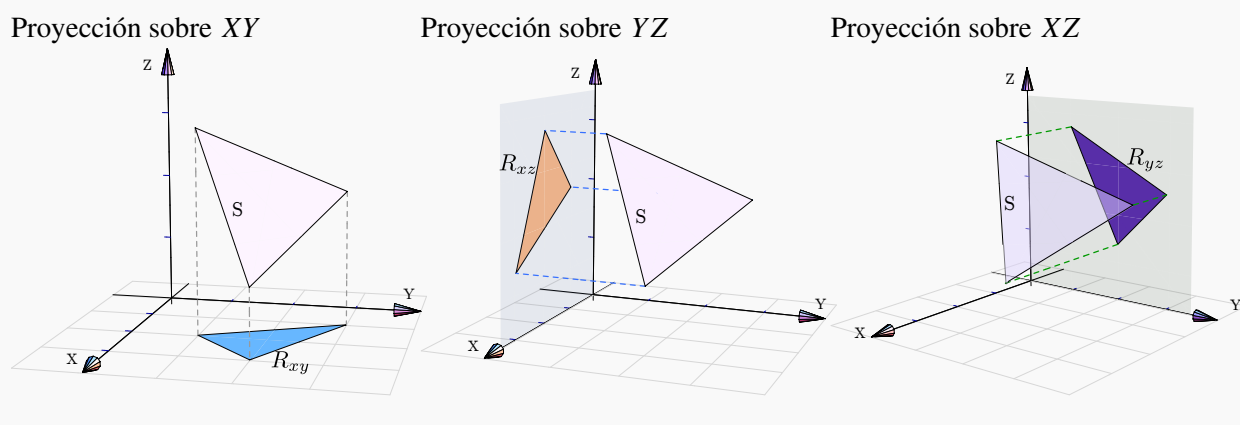


Proyección ortogonal de una superficie

La proyección perpendicular de una superficie S sobre un plano Π es la proyección perpendicular de cada uno de sus puntos sobre este plano. En este libro solo nos interesa la proyección de la superficie S sobre los planos coordinados.

Ejemplo 2.57

En este ejemplo visualizamos la proyección de un triángulo S sobre cada uno de los planos XY , YZ y XZ .



En la práctica nos interesa describir la proyección de manera analítica porque, en este curso, estas proyecciones van a ser regiones de integración.

En general, para obtener la proyección sobre uno de los planos XY , XZ o YZ ; primero proyectamos ortogonalmente, algunos puntos de la superficie, sobre el plano de elección. La ecuación de la proyección de las curvas entre estos puntos se puede determinar usando las ecuaciones de las superficies de cuya intersección ellas son producto.

Ejemplo 2.58

Consideremos la superficie $S : x^2 + z^2 = 4$ limitada por el plano de ecuación $x + y = 5$, en el primer octante, tal y como se muestra en la figura que sigue.

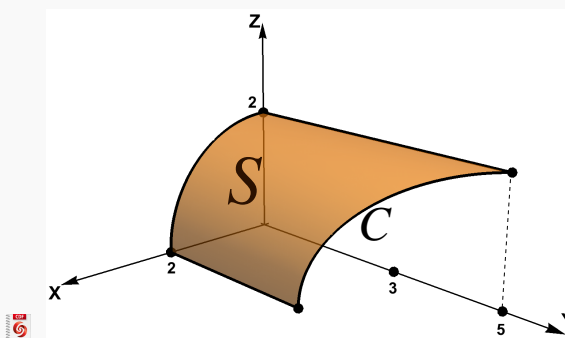


Figura 2.22: Superficie $S_1 : x^2 + z^2 = 4$

Usaremos los vértices $V_1 = (2, 0, 0)$, $V_2 = (2, 3, 0)$, $V_3 = (0, 5, 2)$ y $V_4 = (0, 0, 2)$

- Proyección sobre el plano XY .** La proyección de los vértices es sobre sus coordenadas en el plano XY . La curva C se proyecta sobre la recta $x + y = 5$ (la ecuación de un plano ortogonal al plano XY).

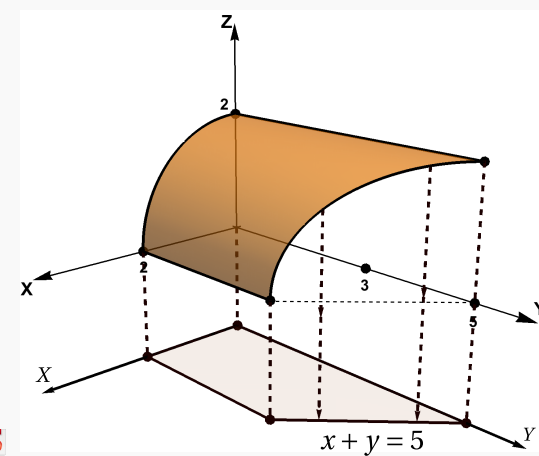


Figura 2.23: Proyección de la superficie S sobre el plano XY

- b.) **Proyección sobre el plano YZ .** La proyección de los vértices es sobre sus coordenadas en el plano YZ . La curva C se proyecta sobre la curva C' . Para determinar la ecuación de C' , usamos el hecho de que esta curva es la proyección de la curva de intersección entre $S: x^2 + z^2 = 4$ y el plano de ecuación $x + y = 5$. Como la curva está en el plano YZ , debemos “eliminar” la variable x : Despejamos en una ecuación y sustituimos en la otra.

$$x^2 + z^2 = 4 \cap x + y = 5 \implies C': (5 - y)^2 + z^2 = 4$$

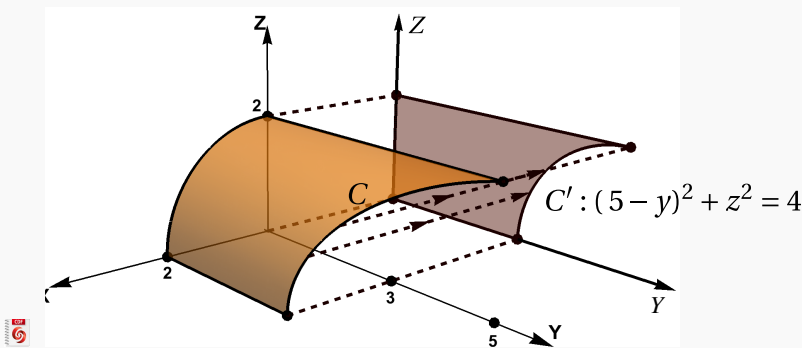


Figura 2.24: Proyección de la superficie S sobre el plano YZ

- c.) **Proyección sobre el plano XZ .** La superficie $S: x^2 + z^2 = 4$ es un cilindro, su proyección sobre este plano es la curva que le dio origen (no una región).

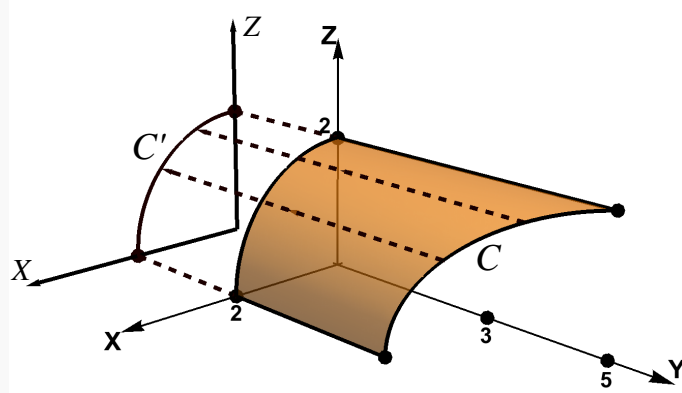


Figura 2.25: Proyección de la superficie S sobre el plano XZ

Proyección de un sólido.

En el caso de sólidos simples, la proyección se determina proyectando las superficies (posiblemente no todas) que lo limitan.

Ejemplo 2.59

Consideremos el sólido Q limitado por la superficie $S_1 : x^2 + z^2 = 4$ y los planos ecuación $S_2 : x + y = 5$, $S_3 : z = 0$, $S_4 : z = 2$ y $S_5 : y = 0$; como se muestra en la figura que sigue.

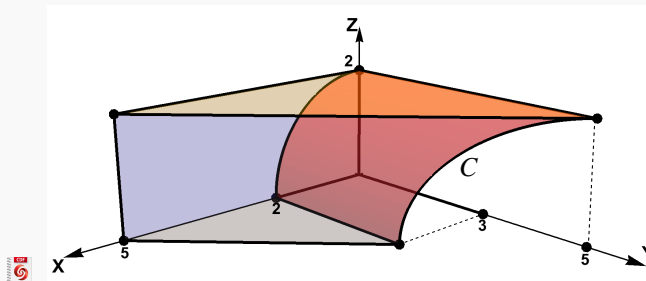
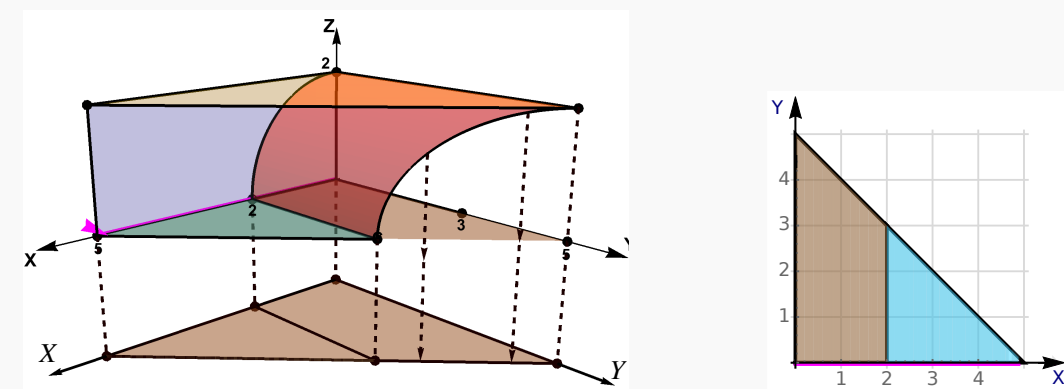


Figura 2.26: Sólido Q

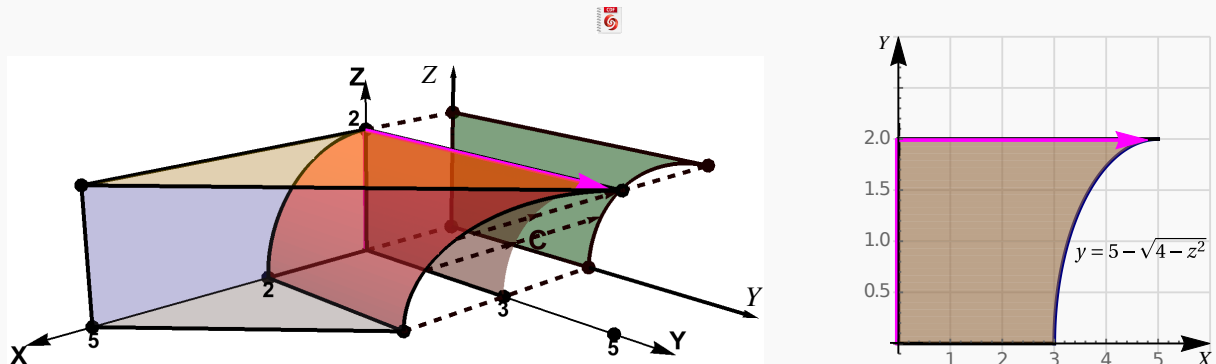
Para proyectar el sólido podríamos usar los vértices $V_1 = (5,0,0)$, $V_2 = (2,0,0)$, $V_3 = (2,3,0)$, $V_4 = (0,5,2)$, $(0,0,2)$ y $(5,0,2)$.

- Proyección sobre el plano XY .** La proyección de los vértices es sobre sus coordenadas en el plano XY . La curva C se proyecta sobre la recta $x + y = 5$ (la ecuación de un plano ortogonal al plano XY).

Figura 2.27: Proyección del sólido Q sobre el plano XY

- b.) **Proyección sobre el plano YZ .** La proyección de los vértices es sobre sus coordenadas en el plano YZ . La curva C se proyecta sobre la curva C' . Para determinar la ecuación de C' , usamos el hecho de que esta curva es la proyección de la curva de intersección entre $S: x^2 + z^2 = 4$ y el plano de ecuación $x + y = 5$. Como la curva está en el plano YZ , debemos “eliminar” la variable x : Despejamos en una ecuación y sustituimos en la otra.

$$x^2 + z^2 = 4 \cap x + y = 5 \implies C': (5 - y)^2 + z^2 = 4 \quad \text{o} \quad y = 5 - \sqrt{4 - z^2}$$

Figura 2.28: Proyección del sólido Q sobre el plano YZ

- c.) **Proyección sobre el plano XZ .** La superficie $S: x^2 + z^2 = 4$ es un cilindro, su proyección sobre este plano es la curva que le dio origen. El plano $z = 2$ proyecta sobre la recta $z = 2$ en el plano $y = 0$.

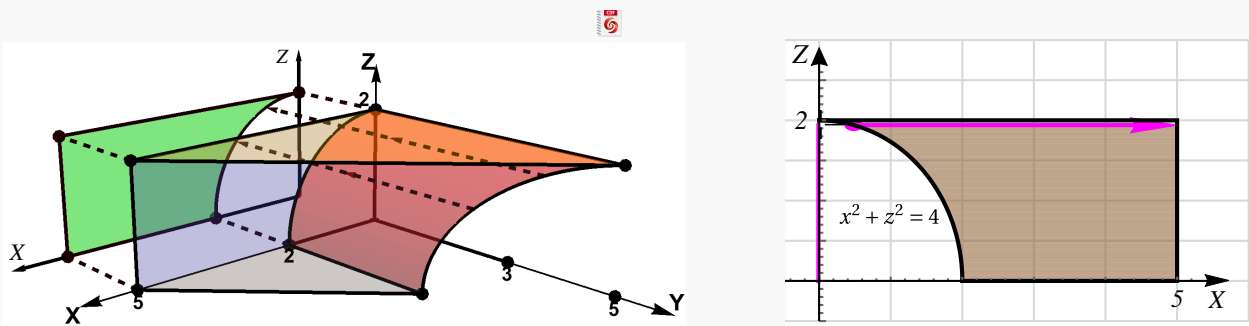
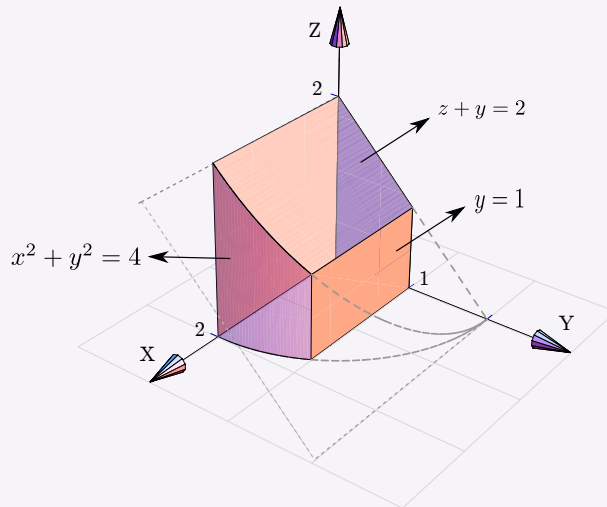


Figura 2.29: Proyección del sólido Q sobre el plano XY

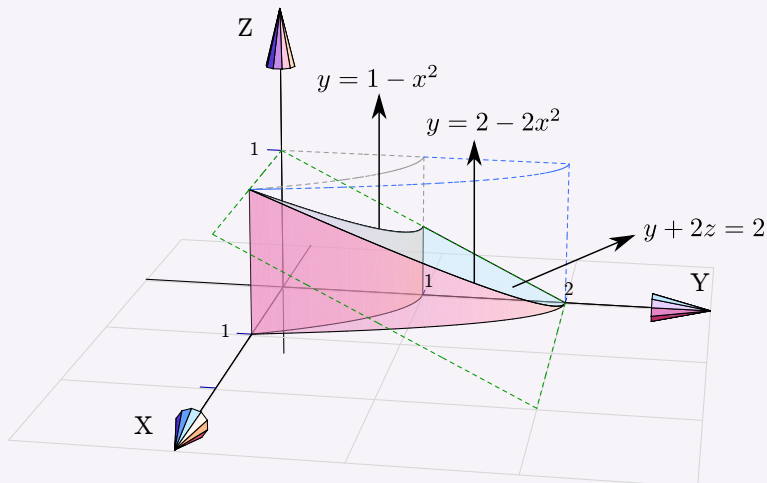
9

Ejercicios

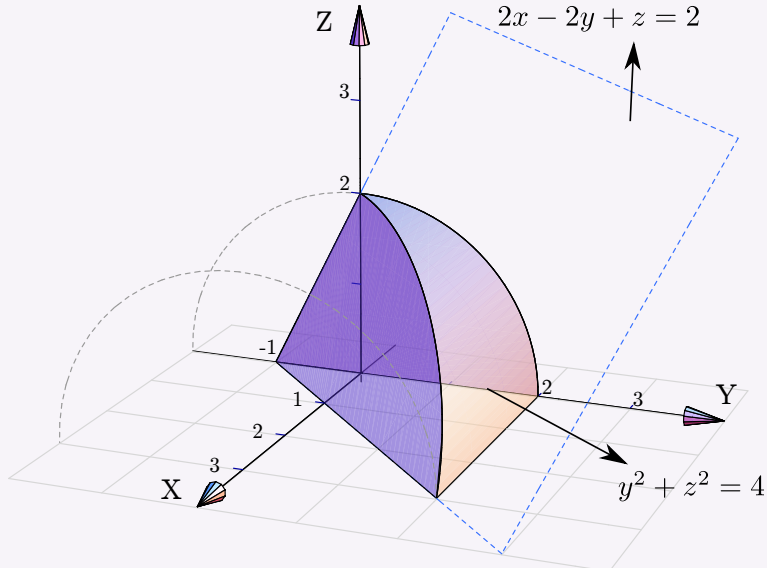
- 2.6.1** Dibujar las proyecciones del sólido Q si este sólido está limitado por $x^2 + y^2 = 4$; $z + y = 2$; $y = 1$; $x = 0$; $y = 0$ y $z = 0$, en el I octante



- 2.6.2** Dibujar las proyecciones del sólido Q si este sólido está limitado por las superficies $y = 2 - 2x^2$; $y = 1 - x^2$; $y + 2z = 2$; $x = 0$ y $z = 0$; en el I octante.



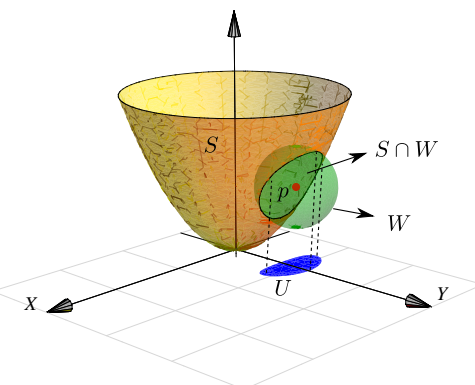
- 2.6.3** Dibujar las proyecciones del sólido Q si este sólido está limitado por la superficie $y^2 + z^2 = 4$ y los planos $2x - 2y + z = 2$; $x = 0$ y $z = 0$.



2.7 (*) Definición formal de una superficie

No todas las superficies (suaves) en \mathbb{R}^3 se pueden describir con una sola ecuación $F(x, y, z) = 0$ (con o sin desigualdades). En general, para estudiar superficies de una manera más general, se requiere estudiarlas “localmente”.

A veces se define una superficie de manera *local*. Una superficie S es un subconjunto de \mathbb{R}^3 que en un entorno de cualquiera de sus puntos, luce como un “parche” de \mathbb{R}^2 , es decir, para cada $p \in S$ existe un entorno abierto $U \subseteq \mathbb{R}^2$ y un entorno $W \subseteq \mathbb{R}^3$ que contiene a p tal que se puede establecer una biyección continua (homeomorfismo) $r_p : U \rightarrow S \cap W$. A cada homeomorfismo r_p se le llama “parche” o *parametrización* del conjunto abierto $S \cap W$. Una colección de tales parches que cubren S se llama un *atlas* de S .



Si una superficie S tiene ecuación $z = f(x, y)$ con $(x, y) \in D \subseteq \mathbb{R}^2$, entonces la superficie sería de un solo “parche”, y una parametrización sería $r(x, y) = x\hat{i} + y\hat{j} + f(x, y)\hat{k}$ con $(x, y) \in D$. Más adelante veremos más ejemplos de superficies y parametrizaciones.



Revisado: Enero, 2018

Versión actualizada de este libro y el formato CDF:
<http://tecdigital.tec.ac.cr/revistamatematica/Libros/>

Introducción

Derivadas parciales.

Derivadas parciales de orden superior

Función diferenciable. Diferencial total.

Regla de la cadena.

Derivadas de una función definida de manera implícita.

(*) Derivación implícita: Caso de dos ecuaciones.

Gradiente.

Parametrización de una curva

Gradiente, curvas y superficies de nivel.

Derivada direccional

Plano tangente y el vector normal.



3 — Cálculo diferencial en varias variables

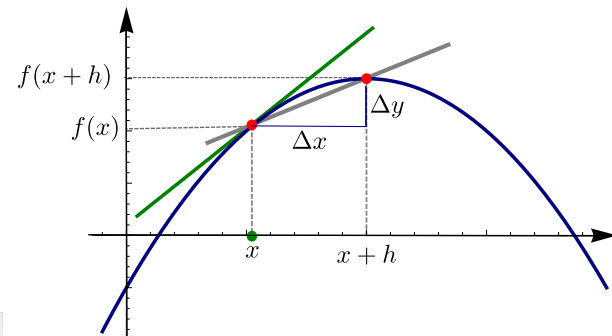
3.1 Introducción

La derivada de una función de una variable mide la tasa de cambio de la variable dependiente respecto a la variable independiente. La derivada de la función $y = f(x)$ en x es,

$$f'(x) = \lim_{\Delta x \rightarrow 0} \frac{\Delta y}{\Delta x} = \lim_{h \rightarrow 0} \frac{f(x+h) - f(x)}{h}$$

siempre y cuando este límite exista. Geométricamente, la derivada de f en x es la pendiente de la recta tangente a f en el punto $(x, f(x))$.

Ver con CFDPlayer



Si $f : \mathbb{R}^2 \rightarrow \mathbb{R}$, la derivada de f en $\mathbf{x} = (x_0, y_0) \in \mathbb{R}^2$, en la dirección de un vector unitario $\mathbf{v} = (v_1, v_2) \in \mathbb{R}^2$, mide la tasa (instantánea) de cambio de f a través de la recta $L(h) = \mathbf{x} + h\mathbf{v}$ cuando $h = 0$. De nuevo, esta derivada en la dirección \mathbf{v} se obtiene como un límite,

$$\lim_{h \rightarrow 0} \frac{f(\mathbf{x} + h\mathbf{v}) - f(\mathbf{x})}{h} = \lim_{h \rightarrow 0} \frac{f(x_0 + hv_1, y_0 + hv_2) - f(x_0, y_0)}{h}.$$

El cambio en la recta L es $\|\mathbf{x} - \mathbf{x} - h\mathbf{v}\| = \|h\mathbf{v}\| = h$ (pues \mathbf{v} es unitario).

La curva de intersección de la superficie S de ecuación $z = f(x, y)$ con el plano generado por la recta L (tal y como se muestra en la figura 3.1) tiene ecuación paramétrica

$$C(h) = (x_0 + hv_1, y_0 + hv_2, f(\mathbf{x} + h\mathbf{v}))$$

Geométricamente, esta derivada de f en \mathbf{x} , es la pendiente de la recta tangente a la curva $C(h)$ en $h = 0$.

 Ver con CFDPlayer

Requiere FreeCDF Player

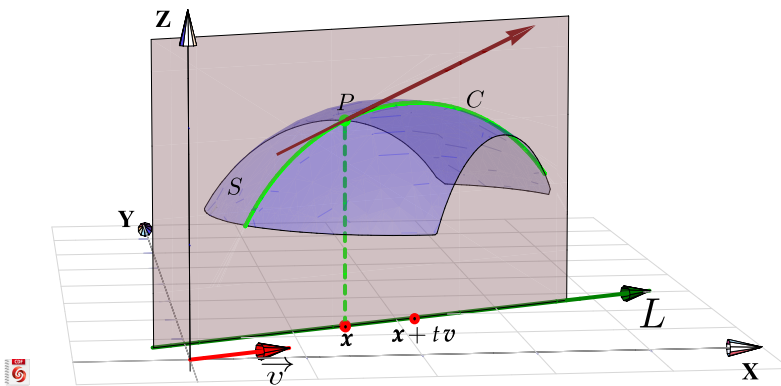


Figura 3.1: Derivada direccional en \mathbf{x} la dirección de \mathbf{v}

De particular interés son la derivada en la dirección del eje X , denotada $\frac{\partial f}{\partial x}$, y la derivada en la dirección del eje Y , denotada $\frac{\partial f}{\partial y}$; llamadas *derivadas parciales* respecto a x e y respectivamente.

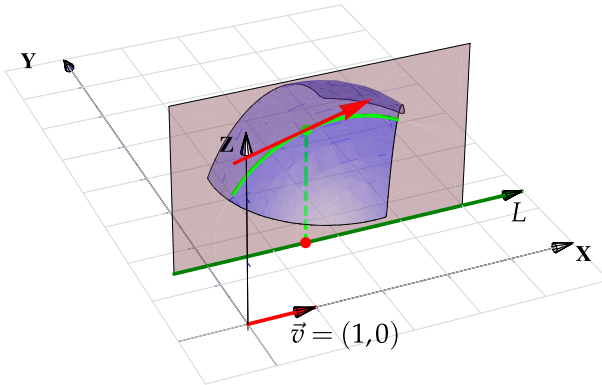


Figura 3.2: Derivada parcial en \mathbf{x} en la dirección de X

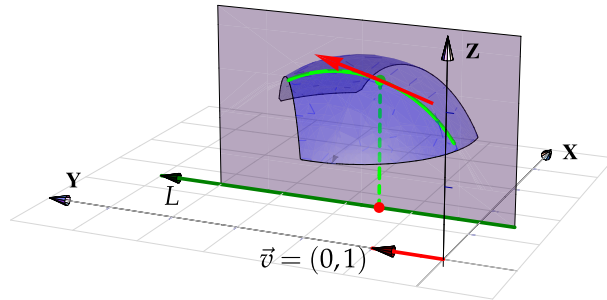


Figura 3.3: Derivada parcial en \mathbf{x} en la dirección de Y

3.2 Derivadas parciales.

Definición 3.1 (Derivadas parciales).

Sea $U \subseteq \mathbb{R}^n$ un conjunto abierto y sea $f : U \rightarrow \mathbb{R}$. Entonces la *derivada parcial* $\frac{\partial f}{\partial x_i}$ de f respecto a la variable x_i en el punto $\mathbf{x} = (x_1, \dots, x_n)$, se define como

$$\frac{\partial f}{\partial \mathbf{x}_i} = \lim_{h \rightarrow 0} \frac{f(x_1, x_2, \dots, \mathbf{x}_i + \mathbf{h}, \dots, x_n) - f(x_1, \dots, x_n)}{h} = \lim_{h \rightarrow 0} \frac{f(\mathbf{x} + h\mathbf{e}_i) - f(\mathbf{x})}{h}$$

siempre y cuando este límite exista. Aquí $\mathbf{e}_i = (0, \dots, 1, \dots, 0)$ con un 1 en la i -ésima posición. El dominio de $\frac{\partial f}{\partial \mathbf{x}_i}$ es el subconjunto de \mathbb{R}^n en el que este límite existe.

Caso de dos variables

Cuando $z = f(x, y)$, es común denotar las derivadas parciales con $\frac{\partial f}{\partial x}$, $\frac{\partial z}{\partial x}$, z_x o f_x . Según la definición,

$$\frac{\partial f}{\partial \mathbf{x}} = \lim_{h \rightarrow 0} \frac{f(\mathbf{x} + \mathbf{h}, y) - f(\mathbf{x}, y)}{h} \quad \text{y} \quad \frac{\partial f}{\partial \mathbf{y}} = \lim_{h \rightarrow 0} \frac{f(\mathbf{x}, \mathbf{y} + \mathbf{h}) - f(\mathbf{x}, \mathbf{y})}{h}$$

Es decir, para calcular $\frac{\partial f}{\partial x}$ derivamos de manera ordinaria f respecto a x pensando en y como una constante y para calcular $\frac{\partial f}{\partial y}$ derivamos de manera ordinaria f respecto a y pensando en x como una constante. Esto es válido siempre y cuando apliquen los teoremas de derivadas en una variable.

Ejemplo 3.1 (Cálculo directo y por definición).

Sea $f(x, y) = \sqrt[3]{x} \sqrt[3]{y}$, entonces aplicando la regla del producto,

$$\frac{\partial f}{\partial \mathbf{x}} = \frac{\partial}{\partial \mathbf{x}} (\sqrt[3]{\mathbf{x}} \sqrt[3]{\mathbf{y}}) = \frac{\sqrt[3]{\mathbf{y}}}{3x^{2/3}}$$

$$\frac{\partial f}{\partial \mathbf{y}} = \frac{\partial}{\partial \mathbf{y}} (\sqrt[3]{\mathbf{x}} \sqrt[3]{\mathbf{y}}) = \frac{\sqrt[3]{\mathbf{x}}}{3y^{2/3}}.$$

Esta es la manera de derivar f respecto a x y respecto a y usando teoremas de derivadas. Sin embargo esto no decide si la función es derivable o no en $(0, 0)$. Para saber si estas derivadas parciales existen en $(0, 0)$, se debe calcular usando la definición,

$$\frac{\partial f}{\partial x}(0, 0) = \lim_{h \rightarrow 0} \frac{f(0 + h, 0) - f(0, 0)}{h} = \lim_{h \rightarrow 0} \frac{0 - 0}{h} = 0,$$

$$\frac{\partial f}{\partial y}(0, 0) = \lim_{h \rightarrow 0} \frac{f(0, 0 + h) - f(0, 0)}{h} = \lim_{h \rightarrow 0} \frac{0 - 0}{h} = 0,$$

es decir, en este caso la derivada parcial $\frac{\partial f}{\partial x}$ existe en $(0,0)$ y es cero y también $\frac{\partial f}{\partial y}(0,0) = 0$.

Ejemplo 3.2 (Derivadas parciales de funciones de dos variables).

En este ejemplo se muestra como calcular derivadas parciales usando las reglas de derivación ordinaria.

Recordemos que en una variable, $[kf(x)]' = kf'(x)$ y $\left[\frac{k}{f(x)}\right]' = \frac{-k \cdot f'(x)}{f^2(x)}$.

- $z = \textcolor{red}{x}^2y^2 + y \implies \frac{\partial z}{\partial \textcolor{red}{x}} = 2\textcolor{red}{x}y^2 + 0$

- $z = x^2\textcolor{red}{y}^2 + \textcolor{red}{y} \implies \frac{\partial z}{\partial \textcolor{red}{y}} = 2x^2\textcolor{red}{y} + 1$

- $z = \frac{x^3}{y^5} = \frac{1}{y^5} \cdot \textcolor{red}{x}^3 \implies \frac{\partial z}{\partial \textcolor{red}{x}} = \frac{1}{y^5} \cdot 3x^2$

- $z = \frac{x^3}{y^5} \implies \frac{\partial z}{\partial \textcolor{red}{y}} = \frac{-x^3 \cdot 5y^4}{y^{10}}$

Recordemos que en una variable, $[a^u]' = a^u \ln(a) u'$ y $[x^\alpha]' = \alpha x^{\alpha-1}$.

- Si $z = \textcolor{red}{x}^y$ con $x > 0$, entonces $\frac{\partial z}{\partial \textcolor{red}{x}} = y\textcolor{red}{x}^{y-1}$

- Si $z = x^y$ con $x > 0$, entonces $\frac{\partial z}{\partial \textcolor{red}{y}} = x^y \ln x$

- Si $C(r, \theta) = r^n \cos(n\theta)$ con $n \in \mathbb{N}$ una constante. Entonces $\frac{\partial C}{\partial r} = nr^{n-1} \cos(n\theta)$ y $\frac{\partial C}{\partial \theta} = -nr^n \sin(n\theta)$

Recordemos que en una variable, si $u = g(x)$ entonces $[f(u)]' = f'(u) \cdot u'$.

- Si $z = \arctan(y/\textcolor{red}{x}) \implies \frac{\partial z}{\partial \textcolor{red}{x}} = \frac{1}{1 + (y/x)^2} \cdot \frac{-y \cdot 1}{x^2}$

- Si $z = \frac{\cos(xy) + x \sen 2y}{2}$ entonces $\frac{\partial z}{\partial x}(\pi, \pi/2) = \left. \frac{-y \sen(xy) + \sen 2y}{2} \right|_{x=\pi, y=\pi/2} = \frac{-\pi \cdot \sen(\pi^2/2)}{4}$.
- Sea f de una variable y derivable, y $z = f(u)$ con $u = x^5 + y^3$, entonces $\frac{\partial z}{\partial x} = f'(u) \cdot 5x^4$ y $\frac{\partial z}{\partial y} = f'(u) \cdot 3y^2$
- Sean f y g funciones derivables de una variable y $z = \frac{f(u)}{g(u)}$ con $u = x^5 + y^3$, entonces
 - $\frac{\partial z}{\partial x} = \frac{\frac{\partial}{\partial x}[f(u)] \cdot g(u) - \frac{\partial}{\partial x}[g(u)] \cdot f(u)}{g^2(u)} = \frac{f'(u) \cdot 5x^4 \cdot g(u) - g'(u) \cdot 5x^4 \cdot f(u)}{g^2(u)}$
 - $\frac{\partial z}{\partial y} = \frac{\frac{\partial}{\partial y}[f(u)] \cdot g(u) - \frac{\partial}{\partial y}[g(u)] \cdot f(u)}{g^2(u)} = \frac{f'(u) \cdot 3y^2 \cdot g(u) - g'(u) \cdot 3y^2 \cdot f(u)}{g^2(u)}$

3.3 Derivadas parciales de orden superior

Si f es una función de dos variables x e y , entonces sus derivadas parciales f_x y f_y también son funciones de dos variables, de modo que podemos considerar sus derivadas parciales $(f_x)_x$, $(f_x)_y$, $(f_y)_x$ y $(f_y)_y$, las cuales cuales se llaman segundas derivadas parciales de f . Si $z = f(x, y)$, se utilizan diferentes notaciones para estas derivadas parciales,

- $(f_x)_x = f_{xx} = f_{11} = \frac{\partial}{\partial x} \left(\frac{\partial f}{\partial x} \right) = \frac{\partial^2 f}{\partial x^2} = \frac{\partial^2 z}{\partial x^2}$
- $(f_x)_y = f_{xy} = f_{12} = \frac{\partial}{\partial y} \left(\frac{\partial f}{\partial x} \right) = \frac{\partial^2 f}{\partial y \partial x} = \frac{\partial^2 z}{\partial y \partial x}$
- $(f_y)_x = f_{yx} = f_{21} = \frac{\partial}{\partial x} \left(\frac{\partial f}{\partial y} \right) = \frac{\partial^2 f}{\partial x \partial y} = \frac{\partial^2 z}{\partial x \partial y}$
- $(f_y)_y = f_{yy} = f_{22} = \frac{\partial}{\partial y} \left(\frac{\partial f}{\partial y} \right) = \frac{\partial^2 f}{\partial y^2} = \frac{\partial^2 z}{\partial y^2}$

La notación f_{xy} o $\frac{\partial^2 f}{\partial y \partial x}$ significa que primero derivamos con respecto a x y luego con respecto a y , mientras que para calcular f_{yx} el orden se invierte.

Ejemplo 3.3

Calcule las segundas derivadas parciales de $f(x,y) = x^3 + x^2y^2 + y^3$

Solución: Las primeras derivadas parciales son

$$f_x(x,y) = 3x^2 + 2xy^2$$

$$f_y(x,y) = 2x^2y + 3y^2$$

De donde obtenemos que :

$$f_{xx}(x,y) = 6x + 2y^2$$

$$f_{yx}(x,y) = \frac{\partial}{\partial x} [2x^2y + 3y^2] = 4xy$$

$$f_{xy}(x,y) = \frac{\partial}{\partial y} [3x^2 + 2xy^2] = 4xy$$

$$f_{yy}(x,y) = 6y + 2x^2$$

Ejemplo 3.4

Sea $f : \mathbb{R} \rightarrow \mathbb{R}$ una función dos veces derivable y sea $z = f(u)$ con $u = x^3y^4$. Entonces,

$$\bullet \frac{\partial z}{\partial x} = f'(u) \cdot 3x^2y^4$$

$$\bullet \frac{\partial z}{\partial y} = f'(u) \cdot x^3 4y^3$$

$$\bullet \frac{\partial^2 z}{\partial x^2} = f''(u) \cdot 3x^2y^4 \cdot 3x^2y^4 + 6xy^4 f'(u)$$

$$\bullet \frac{\partial^2 z}{\partial y^2} = f''(u) \cdot 4x^3y^3 \cdot 4x^3y^3 + 12x^3y^2 f'(u)$$

$$\bullet \frac{\partial^2 z}{\partial y \partial x} = f''(u) \cdot 4x^3y^3 \cdot 3x^2y^4 + 12x^2y^3 f'(u)$$

$$\bullet \frac{\partial^2 z}{\partial x \partial y} = f''(u) \cdot 3x^2y^4 \cdot 4x^3y^3 + 12x^2y^3 f'(u)$$

Ejemplo 3.5

Las ecuaciones diferenciales en derivadas parciales se usan para expresar leyes físicas. Por ejemplo, la ecuación diferencial parcial $\frac{\partial^2 u}{\partial x^2} + \frac{\partial^2 u}{\partial y^2} = 0$, se conoce como ecuación de Laplace, en honor a Pierre Laplace (1749 - 1827). Las soluciones de esta ecuación se llaman funciones armónicas y desempeñan un papel fundamental en las aplicaciones relacionadas con conducción de calor, flujo de fluidos y potencial eléctrico.

Compruebe que la función $u(x,y) = e^y \operatorname{sen} x$ satisface la ecuación de Laplace.

Solución: Las primeras derivadas parciales están dadas por

$$u_x = e^y \cos x$$

$$u_y = e^y \operatorname{sen} x$$

con lo cual

$$\begin{aligned} u_{xx} &= -e^y \operatorname{sen} x \\ u_{yy} &= e^y \operatorname{sen} x \end{aligned}$$

de donde $\frac{\partial^2 u}{\partial x^2} + \frac{\partial^2 u}{\partial y^2} = -e^y \operatorname{sen} x + e^y \operatorname{sen} x = 0$

Ejemplo 3.6

La ecuación de onda $\frac{\partial^2 u}{\partial t^2} = a^2 \frac{\partial^2 u}{\partial x^2}$, donde a es una constante, describe el movimiento de una onda, que puede ser

una onda de sonido, una onda de luz o una onda que viaja a lo largo de una cuerda vibrante. Si f y g son funciones de una sola variable dos veces derivables, compruebe que la función $u(x, t) = f(x + at) + g(x - at)$ satisface la ecuación de onda.

Solución: Primero un cambio de variable. Sea $A = x + at$ y $B = x - at$. De esta manera $u = f(A) + g(B)$. Las derivadas de $u(x, y)$ con respecto a x están dadas por :

$$\frac{\partial u}{\partial x} = f'(A) + g'(B), \quad \frac{\partial^2 u}{\partial x^2} = f''(A) + g''(B)$$

Las derivadas de $u(x, y)$ con respecto a t están dadas por :

$$\frac{\partial u}{\partial t} = af'(A) - ag'(B), \quad \frac{\partial^2 u}{\partial t^2} = a^2 f''(A) + a^2 g''(B)$$

Sustituyendo obtenemos

$$\frac{\partial^2 u}{\partial t^2} = a^2 f''(A) + a^2 g''(B) = a^2 [f''(A) + g''(B)] = a^2 \frac{\partial^2 u}{\partial x^2}$$

Ejemplo 3.7

Consideremos f y g funciones de una sola variable dos veces derivables, compruebe que la función $u(x, y) = xf(x+y) + yg(x+y)$ satisface la ecuación diferencial parcial $u_{xx} - 2u_{xy} + u_{yy} = 0$.

Solución: Primero un cambio de variable. Sea $A = x + y$, entonces $u = xf(A) + yg(A)$. Las derivadas de $u(x, y)$ con respecto a x están dadas por

$$u_x = f(A) + xf'(A) + yg'(A)$$

$$u_{xx} = f'(A) + f'(A) + xf''(A) + yg''(A) = 2f'(A) + xf''(A) + yg''(A)$$

$$u_{xy} = f'(A) + xf''(A) + g'(A) + yg''(A)$$

$$u_y = xf'(A) + g(A) + yg'(A)$$

$$u_{yy} = xf''(A) + g'(A) + g'(A) + yg''(A) = 2f''(A) + 2g'(A) + yg''(A)$$

Sustituyendo,

$$\begin{aligned} u_{xx} - 2u_{xy} + u_{yy} &= 2f'(A) + xf''(x+y) + yg''(A) - 2f'(A) - 2xf''(A) - 2g'(A) \\ &\quad - 2yg''(A) + xf''(A) + 2g'(A) + yg''(A) = 0 \end{aligned}$$

Ejemplo 3.8

Compruebe que la función $u(x,y) = \sqrt{x^2 + y^2 + z^2}$ satisface la ecuación diferencial de Laplace en derivadas parciales $\frac{\partial^2 u}{\partial x^2} + \frac{\partial^2 u}{\partial y^2} + \frac{\partial^2 u}{\partial z^2} = 0$.

Solución: Calculemos las derivadas parciales

$$\frac{\partial u}{\partial x} = \frac{-2x}{2\sqrt{(x^2 + y^2 + z^2)^3}}, \quad \frac{\partial u}{\partial y} = -\frac{y}{(x^2 + y^2 + z^2)^{3/2}}, \quad \frac{\partial u}{\partial z} = -\frac{z}{(x^2 + y^2 + z^2)^{3/2}},$$

$$\frac{\partial u}{\partial x^2} = \frac{2x^2 - y^2 - z^2}{(x^2 + y^2 + z^2)^{5/2}}, \quad \frac{\partial u}{\partial y^2} = -\frac{-x^2 + 2y^2 - z^2}{(x^2 + y^2 + z^2)^{5/2}}, \quad \frac{\partial u}{\partial z^2} = -\frac{-x^2 - y^2 + 2z^2}{(x^2 + y^2 + z^2)^{5/2}}.$$

y al sumarlas obtenemos el resultado deseado.

Observación: Note que las *derivadas parciales mixtas* f_{xy} y f_{yx} en el ejemplo anterior son iguales. El siguiente teorema, da las condiciones bajo las cuales podemos afirmar que estas derivadas son iguales. El teorema es conocido de Clairaut o también como Teorema de Schwarz.

Teorema 3.1 (Teorema de Clairaut o Teorema de Schwarz).

Sea $f : D \subseteq \mathbb{R} \rightarrow \mathbb{R}$ una función escalar donde D es un disco abierto con centro en (a,b) y radio δ , si las funciones f_{xy} y f_{yx} son continuas en D , entonces

$$f_{xy}(a,b) = f_{yx}(a,b)$$

Ejemplo 3.9 (Hipótesis en el Teorema de Clairaut).

Sea $f(x,y) = xy \frac{x^2 - y^2}{x^2 + y^2}$ y $f(0,0) = 0$. Se tiene $f_x(0,0) = f_y(0,0) = 0$, pero $f_{xy}(0,0) \neq f_{yx}(0,0)$. En efecto, aunque f_{xy} y f_{yx} están definidas en $(0,0)$, *no son continuas* en este punto. Para ver esto, podemos calcular estas derivadas de dos maneras distintas y observar que el valor difiere. Primero derivamos sobre la recta $x = 0$ y luego sobre la recta $y = 0$.

$$z_x(0,y) = \lim_{h \rightarrow 0} \frac{f(h,y) - f(0,y)}{h} = \lim_{h \rightarrow 0} \frac{hy(h^2 - y^2)}{h(h^2 + y^2)} = -y$$

y

$$z_x(x,0) = \lim_{h \rightarrow 0} \frac{f(x,h) - f(x,0)}{h} = \lim_{h \rightarrow 0} \frac{hx(h^2 - y^2)}{h(h^2 + y^2)} = x$$

Ahora

$$z_{xy}(0,0) = \lim_{h \rightarrow 0} \frac{f_y(h,0) - f_y(0,0)}{h} = \lim_{h \rightarrow 0} \frac{h-0}{h} = 1 \quad y \quad z_{yx}(0,0) = \lim_{k \rightarrow 0} \frac{f_x(0,k) - f_x(0,0)}{h} = \lim_{h \rightarrow 0} \frac{-k-0}{k} = -1$$

Esto muestra que $f_{xy}(0,0) \neq f_{yx}(0,0)$. El gráfico de $f(x,y)$ muestra un salto en $(0,0)$

10**Ejercicios**

3.3.1 Sea $f(x,y) = \frac{xy}{x^2 - y^2}$. Calcule $\frac{\partial f}{\partial y}$, $\frac{\partial f}{\partial x}$ y $f_y(2,1)$.

3.3.2 Sea $f(x,y) = \ln^5(x^y + x^2 + 2^y)$ Calcule $\frac{\partial f}{\partial y}$, $\frac{\partial f}{\partial x}$.

3.3.3 Sea $z(x,y) = 2(ax + by)^2 - (x^2 + y^2)$ con $a^2 + b^2 = 1$. Verifique que $\frac{\partial^2 z}{\partial x^2} + \frac{\partial^2 z}{\partial y^2} = 0$.

3.3.4 Sea $z = f\left(\frac{x^2}{y}\right)$ con f derivable. Verifique que $x\frac{\partial z}{\partial x} + 2y\frac{\partial z}{\partial y} = 0$.

3.3.5 Sea $z = \sqrt{xy + \arctan\left(\frac{y}{x}\right)}$. Demuestre que $zx\frac{\partial z}{\partial x} + zy\frac{\partial z}{\partial y} = xy$.

3.3.6 Sea $C(x,t) = t^{-1/2} e^{-x^2/kt}$. Verifique que esta función satisface la ecuación (de difusión)

$$\frac{k}{4} \cdot \frac{\partial^2 C}{\partial x^2} = \frac{\partial C}{\partial t}$$

3.3.7 Sea $z = f(x^2y + y) \cdot \sqrt{x + y^2}$. Calcule $\frac{\partial z}{\partial y}$, $\frac{\partial z}{\partial x}$.

3.3.8 Verifique que $u(x,y) = e^y \operatorname{sen} x$ satisface la ecuación de Laplace $\frac{\partial^2 u}{\partial x^2} + \frac{\partial^2 u}{\partial y^2} = 0$

3.3.9 Sea $a \in \mathbb{R}$ una constante. Verifique que $u(x,t) = \operatorname{sen}(x - at) + \ln(x + at)$ es solución de la ecuación de onda $u_{tt} = a^2 u_{xx}$.

3.3.10 Sea $a \in \mathbb{R}$ una constante y f y g funciones dos veces derivables. Verifique que $u(x,t) = f(x - at) + g(x + at)$ es solución de la ecuación de onda $u_{tt} = a^2 u_{xx}$.

3.3.11 Verifique que $z = \ln(e^x + e^y)$ es solución de las ecuaciones diferenciales $\frac{\partial z}{\partial x} + \frac{\partial z}{\partial y} = 1$ y de la ecuación diferencial $\frac{\partial^2 z}{\partial x^2} \cdot \frac{\partial^2 z}{\partial y^2} - \left(\frac{\partial^2 z}{\partial x \partial y} \right)^2 = 0$.

3.3.12 Sea f una función derivable en todo \mathbb{R} y sea $w(x,y) = f(y \operatorname{sen} x)$. Verifique que

$$\cos(x) \frac{\partial w}{\partial x} + y \operatorname{sen}(x) \frac{\partial w}{\partial y} = y f'(y \operatorname{sen} x)$$

3.3.13 Sea $g(x,y) = x^2 \operatorname{sen}(3x - 2y)$. Verifique la identidad

$$x \cdot \frac{\partial^2 g}{\partial y \partial x} = 2 \frac{\partial g}{\partial y} + 6x \cdot g(x,y).$$

3.3.14 La resistencia total R producida por tres conductores con resistencias R_1 , R_2 y R_3 conectados en paralelo en un circuito eléctrico está dado por la fórmula $\frac{1}{R} = \frac{1}{R_1} + \frac{1}{R_2} + \frac{1}{R_3}$. Calcule $\frac{\partial R}{\partial R_1}$. Sugerencia: derive a ambos lados respecto a R_1 .

3.3.15 La ley de gases para un gas ideal de masa fija m , temperatura absoluta T , presión P y volumen V es $PV = mRT$ donde R es la constante universal de los gases ideales. Verifique que $\frac{\partial P}{\partial V} \frac{\partial V}{\partial T} \frac{\partial T}{\partial P} = -1$.

3.3.16 La energía cinética de un cuerpo de masa m y velocidad v es $K = \frac{1}{2}mv^2$. Verifique que $\frac{\partial K}{\partial m} \frac{\partial^2 K}{\partial v^2} = K$.

3.3.17 Sea f y g funciones dos veces derivables. Sea $u = x^2 + y^2$ y $w(x,y) = f(u) \cdot g(y)$. Calcule $\frac{\partial w}{\partial x}$, $\frac{\partial^2 w}{\partial x^2}$, $\frac{\partial^2 w}{\partial y \partial x}$ y $\frac{\partial w}{\partial y}$.

3.3.18 Sea f y g funciones dos veces derivables. Sea $w(x,y) = f(u) + g(v)$ donde $u = \frac{x}{y}$ y $v = \frac{y}{x}$. Calcule $\frac{\partial w}{\partial x}$, $\frac{\partial^2 w}{\partial y \partial x}$.

3.3.19 Sea $w = e^{3x} \cdot f(x^2 - 4y^2)$, donde f es una función dos veces diferenciable. Calcule $\frac{\partial^2 w}{\partial x \partial y}$.

3.3.20 Sea $u(r, \theta) = r^n \cos(n\theta)$ con $n \in \mathbb{N}$ una constante. Verifique que u satisface la ecuación

$$u_{rr} + \frac{u_r}{r} + \frac{u_{\theta\theta}}{r^2} = 0$$

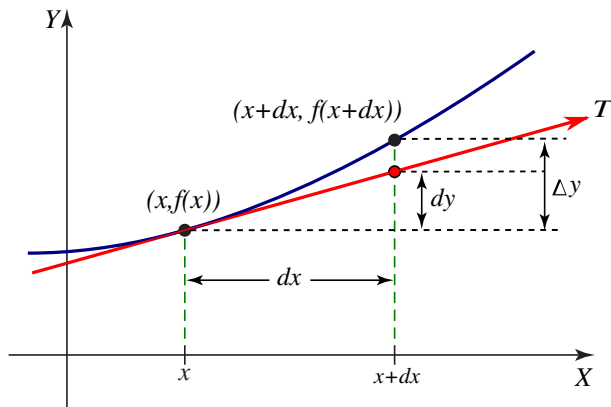
3.4 Función diferenciable. Diferencial total.

Definición 3.2 (Función diferenciable)

Sea $f : U \subset \mathbb{R}^2 \rightarrow \mathbb{R}$. Si las derivadas parciales de f existen y son continuas en un entorno de $(x_0, y_0) \in U$, entonces f se dice *diferenciable* en (x_0, y_0) .

En una variable, $\Delta y = f(x_0 + \Delta x) - f(x_0)$ se puede aproximar con el diferencial $dy = f'(x_0) dx$, es decir, como $f'(x) \approx \frac{\Delta y}{\Delta x}$, entonces

$$\Delta y \approx f'(x) dx = dy$$



De manera similar, el cambio en f en dos variables es

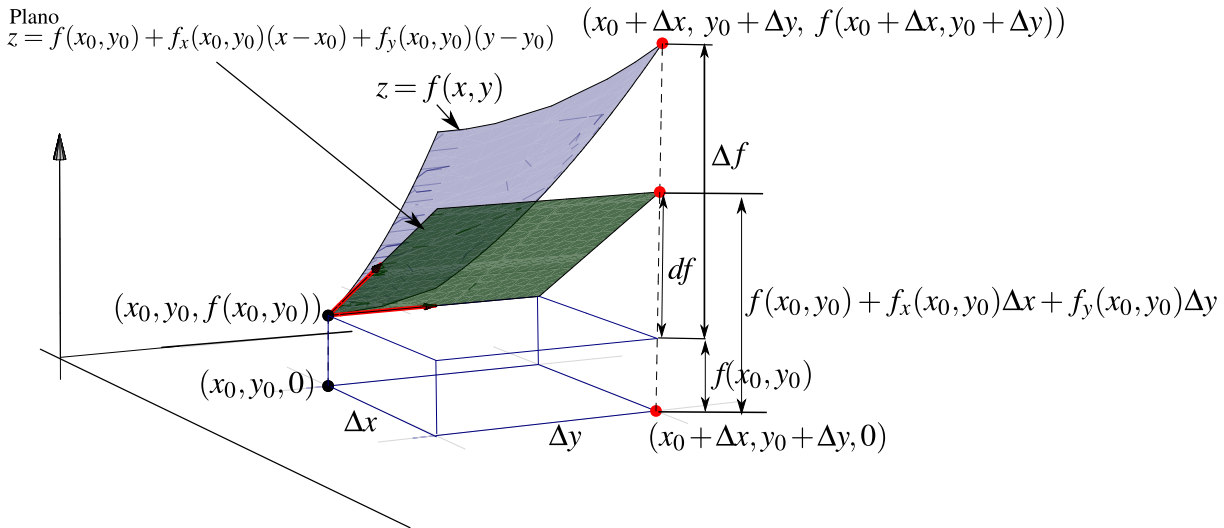
$$\Delta f = f(x_0 + \Delta x, y_0 + \Delta y) - f(x_0, y_0)$$

y se puede aproximar con el *diferencial total*,

$$df = f_x(x_0, y_0) dx + f_y(x_0, y_0) dy$$

Es decir, si f es diferenciable en (x_0, y_0) y si $\Delta x = x - x_0$ y $\Delta y = y - y_0$ son pequeños, entonces f se puede aproximar usando el plano tangente:

$$f(x_0 + \Delta x, y_0 + \Delta y) = f(x, y) \approx f(x_0, y_0) + f_x(x_0, y_0) \Delta x + f_y(x_0, y_0) \Delta y.$$



Si $z = f(x, y)$ es diferenciable, el diferencial total df representa el incremento de f a lo largo del plano tangente a f en el punto (x, y) . Sería como calcular con el plano tangente en vez de usar la superficie S (ver figura anterior).

3.5 Regla de la cadena.

Recordemos que en una variable, si $f(u)$ y $u(x)$ son derivables, entonces la regla de la cadena establece

$$\frac{df}{dx} = \frac{df}{du} \frac{du}{dx}$$

La regla de la cadena nos indica como varía f conforme recorremos la trayectoria $u(x)$. Formalmente es la derivada de f en presencia de un cambio de variable u . En funciones de varias variables la relación persiste en un siguiente sentido

Teorema 3.2 (Regla de la cadena – Caso I).

Sean $x = x(t)$ y $y = y(t)$ derivables y $z = f(x, y)$ diferenciable en $(x, y) = (x(t), y(t))$, entonces si $z = f(\textcolor{red}{x}(t), \textcolor{red}{y}(t))$ es derivable,

$$\frac{dz}{dt} = \frac{\partial f}{\partial x} \textcolor{red}{x}'(t) + \frac{\partial f}{\partial y} \textcolor{red}{y}'(t) = \nabla z(x(t), y(t)) \cdot (x'(t), y'(t))$$

Una interpretación en Física es que $\frac{dz}{dt}$ es un porcentaje del vector velocidad (interpretación del producto punto).

Teorema 3.3 (Regla de la cadena – Caso II.)

Sean $u = u(x, y)$ y $v = v(x, y)$ con derivadas parciales en (x, y) . Si $z = f(u, v)$ es diferenciable en $(u, v) = (u(x, y), v(x, y))$ entonces $z = f(\textcolor{red}{u}, \textcolor{red}{v})$ tiene derivadas parciales de primer orden en (x, y) y

$$\frac{\partial z}{\partial x} = \frac{\partial f}{\partial u} \frac{\partial u}{\partial x} + \frac{\partial f}{\partial v} \frac{\partial v}{\partial x}$$

$$\frac{\partial z}{\partial y} = \frac{\partial f}{\partial u} \frac{\partial u}{\partial y} + \frac{\partial f}{\partial v} \frac{\partial v}{\partial y}$$

Ejemplo 3.10

Sea $z(x,y) = \sqrt{\arctan(y/x) + \tan(xy)}$. Podemos hacer un cambio de variable y calcular $\frac{\partial z}{\partial x}$ usando la regla de la cadena. Sea $u(x,y) = \arctan(y/x)$ y $v(x,y) = \tan(xy)$, entonces $z = \sqrt{u+v}$.

$$\begin{aligned}\frac{\partial z}{\partial x} &= \frac{\partial z}{\partial u} \frac{\partial u}{\partial x} + \frac{\partial z}{\partial v} \frac{\partial v}{\partial x} \\ &= \frac{1}{2\sqrt{u+v}} \frac{1}{1+(y/x)^2} \cdot \frac{-y \cdot 1}{x^2} + \frac{1}{2\sqrt{u+v}} y \sec^2(xy)\end{aligned}$$

Al sustituir u y v obtenemos el resultado completo, si fuera necesario.

Ejemplo 3.11

Sea $z(x,y) = x^2 + 3y^2$, donde $x = e^t$ y $y = \cos(t)$ entonces

$$\begin{aligned}\frac{dz}{dt} &= \frac{\partial z}{\partial x} \frac{dx}{dt} + \frac{\partial z}{\partial y} \frac{dy}{dt} \\ &= 2xe^t - 6y \sin(t) = 2e^{2t} - 6 \cos(t) \sin(t)\end{aligned}$$

Ejemplo 3.12

Sea $z(u,v) = x^2e^{y^3}$, donde $x = uv$ y $y = u^2 - v^3$ entonces

$$\begin{aligned}\frac{\partial z}{\partial u} &= \frac{\partial z}{\partial x} \frac{\partial x}{\partial u} + \frac{\partial z}{\partial y} \frac{\partial y}{\partial u} \\ &= 2xe^{y^3} \frac{\partial x}{\partial u} + 3x^2y^2e^{y^3} \frac{\partial y}{\partial u} = 2xe^{y^3}v + 3x^2y^2e^{y^3}2u\end{aligned}$$

$$\begin{aligned}\frac{\partial z}{\partial v} &= \frac{\partial z}{\partial x} \frac{\partial x}{\partial v} + \frac{\partial z}{\partial y} \frac{\partial y}{\partial v} \\ &= 2xe^{y^3} \frac{\partial x}{\partial v} + 3x^2y^2e^{y^3} \frac{\partial y}{\partial v} = 2xe^{y^3} u + 3x^2y^2e^{y^3} \cdot -3v^2\end{aligned}$$

Ejemplo 3.13

Sea f una función diferenciable y $z(x,y) = f(x^2, xy^2)$. Para derivar usando la regla de la cadena usamos el cambio de variable $u = x^2$ y $v = xy^2$, entonces $z(x,y) = f(u,v)$ y

$$\begin{aligned}\frac{\partial z}{\partial x} &= \frac{\partial f}{\partial u} \cdot \frac{\partial u}{\partial x} + \frac{\partial f}{\partial v} \cdot \frac{\partial v}{\partial x} \\ &= \frac{\partial f}{\partial u} \cdot 2x + \frac{\partial f}{\partial v} \cdot y^2 \\ \frac{\partial z}{\partial y} &= \frac{\partial f}{\partial u} \cdot \frac{\partial u}{\partial y} + \frac{\partial f}{\partial v} \cdot \frac{\partial v}{\partial y} = \frac{\partial f}{\partial u} \cdot 0 + \frac{\partial f}{\partial v} \cdot 2xy\end{aligned}$$

Ejemplo 3.14

Sea f una función derivable y $z = f(x,y)$ con $x = r\cos\theta$, $y = r\sin\theta$, entonces

$$\begin{aligned}\frac{\partial z}{\partial r} &= \frac{\partial f}{\partial x} \frac{\partial x}{\partial r} + \frac{\partial f}{\partial y} \frac{\partial y}{\partial r} = \frac{\partial f}{\partial x} \cos\theta + \frac{\partial f}{\partial y} \sin\theta \\ \frac{\partial z}{\partial \theta} &= \frac{\partial f}{\partial x} \frac{\partial x}{\partial \theta} + \frac{\partial f}{\partial y} \frac{\partial y}{\partial \theta} = \frac{\partial f}{\partial x} \cdot -r\sin\theta + \frac{\partial f}{\partial y} r\cos\theta\end{aligned}$$

Ejemplo 3.15

Si $z(x,y) = g(y) \cdot f(x-2y, y^3)$. Calcule z_x y z_{xy} .

Solución: Sea $u = x-2y$, $v = y^3$. Entonces $z(x,y) = g(y)f(u,v)$.

$$z_x = g(y) [f_u \cdot 1 + f_v \cdot 0] = g(y) f_u(u,v)$$

$$z_{xy} = g'(y) \cdot 1 \cdot f_u(u,v) + g(y) [-2f_{uu} + 3y^2 f_{uv}]$$

Ejemplo 3.16

Sea $V = V(P, T)$. Si $P(V - b)e^{RV} = RT$, con b, R constantes, calcule $\frac{\partial V}{\partial T}$.

Solución: V es función de P y T . Derivamos a ambos lados respecto a T ,

$$\begin{aligned}\frac{\partial}{\partial T} [P(V - b)e^{RV}] &= \frac{\partial}{\partial T} [RT] \\ P[V_T e^{RV} + (V - b)e^{RV} R V_T] &= R \\ \therefore V_T &= \frac{R}{Pe^{RV}(1 + (V - b)R)}.\end{aligned}$$

Ejemplo 3.17

Sea $z(x, y) = g(u, v)$ con $u = x^2y^2$ y $v = xy$. Calcule $\frac{\partial^2 z}{\partial y \partial x}$.

Solución:

$$\begin{aligned}\frac{\partial z}{\partial x} &= \frac{\partial g}{\partial u} \frac{\partial u}{\partial x} + \frac{\partial g}{\partial v} \frac{\partial v}{\partial x} = \frac{\partial g}{\partial u} \cdot 2xy^2 + \frac{\partial g}{\partial v} \cdot y \\ \frac{\partial^2 z}{\partial y \partial x} &= \frac{\partial}{\partial y} \left[\frac{\partial g(u, v)}{\partial u} \right] \cdot 2xy^2 + \frac{\partial}{\partial y} [2xy^2] \cdot \frac{\partial g}{\partial u} + \frac{\partial g(u, v)}{\partial v} + y \cdot \frac{\partial}{\partial y} \left[\frac{\partial g(u, v)}{\partial v} \right] \\ &= \left[\frac{\partial^2 g}{\partial u^2} \cdot u_y + \frac{\partial^2 g}{\partial v \partial u} \cdot v_y \right] \cdot 2xy^2 + 4xy \cdot \frac{\partial g}{\partial u} + \frac{\partial g(u, v)}{\partial v} + y \cdot \left[\frac{\partial^2 g}{\partial u \partial v} \cdot u_y + \frac{\partial^2 g}{\partial v^2} \cdot v_y \right] \\ &= \left[\frac{\partial^2 g}{\partial u^2} \cdot 2yx^2 + \frac{\partial^2 g}{\partial v \partial u} \cdot x \right] \cdot 2xy^2 + 4xy \cdot \frac{\partial g}{\partial u} + \frac{\partial g(u, v)}{\partial v} + y \cdot \left[\frac{\partial^2 g}{\partial u \partial v} \cdot 2yx^2 + \frac{\partial^2 g}{\partial v^2} \cdot x \right]\end{aligned}$$

Ejemplo 3.18

Sea $F(u, v) = -u - v$ con $u^2 = x - y$ y $v^2 = x + y$. Si $u \neq 0$ y $v \neq 0$, verifique

a.) $F_x = -\frac{u+v}{2uv}$.

b.) $F_y = -\frac{v-u}{2uv}$.

Solución: Primero veamos que $2uu_x = 1$, $2vv_x = 1$, $2uu_y = -1$ y $2vv_y = 1$. Por lo tanto

a.) $F_x = F_u u_x + F_v v_x = -1 \cdot \frac{1}{2u} - 1 \cdot \frac{1}{2v} = -\frac{u+v}{2uv}$.

b.) $F_y = F_u u_y + F_v v_y = -1 \cdot \left(-\frac{1}{2u}\right) - 1 \cdot \frac{1}{2v} = -\frac{v-u}{2uv}$.

11**Ejercicios**

3.5.1 Sea $z = xy^2 + x$ con $x = \operatorname{sent} t$ y $y = \tan(t)$. Calcule $\frac{dz}{dt}$.

3.5.2 Sea $w = x^2 + 2xy + y^2$ con $x = t \cos t$ y $y = t \operatorname{sent} t$. Calcule $\frac{dw}{dt}$.

3.5.3 Sea $z = u\sqrt{u+v^2}$ con $u = xy$ y $v = \arctan(y/x)$. Calcule $\frac{\partial z}{\partial x}$ y $\frac{\partial z}{\partial y}$.

3.5.4 Sea $z = g(y) \cdot f(x, y)$ con f y g funciones con derivadas de segundo orden.

a.) Calcule $\frac{\partial z}{\partial x}$

b.) Calcule $\frac{\partial z}{\partial y}$

c.) Si $x = t^2$ y $y = u^2 + t^3$, calcule $\frac{\partial z}{\partial t}$ y $\frac{\partial z}{\partial u}$

3.5.5 Sea $z = f(xy, x)$. Si f tiene derivadas parciales de segundo orden f_u, f_{uv}, f_{uu} y f_{vv} , calcular $\frac{\partial^2 z}{\partial y \partial x}$.

3.5.6 Sea $z = \frac{\partial f}{\partial x} + \frac{\partial f}{\partial y}$, donde $f = f(x, y)$ es una función con derivadas de segundo orden. Si $x = u^2 + v$ y $y = u + v^2$, calcule $\frac{\partial z}{\partial u}$ y $\frac{\partial z}{\partial v}$.

3.5.7 Sea $z = f(u, v)$, donde $u = x^2 + y^2$, $v = xy$. Si f tiene derivadas parciales de segundo orden f_u, f_{uv}, f_{uu} y f_{vv} continuas (es decir, $f_{uv} = f_{vu}$). Verifique que:

$$\frac{\partial^2 z}{\partial x^2} = 2 \frac{\partial f}{\partial u} + 4x^2 \frac{\partial^2 f}{\partial u^2} + 4xy \frac{\partial^2 f}{\partial u \partial v} + y^2 \frac{\partial^2 f}{\partial v^2}$$

3.5.8 Sea $z = f(x^2 + \cos y, x^2 - 1) - g(3xy^2)$ con g derivable y f con derivadas parciales continuas y de segundo orden. Calcule z_{xy}

3.5.9 Sea $z = x^2 f^4(xy, y^2)$ con f con derivadas parciales continuas. Calcule z_y y z_x

3.5.10 Sea $z = f(x^2 - y, xy)$ donde $s = x^2 - y$ y $t = xy$. Calcule $\frac{\partial f}{\partial t}$ y $\frac{\partial f}{\partial s}$ (Sugerencia: Calcule z_x y z_y y despeje lo que se pide).

3.5.11 Verifique que si f es diferenciable, la función $z = f(xy)$ satisface la ecuación

$$x \frac{\partial z}{\partial x} - y \frac{\partial z}{\partial y} = 0$$

3.5.12 Sea $u = f(r)$ con f derivable y $r^2 = x^2 + y^2 + z^2$. Mostrar que

$$x u_x + y u_y + z u_z = r f'(r)$$

3.5.13 Supongamos que se sabe que

$$x \frac{\partial z}{\partial x} + y \frac{\partial z}{\partial y} = 2x^2 \operatorname{sen}(xy) \quad \text{con } x > 0 \quad y \quad y > 0. \quad (*)$$

Verifique que aplicando un cambio de variable de (x, y) a (u, v) donde $u = xy$ y $v = x/y$; entonces la ecuación $(*)$ se convierte en la ecuación

$$\frac{\partial z}{\partial u} = v \operatorname{sen} u$$

Sugerencia: Como $z = z(u, v)$; calcule las derivadas parciales y luego despeje x y y en el cambio de variable. Al sustituir, obtiene el resultado.

3.6 Derivadas de una función definida de manera implícita.

Supongamos que se conoce que z es una función de x e y , es decir, $z = f(x, y)$, pero que z está definida de manera implícita por una ecuación del tipo

$$F(x, y, z) = 0$$

Estas situaciones ya las hemos encontrado antes, por ejemplo en la ecuación de una esfera: $x^2 + y^2 + z^2 = a^2$. Esta ecuación define a z como una función de x y y y en este caso, z se puede despejar:

$$z = \sqrt{a^2 - x^2 - y^2} \quad \text{y} \quad z = -\sqrt{a^2 - x^2 - y^2}$$

Cuando una función está definida de manera implícita, no siempre es posible despejarla. Por ejemplo considere $y^2 + xz + z^2 - e^z - 1 = 0$. Pero si podemos calcular las derivadas parciales.

Podemos deducir, de manera informal, las fórmulas para z_x y z_y . Supongamos que $z = z(x, y)$ es una función diferenciable que satisface la ecuación $F(x, y, z(x, y)) = 0$ en algún conjunto abierto D .

Sea $g(x, y) = F(x, y, z) = 0$, aplicando la regla de la cadena a $g(x, y) = F(u, v, w)$, con $u(x, y) = x$, $v(x, y) = y$ y $w(x, y) = z(x, y)$, obtenemos

$$\frac{\partial g}{\partial x} = \frac{\partial F}{\partial u} \frac{\partial u}{\partial x} + \frac{\partial F}{\partial v} \frac{\partial v}{\partial x} + \frac{\partial F}{\partial w} \frac{\partial w}{\partial x}$$

y

$$\frac{\partial g}{\partial y} = \frac{\partial F}{\partial u} \frac{\partial u}{\partial y} + \frac{\partial F}{\partial v} \frac{\partial v}{\partial y} + \frac{\partial F}{\partial w} \frac{\partial w}{\partial y}$$

Ahora, como $\frac{\partial g}{\partial x} = 0$ y $\frac{\partial v}{\partial x} = 0$, entonces

$$\frac{\partial g}{\partial x} = 1 \cdot \frac{\partial F}{\partial u} + \frac{\partial F}{\partial w} \frac{\partial z}{\partial x} = 0$$

Despejando,

$$\frac{\partial z}{\partial x} = - \frac{\frac{\partial F}{\partial x}}{\frac{\partial F}{\partial z}} \quad \text{en todos los puntos de } D \text{ donde } \left. \frac{\partial F}{\partial z} \right|_{(x, y, z(x, y))} \neq 0$$

De manera similar, $\frac{\partial z}{\partial y} = - \frac{\frac{\partial F}{\partial y}}{\frac{\partial F}{\partial z}}$

Teorema 3.4

Si F es diferenciable en un conjunto abierto D de \mathbb{R}^n y si la ecuación $F(x_1, x_2, \dots, x_n) = 0$ define a x_n como una función diferenciable $x_n = f(x_1, x_2, \dots, x_{n-1})$ en algún conjunto abierto de \mathbb{R}^{n-1} , entonces

$$\frac{\partial f}{\partial x_i} = - \frac{\frac{\partial F}{\partial x_i}}{\frac{\partial F}{\partial x_n}}$$

en aquellos puntos en los que $\frac{\partial F}{\partial x_n} \neq 0$.

z definida de manera implícita por $F(x,y,z) = 0$.

Si $z = z(x,y)$ está definida de manera implícita por $F(x,y,z) = 0$ de acuerdo a las hipótesis del teorema 3.6, entonces

$$z_x = -\frac{F_x}{F_z} \quad y \quad z_y = -\frac{F_y}{F_z}.$$

En el teorema de la función implícita podemos intercambiar variables. Por ejemplo, si x y z son las variables independientes y si se cumplen las hipótesis del teorema,

$$y_x = -\frac{F_x}{F_y} \quad y \quad y_z = -\frac{F_z}{F_y}.$$

Este teorema se puede generalizar para ecuaciones $F(x,y,z,u) = 0$.

Ejemplo 3.19

Sea z definida de manera implícita por $F(x,y,z) = xyz + x + y - z = 0$. Como se cumplen las condiciones del teorema 3.6 entonces

$$z_x = -\frac{F_x}{F_z} = -\frac{zy+1}{xy-1} \quad y \quad z_y = -\frac{F_y}{F_z} = -\frac{zx+1}{xy-1}$$

Ejemplo 3.20

Calcule z_x y z_y si $F(x,y,z) = x^2 - 2y^2 + 3z^2 - yz + y = 0$ define a z como $z = z(x,y)$.

Solución: Dado que $F_x = 2x$, $F_y = -4y - z + 1$, $F_z = 6z - y$, entonces si $F_z \neq 0$,

$$z_x = -\frac{2x}{6z-y}$$

$$z_y = -\frac{1-4y-z}{6z-y}$$

en $\mathbb{R}^2 - \{(x,y) \in \mathbb{R}^2 : 6z(x,y) - y = 0\}$

Ejemplo 3.21

Considere la función z definida de manera implícita por $x^2 + y^2 + z^2 - 1 = 0$. Calcular z_x , z_y , z_{xx} , z_{yy} y z_{yx}

Solución:

z está definida de manera implícita por $F(x, y, z) = x^2 + y^2 + z^2 - 1 = 0$. Entonces,

$$z_x = -\frac{F_x}{F_z} = -\frac{x}{z} \quad \text{y} \quad z_y = -\frac{F_y}{F_z} = -\frac{y}{z}$$

Para calcular z_{xy} , z_{xx} y z_{yy} debemos notar que z_x y z_y no son funciones definidas de implícita, como tal derivamos de manera ordinaria.

$$z_{xx} = \frac{\partial(z_x)}{\partial x} = \frac{\partial}{\partial x} \left(-\frac{x}{z} \right) = -\frac{1 \cdot z - x z_x}{z^2} = -\frac{z - x \left(-\frac{x}{z} \right)}{z^2},$$

$$z_{yy} = \frac{\partial(z_y)}{\partial y} = \frac{\partial}{\partial y} \left(-\frac{y}{z} \right) = -\frac{1 \cdot z - y z_y}{z^2} = -\frac{z^2 + y^2}{z^3},$$

$$z_{yx} = \frac{\partial(z_y)}{\partial x} = \frac{\partial}{\partial x} \left(-\frac{y}{z} \right) = \frac{y \cdot z_x}{z^2} = \frac{y \left(-\frac{x}{z} \right)}{z^2}.$$

Ejemplo 3.22

Si $F(xz, yz) = 0$ define a z como función implícita de x e y y además cumple con las condiciones del teorema 3.6 en cada punto de una región D , entonces verifique que, en D , se satisface la ecuación

$$y \cdot \frac{\partial z}{\partial y} + x \cdot \frac{\partial z}{\partial x} = -z$$

Solución: Sea $u = xz$ y $v = yz$, entonces $F(xz, yz) = F(u, v) = 0$.

$$\frac{\partial z}{\partial y} = -\frac{F_y}{F_z} = -\frac{F_u \cdot 0 + F_v \cdot z}{F_u \cdot x + F_v \cdot y}$$

$$\frac{\partial z}{\partial x} = -\frac{F_x}{F_z} = -\frac{F_u \cdot z + F_v \cdot 0}{F_u \cdot x + F_v \cdot y}$$

Luego

$$\begin{aligned}
 y \cdot \frac{\partial z}{\partial y} + x \cdot \frac{\partial z}{\partial x} &= -y \cdot \frac{F_v \cdot z}{F_u \cdot x + F_v \cdot y} + -x \cdot \frac{F_u \cdot z}{F_u \cdot x + F_v \cdot y} \\
 &= -\frac{z(F_u \cdot x + F_v \cdot y)}{F_u \cdot x + F_v \cdot y} \\
 &= -z
 \end{aligned}$$

12**Ejercicios**

3.6.1 Si $x^2y^2 + \operatorname{sen}(xyz) + z^2 = 4$ define a z como función implícita de x e y , verifique que

$$x \frac{\partial z}{\partial x} - y \frac{\partial z}{\partial y} = 0.$$

3.6.2 Sea $g\left(\frac{xy}{z}, x^2 + y^2\right) = 0$ una ecuación que define a z como una función de x e y . Verifique que si g_x, g_y y g_z existen y son continuas en toda la región en la que $g_z \neq 0$, entonces

$$y \frac{\partial z}{\partial x} - x \frac{\partial z}{\partial y} = -\frac{z(x^2 - y^2)}{xy}$$

3.6.3 Sea $z = f(z/xy)$ con f dos veces derivable. Calcule $\frac{\partial z}{\partial x}, \frac{\partial z}{\partial y}$ y verifique que

$$x \frac{\partial z}{\partial x} - y \frac{\partial z}{\partial y} = 0.$$

3.6.4 Sea $z = x \ln(yz)$. Calcule $\frac{\partial z}{\partial x}, \frac{\partial z}{\partial y}, \frac{\partial^2 z}{\partial x^2}, \frac{\partial^2 z}{\partial y^2}$ y $\frac{\partial^2 z}{\partial x \partial y}$.

3.6.5 Si $f(zx, y^2) = xy$ define a z como función implícita de x y y , calcule z_{xy} .

3.6.6 Si $f(zx, y^2) + g(z^2) = 5$ define a z como función implícita de x y y , calcule z_x y z_y

3.6.7 Sea f una función con derivadas de segundo orden continuas y g una función dos veces derivable. Supongamos que la ecuación $2g(z) + f(x^2, y^2) = 0$ define a z como función implícita de x y y .

a) Calcule $\frac{\partial z}{\partial x}$ y $\frac{\partial z}{\partial y}$

b) Calcule $\frac{\partial^2 z}{\partial y \partial x}$

3.6.8 Repita el ejercicio anterior con la función $zx + f(x^2, y^2) = 0$.

3.6.9 Sea f una función con derivadas de segundo orden continuas y g una función dos veces derivable. Supongamos que la ecuación $g(z)f^3(x^2, y^2) = 0$ define a z como función implícita de x y y . Calcule $\frac{\partial z}{\partial x}$ y $\frac{\partial z}{\partial y}$

3.6.10 Sea z definido implícitamente por medio de la relación $z = x \cdot f\left(\frac{y}{z}\right)$ con f una función con derivada continua. Verifique que z satisface la ecuación:

$$x \frac{\partial z}{\partial x} + y \frac{\partial z}{\partial y} = z$$

3.6.11 Si $zx + e^{xy} = x$ define a z como función implícita de x y y , calcule z_x , z_y y $\frac{\partial^2 z}{\partial x^2}$

3.6.12 Sea f una función con derivadas de segundo orden continuas y g una función dos veces derivable. Si $y = g(z^2) + f(y^2, x^2)$ define a z como función implícita de x y y , calcule z_x , z_y y $\frac{\partial^2 z}{\partial y^2}$.

3.6.13 La ecuación de Redlich-Kwong de dos parámetros es $\left[P + \frac{n^2 a}{\sqrt{T} V(V + nb)} \right] [V - nb] - nRT = 0$ donde a, b son parámetros, R es la constante de gas y n el número de moles. La función $T = T(P, V)$ está definida de manera implícita por esta ecuación. Calcule $\frac{\partial T}{\partial P}$.

3.7 (*) Derivación implícita: Caso de dos ecuaciones.

Supongamos que $u = u(x, y)$ y $v = v(x, y)$ son funciones definidas de manera implícita por las ecuaciones

$$F(x, y, u, v) = 0 \quad \text{y} \quad G(x, y, u, v) = 0$$

Para deducir las expresiones para u_x, u_y, v_x, v_y se resuelve el sistema

$$\begin{cases} dF &= F_x dx + F_y dy + F_u du + F_v dv = 0 \\ dG &= G_x dx + G_y dy + G_u du + G_v dv = 0 \end{cases}$$

para du y dv . Si $J = \begin{vmatrix} F_u & F_v \\ G_u & G_v \end{vmatrix}$, obtenemos $du = -\frac{1}{J} \begin{vmatrix} F_x & F_y \\ G_x & G_y \end{vmatrix} dx - \frac{1}{J} \begin{vmatrix} F_y & F_v \\ G_y & G_v \end{vmatrix} dy$

como $du = u_x dx + u_y dy$ entonces se obtienen las fórmulas (siempre y cuando $J \neq 0$.)

$$u_x = -\frac{\begin{vmatrix} F_x & F_y \\ G_x & G_y \end{vmatrix}}{J}, \quad u_y = -\frac{\begin{vmatrix} F_y & F_v \\ G_y & G_v \end{vmatrix}}{J}$$

y

$$v_y = - \frac{\begin{vmatrix} F_u & F_y \\ G_u & G_y \end{vmatrix}}{J}, \quad v_x = - \frac{\begin{vmatrix} F_u & F_x \\ G_u & G_x \end{vmatrix}}{J}$$

Ejemplo 3.23

Si $u = u(x,y)$ y $v = v(x,y)$ son funciones definidas de manera implícita por las ecuaciones

$$F = u^2 + v^2 - x^2 - y = 0,$$

$$G = u + v - x^2 + y = 0,$$

calcular u_x y u_y .

Solución: Como $J = \begin{vmatrix} F_u & F_v \\ G_u & G_v \end{vmatrix} = \begin{vmatrix} 2u & 2v \\ 1 & 1 \end{vmatrix} = 2(u-v)$, entonces, $u_x = \frac{x(1-2v)}{u-v}$ y $u_y = \frac{1+2v}{2(u-v)}$.

Ejemplo 3.24

Sea $z = f(x,y)$ definida por $z = u + v$ donde $u = u(x,y)$ y $v = v(x,y)$ son funciones definidas de manera implícita por las ecuaciones

$$F = u + e^{u+v} - x = 0$$

$$G = v + e^{u-v} - y = 0$$

Si $u = v = 0$ entonces $x = y = 1$. Calcular $z_x(1,1)$.

Solución: $z_x = u_x + v_x$. Podemos calcular u_x y v_x usando las fórmulas respectivas, sin embargo, para cálculos numéricos es más práctico derivar respecto a x las expresiones $F = 0$ y $G = 0$. En efecto, derivando respecto a x obtenemos

$$u_x + e^{u+v}(u_x + v_x) - 1 = 0 \quad y \quad v_x + e^{u-v}(u_x - v_x) = 0$$

de modo que cuando $x = 1, y = 1, v = u = 0$ se obtiene

$$2u_x + v_x - 1 = 0 \quad y \quad u_x = 0$$

con lo que $u_x = 0$ $v_x = 1$ si $x = 1, y = 1, v = u = 0$. Así que $z_x(1,1) = 0 + 1 = 1$.

3.8 Gradiente.

Definición 3.3 (Campo Gradiente).

Sea $f : D \subseteq \mathbb{R}^n \rightarrow \mathbb{R}$ una función (o campo) escalar diferenciable en una región R , entonces la función (o campo) gradiente de f es la función vectorial $\nabla f : R \subseteq \mathbb{R}^n \rightarrow \mathbb{R}^n$ definida por

$$\nabla f(x_1, x_2, \dots, x_n) = (f_{x_1}, f_{x_2}, \dots, f_{x_n})$$

$$\text{En el caso } f : D \subseteq \mathbb{R}^2 \rightarrow \mathbb{R}, \quad \nabla f(x, y) = (f_x, f_y) = \frac{\partial f}{\partial x} \hat{i} + \frac{\partial f}{\partial y} \hat{j}$$

$$\text{En el caso } f : D \subseteq \mathbb{R}^3 \rightarrow \mathbb{R}, \quad \nabla f(x, y, z) = (f_x, f_y, f_z) = \frac{\partial f}{\partial x} \hat{i} + \frac{\partial f}{\partial y} \hat{j} + \frac{\partial f}{\partial z} \hat{k}$$

Interpretación geométrica del campo gradiente. El gradiente $\nabla z : \mathbb{R}^2 \rightarrow \mathbb{R}^2$ es un campo vectorial (campo gradiente). Una manera de visualizar el campo gradiente gráficamente es anclar en cada punto (x, y) el respectivo vector $\nabla z(x, y)$ (se traslada desde el origen). Pero también se puede anclar el vector de tal manera que el punto quede en el medio del vector (como si el vector fuera parte de una recta tangente). En general, la representación gráfica se hace anclando el vector de esta segunda manera y escalando el tamaño de los vectores de tal manera que unos no se sobrepongan sobre los otros, para tener una mejor vizualización de la dirección de “flujo” del campo gradiente. Así lo hace el software (como **Wolfram Mathematica**).

Por ejemplo, consideremos el campo $\nabla z = (-y, x)$. En la figura a.) se dibujan dos vectores anclados en el punto, en la figura b.) se dibujan dos vectores anclados con el punto en el medio y en la figura c.) se hace la representación gráfica del campo escalando los vectores, tal y como se acostumbra.

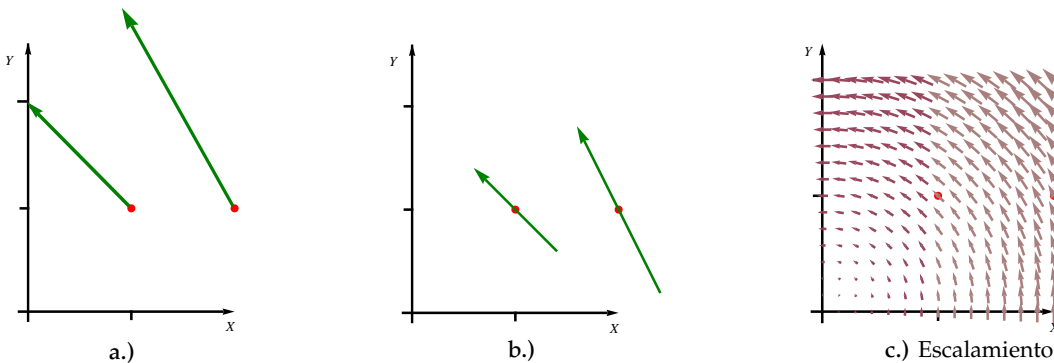


Figura 3.4: Campo gradiente $\nabla z = (-y, x)$.

Por ejemplo, consideremos el parabolóide $z - 1 = x^2 + y^2$, el campo gradiente de z es $\nabla z = (2x, 2y)$. Una representación gráfica de esta superficie y de algunos vectores (trasladados) se ve en la figura 3.4. Los vectores apuntan en la dirección de máximo crecimiento, respecto al punto en el que se evalúa el gradiente, del parabolóide y la magnitud de estos vectores nos dan una medida de la ‘intensidad’ de esta razón de cambio.

Ahora consideremos el parabolóide $z - 3 = -x^2 - y^2$, el campo gradiente de z es $\nabla z = (-2x, -2y)$. Una representación gráfica de esta superficie y de algunos vectores (trasladados) se ve en la figura 3.5 y 3.6. Los vectores apuntan en la

dirección de máximo crecimiento del paraboloide y la magnitud de estos vectores nos dan una medida de la ‘intensidad’ de esta razón de cambio

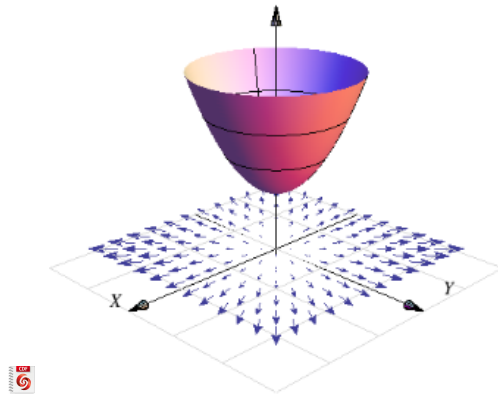


Figura 3.5: $\nabla z(P)$ apunta en la dirección de máximo crecimiento respecto a cada punto P

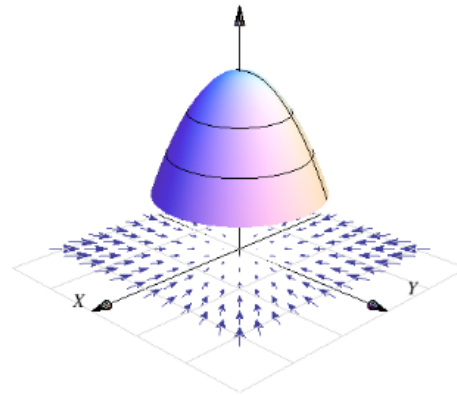


Figura 3.6: $\nabla z(P)$ apunta en la dirección de máximo crecimiento respecto a cada punto P

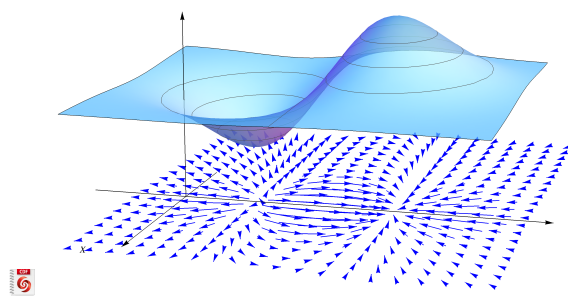


Figura 3.7: $z = 10 \left(y - \frac{3}{2} \right) e^{-x^2 - (y - \frac{3}{2})^2}$ y su campo gradiente

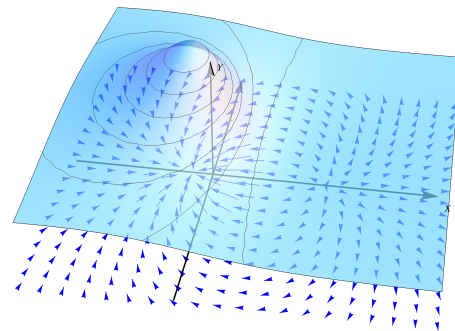


Figura 3.8: Superficie $z = 2 - \frac{3(x-1)}{(1+x^2+y^2)}$ y su campo gradiente

Ejemplo 3.25

- Si $f(x,y) = \sin xy + x^2y^2$, calcule $\nabla f(\pi, 1)$.

Solución: El gradiente está dado por :

$$\nabla f(x,y) = (y \cos xy + 2xy^2) \hat{i} + (x \cos xy + 2x^2y) \hat{j}$$

y evaluando

$$\nabla f(\pi, 1) = (2\pi - 1) \hat{i} + (2\pi^2 - \pi) \hat{j}$$

- Si $x^2 + y^2 + z^2 = 1$, calcule $\nabla z(x, y)$.

Solución: Excepto en la circunferencia $x^2 + y^2 = 1$ (curva de nivel $z = 0$), se puede calcular

$$\nabla f(x, y) = \left(-\frac{F_x}{F_z}, -\frac{F_y}{F_z}, 1 \right) = -\frac{x}{z} \hat{i} + -\frac{y}{z} \hat{j}$$

- Si $G(x, y, z) = x^2 z + z^3 y + xyz$, calcule $\nabla G(x, y, z)$.

Solución:

$$\nabla G(x, y, z) = (G_x, G_y, G_z) = (2xz + yz) \hat{i} + (z^3 + xz) \hat{j} + (x^2 + 3z^2 y + xz) \hat{k}$$

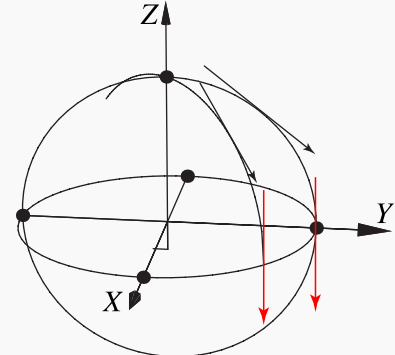
Ejemplo 3.26

Consideremos la superficie S de ecuación $x^2 + y^2 + z^2 = 1$. Sea $P = (1/\sqrt{3}, 1/\sqrt{3}, 1/\sqrt{3}) \in S$.

El gradiente de z es $\nabla z(x, y) = \left(-\frac{x}{z}, -\frac{y}{z} \right)$.

$$\nabla z(P) = (-1, -1).$$

El gradiente no está definido si $z = 0$ porque las derivadas parciales se indefinen (las tangentes a la superficie sobre la circunferencia $x^2 + y^2 = 1$ son rectas verticales)

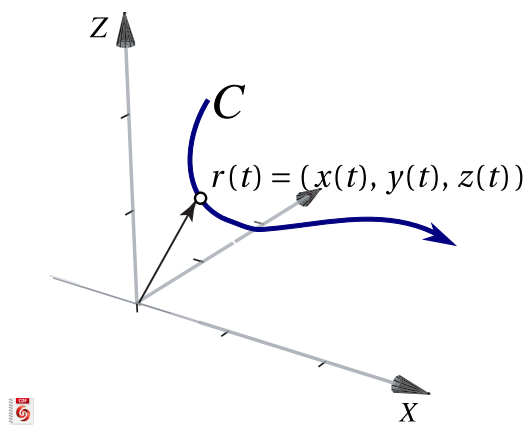


3.9 Parametrización de una curva

Sea $r : I \subseteq \mathbb{R} \rightarrow \mathbb{R}^n$. Si la función vectorial r es continua en I , entonces la gráfica de r se le llama *curva* y decimos que esta curva está descrita paramétricamente por $r(t)$.

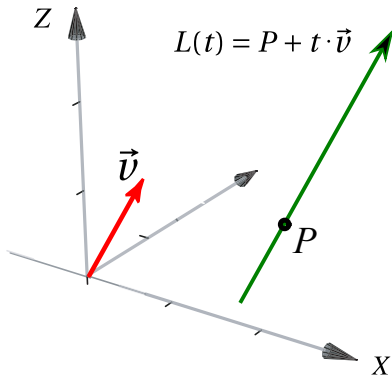
Por ejemplo, la curva C de ecuación $y = f(x)$ con $x \in [a, b]$, se pueden parametrizar usando a x como parámetro, es decir, $C : r(t) = (x(t), y(t)) = (t, f(t))$ con $t \in [a, b]$.

En general, nos interesan curvas en el espacio con parametrización $C : r(t) = (x(t), y(t), z(t))$ con $t \in [a, b]$. El vector $r(t)$ es un vector de posición.

**Figura 3.9:** Parametrización de una curva

Rectas en \mathbb{R}^3 . Si la recta L pasa por P en dirección de \vec{v} entonces una parametrización es

$$L(t) = P + t \vec{v}, \quad t \in \mathbb{R}$$

**Figura 3.10:** Parametrización de una recta

Elipse. Consideremos la elipse $\frac{(x-h)^2}{a^2} + \frac{(y-k)^2}{b^2} = 1$. Una parametrización es

$$r(t) = (h + a \cos t) \hat{i} + (k + b \sin t) \hat{j}, \quad t \in [0, 2\pi]$$

Derivada de $r(t)$

La derivada de r (si existe) es $r'(t) = \lim_{h \rightarrow 0} \frac{r(t+h) - r(t)}{h}$.

- a.) Si $x(t)$ y $y(t)$ son funciones derivables en I y si $r(t) = x(t) \hat{i} + y(t) \hat{j}$, entonces

$$r'(t) = x'(t) \hat{i} + y'(t) \hat{j}.$$

b.) Si $x(t)$, $y(t)$ y $z(t)$ son funciones derivables en I y si $r(t) = x(t)\hat{i} + y(t)\hat{j} + z(t)\hat{k}$ entonces

$$r'(t) = x'(t)\hat{i} + y'(t)\hat{j} + z'(t)\hat{k}.$$

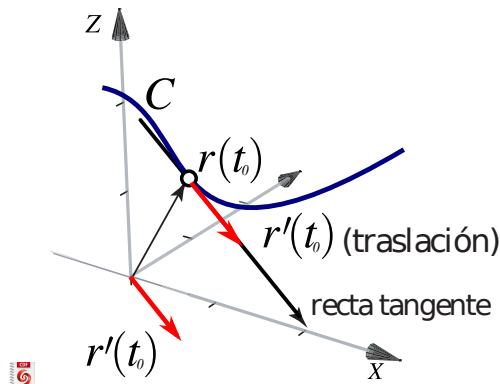


Figura 3.11: El vector $r'(t)$ (trasladado) es un vector tangente a C en $P = r(t)$

De esta manera, la recta tangente a C en $P = r(t_0)$ tiene ecuación $L(t) = P + t \cdot \overrightarrow{r'(t_0)}$

3.10 Gradiente, curvas y superficies de nivel.

Recordemos que si $z = f(x, y)$ entonces la curva $z = c$ (es decir, $c = f(x, y)$) la llamamos “curva de nivel”. Si tenemos $w = g(x, y, z)$, la superficie $w = 0$ (es decir $0 = g(x, y, z)$), se denomina *superficie de nivel* $w = 0$.

Vamos analizar un caso sencillo de manera informal: Si tenemos una superficie S de ecuación $S : z = f(x, y)$ entonces consideremos la curva de nivel $z = c$, es decir, $C : c = f(x, y)$. Si esta ecuación define a y como función implícita de x , entonces una parametrización de la curva de nivel es $r(x) = (x, y(x))$ y un vector tangente (en el caso de que exista) sería

$$r'(x) = (1, y'(x)) = \left(1, -\frac{f_x}{f_y}\right)$$

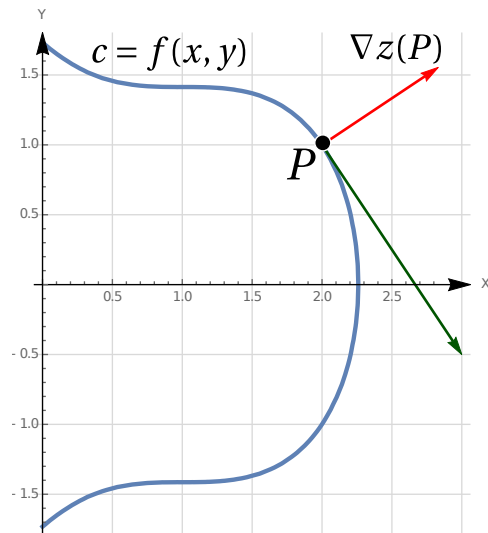


Figura 3.12: El gradiente es perpendicular a las curvas de nivel

Ahora, como $\nabla z = (f_x, f_y)$ entonces $\nabla z \cdot \left(1, -\frac{f_x}{f_y}\right) = 0$. Como el producto punto es cero, estos dos vectores son perpendiculares.

En general, si S es una superficie de ecuación $G(x, y, z) = 0$, con G derivable con continuidad en el plano XY , y si $P = (x_0, y_0, z_0) \in S$, entonces,

- Si se cumplen las condiciones del teorema de la función implícita, en P se tiene,

$$\nabla z(x, y) = \left(-\frac{G_x}{G_z}, -\frac{G_y}{G_z} \right)$$

El vector $\nabla z(x_0, y_0)$ es perpendicular a la curva de nivel $z = z_0$, es decir $\nabla z(x_0, y_0)$ es perpendicular al vector tangente en (x_0, y_0) . Si necesitamos un vector perpendicular, podríamos usar solamente $(-G_x, -G_y)$. Por supuesto, si la ecuación de la superficie es $z = f(x, y)$, podemos calcular el gradiente de la manera usual tomando $G = z - f(x, y) = 0$ y entonces $G_z = 1$.

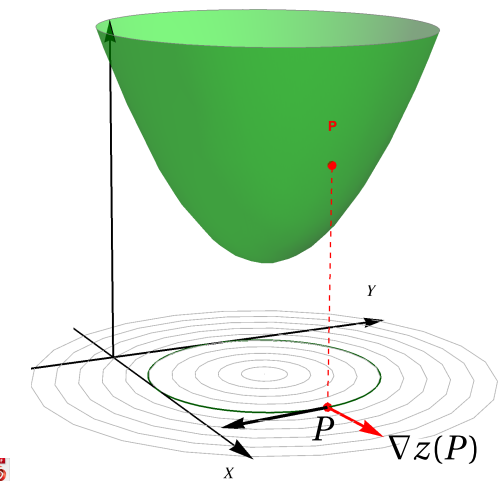


Figura 3.13: $\nabla z(x_0, y_0, z_0)$ es perpendicular a la curva de nivel $z = z_0$.

- El vector $\nabla G(x_0, y_0, z_0)$ es perpendicular a la superficie de nivel $w = 0$, es decir $\nabla G(x_0, y_0, z_0)$ es perpendicular a cada curva de la superficie S , que pasa por $P = (x_0, y_0, z_0)$.

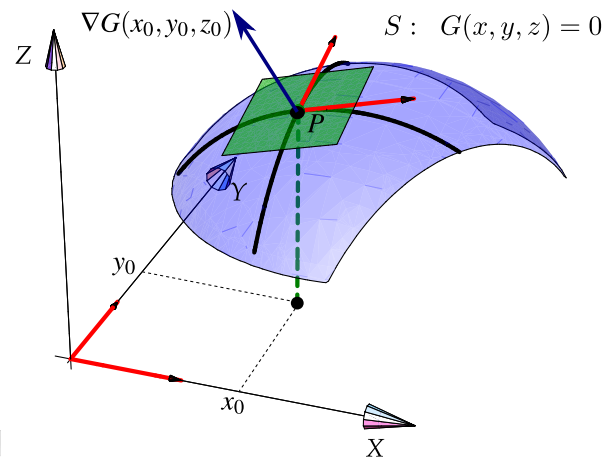


Figura 3.14: $\nabla G(P)$ es perpendicular (al plano tangente) a S en P .

Ejemplo 3.27

Considere la curva C de ecuación $y^2 - x^2(1+x) = 0$. Sea $P = \left(1/6, \sqrt{7}/\sqrt{216}\right)$. Observe que $P \in C$. Calcule un vector perpendicular a la curva en P .

Solución: Podemos ver C como una curva de nivel de $z = y^2 - x^2(1 + x)$, concretamente la curva de nivel $z = 0$.

De acuerdo a la teoría, el vector $\nabla z(P)$ es perpendicular a la curva de nivel C en P . Veamos

$$\nabla z(x, y) = (-x^2 - 2x(x + 1), 2y)$$

$$\nabla z(P) = (-5/12, \sqrt{7}/\sqrt{54})$$

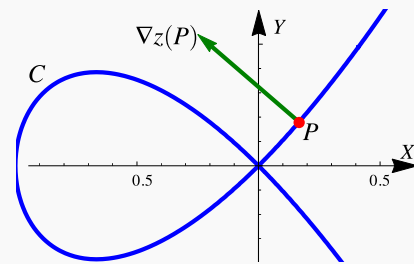


Figura 3.15: $\nabla z(P)$ es un vector perpendicular a la curva en P

En la figura 3.15 se muestra gráficamente la situación.

Ejemplo 3.28

Considere la superficie S de ecuación

$$\frac{1}{9}(z-1)^2 + (x-2)^2 + (y-2)^2 - 4 = 0.$$

$$S : G(x, y, z) = \frac{1}{9}(z-1)^2 + (x-2)^2 + (y-2)^2 - 4$$

Sea $P = (3, 2, 1 + 3\sqrt{3})$. Observe que $P \in S$. Calcule un vector perpendicular a la superficie S en P .

Solución: De acuerdo a la teoría, el vector $\nabla G(P)$ es perpendicular a la curva de nivel S en P donde $G(x, y, z) = \frac{1}{9}(z-1)^2 + (x-2)^2 + (y-2)^2 - 4$.

$$\nabla G(x, y, z) = (G_x, G_y, G_z) = \left(2(x-2), 2(y-2), \frac{2}{9}(z-1)\right)$$

$$\nabla G(P) = \left(2, 0, \frac{2}{\sqrt{3}}\right)$$

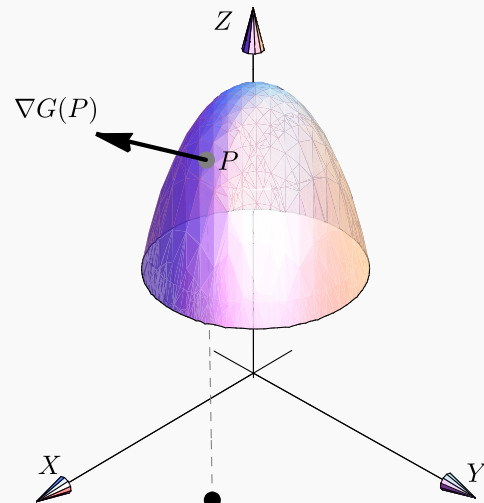


Figura 3.16: $\nabla G(P)$ (traslación) es un vector perpendicular a la superficie S en P

En la figura 3.16 se muestra gráficamente la situación.

3.11 Derivada direccional

Suponga que deseamos calcular la tasa de cambio de $z = f(x,y)$ en el punto $x = (x_0, y_0)$ en la dirección de un vector unitario arbitrario $\vec{v} = (a,b)$, para esto consideremos la superficie S con ecuación $z = f(x,y)$ (la gráfica de f) y sea $z_0 = f(x_0, y_0)$. Entonces el punto $P = (x_0, y_0, z_0)$ pertenece a S . El plano vertical generado por la recta L que pasa por el punto $(x_0, y_0, 0)$ en la dirección del vector \vec{v} , interseca a la superficie S en la curva C . La pendiente de la recta tangente T a la curva C en el punto P es la tasa de cambio de z en la dirección del vector \vec{v} .

Sea $Q = (x, y, z)$ otro punto sobre la curva C , y sean $P' = (x_0, y_0)$ y $Q' = P' + h\vec{v}$ las proyecciones ortogonales sobre el plano XY de los puntos P y Q , entonces

$$\overrightarrow{P'Q'} = Q' - P' = h\vec{v}$$

Figura 3.17: Derivada direccional

para algún escalar h . Así pues,

$$x - x_0 = ha \implies x = x_0 + ha$$

$$y - y_0 = hb \implies y = y_0 + hb$$

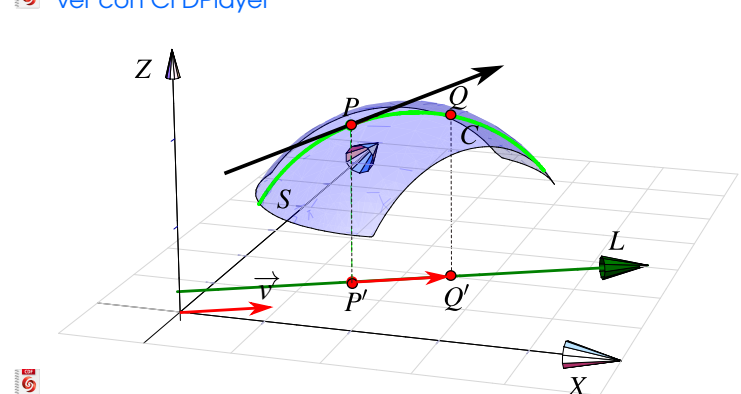


Figura 3.18: $\|\overrightarrow{P'Q'}\| = h\|\vec{v}\|$

El cambio sobre recta L es $\|\overrightarrow{P'Q'}\| = h\|\vec{v}\| = h$ pues \vec{v} es unitario, por tanto la razón de cambio está dada por

$$\frac{\Delta z}{h\|\vec{v}\|} = \frac{\Delta z}{h} = \frac{z - z_0}{h} = \frac{f(x_0 + ha, y_0 + hb) - f(x_0, y_0)}{h}$$

y al tomar el límite cuando $h \rightarrow 0$ (siempre y cuando este límite exista) obtenemos la tasa de cambio instantánea de z (con respecto a la distancia) en la dirección de \vec{v} , la cual se llama **derivada direccional** de f en la dirección de \vec{v} .

Definición 3.4 (Derivada direccional).

Sea $f : D \subset \mathbb{R}^2 \rightarrow \mathbb{R}$ una función escalar y sean $(x_0, y_0) \in D$ y $\vec{v} = (a, b)$ un vector *unitario*, entonces la derivada direccional de f en (x_0, y_0) en la dirección del vector unitario \vec{v} , está dada por :

$$D_{\vec{v}} f(x_0, y_0) = \lim_{h \rightarrow 0} \frac{f(x_0 + ha, y_0 + hb) - f(x_0, y_0)}{h}$$

Aplicando regla de la cadena, obtenemos una fórmula para la derivada direccional en términos del gradiente. Supongamos que queremos calcular la derivada direccional en la dirección de un vector $\vec{v} = (a, b)$ no necesariamente unitario, entonces si $(x, y) = (x_0 + ha, y_0 + hb)$,

$$\begin{aligned} D_{\vec{v}} f(x_0, y_0) &= \lim_{h \rightarrow 0} \frac{f(x_0 + ha, y_0 + hb) - f(x_0, y_0)}{h \|\vec{v}\|} \\ &= \frac{1}{\|\vec{v}\|} \cdot \frac{d}{dh} f(x, y) \Big|_{h=0} \\ &= \frac{1}{\|\vec{v}\|} \cdot \left(\frac{\partial f}{\partial x} \cdot x_h + \frac{\partial f}{\partial y} \cdot y_h \right) \\ &= \nabla f(x_0, y_0) \cdot \frac{\vec{v}}{\|\vec{v}\|} \end{aligned}$$

Teorema 3.5 (Cálculo de la derivada direccional).

Sea $f : D \subset \mathbb{R}^n \rightarrow \mathbb{R}$ una función escalar diferenciable en D , entonces f tiene derivada direccional en la dirección de cualquier vector no nulo $\vec{v} = (a, b)$ y está dada por:

$$D_{\vec{v}} f(x, y) = \nabla f(x, y) \cdot \frac{\vec{v}}{\|\vec{v}\|} = f_x(x, y) \frac{a}{\|\vec{v}\|} + f_y(x, y) \frac{b}{\|\vec{v}\|}$$

Ejemplo 3.29

Calcule la derivada direccional $D_{\vec{v}} f(x, y)$ si $f(x, y) = x^3 - 3xy + 4y^2$ y $\vec{v} = (\sqrt{3}, 1)$. Calcule $D_{\vec{v}} f(1, 2)$.

Solución:

- Evaluar el gradiente: Como $\nabla f(x, y) = (3x^2 - 3y, -3x + 8y)$ entonces $\nabla f(1, 2) = (-3, 13)$
- $\|\vec{v}\| = 2$

• Cálculo:

$$\begin{aligned} D_{\vec{u}} f(1,2) &= \nabla f(1,2) \cdot \frac{\vec{v}}{\|\vec{v}\|} \\ &= (-3, 13) \cdot \frac{(\sqrt{3}, 1)}{2} \\ &= -3 \frac{\sqrt{3}}{2} + 13 \frac{1}{2} \end{aligned}$$

Ejemplo 3.30

Calcule la derivada direccional de $f(x,y,z) = x \operatorname{sen}(yz)$, en el punto $P = (1,3,0)$ en la dirección del vector $\vec{v} = \hat{i} + 2\hat{j} - \hat{k}$.

Solución:

- El vector gradiente de la función f esta dado por

$$\nabla f(x,y,z) = (\operatorname{sen}(yz), xz \cos(yz), xy \cos(yz))$$

evaluando en P tenemos que $\nabla f(1,3,0) = (0,0,3)$.

- Por otro lado, como $\|\vec{v}\| = \sqrt{6}$, un vector unitario en la dirección de \vec{v} es

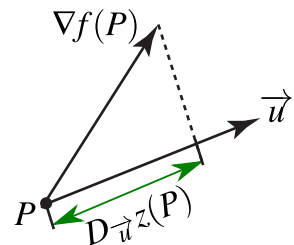
$$\frac{\vec{v}}{\|\vec{v}\|} = \frac{1}{\sqrt{6}} \hat{i} + \frac{2}{\sqrt{6}} \hat{j} - \frac{1}{\sqrt{6}} \hat{k} = \left(\frac{1}{\sqrt{6}}, \frac{2}{\sqrt{6}}, -\frac{1}{\sqrt{6}} \right)$$

• Cálculo: $D_{\vec{v}} f(1,3,0) = \nabla f(1,3,0) \cdot \frac{\vec{v}}{\|\vec{v}\|} = (0,0,3) \cdot \left(\frac{1}{\sqrt{6}}, \frac{2}{\sqrt{6}}, -\frac{1}{\sqrt{6}} \right) = -\frac{3}{\sqrt{6}}$

Componente. La fórmula

$$D_{\vec{v}} f(x,y) = \nabla f(x,y) \cdot \frac{\vec{u}}{\|\vec{u}\|^2}$$

nos dice que la derivada direccional es la componente del vector gradiente $\nabla f(P)$ en la dirección del vector \vec{v}

**Figura 3.19**

Dirección de máximo y mínimo cambio. Suponga que tenemos una función f de dos o de tres variables y consideramos todas las posibles derivadas direccionales de f en un punto P dado. Esto proporciona las tasas de cambio de

f en todas las posibles direcciones. De modo que podemos plantear la siguiente pregunta : ¿En cuál de estas direcciones f cambia con mayor velocidad?, y ¿cuál es la máxima razón de cambio?

Intuitivamente, de acuerdo a la figura 3.19, la derivada direccional en P aumenta conforme el vector \vec{v} se acerca al gradiente.

Las respuestas a estas preguntas las da el siguiente teorema.

Teorema 3.6 (Dirección de máximo cambio).

Sea $f : D \subseteq \mathbb{R}^2 \rightarrow \mathbb{R}$ una función escalar. El valor máximo de la derivada direccional $D_{\vec{v}}f$ en (x,y) es $\|\nabla f(x,y)\|$ y se presenta cuando el vector no nulo \vec{v} tiene la misma dirección que el vector gradiente $\nabla f(x,y)$.

Podemos justificar esto, informalmente, de la manera que sigue. Primero recordemos que si $\theta = \angle u, v$ entonces $u \cdot v = \|u\| \cdot \|v\| \cos(\theta)$. Ahora

$$\begin{aligned} D_{\vec{v}}f(x,y) &= \nabla f(x,y) \cdot \frac{\vec{v}}{\|\vec{v}\|} \\ &= \|\nabla f(x,y)\| \cos \theta. \end{aligned}$$

donde θ es el ángulo entre el vector *unitario* $\frac{\vec{v}}{\|\vec{v}\|}$ y el vector $\nabla f(x,y)$.

El valor de $D_{\vec{v}}f(x,y)$ aumenta o disminuye solo si $\cos \theta$ cambia (si giramos el vector \vec{v}).

Así que el máximo valor se obtiene cuando $\cos \theta = 1$ (es decir $\theta = 0$). Por tanto $D_{\vec{v}}f(x,y)$ es máxima cuando $\theta = 0$ y en ese caso \vec{v} y $\nabla f(x,y)$ son paralelos.

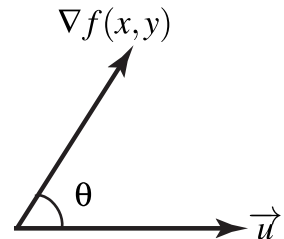


Figura 3.20

Valor mínimo: El valor mínimo de la derivada direccional en (x,y) es $-\|\nabla f(x,y)\|$ y ocurre cuando \vec{v} tiene la misma dirección $-\nabla f(x,y)$.

Observación: f se mantiene constante sobre las curvas de nivel; la dirección (un vector \vec{u}) en la que el cambio (instantáneo) de f respecto a P es nulo es la dirección de un vector perpendicular a $\nabla f(P)$. Que la derivada direccional se anule en P en la dirección de \vec{u} no significa, por supuesto que en esta dirección la función se mantenga constante (esto solo pasa sobre las curvas de nivel) excepto que la curva de nivel sea una recta.

Ejemplo 3.31

Considere la placa rectangular que se muestra en la figura de la derecha. Si la temperatura en un punto (x, y) de la placa está dada por

$$T(x, y) = 4(x - 2)^2 - 7(y - 0.4)^2$$

determine la dirección en la que debe de ir un insecto que está en el punto $P = (0, 0)$, para que se caliente lo más rápidamente. ¿Y qué debe hacer el insecto si desea ir por un camino en el que la temperatura se mantenga constante?

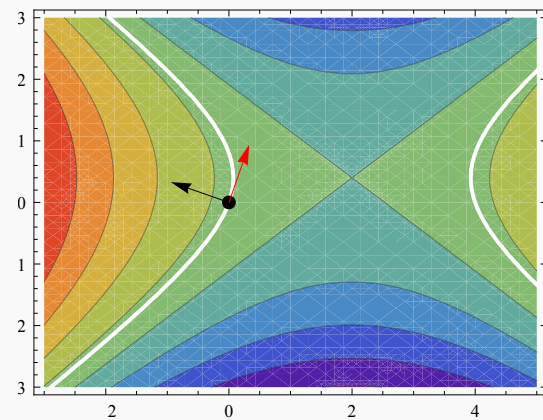


Figura 3.21: Mejor dirección, respecto a $(4, 2)$.

Solución:

La dirección en la que la temperatura aumenta más rápidamente respecto a P es la dirección del gradiente (vector negro en la figura): $\nabla T(x, y) = (8(x - 2), -14(y - 0.4)) \implies \nabla T(0, 0) = (-16, 5.6)$

En cuanto a la otra pregunta, aunque la derivada direccional es nula en la dirección de un vector perpendicular al gradiente (vector rojo en la figura) esto solo dice que la razón de cambio instántaneo en esa dirección es cero. La trayectoria en la que la temperatura se mantiene constante es la curva de nivel $T(x, y) = T(0, 0)$ (curvas blancas). Es por ahí donde debería caminar el insecto.

Ejemplo 3.32

Suponga que la temperatura en un punto (x, y, z) en el espacio está dada por

$$T(x, y, z) = \frac{80}{1 + x^2 + 2y^2 + 3z^2}$$

donde T está medida en grados centígrados y x, y, z están en metros. ¿En qué dirección aumenta más rápido la temperatura respecto al punto $(1, 1, -2)$? ¿Cuál es la máxima tasa de incremento?

Solución: El gradiente de T es

$$\nabla T(x, y, z) = -\frac{160x}{(1 + x^2 + 2y^2 + 3z^2)^2} \hat{i} - \frac{320y}{(1 + x^2 + 2y^2 + 3z^2)^2} \hat{j} - \frac{480z}{(1 + x^2 + 2y^2 + 3z^2)^2} \hat{k}$$

Evaluando en el punto $P = (1, 1, -2)$ obtenemos $\nabla T(1, 1, -2) = \frac{5}{8}(-\hat{i} - 2\hat{j} + 6\hat{k})$

Por tanto, la temperatura se incrementa con mayor rapidez en la dirección del vector gradiente

$$\vec{v} = -\hat{i} - 2\hat{j} + 6\hat{k}$$

La tasa máxima de incremento es la longitud del vector gradiente $\|\nabla T(1, 1, -2)\| = \frac{5}{8} \left\| -\hat{i} - 2\hat{j} + 6\hat{k} \right\| = \frac{5\sqrt{41}}{8}$

Vector unitario tangente.

Definición 3.5

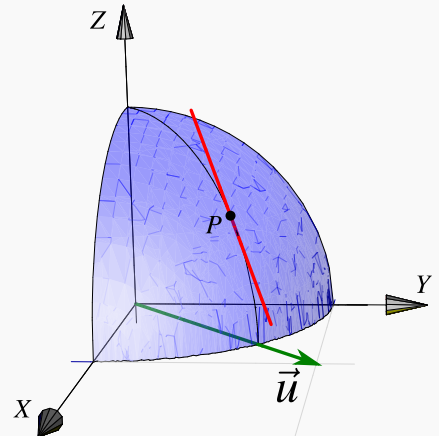
Sea C una curva descrita por la función vectorial continua $r(t)$, $t \in I$. Si existe la derivada $r'(t)$ y no es nula, la recta que pasa por $r(t)$ y es paralela a $r'(t)$ se llama tangente a C en $r(t)$. El vector $r'(t)$ se denomina vector tangente a C en $r(t)$. El vector unitario tangente T es una función vectorial asociada a la curva C y se define como

$$\vec{T}(t) = \frac{r'(t)}{\|r'(t)\|}, \quad \text{si } \|r'(t)\| \neq 0$$

Ejemplo 3.33

- La pendiente de la recta tangente en P en la dirección de $\vec{v} = (1, 1)$ es

$$D_{(1,1)}z(P) = \nabla z(1/\sqrt{3}, 1/\sqrt{3}) \cdot \frac{(1, 1)}{\sqrt{2}} = -\sqrt{2}$$

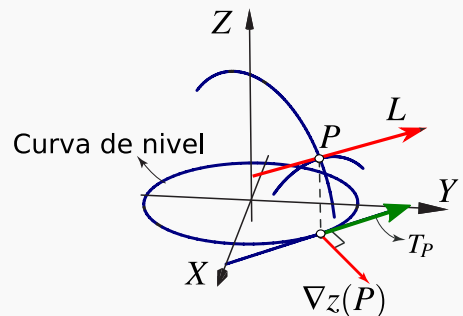


- El gradiente $\nabla z(1/\sqrt{3}, 1/\sqrt{3})$ es perpendicular a la recta tangente a la curva de nivel $z = \frac{1}{\sqrt{3}}$ en P . La derivada direccional en la dirección del vector unitario tangente es cero. Geométricamente, la recta L , en la figura que sigue, tiene pendiente cero.

Esto es así pues si \vec{T}_P es el vector unitario tangente a la curva de nivel $z = \frac{1}{\sqrt{3}}$ en $(1/\sqrt{3}, 1/\sqrt{3})$, entonces

$$\begin{aligned} D_{\vec{T}_P} f(P) &= \nabla f(P) \cdot \vec{T}_P = 0 \quad (\text{¿porqué?}) \\ &= \|\nabla f(P)\| \cos \theta = 0 \end{aligned}$$

lo cual implica que $\theta = \pi/2$.



3.12 Plano tangente y el vector normal.

Si f es diferenciable, entonces el plano tangente a $z = f(x,y)$ en $P = (x_0, y_0, z(x_0, y_0))$ tiene ecuación

$$f_x(x_0, y_0)(x - x_0) + f_y(x_0, y_0)(y - y_0) = z - z_0$$

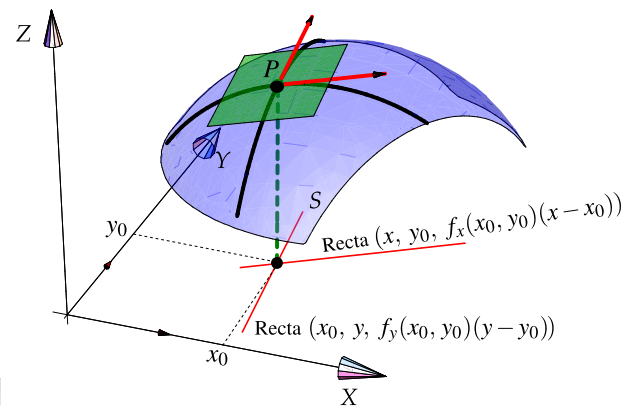


Figura 3.22: Plano tangente a $z = f(x,y)$ en P si f es diferenciable.

Caso general. Podemos obtener la ecuación cartesiana del plano tangente (si existe) usando un vector normal a la superficie $S : G(x,y,z) = 0$. Si G es derivable con continuidad en $P = (x_0, y_0, z_0) \in S$ y si el gradiente en P es no nulo, los vectores tangentes a cada curva en S que pasan por P están en el *plano tangente* a esta superficie en P y $\nabla G(x_0, y_0, z_0)$ es un vector normal a este plano (ver capítulo 6.1).

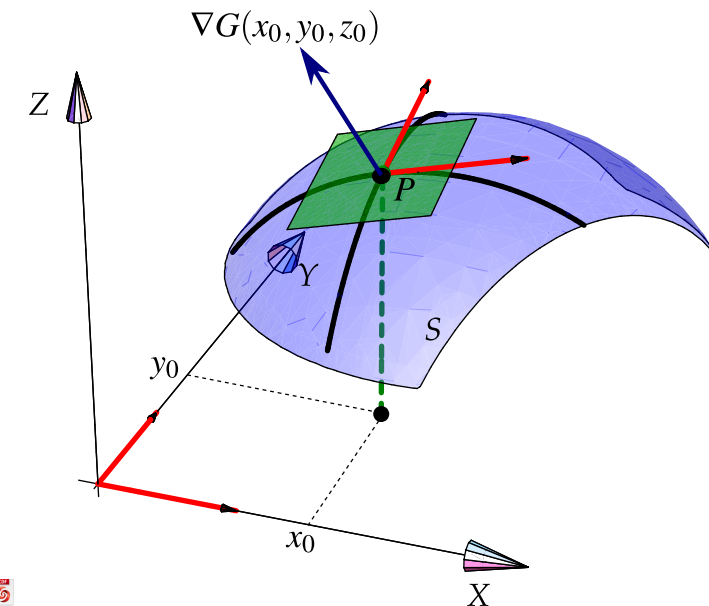


Figura 3.23: $\nabla G(P)$ es perpendicular al plano tangente a S en P .

Así, una ecuación del plano tangente en P es

$$ax + \color{red}by + \color{red}cz = \color{blue}d \quad \text{con} \quad (\color{red}a, \color{red}b, \color{red}c) = \nabla G(x_0, y_0, z_0) \quad \text{y} \quad \color{blue}d = \nabla G(x_0, y_0, z_0) \cdot P.$$

(Plano Tangente)

- Si S tiene ecuación $z = f(x, y)$ con f diferenciable, el plano tangente en $P \in S$ tiene ecuación cartesiana

$$f_x(x_0, y_0)(x - x_0) + f_y(x_0, y_0)(y - y_0) = z - z_0$$

- Si la superficie S tiene ecuación $G(x, y, z) = 0$ con G diferenciable, el plano tangente en $P \in S$ tiene ecuación cartesiana

$$\color{red}G_x(P)x + \color{red}G_y(P)y + \color{red}G_z(P)z = \nabla G(P) \cdot P$$

(Un vector normal)

No hay un solo vector normal, aunque todos tienen la misma dirección, el tamaño puede variar.

- Si S tiene ecuación $z = z(x, y)$ entonces si ponemos $G(x, y, z) = z - z(x, y)$, un vector normal es

$$N = (-z_x, -z_y, 1)$$

- Si S está definida de manera implícita por $G(x, y, z) = 0$, entonces un vector normal es

$$N_1 = (G_x, G_y, G_z) \text{ o también } N_2 = \left(\frac{G_x}{G_z}, \frac{G_y}{G_z}, 1 \right) = \frac{1}{G_z} (G_x, G_y, G_z) \text{ si } G_z \neq 0.$$

Ejemplo 3.34

Sea S la superficie de ecuación $f(x, y) = \frac{xy}{x^2 + y^2}$, si $(x, y) \neq (0, 0)$ y $f(0, 0) = 0$. Aunque $f_x(0, 0) = f_y(0, 0) = 0$, no hay plano tangente pues la función es discontinua en este punto (aunque esté definida).

Ejemplo 3.35

Sea S la superficie de ecuación $z = x^2 + 2y^2$. Obtener una ecuación cartesiana del plano tangente a S en $P = (1, 1, 3)$.

Solución:

Primera manera. En este caso $f_x(x, y) = 2x$ y $f_y(x, y) = 4y$. Entonces una ecuación cartesiana sería,

$$f_x(1, 1)(x - 1) + f_y(1, 1)(y - 1) = z - 3,$$

es decir,

$$2(x - 1) + 4(y - 1) = z - 3,$$

Otra manera. Sea S : $G(x, y, z) = z - x^2 - 2y^2 = 0$. Entonces un vector normal al plano tangente a S en P es $\nabla G = (-2x, -4y, 1)$. Ahora, $\nabla G(1, 1, 3) = (-2, -4, 1)$, entonces una ecuación del plano tangente es

$$\begin{aligned} -2x - 4y + 1z &= \nabla G(1, 1, 3) \cdot P \\ &= -3 \end{aligned}$$

Ejemplo 3.36

Consideremos la superficie S de ecuación $x^2 + y^2 + z^2 = 1$. Sea $P = (1/\sqrt{3}, 1/\sqrt{3}, 1/\sqrt{3}) \in S$. Calculemos la ecuación cartesiana del plano tangente en P .

- La ecuación de S es $G(x, y, z) = x^2 + y^2 + z^2 - 1 = 0$.

- $\nabla G(x, y, z) = (2x, 2y, 2z)$.
- $N = \nabla G(P) = (2/\sqrt{3}, 2/\sqrt{3}, 2/\sqrt{3})$ y $d = P \cdot \nabla G(P) = 2$
- Una ecuación cartesiana del plano tangente: $\frac{2}{\sqrt{3}}x + \frac{2}{\sqrt{3}}y + \frac{2}{\sqrt{3}}z = 2$ o también $x + y + z = \sqrt{3}$.

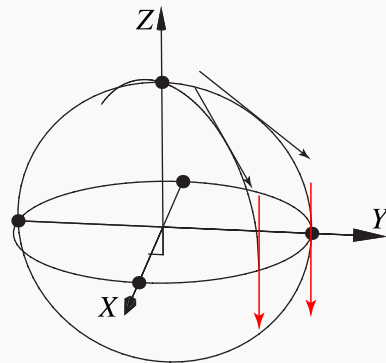
Ejemplo 3.37

Consideremos la superficie S de ecuación $x^2 + y^2 + z^2 = 1$. y $P = (0, 1, 0) \in S$. Calcule la ecuación del plano tangente a S en P .

Solución: Sea $G(x, y, z) = x^2 + y^2 + z^2 - 1$. Entonces $\nabla G(x, y, z) = (2x, 2y, 2z)$. Por tanto un vector normal es $N = G(0, 1, 0) = (0, 2, 0)$

La ecuación cartesiana del plano tangente a S en P es $0 \cdot x + 2 \cdot y + 0 \cdot z = 2$, es decir $y = 1$.

Observe que en este punto, como $\nabla z(x, y) = \left(-\frac{x}{z}, -\frac{y}{z}\right)$, la derivada direccional no existe.

**Ejemplo 3.38**

Consideremos la superficie S de ecuación $x^2 + y^2 + z^2 = 1$. Encuentre los puntos $Q = (a, b, c) \in S$ tal que el plano tangente en Q sea paralelo al plano $2x - y + 3z = 1$.

Solución: Q tiene tres incógnitas así que necesitamos, en principio, tres ecuaciones.

- Como $Q \in S$, esto nos da una ecuación: $a^2 + b^2 + c^2 = 1$.
- Como el plano tangente en Q es paralelo al plano $2x - y + 3z = 1$, sus vectores normales deben ser paralelos, es decir

$$\nabla G(Q) = \lambda (2, -1, 3)$$

esto nos da tres ecuaciones adicionales y una incógnita más, λ .

- Para encontrar Q solo debemos resolver el sistema

$$\begin{cases} a^2 + b^2 + c^2 = 1 \\ \nabla G(Q) = \lambda(2, -1, 3) \end{cases}$$

es decir,

$$\begin{cases} a^2 + b^2 + c^2 = 1 \\ (2a, 2b, 2c) = \lambda(2, -1, 3) \end{cases} \implies \begin{cases} a^2 + b^2 + c^2 = 1 \\ 2a = 2\lambda \\ 2b = -\lambda \\ 2c = 3\lambda \end{cases}$$

Resolviendo, obtenemos las dos soluciones

$$Q = \left(-\frac{1}{\sqrt{2/7}}, \frac{1}{\sqrt{14}}, -\frac{3}{\sqrt{14}} \right), \lambda = -\sqrt{2/7} \quad \text{y} \quad Q = \left(\frac{1}{\sqrt{2/7}}, -\frac{1}{\sqrt{14}}, \frac{3}{\sqrt{14}} \right), \lambda = \sqrt{2/7}$$

13

Ejercicios

3.12.1 Sea $f(x, y) = 4 - x^2 - y^2$ la ecuación de una superficie S .

- Calcule $D_{\vec{u}}f(Q)$ si $\vec{u} = (-2, 1)$ y $Q = (1, 1, 2)$ es un punto en la superficie.
- Determine el punto $P = (a, b, c) \in S$ para el cual la derivada direccional de f en P es $\sqrt{2}$ en dirección de $\vec{u} = (-2, 1)$ y $\sqrt{5}$ en la dirección de $\vec{v} = (1, 1)$.
- Encuentre la ecuación cartesiana del plano tangente a S en el punto $R = (1, -1, 2) \in S$.
- Determine un vector \vec{u} para el cual la derivada direccional en $R = (1, -1, 2) \in S$ es máxima y calcule su valor.

3.12.2 Sea $x^2 + xyz + z^3 = 1$ la ecuación de una superficie S .

- Calcule $D_{\vec{u}}z(Q)$ si $u = (-2, 1)$ y $Q = (1, 2, 0) \in S$
- Determine $b \in \mathbb{R} - \{0\}$ tal que en $P = (1, b, 0) \in S$ y $D_{\vec{u}}z(P) = \sqrt{2}$.

- c.) Encuentre la ecuación cartesiana del plano tangente a S en el punto $R = (1, -1, 1) \in S$.
- d.) Determine un vector \vec{u} para el cual la derivada direccional en $R = (1, -1, 1) \in S$ es mínima y calcule su valor.

👁 3.12.3 Considere la superficie S de ecuación $z^3 + xz + y = 1$. $P = (1, 1, 0) \in S$

- a.) Calcule $D_{\vec{u}}z(P)$ donde $\vec{u} = (1, -2)$
- b.) ¿Cuál es el máximo valor que podría alcanzar la derivada direccional en P y en cuál dirección \vec{v} se alcanza?
- c.) Calcule la ecuación cartesiana del plano tangente en el punto P

👁 3.12.4 Considere la superficie S de ecuación $xyz^2 = 8z$. $P = (1, 1, 8) \in S$

- a.) Calcule $D_{\vec{u}}z(P)$ donde $\vec{u} = (-5, \sqrt{2})$
- b.) ¿Cuál es el máximo valor que podría alcanzar la derivada direccional en P y en cuál dirección \vec{v} se alcanza?
- c.) Calcule la ecuación cartesiana del plano tangente en el punto P

👁 3.12.5 Calcule la ecuación vectorial de la recta normal a la superficie $S : x^2 + y^2 + z^2 = 1$ en el punto $P = (1/2, 1/2, 1/\sqrt{2})$

👁 3.12.6 Considere la superficie S de ecuación $e^{xz} + xy = yz + 1$. Sea $P = (0, 1, 0) \in S$.

- a.) Calcule la derivada direccional de z en P en la dirección del vector $u = (1, 2)$.
- b.) Calcule la ecuación del plano tangente a S en P .



Revisado: Enero, 2018
Versión actualizada de este libro y el formato CDF:
[**http://tecdigital.tec.ac.cr/revistamatematica/Libros/**](http://tecdigital.tec.ac.cr/revistamatematica/Libros/)

Introducción

Máximos y mínimos locales en dos variables.

Extremos con restricciones: Multiplicadores de Lagrange

Cuando las condiciones de primer orden fallan.

Máximos y mínimos locales en varias variables.

Puntos críticos y extremos locales

Clasificación de puntos críticos

Clasificación de puntos críticos en el caso de dos variables.

Criterio de clasificación para $n \geq 3$.

(*) Extremos globales. Condiciones de Kuhn-Tucker.



4 — Máximos y mínimos locales.

4.1 Introducción

¿Por qué, en una variable, en un punto crítico \mathbf{p} , f alcanza un máximo local si $f''(\mathbf{p}) < 0$? En una variable, los puntos críticos de f son los puntos $x = \mathbf{p}$ en los que $f'(\mathbf{p}) = 0$ (o en los que f' se indefine). Muchas veces se puede clasificar este punto crítico con el signo de $f''(\mathbf{p})$. Esto se puede establecer usando polinomios de Taylor. Según el teorema de Taylor, en los alrededores de \mathbf{p} ,

$$f(x) - f(\mathbf{p}) = f'(\mathbf{p})h + \frac{f''(\mathbf{p})}{2}h^2 + \dots + \frac{f^{(n)}(\mathbf{p})}{n!}h^n + \frac{f^{(n+1)}(\xi)h^{n+1}}{(n+1)!} \quad \text{con } \xi \text{ entre } \mathbf{p} \text{ y } h \text{ y } x = \mathbf{p} + h$$

En particular, si \mathbf{p} es un punto crítico de f , es decir, $f'(\mathbf{p}) = 0$, entonces para $n = 2$,

$$f(x) - f(\mathbf{p}) = \frac{f''(\xi)}{2}h^2 \quad \text{con } \xi \text{ entre } \mathbf{p} \text{ y } h.$$

Si f'' es continua y $f''(\mathbf{p}) \neq 0$, entonces hay un entorno alrededor de \mathbf{p} (con h pequeño) donde $f''(\xi)$ y $f''(\mathbf{p})$ tienen el mismo signo¹ por lo que, en un entorno suficientemente pequeño de \mathbf{p} ,

$$\begin{cases} f(x) > f(\mathbf{p}) & \text{si } f''(\mathbf{p}) > 0 \quad (f \text{ alcanza un mínimo local en } \mathbf{p}) \\ f(x) < f(\mathbf{p}) & \text{si } f''(\mathbf{p}) < 0 \quad (f \text{ alcanza un máximo local en } \mathbf{p}) \end{cases}$$

Interpretación geométrica. Observe que el signo de $f''(\mathbf{p}) \neq 0$ decide el signo (y por tanto la concavidad) del polinomio de Taylor de orden dos: Como $f'(\mathbf{p}) = 0$,

¹Si f'' es continua y $f''(\mathbf{p}) \neq 0$, entonces f'' conserva el signo. Si h es suficientemente pequeño, $\mathbf{p} + h$ está en este entorno y $f''(\mathbf{p})$, $f''(\xi)$ y por tanto $f(\mathbf{p} + h) - f(\mathbf{p})$, tienen todos el mismo signo; por esto el signo de $f(\mathbf{p} + h) - f(\mathbf{p})$ es el signo de $f''(\mathbf{p})$ si h es suficientemente pequeño. Se concluye que si $f''(\mathbf{p}) > 0$ entonces $f(\mathbf{p} + h) > f(\mathbf{p})$ en un entorno de \mathbf{p} y, en \mathbf{p} f alcanza un mínimo local y si $f''(\mathbf{p}) < 0$ entonces $f(\mathbf{p} + h) < f(\mathbf{p})$ en un entorno de \mathbf{p} y, en \mathbf{p} f alcanza un máximo local.

$$f(x) - f(\mathbf{p}) = \frac{1}{2} f''(\mathbf{p})(x - \mathbf{p})^2 + R_2(\mathbf{p}, x)$$

por tanto, la cuadrática $y = f''(\mathbf{p})(x - \mathbf{p})^2$ siempre es positiva o siempre es negativa y además domina al resto R_2 en algún entorno de \mathbf{p} . Si $f''(\mathbf{p}) = 0$ no podemos decir algo del signo (solo nos queda el resto $R_2(\mathbf{p}, x)$).

En la figura que sigue se muestra la gráfica del polinomio de Taylor P_2 y la gráfica de f . Recordemos que $P_2(x) = f(\mathbf{p}) + f'(\mathbf{p})(x - p) + \frac{f''(\mathbf{p})}{2}(x - h)^2$.

 Ver con CDFPlayer

Requiere FreeCDF Player

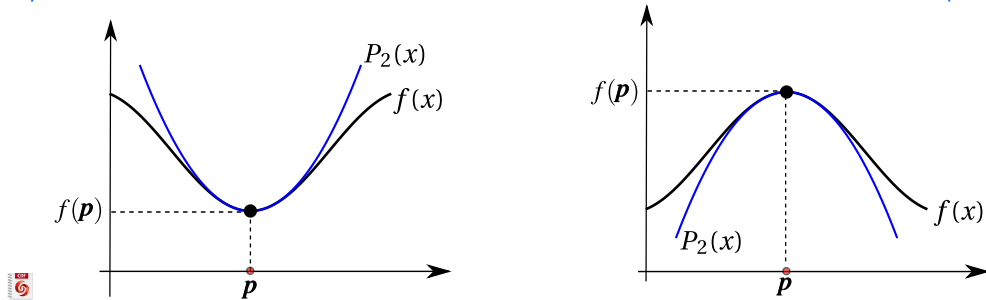


Figura 4.1: El signo de $f''(\mathbf{p})$ se usa para clasificar puntos críticos.

Formalmente, el signo de $f(\mathbf{p} + h) - f(\mathbf{p})$ coincide con el signo del término de segundo orden (la parábola) $y = f''(\mathbf{p})(x - \mathbf{p})^2$ en un entorno de \mathbf{p}

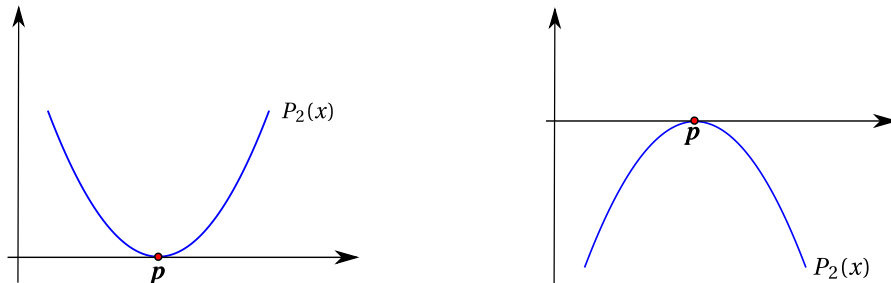


Figura 4.2: Parábolas $f''(\mathbf{p})(x - \mathbf{p})^2$ con $f''(\mathbf{p}) > 0$ y $f''(\mathbf{p}) < 0$

4.2 Máximos y mínimos locales en dos variables.

Como en cálculo en una variable, los extremos *locales* de una función de dos variables son puntos donde la función alcanza un máximo o un mínimo en un entorno del dominio de la función. Si la función está definida en una región U , los extremos *globales* son los puntos donde la función toma valores máximos o mínimos en toda esta región, y esto podría suceder en cualquier parte de la región en consideración. Recordemos que un entorno abierto alrededor de $\mathbf{p} \in \mathbb{R}^2$ de radio δ es el conjunto $U_\delta(\mathbf{p}) = \{\mathbf{x} \in \mathbb{R}^2 : \|\mathbf{x} - \mathbf{p}\| < \delta\}$, es decir, un disco (sin borde) con centro en \mathbf{p} y de radio δ .

Definición 4.1 (Extremos locales).

Sea f función de dos variables, $f : \mathbb{R}^2 \rightarrow \mathbb{R}$. f tiene un máximo local en $\mathbf{p} = (p_1, p_2) \in \mathbb{R}^2$ si existe un entorno abierto $U_\delta(\mathbf{p})$ tal que $f(x, y) \leq f(\mathbf{p})$ para todo $(x, y) \in U_\delta(\mathbf{p})$. El punto $(p_1, p_2, f(\mathbf{p}))$ se dice un máximo local de f y el número $f(\mathbf{p})$ es el máximo de f en el entorno $D_\delta(\mathbf{p})$.

Sea f función de dos variables, $f : \mathbb{R}^2 \rightarrow \mathbb{R}$. f tiene un mínimo local en $\mathbf{p} = (p_1, p_2) \in \mathbb{R}^2$ si existe un entorno abierto $U_\delta(\mathbf{p})$ tal que $f(x, y) \geq f(\mathbf{p})$ para todo $(x, y) \in U_\delta(\mathbf{p})$. El punto $(p_1, p_2, f(\mathbf{p}))$ se dice un mínimo local de f y el número $f(\mathbf{p})$ es el mínimo de f en el entorno $U_\delta(\mathbf{p})$.

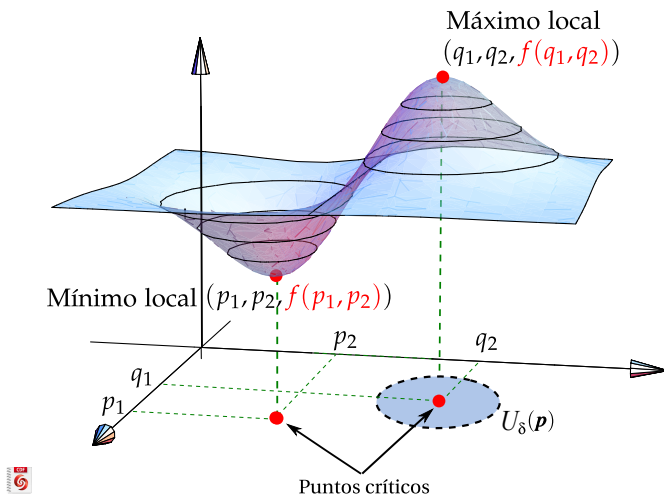


Figura 4.3: Puntos críticos y un máximo y un mínimo local.

Si las desigualdades de la definición anterior se cumplen para todos los puntos en el dominio de f , entonces f tiene un máximo absoluto (o mínimo absoluto) en \mathbf{p} .

Puntos críticos y extremos locales**Definición 4.2 (Punto crítico).**

Un punto $\mathbf{p} \in \mathbb{R}^2$ es un punto crítico de f si $\nabla f(\mathbf{p}) = \mathbf{0}$, es decir, si $\frac{\partial f}{\partial x}(\mathbf{p}) = \vec{0}$ y $\frac{\partial f}{\partial y}(\mathbf{p}) = \vec{0}$

También \mathbf{p} es punto crítico si f no está definida en este punto, pero aquí solo consideramos extremos “suaves”.

Definición 4.3 (Punto de silla).

Un punto crítico \mathbf{p} donde f no alcanza un máximo ni mínimo local se llama *punto de silla*, es decir, en cualquier entorno alrededor de \mathbf{p} , hay puntos \mathbf{x} en los que $f(\mathbf{x}) > 0$ y puntos \mathbf{x} en los que $f(\mathbf{x}) < 0$

Esta definición de “punto de silla” puede variar según el texto (ver [24])

Como en cálculo en una variable, los extremos locales se alcanzan en puntos críticos, es decir, en el caso de que f sea diferenciable, la derivada de f se anula en los puntos críticos. Pero también hay puntos críticos en los que f no alcanza máximos ni mínimos locales (los llamados puntos de silla).

Teorema 4.1

Sea $U \subset \mathbb{R}^2$ un conjunto abierto y $f : U \subset \mathbb{R}^2 \rightarrow \mathbb{R}$ diferenciable, si $\mathbf{p} \in \mathbb{R}^2$ es un extremo local de f entonces $\nabla f(\mathbf{p}) = 0$, es decir, \mathbf{p} es punto crítico de f .

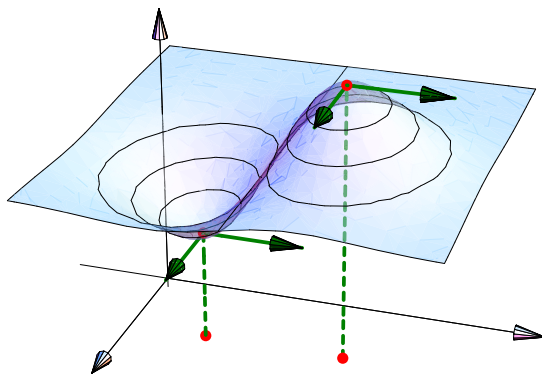


Figura 4.4: En los extremos locales $\nabla f(\mathbf{p}) = 0$

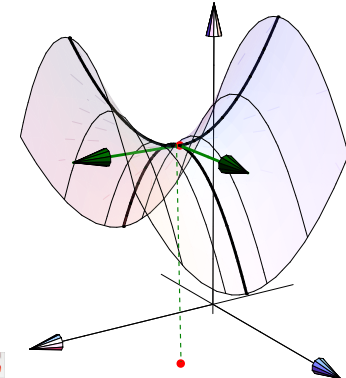


Figura 4.5: En los puntos de silla $\nabla f(\mathbf{p}) = 0$

Clasificación de puntos críticos

De manera análoga al caso de una variable, usamos el polinomio de Taylor de segundo orden (como una primera opción) para clasificar puntos críticos.

La fórmula de Taylor *de segundo orden* en dos variables, alrededor de (a, b) se puede definir en un entorno U abierto alrededor de (a, b) , si $f : U \subseteq \mathbb{R}^2 \rightarrow \mathbb{R}$, es de clase C^2 . En ese caso,

$$\begin{aligned} T_2(x, y) &= f(a, b) + f_x(a, b)(x - a) + f_y(a, b)(y - b) \\ &\quad + \frac{1}{2}f_{xx}(a, b)(x - a)^2 + f_{xy}(a, b)(x - a)(y - b) \\ &\quad + \frac{1}{2}f_{yy}(a, b)(y - b)^2 \end{aligned}$$

Haciendo $\mathbf{x} = (x, y)$, $\mathbf{p} = (a, b)$, $(\mathbf{h}, \mathbf{k}) = (\mathbf{x} - \mathbf{a}, \mathbf{y} - \mathbf{b})$, $A = f_{xx}(a, b)$, $B = f_{xy}(a, b)$ y $C = f_{yy}(a, b)$ se tiene

$$\begin{aligned} f(\mathbf{x}) &= f(\mathbf{p}) + f_x(\mathbf{p})h + f_y(\mathbf{p})k + \frac{1}{2} [f_{xx}(\mathbf{p})h^2 + 2f_{xy}(\mathbf{p})hk + f_{yy}(\mathbf{p})k^2] \\ &= f(\mathbf{p}) + \nabla f(\mathbf{p}) \cdot (\mathbf{h}, \mathbf{k}) + \frac{1}{2} [Ah^2 + 2Bhk + Ck^2] + R(\mathbf{x}, \mathbf{p}) \end{aligned}$$

donde el resto $R(\mathbf{x}, \mathbf{p})$ disminuye más rápido que $\|\mathbf{x} - \mathbf{p}\|^2$, es decir, $\frac{R(\mathbf{x}, \mathbf{p})}{\|\mathbf{x} - \mathbf{p}\|^2} \rightarrow 0$ si $\mathbf{x} \rightarrow \mathbf{p}$

Ahora, si \mathbf{p} es un punto crítico de f , entonces

$$f(\mathbf{x}) - f(\mathbf{p}) = \frac{1}{2} [Ah^2 + 2Bhk + Ck^2] + R(\mathbf{x}, \mathbf{p})$$

Para determinar si en el punto crítico \mathbf{p} , la función f alcanza un máximo o mínimo local, debemos determinar el signo de $f(\mathbf{x}) - f(\mathbf{p})$ en un entorno de \mathbf{p} , para saber si $f(\mathbf{x}) \geq f(\mathbf{p})$ o $f(\mathbf{x}) \leq f(\mathbf{p})$. Si en cualquier entorno de \mathbf{p} hay puntos donde f cambia de signo, entonces tenemos un punto de silla.

La teoría es similar al caso de una variable: En presencia de extremos locales, el signo de $f(\mathbf{x}) - f(\mathbf{p})$ es el signo de $Ah^2 + 2Bhk + Ck^2$ en un entorno suficientemente pequeño de cada punto crítico donde f alcanza máximos o mínimos locales².

Si el determinante $D_2 = AC - B^2 > 0$, entonces la forma cuadrática $Ah^2 + 2Bhk + Ck^2$, es siempre positiva o siempre negativa. Si $D_2 = AC - B < 0$ la forma cuadrática cambia de signo.

Podemos analizar el signo de $Ah^2 + 2Bhk + Ck^2$ completando cuadrados. Sea $D_2 = AC - B^2$, entonces

$$A(Ah^2 + 2Bhk + Ck^2) = (Ah + Bk)^2 + (AC - B^2)k^2 \implies \begin{cases} Ah^2 + 2Bhk + Ck^2 \geq 0 & \text{si } D_2 > 0 \text{ y } A > 0 \\ Ah^2 + 2Bhk + Ck^2 \leq 0 & \text{si } D_2 > 0 \text{ y } A < 0 \end{cases}$$

con esto se puede establecer que

- a.) $f(\mathbf{x}) - f(\mathbf{p}) \geq 0$ en un entorno de \mathbf{p} si $D_2 > 0$ y si $A > 0$
- b.) $f(\mathbf{x}) - f(\mathbf{p}) \leq 0$ en un entorno de \mathbf{p} si $D_2 > 0$ y si $A < 0$

Si $D_2 < 0$ entonces, podemos razonar con varios casos. Por simplicidad solo consideremos dos casos con $A \neq 0$ y $C \neq 0$. Si $B = 0$ entonces A y C tienen signos contrarios, por lo que la forma cuadrática cambia de signo sobre las rectas $x = 0$ y $y = 0$. Si $B \neq 0$, entonces la forma cuadrática cambia de signo sobre las rectas $y = 0$ y $By = -Ax$. Entonces se podría establecer, comparando $f(\mathbf{x}) - f(\mathbf{p}) \geq 0$ con la forma cuadrática, que \mathbf{p} es un punto de silla.

Si $D_2 = 0$ entonces en general, si $A \neq 0$ y $B \neq 0$, hay rectas que pasan por el origen, sobre las que el término $(Ah + Bk)^2$ se anula, entonces $f(\mathbf{x}) - f(\mathbf{p}) = R(\mathbf{x}, \mathbf{p})$ sobre estas rectas, es decir, no podemos decir algo acerca del signo.

²Esto es así porque una propiedad de las formas cuadráticas que son *siempre positivas*, es que existe un $M > 0$ tal que para todo h

$$\frac{1}{2} [Ah^2 + 2Bhk + Ck^2] \geq M\|\mathbf{x} - \mathbf{p}\|^2$$

y como $\frac{R(\mathbf{x}, \mathbf{p})}{\|\mathbf{x} - \mathbf{p}\|^2} \rightarrow 0$ si $\mathbf{x} \rightarrow \mathbf{p}$, entonces hay un entorno alrededor de \mathbf{p} en el que $|R(\mathbf{x}, \mathbf{p})| < M\|\mathbf{x} - \mathbf{p}\|^2$, es decir, la forma cuadrática domina al resto R en este entorno. El caso de una forma cuadrática o siempre negativa es similar. Se usa la misma idea si la forma cuadrática cambia de signo para mostrar que δf también cambia de signo (ver [25], [18])

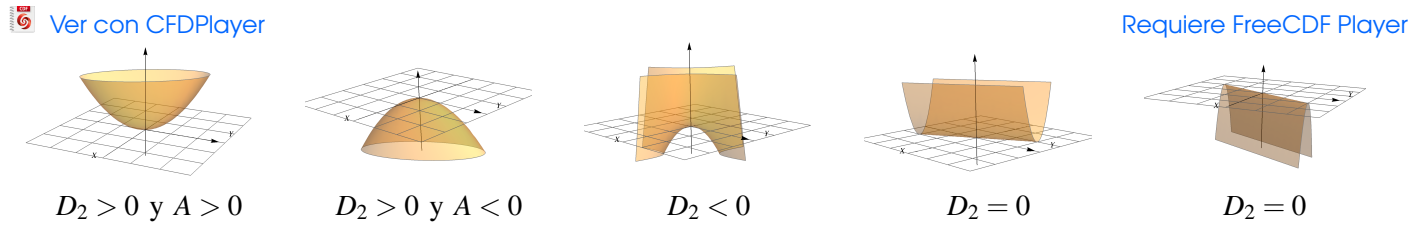


Figura 4.6: Forma cuadrática $Ah^2 + 2Bhk + Ck^2$ para distintos valores de D_2 y A

Específicamente: Si f tiene segundas derivadas continuas y si el determinante $D_2 = AC - B^2$ es positivo, entonces el signo de $f(\mathbf{x}) - f(\mathbf{p})$ es el signo de $Ah^2 + 2Bhk + Ck^2$, en un entorno suficientemente pequeño de \mathbf{p} . Si el determinante D_2 es negativo, entonces $f(\mathbf{x}) - f(\mathbf{p})$ cambia de signo con la forma cuadrática, en trayectorias contenidas en un entorno de \mathbf{p} (ver [25]).

En vista de la anterior afirmación, la clasificación de los puntos críticos depende del signo de la forma cuadrática (si $D_2 \neq 0$). El signo de la forma cuadrática es fácil de establecer usando el discriminante D_2 . La idea geométrica es la que se muestra a continuación.

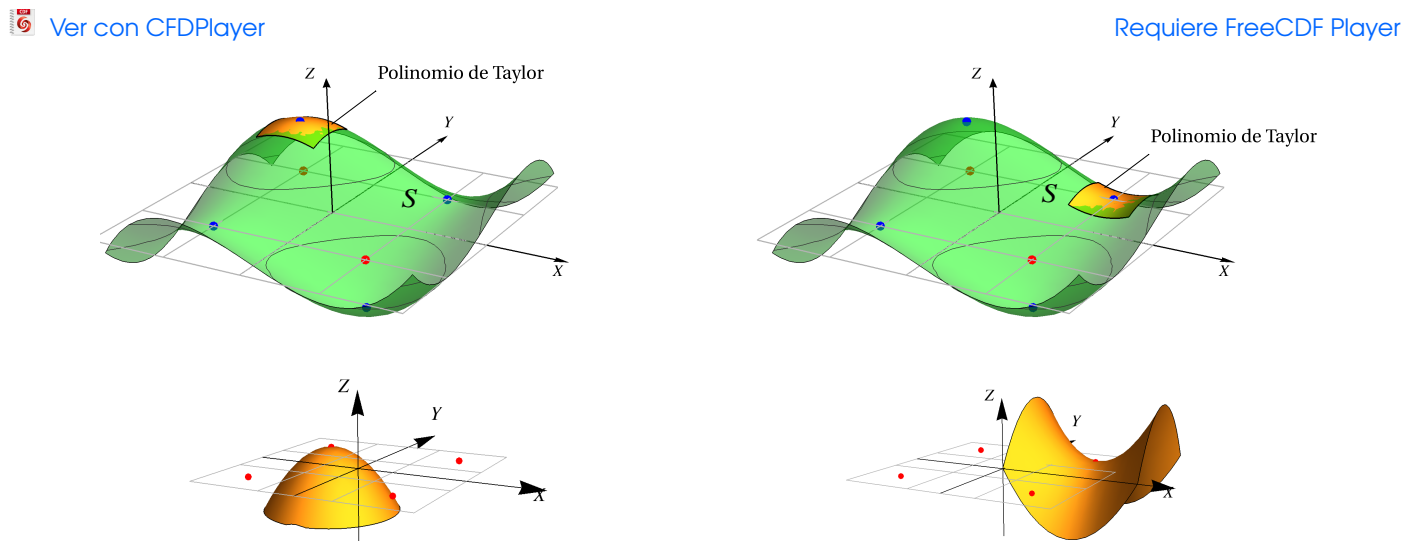


Figura 4.7: Polinomio de Taylor $P_2(x,y)$ y la forma cuadrática, sobre la superficie S

Teorema 4.2 (Condición suficiente).

Sea $f : U \subseteq \mathbb{R}^2 \rightarrow \mathbb{R}$ de clase C^2 en un subconjunto abierto U de \mathbb{R}^2 . Consideremos el “discriminante” $D_2(x,y) = f_{xx}(x,y) \cdot f_{yy}(x,y) - [f_{xy}(x,y)]^2$. Si $(x_0, y_0) \in U$ es punto crítico de f , entonces

- si $D_2(x_0, y_0) > 0$ y $f_{xx}(x_0, y_0) > 0$, entonces f alcanza un mínimo local en (x_0, y_0) .
- si $D_2(x_0, y_0) > 0$ y $f_{xx}(x_0, y_0) < 0$, entonces f alcanza un máximo local en (x_0, y_0) .
- Si $D_2(x_0, y_0) < 0$, entonces $(x_0, y_0, f(x_0, y_0))$ es un punto de silla.

El teorema solo da condiciones suficientes: No nos dice algo si $D_2(x_0, y_0) = 0$ pues no podemos determinar el signo de $f(\mathbf{x}) - f(\mathbf{p})$ (ver el ejercicio 4.2.1). En este caso se podría usar otros métodos para clasificar. En este test, se puede usar f_{yy} en vez de f_{xx} pues si $D_2(x_0, y_0) > 0$, ambas tienen el mismo signo.

Ejemplo 4.1

Calcule y clasifique los puntos críticos de la función $f(x, y) = x^3 + 3y - y^3 - 3x$.

Solución:

Puntos críticos: $\begin{cases} \frac{\partial f}{\partial x} = 0 \\ \frac{\partial f}{\partial y} = 0 \end{cases} \Rightarrow \begin{cases} 3x^2 - 3 = 0 \\ 3 - 3y^2 = 0 \end{cases}$

Obtenemos los puntos críticos $(1, 1)$, $(1, -1)$, $(-1, 1)$ y $(-1, -1)$.

Clasificación. $D_2(x, y) = (6x)(-6y) - (0)^2$

(x_0, y_0)	$D_1 = f_{xx}(x_0, y_0)$	$D_2 = D_2(x_0, y_0)$	Clasificación
$(1, 1)$	6	-36	$(1, 1, 0)$ es punto de silla
$(1, -1)$	6	36	$(1, -1, -1.2)$ es mínimo local.
$(-1, 1)$	-6	36	$(-1, 1, 1.2)$ es máximo local.
$(-1, -1)$	-6	-36	$(-1, -1, 0)$ es punto de silla

La representación gráfica de f se muestra en la figura.

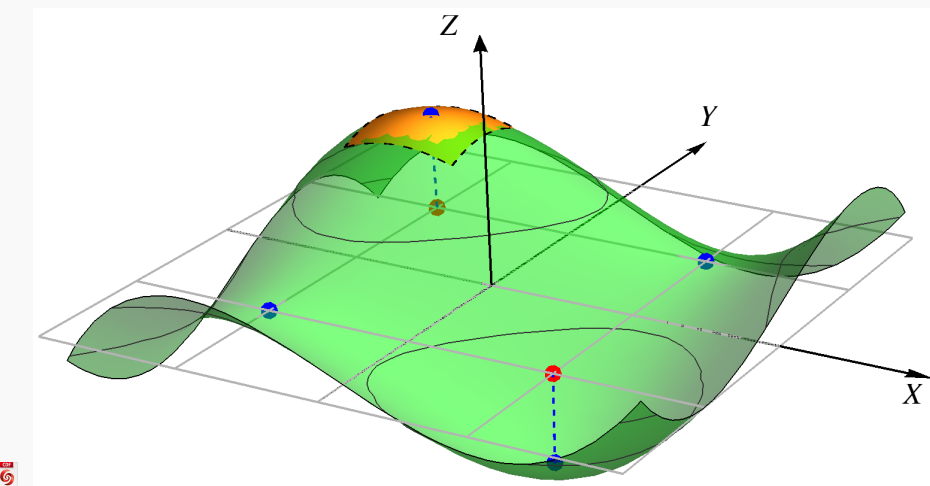


Figura 4.8: $f(x, y) = x^3 + 3y - y^3 - 3x$

Ejemplo 4.2

Calcule y clasifique los puntos críticos de la función $f(x,y) = x^4 + y^4 - 2x^2 + 4xy - 2y^2$.

Solución:

$$\text{Puntos críticos: } \begin{cases} \frac{\partial f}{\partial x} = 0 \\ \frac{\partial f}{\partial y} = 0 \end{cases} \implies \begin{cases} 4x^3 + 4y - 4x = 0 \\ 4y^3 - 4y + 4x = 0 \end{cases} \quad (\text{E2})$$

Sumando miembro a miembro obtenemos $x^3 + y^3 = 0 \implies x = -y$. Ahora sustituimos en la ecuación (E2), queda $4x^3 - 4x - 4x = 0 \implies x(x^2 - 2) = 0$; con lo cual obtenemos los puntos críticos $(0,0)$, $(\sqrt{2}, -\sqrt{2})$, $(-\sqrt{2}, \sqrt{2})$.

Clasificación. $D_2(x,y) = (12x^2 - 4)(12y^2 - 4) - (4)^2$

(x_0, y_0)	$D_1 = f_{xx}(x_0, y_0)$	$D_2 = D_2(x_0, y_0)$	Clasificación
$(0,0)$	-4	0	Criterio no decide.
$(\sqrt{2}, -\sqrt{2})$	20	384	$(\sqrt{2}, -\sqrt{2}, -8)$ es mínimo local.
$(-\sqrt{2}, \sqrt{2})$	20	384	$(-\sqrt{2}, \sqrt{2}, -8)$ es mínimo local.

La representación gráfica de f se muestra en la figura. Aunque $D_2(0,0) = 0$ y el criterio no proporciona información, la gráfica a la derecha nos indica que se trata de un punto de silla.

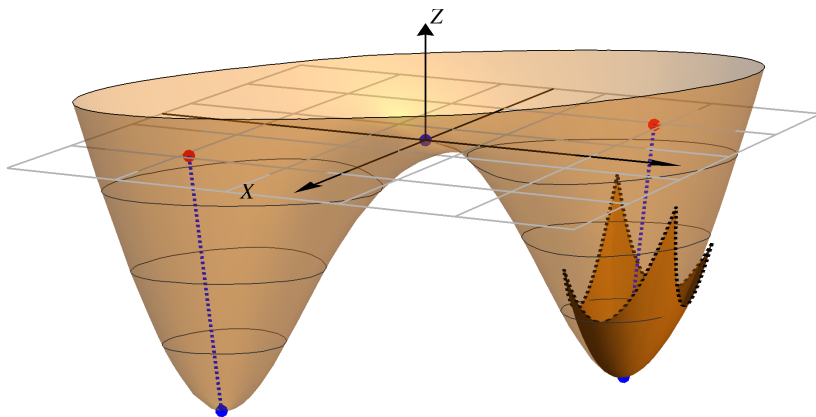
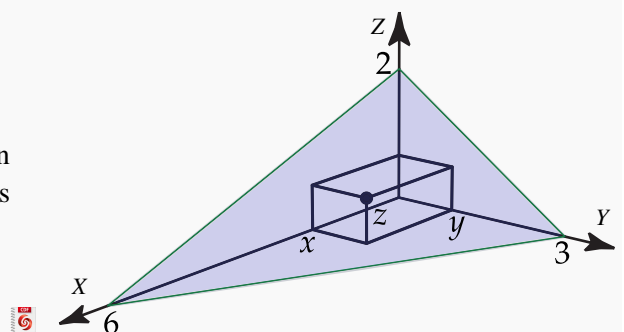


Figura 4.9: $f(x,y) = x^4 + y^4 - 2x^2 + 4xy - 2y^2$

Ejemplo 4.3

 Ver con CFDPlayer

Calcule el volumen de la caja rectangular más grande que esté en el primer octante con tres de sus caras en los planos coordinados y un vértice en el plano $x + 2y + 3z = 6$.



Solución: Debemos maximizar $V = xyz$. Como $z = 2 - x/3 - 2y/3$, el volumen de la caja es $V = xy(2 - x/3 - 2y/3)$.

Puntos críticos. Nos interesa solo $x > 0$ y $y > 0$. Entonces,

$$\begin{cases} V_x = 0 \\ V_y = 0 \end{cases} \implies \begin{cases} -\frac{2y}{3}(-3+x+y) = 0 \\ -\frac{x}{3}(-6+x+4y) = 0 \end{cases} \implies \begin{cases} -3+x+y = 0 \\ -6+x+4y = 0 \end{cases} \implies x=2, y=1.$$

Clasificación. $D_2 = D_2(x,y) = V_{xx}V_{yy} - V_{xy}^2 = -\frac{2y}{3} \cdot -\frac{4x}{3} - \left[\frac{2}{3}(x+2y-3) \right]^2$. Así $D_2(2,1) = 4/3 > 0$ y $D_1 = V_{xx}(2,1) = -2/3 < 0$. Esto nos dice que el volumen es máximo cuando las dimensiones de la caja son $x = 2$, $y = 1$ y $z = \frac{2}{3}$. Por otro lado, el volumen máximo es $\frac{4}{3}ul^3$.

Ejemplo 4.4

Sea $f(x,y) = 6xy - 2x^2y - 3xy^2$. Calcule y clasifique los puntos críticos de f .

Solución: Los **puntos críticos** se obtienen resolviendo el sistema $\nabla f = (0,0)$,

$$\begin{cases} \frac{\partial f}{\partial x} = 0 \\ \frac{\partial f}{\partial y} = 0 \end{cases} \implies \begin{cases} 6y - 4xy - 3y^2 = 0 \\ 6x - 2x^2 - 6xy = 0 \end{cases} \implies \begin{cases} y(6 - 4x - 3y) = 0 \implies y=0 \text{ o } y = \frac{6-4x}{3} \\ 6x - 2x^2 - 6xy = 0 \end{cases} \quad (\text{E2})$$

- Si $y = 0$, al sustituir en la ecuación (E2) obtenemos los puntos críticos $(0,0), (3,0)$.

- Si $y = \frac{6 - 4x}{3}$, al sustituir en la ecuación (E2) obtenemos los puntos críticos $(0, 2)$, $\left(1, \frac{2}{3}\right)$.

Clasificación. $D_2(x, y) = (-4y)(-6x) - [6 - 4x - 6y]^2$

(x_0, y_0)	$D_1 = f_{xx}(x_0, y_0)$	$D_2 = D_2(x_0, y_0)$	Clasificación
$(0, 0)$	0	-36	$(0, 0, 0)$ es punto de silla
$(3, 0)$	0	-36	$(3, 0, 0)$ es punto de silla
$(0, 2)$	-8	-36	$(0, 2, 0)$ es punto de silla
$(1, 2/3)$	$-8/3$	12	$(1, 2/3, 4/3)$ es máximo local.

 Ver con CFDPlayer

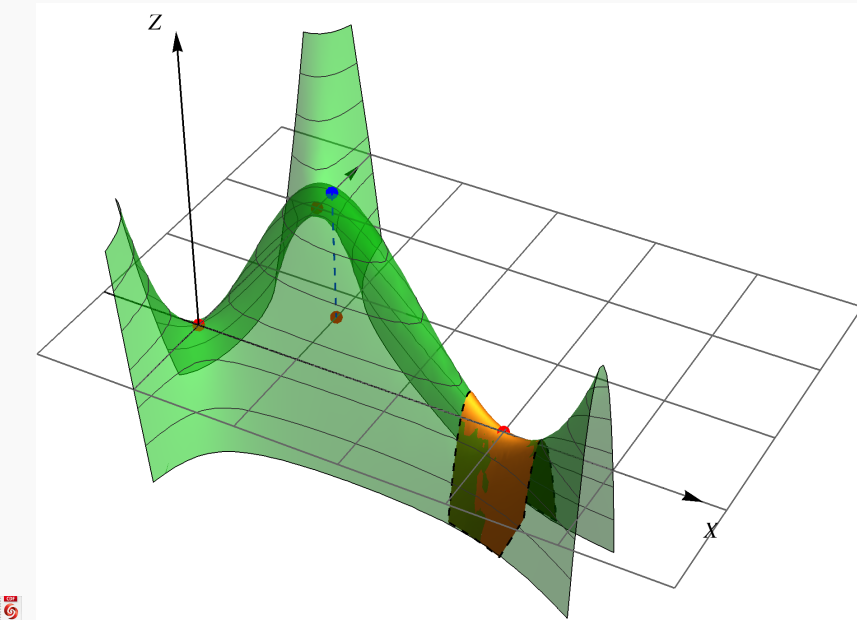


Figura 4.10: $f(x, y) = 6xy - 2x^2y - 3xy^2$

Ejemplo 4.5

Sea $z = yxe^{-x} + y^2$. Calcule y clasifique los puntos críticos de z .

Solución: Los **puntos críticos** se obtienen resolviendo el sistema $\nabla z = (0, 0)$,

$$\begin{cases} \frac{\partial z}{\partial x} = 0 \\ \frac{\partial z}{\partial y} = 0 \end{cases} \Rightarrow \begin{cases} e^{-x}y - e^{-x}xy = 0 \\ e^{-x}x + 2y = 0 \end{cases} \Rightarrow \begin{cases} y(1-x) = 0 \Rightarrow y=0 \text{ o } x=1 \\ e^{-x}x + 2y = 0 \end{cases} \quad (\text{E2})$$

I caso. Si $y = 0$, sustituimos en (E2) y obtenemos $x = 0$.

II caso Si $x = 1$ sustituimos en (E2) y obtenemos $y = -\frac{1}{2e}$.

Clasificación. $D_2(x, y) = 2y e^{-x} (x - 2) - (e^{-x} - e^{-x} x)^2$

(x_0, y_0)	$D_1 = f_{xx}(x_0, y_0)$	$D_2 = D_2(x_0, y_0)$	Clasificación
$(0, 0)$	0	$-1 < 0$	$(0, 0, 0)$ es punto de silla
$\left(1, -\frac{1}{2e}\right)$	$\frac{1}{2e^2} > 0$	$\frac{1}{e^2} > 0$	$(1, -1/2e, -1/4e^2)$ es mínimo local

Ejemplo 4.6

Sea $z = x^2y^2 - x - y$. Calcule y clasifique los puntos críticos de z .

Solución: Los **puntos críticos** se obtienen resolviendo el sistema $\nabla z = (0, 0)$,

$$\begin{cases} \frac{\partial z}{\partial x} = 0 \\ \frac{\partial z}{\partial y} = 0 \end{cases} \implies \begin{cases} 2xy^2 - 1 = 0 & \text{(E1)} \\ 2x^2y - 1 = 0 & \text{(E2)} \end{cases}$$

Como $y = 0$ no es solución, podemos despejar $x = \frac{1}{2y^2}$ de (E1). Ahora sustituimos en (E2) y obtenemos $y = \sqrt[3]{\frac{1}{2}}$.

Entonces tenemos el punto crítico $\left(\sqrt[3]{\frac{1}{2}}, \sqrt[3]{\frac{1}{2}}\right)$

Clasificación. $D_2(x, y) = 2y^2 \cdot 2x^2 - (4xy)^2$

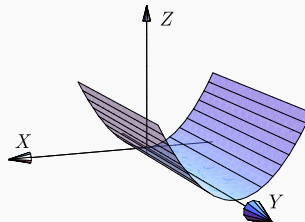
(x_0, y_0)	$D_1 = f_{xx}(x_0, y_0)$	$D_2 = D_2(x_0, y_0)$	Clasificación
$\left(\sqrt[3]{\frac{1}{2}}, \sqrt[3]{\frac{1}{2}}\right)$	$\sqrt[3]{\frac{1}{2}}$	$-3\sqrt[3]{4} < 0$	$\left(\sqrt[3]{\frac{1}{2}}, \sqrt[3]{\frac{1}{2}}, -\frac{3}{2\sqrt[3]{2}}\right)$ es punto de silla

Ejemplo 4.7

Calcule y clasifique los puntos críticos de la función $f(x,y) = x^2$.

Solución: Primero calculamos los **puntos críticos**

$$\begin{cases} f_x = 2x = 0 \\ f_y = 0 = 0 \end{cases}$$



El sistema tiene infinitas soluciones de la forma $(0,y)$. Así que tenemos un número infinito de puntos críticos. $D_2(x,y) = (2)(0) - (0)^2 = 0$ así que este criterio no da información aunque, de acuerdo a la gráfica , se trata de puntos donde f alcanza mínimos locales.

14**Ejercicios**

4.2.1 Calcule y clasifique los puntos críticos de la función $f(x,y) = -3x^2y + x^2 + xy^3$.

4.2.2 Calcule y clasifique los puntos críticos de la función $f(x,y) = x^4 + y^4 - 4xy + 1$.

4.2.3 Determine y clasifique los puntos críticos de $f(x,y) = x^3 + 3xy^2 - 3x^2 - 3y^2 + 4$.

4.2.4 Sea $z = xy + \frac{a}{x} + \frac{b}{y}$ la ecuación de una superficie (con a y b constantes). Si $P = (1,2)$ es un punto crítico de z , determine si en P la función *alcanza* un máximo relativo, un mínimo relativo o un punto de silla.

4.2.5 Calcular y clasificar los puntos críticos de $z = 4x^2 - xy + y^2$.

4.2.6 Calcule y clasifique los puntos críticos de $z = (x^2 - y^2)e^{-x^2-y^2}$.

4.2.7 Hallar el punto del paraboloide $P : z = x^2 + y^2 + 2$ más cercano al punto $Q = (2,2,2)$.

4.2.8 Calcule y clasifique los puntos críticos de $z = 4xy - 2x^2 - y^4$.

4.2.9 ¿Cuáles deben ser las dimensiones de un envase de forma rectangular, de volumen de 10 cm^3 y costo mínimo, si el material de los lados de la caja cuestan 10 colones el centímetro cuadrado y el material de la tapa y el fondo cuestan 20 colones el centímetro cuadrado?

4.2.10 Calcule el volumen de la caja de base rectangular más grande, que tenga caras en los planos $x = 0$, $y = 0$, $z = 0$, en el primer octante, y un vértice en el plano $2x + 2y + 2z = 10$ (haga un dibujo).

4.2.11 Resuelva el ejercicio anterior si el plano tiene ecuación $\frac{x}{a} + \frac{y}{b} + \frac{z}{c} = 1$, con a, b, c números positivos.

4.2.12 Encuentre las dimensiones da la caja rectangular de máximo volumen, si el área de su superficie total debe ser de 64cm^2

4.2.13 Sea $z = yxe^{-x} + y^2$. Calcule y clasifique los puntos críticos de z .

4.3 Extremos con restricciones: Multiplicadores de Lagrange

Supóngase que queremos hallar los máximos y los mínimos relativos de $z = f(x,y)$ sujeto a la restricción $g(x,y) = 0$. Esto significa que la función $f(x,y)$ solo podrá ser evaluada en los puntos (x,y) que estén en la curva de nivel $g(x,y) = 0$, es decir $f(x,y)$ está restringida (o sujetada) a $g(x,y) = 0$. Una manera de resolver este problema se puede obtener con un análisis geométrico de la situación. En las cercanías de un máximo local, nos desplazamos sobre g en la dirección de máximo crecimiento de f , hasta el punto “más profundo” que puede alcanzarse sobre g en esta dirección. Este punto podría ser el máximo local con restricciones que andamos buscando. Digamos que es $P = (a,b,c)$. Para poder determinar este punto con una ecuación, podemos pensar que viajamos a “este punto más profundo” atravesando curvas de nivel, entonces la “última” curva de nivel debería ser una curva de nivel $z = c$ tangente a g en P (si P no es un punto terminal de g). Que estas curvas sean tangentes significa que sus gradientes son paralelos, es decir, $\nabla z(a,b) = \lambda \nabla g(a,b)$. Esta es la ecuación que usamos para determinar P .

El análisis es similar para determinar un mínimo local con restricciones: En las cercanías de un mínimo local, nos desplazamos sobre g en la dirección de máximo decrecimiento hasta el punto más profundo que podamos alcanzar, sobre g .

Teorema 4.3 (Multiplicadores Lagrange. Condición de primer orden)

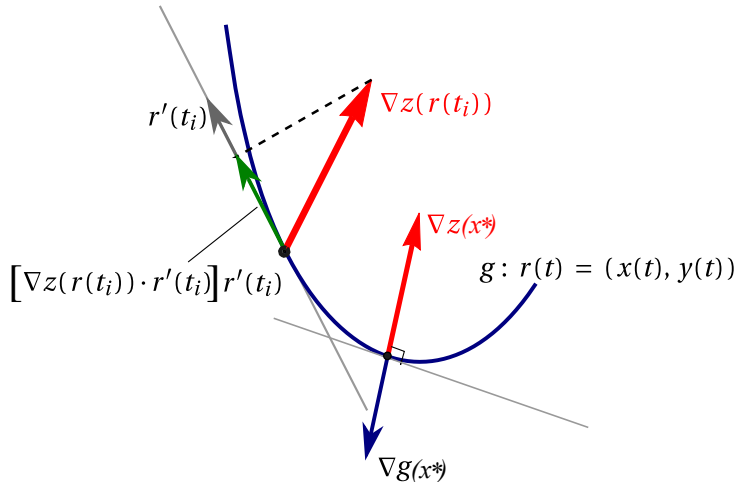
Sea $U \subseteq \mathbb{R}^2$ un conjunto abierto y sean $f, g : U \rightarrow \mathbb{R}$ funciones C^1 y sea \mathbf{x}^* un extremo local de f en el conjunto $D = \{\mathbf{x} \in U \mid g(\mathbf{x}) = 0\}$. Entonces, si $\nabla g(\mathbf{x}^*) \neq (0,0)$, existe $\lambda \in \mathbb{R}$ (que puede ser cero) tal que

$$\nabla f(\mathbf{x}^*) - \lambda \nabla g(\mathbf{x}^*) = (0,0)$$

El teorema dice que los extremos locales \mathbf{x}^* de f sujetos a la restricción $g(x,y) = 0$ (y $\nabla g(\mathbf{x}^*) \neq (0,0)$), son puntos críticos de la función “lagrangiana” $L(x,y,\lambda) = f(x,y) - \lambda g(x,y)$, pero no necesariamente viceversa. Puede suceder que algunos puntos críticos de L no sean extremos locales de f sujeto a la restricción $g(x,y) = 0$.

En el caso de $z = f(x,y)$ sujeta a $g(x,y) = 0$, podríamos informalmente justificar el teorema así: Sea $r(t) = (x(t),y(t))$ una parametrización de la curva g y sea $\mathbf{x}^* = r(t_0)$ un extremo local de este problema con restricciones. Entonces, usando regla de la cadena,

$$\left. \frac{d}{dt} f(r(t)) \right|_{t=t_0} = \left. \frac{d}{dt} f(x(t),y(t)) \right|_{t=t_0} = \nabla f(\mathbf{x}^*) \cdot r'(t_0) = 0$$



Esto nos dice que $\nabla f(\mathbf{x}^*)$ es perpendicular al vector tangente a la curva de restricción en \mathbf{x}^* , es decir, $\nabla f(\mathbf{x}^*)$ y $\nabla g(\mathbf{x}^*)$ son paralelos donde se alcanzan los extremos locales (si $\nabla g(\mathbf{x}^*) \neq 0$)... pero no necesariamente viceversa.

En tres variables, podríamos encontrar los puntos críticos del problema de optimización, como soluciones del sistema

$$L(x, y, z, \lambda) = \mathbf{f}(x, y, z) - \lambda \mathbf{g}(x, y, z)$$

A λ se le llama multiplicador (de Lagrange). Observe que λ podría ser cero. Esto pasa por ejemplo cuando un extremo local con restricciones coincide con un extremo local (sin restricciones).

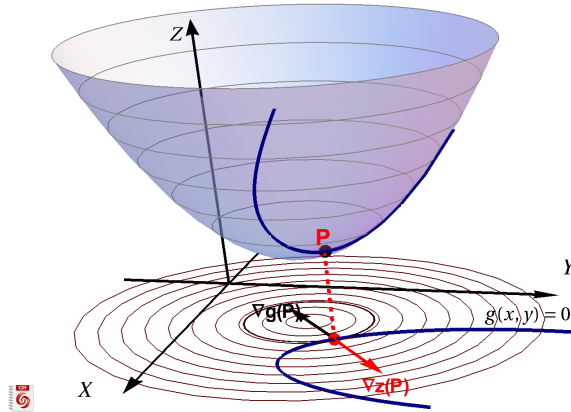


Figura 4.11: Un problema de optimización con restricciones.

Método de los multiplicadores de Lagrange con una restricción:

- Para minimizar o maximizar $f(x_1, x_2, \dots, x_n)$ sujeta a la condición $g(x_1, x_2, \dots, x_n) = 0$, se busca los puntos críticos de $L(x_1, y_1, \dots, x_n, \lambda) = f(x_1, x_2, \dots, x_n) - \lambda g(x_1, x_2, \dots, x_n)$.

Para hallar los puntos críticos de $L(x_1, y_1, \dots, x_n, \lambda)$ se debe resolver el sistema

$$\begin{cases} L_{x_1} = 0 \\ \vdots \\ L_{x_n} = 0 \\ g(x_1, x_2, \dots, x_n) = 0 \end{cases}$$

- **Criterio de clasificación.** Para determinar si los puntos críticos son máximos, mínimos o no son ni máximos ni mínimos, se podría recurrir a al criterio de la Hessiana orlada (ver más adelante). Sin embargo, en los problemas que siguen, los puntos críticos se pueden clasificar de manera directa (usando la geometría del problema o una comparación).

Ejemplo 4.8

Maximizar y minimizar $f(x,y) = x^2 + \frac{1}{3} \left(y - \frac{3}{2}\right)^2 + 1$ sujeto a la restricción $x^2 + \frac{4y^2}{9} = 1$.

Solución: Sea $L(x,y,\lambda) = x^2 + \frac{1}{3} \left(y - \frac{3}{2}\right)^2 + 1 - \lambda \left(x^2 + \frac{4y^2}{9} - 1\right)$.

$$\begin{cases} L_x = 0 \\ L_y = 0 \\ L_\lambda = 0 \end{cases} \Rightarrow \begin{cases} 2x - 2\lambda x = 0 \implies x(1 - \lambda) = 0 & \text{(E1)} \\ \frac{2}{3} \left(y - \frac{3}{2}\right) - \frac{8\lambda y}{9} = 0 & \text{(E2)} \\ 1 - x^2 - \frac{4y^2}{9} = 0 & \text{(E3)} \end{cases}$$

De (E1) vemos que la solución del sistema requiere que $x = 0$ o $\lambda = 1$. Si $x = 0$, sustituyendo en (E3) obtenemos los puntos $y = \pm 3/2$.

Si $\lambda = 1$, sustituimos en la ecuación (E2) y obtenemos $y = -4.5$, pero al sustituir en la ecuación (E2) nos da una solución compleja.

Los puntos críticos de L son $(0, 3/2)$ con $\lambda = 0$ y $(0, -3/2)$ con $\lambda = 1.5$. Evaluando en f cada punto, obtenemos que en $(0, 3/2)$ se alcanza un mínimo local (coincide con el mínimo de f , por eso $\lambda = 0$) y en $(0, -3/2)$ se alcanza un máximo local.

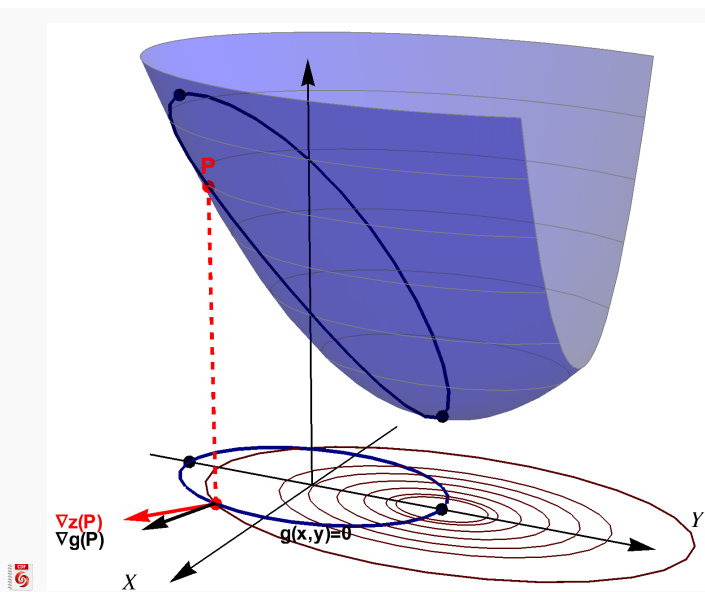


Figura 4.12: Un problema de optimización con restricciones.

Ejemplo 4.9

Minimizar $z = x^2 + y^2$ sujeto a $x - y = 0$.

Solución: Sea $L(x, y, \lambda) = x^2 + y^2 - \lambda(x - y)$.

$$\begin{cases} L_x = 0 \\ L_y = 0 \\ L_\lambda = 0 \end{cases} \implies \begin{cases} 2x - \lambda = 0 \\ 2y + \lambda = 0 \\ x - y = 0 \end{cases} \quad (\text{E3})$$

Sustituyendo $x = \lambda/2$ y $y = -\lambda/2$ en (E3) obtenemos $\lambda = 0$ y, por tanto, $x = 0$, $y = 0$.

En este caso, $\lambda = 0$ indica que el mínimo con restricciones coincide con un mínimo local de z .

Ejemplo 4.10

Determine tres números reales positivos x, y, z cuya suma sea 10 y su producto máximo.

Solución: Hay que maximizar el producto $P = xyz$ sujeto a la restricción $x + y + z = 10$.

Sea $L(x, y, \lambda) = xyz - \lambda(x + y + z - 10)$.

$$\begin{cases} L_x = 0 \\ L_y = 0 \\ L_z = 0 \\ g(x, y, z) = 0 \end{cases} \implies \begin{cases} yz - \lambda = 0 \\ xz - \lambda = 0 \\ xy - \lambda = 0 \\ x + y + z - 10 = 0 \end{cases} \quad (\text{E4})$$

Despejando λ obtenemos

$$yz = xz \quad y = xz \quad xz = xy.$$

Como x, y y z son, en este caso, positivos; podemos cancelar y entonces $x = y = z$. Sustituyendo en (E4) nos queda $3x - 10 = 0$, es decir, $x = y = z = \frac{10}{3}$.

Ejemplo 4.11

Determine el máximo y el mínimo de $f(x, y) = x^2 + y^2$ sujeto a $x^4 + y^4 = 1$

Solución: La lagrangiana es $L(x, y, \lambda) = x^2 + y^2 - \lambda(x^4 + y^4 - 1)$

● **Puntos críticos:**

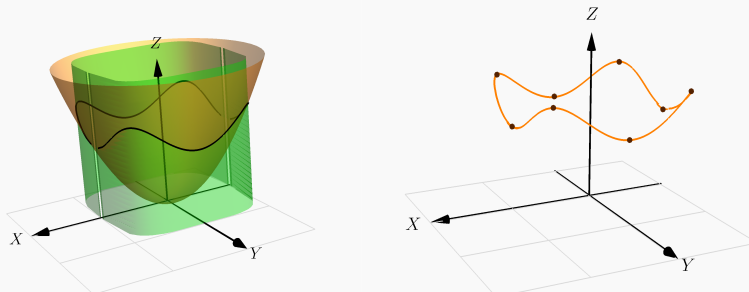
$$\begin{cases} L_x = 2x - \lambda 4x^3 = 0 \\ L_y = 2y - \lambda 4y^3 = 0 \\ L_\lambda = -x^4 - y^4 + 1 = 0 \end{cases} \quad (\text{E3}) \implies \begin{cases} 2x(1 - 2\lambda x^2) = 0 \\ 2y(1 - 2\lambda y^2) = 0 \\ -x^4 - y^4 + 1 = 0 \end{cases} \quad (\text{E3})$$

Casos para anular las tres ecuaciones:

- Caso $x = 0$ y $y = 0$. Al sustituir en (E3) obtenemos $1 = 0$. No obtenemos puntos críticos.
- Caso $x = 0$ y $1 - 2\lambda y^2 = 0$. Al sustituir en (E3) obtenemos los puntos críticos $(0, \pm 1)$ y $\lambda = 1/2$.
- Caso $y = 0$ y $1 - 2\lambda x^2 = 0$. Al sustituir en (E3) obtenemos los puntos críticos $(\pm 1, 0)$ y $\lambda = 1/2$.
- Caso $1 - 2\lambda y^2 = 0$ y $1 - 2\lambda x^2 = 0$. Elevando al cuadrado obtenemos $4\lambda^2 y^4 = 1$ y $4\lambda^2 x^4 = 1$. Multiplicando

(E3) por $4\lambda^2$ a ambos lados y sustituyendo, obtenemos los cuatro puntos críticos $\left(\frac{\pm 1}{\sqrt[4]{2}}, \frac{\pm 1}{\sqrt[4]{2}}\right)$ y $\lambda^2 = 1/2$.

Para clasificar los puntos de manera “empírica”, podemos evaluar en la función f . Para visualizar la situación, dibujamos la curva de intersección entre la superficie $z = x^2 + y^2$ y la superficie generada por la curva $x^4 + y^4 = 1$.



así, tenemos cuatro puntos máximos relativos, $\left(\frac{\pm 1}{\sqrt[4]{2}}, \frac{\pm 1}{\sqrt[4]{2}}, \frac{2}{\sqrt[4]{2}}\right)$ y cuatro puntos mínimos relativos, $(0, \pm 1, 1)$, $(\pm 1, 0, 1)$

Ejemplo 4.12

Calcule el valor mínimo de la función $f(x,y) = x^2 + (y-2)^2$ si (x,y) son puntos de la hipérbola $x^2 - y^2 = 1$.

Solución: El problema es minimizar la función objetivo $f(x,y) = x^2 + (y-2)^2$ sujeto a la restricción $x^2 - y^2 - 1 = 0$.

La lagrangiana es $L(x,y,\lambda) = x^2 + (y-2)^2 - \lambda(x^2 - y^2 - 1)$

● **Puntos críticos:** Debemos resolver el sistema $\nabla L = 0$, es decir,

$$\begin{cases} L_x = 2x - 2\lambda x = 0 \\ L_y = 2(y-2) + 2\lambda y = 0 \\ L_\lambda = x^2 - y^2 - 1 = 0 \end{cases} \implies \begin{cases} 2x(1-\lambda) = 0 & \text{(E1)} \\ (y-2) + \lambda y = 0 & \text{(E2)} \\ x^2 - y^2 - 1 = 0 & \text{(E3)} \end{cases}$$

De (E1) vemos que tenemos dos casos, $x = 0$ y $\lambda = 1$.

El caso $x = 0$ no es solución pues no satisface (E3).

El caso $\lambda = 1$ lo sustituimos en (E2) y obtenemos $y = 1$ y este valor de y lo sustituimos en (E3) y obtenemos $x = \pm\sqrt{2}$. Este procedimiento nos garantiza que todas las ecuaciones se anularon y que son la solución del sistema.

Los puntos críticos son $(\sqrt{2}, 1)$ y $(-\sqrt{2}, 1)$. Para determinar de manera empírica el mínimo, evaluamos estos puntos en f .

$$f(\sqrt{2}, 1) = 3$$

$$f(-\sqrt{2}, 1) = 3$$

En este caso, los dos puntos $(\sqrt{2}, 1, 3)$ y $(-\sqrt{2}, 1, 3)$ son mínimos locales.

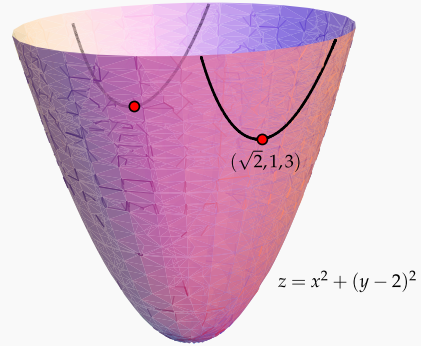


Figura 4.13: Mínimos locales

4.4 Cuando las condiciones de primer orden fallan.

En general, el método de multiplicadores de Lagrange es muy eficiente, sin embargo los puntos críticos de L no necesariamente son solución del problema de optimización que da origen a L .

- Consideremos el problema: Minimizar $f(x, y) = x^3 + y^3$ sujeto a la restricción $g = x - y = 0$.

$(0, 0)$ no es ni máximo ni mínimo local de f en D pues $\forall \varepsilon > 0$, $(\varepsilon, \varepsilon) \in D$ y $(-\varepsilon, -\varepsilon) \in D$ pero $f(0, 0) = 0 > f(-\varepsilon, -\varepsilon) = -2\varepsilon^3$ y $f(0, 0) = 0 < f(\varepsilon, \varepsilon) = 2\varepsilon^3$.

Sin embargo $(0, 0)$ satisface $\nabla g(0, 0) = (1, -1) \neq (0, 0)$ y es la única solución (con $\lambda = 0$) del sistema $\nabla L(x, y, \lambda) = 0$,

$$\begin{aligned} L_x &= 3x^2 - \lambda = 0 \\ L_y &= 3y^2 - \lambda = 0 \\ L_\lambda &= x - y = 0 \end{aligned}$$

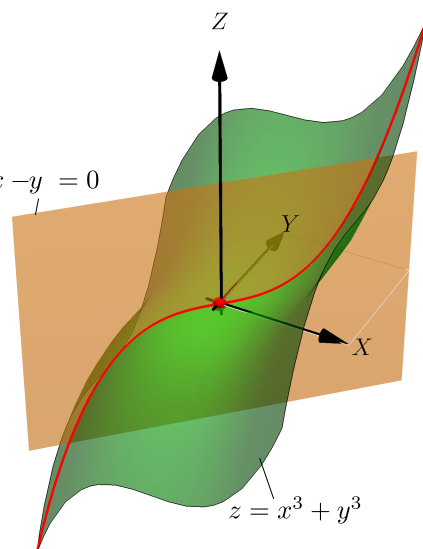


Figura 4.14: $(0, 0, 0)$ es punto crítico de L pero no es solución del problema

- Cuando ∇g se anula.** El método de multiplicadores de Lagrange requiere que ∇g no se anule en los puntos críticos de f sobre D para que el conjunto de puntos críticos de L contenga al conjunto de puntos críticos de f sobre D . Si $\nabla g(x)$

se anula podrían pasar varias cosas de cuidado.

- Consideramos el problema de minimizar la distancia de la curva $(x-1)^3 - y^2 = 0$ al origen, es decir, minimizar $d = \sqrt{x^2 + y^2}$ sujeta a $(x-1)^3 - y^2 = 0$. Este problema es equivalente al problema:

$$\text{Minimizar } d = x^2 + y^2 \text{ sujeta a } (x-1)^3 - y^2 = 0.$$

- $x = 1$ y $y = 0$ es una solución del problema (como se ve gráficamente), pues este punto está en la curva de restricción y también $(x-1)^3 = y^2$ entonces $(x-1)^3 \geq 0 \implies x \geq 1$. Por tanto de D , $d(x,y) = x^2 + y^2 \geq d(1,0) = 1$.

- $(1,0)$ no es punto crítico de L . La lagrangiana sería $L(x,y,\lambda) = x^2 + y^2 - \lambda[(x-1)^3 - y^2]$ y debemos resolver el sistema

$$\begin{cases} 2x - 3\lambda(x-1)^2 = 0 & (\text{E1}) \\ 2y + 2y\lambda = 0 & (\text{E2}) \\ (x-1)^3 - y^2 = 0 & (\text{E3}) \end{cases}$$

Factorizando en (E2) obtenemos $y = 0$ y $\lambda = -1$. Sustituyendo $y = 0$ en (E3) nos da $x = 1$, pero este valor no es solución pues no satisface (E1). Sustituyendo $\lambda = -1$ en (E1) nos da la cuadrática $3x^2 - 4x + 3 = 0$ que tiene raíces complejas, así que **el sistema no tiene soluciones** en \mathbb{R} y los puntos críticos de L no detectan el mínimo local $(1,0,1)$

- Problema: Maximizar $z = -y$ sujeto a la restricción $y^3 - x^2 = 0$

- $(0,0,0)$ es un máximo local para este problema pues como $y^3 = x^2$ entonces $y \geq 0$ por lo que $z(x,y) = -y \leq 0 = z(0,0) \forall (x,y) \in D$.

- $(0,0)$ no es punto crítico de $L(x,y,\lambda) = -y - \lambda(y^3 - x^2)$. El sistema $\nabla L = 0$ no tiene solución. El método de multiplicadores de Lagrange no detecta el óptimo.

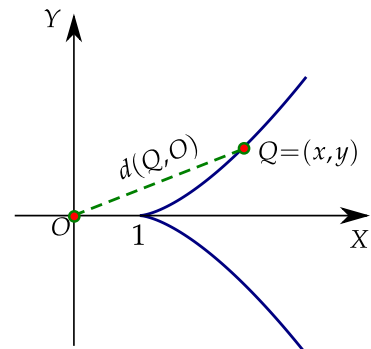


Figura 4.15: La distancia de la curva al origen se minimiza si $x = 1$ y $y = 0$

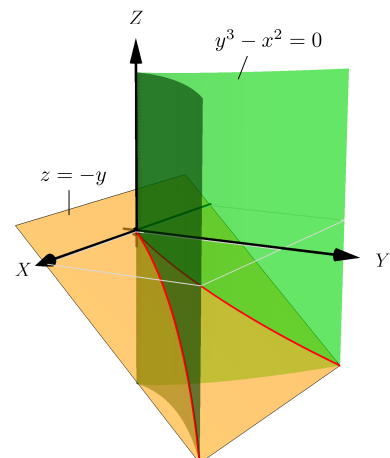
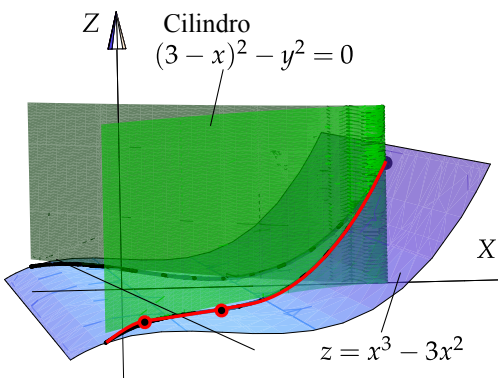


Figura 4.16: Máximo local en $(0,0,0)$

- Problema: Maximizar $z = 2x^3 - 3x^2$ sujeto a la restricción $(3-x)^2 - y^2 = 0$

Este problema tiene solo un máximo local cuando $x = 3$ y $y = 0$ pero este máximo no está dentro de los cuatro puntos críticos de L .

 Ver con CFDPlayer

El sistema $\nabla L = 0$ tiene cuatro soluciones, todas con $\lambda = 0$,

$$(0, \pm 3\sqrt{3}, 0),$$

$$(1, \pm 2\sqrt{2}, 0)$$

y no detecta el máximo local en $(3, 0)$.

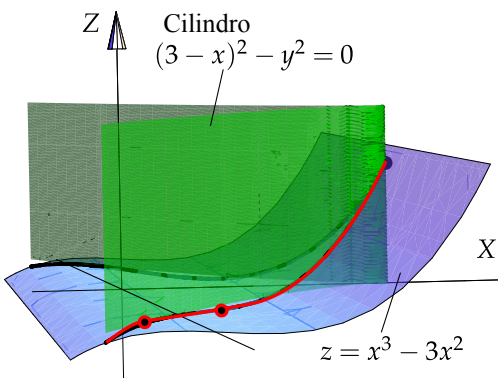


Figura 4.17: Máximo local se alcanza en $(3, 0)$, pero este punto no es punto crítico de L

- Problema: Mínimo $z = x^2 + y^2$ sujeto a la restricción $x^2 - y^2 = 0$

El mínimo local se alcanza en $(0,0)$ y aunque $\nabla g(0,0) = (0,0)$, ahora sí $(0,0)$ es solución del problema de optimización. En este caso $\nabla f(0,0) = (0,0)$ por lo que trivialmente la ecuación $\nabla f - \lambda \nabla g = 0$ tiene infinitas soluciones $(0,0,\lambda)$ con $\lambda \in \mathbb{R}$.

■ Multiplicadores de Lagrange vs sustituir la restricción.

Consideremos el problema

$$\text{Optimizar } z = x^2 - y^2 \text{ sujeto a la restricción } x^2 + y^2 = 1$$

Con multiplicadores de Lagrange

$$L(x,y,\lambda) = x^2 - y^2 - \lambda(x^2 + y^2 - 1)$$

$$\nabla L = 0 \implies (x,y,\lambda) = \begin{cases} (0,-1,-1) \\ (0,1,-1) \\ (1,0,1) \\ (-1,0,1) \end{cases}$$

Con una sustitución

Si hacemos la sustitución $y^2 = 1 - x^2$ en $z = x^2 - y^2$,

$$z = 2x^2 - 1$$

$$\frac{dz}{dx} = 0 \implies (x,y) = \begin{cases} (0,-1) \\ (0,1) \end{cases}$$

El método de sustitución funciona si hacemos la otra sustitución $x^2 = 1 - y^2$... pero...

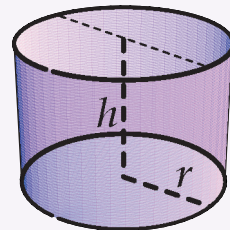
Determinar extremos absolutos. Si el conjunto de puntos A_g donde la restricción g se anula, es cerrado y acotado y si f es continua entonces si hay extremos absolutos en A_g . Formalmente uno obtiene los valores de la función en los puntos críticos y los compara con los valores de la función en la frontera de A_g y así obtiene los extremos absolutos.

Los puntos críticos los detectamos usando el método de multiplicadores de Lagrange, pero también a veces hay extremos excepcionales en A_g en los que el gradiente de f o el de g se indefinen o puntos donde el gradiente de g se anula como el ejemplo anterior.

15

Ejercicios

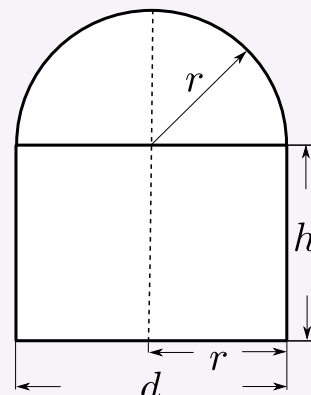
- 🕒 4.4.1 Se quiere construir un cilindro circular recto con fondo pero *sin tapa* (ver figura). Si se dispone de $48\pi \text{ cm}^2$ de lata para construirlo; use multiplicadores de Lagrange para determinar las dimensiones del cilindro de tal manera que su volumen sea máximo.



- 🕒 4.4.2 Considere la superficie S de ecuación $xy^2z = 32$.

- Si $(x, y, z) \in S$ entonces $x \neq 0$, $y \neq 0$ y $z \neq 0$, ¿Porqué?
- Use multiplicadores de Lagrange para encontrar los puntos $Q = (x, y, z) \in S$ que están más cerca del origen $O = (0, 0, 0)$.

- 🕒 4.4.3 Se desea construir un tanque para almacenar agua caliente en un cilindro con un tope esférico (media esfera). El tanque se debe diseñar de tal manera que puede almacenar 300m^3 de líquido. Determinar la altura total y el diámetro del tanque de tal manera que la pérdida de calor en la superficie sea mínima. (La pérdida de calor en la superficie será mínima si su área es mínima).



- 🕒 4.4.4 La densidad de una superficie metálica esférica de ecuación $x^2 + y^2 + z^2 = 4$ está dada por $\rho = 2 + xz + y^2$. Encuentre los puntos donde la densidad es mayor y menor.

- 🕒 4.4.5 Maximizar $z = 1 - y$ sujeto a la condición $x^6 + y^6 = 1$.

4.4.6 Obtener el máximo local de $f(x,y) = 9 - x^2 - y^2$ sujeta a $x + y = 3$

4.4.7 Sean k una constante positiva y $C(r,h) = 2kr^2 + 2.5(2krh)$ con $r,h > 0$. Minimizar $C(r,h)$ sujeta a la restricción $kr^2h = 1000$.

4.4.8 Calcule los puntos críticos de $z = x^2y^2$ sujeta a la condición $x^2 + y^2 = 1$.

4.4.9 Calcule el valor mínimo de la función $f(x,y) = x^2 + (y-2)^2$ si (x,y) son puntos de la hipérbola $x^2 - y^2 = 1$.

4.4.10 (*) Consideremos el problema: Minimizar $f(x,y) = x^3 + y^3$ sujeto a la restricción $g = x - y = 0$. $(0,0)$ no es ni máximo ni mínimo local de f en D pues $\forall \varepsilon > 0$, $(\varepsilon, \varepsilon) \in D$ y $(-\varepsilon, -\varepsilon) \in D$ pero $f(0,0) = 0 > f(-\varepsilon, -\varepsilon) = -2\varepsilon^3$ y $f(0,0) = 0 < f(\varepsilon, \varepsilon) = 2\varepsilon^3$.

Sin embargo, verifique que $(0,0)$ es la única solución del sistema $\nabla L(x,y,\lambda) = 0$

4.4.11 (*) Consideremos el problema: Maximizar $z = -y$ sujeto a la restricción $y^3 - x^2 = 0$. El punto $(0,0,0)$ es un máximo local para este problema pues como $y^3 = x^2$ entonces $y \geq 0$ por lo que $z(x,y) = -y \leq 0 = z(0,0)$ $\forall (x,y) \in D$. Verifique que $(0,0)$ no es punto crítico de $L(x,y,\lambda) = -y - \lambda(y^3 - x^2)$.

4.5 Máximos y mínimos locales en varias variables.

Como en cálculo en una variable, los extremos *locales* de una función de varias variables son puntos donde la función alcanza un máximo o un mínimo en un entorno del dominio de la función. Si la función está definida en una región D , los extremos *globales* son los puntos donde la función toma valores máximos o mínimos y esto podría suceder en cualquier parte de la región en consideración. Recordemos que un entorno abierto alrededor de $\mathbf{p} \in \mathbb{R}^n$ de radio δ es el conjunto $D_\delta(\mathbf{p}) = \{\mathbf{x} \in \mathbb{R}^n : \|\mathbf{x} - \mathbf{p}\| < \delta\}$ (discos sin borde en \mathbb{R}^2 y el interior de esferas en \mathbb{R}^3).

Definición 4.4 (Extremos locales).

Sea f función de n variables, $f : \mathbb{R}^n \rightarrow \mathbb{R}$.

f tiene un máximo local en $\mathbf{p} = (p_1, p_2, \dots, p_n) \in R^n$ si existe un entorno abierto $D_\delta(\mathbf{p})$ tal que $f(x_1, x_2, \dots, x_n) \leq f(\mathbf{p})$ para todo $(x_1, x_2, \dots, x_n) \in D_\delta(\mathbf{p})$. El punto $(p_1, p_2, \dots, p_n, f(\mathbf{p}))$ se dice un máximo local de f y el número $f(\mathbf{p})$ es el máximo de f en el entorno $D_\delta(\mathbf{p})$.

f tiene un mínimo local en $\mathbf{p} = (p_1, p_2, \dots, p_n) \in R^n$ si existe un entorno abierto $D_\delta(\mathbf{p})$ tal que $f(x_1, x_2, \dots, x_n) \geq f(\mathbf{p})$ para todo $(x_1, x_2, \dots, x_n) \in D_\delta(\mathbf{p})$. El punto $(p_1, p_2, \dots, p_n, f(\mathbf{p}))$ se dice un mínimo local de f y el número $f(\mathbf{p})$ es el mínimo de f en el entorno $D_\delta(\mathbf{p})$.

Si las desigualdades de la definición anterior se cumplen para todos los puntos en el dominio de f , entonces f tiene un máximo absoluto (o mínimo absoluto) en \mathbf{p} .

4.6 Puntos críticos y extremos locales

Sea f continua. Un punto $\mathbf{p} \in \mathbb{R}^n$ es un **punto crítico** de f si $Df(\mathbf{p}) = 0$ (o si Df no está definida en este punto), es decir, si $\frac{\partial f}{\partial x_i} = 0$, $i = 1, 2, \dots, n$. Un punto crítico que no es ni máximo ni mínimo local se llama *punto de silla*.

Como en cálculo en una variable, los extremos locales son puntos críticos, es decir, en el caso de que f sea diferenciable, la derivada de f se anula en los puntos críticos.

Teorema 4.4

Sea $U \subset \mathbb{R}^n$ un conjunto abierto y $f : U \subset \mathbb{R}^n \rightarrow \mathbb{R}$ diferenciable, si $\mathbf{p} \in \mathbb{R}^n$ es un extremo local de f entonces $Df(\mathbf{p}) = 0$, es decir, \mathbf{p} es punto crítico de f .

4.7 Clasificación de puntos críticos

La fórmula de Taylor de segundo orden en n variables dice que si $f : U \subseteq \mathbb{R}^n \rightarrow \mathbb{R}$, es de clase C^2 en $\mathbf{x} \in U$, entonces si $\mathbf{h} = (h_1, \dots, h_n) \in \mathbb{R}^n$, existe $0 < \xi < 1$ tal que

$$f(\mathbf{x} + \mathbf{h}) = f(\mathbf{x}) + \sum_{i=1}^n h_i \frac{\partial f}{\partial x_i}(\mathbf{x}) + R_1(\mathbf{x}, \mathbf{h}) \quad \text{con} \quad R_1(\mathbf{x}, \mathbf{h}) = \frac{1}{2} \sum_{i=1}^n \sum_{j=1}^n h_i h_j \frac{\partial^2 f}{\partial x_i \partial x_j}(\mathbf{x} + \xi \mathbf{h}).$$

Si definimos $D^2 f = \begin{pmatrix} \frac{\partial^2 f}{\partial x_1 \partial x_1} & \cdots & \frac{\partial^2 f}{\partial x_1 \partial x_n} \\ \vdots & \ddots & \vdots \\ \frac{\partial^2 f}{\partial x_n \partial x_1} & \cdots & \frac{\partial^2 f}{\partial x_n \partial x_n} \end{pmatrix}$, entonces $\sum_{i=1}^n \sum_{j=1}^n h_i h_j \frac{\partial^2 f}{\partial x_i \partial x_j}(\mathbf{x} + \xi \mathbf{h}) = \mathbf{h} \cdot D^2 f(\mathbf{x} + \xi \mathbf{h}) \cdot \mathbf{h}^T$.

Así, la fórmula de Taylor de segundo orden se puede escribir como,

$$f(\mathbf{x} + \mathbf{h}) = f(\mathbf{x}) + Df(\mathbf{x}) \cdot \mathbf{h}^T + \frac{1}{2} \mathbf{h} \cdot D^2 f(\mathbf{x} + \xi \mathbf{h}) \cdot \mathbf{h}^T, \quad 0 < \xi < 1.$$

La matriz *Hessiana*³ de f en \mathbf{x} es la matriz $D^2 f(\mathbf{x})$.

Evaluando en un punto crítico \mathbf{p} , $Df(\mathbf{p}) = 0$ y la fórmula de Taylor de *segundo orden* queda

$$f(\mathbf{p} + \mathbf{h}) - f(\mathbf{p}) = \mathbf{h} \cdot D^2 f(\mathbf{x} + \xi \mathbf{h}) \cdot \mathbf{h}^T, \quad 0 < \xi < 1.$$

³En honor a Ludwig Otto Hesse (1811 – 1874).

El signo de la resta $f(\mathbf{p} + \mathbf{h}) - f(\mathbf{p})$ es el signo de $\mathbf{h} \cdot D^2 f(\mathbf{x} + \xi \mathbf{h}) \cdot \mathbf{h}^T$. Si las derivadas $\frac{\partial^2 f}{\partial x_i \partial x_j}$ son continuas en un vecindario de \mathbf{p} , entonces si el *determinante de la matriz hessiana es positivo*, $f(\mathbf{p} + \mathbf{h}) - f(\mathbf{p})$ tiene el mismo signo que $\mathbf{h} \cdot D^2 f(\mathbf{x}) \cdot \mathbf{h}^T$ en un entorno de este punto, así que en este caso, el signo de $\mathbf{h} \cdot D^2 f(\mathbf{p}) \cdot \mathbf{h}^T$ decide si en \mathbf{p} la función f alcanza un máximo o un mínimo local.

Pero $\mathbf{h} \cdot D^2 f(\mathbf{p}) \cdot \mathbf{h}^T$ depende de \mathbf{h} . Para establecer si $\mathbf{h} \cdot D^2 f(\mathbf{p}) \cdot \mathbf{h}^T$ es positiva o negativa para todos los valores de \mathbf{h} en un entorno, se usa la teoría de formas cuadráticas.

Matriz definida positiva y matriz definida negativa. Una forma cuadrática $g : \mathbb{R}^n \rightarrow \mathbb{R}$, $g(\mathbf{h}) = \mathbf{h} \cdot A_{n \times n} \cdot \mathbf{h}^T$, es *definida positiva* si $g(\mathbf{h}) \geq 0$ para todo $\mathbf{h} \in \mathbb{R}^n$ y $g(\mathbf{h}) = 0$ solo si $\mathbf{h} = 0$. Similarmente, g es *definida negativa* si $g(\mathbf{h}) \leq 0$ para todo $\mathbf{h} \in \mathbb{R}^n$ y $g(\mathbf{h}) = 0$ solo si $\mathbf{h} = 0$.

Del álgebra lineal se sabe que si $A = (a_{ij})_{n \times n}$, $D_1 = a_{11}$, $D_2 = \text{Det} \begin{pmatrix} a_{11} & a_{12} \\ a_{21} & a_{22} \end{pmatrix}, \dots, D_n = \text{Det} \begin{pmatrix} a_{11} \dots & \dots a_{1n} \\ \vdots & \vdots \\ a_{n1} \dots & \dots a_{nn} \end{pmatrix}$, entonces

- $\mathbf{h} \cdot A_{n \times n} \cdot \mathbf{h}^T$ es definitiva positiva si $D_i > 0$ para $i = 1, 2, \dots, n$
- $\mathbf{h} \cdot A_{n \times n} \cdot \mathbf{h}^T$ es definitiva negativa si $\text{sgn}(D_i) = (-1)^i$ para $i = 1, 2, \dots, n$

Test de clasificación. En varias variables la clasificación de un punto crítico \mathbf{p} se puede establecer si $\mathbf{h} \cdot D^2 f(\mathbf{p}) \cdot \mathbf{h}^T$ es definida positiva o definida negativa. Esto se hace calculando D_1, D_2 , etc.

Teorema 4.5 (Condición suficiente).

Sea $f : U \subseteq \mathbb{R}^n \rightarrow \mathbb{R}$ de clase C^3 y $\mathbf{p} \in U$ un punto crítico de f . Si $\mathbf{h} \cdot D^2 f(\mathbf{p}) \cdot \mathbf{h}^T$ es definida positiva, entonces \mathbf{p} es un mínimo relativo de f . Similarmente, si $\mathbf{h} \cdot D^2 f(\mathbf{p}) \cdot \mathbf{h}^T$ es definida negativa, entonces \mathbf{p} es un máximo relativo de f .

En la demostración de este teorema se establece que si $\mathbf{h} \cdot D^2 f(\mathbf{p}) \cdot \mathbf{h}^T$ es definida positiva entonces en la fórmula de Taylor obtenemos $f(\mathbf{p} + \mathbf{h}) - f(\mathbf{p}) > 0$ en un entorno de \mathbf{p} , es decir $f(\mathbf{p})$ es un valor mínimo local. Similarmente, si $\mathbf{h} \cdot D^2 f(\mathbf{p}) \cdot \mathbf{h}^T$ es definida negativa entonces en la fórmula de Taylor obtenemos $f(\mathbf{p} + \mathbf{h}) - f(\mathbf{p}) < 0$ en un entorno de \mathbf{p} , es decir $f(\mathbf{p})$ es un valor máximo local.

4.8 Clasificación de puntos críticos en el caso de dos variables.

De acuerdo a lo que hemos establecido en la sección anterior, en el caso de dos variables es sencillo determinar si $\mathbf{h} \cdot D^2 f(\mathbf{p}) \cdot \mathbf{h}^T$ es definida positiva o definida negativa. En este caso,

$$\mathbf{h} \cdot D^2 f(\mathbf{p}) \cdot \mathbf{h}^T = (h_1 \ h_2) \begin{pmatrix} f_{xx}(\mathbf{p}) & f_{xy}(\mathbf{p}) \\ f_{yx}(\mathbf{p}) & f_{yy}(\mathbf{p}) \end{pmatrix} \begin{pmatrix} h_1 \\ h_2 \end{pmatrix}.$$

Si f tiene derivadas parciales de segundo orden continuas, las derivadas mixtas son iguales y entonces $D_1(\mathbf{p}) = f_{xx}(\mathbf{p})$ y $D_2 = f_{xx}(\mathbf{p}) \cdot f_{yy}(\mathbf{p}) - [f_{xy}(\mathbf{p})]^2$. En este caso a veces se usa $f_{xx}(\mathbf{p})$ en vez de D_1 y $D_2(\mathbf{p})$ en vez de D_2 .

Teorema 4.6 (Condición suficiente).

Sea $f : \mathbb{R}^2 \rightarrow \mathbb{R}$ de clase C^3 en un conjunto abierto U de \mathbb{R}^2 . Sea $D_2(x,y) = f_{xx}(x,y) \cdot f_{yy}(x,y) - [f_{xy}(x,y)]^2$. Si $(x_0, y_0) \in U$ es punto crítico de f , entonces

- si $D_2(x_0, y_0) > 0$ y $f_{xx}(x_0, y_0) > 0$, entonces f alcanza un mínimo local en (x_0, y_0) .
- si $D_2(x_0, y_0) > 0$ y $f_{xx}(x_0, y_0) < 0$, entonces f alcanza un máximo local en (x_0, y_0) .
- Si $D_2(x_0, y_0) < 0$, entonces $(x_0, y_0, f(x_0, y_0))$ es un punto de silla.

4.9 Criterio de clasificación para $n \geq 3$.

En problemas de extremos sin restricciones solo presentamos el criterio de clasificación para dos variables. Ahora vamos a presentar el caso general. Como antes, este criterio de clasificación no siempre funciona y se debe recurrir a otras técnicas.

También presentamos un criterio de clasificación para el caso de problemas de optimización con restricciones.

Formas cuadráticas.

La forma cuadrática general, con n variables, es

$$\begin{aligned} F(x_1, x_2, \dots, x_n) = & a_{11}x_1^2 + a_{22}x_2^2 + \dots + a_{nn}x_n^2 \\ & + 2a_{12}x_1x_2 + 2a_{13}x_1x_3 + \dots + 2a_{1n}x_1x_n \\ & + 2a_{23}x_2x_3 + 2a_{24}x_2x_4 + \dots + 2a_{2n}x_2x_n \\ & \vdots \\ & + 2a_{(n-1)n}x_{(n-1)}x_n \end{aligned}$$

En particular, para dos y tres variables tendríamos:

$$F(x, y) = ax^2 + 2bxy + cy^2 \quad y \quad F(x, y, z) = ax^2 + by^2 + cz^2 + 2a_1xy + 2a_2xz + 2a_3yz$$

Forma matricial

- Si ponemos $2a_{ij}x_i x_j = a_{ij}x_i x_j + a_{ji}x_j x_i$ con $a_{ij} = a_{ji}$, entonces $F(x_1, x_2, \dots, x_n)$ se puede reescribir así

$$\begin{aligned}
F(x_1, x_2, \dots, x_n) &= a_{11}x_1^2 + a_{12}x_1x_2 + \dots + a_{1n}x_1x_n \\
&+ a_{21}x_2x_1 + a_{22}x_2^2 + \dots + a_{2n}x_2x_n \\
&\vdots \\
&+ a_{n1}x_nx_1 + a_{n2}x_nx_2 + \dots + a_{nn}x_n^2
\end{aligned}$$

Entonces, la forma $F(x_1, x_2, \dots, x_n)$ se puede escribir matricialmente así:

$$F(x_1, x_2, \dots, x_n) = (x_1, x_2, \dots, x_n) A (x_1, x_2, \dots, x_n)^T = XAX^T$$

donde $A = (a_{ij})_{n \times n}$. Observe que A es simétrica.

Ejemplo 4.13

Sea $F(x, y, z) = x^2 + 4xy + 2xz - 7y^2 - 6yz + 5z^2$, entonces

$$F(x, y, z) = (x, y, z) \begin{pmatrix} 1 & 2 & 1 \\ 2 & -7 & -3 \\ 1 & -3 & 5 \end{pmatrix} (x, y, z)^T$$

Formas definidas positivas y definidas negativas. El estudio algebraico de las formas cuadráticas está centrado, en determinar si una forma tiene siempre el mismo signo, i.e., si la forma es positiva o negativa

Definición 4.5

$F(x_1, x_2, \dots, x_n)$ se dice *definida positiva* si $F(x_1, x_2, \dots, x_n) > 0, \forall x_1, x_2, \dots, x_n$, no todos iguales a cero.

$F(x_1, x_2, \dots, x_n)$ se dice *definida negativa* si $F(x_1, x_2, \dots, x_n) < 0, \forall x_1, x_2, \dots, x_n$, no todos iguales a cero.

Teorema 4.7

$F(x, y) = ax^2 + 2bxy + cy^2 > 0, \forall x, y$, no todos iguales a cero, si y sólo si

$$a > 0 \quad y \quad \text{DET} \begin{pmatrix} a & b \\ b & c \end{pmatrix} > 0$$

$F(x, y) = ax^2 + 2bxy + cy^2 < 0, \forall x, y$, no todos iguales a cero, si y sólo si

$$a < 0 \quad y \quad \text{DET} \begin{pmatrix} a & b \\ b & c \end{pmatrix} > 0$$

Este teorema se puede probar completando cuadrados: $F(x,y) = a \left(x + \frac{b}{a}y \right)^2 + \frac{ac - b^2}{a}y^2$, así, $F(x,y) > 0, \forall x,y$ no todos iguales a cero, si y sólo si $a > 0$ y $\frac{ac - b^2}{a}y^2 > 0$, o sea, $a > 0$ y $ac - b^2 > 0$.

Generalización. Para establecer la generalización de este teorema a n variables, necesitamos las siguientes definiciones:

- Sea $D_n = |A|$ es decir:

$$D_n = \begin{vmatrix} a_{11} & a_{12} & \cdots & a_{1n} \\ a_{21} & a_{22} & \cdots & a_{2n} \\ \vdots & \vdots & \ddots & \vdots \\ a_{n1} & a_{n2} & \cdots & a_{nn} \end{vmatrix}$$

- Sea D_i definido de la siguiente manera:

$$D_i = \begin{vmatrix} a_{11} & a_{12} & \cdots & a_{1i} \\ a_{21} & a_{22} & \cdots & a_{2i} \\ \vdots & \vdots & \ddots & \vdots \\ a_{i1} & a_{i2} & \cdots & a_{ii} \end{vmatrix}$$

Los D_i son los **menores principales** de D_n .

Teorema 4.8

$F(x_1, x_2, \dots, x_n)$ es *definida positiva* si $D_1 > 0, D_2 > 0, \dots, D_n > 0$

$F(x_1, x_2, \dots, x_n)$ es *definida negativa* si $D_i > 0$ para i par, y $D_i < 0$ para i impar.

Ejemplo 4.14

Sea $F(x,y,z) = 2x^2 - 4xy + 4xz + 6y^2 - 4yz + 8z^2$. F es definida positiva, pues

$$D_3 = \begin{vmatrix} 2 & -2 & 2 \\ -2 & 6 & -2 \\ 2 & -2 & 8 \end{vmatrix} = 48 > 0, \quad D_2 = \begin{vmatrix} 2 & -2 \\ -2 & 6 \end{vmatrix} = 8 > 0, \quad D_1 = 2 > 0$$

Formas cuadráticas con restricciones lineales.

Supongamos que $F(x_1, x_2, \dots, x_n)$ está restringida a que sus variables cumplan la relación lineal $\alpha_1x_1 + \alpha_2x_2 + \dots + \alpha_nx_n = 0$. ‘Orlando’ los determinantes D_i obtenemos los nuevos determinantes \bar{D}_i :

- Sea \bar{D}_i , $i \geq 2$, definido de la siguiente manera:

$$\bar{D}_i = \text{DET} \begin{pmatrix} 0 & \alpha_1 & \alpha_2 & \cdots & \alpha_i \\ \alpha_1 & a_{11} & a_{12} & \cdots & a_{1i} \\ \alpha_2 & a_{21} & a_{22} & \cdots & a_{2i} \\ \vdots & \vdots & \vdots & & \\ \alpha_i & a_{n1} & a_{n2} & \cdots & a_{ii} \end{pmatrix}$$

$$\bar{D}_n = \text{DET} \begin{pmatrix} 0 & \alpha_1 & \alpha_2 & \cdots & \alpha_n \\ \alpha_1 & a_{11} & a_{12} & \cdots & a_{1n} \\ \alpha_2 & a_{21} & a_{22} & \cdots & a_{2n} \\ \vdots & \vdots & \vdots & & \\ \alpha_n & a_{n1} & a_{n2} & \cdots & a_{nn} \end{pmatrix}$$

A \bar{D}_i se le llama **determinante orlado**.

Teorema 4.9

$F(x_1, x_2, \dots, x_n)$, restringida a que sus variables cumplan la relación lineal $\alpha_1x_1 + \alpha_2x_2 + \dots + \alpha_nx_n = 0$, es *definida positiva* si $\bar{D}_2 < 0$, $\bar{D}_3 < 0$, \dots , $\bar{D}_n < 0$

$F(x_1, x_2, \dots, x_n)$, restringida a que sus variables cumplan la relación lineal $\alpha_1x_1 + \alpha_2x_2 + \dots + \alpha_nx_n = 0$, es *definida negativa* si $\bar{D}_i > 0$ para $i \geq 2$, par; y $\bar{D}_i < 0$ para i impar.

Ejemplo 4.15

La forma cuadrática $f(x,y,z) = x^2 - y^2 - 7z^2 + xy$, sujeta a la relación lineal $x+y+2z=0$, es definida negativa, pues

$$\overline{D}_3 = \begin{vmatrix} 0 & 1 & 1 & 2 \\ 1 & 1 & \frac{1}{2} & 0 \\ 1 & \frac{1}{2} & -1 & 0 \\ 2 & 0 & 0 & -7 \end{vmatrix} = -2 < 0, \quad \overline{D}_2 = \begin{vmatrix} 0 & 1 & 1 \\ 1 & 1 & \frac{1}{2} \\ 1 & \frac{1}{2} & -1 \end{vmatrix} = 1 > 0.$$

16**Ejercicios**

4.9.1 Verifique que $F(x,y) = 4xy - 2x^2 - 3y^2$, es definida negativa.

4.9.2 Verifique que $F(x,y,z) = x^2 + y^2 + z^2 - yz$, es definida positiva.

4.9.3 Verifique que la forma $F(x,y) = x^2 + y^2 + 3xy$, restringida a que sus variables cumplan la relación lineal $2x+y=0$, es definida negativa.

4.9.4 ¿Es $F(x,y) = x^2 + y^2 + 3xy$, definida negativa?

4.9.5 Verifique que la forma $F(x,y,z) = -x^2 - y^2 - z^2 + xy + yz + xz$, restringida a que sus variables cumplan la relación lineal $x+y+z=0$, es definida negativa.

Clasificación de puntos críticos.

Recordemos la definición de extremos locales.

Definición 4.6

Un punto P se dice mínimo local de $f(x_1, x_2, \dots, x_n)$ si existe un vecindario V_P alrededor de P en que se cumple que $f(P) \leq f(Q), \forall Q \in V_P$.

Un punto P se dice máximo local de $f(x_1, x_2, \dots, x_n)$ si existe un vecindario V_P alrededor de P en que se cumple que $f(P) \geq f(Q), \forall Q \in V_P$.

Un punto P se dice punto de ensilladura (o de silla) de $f(x_1, x_2, \dots, x_n)$ si existe un vecindario V_P alrededor de P en que se cumple tanto $f(P) \leq f(Q)$ como $f(P) \geq f(R)$, para distintos puntos Q, R de V_P .

Criterio para máximos y mínimos. El teorema de Taylor se puede generalizar a varias variables así:

Sea V un conjunto convexo abierto. Si f es continua y tiene derivadas parciales continuas de segundo orden, sobre V , entonces existe $t \in [0, 1]$ tal que, para cualesquiera dos puntos $P, Q \in V; Q = P + h$

$$f(P+h) = f(P) + \nabla f(P) \cdot h + \frac{1}{2} h H[tQ + (1-t)P] h^T$$

donde $h = (h_1, h_2, \dots, h_n)$

H es llamada *matriz Hessiana*, $|H[R]| = \text{DET} \begin{pmatrix} f_{x_1x_1}(R) & f_{x_1x_2}(R) & \cdots & f_{x_1x_n}(R) \\ f_{x_2x_1}(R) & f_{x_2x_2}(R) & \cdots & f_{x_2x_n}(R) \\ \vdots & \vdots & \ddots & \vdots \\ f_{x_nx_1}(R) & f_{x_nx_2}(R) & \cdots & f_{x_nx_n}(R) \end{pmatrix}$

Del teorema de Taylor y de la teoría previa de formas cuadráticas, podemos obtener las siguientes condiciones suficientes para un máximo o un mínimo local.

Teorema 4.10

Sea $D_1(P), D_2(P), \dots, D_n(P)$, n determinantes definidos como sigue:

$$D_i(P) = \text{DET} \begin{pmatrix} f_{x_1x_1}(P) & f_{x_1x_2}(P) & \cdots & f_{x_1x_i}(P) \\ f_{x_2x_1}(P) & f_{x_2x_2}(P) & \cdots & f_{x_2x_i}(P) \\ \vdots & \vdots & \ddots & \vdots \\ f_{x_ix_1}(P) & f_{x_ix_2}(P) & \cdots & f_{x_ix_i}(P) \end{pmatrix}$$

Entonces,

- f alcanza un un mínimo en P si $D_1(P) > 0, D_2(P) > 0, \dots, D_n(P) > 0$
- f alcanza un un máximo en P si todos los determinantes pares son positivos y todos los determinantes impares son negativos, i. e., $D_i(P) > 0$ si i es par $D_i(P) < 0$ si i es impar
- Si ninguna de estas condiciones es satisfecha, entonces en P podría haber o no haber un extremo local.

Ejemplo 4.16

Encontrar los extremos de $f(x, y, z) = x^2 + 3y^2 + 4z^2 - 2xy - 2yz + 2xz$

Solución:

● **Puntos críticos:** Resolvemos el sistema

$$\begin{cases} f_x = x - y + z = 0 \\ f_y = -x + 3y - z = 0 \\ f_z = x - y + 4z = 0 \end{cases}$$

así, el único punto crítico es $P = (0, 0, 0)$.

● **Test:** Como tenemos una función de tres variables, calculamos $D_1(P)$, $D_2(P)$ y $D_3(P)$

$$D_3(P) = \text{DET} \begin{pmatrix} f_{xx}(P) & f_{xy}(P) & f_{xz}(P) \\ f_{yx}(P) & f_{yy}(P) & f_{yz}(P) \\ f_{zx}(P) & f_{zy}(P) & f_{zz}(P) \end{pmatrix} = \text{DET} \begin{pmatrix} 2 & -2 & 2 \\ -2 & 6 & -2 \\ 2 & -2 & 8 \end{pmatrix} = 48 > 0$$

$$D_2(P) = \text{DET} \begin{pmatrix} 2 & -2 \\ -2 & 6 \end{pmatrix} = 8 > 0, \quad D_1(P) = f_x(x)(P) = 2 > 0$$

por lo tanto en $P = (0, 0, 0)$ f alcanza un mínimo local.

Ejemplo 4.17

Calcule y clasifique los puntos críticos de $f(x, y, z) = x^2 - y^2 - zy$.

Solución:

● **Puntos críticos:** Resolvemos el sistema

$$\begin{cases} f_x = 2x = 0 \\ f_y = -2y - z = 0 \\ f_z = -y = 0 \end{cases}$$

así, el único punto crítico es $P = (0, 0, 0)$.

● **Test:** Como tenemos una función de tres variables, calculamos $D_1(P)$, $D_2(P)$ y $D_3(P)$

$$D_3(P) = \text{DET} \begin{pmatrix} f_{xx}(P) & f_{xy}(P) & f_{xz}(P) \\ f_{yx}(P) & f_{yy}(P) & f_{yz}(P) \\ f_{zx}(P) & f_{zy}(P) & f_{zz}(P) \end{pmatrix} = \text{DET} \begin{pmatrix} 2 & 0 & 0 \\ 0 & -2 & -1 \\ 0 & -1 & 0 \end{pmatrix} = -2 < 0$$

$$D_2(P) = \text{DET} \begin{pmatrix} 2 & 0 \\ 0 & -2 \end{pmatrix} = -4 < 0, \quad D_1(P) = f_{xx}(P) = 2 > 0$$

Clasificación de puntos críticos para problemas con restricciones.

Consideremos el problema

“Optimizar la función objetivo: $f(x_1, x_2, \dots, x_n)$ sujeta a la restricción: $g(x_1, x_2, \dots, x_n) = c$ ”

La función lagrangiana será:

$$L(x_1, \dots, x_n, \lambda) = f(x_1, \dots, x_n) - \lambda (c - g(x_1, \dots, x_n))$$

Así, los puntos críticos se obtienen resolviendo el sistema (condiciones de primer orden)

$$\begin{cases} L_{x_1} = f_{x_1} - \lambda g_{x_1} = 0 \\ L_{x_2} = f_{x_2} - \lambda g_{x_2} = 0 \\ \vdots \quad \vdots \\ L_{x_n} = f_{x_n} - \lambda g_{x_n} = 0 \\ L_\lambda = g(x_1, x_2, \dots, x_n) = 0 \end{cases}$$

El criterio que se usará para clasificar los puntos críticos difiere del criterio que se usa en el problema de optimización sin restricciones.

Teorema 4.11

Consideremos el hessiano orlado

$$\bar{D}_n(P) = \begin{vmatrix} 0 & g_{x_1}(P) & g_{x_2}(P) & \cdots & g_{x_n}(P) \\ g_{x_1}(P) & L_{x_1x_1}(P) & L_{x_1x_2}(P) & \cdots & f_{x_1x_n}(P) \\ g_{x_2}(P) & L_{x_2x_1}(P) & L_{x_2x_2}(P) & \cdots & L_{x_2x_n}(P) \\ \vdots & \vdots & \vdots & & \vdots \\ g_{x_n}(P) & L_{x_nx_1}(P) & L_{x_nx_2}(P) & \cdots & L_{x_nx_n}(P) \end{vmatrix}$$

y sus menores principales

$$\bar{D}_i(P) = \begin{vmatrix} 0 & g_{x_1}(P) & g_{x_2}(P) & \cdots & g_{x_i}(P) \\ g_{x_1}(P) & L_{x_1x_1}(P) & L_{x_1x_2}(P) & \cdots & L_{x_1x_i}(P) \\ g_{x_2}(P) & L_{x_2x_1}(P) & L_{x_2x_2}(P) & \cdots & L_{x_2x_i}(P) \\ \vdots & \vdots & \vdots & & \vdots \\ g_{x_i}(P) & L_{x_ix_1}(P) & L_{x_ix_2}(P) & \cdots & L_{x_ix_i}(P) \end{vmatrix}$$

Entonces, si P es un punto crítico de f sujeto a la restricción $g(x_1, \dots, x_n) = c$, se tiene

- En P f alcanza un mínimo local si $D_2(P) < 0, D_3(P) < 0, \dots, D_n(P) < 0$
- En P f alcanza un máximo local si todos los determinantes pares son positivos y todos los determinantes impares son negativos, i. e.,

$D_i(P) > 0$ si $i \geq 2$, es par

$D_i(P) < 0$ si i es impar

En el anterior teorema, no aparece \bar{D}_1 . Este siempre es negativo.

Cuando aparece más de una restricción, se debe considerar un hessiano con más de una orla:

Si hay n variables y m restricciones ($m < n$) de la forma $g^i(x_1, \dots, x_n) = c_i$ entonces la lagrangiana será

$$L = f(x_1, \dots, x_n) + \sum_{i=1}^m \lambda_i [c_i - g^i(x_1, \dots, x_n)]$$

y el hessiano orlado será:

$$\begin{vmatrix} 0 & 0 & \cdots & 0 & g_1^1 & g_2^1 & \cdots & g_n^1 \\ \vdots & \vdots & & \vdots & \vdots & \vdots & & \vdots \\ 0 & 0 & \cdots & 0 & g_1^m & g_2^m & \cdots & g_n^m \\ g_1^1 & g_1^2 & \cdots & g_1^m & L_{x_1 x_1} & L_{x_1 x_2} & \cdots & L_{x_1 x_n} \\ \vdots & \vdots & & \vdots & & \vdots & & \vdots \\ g_n^1 & g_n^2 & \cdots & g_n^m & L_{x_n x_1} & L_{x_n x_2} & \cdots & L_{x_n x_n} \end{vmatrix}$$

Ejemplo 4.18

Hallar los extremos de $z = x^2 + y^2$ sujeto a la restricción $x + 4y = 2$.

Solución: La función lagrangiana es $x^2 + y^2 - \lambda(2 - x - 4y)$.

Puntos críticos: $\begin{cases} L_x = 2x - \lambda = 0 \\ L_y = 2y - 4\lambda = 0 \\ L_\lambda = 2 - x - 4y = 0 \end{cases} \implies \lambda = \frac{4}{17}, x = \frac{2}{17}, y = \frac{8}{17}.$

Así, el único punto crítico es: $P = (\frac{2}{17}, \frac{8}{17})$

Test: Usemos el teorema para clasificar los puntos críticos. En este caso, solo debemos calcular el hessiano orlado \bar{D}_2

$$\bar{D}_2(P) = \begin{vmatrix} 0 & 1 & 4 \\ 1 & 2 & 0 \\ 4 & 0 & 2 \end{vmatrix} = -34 < 0$$

así que $(\frac{2}{17}, \frac{8}{17}, z(\frac{2}{17}, \frac{8}{17}))$ es un mínimo local.

Ejemplo 4.19

Maximizar $f(x, y) = 2y - x$ sujeto a $y = \sin x$, $0 \leq x \leq 2\pi$

Solución: $F(x, y, \lambda) = 2y - x - \lambda(y - \sin x)$

Puntos críticos:

$$\begin{cases} F_x = -1 + \lambda \cos x = 0 \\ F_y = 2 - \lambda = 0 \implies \lambda = 2, \cos x = \frac{1}{2} \text{ o sea, } x = \frac{\pi}{3}, x = \frac{5\pi}{3} \\ F_\lambda = -y + \sin x = 0 \end{cases}$$

Así los puntos críticos son: $P_1 = (\frac{\pi}{3}, \frac{\sqrt{3}}{2})$ y $P_2 = (\frac{5\pi}{3}, -\frac{\sqrt{3}}{2})$

Test: Usemos el teorema para clasificar los puntos críticos. En este caso, solo debemos calcular el hessiano orlado \bar{D}_2

$$\bar{D}_2 = \begin{pmatrix} 0 & -\cos x & 1 \\ -\cos x & 0 & 0 \\ 1 & 0 & 0 \end{pmatrix}$$

así que $\bar{D}_2(P_1) = \bar{D}_2(P_2) = 0$ y, en este caso, el criterio no da información.

17

Ejercicios

En los siguientes ejercicios, la clasificación de los puntos críticos puede hacerse usando el criterio del Hessiano orlado o haciendo una curva (si se pudiera).

4.9.6 Obtener el máximo de $f(x,y) = 9 - x^2 - y^2$ sujeta a $x + y = 3$

4.9.7 Minimizar $C(r,h) = 2kr^2 + 2.5(2krh)$ sujeta a la restricción $Kr^2h = 1000$, $K, r, h > 0$.

4.9.8 Calcule máximos y mínimos de $z = 4x^2 + 9y^2$ sujeta a la condición $x^2 + y^2 = 1$.

4.9.9 Calcule máximos y mínimos de $z = 4xy$ sujeta a la condición $\frac{x^2}{9} + \frac{y^2}{4} = 1$.

4.9.10 Calcule máximos y mínimos de $z = x^2y^2$ sujeta a la condición $x^2 + y^2 = 1$.

4.9.11 Calcule máximos y mínimos de $z = yx + y^2$ sujeta a la condición $\ln x - \ln y = 1$, $x > 0$, $y > 0$.

4.9.12 Calcule máximos y mínimos de $w = zyx$ sujeta a la condición $x^2 + y^2/9 + z^2/4 - 1 = 0$.

4.10 (*) Extremos globales. Condiciones de Kuhn-Tucker.

Haremos aquí, un pequeño acercamiento a la programación no lineal. Sea w una función posiblemente no lineal,

- Un problema de maximización en programación no lineal, tiene la siguiente forma:

“Maximizar $w = f(x_1, x_2, \dots, x_n)$ sujeto a $g_i(x_1, \dots, x_n) \leq c_i, i = 1, 2, \dots, m$ con $x_j \geq 0, j = 1, 2, \dots, n.$ ”

- Un problema de minimización en programación no lineal, tiene la siguiente forma:

“Minimizar $w = f(x_1, x_2, \dots, x_n)$ sujeto a $g_i(x_1, \dots, x_n) \geq c_i, i = 1, 2, \dots, m$ con $x_j \geq 0, j = 1, 2, \dots, n.$ ”

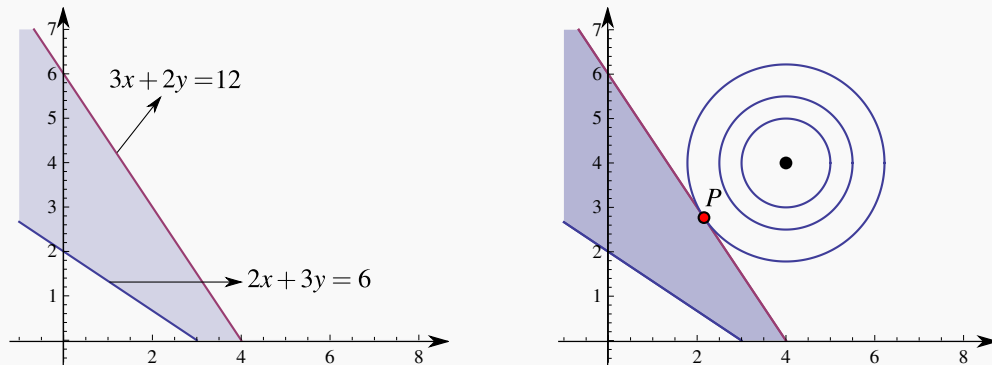
Solución gráfica. Para obtener una solución gráfica de un problema de programación no lineal (o lineal) sencillo, usamos las mismas ideas que se discutieron en la sección de multiplicadores de Lagrange. Las restricciones $g_i \leq 0$ y las condiciones de no negatividad, determinan una región factible para encontrar una solución. Nos movemos luego, sobre esta región o hacia esta región, sobre las curvas de nivel de w , en la dirección en la que w crece o decrece, según sea el problema (maximización o minimización).

Una vez encontrada una solución, el problema de determinar si es un máximo (o mínimo) global depende de que se satisfagan ciertas condiciones.

Ejemplo 4.20

Minimizar $w = (x - 4)^2 + (y - 4)^2$, sujeto a las condiciones $2x + 3y \geq 6$, y $3x + 2y \leq 12$, $x, y \geq 0$.

Solución: Aquí las restricciones son lineales. La región factible es la región sombreada en las figuras. La función w es un paraboloides con vértice en $(4, 4, 0)$. La dirección de *decrecimiento* es hacia el vértice (entre más me acerco al centro, más pequeño se hace w). El punto P , donde w alcanza el mínimo local, se encontraría en el “punto más profundo” de la región factible en la dirección de *decrecimiento*.



Para calcular este punto, observamos que la recta de contacto es $3x + 2y = 12$. La curva de nivel de contacto es $(x - 4)^2 + (y - 4)^2 = k$. Así que tenemos que calcular los puntos P , sobre esta curva de nivel, donde la recta tangente es $3x + 2y = 12$, o más precisamente, los puntos $P = (a, b)$, sobre esta curva de nivel, donde la pendiente de la recta tangente es $-3/2$

La pendiente de la recta tangente a la curva de nivel $(x - 4)^2 + (y - 4)^2 = k$, en P es

$$y'(a, b) = -3/2 = -\frac{F_x(P)}{F_y(P)} = -\frac{a-4}{b-4}$$

y, puesto que P está también sobre la recta $3x + 2y = 12$, entonces tendríamos que $3a + 2b = 12$.

Resolvemos entonces el sistema:
$$\begin{cases} \frac{a-4}{b-4} = -3/2 \\ 3a + 2b = 12 \end{cases} \implies a = \frac{28}{13}, \quad b = \frac{36}{13}.$$

Condiciones de Kuhn-Tucker.

Consideremos el problema

“Maximizar $w = f(x_1, x_2, \dots, x_n)$ sujeto a $g_i(x_1, \dots, x_n) \leq c_i, \quad i = 1, 2, \dots, m$ con $x_j \geq 0, \quad j = 1, 2, \dots, n$.”

Entonces, consideremos la función lagrangiana

$$L = f(x_1, \dots, x_n) + \sum_{i=1}^m y_i [c_i - g_i(x_1, \dots, x_n)]$$

Las y_i son los multiplicadores de Lagrange.

- Las *condiciones de Kuhn-Tucker para un máximo* son

$$L_{x_j} \leq 0, \quad x_j \geq 0, \quad x_j L_{x_j} = 0, \quad j = 1, 2, \dots, n$$

$$L_{y_i} \geq 0, \quad y_i \geq 0, \quad y_i L_{y_i} = 0, \quad i = 1, 2, \dots, m$$

- Las *condiciones de Kuhn-Tucker para un mínimo* son

$$L_{x_j} \geq 0, \quad x_j \geq 0, \quad x_j L_{x_j} = 0, \quad j = 1, 2, \dots, n$$

$$L_{y_i} \leq 0, \quad y_i \geq 0, \quad y_i L_{y_i} = 0, \quad i = 1, 2, \dots, m$$

Bajo ciertas hipótesis, las condiciones de Kuhn-Tucker, son condiciones **necesarias y suficientes** para determinar si en un punto P , la función objetivo w alcanza un máximo o mínimo **global**.

Teorema 4.12 (Versión para restricciones lineales).

Dado el problema no lineal

“Maximizar (o Minimizar) $w = f(x_1, x_2, \dots, x_n)$ sujeto a $g_i(x_1, \dots, x_n) \leq c_i, i = 1, 2, \dots, m$ con $x_j \geq 0, j = 1, 2, \dots, n$,” si se satisfacen las siguientes condiciones:

- las g_i son lineales (diferenciables y convexas) en el octante no negativo,
- f es diferenciable y cóncava en el octante no negativo,
- el punto P satisface las condiciones de Kuhn-Tucker

entonces en P , la función objetivo w alcanza un máximo (o mínimo) **global**.

Para verificar que un punto P satisface las condiciones de Kuhn-Tucker, se desarrollan estas condiciones, i.e. , se calculan las derivadas parciales L_{x_j} y las L_{y_i} , luego las L_{x_j} se evalúan en P y se debe verificar que existen y_1, y_2, \dots, y_n tal que se satisface todo el conjunto de condiciones.

Ejemplo 4.21

Minimizar $w = (x - 4)^2 + (y - 4)^2$, sujeto a las condiciones $2x + 3y \geq 6, -3x - 2y \geq -12, x, y \geq 0$.

Solución: Ya sabemos que w podría alcanzar un a mínimo global en $P = (\frac{28}{13}, \frac{36}{13})$. Ahora verificamos si satisface las condiciones de Kuhn-Tucker, pues las condiciones a.) y b.) ya se cumplen.

Sea $L = (x - 4)^2 + (y - 4)^2 + y_1(6 - 2x - 3y) + y_2(-12 + 3x + 2y)$. Como es un problema de minimización, las condiciones son

$$1. L_x = 2(x - 4) - 2y_1 + 3y_2 \geq 0$$

$$2. L_y = 2(y - 4) - 3y_1 + 2y_2 \geq 0$$

$$3. L_{y_1} = 6 - 2x - 3y \leq 0$$

$$4. L_{y_2} = -12 + 3x + 2y \leq 0$$

$$5. xL_x = 2x(x - 4) - 2xy_1 + 3xy_2 = 0$$

$$6. yL_y = 2y(y - 4) - 3yy_1 + 2yy_2 = 0$$

$$7. y_1L_{y_1} = 6y_1 - 2xy_1 - 3yy_1 = 0$$

$$8. \quad y_2 L_{y_2} = -12y_2 + 3xy_2 + 2yy_2 = 0$$

Las condiciones de no negatividad, claramente se cumplen para el punto P . Ahora debemos evaluar estas ocho condiciones en nuestro punto P y verificar que existen y_1, y_2 tales que las condiciones se cumplen.

Al sustituir en las condiciones 5. y 6. obtenemos que $L_x(P) = 0$ y que $L_y(P) = 0$, de donde se obtiene

$$\begin{cases} -2y_1 + 3y_2 = 48/13 \\ -3y_1 + 2y_2 = 32/13 \end{cases} \implies y_1 = 0, \quad y_2 = \frac{16}{13},$$

que son no negativas como se pedía. Con estos valores de las y_i y P , se cumplen todas las condiciones de Kuhn-Tucker. Por tanto en P la función objetivo w alcanza un mínimo global.

18

Ejercicios

Resuelva los siguientes ejercicios usando el método gráfico. Aplique, si se puede, las condiciones de Kuhn-Tucker.

4.10.1 Maximizar $w = x^2 + y^2$, sujeto a las condiciones $2x + 3y \geq 6$, $-3x - 2y \geq -12$, $x, y \geq 0$.

4.10.2 Maximizar $z = 3x + 2y$, sujeta a las restricciones $-3x + 2y \leq 6$ y $-4x + 9y \leq 36$, $x, y \geq 0$

4.10.3 Maximizar $z = 4x + 3y$, sujeta a las restricciones $2x + 3y \leq 18$ y $4x + 2y \leq 10$, $x, y \geq 0$

4.10.4 Mínimizar $z = (x - 1)^2 + (y - 2)^2$, sujeta a las restricciones $-3x + 2y \leq 6$ y $-4x + 9y \leq 36$, $x, y \geq 0$

4.10.5 Mínimizar $z = 3x^2 + (y - 1)^2$, sujeta a las restricciones $-3x - y \leq 6$ y $-4x + y \leq 6$, $x, y \geq 0$

4.10.6 Mínimizar $z = -x^4$, sujeta a las restricciones $x \leq 6$ y $x \geq -2$



Revisado: Enero, 2018
Versión actualizada de este libro y el formato CDF:
[**http://tecdigital.tec.ac.cr/revistamatematica/Libros/**](http://tecdigital.tec.ac.cr/revistamatematica/Libros/)

Integral doble.

Cálculo de integrales dobles. Integral iterada.

Área y Volumen

Cambio de variable en una integral doble.

Coordenadas Polares.

Coordenadas polares y elipses

Integral triple.

Cambio de variables en integral triple.

Coordenadas cilíndricas.

(*) Coordenadas esféricas.

Describiendo Superficies en Coordenadas Esféricas.

Cambio de variable con coordenadas esféricas.

(*) Singularidades.

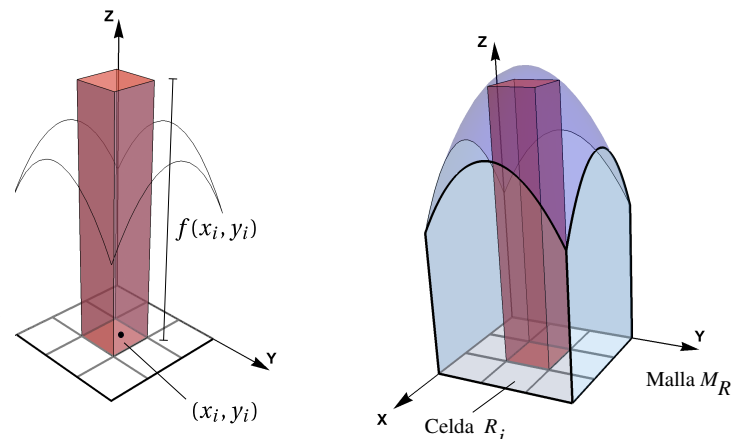


5 — Integral doble e integral triple.

5.1 Integral doble.

Sea R una región acotada y cerrada del plano, de área $A(R)$ y sea $f : \mathbb{R}^2 \rightarrow \mathbb{R}$ una función definida y acotada sobre R . Supongamos que $M_R = \{R_1, R_2, \dots, R_n\}$ es un conjunto de n celdas que conforman una *malla* que cubre R (ver figura). El área de cada celda R_i la denotamos con ΔA_i .

Una suma de Riemann de f sobre R es una expresión de la forma $\sum_{i=1}^n f(x_i, y_i) \Delta A_i$ donde $(x_i, y_i) \in R_i$.



Si f es continua y positiva sobre R , entonces $f(x_i, y_i) \Delta A_i$ aproxima el volumen de cada paralelepípedo P_i de base R_i y altura $f(x_i, y_i)$; en este caso la suma de Riemann aproxima el volumen del sólido entre la región R y el gráfico de f .

Diámetro de la malla. El *diámetro* de cada celda R_i es la máxima distancia entre todas las distancias entre cualesquier dos puntos en R_i y se denota $\|R_i\|$. El *diámetro* de la malla M_R es $\|M_R\| = \text{Sup}_i\{\|R_i\|\}$.

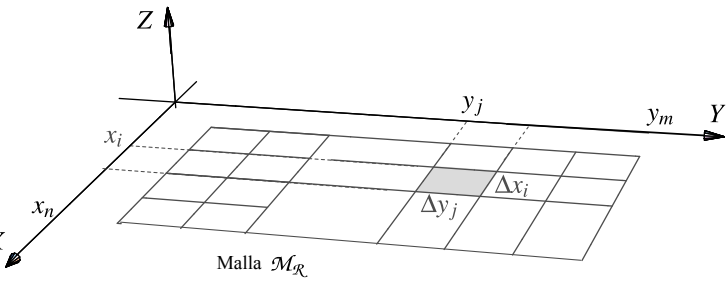
Definición 5.1 (Función integrable).

Si las sumas de Riemann de f sobre la malla M_R tienen un límite, independiente de la escogencia de los (x_i, y_i) , conforme $\|M_R\| \rightarrow 0$, entonces decimos que f es *integrable* sobre R y que la integral es este límite. En este caso escribimos,

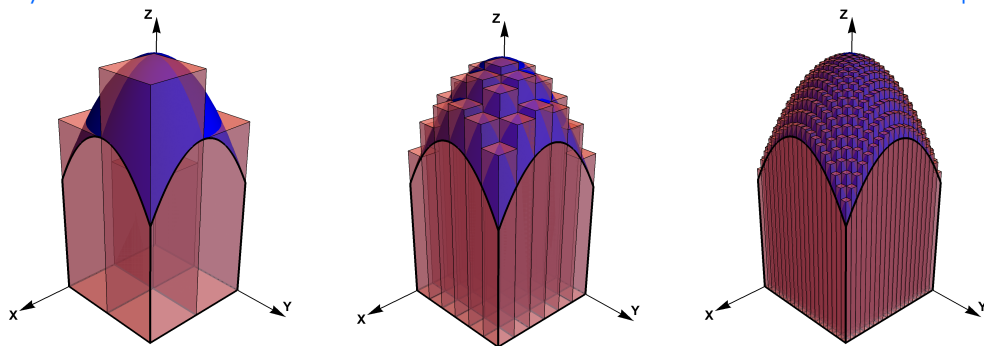
$$\iint_R f(x,y) dA = \lim_{||M|| \rightarrow 0} \sum_{i=1}^n f(x_i, y_i) \Delta A_i \text{ con } n = \text{Card}(M)$$

En el caso de que $R = [a,b] \times [c,d]$, la malla M_R se puede tomar como un conjunto de rectángulos $R_{ij} = [x_i, x_{i+1}] \times [y_j, y_{j+1}]$ de área $\Delta A_{ij} = \Delta x_i \Delta y_j$. En este caso es natural reemplazar el elemento de área dA por $dx dy$ y escribir el límite como,

$$\int_a^b \int_c^d f(x,y) dx dy = \lim_{n,m \rightarrow \infty} \sum_{i=1}^n \sum_{j=1}^m f(x_i, y_j) \Delta x_i \Delta y_j$$



Ver con CFDPlayer



Requiere FreeCDF Player

Figura 5.1: Aproximación del volumen de un sólido con sumas de Riemann

Las propiedades de las funciones integrables en dos variables son similares a las propiedades de las funciones integrables en una variable.

Teorema 5.1 (Propiedades de la funciones integrables).

- a.) Si f es continua sobre R , entonces f es integrable sobre R .
- b.) Sea $k \in \mathbb{R}$. Si f y g son integrables sobre R , entonces kf y $f \pm g$ son integrables sobre R y

$$\iint_R kf(x,y) dA = k \iint_R f(x,y) dA \quad \text{y} \quad \iint_R f(x,y) \pm g(x,y) dA = \iint_R f(x,y) dA \pm \iint_R g(x,y) dA$$

c.) Si f y g son integrables sobre regiones R y S que no se traslapan, entonces f es integrables sobre $R \cup S$ y

$$\iint_{R \cup S} f(x,y) dA = \iint_R f(x,y) dA + \iint_S f(x,y) dA$$

d.) Si f y g son integrables sobre R y $f(x,y) \leq g(x,y)$ para todo $(x,y) \in R$, entonces

$$\iint_R f(x,y) dA \leq \iint_R g(x,y) dA$$

e.) Si f es integrable sobre R y $M \leq f(x,y) \leq m$ para todo $(x,y) \in R$, entonces

$$MA(R) \leq \iint_R f(x,y) dA \leq mA(R)$$

Otros tipos de integración. El concepto de integral que hemos visto es el concepto de integral en el sentido de Riemann y es suficiente para los cálculos y las aplicaciones en este libro. Para otros propósitos esta integral no es adecuada y se requiere definir un tipo más general de integración, por ejemplo la integral en el sentido Lebesgue.

Las funciones continuas (integrables en el sentido de Riemann) se puede calcular usando “integración parcial”, como se describe en la siguiente sección.

5.2 Cálculo de integrales dobles. Integral iterada.

Idea del volumen como una suma de “rebanadas”. Consideremos un sólido Q cuya proyección sobre el plano XY es un rectángulo. Tomamos una partición del intervalo $[a,b]$ en el eje X , $a = a_0 < x_1 < x_2 < \dots < x_n = b$, luego consideramos las rebanadas “planas” del sólido que se obtienen intersecando el sólido con cada plano $P_k : x = x_k$. Digamos que cada rebanada tiene área $A(x_k)$. Cada sección del sólido, entre los planos P_{k-1} y P_k , es aproximadamente un prisma y, su volumen aproximado es $A(x_k)\Delta x_k$. De esta manera: Volumen de $Q : V_Q \approx \sum_{k=1}^n A(x_k)\Delta x_k$

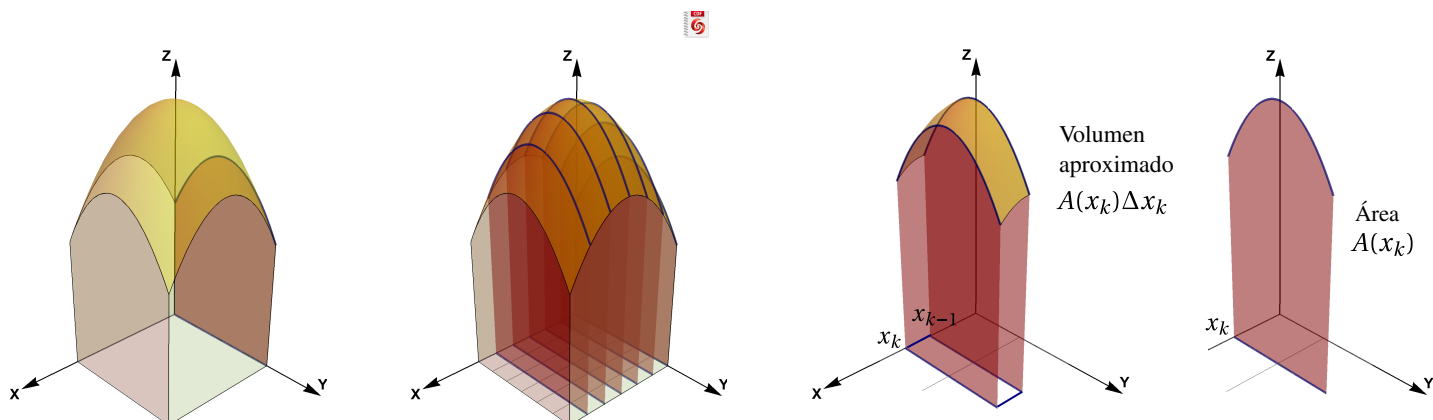


Figura 5.2: Volumen de Q aproximado como una suma del volúmenes de n rebanadas

Ahora, tomando una partición de $[a, b]$ en n subintervalos de igual tamaño tenemos

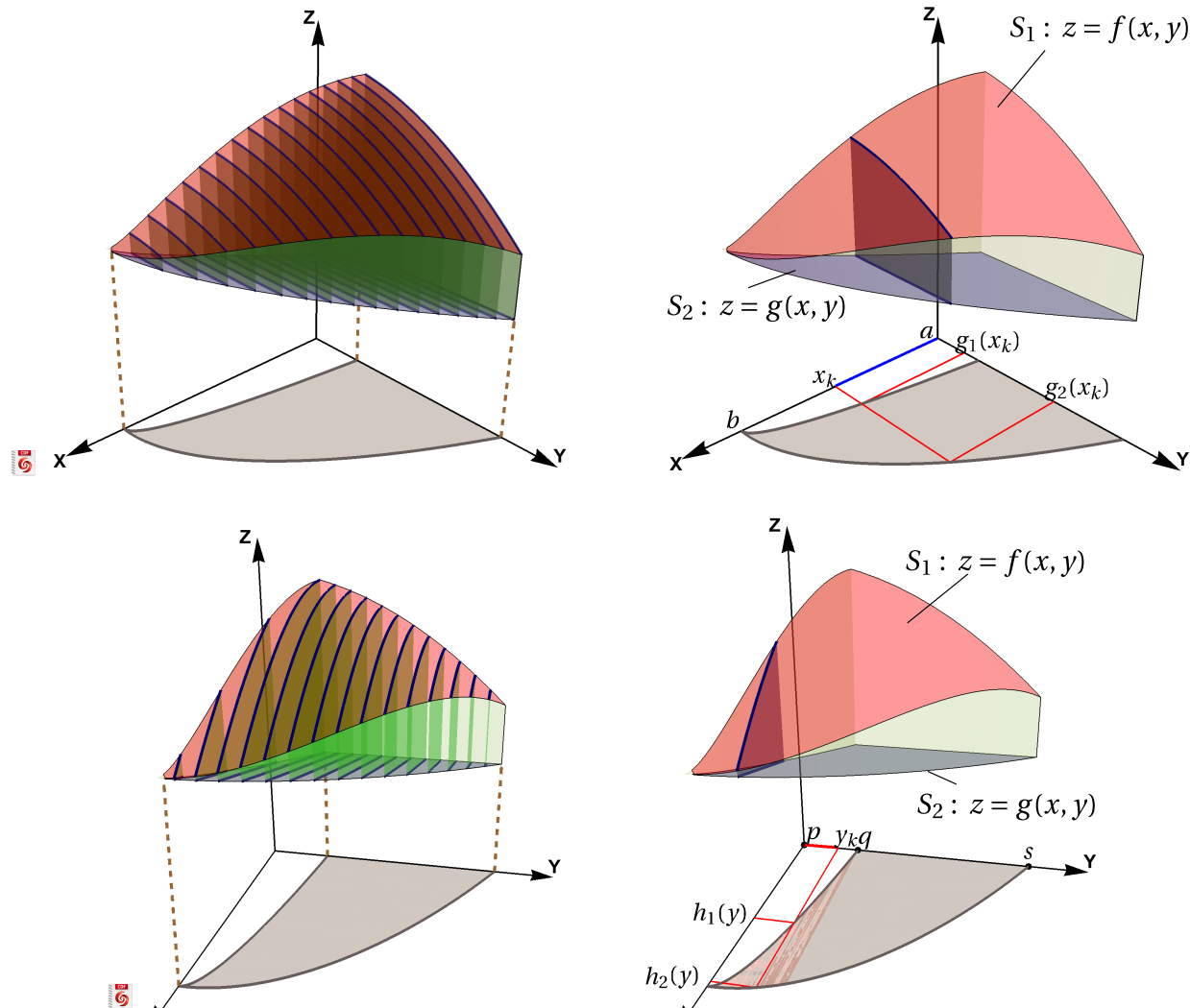
$$\text{Volumen de } Q : V_Q = \lim_{n \rightarrow \infty} \sum_{k=1}^n A(x_k) \Delta x_k = \int_a^b A(x) dx$$

Pero cada área $A(x_k)$ se puede calcular en el plano $x = x_k$ como $A(x_k) = \int_{y_{k-1}}^{y_k} f(x_k, y) dy$, entonces tendríamos

$$\text{Volumen de } Q : V_Q = \int_a^b A(x) dx = \int_a^b \left(\int_p^q f(x, y) dy \right) dx$$

Integrales iteradas. La idea anterior se puede generalizar a sólidos con una proyección más general. Consideramos un sólido Q entre las superficies (suaves) $S_1 : z = f(x, y)$ y $S_2 : z = g(x, y)$, como se muestra en la figura que sigue; conforme nos desplazamos por los planos $x = x_k$, el área $A(x_k)$ y el volumen V_Q se obtienen como

$$A(x_k) = \int_{g_1(x_k)}^{g_2(x_k)} [f(x_k, y) - g(x_k, y)] dy \quad \text{y entonces} \quad V_Q = \int_a^b A(x) dx = \int_a^b \left(\int_{g_1(x)}^{g_2(x)} [f(x, y) - g(x, y)] dy \right) dx$$



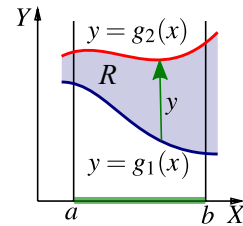
De manera análoga, si nos desplazamos sobre los planos $y = y_k$, el área $A(x_k)$ y el volumen V_Q se obtienen como

$$A(x_k) = \int_{h_1(y_k)}^{h_2(y_k)} [f(x, y_k) - g(x, y_k)] dx \text{ y entonces } V_Q = \int_p^q A(x) dy = \int_p^q \left(\int_{h_1(x)}^{h_2(x)} [f(x, y) - g(x, y)] dx \right) dy$$

El teorema de Fubini establece que si f es continua sobre R (por tanto Riemann integrable) la integral doble se puede evaluar por “integración parcial” respecto a cada variable, una a la vez. Este es el método de “integrales iteradas”. Primero debemos especificar dos maneras de describir una misma región.

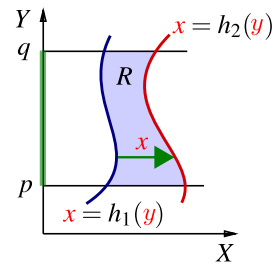
- Región entre las curvas $y = g_1(x)$ y $y = g_2(x)$.

$R = \{(x, y) \in \mathbb{R}^2 \text{ tal que } a \leq x \leq b \text{ y } g_1(x) \leq y \leq g_2(x)\}$ con g_1 y g_2 funciones continuas en $[a, b]$.



- Región entre las curvas $x = h_1(y)$ y $x = h_2(y)$.

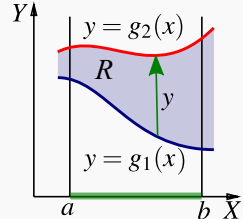
$R = \{(x, y) \in \mathbb{R}^2 \text{ tal que } p \leq y \leq q \text{ y } h_1(y) \leq x \leq h_2(y)\}$ con h_1 y h_2 funciones continuas en $[p, q]$.



Teorema 5.2 (Fubini).

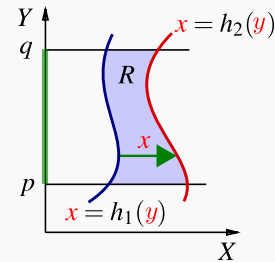
Sea $R = \{(x, y) \in \mathbb{R}^2 \text{ tal que } a \leq x \leq b \text{ y } g_1(x) \leq y \leq g_2(x)\}$ con g_1 y g_2 funciones continuas en $[a, b]$. Si f es continua en R , entonces

$$\iint_R f(x, y) dA = \int_a^b \int_{g_1(x)}^{g_2(x)} f(x, y) dy dx = \int_a^b \left[\int_{g_1(x)}^{g_2(x)} f(x, y) dy \right] dx$$



Sea $R = \{(x, y) \in \mathbb{R}^2 \text{ tal que } p \leq y \leq q \text{ y } h_1(y) \leq x \leq h_2(y)\}$ con h_1 y h_2 funciones continuas en $[p, q]$. Si f es continua en R , entonces

$$\iint_R f(x, y) dA = \int_p^q \int_{h_1(y)}^{h_2(y)} f(x, y) dx dy = \int_p^q \left[\int_{h_1(y)}^{h_2(y)} f(x, y) dx \right] dy$$



Ejemplo 5.1

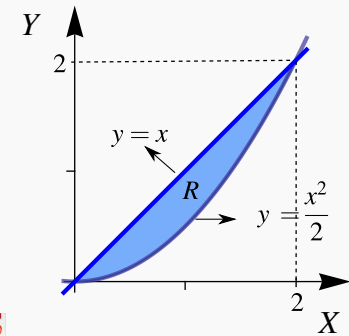
Sea R la región de la figura. Vamos a calcular $\iint_R xy dA$ usando el orden de integración “ $dy dx$ ” y el orden de integración “ $dx dy$.”

Observe que R se puede describir como

$$R : 0 \leq x \leq 2, \quad \frac{x^2}{2} \leq y \leq x$$

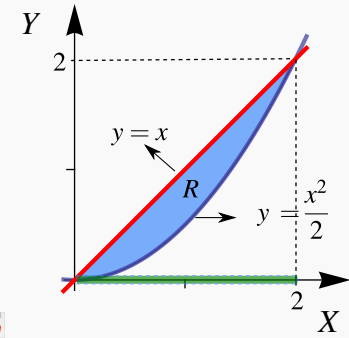
$$R : 0 \leq y \leq 2, \quad y \leq x \leq \sqrt{2y}.$$

 Ver con CFDPlayer



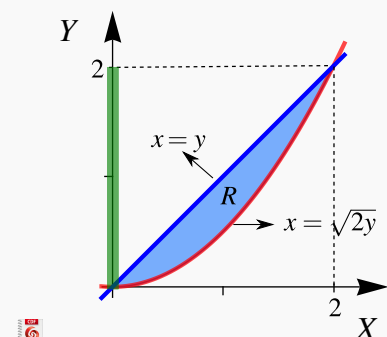
● Integrando en el orden “ $dy dx$ ”

$$\begin{aligned} \iint_R xy dA &= \int_0^2 \left[\int_{\frac{x^2}{2}}^x xy dy \right] dx \\ &= \int_0^2 \left[x \frac{y^2}{2} \Big|_{\frac{x^2}{2}}^x \right] dx \\ &= \int_0^2 \left[x \frac{x^2}{2} - x \frac{x^4}{8} \right] dx = \frac{2}{3} \end{aligned}$$



● Integrando en le orden “ $dx dy$ ”

$$\begin{aligned} \iint_R xy dA &= \int_0^2 \left[\int_y^{\sqrt{2y}} xy dx \right] dy \\ &= \int_0^2 \frac{x^2}{2} y \Big|_y^{\sqrt{2y}} dy \\ &= \int_0^2 \left[\frac{2y}{2} y - \frac{y^2}{2} y \right] dy = \frac{2}{3} \end{aligned}$$

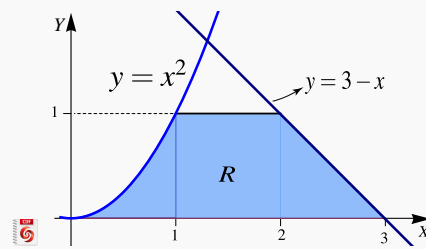


Ejemplo 5.2

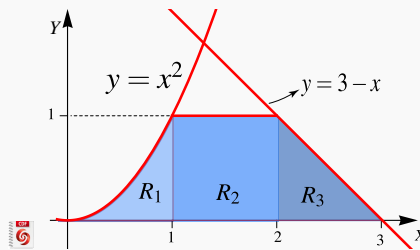
En este ejemplo se muestra como el número de regiones de integración puede variar, de acuerdo a la elección del orden de integración.

Considere la integral $I = \iint_R x^2 + y^2 dA$, donde R es la región de la figura. Vamos a calcular esta integral doble, usando el orden de integración “ $dydx$ ” y el orden de integración “ $dxdy$ ”.

 Ver con CFDPlayer



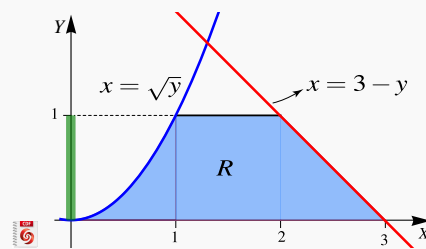
- Orden “ $dydx$ ”: en este caso $R = R_1 \cup R_2 \cup R_3$. La manera de ver la región es como sigue,



$$\begin{aligned} \iint_R x^2 + y^2 dA &= \int_0^1 \left[\int_0^{x^2} x^2 + y^2 dy \right] dx + \int_1^2 \left[\int_0^{3-x} x^2 + y^2 dy \right] dx + \int_2^3 \left[\int_0^{3-x} x^2 + y^2 dy \right] dx \\ &= \int_0^1 x^2 y + \frac{y^3}{3} \Big|_0^{x^2} dx + \int_1^2 x^2 y + \frac{y^3}{3} \Big|_0^{1} dx + \int_2^3 x^2 y + \frac{y^3}{3} \Big|_0^{3-x} dx \\ &= \int_0^1 x^4 + \frac{x^6}{3} dx + \int_1^2 \frac{1}{3} + x^2 dx + \int_2^3 9 - 9x + 6x^2 - \frac{4x^3}{3} dx = \frac{1207}{210} \end{aligned}$$

- Orden “ $dxdy$ ”

$$\begin{aligned} I &= \int_0^1 \left[\int_{\sqrt{y}}^{3-y} x^2 + y^2 dx \right] dy \\ &= \int_0^1 \left[y \frac{x^3}{3} + xy^2 \Big|_{\sqrt{y}}^{3-y} \right] dy \\ &= \int_0^1 y \frac{(3-y)^3}{3} + (3-y)y^2 - (y \frac{\sqrt{y}^3}{3} + y^2 \sqrt{y}) dy \\ &= \frac{1207}{210} \end{aligned}$$

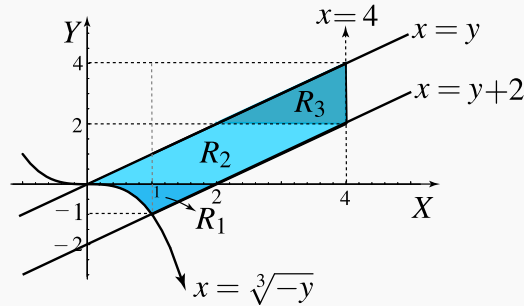


Ejemplo 5.3

Considere la integral $I = \int_0^1 \int_{-x^3}^x f(x,y) dy dx + \int_1^4 \int_{x-2}^x f(x,y) dy dx$. Dibuje la región de integración y reescriba la integral en el orden “ $dxdy$.”

Solución: La región de integración en la primera integral es $0 \leq x \leq 1$ y $x \leq y \leq -x^3$. La región de integración en la segunda integral es $1 \leq x \leq 4$ y $x \leq y \leq x-2$.

En la figura aparece la región de integración. Si y es la variable independiente, $R = R_1 \cup R_2 \cup R_3$.



● Orden “ $dxdy$ ”

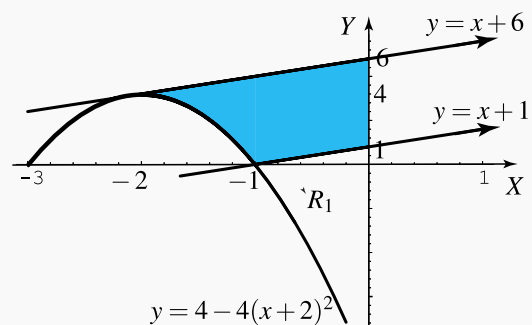
$$\begin{aligned}\iint_R f(x,y) dA &= \iint_{R_3} f(x,y) dA + \iint_{R_2} f(x,y) dA + \iint_{R_1} f(x,y) dA \\ &= \int_2^4 \int_y^4 f(x,y) dx dy + \int_0^2 \int_y^{y+2} f(x,y) dx dy + \int_{-1}^0 \int_{-\sqrt[3]{-y}}^y f(x,y) dx dy\end{aligned}$$

Ejemplo 5.4

Ver con CFDPlayer

Sea $I = \int_{-2}^{-1} \int_{4-4(x+2)^2}^{x+6} dy dx + \int_{-1}^0 \int_{x+1}^{x+6} dy dx$.

- Dibuja la región de integración.
- Plantear la integral o las integrales que corresponden a I invirtiendo el orden de integración.

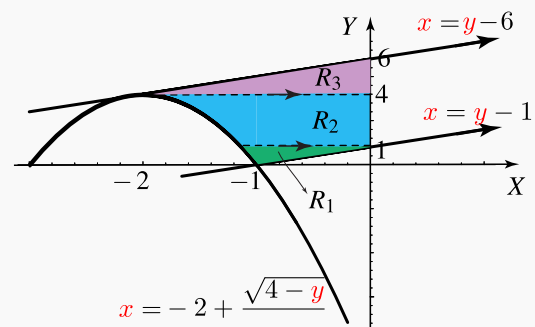


Solución: La región es

$$R : \begin{cases} 4 - 4(x+2)^2 \leq y \leq x+6 & \text{si } -2 \leq x \leq -1 \\ x+1 \leq y \leq x+6 & \text{si } -1 \leq x \leq 0 \end{cases}$$

Para integrar en el orden “ $dxdy$ ” hay que partir la región en tres subregiones R_1, R_2, R_3 .

$$\left\{ \begin{array}{ll} R_1 : -2 + \frac{\sqrt{4-y}}{2} \leq x \leq y-1 & \text{si } 0 \leq y \leq 1 \\ R_2 : -2 + \frac{\sqrt{4-y}}{2} \leq x \leq 0 & \text{si } 1 \leq y \leq 4 \\ R_3 : y-6 \leq x \leq 0 & \text{si } 4 \leq y \leq 6 \end{array} \right.$$



Luego,

$$I = \int_0^1 \int_{-2+\frac{\sqrt{4-y}}{2}}^{y-1} dxdy + \int_1^4 \int_{-2+\frac{\sqrt{4-y}}{2}}^0 dxdy + \int_4^6 \int_{y-6}^0 dxdy$$

5.3 Área y Volumen

- De acuerdo con nuestra definición de integral doble, el área A_R de una región R se puede calcular con la integral doble (“área de la base \times altura”)

$$A_R = \iint_R 1 dA$$

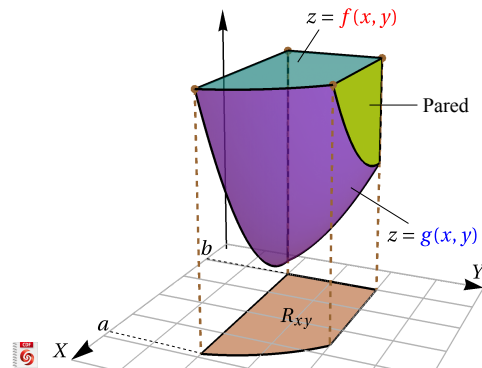
- Sea $f(x,y) \geq 0$ y continua en una región cerrada R . Sea V_Q el volumen del sólido Q que tiene a R como base y una altura de medida $f(x,y)$ en cada $(x,y) \in R$, entonces

$$V_Q = \iint_R f(x,y) dA$$

 Ver con CFDPlayer

- Si el sólido Q está limitado, sobre la región cerrada R , por dos superficies de ecuaciones $z = f(x, y)$ y $z = g(x, y)$ con f y g continuas y $f(x, y) - g(x, y) \geq 0$ sobre R , entonces

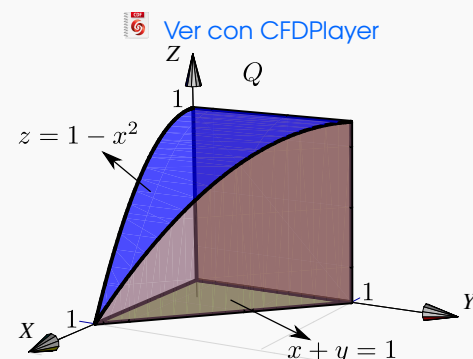
$$V_Q = \iint_{R_{xy}} f(x, y) - g(x, y) dA$$



- Muchas veces es conveniente considerar la región R como la proyección del sólido sobre los planos XZ o YZ .

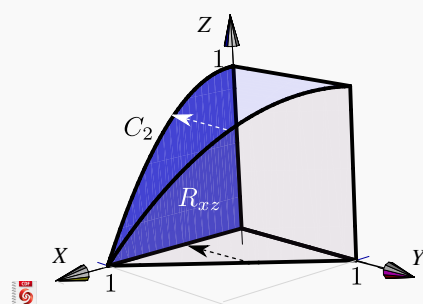
Ejemplo 5.5

Sea Q el sólido limitado por las superficies $z = 1 - x^2$, y $x + y = 1$ en el primer octante. Calcule V_Q usando como región R cada una de las proyecciones del sólido sobre los planos XY , YZ , XZ .



Solución:

- Cálculo de V_Q proyectando sobre el plano XZ .** La proyección sobre el plano XZ se muestra en la figura. La región está entre la curva $C_2 : z = 1 - x^2$ y el eje X . Desde el punto de vista del plano XZ , el sólido está limitado por las superficies $x = 0$ y $y = 1 - x$. Integrando en el orden “ $dzdx$ ” queda



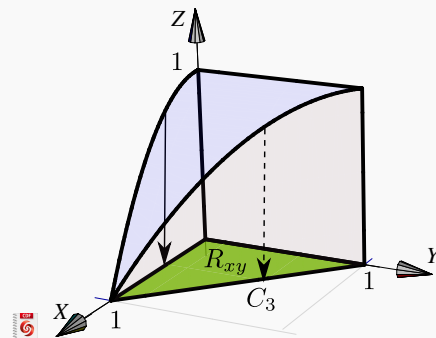
$$\begin{aligned}
 V_Q &= \int_0^1 \int_0^{1-x^2} 1-x - 0 \, dz \, dx \\
 &= \int_0^1 z - zx|_0^{1-x^2} \, dx \\
 &= \int_0^1 (1-x)(1-x^2) \, dx = \frac{5}{12}
 \end{aligned}$$

- **Cálculo de V_Q proyectando sobre el plano XY .** La proyección sobre el plano xy se muestra en la figura

La ecuación de la curva C_3 corresponde a $y = 1 - x$

con $x \in [0, 1]$. Desde el punto de vista del plano XY , el sólido Q está entre las superficies $z = 1 - x^2$ y $z = 0$.

Integrando en el orden “ $dydx$ ” queda

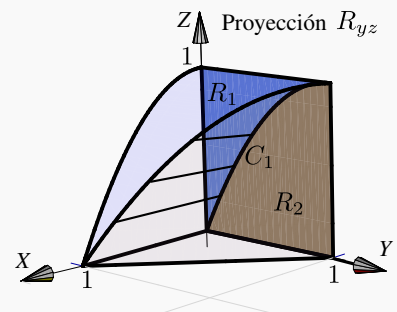
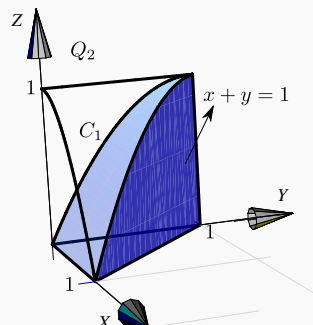
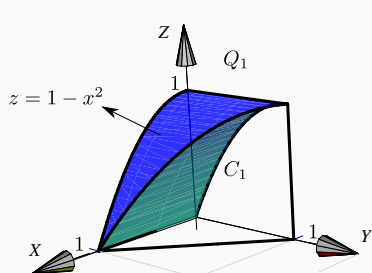


$$\begin{aligned}
 V_Q &= \int_0^1 \int_0^{1-x} 1-x^2 - 0 \, dy \, dx \\
 &= \int_0^1 1-x-x^2(1-x) \, dx = \frac{5}{12}
 \end{aligned}$$

- **Cálculo de V_Q proyectando sobre el plano YZ .** En este caso, el sólido no está entre dos superficies. Desde el punto de vista del plano YZ , tenemos un sólido Q_1 que está entre $x = 0$ y $z = 1 - x^2$ en la región R_1 y un sólido Q_2 que está entre $x = 0$ y el plano $x + y = 1$ en R_2 . Ademas, $Q = Q_1 \cup Q_2$, como se muestra en la figura, y entonces

$$V_Q = V_{Q_1} + V_{Q_2}$$

Ver con CFDPlayer



La proyección sobre este plano se muestra en la figura. La curva de proyección C_1 es la proyección sobre YZ de la curva de intersección entre la superficie $z = 1 - x^2$ y el plano $x + y = 1$. C_1 tiene ecuación en términos de x e y .

$$z = 1 - x^2 \cap x + y = 1 \implies z = 1 - (1 - y)^2, \quad y \in [0, 1]$$

La curva C_1 divide la región de integración en dos partes, la región R_1 y la región R_2 .

Desde el punto de vista del plano YZ , el sólido está limitado por las superficies

- $x = \sqrt{1-z}$ y $x = 0$ sobre R_1 .

- $x = 1-y$ y $x = 0$ sobre R_2 .

Integrando en el orden “ $dzdy$ ” queda

$$\begin{aligned} V_Q &= \int_0^1 \int_{2y-y^2}^1 \sqrt{1-z} - 0 \, dz \, dy + \int_0^1 \int_0^{2y-y^2} 1-y - 0 \, dz \, dy \\ &= \int_0^1 \frac{2(1-2y+y^2)^{3/2}}{3} \, dy + \int_0^1 (2y-3y^2+y^3) \, dy = \frac{5}{12} \end{aligned}$$

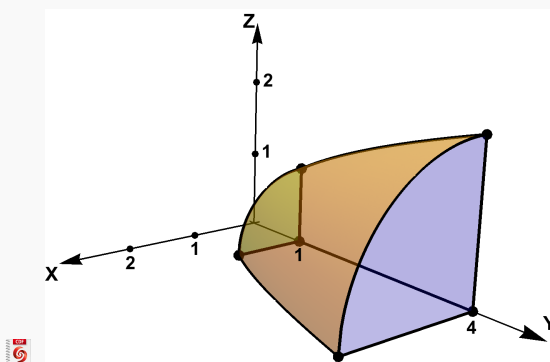
Nota: $(1-2y+y^2)^{3/2} = \sqrt{(y-1)^6} = |(y-1)^3| = -(y-1)^3$ si $y \in [0, 1]$.

Ejemplo 5.6 (Volumen en coordenadas rectangulares).

 Ver con CFDPlayer

Requiere FreeCDF Player

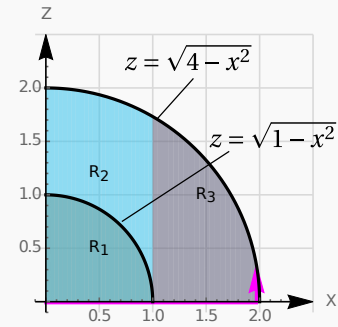
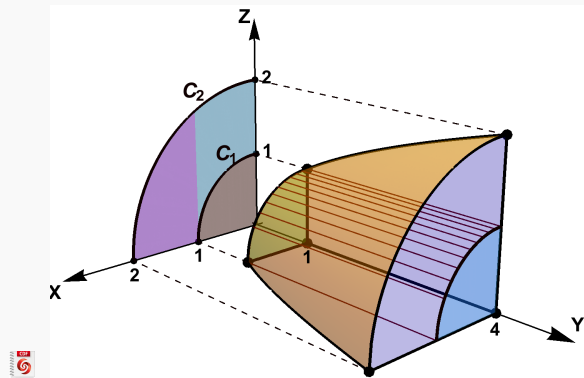
Plantee la integral (o las integrales) con las que se puede obtener el volumen del sólido Q limitado por las superficies $S_1 : y = x^2 + z^2$, $S_2 : y = 1$, $S_3 : y = 4$, en el primer octante.



Solución: Vamos calcular el volumen usando la proyección del sólido Q en el plano XZ , usando el orden de integración “ $dzdx$ ”. La proyección del sólido Q es $R = R_1 + R_2 + R_3$, como se muestra en la figura de abajo. El cálculo con las otras dos proyecciones lo puede ver en el CDF.

Observemos que en la región R_1 el sólido está entre las superficies $y = 1$ y $y = 4$ mientras que en las otras dos

regiones, el sólido está entre las superficies $y = x^2 + z^2$ y $y = 4$.



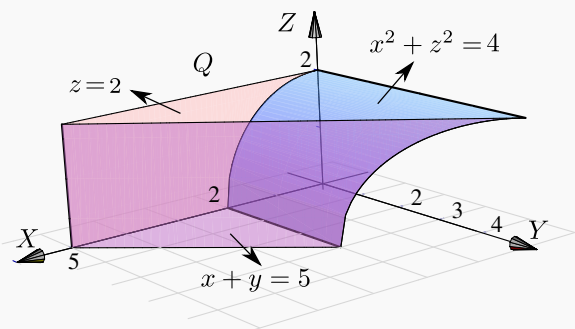
$$\begin{aligned} V_Q &= \iint_{R_1} 3 dA + \iint_{R_2} (4 - x^2 - z^2) dA + \iint_{R_3} (4 - x^2 - z^2) dA \\ &= \int_0^1 \int_0^{\sqrt{1-x^2}} 3 dz dx + \int_0^1 \int_{\sqrt{1-x^2}}^{\sqrt{4-x^2}} (4 - x^2 - z^2) dz dx + \int_1^2 \int_0^{\sqrt{4-x^2}} (4 - x^2 - z^2) dz dx \end{aligned}$$

Ejemplo 5.7

Ver con CFDPlayer

Sea Q el sólido limitado por las superficies $x^2 + z^2 = 4$, $x + y = 5$, $z = 2$, $y = z = 0$.

Plantear la o las integrales dobles necesarias para calcular V_Q usando como región R cada una de las proyecciones del sólido sobre los planos YZ , XZ , XY

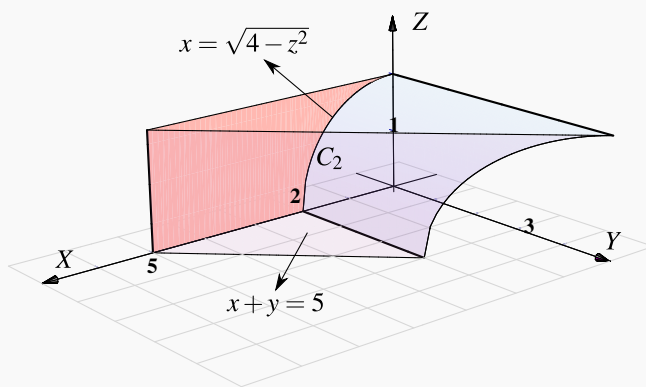


Solución:

● Cálculo de V_Q proyectando sobre el plano XZ .

La proyección R_{yz} sobre el plano xz se muestra en la figura. La ecuación de la curva C_2 corresponde a $x^2 + z^2 = 4$ con $x \in [0, 2]$.

Sobre la región R_{yz} , el sólido Q está entre las superficies $y = 0$ (abajo) y $y = 5 - x$ (arriba).



Usando el orden de integración “ $dx dz$ ” tenemos

$$\begin{aligned}
 V_Q &= \int_0^2 \int_{\sqrt{4-z^2}}^5 5-x - 0 \, dx \, dz \\
 &= \int_0^2 \frac{29}{2} - \frac{z^2}{2} - 5\sqrt{4-z^2} \, dz \\
 &= \left. \frac{29z}{2} - \frac{z^3}{6} - \frac{5z\sqrt{4-z^2}}{2} - 10 \arcsin\left(\frac{z}{2}\right) \right|_0^2 = \frac{83}{3} - 5\pi \approx 11.9587
 \end{aligned}$$

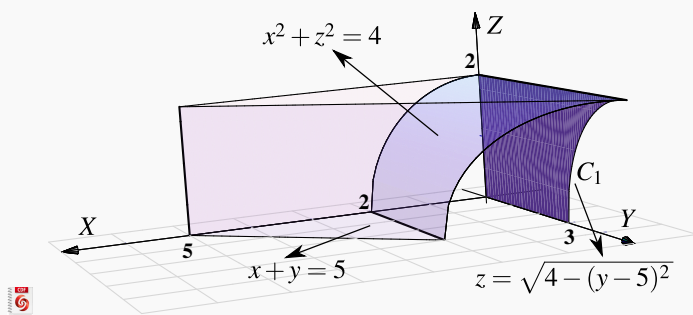
Nota: Utilizando la sustitución trigonométrica $\frac{z}{2} = \sin \theta$, se obtiene (salvo constantes)

$$\int \sqrt{4-z^2} \, dz = \frac{z\sqrt{4-z^2}}{2} + 2 \arcsin\left(\frac{z}{2}\right).$$

● Cálculo de V_Q proyectando sobre el plano YZ .

La proyección R_{yz} sobre el plano yz se muestra en la figura. Para hallar la ecuación de la curva C_1 observe que esta curva está arriba del eje y por lo que:

$$C_1 : x^2 + z^2 = 4 \cap x + y = 5 \implies \begin{cases} z = +\sqrt{4 - (5-y)^2} & \text{si } y \in [3, 5] \\ & \text{o} \\ y = 5 - \sqrt{4 - z^2} & \text{si } z \in [0, 2] \end{cases}$$



Sobre la región R_{yz} , el sólido Q está entre las superficies $x = \sqrt{4 - z^2}$ (abajo) y $x = 5 - y$ (arriba).

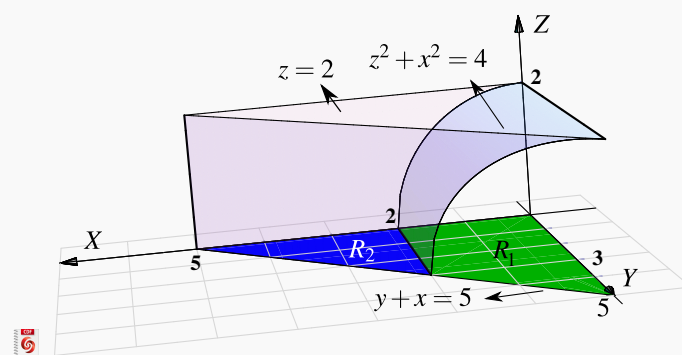
Usando el orden de integración “ $dy dz$ ” tenemos

$$V_Q = \int_0^2 \int_0^{5-\sqrt{4-z^2}} 5 - y - \sqrt{4 - z^2} dy dz = \frac{83}{3} - 5\pi \approx 11.9587$$

● Cálculo de V_Q proyectando sobre el plano XY .

La proyección sobre el plano se muestra en la figura. La ecuación de la curva C_3 corresponde a $y = 5 - x$ con $x \in [0, 5]$. Esta curva divide la región de integración en dos regiones R_1 y R_2 . El sólido Q esta limitado por las superficies

- $z = \sqrt{4 - x^2}$ (abajo) y $z = 2$ (arriba) sobre R_1
- $z = 0$ (abajo) y $z = 2$ (arriba) sobre R_2



Usando el orden de integración “ $dy dx$ ” tenemos

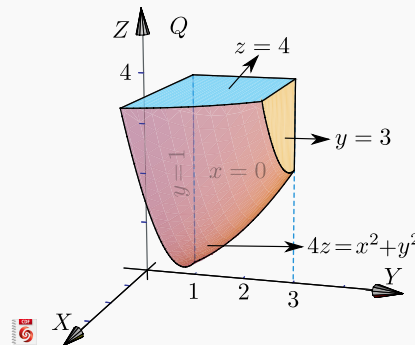
$$\begin{aligned}
 V_Q &= \int_0^2 \int_0^{5-x} 2 - \sqrt{4-x^2} dy dx + \int_2^5 \int_0^{5-x} 2 - 0 dy dx \\
 &= \frac{83}{3} - 5\pi \approx 11.9587
 \end{aligned}$$

Ejemplo 5.8

Considere el sólido Q esta limitado por las superficies $4z = x^2 + y^2$, $y = 3$, $y = 1$, $z = 4$, y $x = 0$. Usando el CDF asociado, podremos ver también las proyecciones en cada plano.

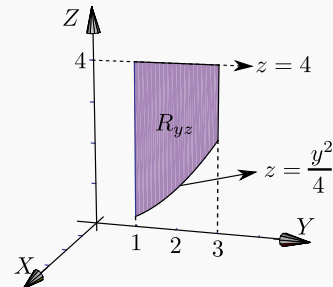
- a.) Dibuje la región de integración en los planos XY , XZ y YZ .

- b.) Plantee la o las integrales correspondientes al volumen del sólido utilizando las proyecciones anteriores



Solución: Solo vamos a calcular con la proyección en el plano YZ . La región de integración aparece en la figura.

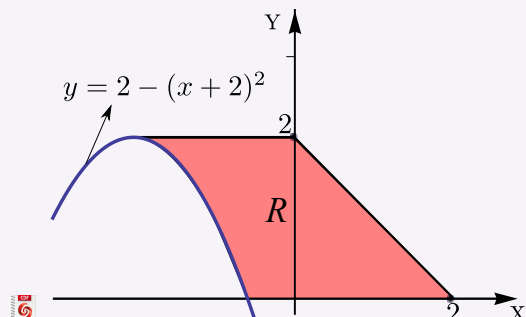
$$V_Q = \int_1^3 \int_{y^2/4}^4 \sqrt{4z - y^2} - 0 dz dy$$

**19****Ejercicios**

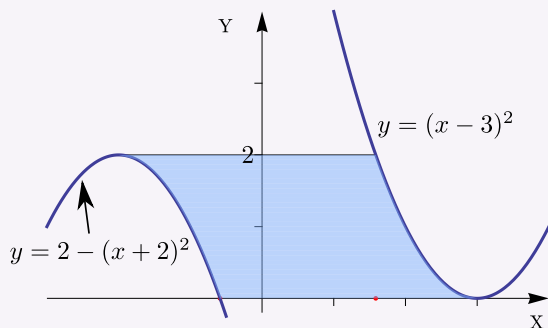
- 5.3.1 El área de la región R_{xy} viene dada por $\int_0^1 \int_0^y dx dy + \int_1^2 \int_0^{\sqrt{2-y}} dx dy$. Dibuje la región R_{xy} y calcule la integral en el orden $dy dx$.

- 5.3.2 Considere la integral $I = \int_0^4 \int_{4-z}^{8-z^2/2} xy dy dz + \int_{-4}^0 \int_{4+z}^{8-z^2/2} xy dy dz$. Dibuje la región de integración y plantear la integral I usando el orden de integración $dz dy$.

- 5.3.3** Considere la región R que se muestra a la derecha (región sombreada). Esta región está limitada por las curvas $y = 0$; $y = 2$; $y = 2 - (x + 2)^2$ y $x + y = 2$. Plantear la integral $\iint_R f(x, y) dA$ en el orden “ $dxdy$ ” y en el orden “ $dydx$ ”

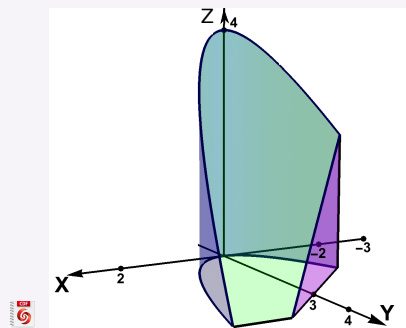


- 5.3.4** Considere la región R a la derecha. Esta región está limitada por las curvas $y = 0$; $y = 2$; $y = 2 - (x + 2)^2$ y $y = (x - 3)^2$. Plantear la integral $\iint_R f(x, y) dA$ en el orden “ $dxdy$ ” y en el orden “ $dydx$ ”

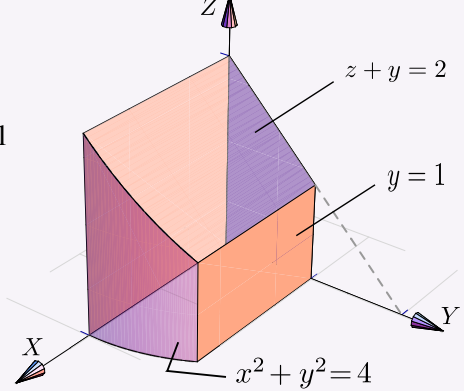


- 5.3.5** Sea Q el sólido comprendido entre las superficies $S_1 : y = x^2$, $S_2 : y + z = 4$, $S_3 : y - x = 3$ y $S_4 : z = 0$; tal y como se muestra en la figura a la derecha.

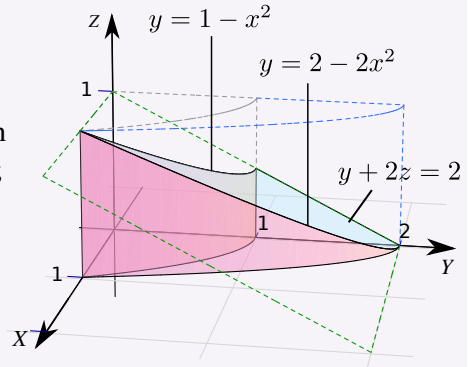
- Dibuje la región de integración en el plano XY y en el plano XZ
- Calcule el volumen del sólido Q .



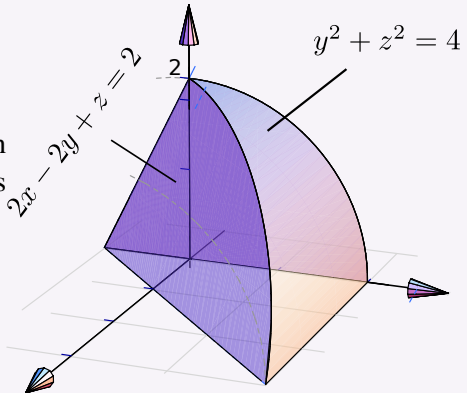
- 5.3.6** Plantear la o las integrales necesarias para calcular el volumen del sólido Q si este sólido está limitado por $x^2 + y^2 = 4$; $z + y = 2$; $y = 1$; $x = 0$; $y = 0$ y $z = 0$, en el I octante



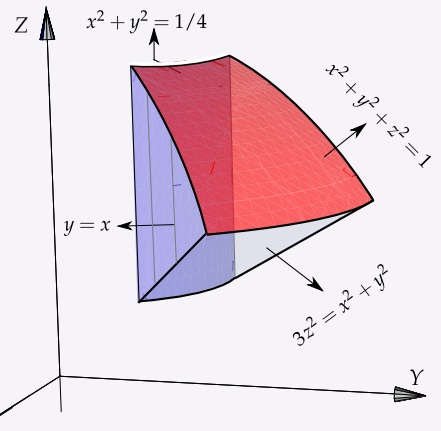
- 🕒 5.3.7 Planear la o las integrales necesarias para calcular el volumen del sólido Q si este sólido está limitado por las superficies $y = 2 - 2x^2$; $y = 1 - x^2$; $y + 2z = 2$; $x = 0$ y $z = 0$; en el I octante.



- 🕒 5.3.8 Planear la integral que da el volumen del sólido Q , del ejemplo 5.8, proyectando sobre el plano XY



- 🕒 5.3.9 Planear la o las integrales necesarias para calcular el volumen sólido Q si este sólido está limitado por la superficie $y^2 + z^2 = 4$ y los planos $2x - 2y + z = 2$; $x = 0$ y $z = 0$.



- 🕒 5.3.10 Consideré el sólido Q limitado por el cilindro $x^2 + y^2 = 1/4$, el cono $3z^2 = x^2 + y^2$, la esfera $x^2 + y^2 + z^2 = 1$ y los planos $x = 0$ y $x = y$; tal y como se muestra en la figura.

Plantear la integral (o las integrales) necesarias para calcular el volumen del sólido Q

5.4 Cambio de variable en una integral doble.

En una variable, si f tiene una derivada continua en $[a, b]$ y $x = x(u)$ está definida en $[u_1, u_2]$ con $a = x(u_1)$ y $b = x(u_2)$, y si $f(x(u))$ es continua en $[u_1, u_2]$, entonces

$$\int_a^b f(x) dx = \int_{u_1}^{u_2} f(x(u)) \frac{dx}{du} du \quad (*)$$

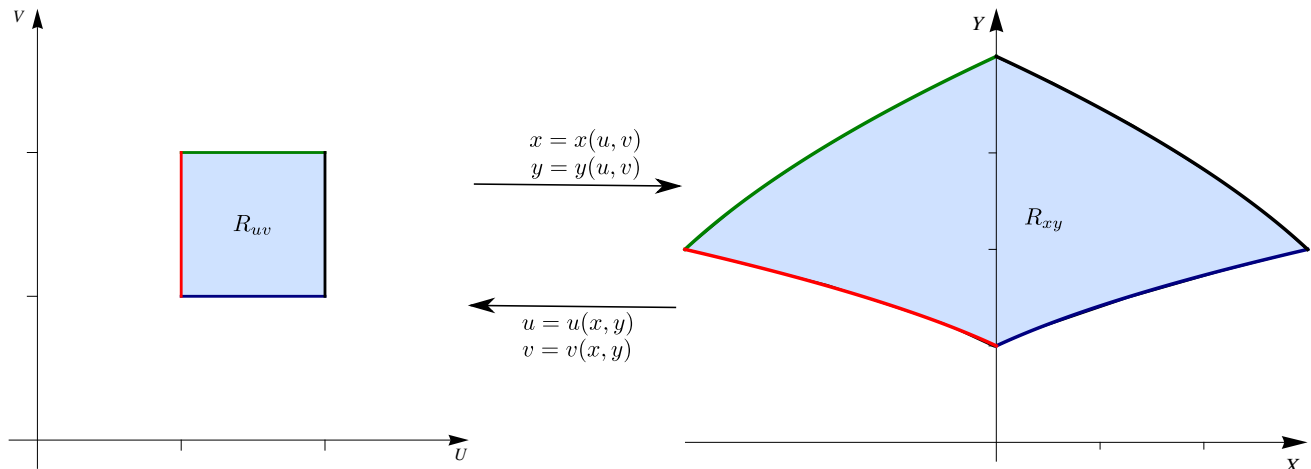
La inversa $u = u(x)$ existe solo si $x(u)$ es strictamente creciente o decreciente, pero no es una condición que se pida en la fórmula (*).

Hay una fórmula análoga a (*) para integrales dobles;

$$\iint_{R_{xy}} f(x, y) dxdy = \iint_{R_{uv}} f(x(u, v), y(u, v)) \left| \frac{\partial(x, y)}{\partial(u, v)} \right| dudv \text{ con } \frac{\partial(x, y)}{\partial(u, v)} = \text{Det} \begin{pmatrix} \frac{\partial x}{\partial u} & \frac{\partial x}{\partial v} \\ \frac{\partial y}{\partial u} & \frac{\partial y}{\partial v} \end{pmatrix}$$

Se asume que las funciones $x = x(u, v)$, $y = y(u, v)$ están definidas y tienen derivadas parciales continuas en la región de integración R_{uv} en el plano uv . En este caso si se asume que las funciones inversas $u = u(x, y)$, $v = v(x, y)$ están definidas y son continuas en R_{xy} y que *hay un mapeo invertible entre el interior de R_{xy} y el interior de R_{uv}* . La función $f(x, y)$ se asume continua en R_{xy} y así $f(x(u, v), y(u, v))$ es continua en R_{uv} . También se asume que el **Jacobiano** $J(u, v) = \frac{\partial(x, y)}{\partial(u, v)}$ es no nulo en el *interior* de R_{uv} .

La restricción de que el cambio de variable sea invertible en el interior de R_{xy} (y por tanto que $J(u, v)$ no se anule en el interior de R_{uv}) es necesaria para poder usar cambio de variable con coordenadas polares en regiones que contienen el origen.



Teorema 5.3 (Cambio de variable).

Sea R_{uv} una región compacta y conexa en el plano contenido en un conjunto abierto A de \mathbb{R}^2 . Sea $\mathbf{r} : A \rightarrow \mathbb{R}^2$ con $\mathbf{r}(u, v) = (x(u, v), y(u, v))$, una función continua con derivadas parciales continuas tal que \mathbf{r} es invertible en el

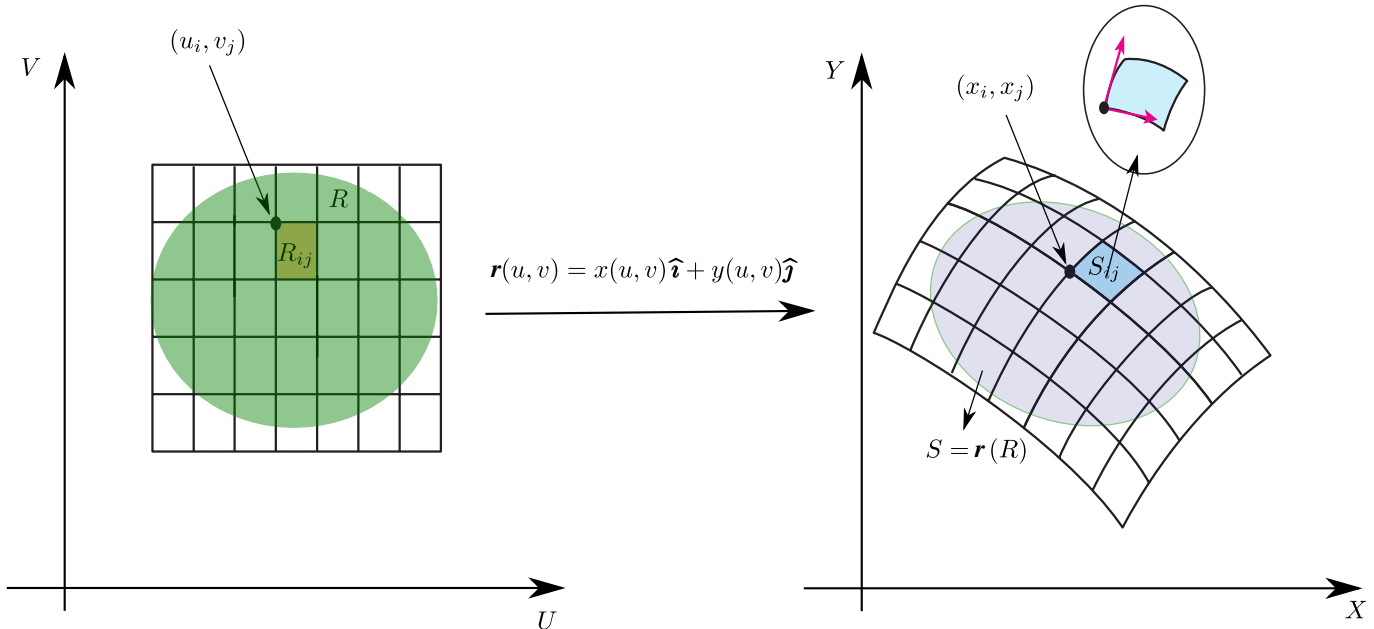
interior de R_{uv} y $J(u, v) = \text{Det} \begin{pmatrix} \frac{\partial x}{\partial u} & \frac{\partial x}{\partial v} \\ \frac{\partial y}{\partial u} & \frac{\partial y}{\partial v} \end{pmatrix}$ es no nulo en el interior de R_{uv} . Sea $R_{xy} = \mathbf{r}(R_{uv})$ y $f : R_{xy} \rightarrow \mathbb{R}$ una función continua. Entonces,

$$\iint_{R_{xy}} f(x, y) dx dy = \iint_{R_{uv}} f(x(u, v), y(u, v)) |J(u, v)| du dv$$

Notas. Observe que el Jacobiano $J(u, v)$ va en valor absoluto dentro de la integral. Además solo se requiere que $\mathbf{r}(u, v)$ sea invertible en el interior de R_{uv} y por tanto $|J(u, v)|$ no se anule en el interior de R_{uv} .

Para verificar que un cambio de variable es invertible en una región uno podría, si se puede, calcular la transformación inversa $\mathbf{r}^{-1}(x, y)$. En los ejemplos de este libro es sencillo calcular esta inversa. El 'Teorema de la Función Inversa' solo dice, con las hipótesis respectivas, que si $J(u_0, v_0)$ no se anula, entonces $\mathbf{r}(u, v)$ es invertible en un entorno de (u_0, v_0) , pero no nos da información de si hay una inversa 'global'. Sin embargo en la literatura se encuentran teoremas con condiciones especiales para 'globalizar' el resultado.

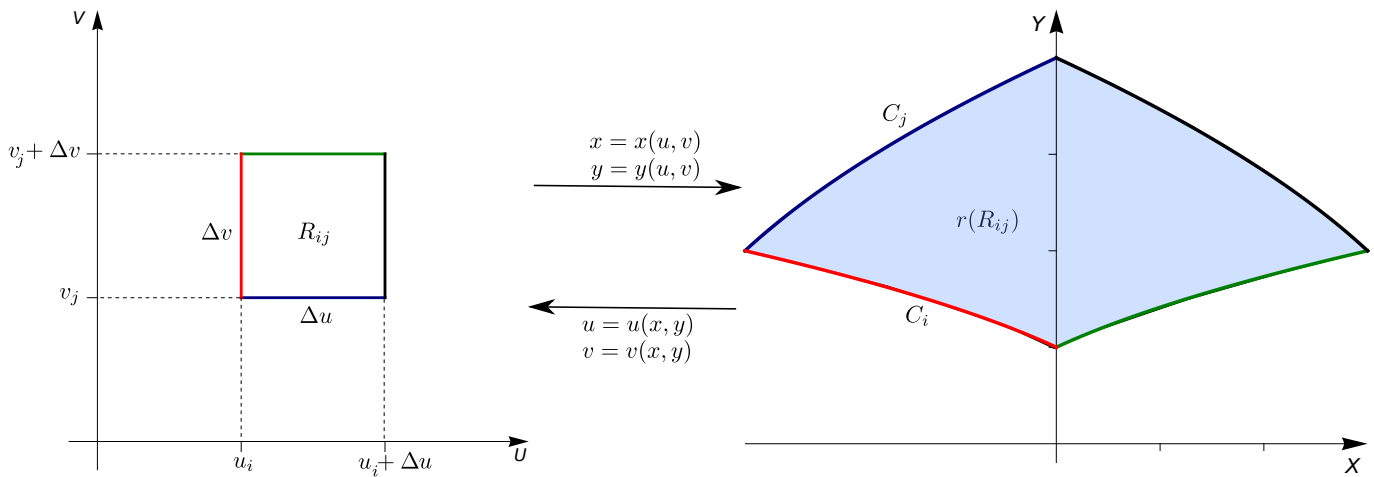
Idea geométrica. Consideremos el cambio de variable $x = x(u, v)$, $y = y(u, v)$ que transforma R en S y que cumplen las condiciones del teorema. Este cambio de variable define una función invertible $\mathbf{r}(u, v) = x(u, v)\hat{i} + y(u, v)\hat{j}$ en el interior de S y $S = \mathbf{r}(R)$.



Tomemos un rectángulo R_{ij} de una malla M de R . \mathbf{r} transforma el lado $u = u_i$ en la curva $C_i : \mathbf{r}(u_i, v), v \in [v_j, v_j + \Delta v]$

y el lado $v = v_j$ en la curva $C_j : \mathbf{r}(u, v_j), v \in [u_i, u_i + \Delta u]$.

Si además \mathbf{r}^{-1} es continua, \mathbf{r} es un homeomorfismo y la frontera del rectángulo R_{ij} es 'mapeada' en la frontera de $S = \mathbf{r}(R_{ij})$ y el interior en el interior.



Si $\mathbf{r}(u_i, v_j) = (x_i, y_j)$, un vector tangente en (x_i, y_j) en C_i es $\left. \frac{\partial \mathbf{r}(u_i, v)}{\partial v} \right|_{v=v_j}$. Como este vector representa la velocidad a la que se desplaza el punto $\mathbf{r}(u_i, v)$ cuando v va de v_j a $v_j + \Delta v$, entonces en la curva C_i , (x_i, y_j) se desplaza, en el tiempo Δv , una distancia aproximada $\left. \frac{\partial \mathbf{r}(u_i, v)}{\partial v} \right|_{v=v_j} \Delta v$. Usando el teorema del valor medio para derivadas lo diariamos así,

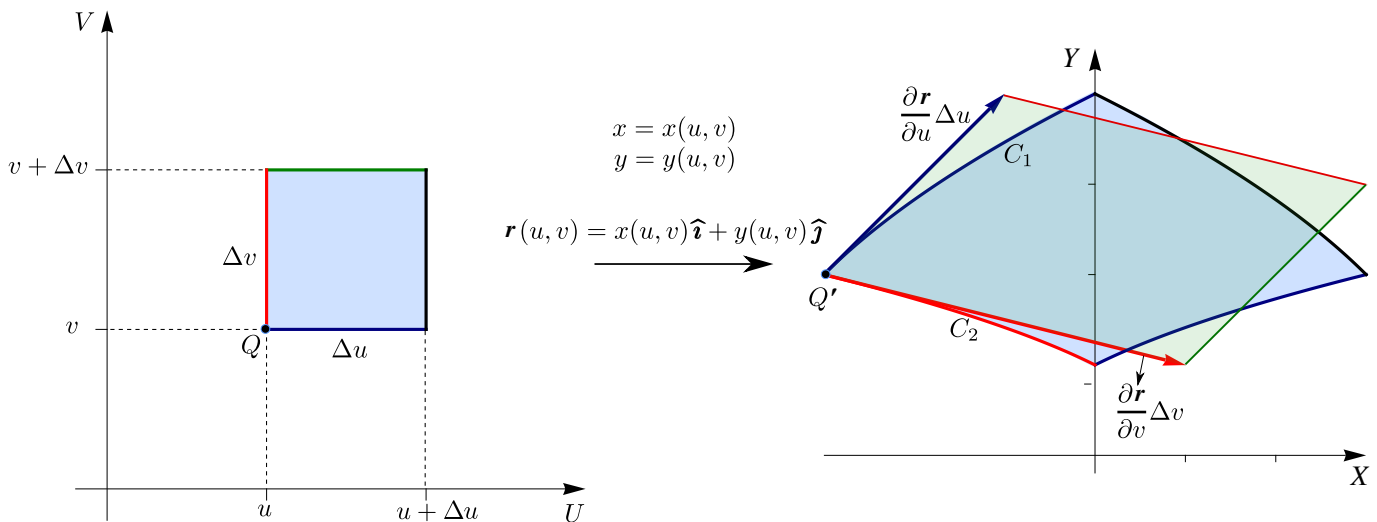
$$\mathbf{r}(u_i, v + \Delta v) - \mathbf{r}(u_i, v) \approx \Delta v \mathbf{r}_v$$

Analogamente, un vector tangente en (x_i, y_j) en C_j es $\left. \frac{\partial \mathbf{r}(u, v_j)}{\partial u} \right|_{u=u_i}$. Como este vector representa la velocidad a la que se desplaza el punto $\mathbf{r}(u, v_j)$ cuando u va de u_i a $u_i + \Delta u$, entonces en la curva C_j , (x_i, y_j) se desplaza, en el tiempo Δu , una distancia aproximada $\left. \frac{\partial \mathbf{r}(u, v_j)}{\partial u} \right|_{u=u_i} \Delta u$.

Por tanto, el rectángulo R_{ij} en R , se transforma en una porción del plano XY que es casi el paralelogramo de lados $\left. \frac{\partial \mathbf{r}(u_i, v)}{\partial v} \right|_{v=v_j} \Delta v$ y $\left. \frac{\partial \mathbf{r}(u, v_j)}{\partial u} \right|_{u=u_i} \Delta u$. El área de este paralelogramo es, en términos de producto vectorial,

$$\left| \left. \frac{\partial \mathbf{r}(u_i, v)}{\partial v} \right|_{v=v_j} \times \left. \frac{\partial \mathbf{r}(u, v_j)}{\partial u} \right|_{u=u_i} \Delta u \Delta v \right|$$

En la figura que sigue se ilustra esta situación con un punto genérico (u, v) .



El área del paralelogramo “curvilíneo” es aproximadamente el área del paralelogramo de lados $\frac{\partial \mathbf{r}}{\partial v} \Delta v$ y $\frac{\partial \mathbf{r}}{\partial u} \Delta u$. El área de este último paralelogramo es

$$\left| \frac{\partial \mathbf{r}}{\partial v} \times \frac{\partial \mathbf{r}}{\partial u} \right| \Delta u \Delta v = \begin{vmatrix} \hat{\mathbf{i}} & \hat{\mathbf{j}} & \hat{\mathbf{k}} \\ \frac{\partial x}{\partial u} & \frac{\partial y}{\partial u} & 0 \\ \frac{\partial y}{\partial u} & \frac{\partial y}{\partial v} & 0 \end{vmatrix} = \begin{vmatrix} \frac{\partial x}{\partial u} & \frac{\partial y}{\partial u} \\ \frac{\partial y}{\partial u} & \frac{\partial y}{\partial v} \end{vmatrix} = |J(u, v)| \hat{\mathbf{k}}$$

De esta manera, si $J(u, v) = 1$, el cambio de variable conserva las áreas. Sino, el área de cada paralelogramo en XY es aproximadamente el área de cada rectángulo en UV , multiplicada por $|J(u, v)|$. Por eso decimos que $|J(u, v)|$ opera como un factor de compensación por la ‘deformación’ sufrida por la región ante un cambio de variable. Si la integral existe, deberíamos tener

$$A_S = \iint_S 1 dx dy \approx \sum_{i=1}^m \sum_{j=1}^n A_{S_{ij}} \approx \sum_{i=1}^m \sum_{j=1}^n |J(u, v)|_{u=u_i, v=v_j} \Delta u \Delta v = \iint_R |J(u, v)| du dv$$

Y en general,

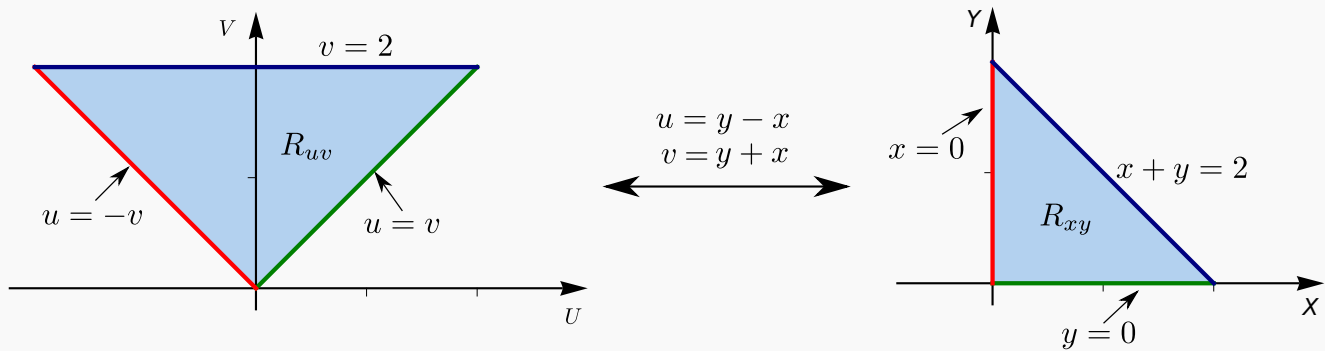
$$A_S = \iint_S f(x, y) dx dy \approx \sum_{i=1}^m \sum_{j=1}^n f(x_i, y_j) A_{S_{ij}} \approx \sum_{i=1}^m \sum_{j=1}^n f(\mathbf{r}(u_i, v_j)) |J(u, v)|_{u=u_i, v=v_j} \Delta u \Delta v = \iint_R f(u, v) |J(u, v)| du dv$$

Ejemplo 5.9

Calcular $\iint_{R_{xy}} e^{\frac{y-x}{y+x}} dA$ usando el cambio de variable $u = y - x$ y $v = y + x$. La región R_{xy} está limitada por las rectas $x + y = 2$, $x = 0$ y $y = 0$.

Solución: . Primero debemos dibujar las regiones de integración R_{uv} y R_{xy} para luego integrar.

Nueva región de integración. El cambio de variable es invertible y la inversa es continua, entonces aplicamos el cambio de variable a la frontera de la región R_{xy} para calcular las curvas frontera de la región R_{uv} . Como $v = y + x$, el segmento de recta $x + y = 2$ corresponde a $v = 2$. Si $x = 0$ entonces $u = v$ y si $y = 0$ entonces $u = -v$.



El cambio de variable es invertible: Resolviendo $\begin{cases} u &= y - x \\ v &= y + x \end{cases}$ obtenemos $x = \frac{1}{2}(v - u)$ y $y = \frac{1}{2}(v + u)$.

Calculamos el Jacobiano. $J(u, v) = \text{Det} \begin{pmatrix} -1/2 & 1/2 \\ 1/2 & 1/2 \end{pmatrix} = -1/2$.

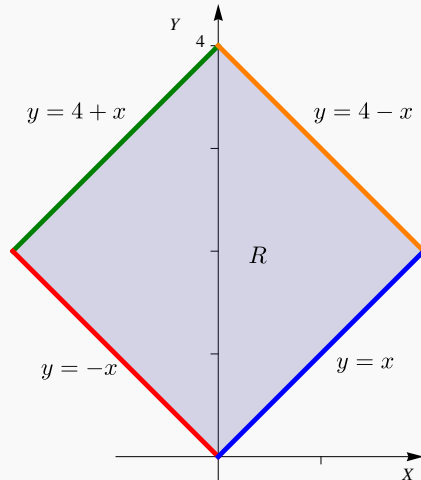
Cálculo de la integral.

$$\begin{aligned} \iint_{R_{xy}} e^{\frac{y-x}{y+x}} dA &= \iint_{R_{uv}} e^{\frac{u}{v}} |J(u, v)| du dv \\ &= \frac{1}{2} \int_0^2 \int_{-v}^v e^{\frac{u}{v}} du dv \\ &= e - \frac{1}{e}. \end{aligned}$$

Ejemplo 5.10

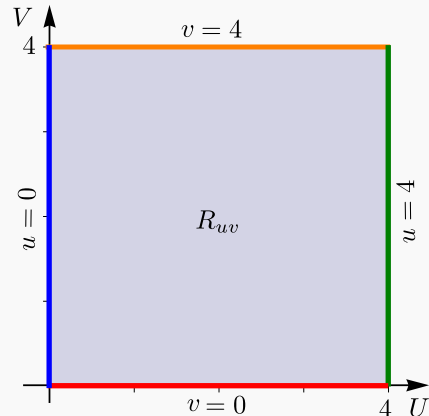
Calcule $\iint_{R_{xy}} (y^2 - x^2) e^{(x+y)^2} dA$, donde R_{xy} es la región mostrada en la figura. Utilice el cambio de variable $\begin{cases} u = y - x \\ v = y + x \end{cases}$

Solución: Si $\begin{cases} u = y - x \\ v = y + x \end{cases}$ entonces $\begin{cases} x = \frac{1}{2}(v - u) \\ y = \frac{1}{2}(u + v) \end{cases}$



Como la inversa es continua, aplicando el cambio de variable a la frontera de R_{xy} , obtenemos la frontera de la región R_{uv} . A $y = -x + 4$ le corresponde, sustituyendo x e y , $v = 4$. A $y = -x$ le corresponde $v = 0$ y A $y = x + 4$ le corresponde $u = 4$. La nueva región es más simple.

$$\iint_{R_{xy}} (y^2 - x^2) e^{(x+y)^2} dA = \int_0^4 \int_0^4 u v e^{v^2} dv du = 4 \cdot e^{16} - 4.$$



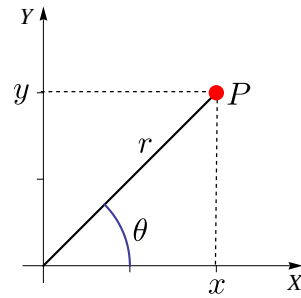
Como se ve en los ejemplos anteriores, se usa el cambio de variable en la forma $x = x(u, v)$, $y = y(u, v)$ tanto como $u = u(x, y)$, $v = v(x, y)$. Siempre hay que estar al tanto de que se cumplan las hipótesis, en particular la invertibilidad.

5.5 Coordenadas Polares.

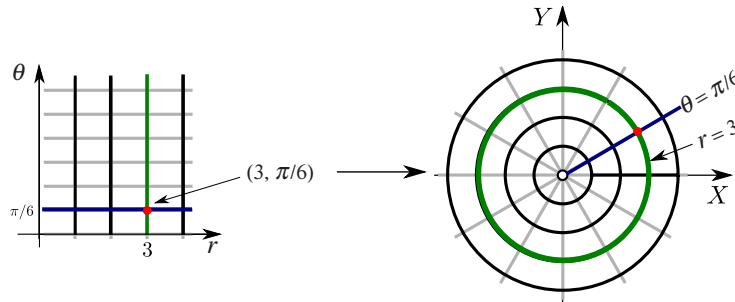
Este cambio de variable es muy útil cuando la región de integración tiene curvas frontera fáciles de describir en coordenadas polares. Una introducción al tema de coordenadas polares la puede encontrar en el “Apéndice B: Coordenadas Polares” o la versión CDF (en la liga del párrafo que sigue).

 **Coordenadas polares.** Un punto $P = (x, y) \in \mathbb{R}^2$ se puede especificar en **coordenadas polares** (r, θ) donde r es la distancia del origen a P y θ es el ángulo medido desde el eje X contrareloj. La conversión de coordenadas polares a coordenadas cartesianas se hace con la transformación

$$\begin{cases} x = r \cos(\theta) \\ y = r \sin(\theta) \end{cases} \quad (*)$$



Para efectos de cambio de variable, esta transformación es invertible si $r > 0$ y si $\theta \in [\theta_0, \theta_0 + 2\pi[$. Podemos definir la inversa desde $\mathbb{R}^+ \times [0, 2\pi[$ a $\mathbb{R}^2 - \{(0,0)\}$ con $r = \sqrt{x^2+y^2}$ y θ el único ángulo $\theta \in [0, 2\pi[$ que satisface (*), es decir $\theta = \arctan(y/x)$ si $x > 0$ y $\theta = \arctan(y/x) + \pi$ si $x < 0$ pues $\arctan(t)$ está definida en $]-\pi/2, \pi/2[$ (si $r = 0$, el cambio de variable aplica todo el eje θ en el origen $(0,0)$.)

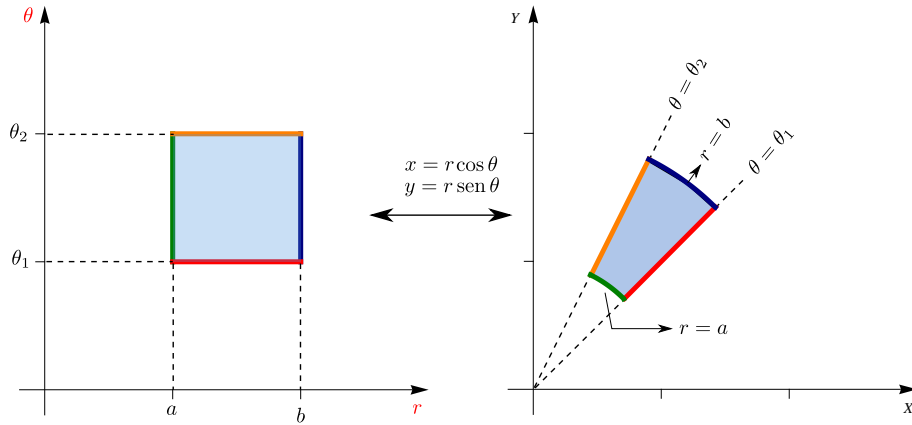


Poniendo $u = r$ y $v = \theta$ tenemos el cambio de variable,

$$\begin{cases} x = r \cos(\theta) \\ y = r \sin(\theta) \end{cases}$$

En este caso,

$$J(r, \theta) = \begin{vmatrix} \frac{\partial x}{\partial r} & \frac{\partial x}{\partial \theta} \\ \frac{\partial y}{\partial r} & \frac{\partial y}{\partial \theta} \end{vmatrix} = r$$



Como ya indicamos, este cambio de variable es invertible si $r > 0$ y si $\theta \in [\theta_0, \theta_0 + 2\pi[$ (a veces es cómodo tomar ángulos negativos).

Si en R y R' se cumplen las condiciones del teorema de cambio de variable, entonces

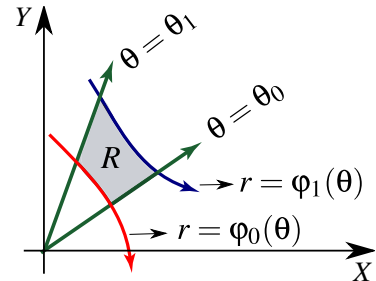
$$\iint_R f(x, y) dA = \iint_{R'} f(r \cos(\theta), r \sin(\theta)) r dr d\theta$$

- En el caso de coordenadas polares, la nueva región $R_{r\theta}$ se puede describir en el mismo sistema XY .

- Si una región R se puede describir como una región en coordenadas polares tal que

$$0 < \varphi_0(\theta) \leq r \leq \varphi_1(\theta) \quad \text{si} \quad \theta_0 \leq \theta \leq \theta_1 \quad \text{donde} \quad \theta_1 - \theta_0 \leq 2\pi$$

entonces

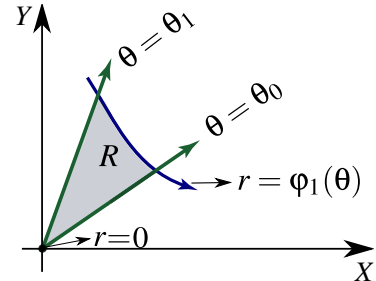


$$\iint_R f(x,y) dA = \int_{\theta_0}^{\theta_1} \int_{\varphi_0(\theta)}^{\varphi_1(\theta)} f(r\cos(\theta), r\sin(\theta)) r dr d\theta$$

- Si una región R se puede describir como una región en coordenadas polares tal que

$$0 \leq r \leq \varphi_1(\theta) \quad \text{si} \quad \theta_0 \leq \theta \leq \theta_1$$

entonces



$$\iint_R f(x,y) dA = \int_{\theta_0}^{\theta_1} \int_0^{\varphi_1(\theta)} f(r\cos(\theta), r\sin(\theta)) r dr d\theta$$

Nota. En este caso, el cambio de variable es invertible **en el interior** de la región ($r > 0$) y además aquí el Jacobiano no se anula, así que no afecta que $r = 0$.

Nota. Las fórmulas anteriores requieren conocer de manera correcta el intervalo de integración. En algunas curvas en coordenadas polares se requiere ser especialmente cuidadoso con este detalle, sobre todo las curvas que tienen lazos. Si una región está entre dos curvas, hay que tener el cuidado de que las dos curvas “barren” la región en el mismo intervalo para el ángulo θ .

5.5.1 Coordenadas polares y elipses

Para regiones elípticas se puede proceder de la siguiente manera: La región $R = \left\{ (x,y) \in \mathbb{R}^2 \mid \frac{x^2}{a^2} + \frac{y^2}{b^2} \leq 1 \right\}$ se puede convertir en un círculo centrado en el origen con el cambio de variable (“coordenadas polares generalizadas”)

$$x = ar \cos t \quad y = br \sin t; \quad \text{el Jacobiano es} \quad J = rab$$

La nueva región es $D = \{(u, v) \in \mathbb{R}^2 \mid u^2 + v^2 \leq 1\}$. La integral se puede hacer usando coordenadas polares $u = r \cos \theta$ y $v = r \sin \theta$.

Y, por supuesto, una elipse (o un círculo) con traslación se le puede aplicar una transformación previa. Por ejemplo, la región $R = \left\{ (x, y) \in \mathbb{R}^2 \mid \frac{(x-h)^2}{a^2} + \frac{(y-k)^2}{b^2} \leq 1 \right\}$ se le aplica el cambio de variable

$$u = \frac{x-h}{a}, \quad v = \frac{y-k}{b}. \quad \text{El Jacobiano es} \quad |J| = \frac{1}{ab}.$$

La nueva región es $D = \{(u, v) \in \mathbb{R}^2 \mid u^2 + v^2 \leq 1\}$. La integral se puede hacer usando coordenadas polares $u = r \cos \theta$ y $v = r \sin \theta$.

Ejemplo 5.11

 Ver con CFDPlayer

Requiere FreeCDF Player

Calcule, usando coordenadas polares, el área de la región R tal y como se muestra en la figura.

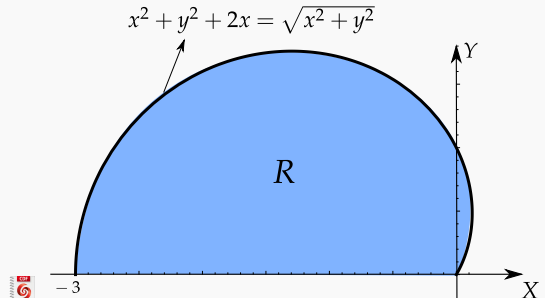
Solución: La ecuación de la curva es

$$x^2 + y^2 + 2x = \sqrt{x^2 + y^2}$$

Como $r^2 = x^2 + y^2$, haciendo la conversión a coordenadas polares obtenemos la ecuación

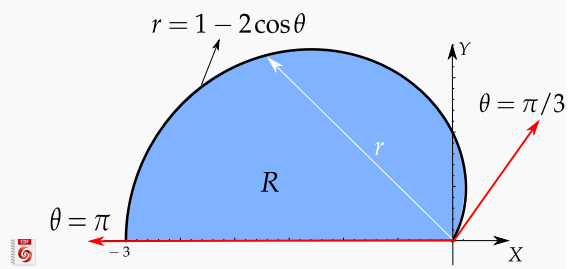
$$r^2 + 2r \cos \theta = r,$$

es decir, $r = 1 - 2 \cos \theta$



Tangentes al polo: Resolvemos $r = 0 \implies 1 - 2 \cos \theta = 0 \implies \theta = \pm \pi/3$ en $[0, 2\pi]$. Así, la región está entre los rayos $\theta = \pi/3$ y $\theta = \pi$. Entonces,

$$\begin{aligned} A_R &= \iint_R 1 \cdot r dr d\theta \\ &= \int_{\pi/3}^{\pi} \int_0^{1-2\cos\theta} 1 \cdot r dr d\theta \\ &= \frac{1}{4} (2\pi - 3\sqrt{3}) \end{aligned}$$



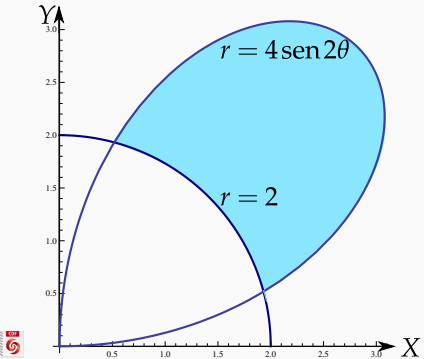
Ejemplo 5.12

 Ver con CFDPlayer

Requiere FreeCDF Player

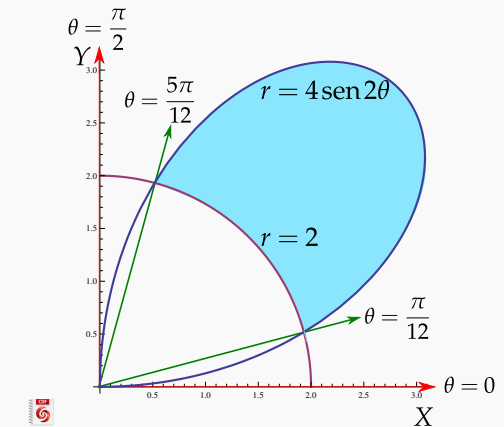
Considera la región R que se muestra en la figura. Calcula, usando coordenadas polares,

$$I = \iint_R \sqrt{x^2 + y^2} dA.$$



Solución: La región está entre las curvas $r = 2$ y $r = 4 \operatorname{sen} 2\theta$. Como $r = 0 \implies r = \operatorname{sen} 2\theta = 0 \implies \theta = 0$ y $\theta = \frac{\pi}{2}$. Podemos verificar con la figura que el dominio de la curva $r = 4 \operatorname{sen} 2\theta$ es $[0, \pi/2]$.

Para obtener los límites de integración, buscamos la intersección entre las curvas: $r = 2 \cap r = 4 \operatorname{sen} 2\theta$, es decir,



$$2 = 4 \operatorname{sen} 2\theta \implies \theta = \frac{\pi}{12} \text{ y } \theta = \frac{5\pi}{12}.$$

Entonces,

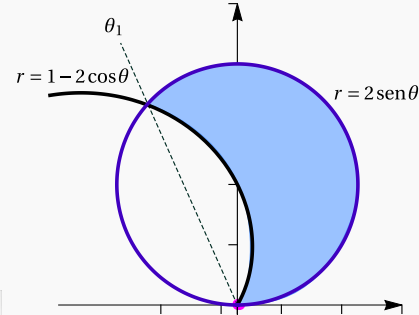
$$\begin{aligned} I &= \iint_R r \cdot r dr d\theta \\ &= \int_{\pi/12}^{5\pi/12} \int_2^{4 \operatorname{sen} 2\theta} r^2 dr d\theta \end{aligned}$$

Ejemplo 5.13
 Ver con CDFPlayer

Calcule $I = \iint_R xy dA$ si R es la región limitada por las curvas $r = 1 - 2\cos\theta$ y $r = 2\sin\theta$, tal y como se muestra en la figura.

Solución: Ambas curvas “barren” la región R en el mismo intervalo!. La región de integración llega hasta la intersección de las curvas en $\theta = \theta_1$.

Requiere FreeCDF Player



- **Tangentes al polo:**

$$\begin{cases} 1 - 2\cos\theta = 0 & \Rightarrow \theta = \frac{\pi}{3} \\ 2\sin\theta = 0 & \Rightarrow \theta = 0 \end{cases}$$

- Cálculo de θ_1 :

$$1 - 2\cos\theta = 2\sin(\theta),$$

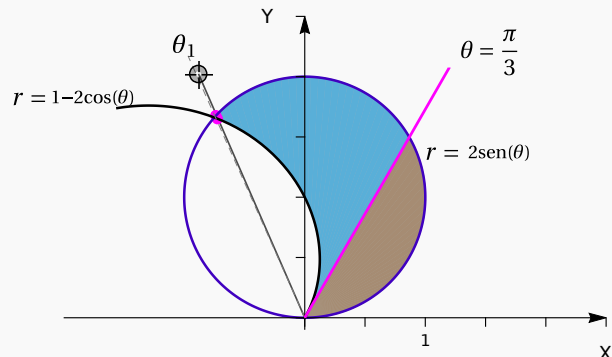
elevamos al cuadrado,

$$-3 - 4\cos\theta + 8\cos^2\theta = 0,$$

hacemos sustitución y resolvemos,

$$\cos\theta = \frac{4 \pm \sqrt{112}}{16}$$

Nos sirve $\theta_1 = \arccos\left(\frac{4-\sqrt{112}}{16}\right) \approx 1.994$



$$\begin{aligned} I &= \iint_R xy dA \\ &= \int_0^{\pi/3} \int_0^{2\sin(\theta)} [r\cos(\theta) r\sin(\theta)] \cdot r dr d\theta \\ &\quad + \int_{\pi/3}^{\theta_1} \int_{1-2\cos(\theta)}^{2\sin(\theta)} r^3 \cos(\theta) \sin(\theta) dr d\theta \end{aligned}$$

Ejemplo 5.14

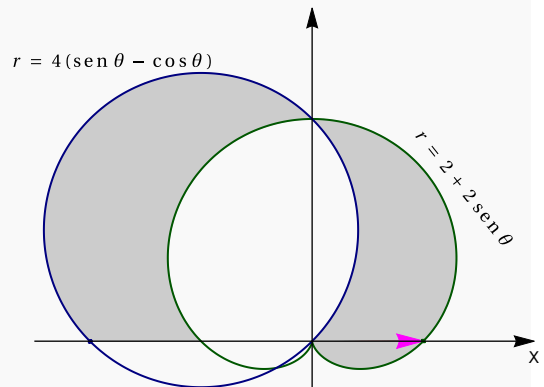
Calcule, usando coordenadas polares, el área de la región R tal y como se muestra en la figura.

Solución: Hay varias regiones: $R = R_1 + R_2 + R_3 + R_4$

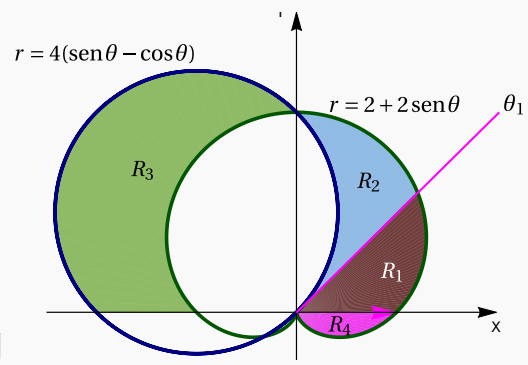
Tangentes al polo:

- $4(\sin \theta - \cos \theta) = 0 \implies \tan \theta = 1 \implies \theta = \frac{\pi}{4}$

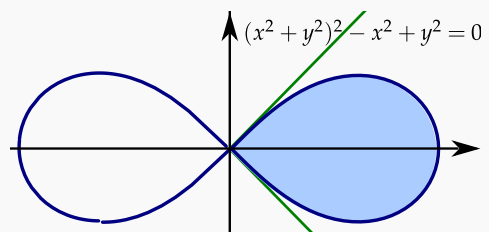
- $2 + 2\sin \theta = 0 \implies \theta = \frac{3\pi}{2}$



$$\begin{aligned} A_R &= A_{R_1} + A_{R_2} + A_{R_3} + A_{R_4} \\ &= \iint_{R_1} 1 \cdot dA + \iint_{R_2} 1 \cdot dA + \iint_{R_3} 1 \cdot dA + \iint_{R_4} 1 \cdot dA \\ &= \int_0^{\pi/4} \int_0^{2+2\sin\theta} 1 \cdot r dr d\theta + \int_{\pi/4}^{\pi/2} \int_{4(\sin\theta-\cos\theta)}^{2+2\sin\theta} 1 \cdot r dr d\theta \\ &\quad + \int_{\pi/2}^{\pi} \int_{2+2\sin\theta}^{4(\sin\theta-\cos\theta)} 1 \cdot r dr d\theta + \int_{3\pi/2}^{2\pi} \int_0^{2+2\sin\theta} 1 \cdot r dr d\theta \end{aligned}$$

**Ejemplo 5.15**

Calcular el área de la región limitada por la curva de ecuación $(x^2 + y^2)^2 - x^2 + y^2 = 0$, $x \geq 0$ (región celeste en la figura).



Solución: Haciendo el cambio de variable $x = r\cos \theta$ y $y = r\sin \theta$ y sustituyendo en $(x^2 + y^2)^2 - x^2 + y^2 = 0$, obtenemos

$$(r^2 \cos(\theta)^2 + r^2 \sin(\theta)^2)^2 - r^2 \cos(\theta)^2 + r^2 \sin(\theta)^2 = 0$$

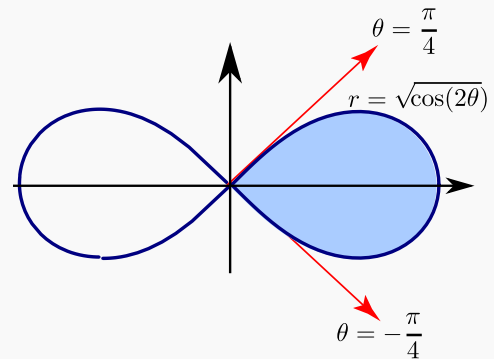
Simplificando queda $r^2 = \cos(2\theta)$, que es la ecuación de la lemniscata. Entonces podemos tomar $r = \sqrt{\cos(2\theta)}$.

Tangentes al Polo: $r = 0 \implies \sqrt{\cos(2\theta)} = 0 \implies \theta = \pm \frac{\pi}{4}$.

De la figura, podemos ver que estos rayos corresponden a los límites integración.

Luego, el área de la región es

$$A_R = \int_{-\pi/4}^{\pi/4} \int_0^{\sqrt{\cos(2\theta)}} r dr d\theta = 1/2 \int_{-\pi/4}^{\pi/4} \cos(2\theta) d\theta = 1/2.$$



Ejemplo 5.16

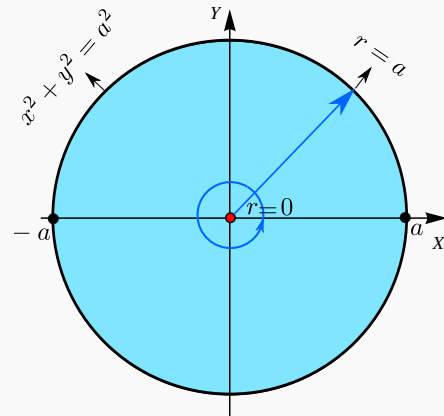
Calcular el área A_c del círculo de radio a .

Solución: Para este cálculo podemos usar un círculo de radio a , centrado en el origen. La circunferencia del círculo tiene ecuación cartesiana $x^2 + y^2 = a^2$. Para obtener la ecuación en polares, sustituimos $x = r \cos \theta$ e $y = r \sin \theta$ y despejamos r :

$$x^2 + y^2 = a^2 \implies (r \cos \theta)^2 + (r \sin \theta)^2 = a^2 \implies r^2 = a^2.$$

Así, en coordenadas polares, la región de integración va desde $r = 0$ hasta $r = a$ y $0 \leq \theta \leq 2\pi$.

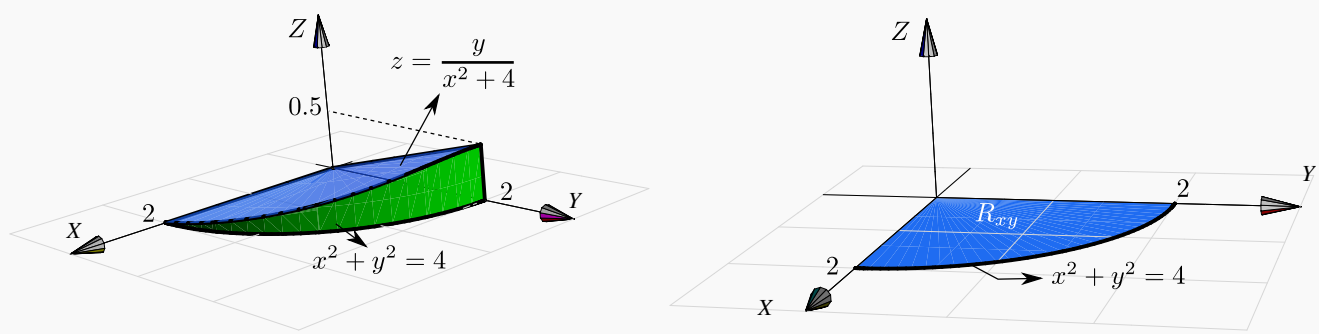
$$A_c = \iint_R 1 \cdot dA = \int_0^{2\pi} \int_0^a r dr d\theta = \int_0^{2\pi} \frac{r^2}{2} \Big|_0^a d\theta = \int_0^{2\pi} \frac{a^2}{2} d\theta = \frac{a^2}{2} \theta \Big|_0^{2\pi} = \pi a^2$$



Ejemplo 5.17 (Volumen)

Plantear una integral, en polares, para calcular el volumen del sólido Q limitado por las superficies $z = \frac{y}{x^2 + 4}$, $x^2 + y^2 = 4$ y $z = 0$ con $x \geq 0$ y $y \geq 0$.

Solución: El sólido y su proyección sobre el plano XY se ven en la figura.



Pasando a coordenadas polares tenemos

$$V_Q = \iint_R \left(\frac{y}{x^2+4} - 0 \right) dA = \int_0^{\pi/2} \int_0^2 \frac{r \sin(\theta)}{r^2 \cos^2(\theta) + 4} r dr d\theta$$

Nota: Esta última integral se puede calcular observando que

- $\int x \arctan(x) dx = \frac{1}{2} (-x + (1+x^2) \arctan x)$, salvo constantes.
- $\int_0^{\pi/2} \int_0^2 f(r, \theta) dr d\theta = \int_0^2 \int_0^{\pi/2} f(r, \theta) d\theta dr$, pues estamos integrando sobre un rectángulo.

Veamos,

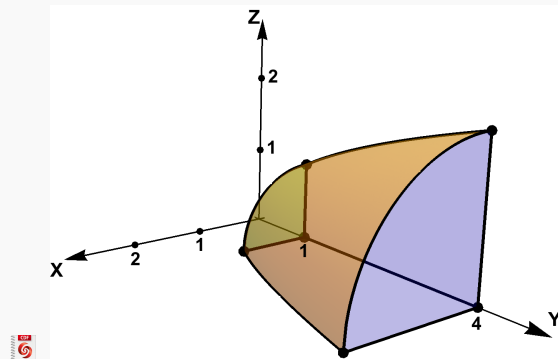
$$\begin{aligned} V_Q &= \iint_R \frac{y}{x^2+4} dA = \int_0^{\pi/2} \int_0^2 \frac{r^2 \sin(\theta)}{r^2 \cos^2(\theta) + 4} dr d\theta \\ &= \int_0^2 \int_0^{\pi/2} \frac{r^2 \sin(\theta)}{r^2 \cos^2(\theta) + 4} d\theta dr = \int_0^2 \int_0^1 \frac{r^2}{4 + r^2 u^2} du dr, \quad (\text{haciendo } u = \cos \theta). \\ &= \int_0^2 \int_0^1 \frac{r}{2} \frac{r/2}{1 + (ru/2)^2} du dr = \int_0^2 \frac{r}{2} \arctan(ru/2) \Big|_0^1 dr = \int_0^2 \frac{r}{2} \arctan(r/2) dr = \frac{1}{2}(\pi - 2). \end{aligned}$$

Ejemplo 5.18 (Volumen en coordenadas polares).

Plantee la integral (o las integrales) con las que se puede obtener el volumen del sólido Q limitado por las superficies $S_1 : y = x^2 + z^2$, $S_2 : y = 1$, $S_3 : y = 4$, en el primer octante.

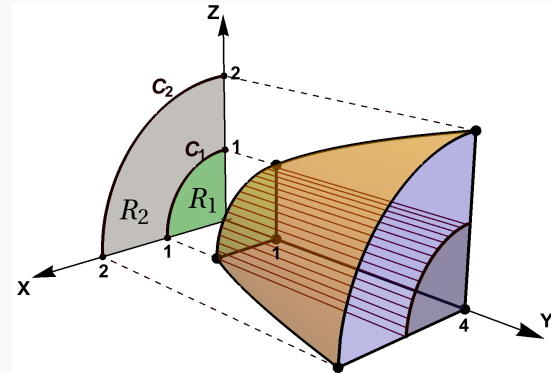
[Ver con CDFPlayer](#)

Requiere FreeCDF Player



Solución: La proyección del sólido Q es $R = R_1 + R_2$, como se muestra en la figura de la derecha. Usamos el cambio de variable $x = r\cos \theta$, $z = r\sin \theta$. La proyección del sólido Q en el plano XZ está entre las curvas $r = 0$ y $r = 1$ y entre $r = 1$ y $r = 2$.

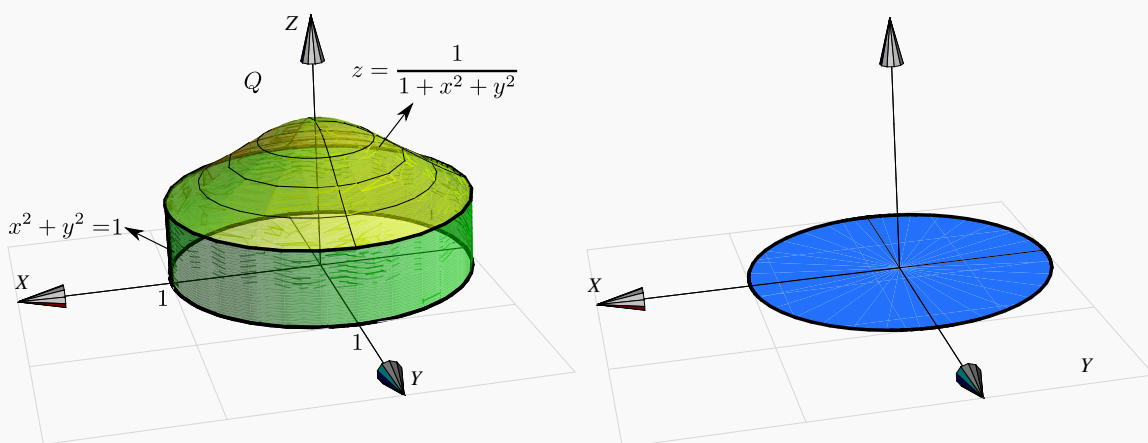
- $C_1 : y = x^2 + z^2 \cup y = 1 \implies C_1 : 1 = x^2 + z^2$
- $C_2 : y = x^2 + z^2 \cup y = 4 \implies C_2 : 4 = x^2 + z^2$



$$\begin{aligned} V_Q &= \iint_{R_1} (4 - 1) dA + \iint_{R_2} (4 - x^2 - z^2) dA \\ &= \int_0^{\pi/2} \int_0^1 (4 - 1) \color{red}{r} dr d\theta + \int_0^{\pi/2} \int_1^2 (4 - r^2) \color{red}{r} dr d\theta \end{aligned}$$

Ejemplo 5.19 (Volumen).

Calcule el volumen del sólido Q limitado por las superficies $z = \frac{1}{1+x^2+y^2}$, $x^2 + y^2 = 1$ y $z = 0$.

**Solución:**

El sólido y su proyección sobre el plano \$XY\$ se ven en la figura. El sólido \$Q\$ está limitado por \$z = \frac{1}{1+x^2+y^2}\$ y \$z = 0\$. Aplicando coordenadas polares (y como no hay singularidades) tenemos

$$V_Q = \iint_R \frac{1}{1+x^2+y^2} dA = \int_0^{2\pi} \int_0^1 \frac{1}{1+r^2} r dr d\theta = \int_0^{2\pi} \frac{1}{2} \ln(1+r^2) \Big|_0^1 d\theta = \int_0^{2\pi} \frac{1}{2} \ln(2) d\theta = \pi \ln(2)$$

Ejemplo 5.20

Calcule \$\iint_R \frac{xy}{(1+x^2+y^2)^2} dA\$ si \$R = \{(x,y) \in \mathbb{R} : x^2+y^2 \leq 1, x \geq 0, y \geq 0\}\$.

Solución: La región \$R\$ es la parte del círculo de radio 1, centrado en el origen, que está en el primer octante. Aquí usamos el hecho de que \$\int_a^b \int_p^q f(\theta)g(r) dr d\theta = \int_a^b f(\theta) d\theta \cdot \int_p^q g(r) dr\$.

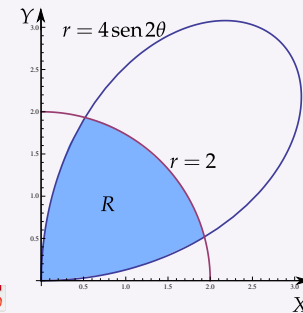
$$\begin{aligned} \iint_R \frac{xy}{(1+x^2+y^2)^2} dA &= \int_0^{\pi/2} \int_0^1 \frac{r^3 \cos \theta \sin \theta}{(1+r^2)^2} dr d\theta \\ &= \int_0^{\pi/2} \cos \theta \sin \theta d\theta \cdot \int_0^1 \frac{r^3}{(1+r^2)^2} dr = \frac{1}{8} \ln 4 - \frac{1}{8} \end{aligned}$$

20

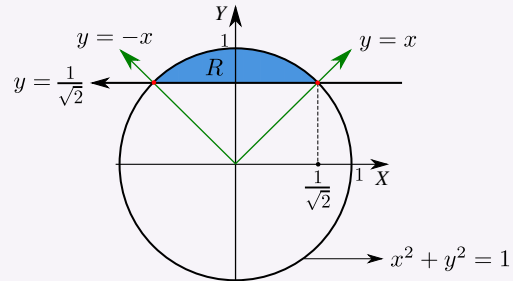
Ejercicios

- 5.5.1** Considerate la región R que se muestra en la figura. Calcule, usando coordenadas polares,

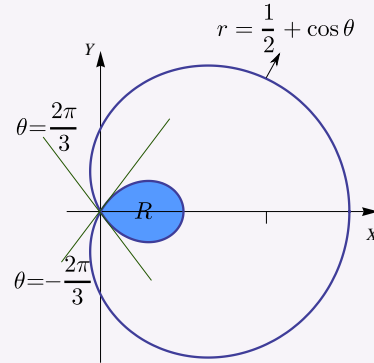
$$I = \iint_R (x^2 + y^2) dA.$$



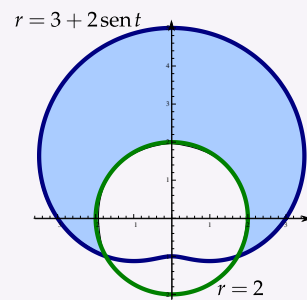
- 5.5.2** Considerate la región R de la figura. Calcular el área A_R de la región R , usando coordenadas polares.



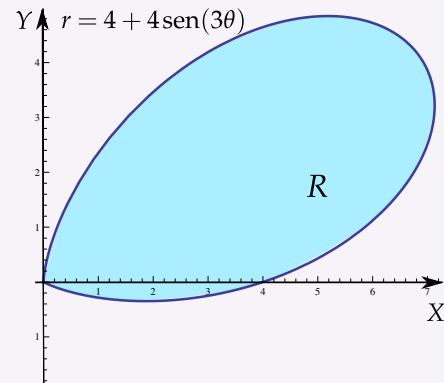
- 5.5.3** Calcular el área de la región limitada por el lazo de la curva $r = 1/2 + \cos \theta$. **Ayuda:** Notar que el lazo interno va de $\theta = 2\pi/3$ a $\theta = 4\pi/3$.



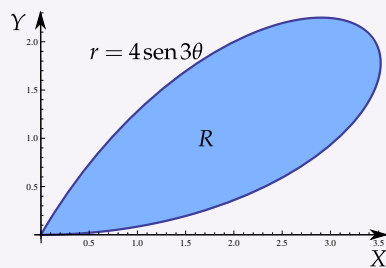
- 5.5.4** Verifique, usando coordenadas polares, que el área de la región R (región sombreada mostrada en la figura) es $\frac{11\sqrt{3}}{2} + \frac{14\pi}{3} \approx 24.187$.



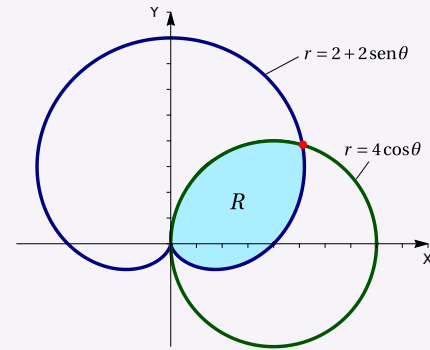
5.5.5 Calcule, usando coordenadas polares, el área de la región R tal y como se muestra en la figura.



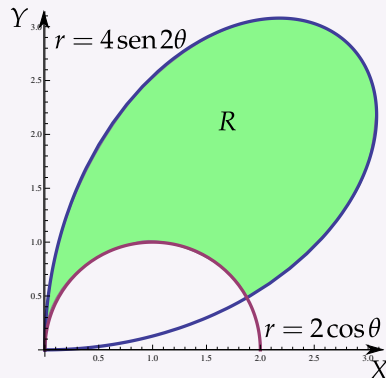
5.5.6 Calcular el área de las regiones sombreadas.



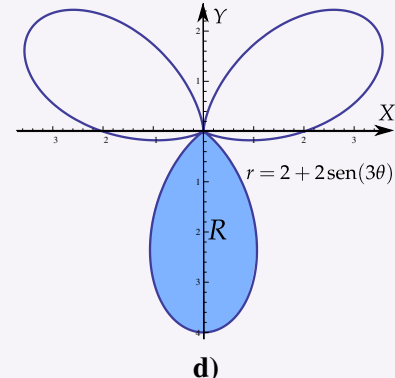
a)



b)

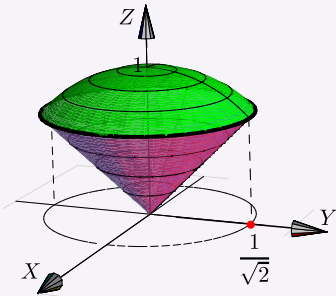


c)

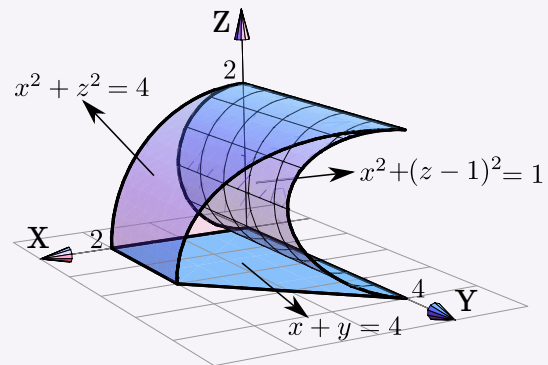


d)

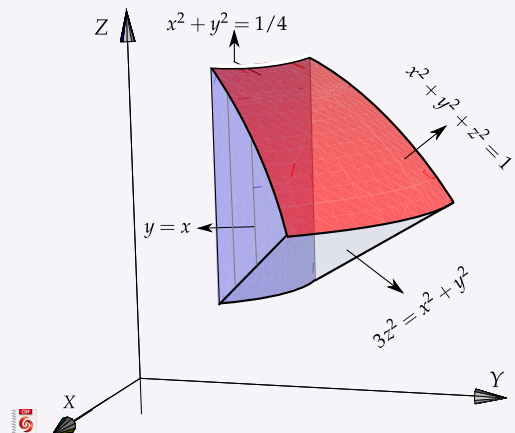
- 5.5.7 Calcule, usando coordenadas polares, el volumen del sólido Q limitado por el cono $z^2 = x^2 + y^2$ y la esfera $x^2 + y^2 + z^2 = 1$.



- 5.5.8 Calcule el volumen del sólido Q limitado por las superficies $x^2 + z^2 = 4$, $x^2 + (z - 1)^2 = 1$ y $x = 4 - y$, en el primer octante; como se muestra en la figura. Ayuda: Proyectar sobre XZ y usar coordenadas polares.



- 5.5.9 Considere el sólido Q limitado por el cilindro $x^2 + y^2 = 1/4$, el cono $3z^2 = x^2 + y^2$, la esfera $x^2 + y^2 + z^2 = 1$ y los planos $x = 0$ y $x = y$; tal y como se muestra en la figura. Calcular el volumen del sólido Q



- 5.5.10 Calcular el área A_R de la región elíptica $R = \left\{ (x, y) \in \mathbb{R}^2 \mid \frac{x^2}{a^2} + \frac{y^2}{b^2} \leq 1 \right\}$.

- 5.5.11 Calcular $\iint_R (x - 1)^2 dA$ donde $R = \left\{ (x, y) \in \mathbb{R}^2 \mid \frac{(x-1)^2}{9} + \frac{y^2}{25} \leq 1 \right\}$.

- 5.5.12 Usando el cambio de variable $x = u^2 - v^2$, $y = 2uv$, calcular $I = \iint_T xy dA$ donde T es el rectángulo de vértices $(1, 1)$, $(2, 1)$, $(2, 3)$ y $(1, 3)$.

- 5.5.13 Calcule $\iint_T e^{(x+y)/(x-y)} dA$ usando el cambio de variable $u = x + y$, $v = x - y$; donde T es el trapecio de

vértices $(1,0)$, $(2,0)$, $(0,-2)$ y $(0,-1)$.

Ejercicio 5.5.14 Calcule $\iint_T \cos\left(\frac{y-x}{y+x}\right) dA$ donde T es el trapecio de vértices $(1,0)$, $(2,0)$, $(0,2)$ y $(0,1)$. **Ayuda:** Usar cambio de variable $u = y - x$, $v = y + x$.

Ejercicio 5.5.15 Calcule $\iint_T xy dA$ donde T es la región limitada por $y = x$, $y = 3x$, $xy = 1$ y $xy = 3$; en el primer cuadrante. Use el cambio de variable $x = u/v$ y $y = v$.

5.6 Integral triple.

Consideremos un cubo Q como el de la figura a la derecha. Su volumen es $V_Q = abc$. Si la densidad ρ es constante en todo el cubo, la masa viene dada por

$$M_Q = \rho V_Q$$

Si la densidad no es constante y $\rho = \rho(x, y, z)$, entonces para obtener una aproximación de la masa, dividimos Q en N cubos Q_i de volumen

$$\Delta V_i = \Delta x_i \Delta y_i \Delta z_i.$$

Así, la densidad en el punto $P_i(x_i, y_i, z_i)$ es

$$\Delta M_i \approx \rho(x_i, y_i, z_i) \Delta x_i \Delta y_i \Delta z_i.$$

La masa total del cubo Q sería,

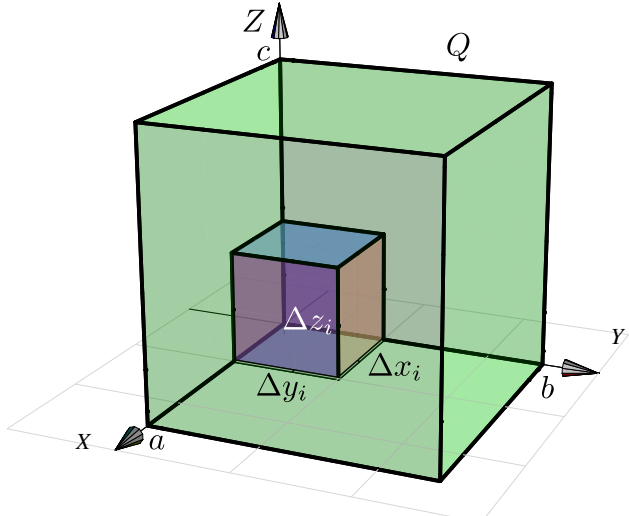
$$M \approx \sum_{i=1}^N \Delta M_i = \sum_{i=1}^N \rho(x_i, y_i, z_i) \Delta x_i \Delta y_i \Delta z_i$$

Ahora, tomando el límite cuando $N \rightarrow \infty$ (si existe), obtenemos

$$M = \lim_{N \rightarrow \infty} \sum_{i=1}^N \rho(x_i, y_i, z_i) \Delta x_i \Delta y_i \Delta z_i$$

Esto es muy parecido a la integral de Riemann que definimos al principio de este capítulo. En realidad podemos reemplazar la malla M_R por $M_Q = \{Q_1, Q_2, \dots, Q_N\}$ y definir la integral triple de Riemann de una función $f(x, y, z)$ sobre una región tridimensional Q como

$$\iiint_Q f(x, y, z) dV = \lim_{||M_Q|| \rightarrow \infty} \sum_{i=1}^{C(M_Q)} f(x_i, y_i, z_i) \Delta V_i$$



Los teoremas para integral doble se extienden de manera natural a la integral triple.

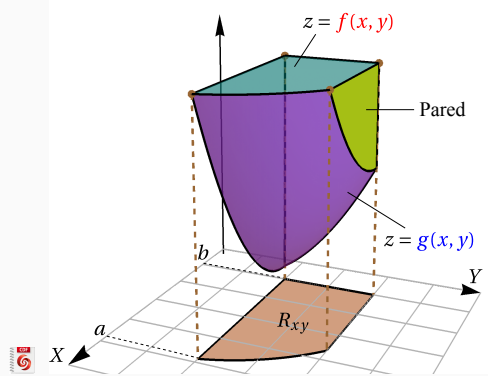
(Integral Triple).

Sea Q un sólido limitado por dos superficies suaves de ecuación $z = f(x, y)$ (arriba) y $z = g(x, y)$ (abajo), con f, g con derivadas parciales continuas. Sea R_{xy} su proyección, limitada por funciones con derivadas continuas. Si $h(x, y, z)$ es continua sobre Q , entonces

 Ver con CFDPlayer

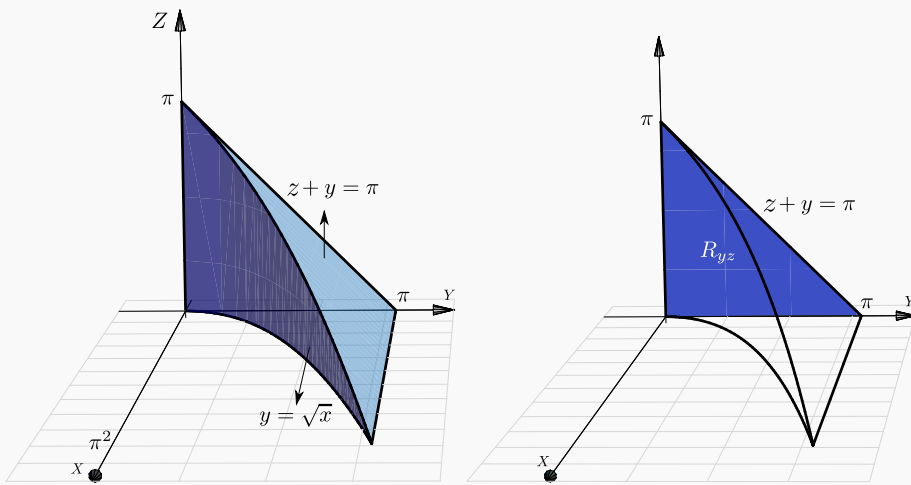
$$\iiint_Q h(x, y, z) dV = \iint_{R_{xy}} \left[\int_{g(x,y)}^{f(x,y)} h(x, y, z) dz \right] dA$$

$$\text{En particular, } V_Q = \iiint_Q 1 \cdot dV = \iint_{R_{xy}} \int_{g(x,y)}^{f(x,y)} 1 dz dA$$



Ejemplo 5.21

Calcular, usando el orden “ $dxdzdy$ ”, $I = \iiint_Q 2x \cos(y+z) dV$ con Q el sólido limitado por las superficies (ver figura) $y+z=\pi$, $y=\sqrt{x}$, $x=z=0$



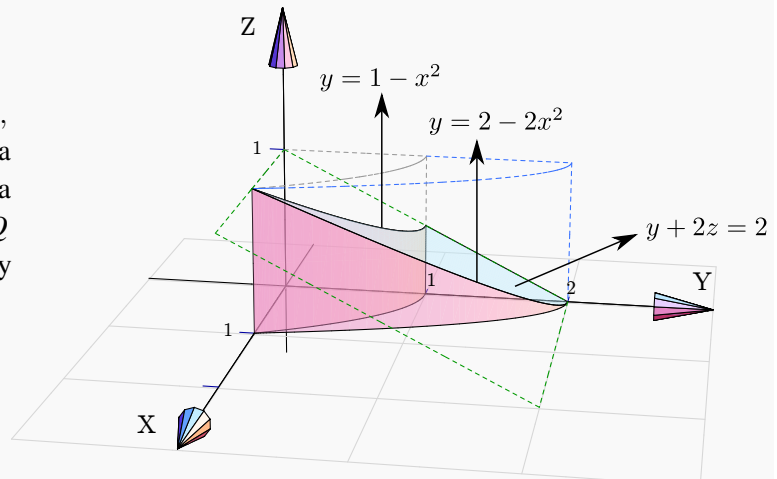
Solución: Por el orden de integración que se pide, debemos proyectar sobre el plano YZ .

Usaremos la integral $\int y^4 \operatorname{sen} y dy = -(24 - 12y^2 + y^4) \cos y + 4y(-6 + y^2) \sin y + K$, que se calcula “por partes”. El sólido Q está entre $x = 0$ y $x = y^2$.

$$\begin{aligned}
 \iiint_Q 2x \cos(y+z) dV &= \int_0^\pi \int_0^{\pi-y} \left[\int_0^{y^2} 2x \cos(y+z) dx \right] dz dy \\
 &= \int_0^\pi \int_0^{\pi-y} x^2 \cos(y+z) \Big|_0^{y^2} dz dy \\
 &= \int_0^\pi \int_0^{\pi-y} y^4 \cos(y+z) dz dy \\
 &= \int_0^\pi y^4 \sin(y+z) \Big|_0^{\pi-y} dy \\
 &= \int_0^\pi -y^4 \sin(y) dy = -48 + 12\pi^2 - \pi^4
 \end{aligned}$$

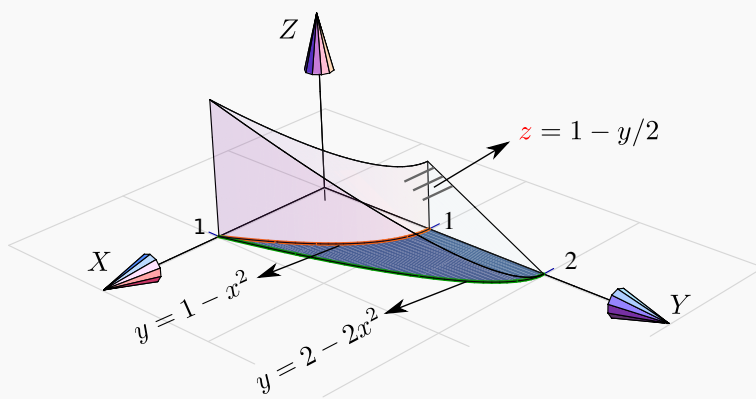
Ejemplo 5.22

Considere el sólido Q limitado por $z = 0$, $y+2z = 2$, $x = 0$ y $y = 1 - x^2$ tal y como se muestra en la figura. Usando integral triple, *Plantear* las integrales necesarias para calcular el volumen de Q proyectando en cada uno de los planos XY , YZ y XZ .



Solución:

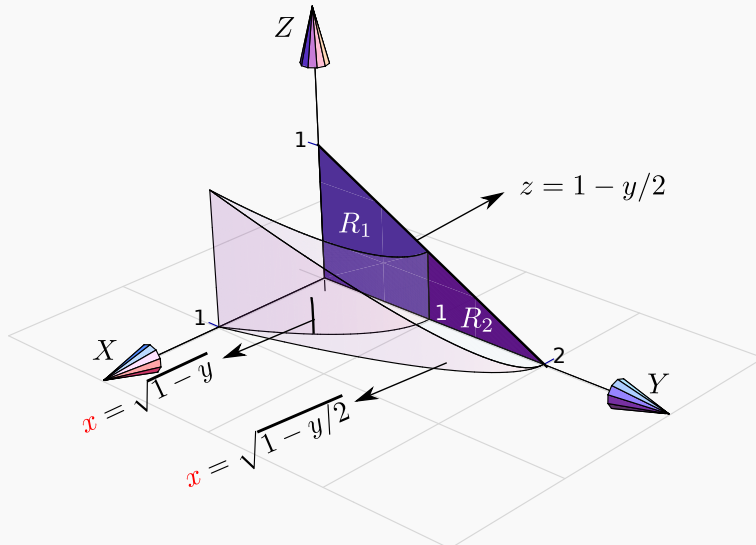
Proyectando sobre XY . La región de integración R_{xy} está entre las curvas $y = 1 - x^2$ y $y = 2 - 2x^2$ y en esta región el sólido está entre $z = 0$ y $z = 1 - y/2$.



$$V_Q = \int_0^1 \int_{1-x^2}^{2-2x^2} \left[\int_0^{1-y/2} 1 dz \right] dy dx$$

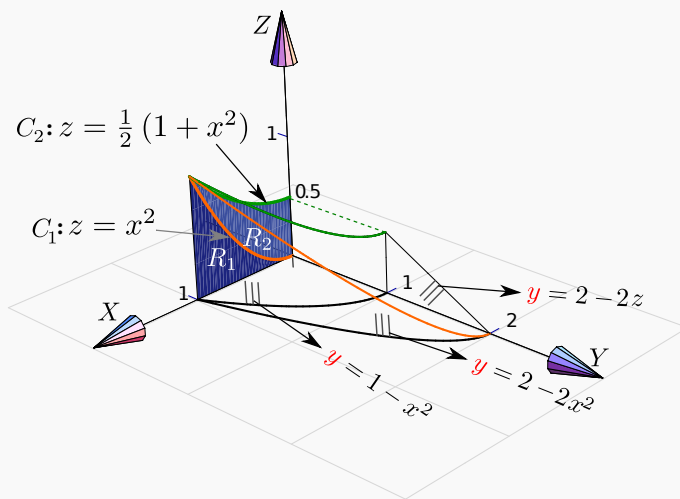
Proyectando sobre YZ. La región de integración es $R_{yz} = R_1 + R_2$. La región R_1 está entre las rectas $z = 0$ y $z = 1 - y/2$ y el sólido está entre $x = \sqrt{1-y}$ y $x = \sqrt{1-y/2}$.

La región R_2 está entre las rectas $z = 0$ y $z = 1 - y/2$ y en esta región el sólido está entre $x = 0$ y $x = \sqrt{1-y/2}$.



$$V_Q = \int_0^1 \int_0^{1-y/2} \left[\int_{\sqrt{1-y}}^{\sqrt{1-y/2}} 1 dx \right] dz dy + \int_1^2 \int_0^{1-y/2} \left[\int_0^{\sqrt{1-y/2}} 1 dx \right] dz dy$$

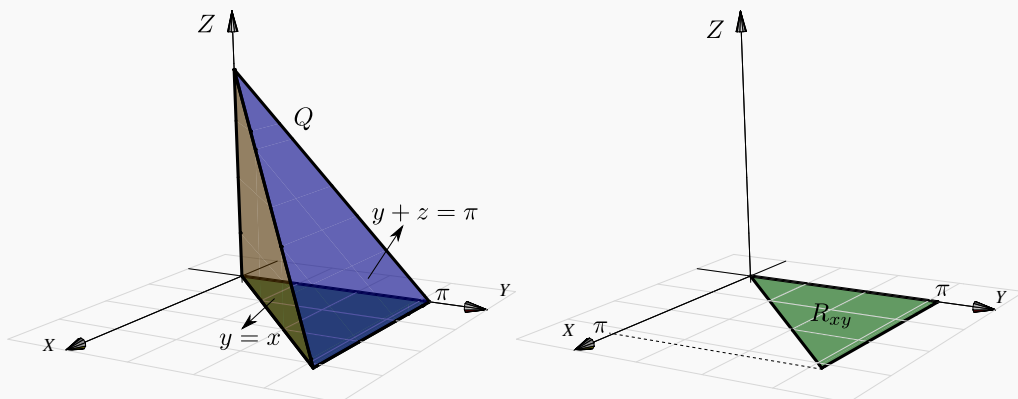
Proyectando sobre XZ. $R_{xz} = R_1 + R_2$. La curva C_1 que divide ambas regiones es la curva de intersección entre $y = 2 - 2z$ y $y = 2 - 2x^2$. Igualando obtenemos $C: z = x^2$. La curva C_2 se obtiene como la intersección de $y = 1 - x^2$ y $y = 2 - 2z$. Entonces $C_2: z = (1+x^2)/2$.



$$V_Q = \int_0^1 \int_0^{x^2} \left[\int_{1-x^2}^{2-2x^2} 1 dy \right] dz dx + \int_0^1 \int_{x^2}^{\frac{1}{2}(1+x^2)} \left[\int_{1-x^2}^{2-2z} 1 dy \right] dz dx$$

Ejemplo 5.23

Calcular $\iiint_Q x \cos(y+z) dV$ con Q el sólido limitado por $y+z=\pi$, $y=x$, $x=z=0$

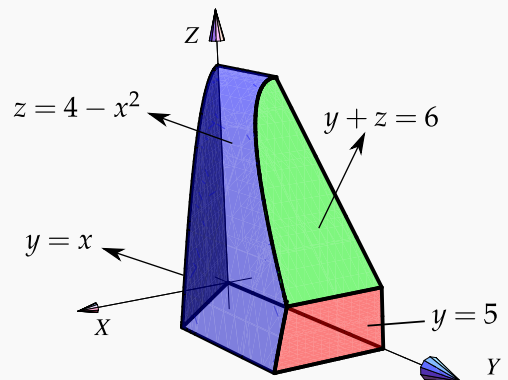


Solución: Para calcular esta integral triple vamos a necesitar la integral $\int x \cos x dx = \cos x + x \sin x + K$ (se calcula “por partes”.) El sólido Q está entre las superficies $z=0$ y $z=\pi-y$.

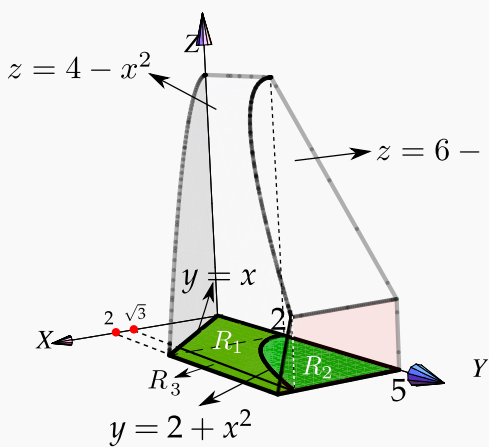
$$\begin{aligned}
 \iiint_Q x \cos(y+z) dV &= \int_0^\pi \int_x^\pi \left[\int_0^{\pi-y} x \cos(y+z) dz \right] dy dx \\
 &= \int_0^\pi \int_x^\pi x \sin(y+z)|_0^{\pi-y} dy dx = \int_0^\pi \int_x^\pi -x \sin(y) dy dx = 2 - \frac{\pi^2}{2}
 \end{aligned}$$

Ejemplo 5.24

Considere el sólido Q limitado por $z = 4 - x^2$, $y + z = 6$, $y = x$, $y = 5$, $z = 0$ y $x = 0$, como se muestra en la figura. Usando integral triple, *plantear* las integrales necesarias para calcular el volumen de Q proyectando en cada uno de los planos XY , YZ y XZ .



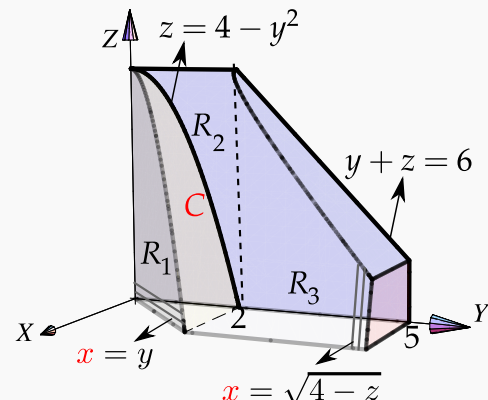
Proyectando sobre el plano XY . La región de integración es $R_{xy} = R_1 + R_2 + R_3$. La curva C divide las regiones R_1 y R_2 y la recta $x = \sqrt{3}$ divide la región R_1 y la región R_3 . La curva C es la proyección de la curva de intersección entre las superficies $z + y = 6$ y $z = 4 - x^2$, es decir, $C : y = 2 + x^2$. La región R_1 está entre $y = x$ y $y = 2 + x^2$, la región R_2 está entre $y = 2 + x^2$ y $y = 5$ y la región R_3 está entre $y = x$ y $y = 5$.



$$\begin{aligned}
 V_Q &= \iint_{R_1} dV + \iint_{R_2} dV + \iint_{R_3} dV \\
 &= \int_0^{\sqrt{3}} \int_x^{2+x^2} \left[\int_0^{4-x^2} 1 dz \right] dy dx \\
 &\quad + \int_0^{\sqrt{3}} \int_{2+x^2}^5 \left[\int_0^{6-y} 1 dz \right] dy dx \\
 &\quad + \int_{\sqrt{3}}^2 \int_x^5 \left[\int_0^{4-x^2} 1 dz \right] dy dx
 \end{aligned}$$

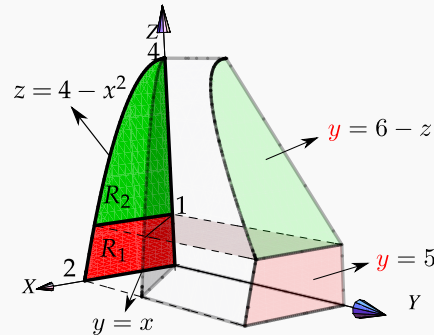
Proyectando sobre el plano YZ . La curva C es la proyección de la curva de intersección entre las superficies $y = x$ y $z = 4 - x^2$, es decir, $C : z = 4 - y^2$.

$$\begin{aligned} V_Q &= \int_0^2 \int_0^{4-y^2} \left[\int_0^y 1 dz \right] dy \\ &+ \int_0^2 \int_{4-y^2}^4 \left[\int_0^{\sqrt{4-z}} 1 dz \right] dy \\ &+ \int_2^5 \int_0^{6-y} \left[\int_0^{\sqrt{4-z}} 1 dz \right] dy \end{aligned}$$



Proyectando sobre el plano XZ .

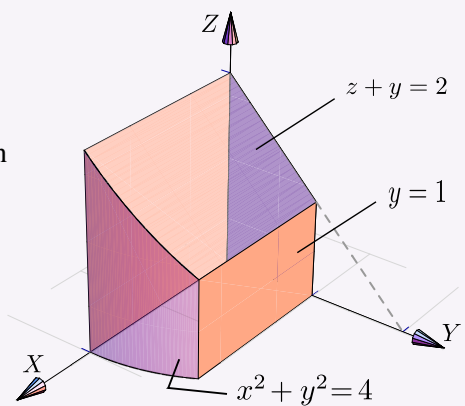
$$\begin{aligned} V_Q &= \int_0^1 \int_0^{\sqrt{4-z}} \left[\int_x^5 1 dy \right] dx dz + \int_1^4 \int_0^{\sqrt{4-z}} \left[\int_x^{6-z} 1 dy \right] dx dz \\ V_Q &= \frac{68}{3} - \frac{12\sqrt{3}}{5}. \end{aligned}$$



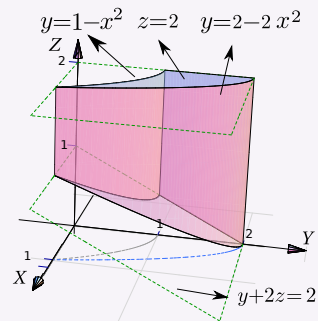
21

Ejercicios

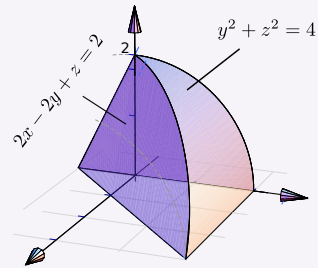
5.6.1 Plantear la o las integrales triples necesarias para calcular el volumen del sólido Q si este sólido está limitado por $x^2 + y^2 = 4$; $z + y = 2$; $y = 1$; $x = 0$; $y = 0$ y $z = 0$, en el I octante



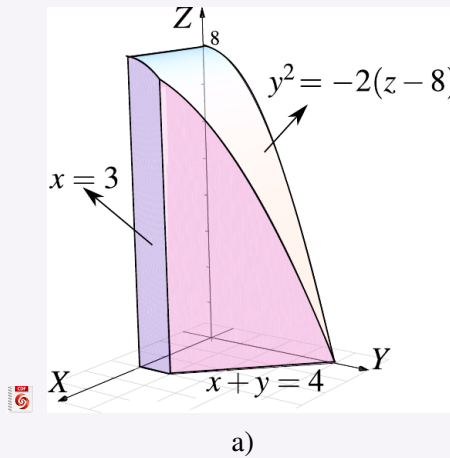
5.6.2 Plantear la o las integrales triples necesarias para calcular el volumen del sólido Q si este sólido está limitado por las superficies $y = 1 - x^2$; $y = 2 - 2x^2$; $y + 2z = 2$; $x = 0$, en el I octante.



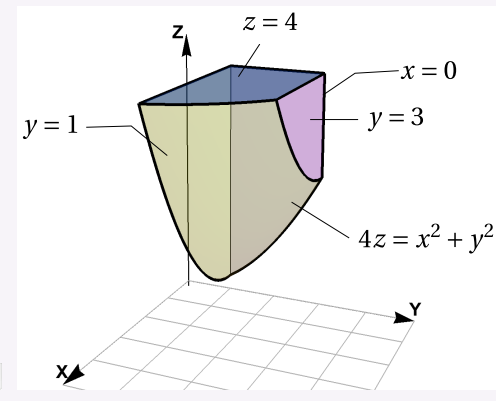
5.6.3 Plantear la o las integrales triples necesarias para calcular el volumen sólido Q si este sólido está limitado por la superficie $y^2 + z^2 = 4$ y los planos $2x - 2y + z = 2$; $x = 0$ y $z = 0$.



5.6.4 Calcular el volumen $\iiint_Q 1 \cdot dV$ de los sólidos que siguen a continuación,



a)



b)

5.7 Cambio de variables en integral triple.

La versión del teorema de cambio de variable para integrales triples es la siguiente,

Teorema 5.4 (Cambio de variable).

Sea Q una región acotada en \mathbb{R}^3 cuya frontera consiste de un número finito de superficies suaves. Supongamos que Q está contenido en un conjunto abierto U y sea $L(u, v, w) = (x(u, v, w), y(u, v, w), z(u, v, w))$ un cambio de

variable de U en \mathbb{R}^3 invertible en el interior de Q y con derivadas parciales continuas. Sea f una función continua

y acotada sobre $L(Q)$ y sea $J(u, v, w) = \text{Det} \begin{pmatrix} \frac{\partial x}{\partial u} & \frac{\partial x}{\partial v} & \frac{\partial x}{\partial w} \\ \frac{\partial y}{\partial u} & \frac{\partial y}{\partial v} & \frac{\partial y}{\partial w} \\ \frac{\partial z}{\partial u} & \frac{\partial z}{\partial v} & \frac{\partial z}{\partial w} \end{pmatrix}$ no nulo en el interior de Q , entonces

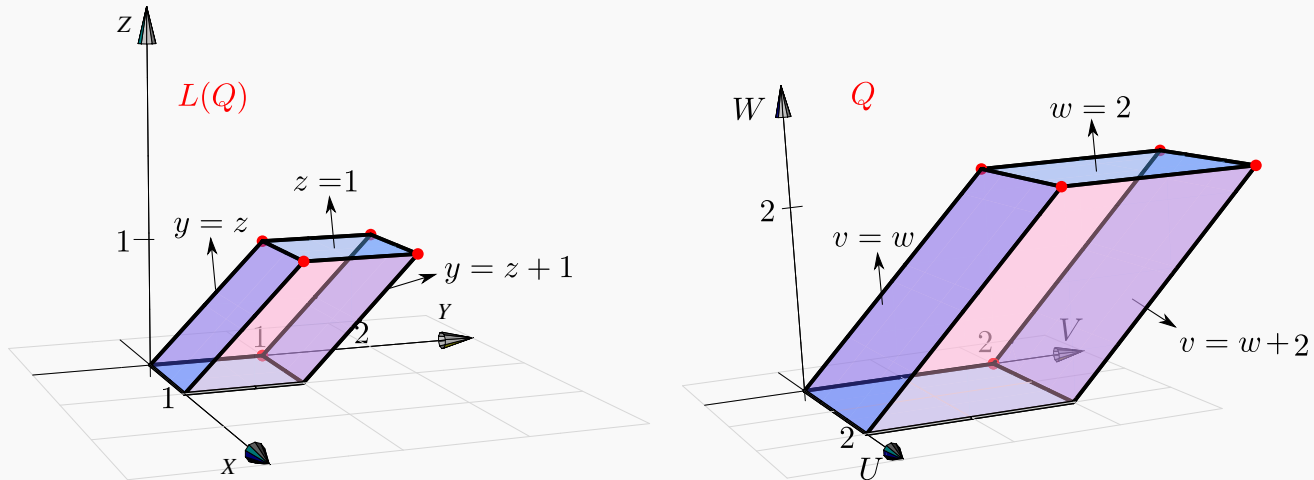
$$\iiint_Q f(L(u, v, w)) |J(u, v, w)| du dv dw = \iiint_{L(Q)} f(x, y, z) dx dy dz$$

Ejemplo 5.25 (Volumen de un Paralelepípedo).

Consideremos un paralelepípedo Q generado por los vectores $A = (2, 0, 0)$, $B = (0, 2, 2)$ y $C = (0, 2, 0)$. Como se sabe del álgebra lineal, el volumen de Q es $V_Q = |\text{Det}(A B C)| = 8$. Si $L : \mathbb{R}^3 \rightarrow \mathbb{R}^3$ es una transformación lineal, entonces el paralelepípedo generado por $L(A), L(B)$ y $L(C)$, el cual denotamos con $L(Q)$, tiene volumen

$$V_{L(Q)} = |\text{Det}(L)| V_Q = |\text{Det}(L)| \cdot 8.$$

Verifiquemos en este caso el teorema de cambio de variable aplicando al sólido Q de la figura, la transformación lineal $L(u, v, w) = (u/2, v/2, w/2)$.



$$V_{L(Q)} = \int_0^1 \int_z^{z+1} \int_0^1 1 \cdot dx dy dz = 1 \quad y \quad V_Q = \int_0^2 \int_w^{w+2} \int_0^2 1 du dv dw = 8$$

Ahora, como una verificación, calculamos $V_{L(Q)}$ aplicando un cambio de variable. Sea $x = u/2$, $y = v/2$, $z = w/2$ sobre Q , obtenemos el nuevo sólido $L(Q)$. En este caso,

$$J(u, v, w) = \begin{pmatrix} 1/2 & 0 & 0 \\ 0 & 1/2 & 0 \\ 0 & 0 & 1/2 \end{pmatrix} = \frac{1}{8},$$

y entonces, por el teorema de cambio de variable,

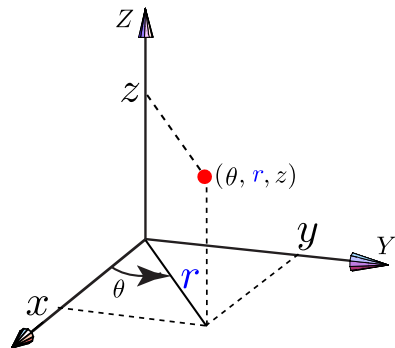
$$\begin{aligned} V_{L(Q)} &= \iint_{R_{vw}} \left[\int_0^2 1 \cdot |J(u, v, w)| dw \right] du dv \\ &= \int_0^2 \int_w^{w+2} \left[\int_0^2 1 \cdot \left| \frac{1}{8} \right| dw \right] du dv = \frac{1}{8} \cdot 8 = 1. \end{aligned}$$

5.8 Coordenadas cilíndricas.

Las coordenadas cilíndricas se usan para describir regiones que son simétricas respecto a alguno de los ejes. La posición de un punto $P(x, y, z)$ en el espacio está determinada por los números r, θ, z donde (r, θ) son las coordenadas polares del punto (x, y) .

Si integramos proyectando sobre el plano XY , el cambio de variable es

$$\begin{cases} x = r \cos \theta \\ y = r \sin \theta, \quad \text{además} \\ z = z \end{cases} \quad |J(r, \theta, z)| = \left| \begin{pmatrix} \cos \theta & -r \sin \theta & 0 \\ \sin \theta & r \cos \theta & 0 \\ 0 & 0 & 1 \end{pmatrix} \right| = r$$



Como $J(r, \theta, z) = r$ entonces el cambio de variable es invertible si $r \neq 0$. Entonces, si se cumplen las condiciones del teorema de cambio de variable,

(Coordenadas Cilíndricas).

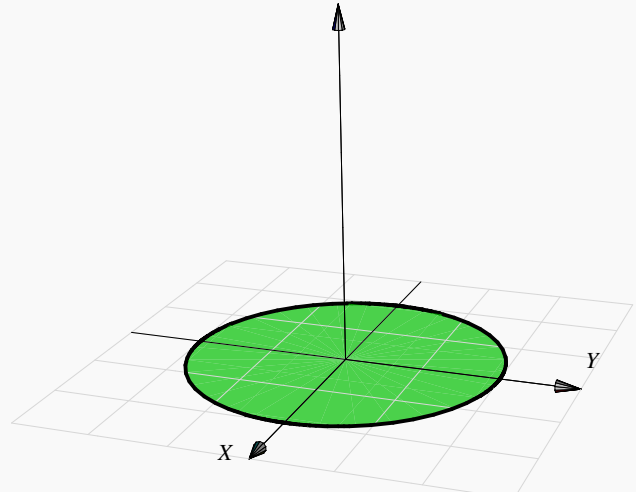
$$\iiint_Q h(x, y, z) dV = \iint_{R_{r\theta}} \left[\int_{g(r \cos \theta, r \sin \theta)}^{f(r \cos \theta, r \sin \theta)} h(r \cos \theta, r \sin \theta, z) dz \right] r dr d\theta$$

Ejemplo 5.26

Verifique que el volumen de un cilindro recto Q de radio a y altura h , es $V = \pi a^2 h$.

Solución: Q es el cilindro $x^2 + y^2 = a^2$ limitado por $z = 0$ y $z = h$. La proyección sobre el plano XY es el círculo $x^2 + y^2 = a^2$.

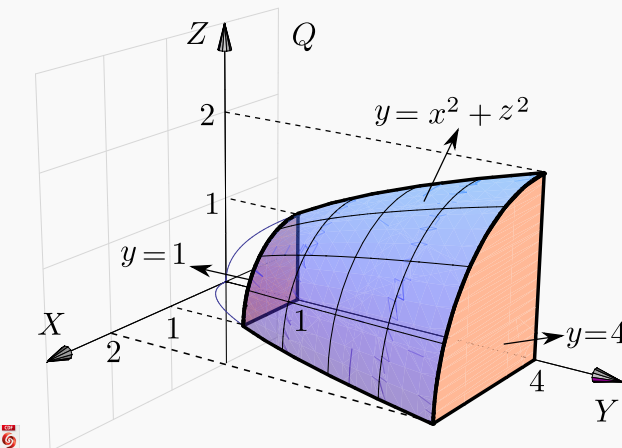
$$\begin{aligned} V &= \iiint_Q dV \\ &= \int_0^{2\pi} \int_0^a \left[\int_0^h r dz \right] dr d\theta \\ &= \int_0^{2\pi} \int_0^a rh dr d\theta \\ &= \int_0^{2\pi} \frac{a^2}{2} h d\theta = \frac{a^2}{2} h \theta \Big|_0^{2\pi} = \pi a^2 h \end{aligned}$$

**Ejemplo 5.27**

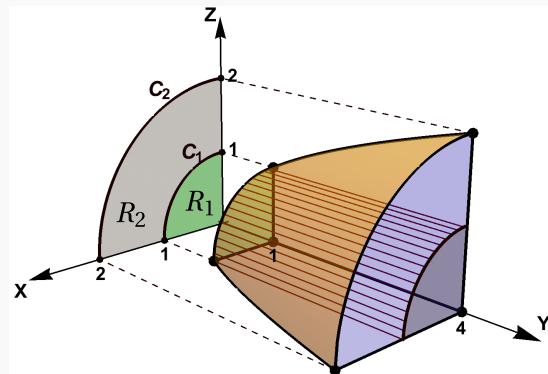
Ver con CFDPlayer

Requiere FreeCDF Player

Sea Q el sólido limitado por $y = 1$, $y = x^2 + z^2$ y $y = 4$; como se muestra en la figura. Calcule $\iiint_Q \frac{1}{\sqrt{x^2 + z^2}} dV$.



Solución: Proyectamos sobre el plano XZ . Usamos coordenadas cilíndricas: $x = r\cos\theta$, $z = r\sin\theta$ y $y = y$. De esta manera, las curvas $1 = x^2 + z^2$ y $4 = x^2 + z^2$ tienen ecuaciones $r = 1$ y $r = 2$, respectivamente. La región R_1 está entre $r = 0$ y $r = 1$ y la región R_2 está entre $r = 1$ y $r = 2$.



$$\iiint_Q \frac{1}{\sqrt{x^2+z^2+1}} dV = \int_0^{\pi/2} \int_0^1 \int_1^4 \frac{r}{r+1} dy dr d\theta + \int_0^{\pi/2} \int_1^2 \int_1^4 \frac{r}{r+1} dy dr d\theta.$$

Para terminar el cálculo, observe que (dividiendo) $\frac{r}{r+1} = 1 - \frac{1}{r+1}$ y que $\frac{r^3}{r+1} = r^2 - r + 1 - \frac{1}{r+1}$.

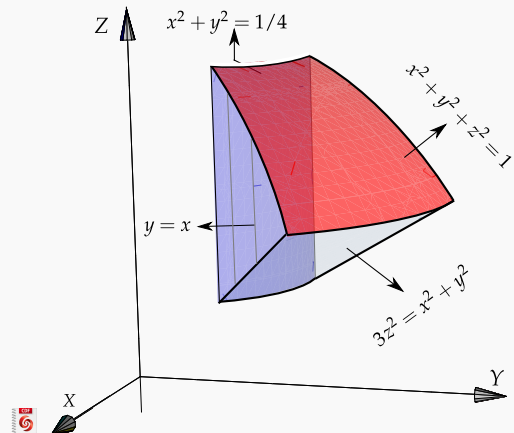
Ejemplo 5.28



[Ver con CFDPlayer](#)

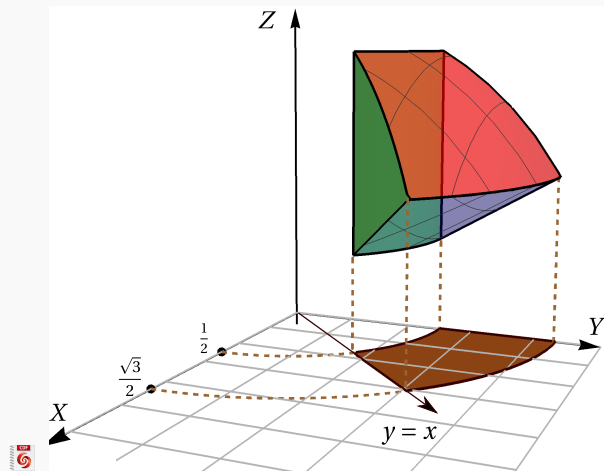
Requiere FreeCDF Player

Considere el sólido Q limitado por el cilindro $x^2 + y^2 = 1/4$, el cono $3z^2 = x^2 + y^2$, la esfera $x^2 + y^2 + z^2 = 1$ y los planos $x = 0$ y $x = y$; tal y como se muestra en la figura. Calcular $I = \iiint_Q 2z \cdot dV$



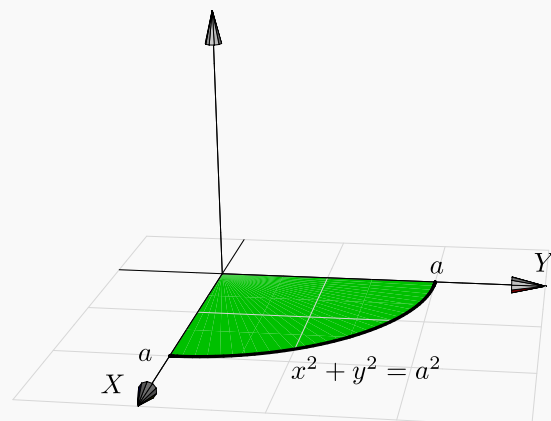
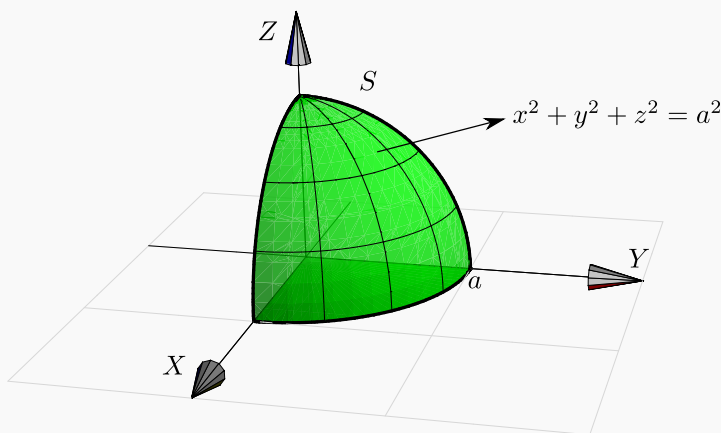
Solución: Proyectamos sobre XZ y usamos coordenadas cilíndricas. Calculando la intersección entre las superficies podemos establecer que la región de integración R_{xy} está entre las curvas $x^2 + y^2 = \frac{1}{4}$, $x^2 + y^2 = \frac{3}{4}$ y las rectas $y = x$ y $x = 0$. Es decir, la región de integración está entre las curvas $r = 1/2$ y $r = \sqrt{3}/2$ con θ entre $\pi/4$ y $\pi/2$.

$$\begin{aligned}
 I &= \iiint_Q 2z \cdot dV \\
 &= \int_{\pi/4}^{\pi/2} \int_{1/2}^{\sqrt{3}/2} \left[\int_{\sqrt{\frac{x^2+y^2}{3}}}^{\sqrt{1-x^2-y^2}} 2z \, dz \right] r \, dr \, d\theta
 \end{aligned}$$



Ejemplo 5.29

Verifique que el volumen una esfera S de radio a tiene volumen $V = \frac{4}{3}\pi a^3$.



Solución: Podemos calcular el volumen de un octavo de esfera y multiplicar por 8 (ver figura). La esfera tiene ecuación $x^2 + y^2 + z^2 = a^2$. Como la proyección es un círculo, usamos coordenadas cilíndricas: $x = r \cos \theta$, $y = r \sin \theta$ y $z = z$. La esfera está entre las superficies $z = 0$ y $z = \sqrt{a^2 - x^2 - y^2} = \sqrt{a^2 - r^2}$.

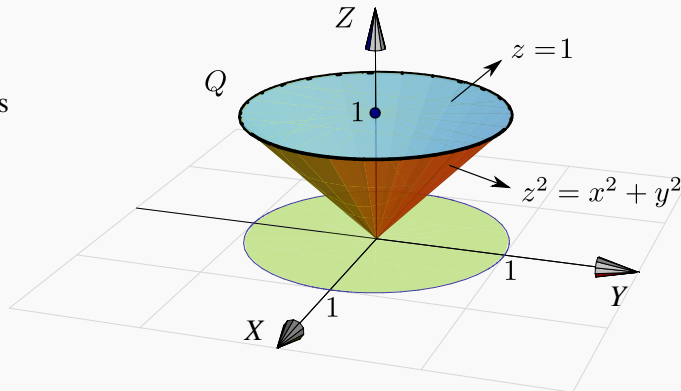
$$\begin{aligned}
 V &= 8 \cdot \iiint_Q dV = 8 \cdot \int_0^{\pi/2} \int_0^a \left[\int_0^{\sqrt{a^2 - r^2}} r dz \right] dr d\theta = 8 \cdot \int_0^{\pi/2} \int_0^a r \sqrt{a^2 - r^2} dr d\theta \\
 &= 8 \cdot \int_0^{\pi/2} \frac{-\sqrt{(a^2 - r^2)^3}}{3} \Big|_0^a d\theta = 8 \cdot \int_0^{\pi/2} \frac{a^3}{3} d\theta = \frac{8a^3}{3} \theta \Big|_0^{\pi/2} = \frac{4}{3} a^3 \pi
 \end{aligned}$$

Ejemplo 5.30

Considere el sólido Q limitado por las superficies $z^2 = x^2 + y^2$ (cono), y el plano $z = 1$.

a.) Calcular $\iiint_Q 2z dV$.

b.) Calcular el volumen de Q .

**Solución:**

a.) En coordenadas rectangulares tendríamos

$$\begin{aligned}
 \iiint_Q 2z dV &= \iint_R \left[\int_{\sqrt{x^2+y^2}}^1 2z dz \right] dy dx \\
 &= \int_0^1 \int_{-\sqrt{1-x^2}}^{\sqrt{1-x^2}} \int_{\sqrt{x^2+y^2}}^1 2z dz dy dx
 \end{aligned}$$

La región de integración se describe fácil si usamos coordenadas cilíndricas. La proyección R sobre el plano XY es un círculo de radio 1. En coordenadas polares esta región se describe como $R: 0 \leq \theta \leq 2\pi, 0 \leq r \leq 1$. Usando el cambio de variable $x = r \cos \theta, y = r \sin \theta$, entonces el sólido está entre las superficies $z = r$ y $z = 1$.

$$\begin{aligned}
 \iiint_Q 2z dV &= \int_0^{2\pi} \int_0^1 \left[\int_r^1 2z d\textcolor{red}{z} \right] r dr d\theta \\
 &= \int_0^{2\pi} \int_0^1 z^2 \Big|_r^1 r dr d\theta \\
 &= \int_0^{2\pi} \int_0^1 r - r^3 dr d\theta = \frac{\pi}{2}
 \end{aligned}$$

b.) Volumen de Q .

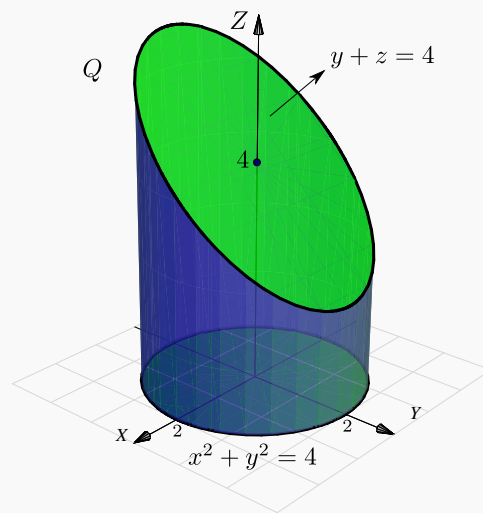
$$\begin{aligned}
 \iiint_Q dV &= \int_0^{2\pi} \int_0^1 \left[\int_{\textcolor{red}{r}}^1 d\textcolor{red}{z} \right] r dr d\theta \\
 &= \int_0^{2\pi} \int_0^1 z \Big|_{\textcolor{red}{r}}^1 r dr d\theta \\
 &= \int_0^{2\pi} \int_0^1 r - r^2 dr d\theta = \frac{\pi}{3}
 \end{aligned}$$

Ejemplo 5.31

El sólido Q de la figura está limitado por el cilindro $x^2 + y^2 = 4$ y el plano $y + z = 4$. Calcular el volumen de Q .

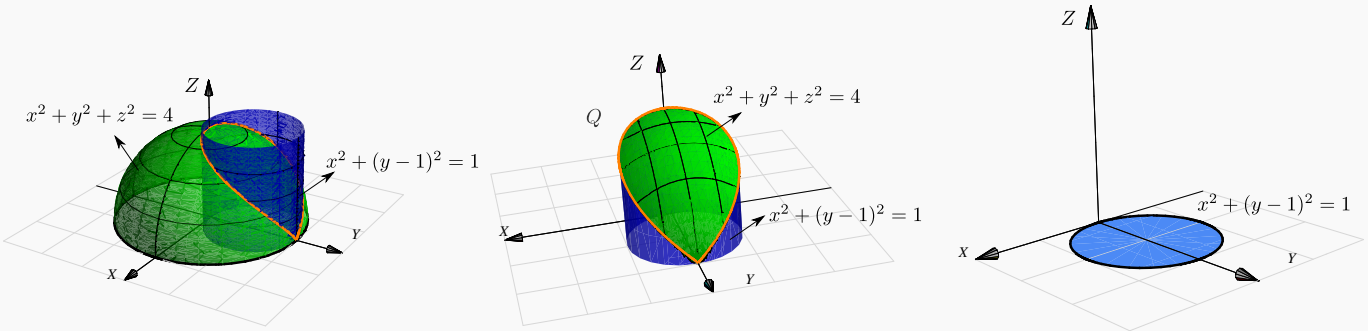
Solución: Usamos coordenadas cilíndricas: $x = r \cos \theta$, $y = r \sin \theta$ y $z = z$. Observemos que Q está entre las superficies $z = 0$ y $z = 4 - y = 4 - r \sin \theta$. La región de integración en el plano XY es el círculo $x^2 + y^2 = 4$, es decir el círculo $r = 2$ con $0 \leq \theta \leq 2\pi$.

$$\begin{aligned}
 V_Q &= \iiint_Q dV = \int_0^{2\pi} \int_0^2 \left[\int_0^{4-r \sin \theta} r dz \right] dr d\theta \\
 &= \int_0^{2\pi} \int_0^2 r (4 - r \sin \theta) dr d\theta \\
 &= \int_0^{2\pi} 8 - \frac{8 \sin \theta}{3} d\theta = 16\pi.
 \end{aligned}$$



Ejemplo 5.32

Calcule el volumen del sólido de la figura. Este sólido Q está limitado por la esfera $x^2 + y^2 + z^2 = 4$ y el cilindro $x^2 + (y - 1)^2 = 1$, $z \geq 0$.



Solución: El Sólido Q está entre las superficies $z = 0$ y $z = \sqrt{4 - x^2 - y^2}$. La proyección del sólido es el círculo $x^2 + (y - 1)^2 \leq 1$. Este círculo se describe en coordenadas polares como

$$0 \leq r \leq 2 \sin \theta, \quad -\frac{\pi}{2} \leq \theta \leq \frac{\pi}{2} \quad \text{o también, } 0 \leq r \leq 2 \sin \theta, \quad 0 \leq \theta \leq \pi$$

El volumen de Q es,

$$\begin{aligned} \iiint_Q dV &= \int_{-\pi/2}^{\pi/2} \int_0^{2 \sin \theta} \left[\int_0^{\sqrt{4-r^2}} dz \right] r dr d\theta \\ &= \int_{-\pi/2}^{\pi/2} \int_0^{2 \sin \theta} zr|_0^{\sqrt{4-r^2}} dr d\theta \\ &= \int_{-\pi/2}^{\pi/2} \int_0^{2 \sin \theta} r \sqrt{4-r^2} dr d\theta \\ &= \int_{-\pi/2}^{\pi/2} -\frac{1}{3} (4-r^2)^{3/2} \Big|_0^{2 \sin \theta} d\theta \\ &= -\frac{1}{3} \int_{-\pi/2}^{\pi/2} (4-4 \sin^2 \theta)^{3/2} - 8 d\theta \\ &= -\frac{1}{3} \int_{-\pi/2}^{\pi/2} 8 \cos^3 \theta - 8 d\theta = -\frac{8}{3} (4/3 - \pi). \end{aligned}$$

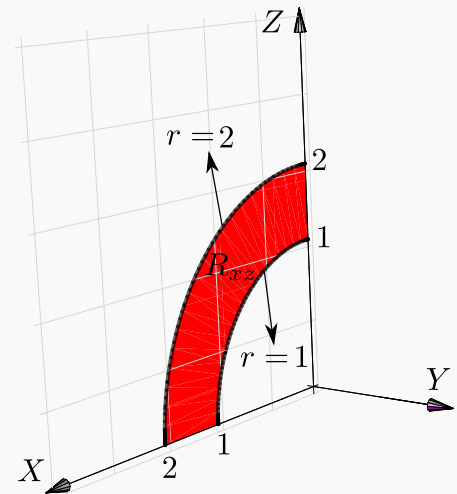
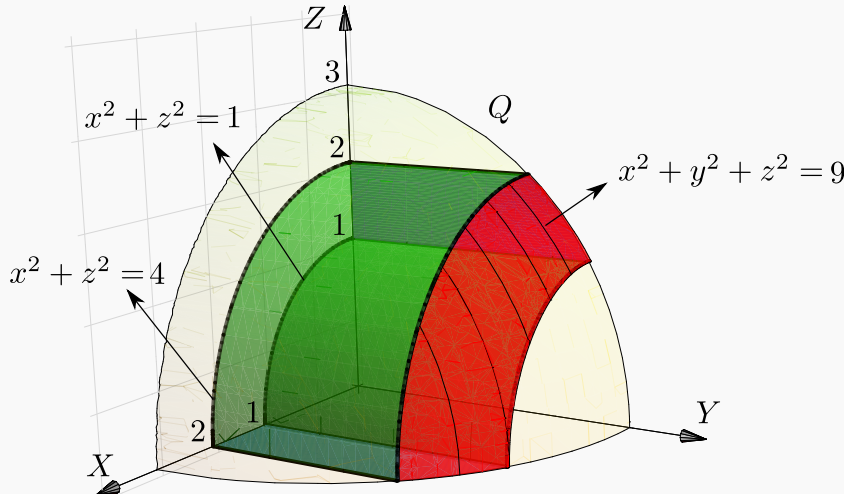
Aquí se usó la integral $\int \cos^3 t dt = \frac{3 \sin(t)}{4} + \frac{\sin(3t)}{12}$.

Ejemplo 5.33

Calcule el volumen de sólido Q , mostrado en la figura, el cual está limitado por la esfera $x^2 + y^2 + z^2 = 3^2$ y los cilindros $x^2 + z^2 = 2^2$, $x^2 + z^2 = 1^2$.

 Ver con CFDPlayer

Requiere FreeCDF Player



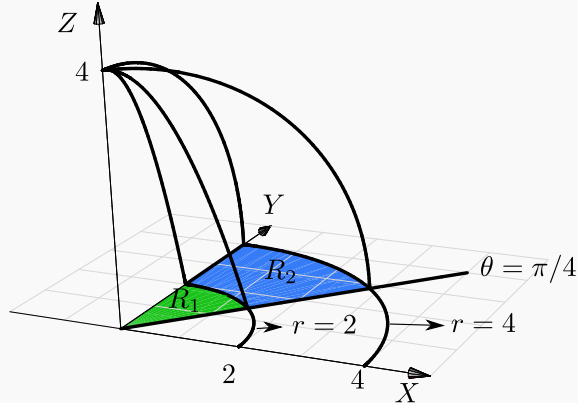
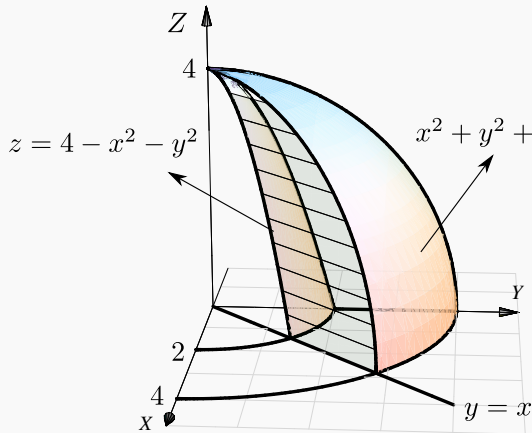
Solución: La proyección sobre XZ es una región entre un par de segmentos de círculo. Usamos coordenadas cilíndricas, el cambio de variable sería $\begin{cases} x = r\cos\theta \\ z = r\sin\theta \\ y = y \end{cases}$ y como antes, $J(r, \theta, y) = r$.

La proyección R_{xz} está entre las circunferencias $r = 1$ y $r = 2$ y el ángulo $0 \leq \theta \leq \pi/2$. El sólido Q está entre $y = 0$ y $y = \sqrt{3^2 - x^2 - z^2} = \sqrt{3^2 - r^2}$.

$$\begin{aligned}
 V_Q &= \int_0^{\pi/2} \int_1^2 \left[\int_0^{\sqrt{9-r^2}} 1 \cdot dy \right] r dr d\theta \\
 &= \int_0^{\pi/2} \int_1^2 \left[y \Big|_0^{\sqrt{9-r^2}} \right] r dr d\theta \\
 &= \int_0^{\pi/2} \int_1^2 r \sqrt{9-r^2} dr d\theta, \quad \text{hacemos } u = 9 - r^2, \quad du = -2r dr, \\
 &= \int_0^{\pi/2} -\frac{1}{3} (9 - r^2)^{3/2} \Big|_1^2 d\theta = \frac{\pi}{6} (16\sqrt{2} - 5\sqrt{5}).
 \end{aligned}$$

Ejemplo 5.34

Calcule, usando coordenadas cilíndricas, el volumen del sólido Q , limitado por la porción de paraboloides $z = 4 - x^2 - y^2$, la porción de esfera $x^2 + y^2 + z^2 = 16$ y el plano $x = y$; en el primer octante (figura).



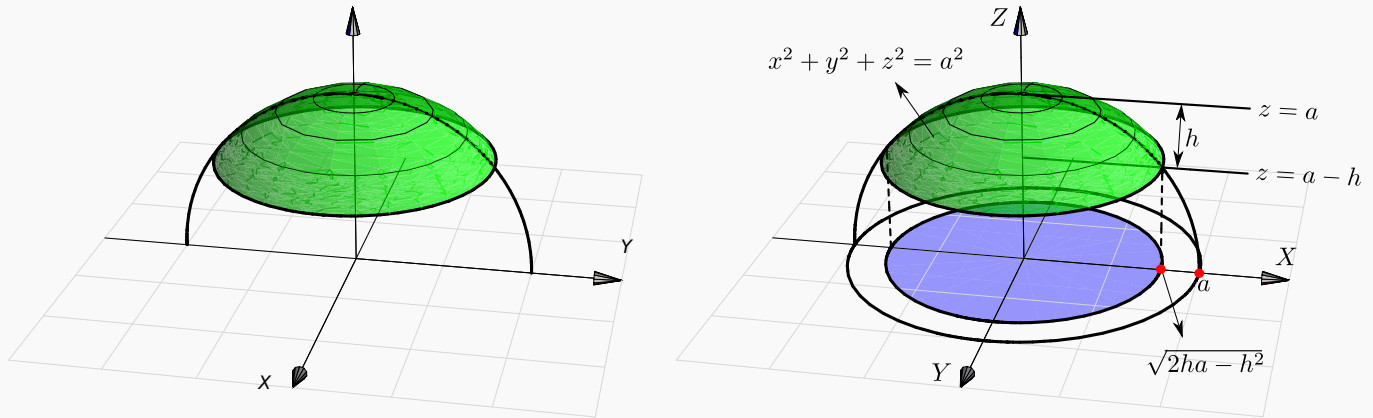
Solución: La región e integración, proyectando sobre XY , es $R = R_1 \cup R_2$.

- $R_1 : 0 \leq r \leq 2, \pi/4 \leq \theta \leq \pi/2,$
- $R_2 : 2 \leq r \leq 4, \pi/4 \leq \theta \leq \pi/2.$
- En la región R_1 , el sólido está entre la porción de esfera $x^2 + y^2 + z^2 = 16$ y la porción de paraboloides $z = 4 - x^2 - y^2$.
- En la región R_2 , el sólido está entre la porción de esfera $x^2 + y^2 + z^2 = 16$ y el plano $z = 0$.

$$\begin{aligned}
 V_Q &= \iiint_Q dV = \int_{\pi/4}^{\pi/2} \int_0^2 \left[\int_{4-r^2}^{\sqrt{16-r^2}} r dz \right] dr d\theta + \int_{\pi/4}^{\pi/2} \int_2^4 \int_0^{\sqrt{16-r^2}} r dz dr d\theta \\
 &= \int_{\pi/4}^{\pi/2} \int_0^2 r \sqrt{16-r^2} - r(4-r^2) dr d\theta + \int_{\pi/4}^{\pi/2} \int_2^4 r \sqrt{16-r^2} dr d\theta \\
 &= \int_{\pi/4}^{\pi/2} -\frac{1}{3}(16-r^2)^{3/2} - 2r^2 + \frac{r^4}{4} \Big|_0^2 d\theta + \int_{\pi/4}^{\pi/2} -\frac{1}{3}(16-r^2)^{3/2} \Big|_2^4 d\theta \\
 &= \int_{\pi/4}^{\pi/2} -\frac{1}{3}(16-r^2)^{3/2} - 2r^2 + \frac{r^4}{4} \Big|_0^2 d\theta + \int_{\pi/4}^{\pi/2} -\frac{1}{3}(16-r^2)^{3/2} \Big|_2^4 d\theta \\
 &= \int_{\pi/4}^{\pi/2} \frac{52}{3} - 8\sqrt{3} d\theta + \int_{\pi/4}^{\pi/2} 8\sqrt{3} d\theta = \left(\frac{13}{3} - 2\sqrt{3} \right) \pi + 2\pi\sqrt{3} = \frac{13\pi}{3}.
 \end{aligned}$$

Ejemplo 5.35

El sólido Q de la figura es un casquete, de altura h , de una esfera de radio a .



Vamos a usar coordenadas cilíndricas. Para calcular su volumen proyectamos sobre el plano XY . La proyección del casquete es un círculo de radio $\sqrt{2ha - h^2}$. Este radio se obtiene calculando la intersección de la curva $z^2 + y^2 = a^2$ y la recta $z = a - h$.

El sólido Q está limitado arriba por la superficie $z = \sqrt{a^2 - x^2 - y^2} = \sqrt{a^2 - r^2}$ y por abajo por la superficie $z = a - h$. Entonces

$$V_Q = \int_0^{2\pi} \int_0^{\sqrt{2ha-h^2}} \int_{r(a-h)}^{\sqrt{a^2-r^2}} r dz dr d\theta$$

Como (usando “sustitución”) $\int r \sqrt{a^2 - r^2} dr = -\frac{1}{3} \sqrt{(a^2 - r^2)^3}$ salvo constantes, se sigue que

$$\begin{aligned} V_Q &= \int_0^{2\pi} \int_0^{\sqrt{2ha-h^2}} r \sqrt{a^2 - r^2} - r(a-h) dr d\theta \\ &= \int_0^{2\pi} -\frac{1}{3} \left[\sqrt{(a^2 - r^2)^3} - \frac{r^2(a-h)}{2} \right]_0^{\sqrt{2ha-h^2}} d\theta \\ &= \int_0^{2\pi} -\frac{1}{3} (a-r)^3 - \frac{(2ha-h^2)(a-h)}{2} + \frac{1}{3} a^3 d\theta \\ &= \frac{\pi}{3} h^2 (3a-h) \end{aligned}$$

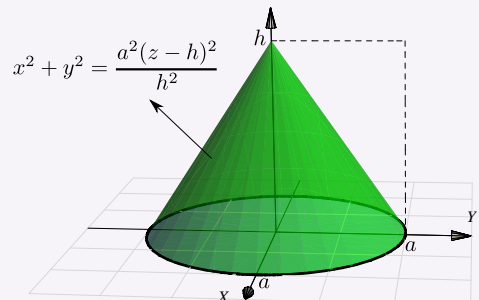
22

Ejercicios

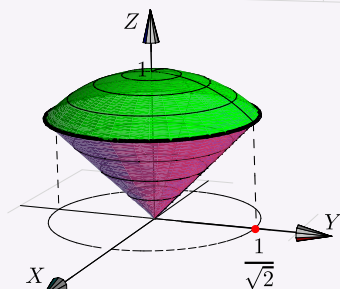
5.8.1 Verifique, que el volumen del cono de base circular de radio a y altura h es $V_C = \frac{\pi a^2 h}{3}$.

Ayuda: El cono se puede modelar con la ecuación $x^2 + y^2 = \frac{a^2(z-h)^2}{h^2}$, tal y como se muestra en la figura.

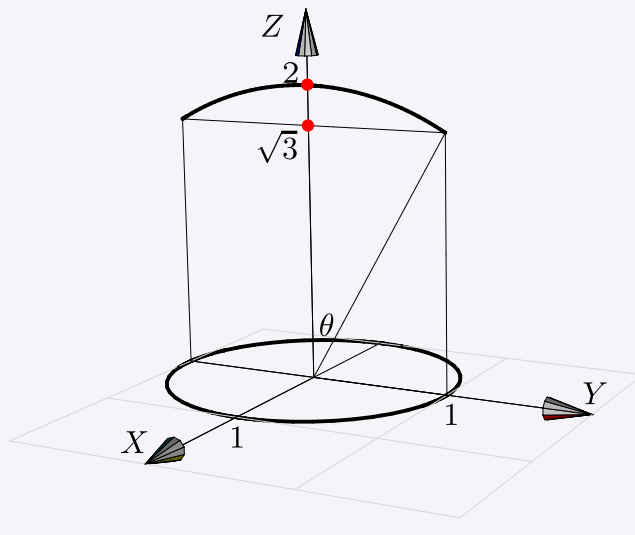
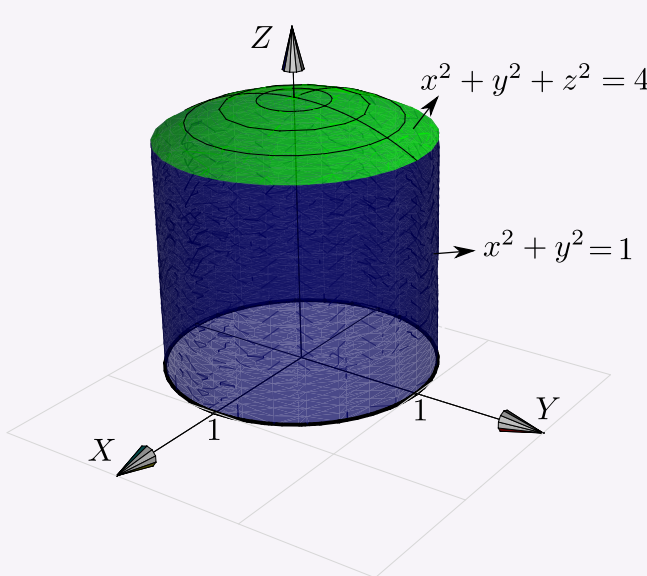
El cono está entre $z = 0$ y $z = h - \frac{h}{a}\sqrt{x^2 + y^2}$ pues $z \leq h$.



5.8.2 Calcule el volumen del sólido Q limitado por el cono $z^2 = x^2 + y^2$ y la esfera $x^2 + y^2 + z^2 = 1$.



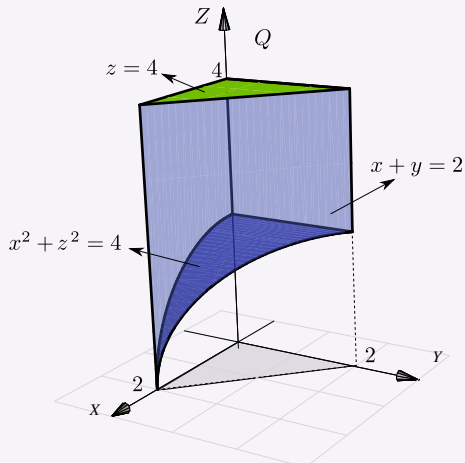
5.8.3 Calcule, usando coordenadas esféricas, el volumen del sólido Q limitado por un casquete de la esfera $x^2 + y^2 + z^2 = 4$ y el cilindro $x^2 + y^2 = 1$, como se muestra en la figura.



5.8.4 Sea $I = \iiint_Q \sqrt{x^2 + y^2} dV = \int_0^2 \int_0^{\sqrt{4-x^2}} \int_0^{\sqrt{16-x^2-y^2}} \sqrt{x^2 + y^2} dz dy dx$

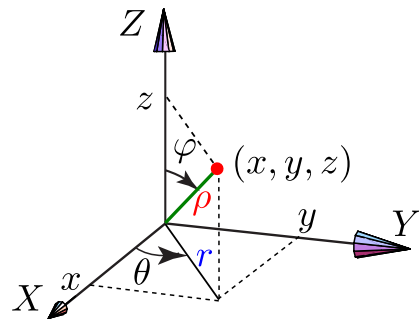
- Dibuje el sólido Q . Observe que el sólido está entre las superficies $z^2 + x^2 + y^2 = 16$, $x^2 + y^2 = 4$, $x \in [0, 2]$.
- Calcule I usando coordenadas cilíndricas.

- 5.8.5 Calcule el volumen del sólido Q limitado por $S_1 : x^2 + z^2 = 4$, $S_2 : y + x = 2$, $S_3 : z = 4$, $S_4 : y = 0$, $S_5 : x = 0$.



5.9 (*) Coordenadas esféricas.

En el caso de coordenadas esféricas, la posición de un punto $P = (x, y, z)$ en el espacio está determinada por los números ρ, θ, φ donde ρ es la distancia del punto al origen, θ es la medida del ángulo de la proyección del punto en el plano XY con el eje X (llamado “longitud”) y φ es la medida del ángulo entre el vector \vec{P} y el eje Z (llamado “latitud”). Est último ángulo se mide desde el eje Z . Los ángulos θ y φ se pueden tomar respecto a los otros ejes.



5.9.1 Describiendo Superficies en Coordenadas Esféricas.

En lo que sigue, φ lo tomaremos como aparece en la figura anterior. El cambio de variable de coordenadas rectangulares a coordenadas esféricas es

$$\begin{cases} x &= \rho \sin \varphi \cos \theta \\ y &= \rho \sin \varphi \sin \theta \\ z &= \rho \cos \varphi \end{cases} \quad \text{con } \rho > 0, \quad 0 \leq \theta < 2\pi, \quad 0 \leq \varphi \leq \pi.$$

Observe que hay una relación entre coordenadas polares y esféricas: $\begin{cases} x &= \rho \sin \varphi \cos \theta = r \cos \theta \\ y &= \rho \sin \varphi \sin \theta = r \sin \theta \end{cases}$

A las coordenadas esféricas a veces se les llama “coordenada polares esféricas”.

Ejemplo 5.36 (Semi-cono $z^2 = x^2 + y^2$ con $z \geq 0$)

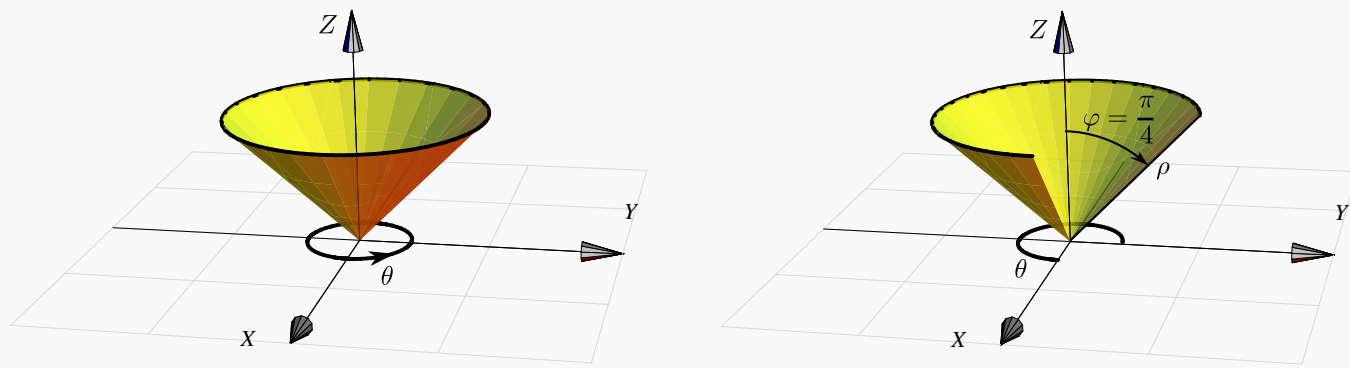
En la ecuación del cono $z^2 = x^2 + y^2$ hacemos la sustitución $x = \rho \sin \varphi \cos \theta$, $y = \rho \sin \varphi \sin \theta$, $z = \rho \cos \varphi$ y obtenemos

$$\rho^2 \cos^2 \varphi = \rho^2 \sin^2 \varphi \cos^2 \theta + \rho^2 \sin^2 \varphi \sin^2 \theta \implies \cos^2(\varphi) = \sin^2(\varphi)$$

Podemos tomar la solución $\varphi = \frac{\pi}{4}$. Así, esta rama del cono se describe (en coordenadas esféricas) como

$$\varphi = \frac{\pi}{4}, 0 \leq \theta \leq 2\pi, \rho > 0.$$

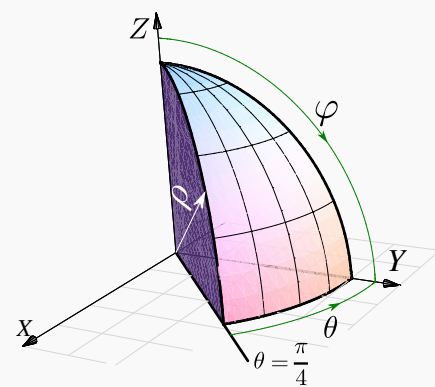
Una parametrización de esta superficie es $\mathbf{r}(\rho, \theta) = \left(\rho \sin \frac{\pi}{4} \cos \theta, \rho \sin \frac{\pi}{4} \sin \theta, \rho \cos \frac{\pi}{4} \right)$, con $0 \leq \theta < 2\pi$, $\rho > 0$.

**Ejemplo 5.37**

Consideremos el sólido limitado por la esfera $x^2 + y^2 + z^2 = 1$ y el plano $y = x$, en el primer octante.

La esfera de radio 1 se describe en coordenadas esféricas por $\rho = 1$ pues, haciendo la sustitución $x = \rho \sin \varphi \cos \theta$, $y = \rho \sin \varphi \sin \theta$, $z = \rho \cos \varphi$ en $x^2 + y^2 + z^2 = 1$ obtenemos $\rho = 1$.

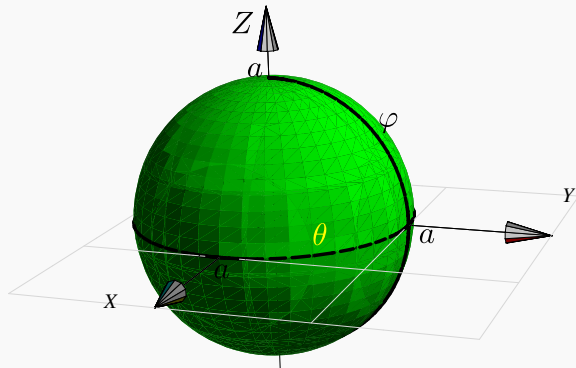
Este sólido se puede describir en coordenadas esféricas con $0 \leq \rho \leq 1$, $\pi/4 \leq \theta \leq \pi/2$ y $0 \leq \varphi \leq \pi/2$.



Ejemplo 5.38 (Superficie de la esfera $x^2 + y^2 + z^2 = a^2$).

Haciendo el cambio de variable y simplificando queda $\rho = a$. Luego, la esfera $x^2 + y^2 + z^2 = a^2$ se describe (en coordenadas esféricas) como

$$\rho = a, \quad 0 \leq \theta \leq 2\pi, \quad 0 \leq \varphi \leq \pi$$



Una parametrización de esta superficie es $\mathbf{r}(\varphi, \theta) = (a \sin \varphi \cos \theta, a \sin \varphi \sin \theta, \cos \varphi)$, con $0 \leq \theta < 2\pi, 0 \leq \varphi \leq \pi$.

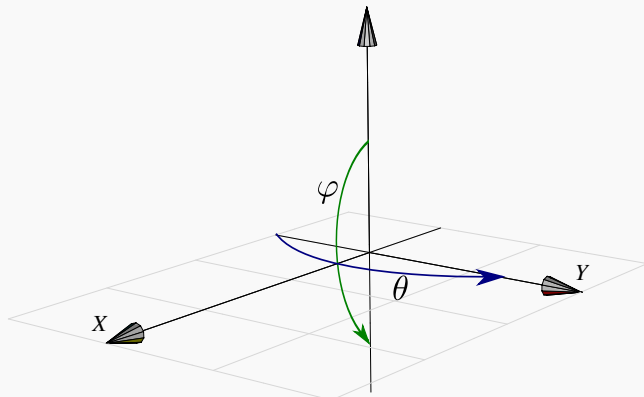
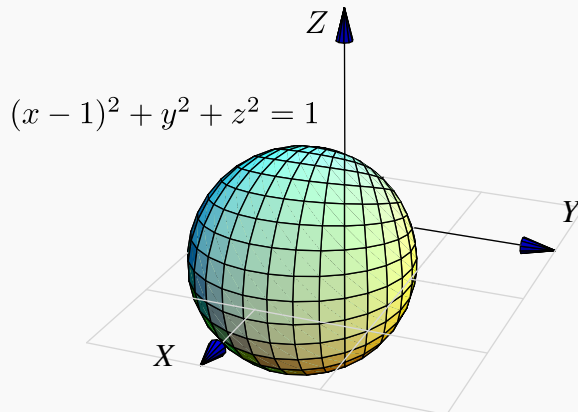
Ejemplo 5.39 (Superficie de la esfera $(x - 1)^2 + y^2 + z^2 = 1$).

Para hacer la descripción de la esfera $(x - 1)^2 + y^2 + z^2 = 1$ en coordenadas polares, hacemos el cambio de variable y, simplificando, queda $\rho = 2 \sin \varphi \cos \theta$. Luego, la esfera se describe (en coordenadas esféricas) como

$$\rho = 2 \sin \varphi \cos \theta, \quad -\frac{\pi}{2} \leq \theta \leq \frac{\pi}{2}, \quad 0 \leq \varphi \leq \pi$$

Una parametrización de esta esfera es

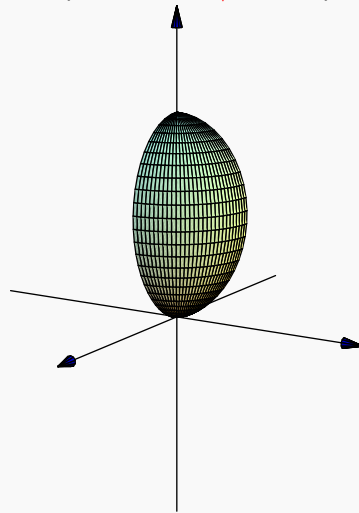
$$\mathbf{r}(\rho, \varphi, \theta) = (2 \sin \varphi \cos \theta \cdot \sin \varphi \cos \theta, 2 \sin \varphi \cos \theta \cdot \sin \varphi \sin \theta, 2 \sin \varphi \cos \theta \cdot \cos \varphi) \quad \text{con } -\frac{\pi}{2} \leq \theta \leq \frac{\pi}{2}, 0 \leq \varphi \leq \pi$$



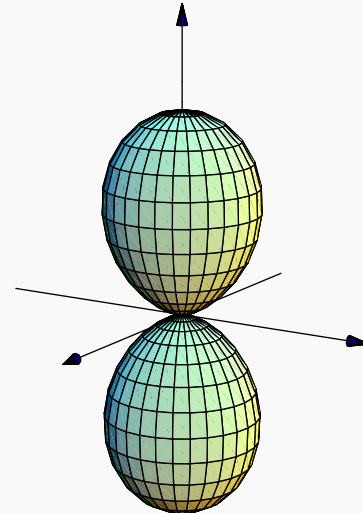
Ejemplo 5.40 (Superficie S : $(x^2 + y^2 + z^2)^3 = z^4$).

Para hacer la descripción de la superficie $(x^2 + y^2 + z^2)^3 = z^4$ en coordenadas polares, hacemos el cambio de variable y simplificando queda $\rho = \cos^2 \varphi$. Luego, la superficie se describe (en coordenadas esféricas) como $\rho = \cos^2 \varphi$, $0 \leq \theta < 2\pi$, $0 \leq \varphi \leq \pi$.

$$\rho = \cos^2 \varphi, 0 \leq \theta < \pi/2, 0 \leq \varphi \leq \pi/2$$



$$\rho = \cos^2 \varphi, 0 \leq \theta < 2\pi, 0 \leq \varphi \leq \pi.$$

**5.9.2 Cambio de variable con coordenadas esféricas.**

En coordenadas esféricas ponemos $u = r$, $v = \theta$ y $w = \varphi$. Como dijimos antes, vamos a tomar el cambio de variable,

$$\mathbf{r}: \begin{cases} x = \rho \sin \varphi \cos \theta \\ y = \rho \sin \varphi \sin \theta & \text{en este caso} \\ z = \rho \cos \varphi \end{cases} \quad |J(\rho, \varphi, \theta)| = \rho^2 \sin \varphi.$$

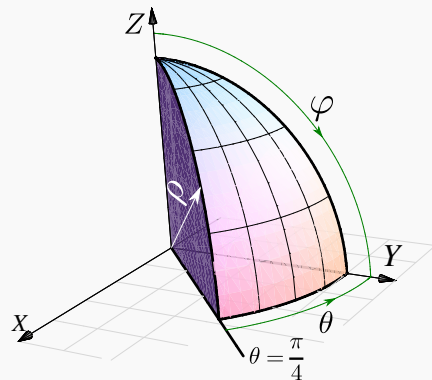
con $\rho > 0$, $0 \leq \theta < 2\pi$, $0 \leq \varphi \leq \pi$. El interior de la región de integración requiere $\rho > 0$ y $\varphi \neq k\pi$, $k \in \mathbb{Z}$, para que el jacobiano no se anule. Si se cumplen las condiciones del teorema de cambio de variable, entonces

(Coordenadas Esféricas).

$$\iiint_{Q'} f(x, y, z) dV = \iiint_Q f(\rho \cos \varphi \cos \theta, \rho \cos \varphi \sin \theta, \rho \sin \varphi) \rho^2 |\sin \varphi| d\rho d\theta d\varphi$$

Ejemplo 5.41

Calcule, usando coordenadas esféricas, la integral $\iiint_Q z dV$ si Q es el sólido limitado por las superficies $y = x$ y $x^2 + y^2 + z^2 = 1$; en el primer octante.



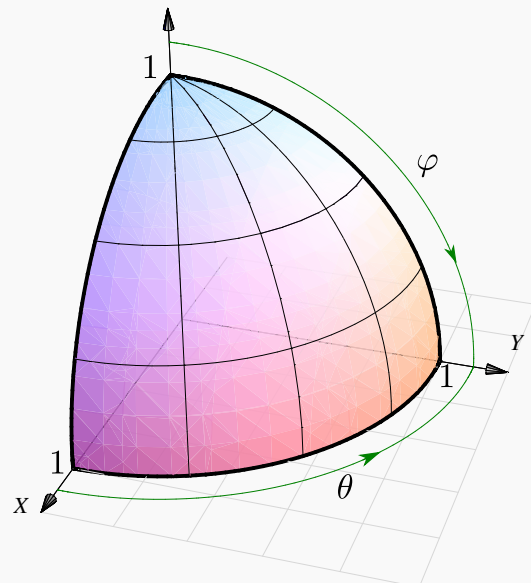
Solución: Haciendo el cambio de variable, $\rho = 1$, $\pi/4 \leq \theta \leq \pi/2$ y $0 \leq \varphi \leq \pi/2$. Luego,

$$\begin{aligned}
 \iiint_Q z dV &= \int_{\pi/4}^{\pi/2} \int_0^{\pi/2} \int_0^1 \rho \cos(\varphi) \cdot \rho^2 \sin(\varphi) d\rho d\varphi d\theta \\
 &= \int_{\pi/4}^{\pi/2} \int_0^{\pi/2} \frac{\rho^4}{4} \cos(\varphi) \cdot \sin(\varphi) \Big|_0^1 d\varphi d\theta \\
 &= \int_{\pi/4}^{\pi/2} \int_0^{\pi/2} \frac{1}{4} \cos(\varphi) \cdot \sin(\varphi) d\varphi d\theta \\
 &= \int_{\pi/4}^{\pi/2} \frac{1}{4} \frac{\sin^2(\varphi)}{2} \Big|_0^{\pi/2} d\theta \\
 &= \int_{\pi/4}^{\pi/2} \frac{1}{8} d\theta = \frac{\pi}{32}.
 \end{aligned}$$

Ejemplo 5.42

Calcular, usando coordenadas esféricas, el volumen de la esfera Q : $x^2 + y^2 + z^2 = 1$.

Solución: Vamos a calcular el volumen de un octavo de esfera. Aplicando el cambio de variable, $\rho = 1$, $\pi/4 \leq \theta \leq \pi/2$ y $0 \leq \varphi \leq \pi/2$. Notemos que $|\sin \varphi| = \sin \varphi$ en $[0, \pi/2]$.



$$\begin{aligned}
 V_Q &= 8 \cdot \iiint_Q dV \\
 &= 8 \cdot \int_0^{\pi/2} \int_0^{\pi/2} \int_0^1 \rho^2 |\sin \varphi| d\rho d\theta d\varphi \\
 &= 8 \cdot \int_0^{\pi/2} \int_0^{\pi/2} \frac{\rho^3}{3} \sin \varphi \Big|_0^1 d\theta d\varphi \\
 &= 8 \cdot \int_0^{\pi/2} \int_0^{\pi/2} \frac{\sin \varphi}{3} d\theta d\varphi = 8 \cdot \left(-\frac{\pi \cos \varphi}{6} \Big|_0^{\pi/2} \right) = \frac{4\pi}{3}
 \end{aligned}$$

Ejemplo 5.43

Calcular $\iiint_Q x^2 + y^2 dx dy dz$ donde Q es la esfera $(x-1)^2 + y^2 + z^2 = 1$.

Solución: Como ya vimos, esta esfera se puede describir, en coordenadas esféricas, como

$$\rho = 2 \sin \varphi \cos \theta, -\frac{\pi}{2} \leq \theta \leq \frac{\pi}{2}, 0 \leq \varphi \leq \pi$$

Notemos además que $|\sin \varphi| = \sin \varphi$ en $[0, \pi]$. Luego

$$\begin{aligned}
 \iiint_Q (x^2 + y^2) dV &= \int_0^\pi \int_{-\pi/2}^{\pi/2} \int_0^{2\sin\varphi\cos\theta} (\rho^2 \sin^2\varphi) \rho^2 \sin\varphi d\rho d\theta d\varphi \\
 &= \int_0^\pi \int_{-\pi/2}^{\pi/2} \frac{32}{5} \cos^5\theta \sin^8\varphi d\theta d\varphi \\
 &= \int_{-\pi/2}^{\pi/2} \frac{32}{5} \cos^5\theta d\theta \cdot \int_0^\pi \sin^8\varphi d\varphi = \frac{512}{75} \cdot \frac{35\pi}{128} = \frac{28\pi}{15}.
 \end{aligned}$$

Aquí usamos las integrales

- $\int \cos^5\theta d\theta = \frac{5\sin(\theta)}{8} + \frac{5\sin(3\theta)}{48} + \frac{\sin(5\theta)}{80}$
- $\int \sin^8\varphi d\varphi = \frac{840\varphi - 672\sin(2\varphi) + 168\sin(4\varphi) - 32\sin(6\varphi) + 3\sin(8\varphi)}{3072}$.

Ejemplo 5.44

Calcular el volumen del sólido Q de ecuación $(x^2 + y^2 + z^2)^3 = z^4$ (ver figura).

Solución: Q se puede describir, en coordenadas esféricas, como

$$r = \cos^2\varphi, \quad 0 \leq \theta < 2\pi, \quad 0 \leq \varphi \leq \pi$$

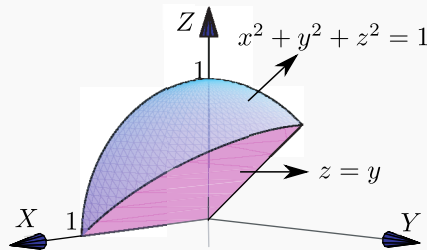
Notemos además que $|\sin\varphi| = \sin\varphi$ en $[0, \pi]$. Luego,

$$\begin{aligned}
 \iiint_Q dx dy dz &= \int_0^\pi \int_0^{2\pi} \int_0^{\cos^2\varphi} r^2 \sin\varphi dr d\theta d\varphi \\
 &= \int_0^\pi \int_0^{2\pi} \frac{\cos(\varphi)^6 \sin(\varphi)}{3} d\theta d\varphi \\
 &= \int_0^\pi \frac{2\pi \cos(\varphi)^6 \sin(\varphi)}{3} d\varphi = -\frac{2\pi}{3} \frac{\cos(\varphi)^7}{7} \Big|_0^\pi = \frac{4\pi}{21}
 \end{aligned}$$

Ejemplo 5.45 (Intercambio de ejes).

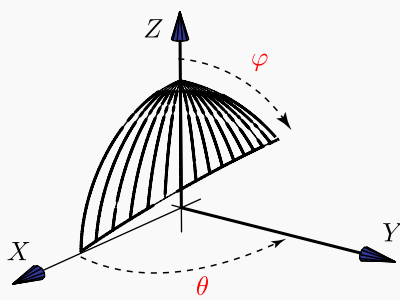
El sólido Q está limitado por las superficies $y = z$ y $x^2 + y^2 + z^2 = 1$; en el primer octante.

Vamos a calcular $\iiint_Q z dV$, usando coordenadas esféricas de tres maneras distintas (variando el orden de integración $dxdydz$).



● La manera “complicada”.

$$0 \leq \varphi \leq \arctan(\csc(\theta))$$



En este caso φ varía entre 0 y el plano $y = z$. Entonces,

$$\rho \sin \varphi \sin \theta = \rho \cos \varphi \implies \varphi = \arctan(\csc(\theta)).$$

Luego, $\varphi = \pi/2$ si $\theta = 0$ y $0 < \varphi \leq \arctan(\csc(\theta))$ si $0 < \theta \leq \pi/2$.

El cambio de variable sería

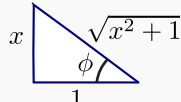
$$\begin{aligned} x &= \rho \sin \varphi \cos \theta, \\ y &= \rho \sin \varphi \sin \theta, \quad |J| = \rho^2 \sin(\varphi). \\ z &= \rho \cos \varphi. \end{aligned}$$

Como tenemos $\varphi = \varphi(\theta)$, integramos en el orden $d\varphi d\theta$. Debemos calcular (la integral impropia)

$$I = \int_0^{\pi/2} \int_0^{\arctan(\csc(\theta))} \int_0^1 \rho \cos(\varphi) \cdot \rho^2 \sin(\varphi) d\rho d\varphi d\theta$$

Aunque parece una integral complicada, en realidad no lo es. Solo debemos usar algunas identidades.

$$\begin{aligned} \tan \phi &= x \\ \phi &= \arctan(x) \end{aligned}$$



- $\phi = \arctan(x)$
- $\cos(\arctan(x)) = \frac{1}{\sqrt{x^2+1}}$
- $\sin(\arctan(x)) = \frac{x}{\sqrt{x^2+1}}$
- $\cos^2(\arctan(\csc \theta)) = \frac{1}{\csc^2 \theta + 1}, \quad \theta \in D = \mathbb{R} - \{k\pi: k \in \mathbb{Z}\}$

Esta última identidad se obtiene poniendo $x = \csc \theta$ si $\csc \theta > 0$ (no debemos usar ϕ !). Si $\csc \theta < 0 \implies -\csc \theta > 0$ y la identidad se obtiene usando las identidades $\arctan(-t) = -\arctan(t)$ (pues $\tan(-t) = -\tan(t)$) y $\cos(-t) = \cos(t)$.

El cálculo de la integral es como sigue,

$$\begin{aligned}
\int_0^{\pi/2} \int_0^{\arctan(\csc(\theta))} \int_0^1 r \cos(\varphi) \cdot \rho^2 \sin(\varphi) d\rho d\varphi d\theta &= \int_0^{\pi/2} \frac{\rho^4}{4} \cos(\varphi) \cdot \sin(\varphi) \Big|_0^1 d\varphi d\theta \\
&= \int_0^{\pi/2} \frac{1}{4} \cos(\varphi) \cdot \sin(\varphi) d\varphi d\theta \\
&= \int_0^{\pi/2} -\frac{1}{8} \cos^2(\varphi) \Big|_0^{\arctan(\csc(\theta))} d\varphi d\theta \\
&= -\frac{1}{8} \int_0^{\pi/2} \frac{1}{\csc^2 \theta + 1} - 1 d\theta \\
&= \frac{1}{8} \int_0^{\pi/2} \frac{1}{\sin^2 \theta + 1} d\theta
\end{aligned}$$

Hacemos el cambio $\theta = \arctan(t)$, $d\theta = \frac{1}{1+t^2} dt$.

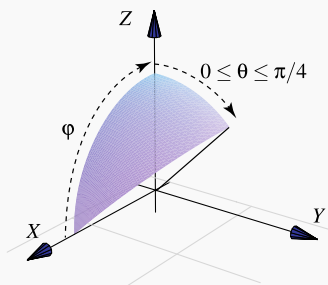
$$\begin{aligned}
\int \frac{1}{\left(\frac{t}{\sqrt{t^2+1}}\right)^2 + 1} \cdot \frac{1}{1+t^2} dt &= \int \frac{1}{1+2t^2} dt \\
&= \frac{\arctan(\sqrt{2}t)}{\sqrt{2}} + C = \frac{\arctan(\sqrt{2}\tan \theta)}{\sqrt{2}} + C
\end{aligned}$$

Luego,

$$\begin{aligned}
\int_0^{\pi/2} \int_0^{\arctan(\csc(\theta))} \int_0^1 r \cos(\varphi) \cdot r^2 \sin(\varphi) dr d\varphi d\theta &= \lim_{\theta \rightarrow \frac{\pi}{2}^-} \frac{1}{8} \left(\frac{\arctan(\sqrt{2}\tan \theta)}{\sqrt{2}} \right) \Big|_0^\theta \\
&= \frac{1}{8} \frac{\pi/2}{\sqrt{2}} = \frac{\pi}{16\sqrt{2}}
\end{aligned}$$

- La manera fácil: Simplificación con un intercambio de ejes.

El cambio de variable sería



$$\begin{aligned}
z &= \rho \sin \varphi \cos \theta, \\
y &= \rho \sin \varphi \sin \theta, \\
x &= \rho \cos \varphi.
\end{aligned}$$

$|J| = \rho^2 \sin(\varphi)$.

$$\begin{aligned}
\iiint_Q z dV &= \int_0^{\pi/4} \int_0^{\pi/2} \int_0^1 [\overbrace{\rho \sin(\varphi) \cos(\theta)}^z] \cdot \rho^2 \sin(\varphi) d\rho d\varphi d\theta \\
&= \int_0^{\pi/4} \int_0^{\pi/2} \frac{\rho^4}{4} \sin^2(\varphi) \cos(\theta) \Big|_0^1 d\varphi d\theta \\
&= \int_0^{\pi/4} \int_0^{\pi/2} \frac{1}{4} \sin^2(\varphi) \cos(\theta) d\varphi d\theta = \int_0^{\pi/4} \left(\frac{\theta}{2} - \frac{1}{4} \sin(2\theta) \right) \frac{\cos \theta}{4} \Big|_0^{\pi/2} d\theta \\
&= \int_0^{\pi/4} \frac{\pi}{4} \frac{\cos \theta}{4} d\theta = \frac{\pi \sin \theta}{16} \Big|_0^{\pi/4} = \frac{\pi}{16\sqrt{2}}, \text{ pues } \sin(\pi/4) = \frac{1}{\sqrt{2}}.
\end{aligned}$$

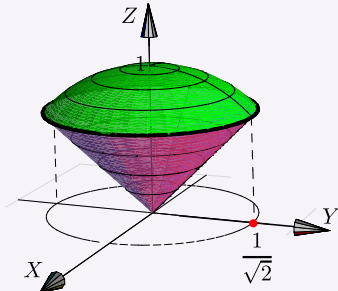
23

Ejercicios

5.9.1 Sea S la esfera de radio 1 centrada en el origen. Verifique que

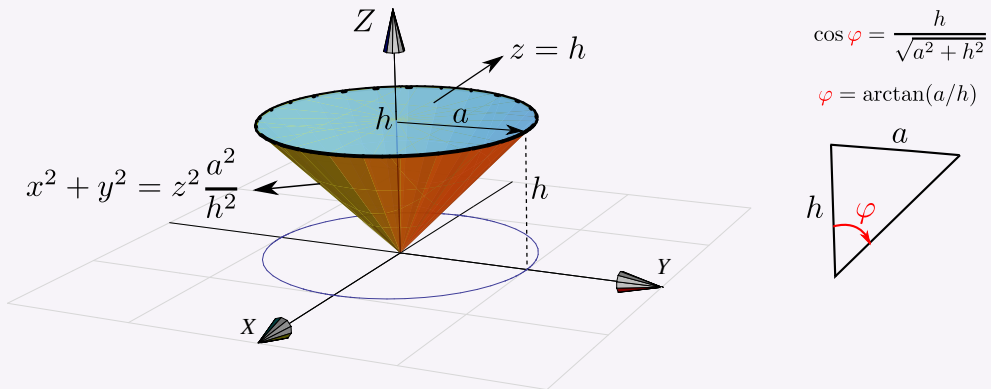
$$\iiint_S e^{\sqrt{(x^2+y^2+z^2)^3}} dV = \frac{4}{3}\pi(e-1)$$

5.9.2 Calcule, usando coordenadas esféricas, el volumen del sólido Q limitado por el cono $z^2 = x^2 + y^2$ y la esfera $x^2 + y^2 + z^2 = 1$.



5.9.3 Verifique, usando coordenadas esféricas, que el volumen del cono de base circular de radio a y altura h es $V_C = \frac{\pi a^2 h}{3}$.

Ayuda: El cono se puede modelar con la ecuación $x^2 + y^2 = z^2 \frac{a^2}{h^2}$, tal y como se muestra en la figura.



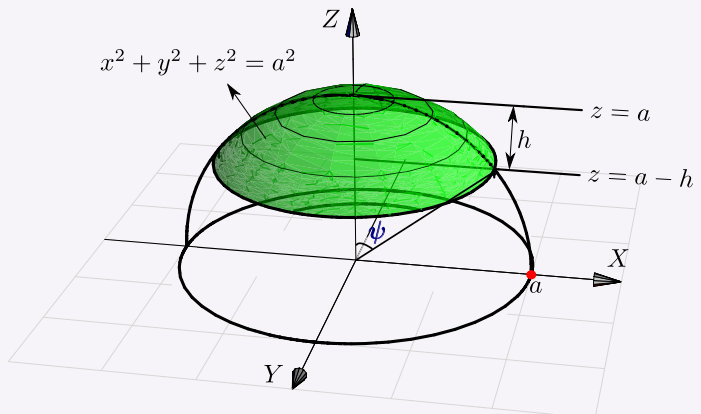
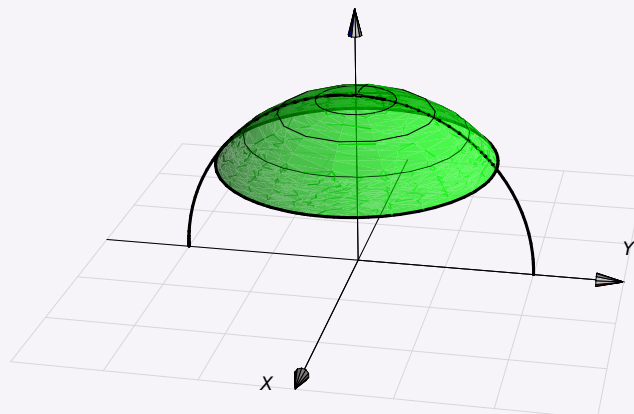
5.9.4 Use coordenadas esféricas para evaluar la integral

$$\int_{-2}^2 \int_0^{\sqrt{4-y^2}} \int_{-\sqrt{4-x^2-y^2}}^{\sqrt{4-x^2-y^2}} y^2 \sqrt{x^2 + y^2 + z^2} dz dx dy$$

5.9.5 (Volumen de un casquete de esfera). El sólido Q está limitado por la esfera $x^2 + y^2 + z^2 = a^2$ y el plano $z = h$ con $0 < h < a$ (el caso $h = a$ corresponde a media esfera). Usando coordenadas esféricas, verifique que el volumen de Q es $V_Q = \frac{h^2\pi}{3}(3a - h)$.

Ayuda: Esta es una integral sencilla (aunque asusta). Como $\operatorname{sen}(\psi) = \frac{a-h}{a}$ (ver figura), entonces $\varphi = \frac{\pi}{2} - \operatorname{arcosen}\left(\frac{a-h}{a}\right)$. La integral simplifica totalmente, pues el recorrido de φ sería evaluado con $\cos \varphi$ y

$$\cos\left(\frac{\pi}{2} - \operatorname{arcosen}\left(\frac{a-h}{a}\right)\right) = \operatorname{sen}\left(\operatorname{arcosen}\left(\frac{a-h}{a}\right)\right) = \frac{a-h}{a}.$$



5.10 (*) Singularidades.

El método preferido para analizar el comportamiento de las funciones en sus singularidades es el paso al límite. Si $f(x, y)$ es continua en una región R excepto en un punto (a, b) entonces definimos $R_\varepsilon = R - B_\varepsilon$ donde B_ε es un círculo de radio $\varepsilon > 0$ alrededor de (a, b) . Si $\lim_{\varepsilon \rightarrow 0} \iint_{R_\varepsilon} f(x, y) dx dy$ existe, entonces

$$\iint_R f(x, y) dx dy = \lim_{\varepsilon \rightarrow 0} \iint_{R_\varepsilon} f(x, y) dx dy$$

Ejemplo 5.46

Calcular $\int_0^1 \int_0^1 \frac{x}{\sqrt{1-y^2}} dy dx$.

Solución: Tenemos una singularidad en $y = 1$. Entonces

$$\begin{aligned}
\int_0^1 \int_0^1 \frac{x}{\sqrt{1-y^2}} dy dx &= \lim_{\varepsilon \rightarrow 0} \int_0^1 \int_0^{1-\varepsilon} \frac{x}{\sqrt{1-y^2}} dy dx \\
&= \lim_{\varepsilon \rightarrow 0} \int_0^1 x \arcsen y|_0^{1-\varepsilon} dx \\
&= \lim_{\varepsilon \rightarrow 0} \int_0^1 x \arcsen(1-\varepsilon) dx \\
&= \lim_{\varepsilon \rightarrow 0} \frac{x^2}{2} \arcsen(1-\varepsilon)|_0^1 \\
&= \lim_{\varepsilon \rightarrow 0} \frac{1}{2} \arcsen(1-\varepsilon) = \frac{\pi}{4}.
\end{aligned}$$

Ejemplo 5.47

Sea R el rectángulo $[0, 1] \times [0, 1]$. Calcular $\iint_R \frac{1}{\sqrt{xy}} dx dy$.

Solución: Hay un problema en $x = 0, y = 0$.

$$\begin{aligned}
\iint_R \frac{1}{\sqrt{xy}} dx dy &= \lim_{\varepsilon \rightarrow 0} \int_{\varepsilon}^1 \int_{\varepsilon}^1 \frac{1}{\sqrt{xy}} dy dx \\
&= \lim_{\varepsilon \rightarrow 0} 4(1 - \sqrt{\varepsilon})^2 = 4.
\end{aligned}$$

Integrales impropias y primitivas. El Teorema de Darboux dice que si una función P es primitiva de otra función, entonces P debe cumplir el Teorema del Valor Intermedio: La imagen de un intervalo es también un intervalo. En particular, las funciones que tienen una discontinuidad de salto en un intervalo, no pueden tener primitiva en este intervalo. Por ejemplo,

1. $\int \frac{1}{x^2} dx = -\frac{1}{x} + K$ pero $\int_{-1}^1 \frac{1}{x^2} dx \neq 0$, en realidad $\int_{-1}^1 \frac{1}{x^2} dx$ es divergente

2. Variaciones de este ejemplo son

$$\int_2^5 \frac{1}{(x-4)^2} dx, \quad \int_{-1}^1 \frac{1}{x} dx$$

3. En varias variables, si calculamos *sin tener en cuenta las singularidades* podemos obtener cosas como

$$\int_{-1}^1 \int_{-1}^1 \frac{x^2 - y^2}{(x^2 + y^2)^2} dx dy = -\pi \text{ mientras que } \int_{-1}^1 \int_{-1}^1 \frac{x^2 - y^2}{(x^2 + y^2)^2} \color{red} dx dy = \pi$$

24**Ejercicios**

5.10.1 Verifique que $\iint_R \frac{1}{\sqrt{x-y}} dx dy = \frac{8}{3}$ donde R es el rectángulo $[0, 1] \times [0, 1]$.

5.10.2 Verifique que $\iint_R \ln x dx dy = 2 - e$ donde $R = \{(x, y) \in \mathbb{R}^2 : 0 \leq x \leq e^y, 0 \leq y \leq 1\}$.

5.10.3 Sea $a > 0$. Calcular $\iint_D \sqrt{1 + \frac{x^2 + y^2}{a - x^2 - y^2}} dA$ si D es el disco $x^2 + y^2 \leq a$.



Revisado: Enero, 2018
Versión actualizada de este libro y el formato CDF:
[**http://tecdigital.tec.ac.cr/revistamatematica/Libros/**](http://tecdigital.tec.ac.cr/revistamatematica/Libros/)

Superficies parametrizadas.

Superficies regulares.

Área de una superficie.

Flujo través de una superficie S

Integral de flujo.

Superficies orientables.

Teorema de la Divergencia.

Integral sobre una superficie.



6 — Integral de superficie.

6.1 Superficies parametrizadas.

Un parametrización de una superficie S sobre una región $D \subseteq \mathbb{R}^2$ es una función continua $\mathbf{r} : D \subset \mathbb{R}^2 \rightarrow \mathbb{R}^3$, que es inyectiva en el interior de D , $\mathbf{r}(u, v) = (x(u, v), y(u, v), z(u, v))$ con $x(u, v)$, $y(u, v)$ y $z(u, v)$ funciones continuas sobre D , cuya imagen es S , es decir, $\mathbf{r}(D) = S$. La superficie $S = \mathbf{r}(D)$ se puede describir como

$$S : \mathbf{r}(u, v) = \mathbf{x}(u, v) \hat{\mathbf{i}} + \mathbf{y}(u, v) \hat{\mathbf{j}} + \mathbf{z}(u, v) \hat{\mathbf{k}}, \quad (u, v) \in D.$$

Caso S : $z = f(x, y)$

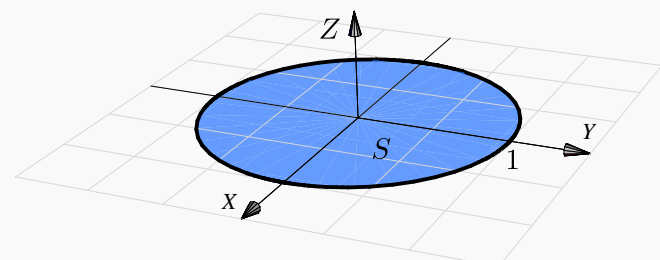
Una superficie $S : z = f(x, y)$ en un dominio D , se puede parametrizar como

$$\mathbf{r}(x, y) = x \hat{\mathbf{i}} + y \hat{\mathbf{j}} + f(x, y) \hat{\mathbf{k}}, \quad (x, y) \in D.$$

Observe que D es la proyección de la superficie en el plano XY .

Ejemplo 6.1

Considere la superficie $S : x^2 + y^2 \leq 1$, $z = 0$. Claramente S es el círculo de radio 1 en el plano XY , centrado en el origen.



Para describir a S podemos escribir $S : z = 0$ en el dominio $D = \{x^2 + y^2 \leq 1\}$. Pero más conveniente es

parametrizar S como

$$\mathbf{r}(x,y) = x \hat{\mathbf{i}} + y \hat{\mathbf{j}} + \mathbf{0} \cdot \hat{\mathbf{k}}, \quad (x,y) \in D.$$

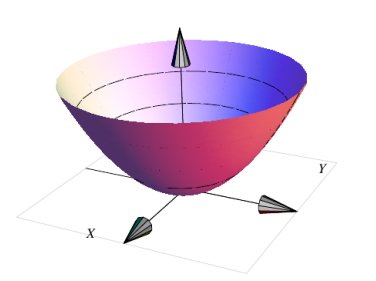
Ejemplo 6.2

Sea S la porción del paraboloide $z = x^2 + y^2$ entre $z = 0$ y $z = 1$. Entonces S se puede parametrizar como,

$$S: \mathbf{r}(x,y) = x \hat{\mathbf{i}} + y \hat{\mathbf{j}} + (x^2 + y^2) \hat{\mathbf{k}}, \quad (x,y) \in D = \{(x,y) : x^2 + y^2 \leq 1\}.$$

También, $z = x^2 + y^2$ se podría ver como circunferencias de radio \sqrt{z} , entonces

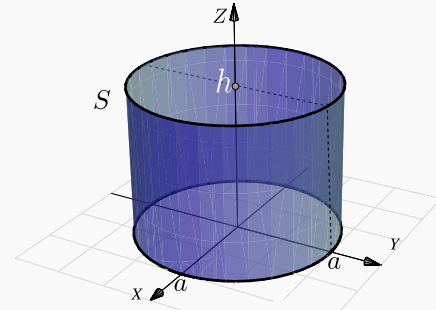
$$S: \mathbf{r}(\theta, z) = \sqrt{z} \cos \theta \hat{\mathbf{i}} + \sqrt{z} \sin \theta \hat{\mathbf{j}} + z \hat{\mathbf{k}}, \quad \theta \in [0, 2\pi[\quad z \in [0, 1].$$



Ejemplo 6.3

Sea $S_1: x^2 + y^2 = a^2$, $0 \leq z \leq h$. S es el cilindro de la figura. Esta superficie se puede parametrizar como

$$\mathbf{r}(\theta, z) = a \cos \theta \hat{\mathbf{i}} + a \sin \theta \hat{\mathbf{j}} + z \hat{\mathbf{k}}, \quad \text{con } (\theta, z) \in D = [0, 2\pi[\times [0, h].$$



6.2 Superficies regulares.

Sea $S: \mathbf{r}(u,v) = x(u,v) \hat{\mathbf{i}} + y(u,v) \hat{\mathbf{j}} + z(u,v) \hat{\mathbf{k}}$ con $(u,v) \in D$. \mathbf{r} es de clase C^1 si $x(u,v)$, $y(u,v)$ y $z(u,v)$ son de clase C^1 (funciones continuamente diferenciables). En este caso, consideremos los vectores $\frac{\partial \mathbf{r}}{\partial u} = \left(\frac{\partial x}{\partial u}, \frac{\partial y}{\partial u}, \frac{\partial z}{\partial u} \right)$ y $\frac{\partial \mathbf{r}}{\partial v} = \left(\frac{\partial x}{\partial v}, \frac{\partial y}{\partial v}, \frac{\partial z}{\partial v} \right)$. Los vectores $\left. \frac{\partial \mathbf{r}}{\partial u} \right|_P$ y $\left. \frac{\partial \mathbf{r}}{\partial v} \right|_P$ son tangentes a S en P .

Definición 6.1

Sea D abierto y sea S una superficie parametrizada por $\mathbf{r} : D \subset \mathbb{R}^2 \rightarrow \mathbb{R}^3$ de clase C^1 . Decimos que S es una superficie *regular* en (u, v) si $\frac{\partial \mathbf{r}}{\partial u} \times \frac{\partial \mathbf{r}}{\partial v} \neq \hat{\mathbf{0}}$. Si S se puede partir en un número finito de elementos regulares se dice regular a trozos.

Caso $z = f(x, y)$

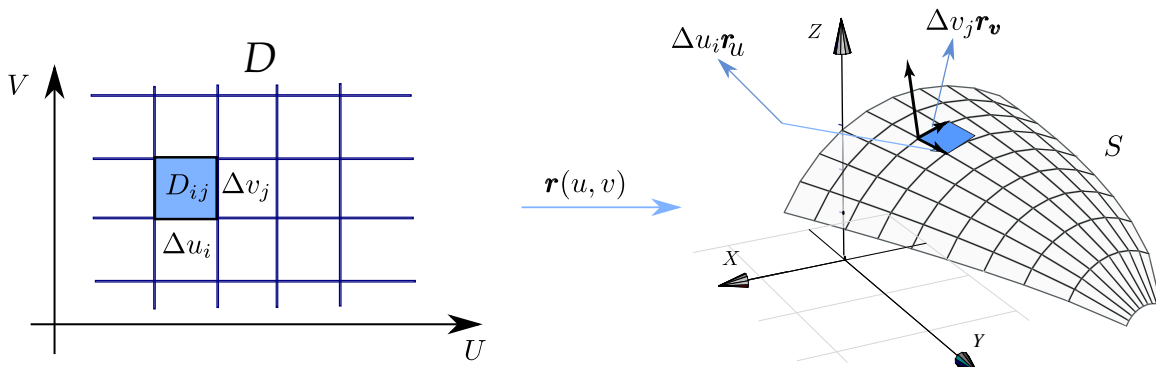
Observe que si $S : z = f(x, y)$ entonces si $\mathbf{r}(x, y) = x\hat{\mathbf{i}} + y\hat{\mathbf{j}} + f(x, y)\hat{\mathbf{k}}$ en D con f_x y f_y continuas,

$$\frac{\partial \mathbf{r}}{\partial x} \times \frac{\partial \mathbf{r}}{\partial y} = (-f_x, -f_y, 1) \neq \hat{\mathbf{0}}.$$

con lo cual la superficie S es regular en D .

6.3 Área de una superficie.

La idea de la definición de área de una superficie paramétrica consiste en aproximar el área de S , denotada A_S , sumando las áreas de sus “planos tangentes” en una malla de puntos, es decir el área de los paralelogramos generados por los vectores *escalados* $\Delta u_i \mathbf{r}_u$ y $\Delta v_j \mathbf{r}_v$. Luego tomados el límite cuando $\Delta v_j \rightarrow 0$ y $\Delta u_j \rightarrow 0$.



Consideremos el caso particular de un rectángulo. Sea $D = [a, b] \times [c, d]$ y sea S una superficie parametrizada por $\mathbf{r}(x, y)$ en D , con \mathbf{r} una función definida y acotada sobre R . Supongamos que M_D es una partición de D con n^2 rectángulos. Si $a = x_0 < x_1 < \dots < x_n = b$ y $c = y_0 < y_1 < \dots < y_n = d$ (igualmente espaciados, es decir, si $n \rightarrow \infty$ entonces $\Delta x_i, \Delta y_i \rightarrow 0$), cada rectángulo R_{ij} tiene un vértice en (x_i, y_j) . Sea ΔA_{ij} el área de la imagen de cada rectángulo R_{ij} . Cada imagen $\mathbf{r}(R_{ij})$ es aproximadamente un paralelogramo si Δx_i y Δy_i son pequeños, es decir, cada imagen $r(R_{ij})$ se puede aproximar muy bien con el plano tangente en ese punto.

En el punto $\mathbf{r}(x_i, y_j)$ de la superficie S , el **plano tangente** tiene ecuación

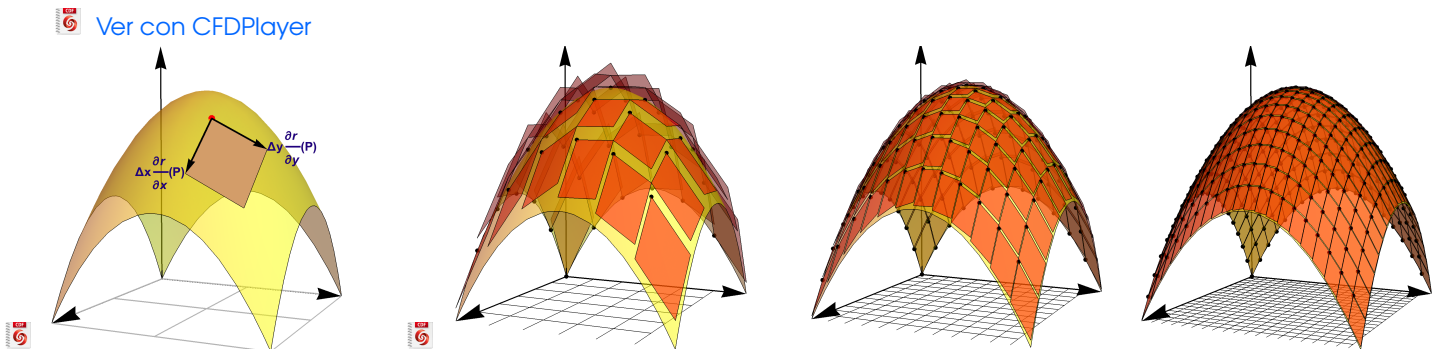
$$T_i(s, t) : \mathbf{r}(x_i, y_j) + t \mathbf{r}_x(x_i, y_j) + s \mathbf{r}_y(x_i, y_j), \quad \text{con } t, s \in \mathbb{R}.$$

La porción de superficie de S que es imagen de R_{ij} se puede aproximar con un paralelogramo: una porción de el plano tangente, cuyos lados son $\Delta x_i \mathbf{r}_x(x_i, y_j)$, $\Delta y_j \mathbf{r}_y(x_i, y_j)$. Como es sabido, este paralelogramo tiene área

$$\|\Delta x_i \mathbf{r}_x(x_i, y_j) \times \Delta y_j \mathbf{r}_y(x_i, y_j)\|$$

Sacando los escalares y sumando, tenemos, $A_S \approx \sum_{i,j=0}^n \|\mathbf{r}_x(x_i, y_j) \times \mathbf{r}_y(x_i, y_j)\| \Delta x_i \Delta y_j$ y entonces, dado que si $n \rightarrow \infty$ entonces $\Delta x_i, \Delta y_j \rightarrow 0$, tenemos

$$A_S = \lim_{n \rightarrow \infty} \sum_{i,j=0}^n \|\mathbf{r}_x(p_{ij}) \times \mathbf{r}_y(p_{ij})\| \Delta x_i \Delta y_j \quad \text{con } p_{ij} = (x_i, y_i)$$



Definición 6.2 (Área de una superficie).

Sea S una superficie regular definida sobre un conjunto abierto medible D . Digamos que

$$S: \mathbf{r}(u, v) = x(u, v) \hat{\mathbf{i}} + y(u, v) \hat{\mathbf{j}} + z(u, v) \hat{\mathbf{k}} \quad \text{con } (u, v) \in D.$$

Entonces, si llamamos $dS = \left\| \frac{\partial \mathbf{r}}{\partial u} \times \frac{\partial \mathbf{r}}{\partial v} \right\| dA$, el área A_S de la superficie S es

$$A_S = \iint_S 1 \cdot dS = \iint_D \left\| \frac{\partial \mathbf{r}}{\partial u} \times \frac{\partial \mathbf{r}}{\partial v} \right\| dA$$

Si $S = S_1 \cup \dots \cup S_m$ es la unión finita de superficies parametrizadas que se intersecan a lo sumo en curvas que forman parte de sus fronteras entonces,

$$A_S = A_{S_1} + A_{S_2} + \dots + A_{S_k}$$

Caso $S : z = f(x, y)$,

Si $S : z = f(x, y)$, una parametrización es $\mathbf{r}(x, y) = x\hat{\mathbf{i}} + y\hat{\mathbf{j}} + f(x, y)\hat{\mathbf{k}}$ y $\left\| \frac{\partial \mathbf{r}}{\partial x} \times \frac{\partial \mathbf{r}}{\partial y} \right\| = \sqrt{1 + f_x^2 + f_y^2}$. Entonces,

$$A_S = \iint_S 1 \cdot dS = \iint_D \sqrt{1 + f_x^2 + f_y^2} dA$$

Caso $S : \mathbf{F}(x, y, z) = 0$

Si $S : \mathbf{F}(x, y, z) = 0$ donde S se puede proyectar *uno a uno* sobre una región D del plano XY y si \mathbf{F} define a z como función de x e y y si $F_z \neq 0$ entonces $z_x = -F_x/F_z$ y $z_y = -F_y/F_z$ y la fórmula anterior quedaría

$$A_S = \iint_S 1 \cdot dS = \iint_D \frac{\sqrt{F_x^2 + F_y^2 + F_z^2}}{|F_z|} dA$$

Área de una superficie—Proyectando sobre varios varios planos.

Asumimos que S es una superficie regular y que F es continuamente diferenciable e inyectiva sobre D .

a) **Proyectando sobre XY :** Si $S : z = z(x, y)$ o $S : F(x, y, z) = 0$, con $(x, y) \in D_{xy}$

$$A_S = \iint_{D_{xy}} \sqrt{1 + z_x^2 + z_y^2} dA \quad \text{o también} \quad A_S = \iint_{D_{xy}} \sqrt{\frac{F_x^2 + F_y^2 + F_z^2}{F_z^2}} dA \quad \text{con } F_z \neq 0 \text{ en } D_{xy}$$

b) **Proyectando sobre XZ :** Si $S : y = y(x, z)$ o $S : F(x, y, z) = 0$, con $(x, z) \in D_{xz}$

$$A_S = \iint_{D_{xz}} \sqrt{1 + y_x^2 + y_z^2} dA \quad \text{o también} \quad A_S = \iint_{D_{xz}} \sqrt{\frac{F_x^2 + F_y^2 + F_z^2}{F_y^2}} dA \quad \text{con } F_y \neq 0 \text{ en } D_{xz}$$

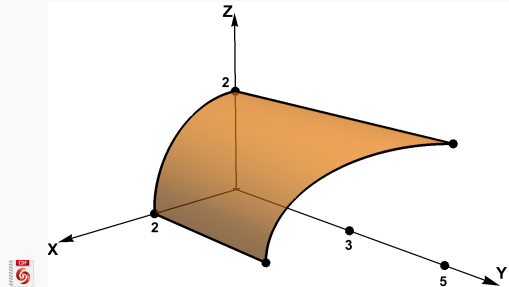
c) **Proyectando sobre YZ :** Si $S : x = x(y, z)$ o $S : F(x, y, z) = 0$, con $(y, z) \in D_{yz}$

$$A_S = \iint_{D_{yz}} \sqrt{1 + x_y^2 + x_z^2} dA \quad \text{o también} \quad A_S = \iint_{D_{yz}} \sqrt{\frac{F_x^2 + F_y^2 + F_z^2}{F_x^2}} dA \quad \text{con } F_x \neq 0 \text{ en } D_{yz}$$

Ejemplo 6.4
 Ver con CFDPlayer

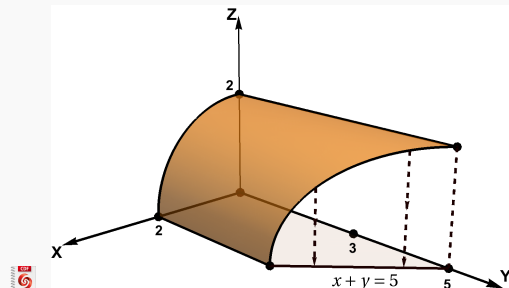
Requiere FreeCDF Player

La superficie $S : x^2 + z^2 = 4$ está en el primer octante está limitada por el plano $x + y = 5$, tal y como se muestra en la figura de la derecha. Plantee las integrales necesarias para calcular el área de la superficie S .



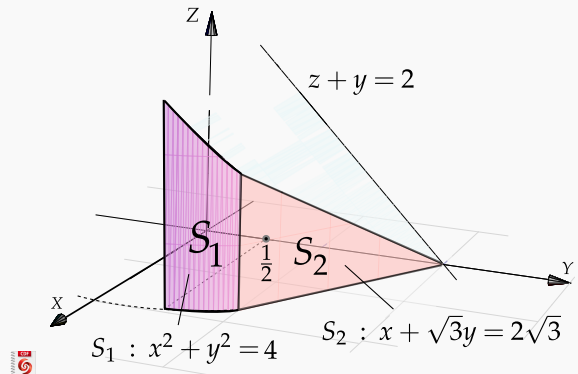
Solución: Podemos proyectar sobre el plano XY . Como $S : x^2 + z^2 = 4$, podemos usar la fórmula para el área con $F(x, y, z) = x^2 + z^2 - 4$.

$$\begin{aligned}
 A_S &= \iint_S 1 \cdot dS \\
 &= \iint_{D_{xy}} \sqrt{\frac{\mathbf{F}_x^2 + \mathbf{F}_y^2 + \mathbf{F}_z^2}{\mathbf{F}_z^2}} dA \\
 &= \iint_{D_{xy}} \sqrt{\frac{4x^2 + 0^2 + 4z^2}{4z^2}} dA \\
 &= \int_0^2 \int_0^{5-x} \sqrt{\frac{16}{16-4x^2}} dy dx \quad (\text{Impropia}) \\
 &= -4 - \lim_{a \rightarrow 2^-} 10 \arcsin\left(\frac{a}{2}\right) = -4 - 5\pi
 \end{aligned}$$



Ejemplo 6.5 (Usando coordenadas rectangulares).

Plantear las integrales que dan el área de la superficie $S = S_1 + S_2$ tal y como se muestra en la figura de la derecha.

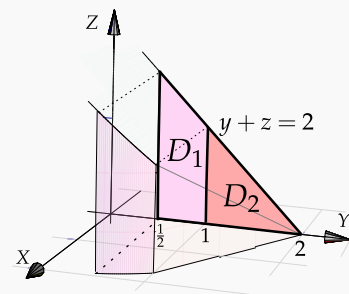


Solución: Podemos proyectar sobre el plano YZ . Tenemos

$$A_S = A_{S_1} + A_{S_2}$$

La superficie S_1 tiene ecuación $F(x, y, z) = 0$ con $F(x, y, z) = x^2 + y^2 - 4$

La superficie S_2 tiene ecuación $x = 2\sqrt{3} - \sqrt{3}y$. Entonces,



$$\begin{aligned} A_S &= \iint_{D_1} \sqrt{\frac{\mathbf{F}_x^2 + \mathbf{F}_y^2 + \mathbf{F}_z^2}{\mathbf{F}_x^2}} dA + \iint_{D_2} \sqrt{x_y^2 + x_z^2 + 1} dA \\ &= \int_{1/2}^1 \int_0^{2-y} \sqrt{\frac{4x^2 + 4y^2 + 0^2}{4x^2}} dz dy + \int_1^2 \int_0^{2-y} \sqrt{3 + 0 + 1} dz dy \\ &= \int_{1/2}^1 \int_0^{2-y} \sqrt{\frac{4(4-y^2) + 4y^2 + 0^2}{4(4-y^2)}} dz dy + \int_1^2 \int_0^{2-y} 2 dz dy \approx 2.18703 \end{aligned}$$

Ejemplo 6.6 (Usando coordenadas rectangulares).

Calcular el área de la superficie $S : y + x^2 + z^2 = 4$.

Solución: La proyección sobre XZ esta limitada por el círculo $x^2 + z^2 = 4$ y la ecuación de la superficie es

$$S : y = 4 - x^2 - z^2.$$

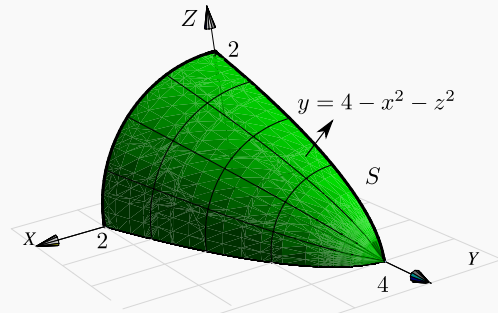


Figura 6.1: Superficie S

Primera manera:

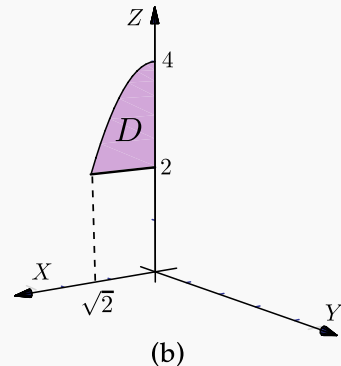
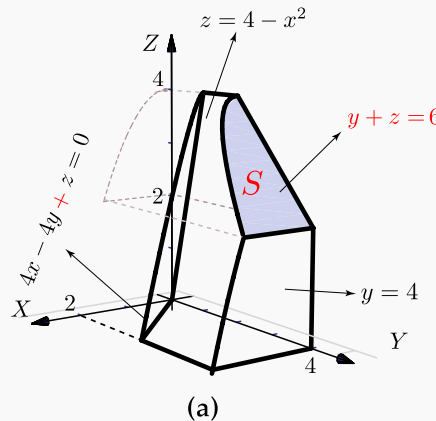
$$\begin{aligned} A_S &= \iint_{D_{xz}} \sqrt{1 + y_x^2 + y_z^2} dA \\ &= \iint_{D_{xz}} \sqrt{1 + 4x^2 + 4z^2} dA, \text{ cambio de variable: } \begin{cases} x = r \cos \theta \\ z = r \sin \theta, \end{cases} \\ &= \int_0^{\pi/2} \int_0^2 \sqrt{1 + 4r^2 \cos^2 \theta + 4r^2 \sin^2 \theta} r dr d\theta \\ &= \int_0^{\pi/2} \int_0^2 r \sqrt{1 + 4r^2} dr d\theta \\ &= \int_0^{\pi/2} \left. \frac{(1+4r^2)^{\frac{3}{2}}}{12} \right|_0^2 d\theta = \frac{\pi}{24} (17\sqrt{17} - 1) \approx 9.04423. \end{aligned}$$

Segunda manera: Podemos usar la parametrización $\mathbf{r}(y, \theta) = \sqrt{4-y} \cos \theta \hat{i} + y \hat{j} + \sqrt{4-y} \sin \theta \hat{k}$ con $y \in [0, 4]$ y $\theta \in [0, \pi/2]$.

$$A_S = \iint_D \left\| \frac{\partial \mathbf{r}}{\partial y} \times \frac{\partial \mathbf{r}}{\partial \theta} \right\| dy d\theta = \int_0^{\pi/2} \int_0^4 \sqrt{17/4-y} dy d\theta = \frac{\pi}{24} (17\sqrt{17} - 1).$$

Ejemplo 6.7

Calcular el área de la superficie $S : y + z = 6$ tal y como se ve en la figura (a).



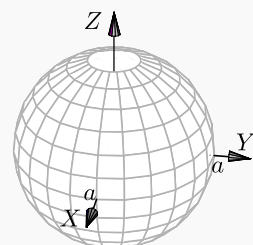
Solución: Como $S : y(x, z) = 6 - z$, usamos la parametrización $\mathbf{r}(x, z) = x\hat{i} + (6 - z)\hat{j} + z\hat{k}$ sobre la región D definida por $x \in [0, \sqrt{2}]$ y $2 \leq z \leq 4 - x^2$. Entonces $y_x = 0$ y $y_z = -1$. La proyección sobre D_{xz} se ve en la figura (b).

$$\begin{aligned} A_S &= \iint_{D_{xz}} \sqrt{1 + y_x^2 + y_z^2} dA \\ &= \int_0^{\sqrt{2}} \int_2^{4-x^2} \sqrt{2} dz dx \\ &= \int_0^{\sqrt{2}} \sqrt{2}(2 - x^2) dx = \frac{8}{3} \end{aligned}$$

Ejemplo 6.8 (Parametrizando con coordenadas esféricas y con coordenadas rectangulares).

Calcular el área de la superficie de la esfera $S : x^2 + y^2 + z^2 = a^2$.

Solución: Vamos a calcular de dos maneras, parametrizando con coordenadas esféricas y parametrizando con coordenadas rectangulares (más complicado).



Primera manera: Coordenadas esféricas. La esfera la podemos parametrizar con coordenadas esféricas,

$$S: \mathbf{r}(\theta, \varphi) = a \sin \varphi \cos \theta \hat{\mathbf{i}} + a \sin \varphi \sin \theta \hat{\mathbf{j}} + a \cos \varphi \hat{\mathbf{k}}, \text{ con } (\theta, \varphi) \in D = [0, 2\pi] \times [0, \pi]$$

- $\frac{\partial \mathbf{r}}{\partial \theta} = (-a \sin \theta \sin \varphi, a \cos \theta \sin \varphi, 0)$
- $\frac{\partial \mathbf{r}}{\partial \varphi} = (a \cos \theta \cos \varphi, a \cos \theta \sin \varphi, -a \sin \varphi)$

$$\Rightarrow \left\| \frac{\partial \mathbf{r}}{\partial \theta} \times \frac{\partial \mathbf{r}}{\partial \varphi} \right\| = a^2 \sin \varphi$$

$$A_S = \iint_D \left\| \frac{\partial \mathbf{r}}{\partial \theta} \times \frac{\partial \mathbf{r}}{\partial \varphi} \right\| d\varphi d\theta = \int_0^{2\pi} \int_0^\pi a^2 \sin \varphi d\varphi d\theta = 4a^2\pi.$$

Segunda manera: Coordenadas rectangulares. Usamos la parametrización $\mathbf{r}(x, y) = x\hat{\mathbf{i}} + y\hat{\mathbf{j}} + \sqrt{a^2 - x^2 - y^2}\hat{\mathbf{k}}$. Solo vamos a calcular el área de la parte superior de la esfera. El área total la obtenemos multiplicando por dos.

- $z_x = -\frac{x}{\sqrt{a^2 - x^2 - y^2}}$
- $z_y = -\frac{y}{\sqrt{a^2 - x^2 - y^2}}$

$$\Rightarrow A_S = 2 \iint_D \sqrt{1 + z_x^2 + z_y^2} dA = 2 \iint_D \sqrt{1 + \frac{x^2 + y^2}{a^2 - x^2 - y^2}} dA$$

Conviene hacer cambio de variable y usar coordenadas polares. Observe que las derivadas se indefinen en la frontera del círculo (si $r = a$). La integral se calcula desde 0 hasta $r = \varepsilon$ con $0 < \varepsilon < a$. Al final hacemos $\varepsilon \rightarrow a$.

$$\begin{aligned} A_S &= 2 \iint_D \sqrt{1 + \frac{x^2 + y^2}{a^2 - x^2 - y^2}} dA \\ &= 2 \int_0^{2\pi} \int_0^\varepsilon \frac{a}{\sqrt{a^2 - r^2}} r dr d\theta \quad \text{si } ; \varepsilon \rightarrow a \text{ (integral impropia!)} \\ &= 2 \int_0^{2\pi} a^2 d\theta = 4a^2\pi \end{aligned}$$

- Para calcular $\int_0^\varepsilon \frac{a}{\sqrt{a^2 - r^2}} r dr$ hacemos $u = a^2 - r^2$, $du = -2rdr$. Queda

$$-\frac{1}{2} \int_{a^2}^{a^2 - \varepsilon^2} \frac{a}{\sqrt{u}} du = -\frac{a}{2} \frac{\sqrt{u}}{1/2} \Big|_{a^2}^{a^2 - \varepsilon^2} = a^2 - a\sqrt{a^2 - \varepsilon^2} \rightarrow a^2 \quad \text{si } \varepsilon \rightarrow a.$$

Nota: Observe que A_S también se pudo calcular con $A_S = \iint_D \frac{\sqrt{F_x^2 + F_y^2 + F_z^2}}{|F_z|} dA$. En este caso $\mathbf{F}(x, y, z) = x^2 + y^2 + z^2 - a^2 = 0$. Puesto que esta fórmula solo se puede usar si la proyección es *uno a uno* con la superficie, solo podemos considerar la parte superior de la esfera. Pasando a polares, la integral queda igual al cálculo anterior.

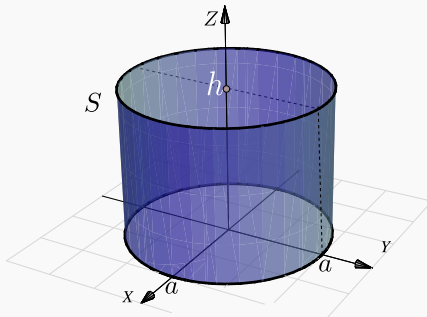
Ejemplo 6.9 (Usando una parametrización de S).

Calcular el área del cilindro $x^2 + y^2 = a^2$ de altura h , es decir $0 \leq z \leq h$.

Solución: Como ya vimos, la parametrización de esta superficie es

$$\mathbf{r}(\theta, z) = a \cos \theta \hat{\mathbf{i}} + a \sin \theta \hat{\mathbf{j}} + z \hat{\mathbf{k}}, \quad (\theta, z) \in D = [0, 2\pi] \times [0, h].$$

Luego,



- $\mathbf{r}_\theta = (-a \sin \theta, a \cos \theta, 0)$
- $\mathbf{r}_z = (0, 0, 1)$
- $\left\| \frac{\partial \mathbf{r}}{\partial \theta} \times \frac{\partial \mathbf{r}}{\partial z} \right\| = \|(a \cos \theta, a \sin \theta, 0)\| = a.$

Entonces,

$$A_S = \iint_D \left\| \frac{\partial \mathbf{r}}{\partial \theta} \times \frac{\partial \mathbf{r}}{\partial z} \right\| dz d\theta = \int_0^{2\pi} \int_0^h a dz d\theta = 2h\pi a.$$

6.4 Flujo través de una superficie S **Campos escalares y campos vectoriales.****Definición 6.3**

Sea $U \subseteq \mathbb{R}^n$ un conjunto abierto. Una aplicación $f : U \rightarrow \mathbb{R}$ se denomina *campo escalar* o función escalar. Una función $\mathbf{F} : U \rightarrow \mathbb{R}^n$ se denomina *campo vectorial*.

Ejemplo 6.10 (Representación gráfica).

Una manera de visualizar el campo gráficamente es anclar en cada punto (x, y) el respectivo vector $\mathbf{F}(x, y)$ (se traslada desde el origen). Pero también se puede anclar el vector de tal manera que el punto quede en el medio del vector (como si el vector fuera parte de una recta tangente). En general, la representación gráfica se hace anclando el vector de esta segunda manera y escalando el tamaño de los vectores de tal manera que unos no se sobrepongan sobre los otros, para tener una mejor visualización de la dirección de “flujo” del campo vectorial. Así lo hace el software (como **Wolfram Mathematica**).

Por ejemplo, Consideremos el campo $\mathbf{F}(x, y) = (-y, x)$. En la figura a.) se dibujan dos vectores anclados en el punto, en la figura b.) se dibujan dos vectores anclados con el punto en el medio y en la figura c.) se hace la representación

gráfica del campo escalando los vectores, tal y como se acostumbra.

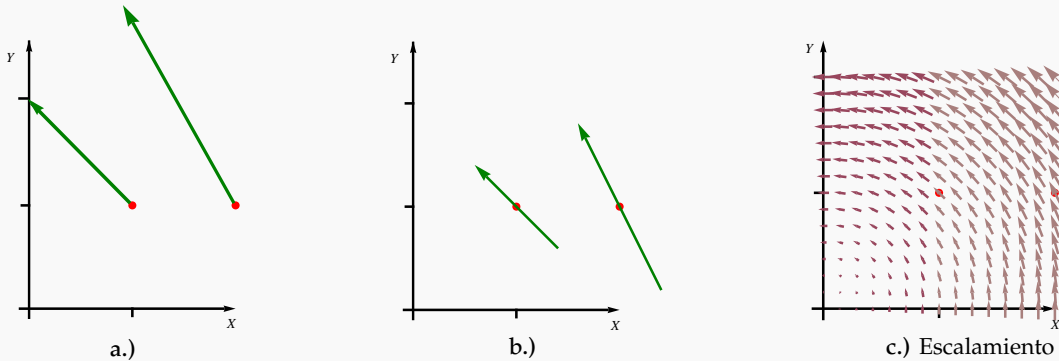


Figura 6.2: Campo $\mathbf{F}(x,y) = (-y,x)$

Ejemplo 6.11

Representación gráfica del campo vectorial $\mathbf{F}_1(x,y) = (2x, 2y)$ y del campo vectorial $\mathbf{F}_2(x,y) = (-y,x)$ sobre la circunferencia $x^2 + y^2 = 1$. Observe que si $z = x^2 + y^2$ entonces $\mathbf{F}_1(x,y) = \nabla z$, por eso los vectores son perpendiculares a esta circunferencia (la curva de nivel $z = 1$).

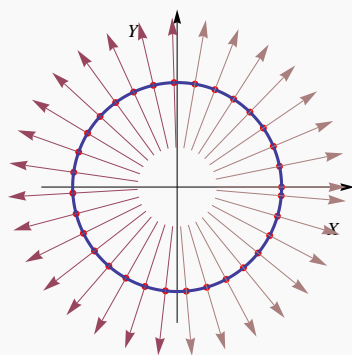


Figura 6.3: \mathbf{F}_1 sobre $x^2 + y^2 = 1$.

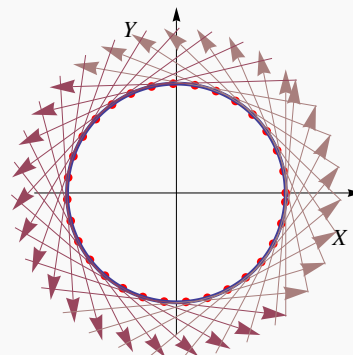


Figura 6.4: \mathbf{F}_2 sobre $x^2 + y^2 = 1$.

Ejemplo 6.12

En la figura a.) se presenta representación gráfica, campo vectorial $\mathbf{F}(x,y) = (\operatorname{sen}y, \operatorname{sen}x)$ y su paso sobre la curva C de ecuación $(x-h)^2 + (y-k)^2 = 1$. En el figura b.) se presenta representación gráfica, campo vectorial $\mathbf{F}(x,y,z) = 0.2(x, yz, xy)$ y su paso sobre la superficie S de ecuación $z = 2 - (x-1)^2 - (y-1)^2$.

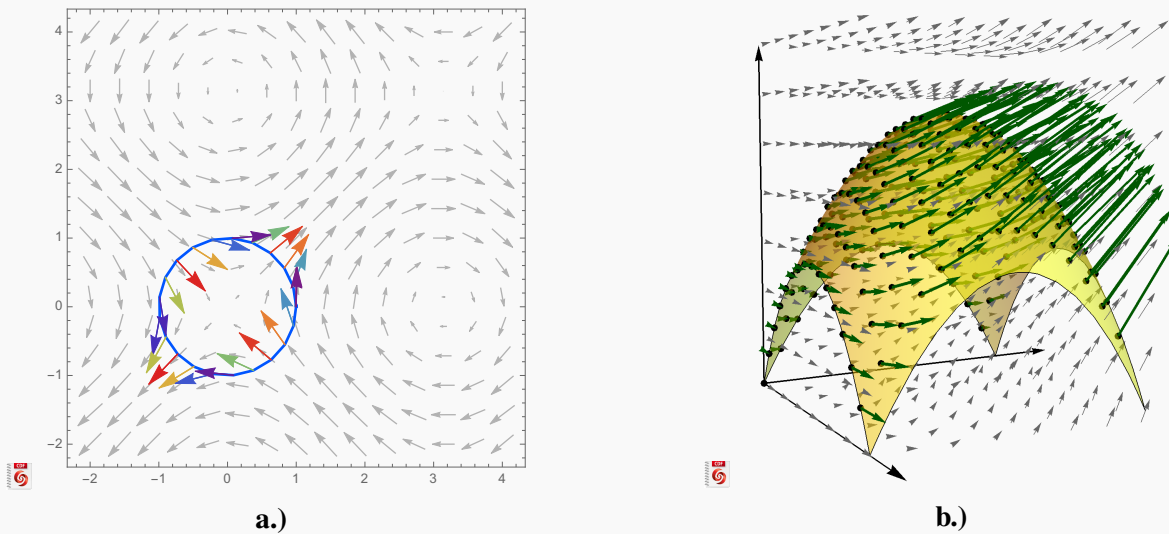


Figura 6.5: Campos vectoriales y su paso por una curva y una superficie

Flujo a través de una superficie

Supongamos que tenemos una región plana S y queremos determinar la cantidad de “fluido” a través de S (se supone que el fluido puede atravesar la superficie sin ninguna resistencia). La cantidad de fluido es “densidad por el ‘volumen’ que ocupa”. Si el flujo se mueve con velocidad constante \mathbf{V} , entonces durante un intervalo de tiempo Δt llenará un paralelepípedo de base S y “extensión” (arista) $\Delta t \mathbf{V}$. El volumen de este paralelepípedo es “área de la base” ΔS por “altura”, la altura h se calcula con la norma proyección de \mathbf{V} sobre el vector normal unitario a S , denotado \mathbf{N} . Como se sabe, $h = \|(\Delta \mathbf{V} \cdot \mathbf{N}) \mathbf{N}\| = \Delta \mathbf{V} \cdot \mathbf{N}$, entonces

Volumen del paralelepípedo sobre S es $\mathbf{V} \cdot \mathbf{N} \Delta S \Delta t$

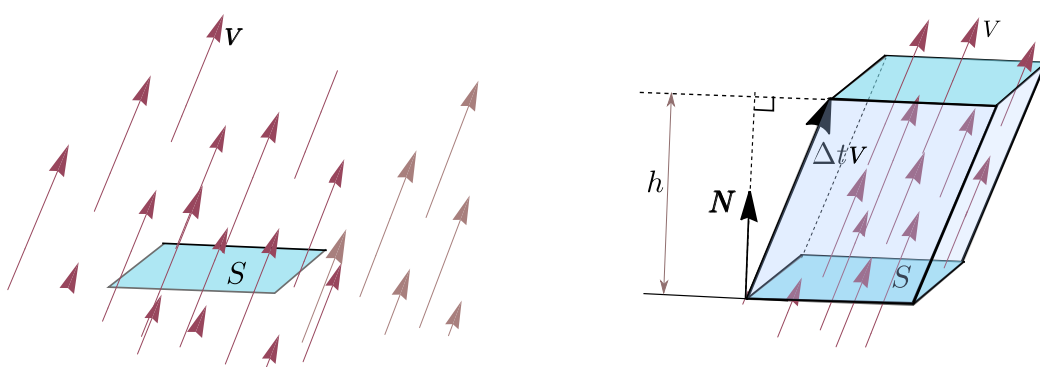


Figura 6.6: El fluido sobre S llena un paralelepípedo

Si el fluido tiene densidad ρ , la masa del fluido es $\Delta M = \rho \mathbf{V} \cdot \mathbf{N} \Delta S \Delta t$. La *densidad del fluido* es $\mathbf{F} = \rho \mathbf{V}$ y el *flujo total* es la masa de fluido que pasa a través de S en una unidad de tiempo: $\mathbf{F} \cdot \mathbf{N} \Delta S$ kilogramos por segundo.

Ahora digamos que tenemos una corriente de fluido en el espacio con velocidad $\mathbf{V}(x, y, z)$ y densidad (masa por unidad de volumen) $\rho(x, y, z)$ en cada punto (x, y, z) . El vector densidad de flujo

$$\mathbf{F}(x, y, z) = \mathbf{V}(x, y, z) \rho(x, y, z)$$

tiene la misma dirección que la velocidad y nos dice cuánta masa de fluido circula por el punto (x, y, z) en la dirección de $\mathbf{V}(x, y, z)$, por unidad de área y de tiempo. Es decir, \mathbf{F} representa la velocidad de un fluido.

Para sugerir una *definición razonable* de cómo medir la masa total de fluido que atraviesa una determinada superficie S en la unidad de tiempo, se considera la superficie S parametrizada por $\mathbf{r}(u, v)$ en una región rectangular D . Sea \mathbf{N} el vector unitario normal que tiene la misma dirección que el producto vectorial fundamental,

$$\mathbf{N} = \frac{\frac{\partial \mathbf{r}}{\partial u} \times \frac{\partial \mathbf{r}}{\partial v}}{\left\| \frac{\partial \mathbf{r}}{\partial u} \times \frac{\partial \mathbf{r}}{\partial v} \right\|} \quad (6.1)$$

Para medir la cantidad de fluido que pasa a través de S en la unidad de tiempo y en “la dirección” de \mathbf{N} , se descompone el rectángulo D en m subrectángulos D_1, D_2, \dots, D_m . Sean S_1, S_2, \dots, S_m las correspondientes porciones de superficie en S . Llamamos ΔS_k a la k -ésima porción S_k . Si la densidad ρ y la velocidad \mathbf{V} son constantes en S_k y S_k es suficientemente plana, el fluido que atraviesa S_k en la unidad de tiempo ocupa un paralelepípedo con base S_k y eje determinado por el vector velocidad \mathbf{V} .

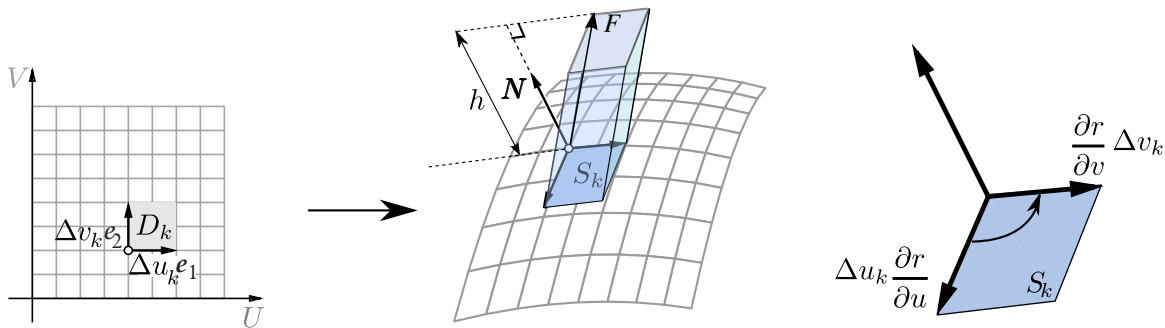
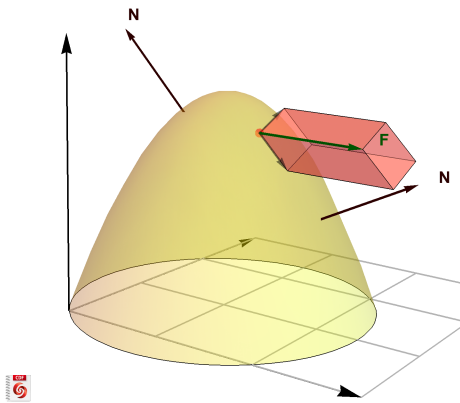
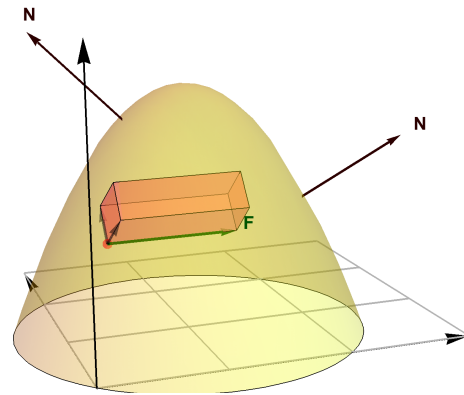


Figura 6.7: El fluido sobre S_k ocupa un paralelepípedo

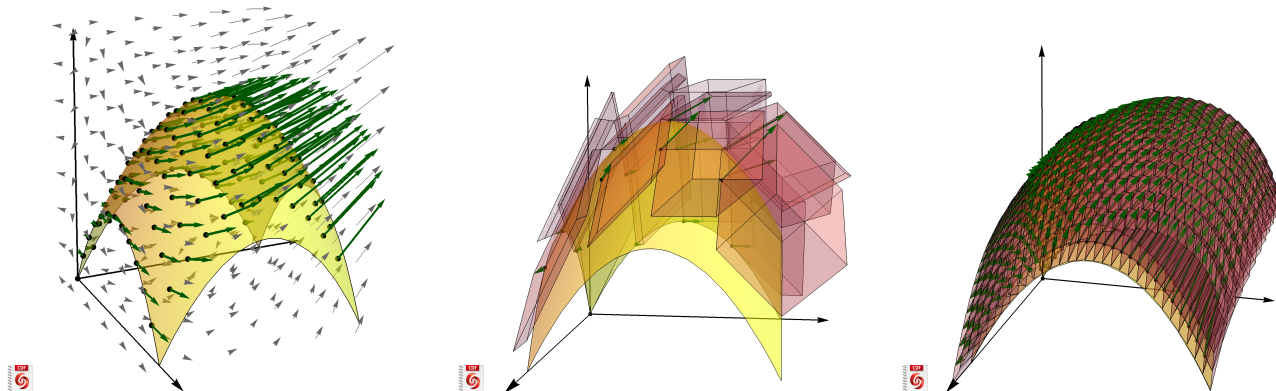
Como el área de S_k es $\Delta S_k = \left\| \frac{\partial \mathbf{r}}{\partial u} \times \frac{\partial \mathbf{r}}{\partial v} \right\| \Delta u_k \Delta v_k$, el fluido sobre S_k ocupa un paralelepípedo de volumen (base por altura),

$$\Delta S_k \rho \mathbf{V} \cdot \mathbf{N} = \mathbf{F} \cdot \mathbf{N} \Delta S_k \approx \mathbf{F} \cdot \mathbf{N} \left\| \frac{\partial \mathbf{r}}{\partial u} \times \frac{\partial \mathbf{r}}{\partial v} \right\| \Delta u_k \Delta v_k$$

**Figura 6.8:** El fluido sobre S_k en “dirección” de N **Figura 6.9:** El fluido sobre S_k contra la “dirección” de N

6.5 Integral de flujo.

La discusión anterior sugiere que la suma $\sum_{k=1}^m \mathbf{F} \cdot \mathbf{N} \Delta S_k$ puede ser una aproximación aceptable de la masa total de fluido que atraviesa S_k en la unidad de tiempo.

**Figura 6.10:** El flujo neto, por unidad de tiempo, es la suma de los flujos (volúmenes de los paralelepípedos)

Si \mathbf{F} es la densidad de flujo de una corriente de fluido y \mathbf{N} es el vector unitario normal a S definido por

$$\mathbf{N} = \frac{\frac{\partial \mathbf{r}}{\partial u} \times \frac{\partial \mathbf{r}}{\partial v}}{\left\| \frac{\partial \mathbf{r}}{\partial u} \times \frac{\partial \mathbf{r}}{\partial v} \right\|},$$

entonces la masa total de fluido (flujo neto) que pasa por S por unidad de tiempo “en la dirección” de \mathbf{N} es

$$\iint_S \mathbf{F} \cdot \mathbf{N} dS = \iint_D \mathbf{F}(\mathbf{r}(u, v)) \cdot \frac{\frac{\partial \mathbf{r}}{\partial u} \times \frac{\partial \mathbf{r}}{\partial v}}{\left\| \frac{\partial \mathbf{r}}{\partial u} \times \frac{\partial \mathbf{r}}{\partial v} \right\|} \left\| \frac{\partial \mathbf{r}}{\partial u} \times \frac{\partial \mathbf{r}}{\partial v} \right\| dA = \iint_D \mathbf{F}(\mathbf{r}(u, v)) \cdot \frac{\partial \mathbf{r}}{\partial u} \times \frac{\partial \mathbf{r}}{\partial v} dA$$

Orientación. Nuestra expresión para el flujo total lleva implícita la escongencia de uno de los dos vectores normales unitarios. Escoger un vector unitario para la región S es equivalente a “orientar” la región (como veremos más adelante). Esta escogencia de \mathbf{N} decide el signo de $\mathbf{F} \cdot \mathbf{N}$.

En lo que sigue, siempre vamos a escoger $\mathbf{N} = \frac{\frac{\partial \mathbf{r}}{\partial u} \times \frac{\partial \mathbf{r}}{\partial v}}{\left\| \frac{\partial \mathbf{r}}{\partial u} \times \frac{\partial \mathbf{r}}{\partial v} \right\|}$.

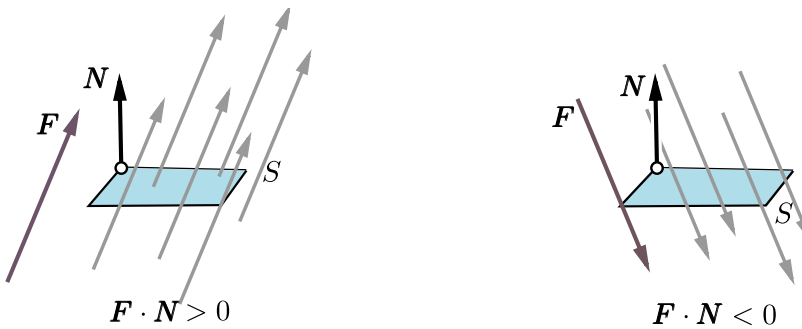


Figura 6.11: S se orienta con \mathbf{N} . $\iint_S \mathbf{F} \cdot \mathbf{N} dS$ calcula el flujo neto en “la dirección” del \mathbf{N} escogido

En las aplicaciones es frecuente convenir en cuál \mathbf{N} se escoge, para poder interpretar el resultado de $\iint_S \mathbf{F} \cdot \mathbf{N} dS$ como “flujo neto” en la dirección escogida. La integral $\iint_S \mathbf{F} \cdot \mathbf{N} dS$ calcula el flujo neto: El flujo que pasa en la “dirección” de el vector \mathbf{N} escogido, “suma” y el flujo que pasa en la “dirección contraria”, “resta”. La suma de todo esto es el flujo neto.

Caso $z = f(x, y)$

Como consecuencia tenemos que si $S : z = f(x, y)$ con f de clase C^1 sobre \bar{D} , se puede parametrizar S con $\mathbf{r}(x, y) = x\hat{\mathbf{i}} + y\hat{\mathbf{j}} + f(x, y)\hat{\mathbf{k}}$ y entonces

$$\iint_S \mathbf{F} \cdot \mathbf{N} dS = \iint_{D_{xy}} \mathbf{F}(x, y, z) \cdot (-f_x, -f_y, 1) dA$$

Integral de Flujo – Proyectando sobre varios planos.

- a) **Proyectando sobre XY:** Si $S : z = z(x, y)$ o $S : G(x, y, z) = 0$, con $(x, y) \in D_{xy}$

$$\iint_S \mathbf{F} \cdot \mathbf{N} dS = \iint_{D_{xy}} \mathbf{F}(x, y, z(x, y)) \cdot (-z_x, -z_y, 1) dA,$$

o, en “versión implícita”,

$$\iint_S \mathbf{F} \cdot \mathbf{N} dS = \iint_{D_{xy}} \mathbf{F}(x, y, z(x, y)) \cdot (G_x, G_y, G_z) \frac{1}{G_z} dA$$

b) Proyectando sobre XZ: Si $S : y = y(x, z)$ o $S : G(x, y, z) = 0$, con $(x, z) \in D_{xz}$

$$\iint_S \mathbf{F} \cdot \mathbf{N} dS = \iint_{D_{xz}} \mathbf{F}(x, y(x, z), z) \cdot (-y_x, 1, -y_z) dA$$

o, en “versión implícita”,

$$\iint_S \mathbf{F} \cdot \mathbf{N} dS = \iint_{D_{xz}} \mathbf{F}(x, y(x, z), z) \cdot (G_x, G_y, G_z) \frac{1}{G_y} dA$$

c) Proyectando sobre YZ: Si $S : x = x(y, z)$ o $S : G(x, y, z) = 0$, con $(y, z) \in D_{yz}$

$$\iint_S \mathbf{F} \cdot \mathbf{N} dS = \iint_{D_{yz}} \mathbf{F}(x(y, z), y, z) \cdot (1, -x_y, -x_z) dA$$

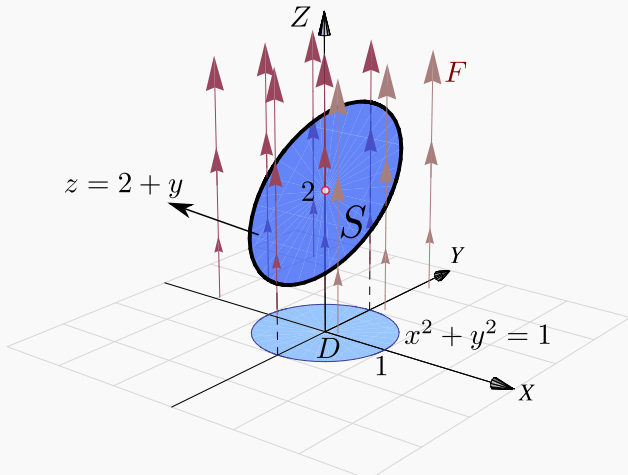
o, en “versión implícita”,

$$\iint_S \mathbf{F} \cdot \mathbf{N} dS = \iint_{D_{yz}} \mathbf{F}(x(y, z), y, z) \cdot (G_x, G_y, G_z) \frac{1}{G_x} dA$$

Ejemplo 6.13

Calcular $\iint_S \mathbf{F} \cdot \mathbf{N} dS$ si $\mathbf{F}(x, y, z) = (z+1) \hat{\mathbf{k}}$ y S es la superficie $z = 2+y$ con $x^2 + y^2 = 1$.

Solución: La superficie S tiene ecuación $z = 2+y$. D_{xy} es el círculo de radio 1. Entonces,



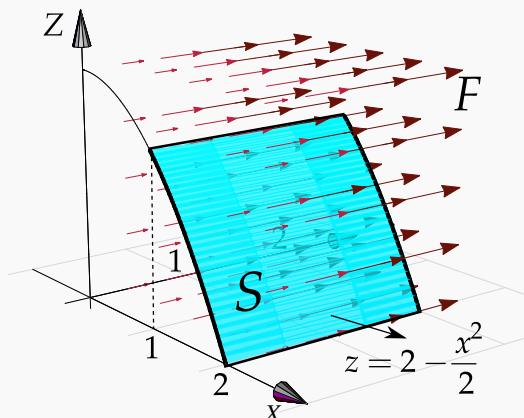
$$\begin{aligned}\iint_S \mathbf{F} \cdot \mathbf{N} dS &= \iint_{D_{xy}} (0, 0, z+1) \cdot (-z_x, -z_y, 1) dA \\ &= \iint_{D_{xy}} (0, 0, 2+y+1) \cdot (0, -1, 1) dA \\ &= \iint_{D_{xy}} y+3 dA = \int_0^{2\pi} \int_0^1 (3+r \sin \theta) r dr d\theta = \int_0^{2\pi} \frac{6+\sin(\theta)}{4} d\theta = 3\pi\end{aligned}$$

Ejemplo 6.14

Sea $\mathbf{F}(x, y, z) = (0, y, 0)$ y S el cilindro $z = 2 - \frac{x^2}{2}$, desde $y = 0$ hasta $y = 2$, como se ve en la figura.

Calcular $\iint_S \mathbf{F} \cdot \mathbf{N} dS$

Solución: Intuitivamente, el flujo *no pasa a través* de la superficie S , así que la integral de flujo debería ser 0.



En este caso solo se puede proyectar sobre YZ o XY . La proyección sobre YZ es un rectángulo. Sea $S: G(x, y, z) = 0$ con $G(x, y, z) = z - 2 + \frac{x^2}{2}$. Entonces,

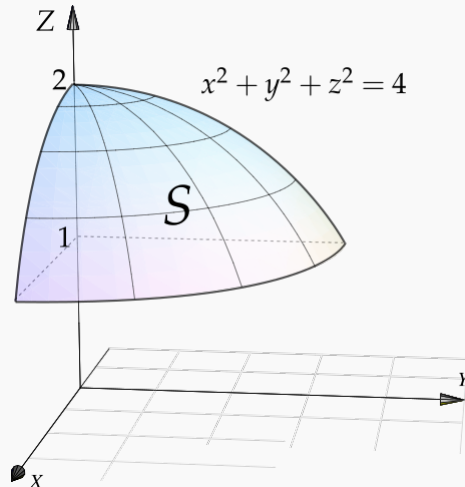
$$\begin{aligned}
 \iint_S \mathbf{F} \cdot \mathbf{N} dS &= \iint_{D_{yz}} \mathbf{F} \cdot \frac{\nabla G}{G_x} dA \\
 &= \int_0^2 \int_0^{3/2} (0, y, 0) \cdot (\mathbf{x}, 0, 1) \frac{1}{x} dz dy \\
 &= \int_0^2 \int_0^{3/2} 0 dz dy = 0
 \end{aligned}$$

Ejemplo 6.15

Calcular $\iint_S \mathbf{F} \cdot \mathbf{N} dS$ si $\mathbf{F}(x, y, z) = 4xz\hat{i} + yz^3\hat{j} + z^2\hat{k}$ y S es la superficie $x^2 + y^2 + z^2 = 4$ entre $z = 1$ y $z = 2$.

Solución: La superficie S tiene ecuación $G(x, y, z) = 0$ con $G(x, y, z) = x^2 + y^2 + z^2 - 4$. La proyección D_{xy} es el círculo $x^2 + y^2 = 3$. Entonces,

$$\begin{aligned}
 \iint_S \mathbf{F} \cdot \mathbf{N} dS &= \iint_{D_{xy}} (4x\cancel{z}, y\cancel{z}^3, \cancel{z}^2) \cdot \frac{\nabla G}{G_z} dA \\
 &= \iint_{D_{xy}} (4x\cancel{z}, y\cancel{z}^3, \cancel{z}^2) \cdot \left(\frac{x}{\cancel{z}}, \frac{y}{\cancel{z}}, 1 \right) dA \\
 &= \iint_{D_{xy}} 4x^2 + y^2 \cancel{z}^2 + \cancel{z}^2 dA \\
 &= \iint_{D_{xy}} 4x^2 + y^2 (4 - x^2 - y^2) + 4 - x^2 - y^2 dA \\
 &= \frac{1}{2} \int_0^{\pi/2} \int_0^{\sqrt{3}} (8 + 6r^2 - r^4 + r^4 \cos 2\theta) r dr d\theta \\
 &= \frac{21\pi}{4}.
 \end{aligned}$$



Ejemplo 6.16

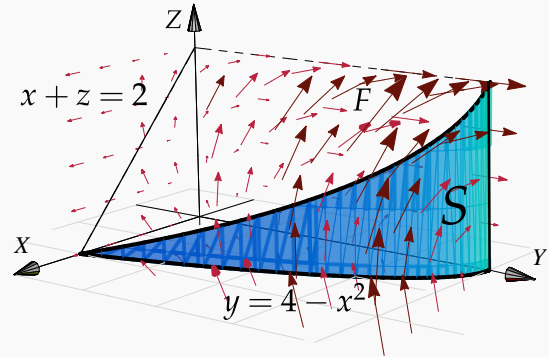
Calcular $\iint_S \mathbf{F} \cdot \mathbf{N} dS$ si

$$\mathbf{F}(x, y, z) = (x, yz, xy)$$

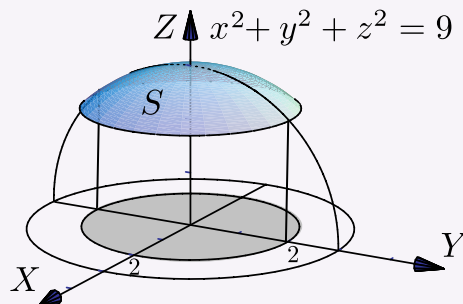
y S el cilindro de ecuación $y = 4 - x^2$ limitado por el plano $x + z = 2$, tal y como se muestra en la figura de la derecha.

Solución: La superficie S tiene ecuación $G(x, y, z) = 0$ con $G(x, y, z) = y + x^2 + 4$. La proyección de S sobre el plano XZ es un triángulo.

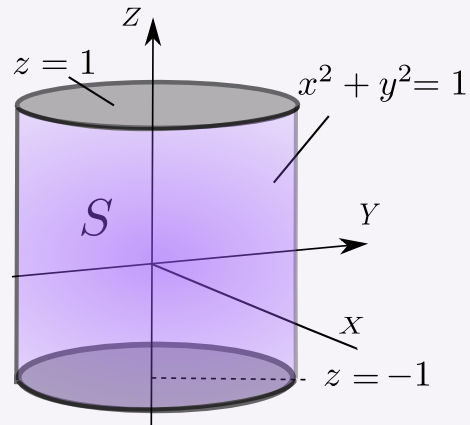
$$\begin{aligned}\iint_S \mathbf{F} \cdot \mathbf{N} dS &= \iint_{D_{xz}} (x, yz, xy) \cdot \frac{\nabla G}{G_y} dA \quad \text{donde } S: G(x, y, z) = y + x^2 + 4 = 0. \\ &= \iint_{D_{xz}} (x, yz, xy) \cdot (2x, 1, 0) dA \\ &= \int_0^2 \int_0^{2-x} 2x^2 + yz dz dx \\ &= \int_0^2 \int_0^{2-x} 2x^2 + (4-x^2)z dz dx = \frac{112}{15}\end{aligned}$$

**25****Ejercicios**

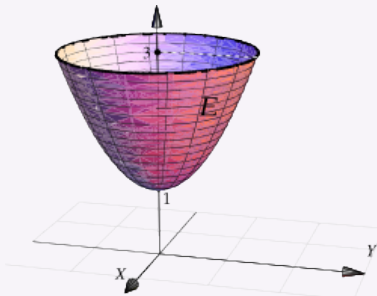
- 6.5.1 Calcule $I = \iint_S \mathbf{F} \cdot \mathbf{N} dS$ donde \mathbf{F} es el campo vectorial dado por $\mathbf{F}(x, y, z) = y\hat{i} - x\hat{j} + 8z\hat{k}$ y S la parte de la esfera de ecuación $x^2 + y^2 + z^2 = 9$ que se encuentra dentro del cilindro $x^2 + y^2 = 4$, como se observa en la figura.



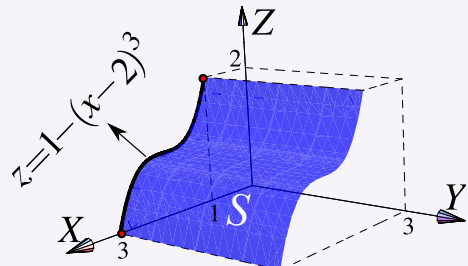
- 6.5.2** Sea $\mathbf{F}(x,y,z) = xy^2 \hat{i} + x^2y \hat{j} + y \hat{k}$. Sea S es la superficie dada por $S = S_a \cup S_b \cup S_c$ donde S_a, S_b, S_c son las tres superficies frontera del sólido Q limitado por $x^2 + y^2 = 1$, $z = 1$ y $z = -1$ como se ve en la figura. Calcule $\iint_S \mathbf{F} \cdot \mathbf{N} dS$ donde \mathbf{N} es el vector normal unitario exterior a Q .



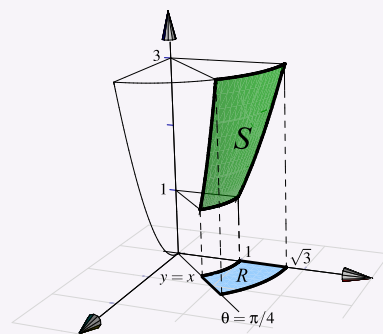
- 6.5.3** Sea $\mathbf{F}(x,y,z) = x \hat{i} + y \hat{j} + z \hat{k}$ y E es la superficie de ecuación $z = 1 + x^2 + y^2$, con $1 \leq z \leq 3$, tal y como se muestra en la figura. Calcular $\iint_E \mathbf{F} \cdot \mathbf{N} dS$.



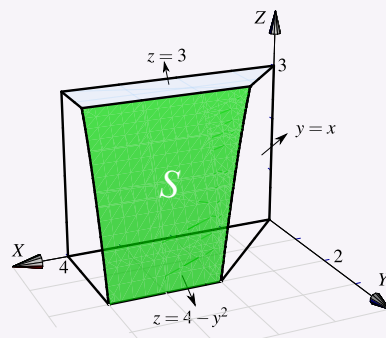
- 6.5.4** Sea $\mathbf{F}(x,y,z) = (0, x+y, z)$. Calcule la integral de superficie $\iint_S \mathbf{F} \cdot \mathbf{N} dS$, donde S es el trozo de cilindro de ecuación $z = 1 - (x-2)^3$ que está limitado por los planos $y = 0$, $y = 3$, $z = 1$ y $z = 2$ tal y como se muestra en la figura.



- 6.5.5** Sea S la superficie de ecuación $z = x^2 + y^2$ que se encuentra limitada por los planos $z = 1$, $z = 3$, $y = x$ y el plano $x = 0$, tal y como se muestra en la figura. Calcule $\iint_S \mathbf{F} \cdot \mathbf{N} dS$ si $\mathbf{F}(x,y,z) = (x, y, z^2)$



 **6.5.6** Sea $F(x, y, z) = (xy, x, z+1)$ y sea S la porción de superficie de ecuación $z = 4 - y^2$ limitada por las superficies $z = 3$, $x = 4$, $z = 0$ y $x = y$, tal y como se muestra en la figura de la derecha. Calcular $\iint_S \mathbf{F} \cdot \mathbf{N} dS$.



6.6 Superficies orientables.

Sea S una superficie y $\mathbf{r}(u, v)$ una parametrización de S . Los vectores normales a S , en (u, v) , puede escogerse entre los dos vectores unitarios opuestos

$$\mathbf{N}(u, v) = \pm \frac{\frac{\partial \mathbf{r}}{\partial u} \times \frac{\partial \mathbf{r}}{\partial v}}{\left\| \frac{\partial \mathbf{r}}{\partial u} \times \frac{\partial \mathbf{r}}{\partial v} \right\|}$$

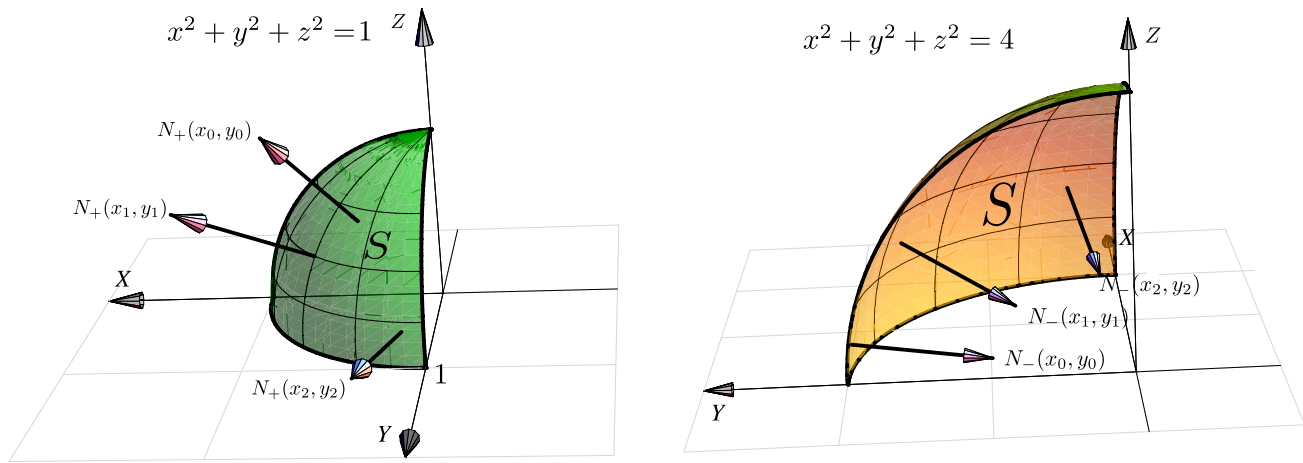
Caso $S : z = f(x, y)$

En el caso de que $S : z = f(x, y)$, si $\mathbf{r}(x, y) = x\hat{i} + y\hat{j} + f(x, y)\hat{k}$ y entonces

$$\mathbf{N}_+(x, y) = \frac{(-f_x, -f_y, 1)}{\sqrt{f_x^2 + f_y^2 + 1}} \quad \text{y} \quad \mathbf{N}_-(x, y) = -\frac{(-f_x, -f_y, 1)}{\sqrt{f_x^2 + f_y^2 + 1}}$$

Si la superficie tiene dos “caras”, el signo hace que cada vector normal esté en un lado u otro de la superficie. Este hecho se usa para “orientar” una superficie. Orientar una superficie significa escoger un signo para \mathbf{N} , una cara de la superficie es caracterizado por \mathbf{N} y la otra cara por $-\mathbf{N}$. Como \mathbf{N} depende de la parametrización \mathbf{r} , es ésta la que al fin y al cabo orienta la superficie.

En el caso de una esfera, cada vector $\mathbf{N}_+(x, y)$ (con signo positivo) apunta al *exterior* y el cada vector $\mathbf{N}_-(x, y)$ apunta al interior

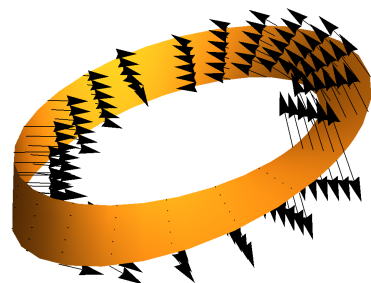


Definición 6.4

Si en cada punto (x, y, z) de la superficie regular S es posible asociar un vector unitario $\mathbf{N}(x, y, z)$ de tal manera que como función, \mathbf{N} sea continua sobre toda la superficie S , entonces se dice que S es *orientable*.

Como decímos, la definición supone que la superficie tiene dos lados. Uno de los lados queda determinado por la función continua $\mathbf{N}(x, y, z)$ sobre S y el otro lado por la normal de signo contrario.

Hay superficies de una sola cara, como la *banda de Möbius*, que no son orientables. En la figura que sigue tenemos una banda de Möbius. Note que la escogencia de \mathbf{N} no orienta la banda, es decir, si escogemos uno de los \mathbf{N} , la presencia de estos vectores \mathbf{N} “arriba” y “abajo” de la banda, muestran que hay una sola cara.



En las integrales de flujo que hemos calculado, hemos usado el vector normal unitario fundamental \mathbf{N}_+ . No siempre este es el vector que se elige para los cálculos. Algunos teoremas requieren superficies orientadas con vectores normales unitarios hacia *el exterior*.

Convenio para superficies cerradas. En el caso de *superficies cerradas*, se conviene en que si \mathbf{N} apunta hacia afuera, esta es “*la orientación positiva*” y si \mathbf{N} apunta hacia adentro, esta es “*la orientación negativa*”.

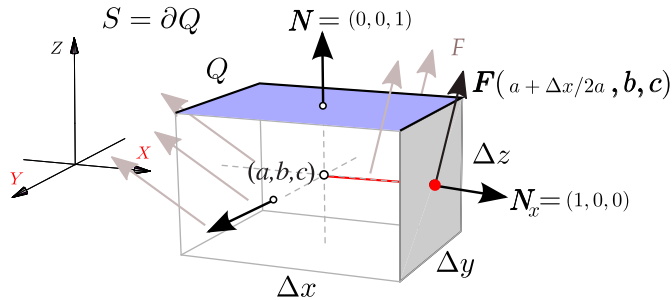
6.7 Teorema de la Divergencia.

Ahora nos interesa analizar el flujo de un campo vectorial $\mathbf{F}(x, y, z) = (P, Q, R)$ continuamente diferenciable, a través de la frontera $S = \partial Q$ de un sólido simple Q , en la dirección del vector normal unitario *exterior* a ∂Q . El flu-

jo total se puede separar entre el flujo que entra al sólido y el flujo que sale, en cada cara del sólido el flujo podría ser distinto.

Divergencia significa “alejarse de”. Intuitivamente, la “divergencia” es la densidad de flujo o flujo neto por unidad de volumen; es la cantidad de flujo que entra o sale en un punto y se calcula como el “cambio de flujo total”, es decir, la suma de el cambio de F en la dirección de X , el cambio de F en la dirección de Y y el cambio de F en la dirección de Z .

En un caso sencillo, se toma un cubo Q centrado en (a, b, c) con aristas paralelas a los ejes. Calcular el flujo sobre $S = \partial Q$ requiere calcular el flujo sobre cada una de las caras.



En la cara que contiene al punto $(a + \Delta x/2, b, c)$ (punto rojo en la figura anterior) la estimación del flujo total Ft_{x+} sería

$$Ft_{x+} \approx \mathbf{F}(a + \Delta x/2, b, c) \cdot (1, 0, 0) \Delta y \Delta z = P(a + \Delta x/2, b, c) \Delta y \Delta z$$

En la cara (opuesta) que contiene al punto $(a - \Delta x/2, b, c)$ la estimación del flujo total Ft_{x-} sería

$$Ft_{x-} \approx \mathbf{F}(a - \Delta x/2, b, c) \cdot (-1, 0, 0) \Delta y \Delta z = -P(a - \Delta x/2, b, c) \Delta y \Delta z$$

Luego el flujo total estimado en ambas caras sería,

$$Ft_{x+} + Ft_{x-} \approx [P(a + \Delta x/2, b, c) - P(a - \Delta x/2, b, c)] \Delta y \Delta z = \frac{\partial P}{\partial x}(a, b, c) \Delta x \Delta y \Delta z \quad \text{si } \Delta x \approx 0$$

De manera similar, si ΔV es el volumen de la caja, el flujo total en las caras paralelas a los planos $y = 0$ y $z = 0$ sería aproximadamente $\frac{\partial Q}{\partial y}(a, b, c) \Delta V$ y $\frac{\partial R}{\partial z}(a, b, c) \Delta V$, respectivamente.

Así, el flujo total a través de $S = \partial Q$ con vector normal exterior, sería aproximadamente

$$\left(\frac{\partial P}{\partial x} + \frac{\partial Q}{\partial y} + \frac{\partial R}{\partial z} \right) \Big|_{(a, b, c)} \Delta V$$

Así, el flujo total que pasa a través de la frontera de una pequeña caja de centro (a, b, c) es un escalamiento del volumen, el factor de escalamiento $\frac{\partial P}{\partial x} + \frac{\partial Q}{\partial y} + \frac{\partial R}{\partial z}$, evaluado en el centro, se llama *divergencia*.

Definición 6.5

La *divergencia* del campo vectorial $\mathbf{F} = (P, Q, R)$ es el campo escalar

$$\mathbf{Div}\mathbf{F} = \frac{\partial P}{\partial x} + \frac{\partial Q}{\partial y} + \frac{\partial R}{\partial z}$$

Si \mathbf{F} es continuamente diferenciable, $\mathbf{Div}\mathbf{F}$ es continuo y si Q_i es una caja de diámetro pequeño, entonces

$$\mathbf{Div}\mathbf{F} \Delta V \approx \iiint_{Q_i} \mathbf{Div}\mathbf{F} dV$$

Pero como $\mathbf{Div}\mathbf{F} \Delta V$ es aproximadamente el flujo total a través de la frontera de Q_i , en la dirección del vector normal exterior, entonces

$$\iiint_{Q_i} \mathbf{Div}\mathbf{F} dV \approx \iint_{\partial Q_i} \mathbf{F} \cdot \mathbf{N} dA$$

La generalización es llamada el *Teorema de la divergencia* o *Teorema de Gauss*.

Teorema 6.1 (Teorema de la Divergencia).

Sea Q un sólido limitado por una superficie orientable S y sea \mathbf{N} el vector normal unitario siempre exterior a Q . Si \mathbf{F} es un campo vectorial de clase C^1 sobre Q entonces

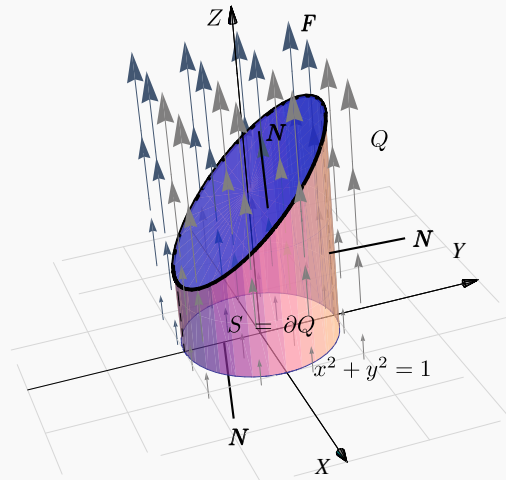
$$\iiint_Q \mathbf{Div}\mathbf{F} dV = \iint_S \mathbf{F} \cdot \mathbf{N} dS$$

donde $\mathbf{Div}\mathbf{F} = P_x + Q_y + R_z$ si $\mathbf{F} = (P, Q, R)$.

Ejemplo 6.17

Calcular $\iint_S \mathbf{F} \cdot \mathbf{N} dS$ si $\mathbf{F}(x, y, z) = (z+1) \hat{\mathbf{k}}$, S es la frontera del sólido Q limitado por el cilindro $x^2 + y^2 = 1$, el plano $z = 2 + y$ y $z = 0$, como se ve en la figura, y \mathbf{N} es el vector unitario siempre exterior a Q .

Solución: En vez de calcular la integral sobre cada una de las tres superficies que conforman la frontera de Q (ver los ejemplos 6.5, ?? y 6.14), usamos el teorema de la divergencia.



• $\mathbf{F}(x, y, z) = (0, 0, z+1)$ y $\text{Div } \mathbf{F} = 0 + 0 + 1 = 1$.

Proyectando sobre el plano XY y usando coordenadas cilíndricas, tenemos

$$\begin{aligned}\iint_S \mathbf{F} \cdot \mathbf{N} dS &= \iiint_Q \text{Div } \mathbf{F} dV \\ &= \iint_D \int_0^{2+y} 1 dz dA \quad (\text{la cantidad de flujo coincide con el volumen de } Q!) \\ &= \int_0^{2\pi} \int_0^1 \int_0^{2+r\sin\theta} 1 r dz dr d\theta = 2\pi\end{aligned}$$

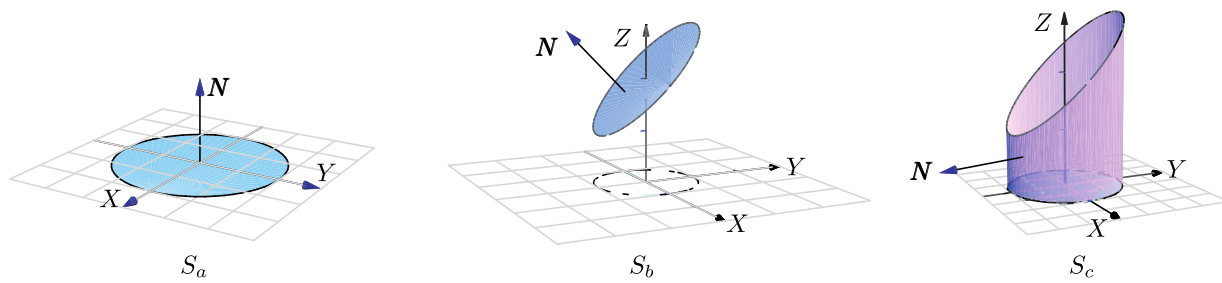
La importancia de que \mathbf{N} se exterior a Q . Se pide \mathbf{N} se exterior a Q por convenio, para medir el flujo en esa dirección. Si \mathbf{N} no es siempre exterior a Q , el flujo neto, por supuesto, cambia.

Consideremos los ejemplos 6.5, ?? y 6.14. El cálculo de la integral de flujo se hizo siempre con

$$\mathbf{N}_1 = (-f_x, -f_y, 1)$$

pero este vector no siempre es exterior a Q . En el caso de la superficie S_a (figura siguiente), este vector *no es exterior* y

$$\iint_{S_a} \mathbf{F} \cdot \mathbf{N} dS = \pi.$$



El resultado es

$$\iint_S \mathbf{F} \cdot \mathbf{N} dS = \iint_{S_a} \mathbf{F} \cdot (-\mathbf{N}) dS + \iint_{S_b} \mathbf{F} \cdot \mathbf{N} dS + \iint_{S_c} \mathbf{F} \cdot \mathbf{N} dS = -\pi + 3\pi + 0 = \iiint_Q \operatorname{Div} \mathbf{F} dV = 2\pi$$

Ejemplo 6.18

Calcular $\iint_S \mathbf{F} \cdot \mathbf{N} dS$ si

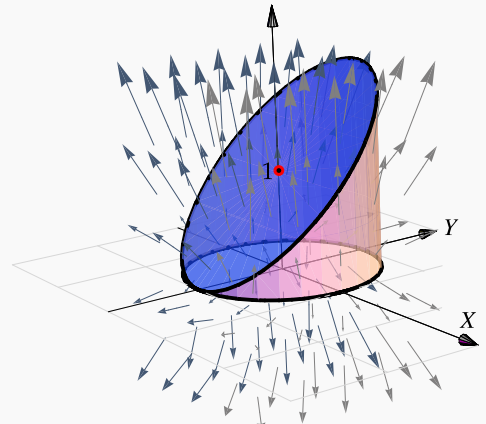
$$\mathbf{F}(x, y, z) = y \cos x \hat{i} + \frac{1}{2} y^2 \sin x \hat{j} + z \hat{k}$$

y S es la frontera del sólido Q comprendido entre las superficies $z = 1 + y$, $x^2 + y^2 = 1$ y $z = 0$, y \mathbf{N} es el vector normal unitario siempre exterior a Q .

Solución: Podemos usar el teorema de la divergencia. La proyección del sólido sobre el plano XY es un círculo $x^2 + y^2 = 1$.

• $\operatorname{Div} \mathbf{F} = -y \sin x + y \sin x + 1 = 1$.

$$\begin{aligned} \iint_S \mathbf{F} \cdot \mathbf{N} dS &= \iiint_Q \operatorname{Div} \mathbf{F} dV \\ &= \iint_D \int_0^{1+y} 1 r dz dA \\ &= \int_0^{2\pi} \int_0^1 \int_0^{1+r \sin \theta} r dz dr d\theta = \int_0^{2\pi} \int_0^1 (1 + r \sin \theta) r dr d\theta = \pi \end{aligned}$$



Ejemplo 6.19

Sea Q el sólido limitado por las superficies $S_a : z = \operatorname{sen}(xy)$, $S_b : x = \frac{\pi}{2}$ y $S_c : y = x$.

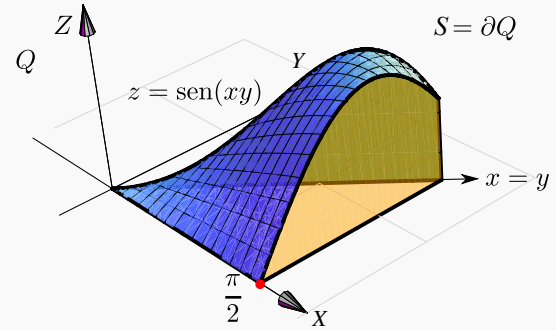
Sea S la frontera del sólido Q y \mathbf{N} es el vector normal unitario y exterior a Q .

Calcule $\iiint_{S_1} \mathbf{F} \cdot \mathbf{N} dS$ si $\mathbf{F} = \left(\frac{x^3}{3}, z, yx \right)$.

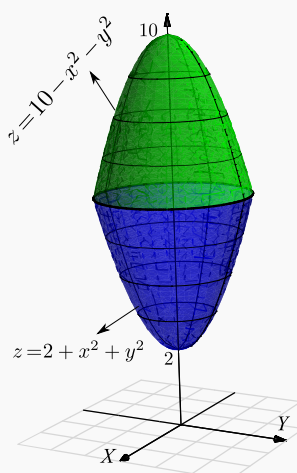
Solución: Podemos usar el teorema de la divergencia. La proyección del sólido sobre el plano XY es el triángulo $0 \leq x \leq \pi/2$ y $0 \leq y \leq x$.

• $\operatorname{Div} \mathbf{F} = x^2$

$$\begin{aligned} \iint_S \mathbf{F} \cdot \mathbf{N} dS &= \iiint_Q \operatorname{Div} \mathbf{F} dV \\ &= \int_0^{\frac{\pi}{2}} \int_0^x \int_0^{\operatorname{sen}(xy)} x^2 dz dy dx \\ &= \int_0^{\frac{\pi}{2}} \int_0^x x^2 \operatorname{sen}(xy) dy dx = \int_0^{\frac{\pi}{2}} x - x \cos(x^2) dx = \frac{1}{8} \left(\pi^2 - 4 \operatorname{sen}\left(\frac{\pi^2}{4}\right) \right) \end{aligned}$$

**Ejemplo 6.20**

Calcular $\iint_S \mathbf{F} \cdot \mathbf{N} dS$ si $\mathbf{F}(x, y, z) = x \hat{i} + y \hat{j} + z \hat{k}$ y S es la frontera del sólido Q comprendido entre las superficies $z = 10 - x^2 - y^2$ y $z = 2 + x^2 + y^2$, y \mathbf{N} es el vector normal unitario siempre exterior a Q .



Solución: Podemos usar el teorema de la divergencia.

- $\mathbf{F}(x,y,z) = (x,y,z)$ y $\operatorname{Div} \mathbf{F} = 1 + 1 + 1 = 3$.

- La proyección del sólido sobre el plano xy es un círculo de radio 2 pues

$$z = 10 - x^2 - y^2 \cap z = 2 + x^2 + y^2 \implies 4 = x^2 + y^2.$$

Usando coordenadas cilíndricas obtenemos,

$$\begin{aligned}\iint_S \mathbf{F} \cdot \mathbf{N} dS &= \iiint_Q \operatorname{Div} \mathbf{F} dV \\ &= \iint_D \int_{2+x^2+y^2}^{10-x^2-y^2} 3 dz dA \\ &= \int_0^{2\pi} \int_0^2 \int_{2+r^2}^{10-r^2} 3r dz dr d\theta = 48\pi\end{aligned}$$

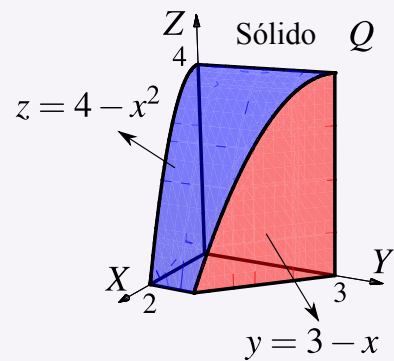
26

Ejercicios

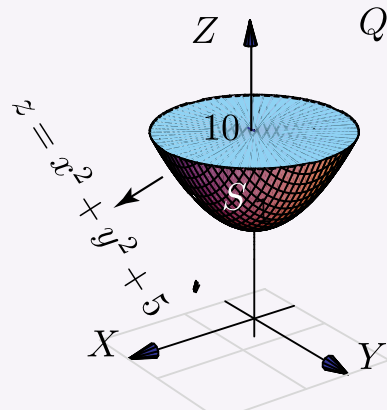
- 6.7.1 Consideremos el campo de fuerzas \mathbf{F} con

$$\mathbf{F}(x,y,z) = (x + \operatorname{sen}(y)) \hat{\mathbf{i}} + (\ln(xz) - y) \hat{\mathbf{j}} + (2z + \arctan(xy)) \hat{\mathbf{k}}$$

Calcule la integral de superficie $\iint_S \mathbf{F} \cdot \mathbf{N} dS$ donde S es la frontera del sólido Q , el cual se muestra en la figura a la derecha y \mathbf{N} es el vector normal unitario siempre exterior a Q .



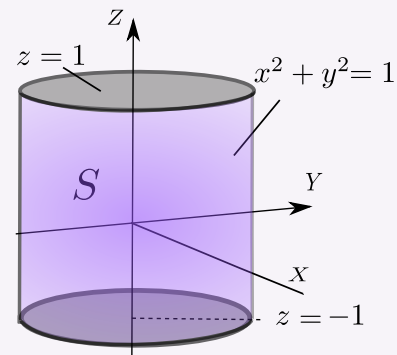
- 6.7.2 Use el teorema de la divergencia para calcular $\iint_S \mathbf{F} \cdot \mathbf{N} dS$ donde S es la frontera del sólido Q , limitado por la superficie $z = x^2 + y^2 + 5$ y el plano $z = 10$, tal y como se muestra en la figura a la derecha, $\mathbf{F}(x,y,z) = 2x \hat{\mathbf{i}} + y \hat{\mathbf{j}} + z \hat{\mathbf{k}}$ y N es el vector normal unitario exterior a Q .



6.7.3 Calcule $\iint_S \mathbf{F} \cdot \mathbf{N} dS$ si

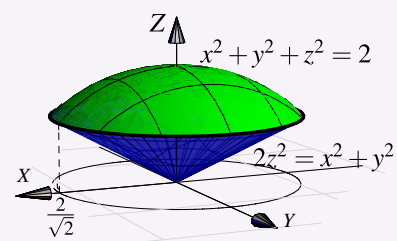
$$\mathbf{F}(x, y, z) = xy^2 \hat{\mathbf{i}} + x^2y \hat{\mathbf{j}} + y \hat{\mathbf{k}},$$

y S es la superficie dada por $S = S_a \cup S_b \cup S_c$ donde S_a, S_b, S_c son las tres superficies frontera del sólido Q limitado por $x^2 + y^2 = 1$, $z = 1$ y $z = -1$ como se ve en la figura, además \mathbf{N} es el vector normal unitario siempre exterior a Q .



6.7.4 Sea E la frontera del sólido Q limitado por la esfera $x^2 + y^2 + z^2 = 2$ y el cono $2z^2 = y^2 + x^2$, tal y como se muestra en la figura.

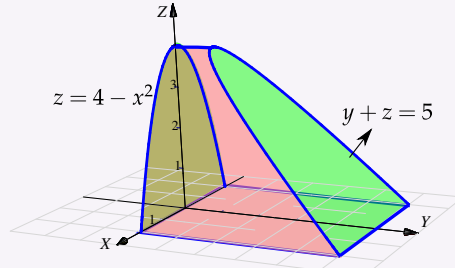
Si $\mathbf{F}(x, y, z) = xz \hat{\mathbf{i}} + x \arctan(xz) \hat{\mathbf{j}} + \frac{z^2}{2} \hat{\mathbf{k}}$, calcular $\iint_E \mathbf{F} \cdot \mathbf{N} dS$ si \mathbf{N} es el vector normal unitario siempre exterior a Q .



6.7.5 Sea Q el sólido que se muestra en la figura a la derecha y sea S la frontera de Q , es decir, $S = \partial Q$. Calcule $\iint_S \mathbf{F} \cdot \mathbf{N} dS$ donde

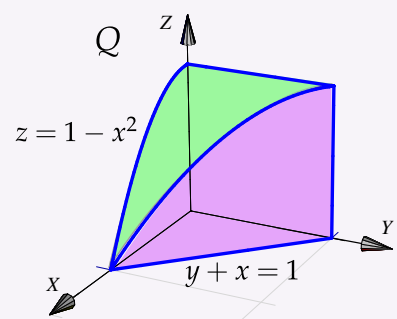
$$\mathbf{F}(x, y, z) = (x^3 + \operatorname{sen} z, x^2y + \cos z, \tan(x^2 + y^2))$$

y \mathbf{N} es el vector normal unitario siempre exterior a Q .



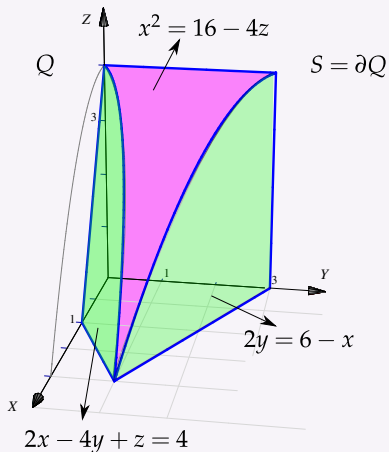
6.7.6 Sea $\mathbf{F}(x, y, z) = 3y \hat{\mathbf{i}} - xz \hat{\mathbf{j}} + yz \hat{\mathbf{k}}$, S es la frontera del sólido Q , el cual se muestra a la derecha, y N es un vector normal exterior a Q .

- a.) Calcule $\iint_S \mathbf{F} \cdot \mathbf{N} dS$ sin usar el Teorema de la Divergencia.
- b.) Calcule $\iint_S \mathbf{F} \cdot \mathbf{N} dS$ usando el teorema de la Divergencia.



 **6.7.7** Sea $\mathbf{F}(x, y, z) = (z^2 + 2)\mathbf{k}$, S es la frontera del sólido Q , el cual se muestra a la derecha, y N es un vector normal exterior a Q .

- Calcule $\iint_S \mathbf{F} \cdot \mathbf{N} dS$ sin usar el Teorema de la Divergencia.
- Calcule $\iint_S \mathbf{F} \cdot \mathbf{N} dS$ usando el teorema de la Divergencia.



6.8 Integral sobre una superficie.

La anterior discusión sobre integrales de flujo, nos lleva a una propuesta razonable de lo que puede ser una integral sobre una superficie. Si ponemos $f(x, y, z) = \mathbf{F} \cdot \mathbf{N}$, tenemos la siguiente definición,

Definición 6.6

Sea D un conjunto abierto y medible y S una superficie regular parametrizada por la función $\mathbf{r}(u, v)$, de clase C^1 en $\bar{D} = \text{interior}(D) \cup \partial D$, donde $(u, v) \in D$, de modo que $\left\| \frac{\partial \mathbf{r}}{\partial u} \times \frac{\partial \mathbf{r}}{\partial v} \right\| > 0$ para todo $(u, v) \in D$, y r es una biyección entre D y S .

Sea $f(x, y, z)$ una función definida y acotada sobre \bar{S} . Se define la integral de superficie de f sobre S por

$$\iint_S f(x, y, z) dS = \iint_D f(\mathbf{r}(u, v)) \left\| \frac{\partial \mathbf{r}}{\partial u} \times \frac{\partial \mathbf{r}}{\partial v} \right\| dA.$$

Si $S = S_1 \cup \dots \cup S_m$ es la unión finita de superficies parametrizadas que se intersecan a lo sumo en curvas que forman parte de sus fronteras entonces,

$$\iint_S g(x, y, z) dS = \sum_i^m \iint_{S_i} g(x, y, z) dS$$

Integral de superficie con coordenadas rectangulares.

Caso $S : z = f(x,y)$

Si $S : z = f(x,y)$ con f de clase C^1 sobre \bar{D} , se puede parametrizar S con $\mathbf{r}(x,y) = x\hat{\mathbf{i}} + y\hat{\mathbf{j}} + f(x,y)\hat{\mathbf{k}}$ y entonces

$$\iint_S g(x,y,z) dS = \iint_D g(x,y, f(x,y)) \sqrt{1 + f_x^2 + f_y^2} dA.$$

Integral superficie – Proyectando sobre varios planos.

Asumimos que S es una superficie regular y que F es continuamente diferenciable e inyectiva sobre D .

- a) **Proyectando sobre XY:** Si $S : z = z(x,y)$ o $S : F(x,y,z) = 0$, con $(x,y) \in D_{xy}$

$$\iint_S g(x,y,z) dS = \iint_{D_{xy}} g(x,y, z(x,y)) \sqrt{1 + z_x^2 + z_y^2} dA,$$

o, en “versión implícita”,

$$\iint_S g(x,y,z) dS = \iint_{D_{xy}} g(x,y, F(x,y)) \sqrt{\frac{F_x^2 + F_y^2 + F_z^2}{F_z^2}} dA$$

- b) **Proyectando sobre XZ:** Si $S : y = y(x,z)$ o $S : F(x,y,z) = 0$, con $(x,z) \in D_{xz}$

$$\iint_S g(x,y,z) dS = \iint_{D_{xz}} g(x, y(x,z), z) \sqrt{1 + y_x^2 + y_z^2} dA$$

o, en “versión implícita”,

$$\iint_S g(x,y,z) dS = \iint_{D_{xz}} g(x, y(x,z), z) \sqrt{\frac{F_x^2 + F_y^2 + F_z^2}{F_y^2}} dA$$

- c) **Proyectando sobre YZ:** Si $S : x = x(y,z)$ o $S : F(x,y,z) = 0$, con $(y,z) \in D_{yz}$

$$\iint_S g(x,y,z) dS = \iint_{D_{yz}} g(x(y,z), y, z) \sqrt{1 + x_y^2 + x_z^2} dA$$

o, en “versión implícita”,

$$\iint_S g(x, y, z) dS = \iint_{D_{yz}} g(\mathbf{x}(y, z), y, z) \sqrt{\frac{\mathbf{F}_x^2 + \mathbf{F}_y^2 + \mathbf{F}_z^2}{\mathbf{F}_x^2}} dA$$

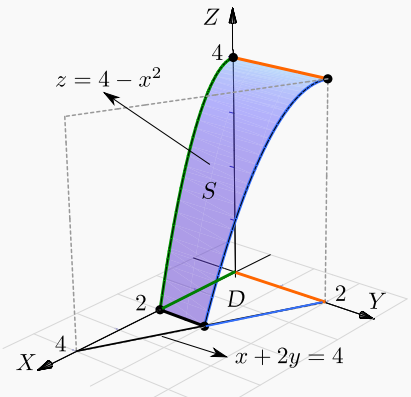
Ejemplo 6.21

Calcular la integral de superficie $\iint_S \frac{z+x^2}{\sqrt{1+4x^2}} dS$ con S la porción de la superficie $z = 4 - x^2$ limitada por el plano $x + 2y = 4$, como se muestra en la figura

Solución: En coordenadas rectangulares,

$$\sqrt{1+z_x^2+z_y^2} = \sqrt{1+4x^2}$$

$$\begin{aligned} \iint_S \frac{z+x^2}{\sqrt{1+4x^2}} dS &= \iint_D \frac{4-x^2+x^2}{\sqrt{1+4x^2}} \sqrt{1+4x^2} dA \\ &= \int_0^2 \int_{-x/2}^{2-x/2} 4 dy dx = 12. \end{aligned}$$

**Ejemplo 6.22 (Integrando sobre YZ).**

Calcular la integral de superficie $\iint_S 2xyz dS$ con S la parte del plano $y = x$ limitado por $z = x^2 + y^2$, como se muestra en la figura.

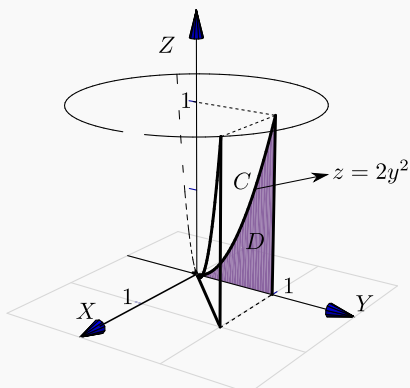
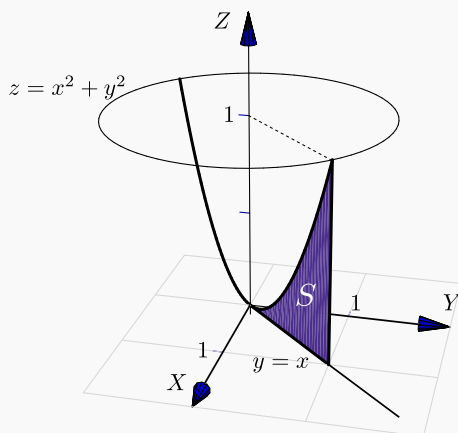


Figura 6.12: Superficie S

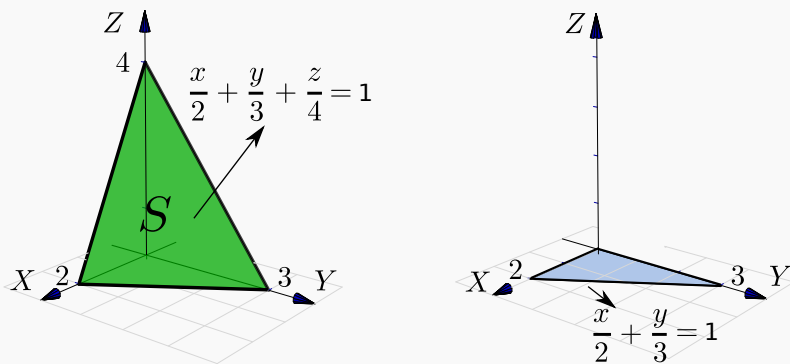
Solución: La superficie S solo se puede proyectar en los planos XZ o en YZ . La curva C de la proyección en el plano YZ se obtiene como la intersección del plano y el paraboloide: $C: y=x \cap z=x^2+y^2 \implies C: z=2y^2$.

Como proyectamos en YZ , entonces $S: x=y$ y $\sqrt{1+x_y^2+x_z^2}=\sqrt{2}$. Luego,

$$\begin{aligned}\iint_S 2xyz \, dS &= \iint_D 2xyz \sqrt{1+x_y^2+x_z^2} \, dA \\ &= \int_0^1 \int_0^{2y^2} 2y^2 z \sqrt{2} \, dz \, dy \\ &= 4\sqrt{2}/7\end{aligned}$$

Ejemplo 6.23

Calcular la integral de superficie $\iint_S z+2x+\frac{4}{3}y \, dS$ con S la parte del plano $\frac{x}{2}+\frac{y}{3}+\frac{z}{4}=1$ situada en el primer octante.



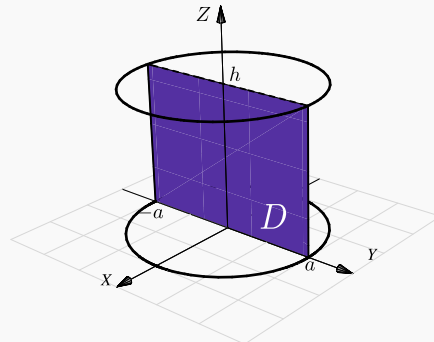
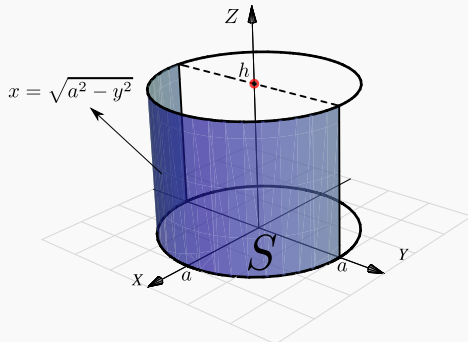
Solución: Como $S: z=4-2x-\frac{4}{3}y$ entonces $\sqrt{1+z_x^2+z_y^2}=\sqrt{61}/3$. Las variables de integración son x e y así que debemos sustituir z en el integrando,

$$\begin{aligned}\iint_S z+2x+4/3y \, dS &= \iint_D (z+2x+4/3y) \sqrt{1+z_x^2+z_y^2} \, dA \\ &= \int_0^2 \int_0^{3-3x/2} \left(4-2x-\frac{4}{3}y+2x+\frac{4}{3}y\right) \frac{\sqrt{61}}{3} \, dy \, dx \\ &= \int_0^2 \int_0^{3-3x/2} 4 \frac{\sqrt{61}}{3} \, dy \, dx = 4\sqrt{61}.\end{aligned}$$

Ejemplo 6.24

Sea $a > 0$ y sea $I = \iint_S \frac{1}{a^2 + z^2} dS$ con S el cilindro $x^2 + y^2 = a^2$ limitado por los planos $z = 0$ y $z = h > 0$.

- Calcular I usando coordenadas rectangulares, $S : x = \sqrt{a^2 - y^2}$.
- Calcular I usando la parametrización $S_1 : \mathbf{r}(\theta, z) = a \cos \theta \hat{\mathbf{i}} + a \sin \theta \hat{\mathbf{j}} + z \hat{\mathbf{k}}$, $(\theta, z) \in D = [-\pi/2, \pi/2] \times [0, h]$.

**Solución:**

a.) Proyectando sobre YZ , $S : x = \sqrt{a^2 - y^2}$. En este caso, $\sqrt{1 + x_y^2 + x_z^2} = \frac{a}{\sqrt{a^2 - y^2}}$

$$\begin{aligned} \iint_S \frac{1}{a^2 + z^2} dS &= \iint_D \frac{1}{a^2 + z^2} \frac{a}{\sqrt{a^2 - y^2}} dy dz \\ &= \int_{-a}^a \frac{a}{\sqrt{a^2 - y^2}} dy \int_0^h \frac{1}{a^2 + z^2} dz \quad (\text{la primera integral es impropia}), \\ &= \lim_{\epsilon \rightarrow 0^+} a \arcsen \left(\frac{y}{a} \right) \Big|_{-a+\epsilon}^{a-\epsilon} \cdot \frac{1}{a} \arctan \left(\frac{z}{a} \right) \Big|_0^h = \left(a \frac{\pi}{2} + a \frac{\pi}{2} \right) \frac{1}{a} \arctan \left(\frac{h}{a} \right). \end{aligned}$$

- b.) En este caso, esta es la manera fácil. Usando la parametrización uno-uno

$$\mathbf{r}(\theta, z) = a \cos \theta \hat{\mathbf{i}} + a \sin \theta \hat{\mathbf{j}} + z \hat{\mathbf{k}}, \quad (\theta, z) \in D = [-\pi/2, \pi/2] \times [0, h].$$

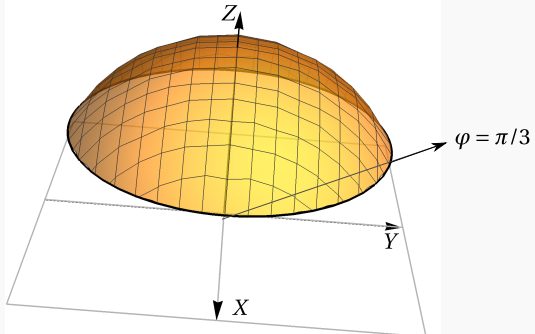
- $r_\theta = (-a \sin \theta, a \cos \theta, 0)$
- $r_z = (0, 0, 1)$
- $\left\| \frac{\partial \mathbf{r}}{\partial \theta} \times \frac{\partial \mathbf{r}}{\partial z} \right\| = \|(a \cos \theta, a \sin \theta, 0)\| = a.$

$$\iint_S \frac{1}{a^2 + z^2} dS = \iint_D \frac{1}{a^2 + z^2} \left\| \frac{\partial \mathbf{r}}{\partial \theta} \times \frac{\partial \mathbf{r}}{\partial z} \right\| dz d\theta = \int_{-\pi/2}^{\pi/2} \int_0^h \frac{a}{a^2 + z^2} dz d\theta = \pi \arctan \left(\frac{h}{a} \right).$$

Note que usando esta parametrización no tenemos problemas de singularidades.

Ejemplo 6.25 (Usando coordenadas esféricas).

Considere la integral de superficie $I = \iint_S \ln z dS$ con S el casquete de esfera $x^2 + y^2 + z^2 = 1$, $\frac{1}{2} \leq z \leq 1$.



a.) Calcular I usando coordenadas rectangulares

b.) Calcular I usando la parametrización (coordenadas esféricicas)

$$S_1 : \mathbf{r}(\theta, \varphi) = (\sin \varphi \cos \theta, \sin \varphi \sin \theta, \cos \varphi), \quad \text{con } (\theta, \varphi) \in [0, 2\pi] \times [0, \pi/3].$$

c.) Calcular I usando la parametrización

$$S_1 : \mathbf{r}(z, \theta) = \sqrt{1-z^2} \cos \theta \hat{\mathbf{i}} + \sqrt{1-z^2} \sin \theta \hat{\mathbf{j}} + z \hat{\mathbf{k}} \quad \text{con } \frac{1}{2} \leq z \leq 1 \quad \text{y} \quad \theta \in [0, 2\pi[.$$

Solución:

a.) En coordenadas rectangulares S : $z = \sqrt{1-x^2-y^2}$, con $z \in [1/2, 1]$. Entonces la proyección sobre el plano XY está entre las circunferencias $x^2+y^2=3/4$ y $x^2+y^2=1$. Las variables de integración son x e y así que debemos sustituir z en el integrando,

$$\begin{aligned} \iint_S \ln z dS &= \iint_D \ln(z) \sqrt{1+z_x^2+z_y^2} dA \\ &= \iint_D \log\left(\sqrt{1-x^2-y^2}\right) \sqrt{1+\frac{x^2+y^2}{1-x^2-y^2}} dA, \quad (\text{pasamos a polares}), \\ &= \int_0^{2\pi} \int_{\sqrt{3/4}}^1 \log(\sqrt{1-r^2}) \frac{r}{\sqrt{1-r^2}} dr d\theta \quad (\text{usamos la sustitución } u^2 = 1 - r^2), \\ &= \pi (\ln 2 - 1) \quad (\text{la integral es impropia, se calcula con } u \rightarrow 0). \end{aligned}$$

- b.) Vamos a usar una parametrización del casquete de la esfera basada en coordenadas esféricas. Observe que los parámetros son θ y φ . En este caso, $\rho = 1$.

$$\begin{cases} x = \sin \varphi \cos \theta \\ y = \sin \varphi \sin \theta \\ z = \cos \varphi \end{cases} \implies \mathbf{r}(\theta, \varphi) = (\sin \varphi \cos \theta, \sin \varphi \sin \theta, \cos \varphi), (\theta, \varphi) \in [0, 2\pi] \times [0, \pi/3].$$

El valor $\varphi = \pi/3$ se obtiene de resolver $z = 1 \cdot \cos \varphi = \frac{1}{2}$. Luego,

- $r_\theta = (-\sin \theta \sin \varphi, \cos \theta \sin \varphi, 0)$
- $r_\varphi = (\cos \theta \cos \varphi, \cos \theta \sin \varphi, -\sin \varphi)$
- $\left\| \frac{\partial \mathbf{r}}{\partial \theta} \times \frac{\partial \mathbf{r}}{\partial \varphi} \right\| = \sin \varphi > 0 \text{ en } [0, \pi/3],$

Las variables de integración son φ y θ , así que debemos sustituir z en el integrando. Para resolver la integral se hace la sustitución $u = \cos \varphi$,

$$\iint_S \ln z \, dS = \int_0^{2\pi} \int_0^{\pi/3} \ln(\cos \varphi) \sin \varphi \, d\varphi \, d\theta = - \int_0^{2\pi} \int_1^{\cos \pi/3} \ln(u) \, du \, d\theta = \pi (\ln 2 - 1)$$

- c.) Como $S : x^2 + y^2 = 1 - z^2$, con $\frac{1}{2} \leq z \leq 1$; podemos parametrizar el casquete como

$$\mathbf{r}(z, \theta) = \sqrt{1 - z^2} \cos t \hat{\mathbf{i}} + \sqrt{1 - z^2} \sin t \hat{\mathbf{j}} + z \hat{\mathbf{k}} \text{ con } \frac{1}{2} \leq z \leq 1 \text{ y } \theta \in [0, 2\pi[.$$

- $\left\| \frac{\partial \mathbf{r}}{\partial z} \times \frac{\partial \mathbf{r}}{\partial \theta} \right\| = \|(-\sqrt{1-z^2} \cos t, -\sqrt{1-z^2} \sin t, -z)\| = 1$

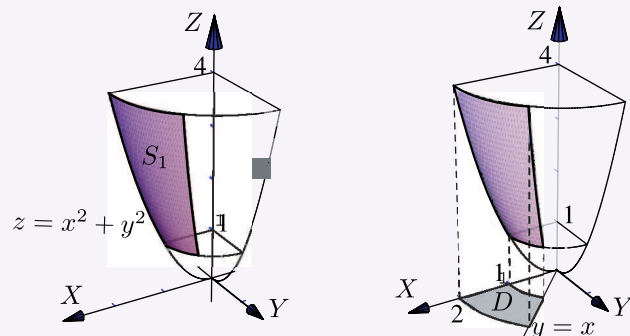
En este caso las variables de integración son z y θ así que no hay nada que sustituir en la integral,

$$\iint_S \ln z \, dS = \int_0^{2\pi} \int_{1/2}^1 \ln(z) \cdot 1 \, dz \, d\theta = \pi (\ln 2 - 1)$$

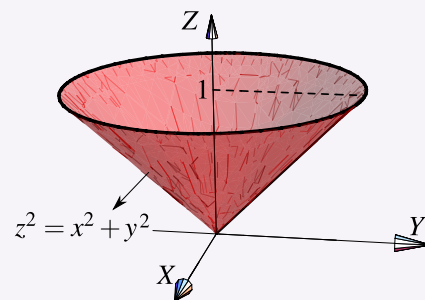
27

Ejercicios

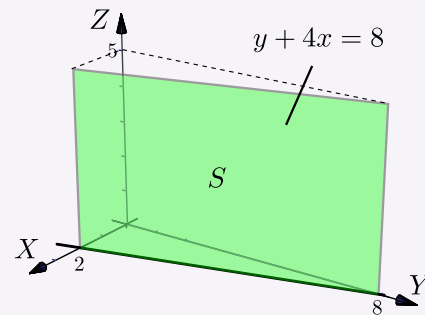
- 6.8.1** Determine el área de la superficie S de ecuación $z = x^2 + y^2$ que se encuentra limitada por los planos $z = 4$, $z = 1$, $y = x$ y el plano $y = 0$, tal y como se muestra en la figura



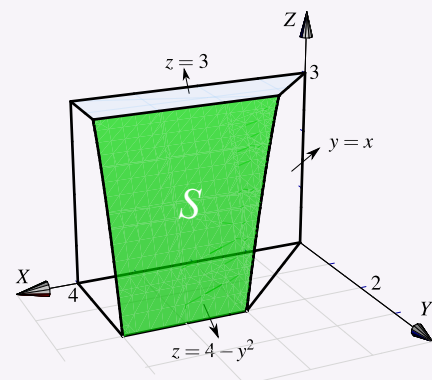
- 6.8.2** Sea S la superficie del cono $z^2 = x^2 + y^2$ comprendida entre $z = 0$ y $z = 1$. Usando integral de superficie, calcular el área de la superficie S .



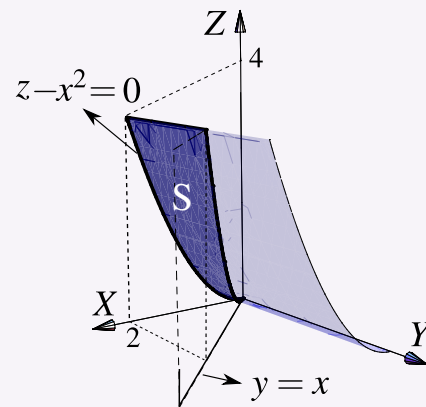
- 6.8.3** Calcule $\iint_S x^2 - 2y + z \, dS$ donde S es la superficie de la figura.



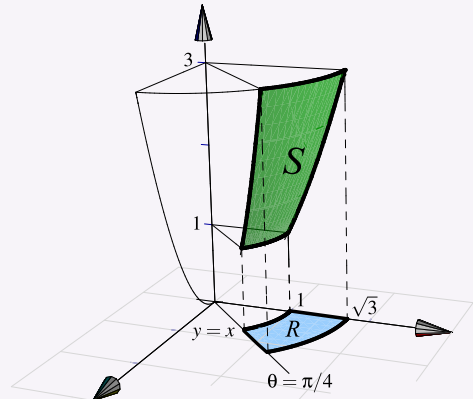
- 6.8.4** Sea $F(x, y, z) = (xy, x, z + 1)$ y sea S la porción de superficie de ecuación $z = 4 - y^2$ limitada por las superficies $z = 3$, $x = 4$, $z = 0$ y $x = y$, tal y como se muestra en la figura de la derecha. Calcular $\iint_S 2xy + z + 1 \, dS$



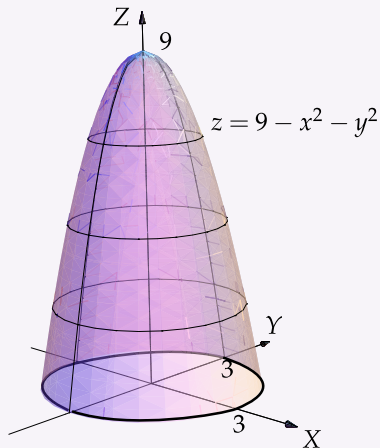
- 6.8.5** La superficie S es el trozo del cilindro $z - x^2 = 0$ que está limitado por los planos $y = 0$, $y = x$ y $z = 4$, en el primer octante. La Superficie S se muestra en la figura que sigue. Calcule el área de S .



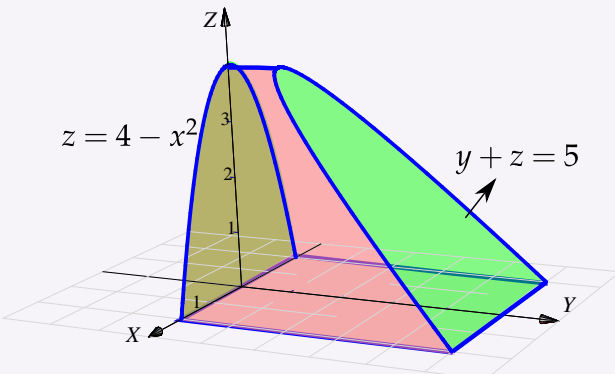
- 6.8.6** Determine el área de la superficie S de ecuación $z = x^2 + y^2$ que se encuentra limitada por los planos $z = 1$, $z = 3$, $y = x$ y el plano $x = 0$, tal y como se muestra en la figura.



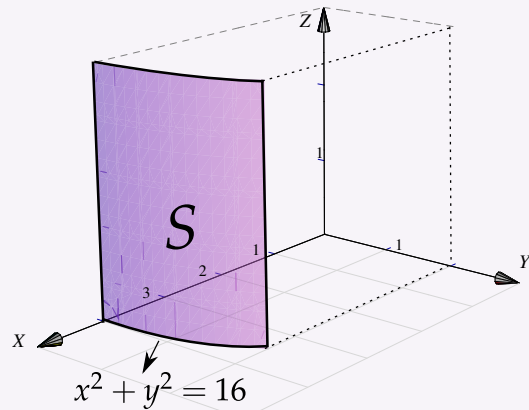
- 6.8.7** Calcule la integral de superficie $\iint_S (x^2 + y^2 + z) dS$ donde S es la superficie de ecuación $z = 9 - x^2 - y^2$, limitada por el plano $z = 0$ tal y como se muestra en la figura a la derecha.



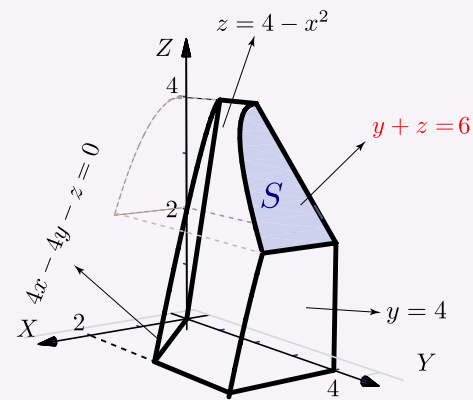
- 6.8.8** Sea Q el sólido que se muestra en la figura a la derecha y sea S la frontera de Q , es decir, $S = \partial Q$. Calcule $\int_S F \cdot N dS$ donde $F(x, y, z) = (x^3 + \operatorname{sen} z, x^2 y + \cos z, \tan(x^2 + y^2))$



- 6.8.9** Calcule el área de la superficie S tal y como se muestra en la figura a la derecha.



- 🕒 6.8.10 Calcule el área de la superficie S tal y como se muestra en la figura a la derecha.





Revisado: Enero, 2018
Versión actualizada de este libro y el formato CDF:
[**http://tecdigital.tec.ac.cr/revistamatematica/Libros/**](http://tecdigital.tec.ac.cr/revistamatematica/Libros/)

Curvas y parametrizaciones.

Longitud de una curva.

Integral de línea para campos escalares.

(*) Longitud de arco en coordenadas polares.

Integral de línea de campos vectoriales.

Trabajo.

Campos conservativos. Independencia de la trayectoria.

Teorema de Green (en el plano).

Área como una integral de línea.

Teorema de Stokes (Teorema de Green en el espacio).

7 — Integral de línea.

7.1 Curvas y parametrizaciones.

Definición 7.1

Consideremos la función vectorial continua $\mathbf{r} : [a, b] \rightarrow \mathbb{R}^n$ con $\mathbf{r}(t) = (x_1(t), x_2(t), \dots, x_n(t))$. La representación gráfica de \mathbf{r} se dice que es la *curva* C determinada por \mathbf{r} y que une los puntos $A = \mathbf{r}(a)$ y $B = \mathbf{r}(b)$.

- Si $\mathbf{r}(a) = \mathbf{r}(b)$, la curva se dice *cerrada*.
- Si \mathbf{r} es inyectiva en $[a, b]$, la curva se dice *simple*. Si \mathbf{r} es cerrada y es inyectiva en $]a, b]$, la curva se dice *cerrada simple*. Las curvas cerradas simples se llaman curvas de Jordan.
- A \mathbf{r} le llamamos una *parametrización* de C .

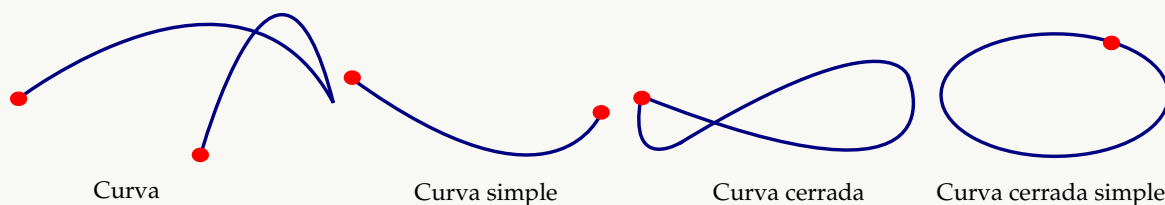


Figura 7.1: Curvas

Ejemplo 7.1

Consideremos la curva $C : y^2 + (z - 1)^2 = 1$ iniciando en $A = (0, 0, 0)$ y finalizando en $B = (0, 0, 2)$, tal y como se muestra en la figura.

Una parametrización de esta curva es

$$C : \mathbf{r}(t) = (0, \cos t, 1 + \sin t) \quad \text{con } t \in [-\pi/2, \pi/2]$$

Observemos que

$$\begin{cases} \mathbf{r}(-\pi/2) = (0, \cos(-\pi/2), 1 + \sin(-\pi/2)) = (0, 0, 0) \\ \mathbf{r}(\pi/2) = (0, \cos(\pi/2), 1 + \sin(\pi/2)) = (0, 0, 2) \end{cases}$$

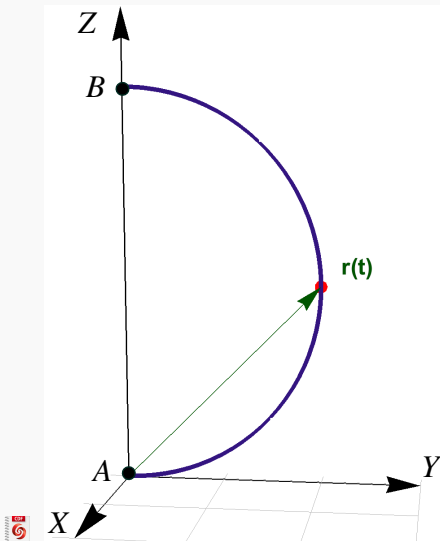


Figura 7.2: Curva $C : \mathbf{r}(t) = (0, \cos t, 1 + \sin t)$

La ecuación polar de esta curva: $r = 2 \sin t$ con $t \in [0, \pi/2]$.

Ejemplo 7.2

Sean $A = (2, 0, 1)$ y $B = (0, 2, 2)$. Consideremos la curva $C : \mathbf{r}(t) = A + t \cdot (B - A)$ con $t \in [0, 1]$. Este es un segmento de recta que inicia en A y termina en B tal y como se muestra en la figura.

Una parametrización de esta curva es

$$C : \mathbf{r}(t) = (2 - 2t, 2t, t + 1) \quad \text{con } t \in [0, 1]$$

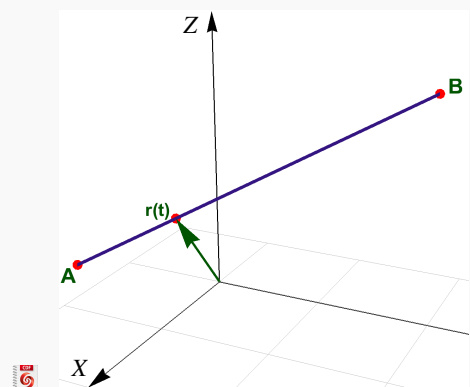


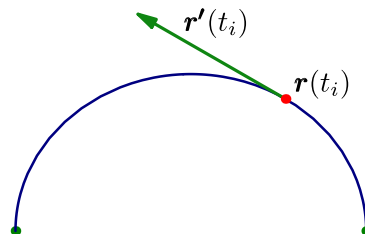
Figura 7.3: Curva $C : \mathbf{r}(t) = A + t \cdot (B - A)$

Observemos que

$$\begin{cases} \mathbf{r}(0) = (2 - 2 \cdot 0, 2 \cdot 0, 0 + 1) = A \\ \mathbf{r}(1) = (2 - 2 \cdot 1, 2 \cdot 1, 1 + 1) = B \end{cases}$$

La derivada de r se define de la manera usual

$$\mathbf{r}'(t) = \lim_{h \rightarrow 0} \frac{\mathbf{r}(t+h) - \mathbf{r}(t)}{h} = (x'_1(t), x'_2(t), \dots, x'_n(t))$$



Ejemplo 7.3

Consideremos la curva C parametrizada por

$$\mathbf{r}(t) = (1 + \cos t)\hat{i} + (1 + \sin t)\hat{j} + (1 + \frac{t}{2} \sin t)\hat{k} \text{ con } t \in [0, 3].$$

$$\mathbf{r}'(t) = -\sin t\hat{i} + \cos t\hat{j} + (\frac{1}{2} \sin t + \frac{t}{2} \cos t)\hat{k}$$

En la figura se representa la traslación de este vector velocidad $\mathbf{r}'(t)$.

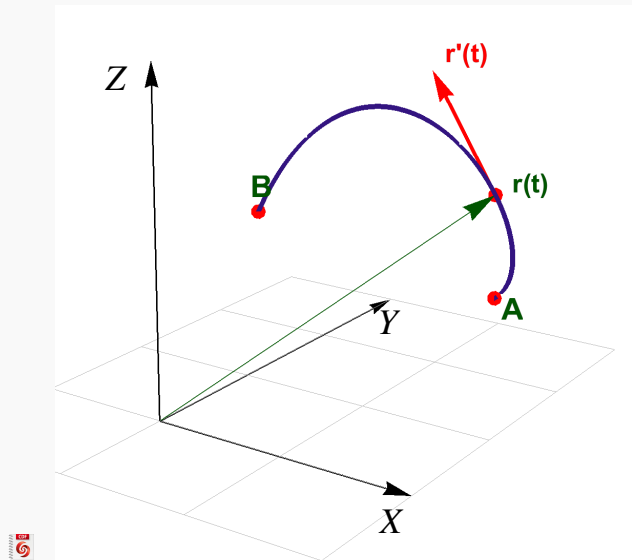


Figura 7.4: Curva $\mathbf{r}(t) = (1 + \cos t)\hat{i} + (1 + \sin t)\hat{j} + (1 + \frac{t}{2} \sin t)\hat{k}$

Ejemplo 7.4

Consideremos la curva C parametrizada por $\mathbf{r}(t) = t\hat{\mathbf{i}} + (4 - t)\hat{\mathbf{j}} + (4 - (t - 1)^2)\hat{\mathbf{k}}$ con $t \in [0, 3]$.

- $A = \mathbf{r}(0) = (0, 4 - 0, 4 - (0 - 1)^2) = (0, 4, 3)$ y $B = \mathbf{r}(3) = (3, 4 - 3, 4 - (3 - 1)^2) = (3, 1, 0)$.
- $\mathbf{r}'(t) = \hat{\mathbf{i}} - 1\hat{\mathbf{j}} - 2(t - 1)\hat{\mathbf{k}}$. En particular, $\mathbf{r}'(1) = (1, -1, 0)$. En la figura se representa la traslación de este vector velocidad al punto $P = \mathbf{r}(1)$.

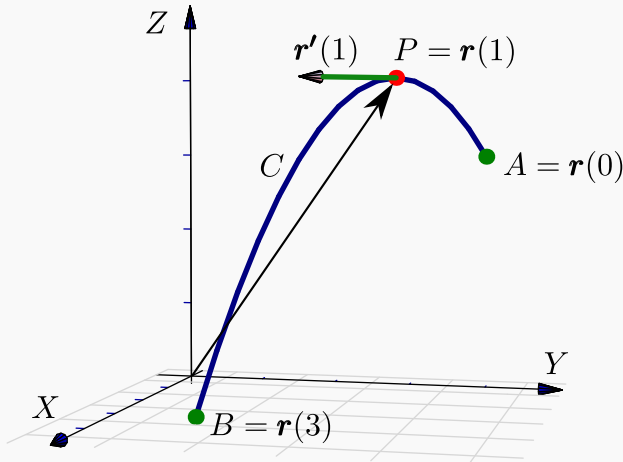


Figura 7.5: Curvas

Curvas regulares. Sea $\mathbf{r}(t)$ una parametrización de una curva C en el plano o en el espacio. El parámetro t podría ser tiempo, ángulo, longitud de arco, coordenada x , etc. Decimos que la curva C es *regular o 'suave'* en $[a, b]$ si $\mathbf{r}'(t)$ es continua en $[a, b]$ y $\mathbf{r}'(t) \neq \mathbf{0}$ para todo $t \in [a, b]$ (es decir las componentes de \mathbf{r} no se anulan simultáneamente). También decimos que una curva C es *regular a trozos* en $[a, b]$ si es regular en cada subintervalo de alguna partición finita de $[a, b]$.

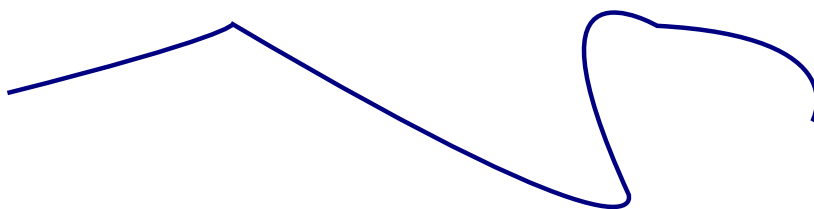


Figura 7.6: Curva regular a trozos

- En \mathbb{R}^2 escribimos $\mathbf{r}(t) = (x(t), y(t))$ o también $\mathbf{r}(t) = x(t)\hat{\mathbf{i}} + y(t)\hat{\mathbf{j}}$, con $t \in [a, b]$
- En \mathbb{R}^3 escribimos $\mathbf{r}(t) = (x(t), y(t), z(t))$ o también $\mathbf{r}(t) = x(t)\hat{\mathbf{i}} + y(t)\hat{\mathbf{j}} + z(t)\hat{\mathbf{k}}$, con $t \in [a, b]$
- Una función vectorial es de clase C^1 si las derivadas de sus componentes son continuas.

Ejemplo 7.5 (Curvas Orientadas).

Consideremos las curvas C_1 y C_2

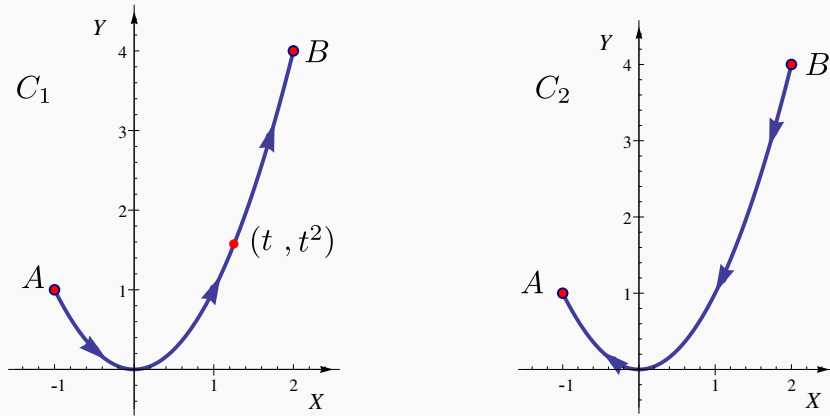


Figura 7.7: Curvas C_1 y C_2 .

Ambas curvas tienen ecuación, en coordenadas rectangulares, $y = x^2$ con $x \in [-1, 2]$. Pero C_1 inicia en $A = (-1, 1)$ y termina en $B = (2, 4)$; mientras que C_2 inicia en B y termina en A .

Para parametrizar cada curva debemos tomar en cuenta su *orientación*.

- Una parametrización de C_1 es (tomando a $x = t$ como parámetro),

$$\mathbf{r}(t) = (x(t), y(t)) = \underbrace{(\underbrace{t}_{x(t)}, \underbrace{t^2}_{y(t)})}_{\text{o también}} \quad \text{o también} \quad \mathbf{r}(t) = \underbrace{\frac{t}{x(t)} \hat{\mathbf{i}} + \frac{t^2}{y(t)} \hat{\mathbf{j}}}_{\text{con } t \in [-1, 2]} \quad \text{con } t \in [-1, 2].$$

Observe que

$$\mathbf{r}(-1) = (x(-1), y(-1)) = (-1, (-1)^2) = A \quad \text{y} \quad \mathbf{r}(2) = (2, 2^2) = B.$$

- Como C_2 es C_1 con la otra orientación, entonces podemos parametrizar C_2 con $r_1(t) = r(a+b-t)$, de esta manera $r_1(t) = r(-1+2-t) = r(1-t)$

$$\mathbf{r}_1(t) = (x(1-t), y(1-t)) = (1-t, (1-t)^2) \quad \text{o también} \quad \mathbf{r}_1(t) = \underbrace{(1-t)}_{x(t)} \hat{\mathbf{i}} + \underbrace{(1-t)^2}_{y(t)} \hat{\mathbf{j}} \quad \text{con } t \in [-1, 2].$$

Observe que $\mathbf{r}_1(-1) = B$ y $\mathbf{r}_1(2) = A$.

(Cambio de orientación).

si $r(t)$ es una parametrización con $t \in [a,b]$, entonces una parametrización que invierte la orientación es $r_1(t) = r(a+b-t)$ con $t \in [a,b]$

(Curvas $r = g(\theta)$).

Si la curva C tiene ecuación $r = g(\theta)$ entonces una parametrización es $r(t) = (g(t)\cos t, g(t)\sin t)$.

(Parametrizar una elipse contra-reloj).

Una elipse de ecuación $\frac{(x-h)^2}{a^2} + \frac{(y-k)^2}{b^2} = 1$ se puede parametrizar con

$$\mathbf{r}(t) = (h+a\cos t)\hat{\mathbf{i}} + (k+b\sin t)\hat{\mathbf{j}} \text{ con } t \in [0, 2\pi[.$$

En particular la circunferencia $(x-h)^2 + (y-k)^2 = a^2$ se puede parametrizar con

$$\mathbf{r}(t) = (h+a\cos t)\hat{\mathbf{i}} + (k+a\sin t)\hat{\mathbf{j}} \text{ con } t \in [0, 2\pi[.$$

Ejemplo 7.6

 Ver con CFDPlayer

Sea C la curva de ecuación

$$(x-1)^2 + (y-2)^2 = 16; z=3.$$

Se trata de una circunferencia en el plano $z=3$, es decir, un caso particular de elipse. Una parametrización es

$$\mathbf{r}(t) = (1+4\cos t)\hat{\mathbf{i}} + (2+4\sin t)\hat{\mathbf{j}} + 3\hat{\mathbf{k}}, \quad t \in [0, 2\pi[$$

Observe que $\mathbf{r}(0) = (5, 2, 3) = \mathbf{r}(2\pi)$.

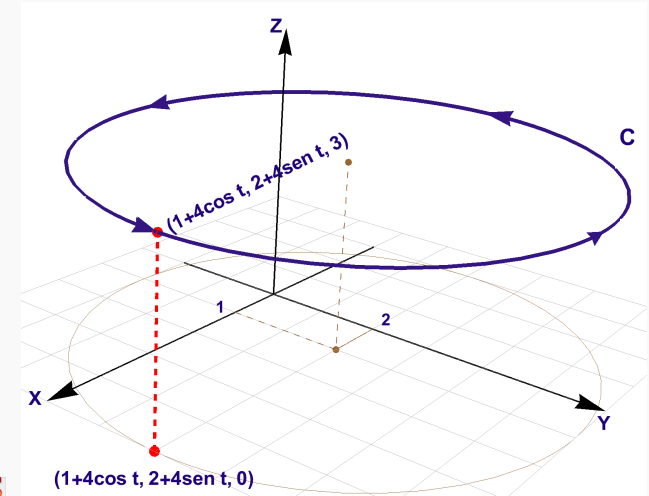
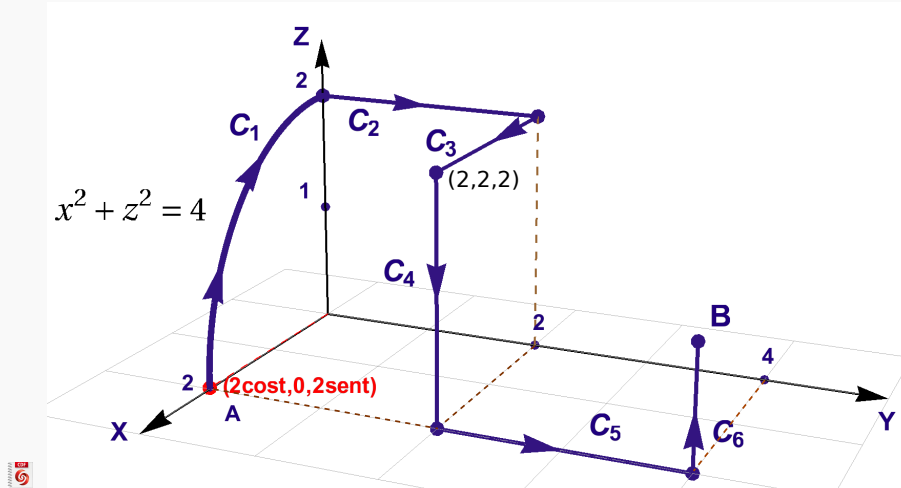


Figura 7.8: Curva C .

Ejemplo 7.7
 Ver con CDFPlayer

Requiere FreeCDF Player

Considera la curva $C = C_1 + C_2 + C_3 + C_4 + C_5 + C_6$. La curva inicia en $A = (2, 0, 0)$ y finaliza en $B = (2, 4, 1)$. La curva C_1 es el trozo de circunferencia $x^2 + z^2 = 4$ y las otras curvas son segmentos de recta, tal y como se ve en la figura. Parametrizar C .

**Solución:**

- C_1 es un cuarto de circunferencia de radio 2, en el plano XZ . La podemos parametrizar con

$$C_1 : r_1(t) = (2 \cos t, 0, 2 \sin t), t \in [0, \pi/2]$$

- C_2 es un segmento de recta paralelo el eje Y . Podemos tomar como parámetro a $y = t$, además $x(t) = 0$ y $z(t) = 2$. Una parametrización es

$$C_2 : r_2(t) = (0, t, 2), t \in [0, 2],$$

- C_3 es un segmento de recta paralelo el eje X . Podemos tomar como parámetro a $x = t$, además $y(t) = 2$ y $z(t) = 2$. Una parametrización es

$$C_3 : r_3(t) = (t, 2, 2), t \in [0, 2],$$

- C_4 es un segmento de recta paralelo el eje Z . Podemos tomar como parámetro a $z = t$, además $y(t) = 2$ y $x(t) = 2$. Si $t \in [0, 2]$, la orientación queda invertida, lo cual denotamos con $-C_4$ en la parametrización que sigue,

$$-C_4 : r_4(t) = (2, 2, t), t \in [0, 2]$$

- C_5 es un segmento de recta paralelo el eje Y . Podemos tomar como parámetro a $y = t$, además $x(t) = 2$ y $z(t) = 0$. Una parametrización es

$$C_5 : r_5(t) = (2, t, 0), t \in [2, 4]$$

- C_6 es un segmento de recta paralelo al eje Z . Podemos tomar como parámetro a $z = t$, además $y(t) = 4$ y $x(t) = 2$. Una parametrización es

$$C_6 : r_6(t) = (2, 4, t), \quad t \in [0, 1]$$

Segmentos de recta. Sean $A, B \in \mathbb{R}^3$. El segmento de recta que va de A hasta B se puede parametrizar con

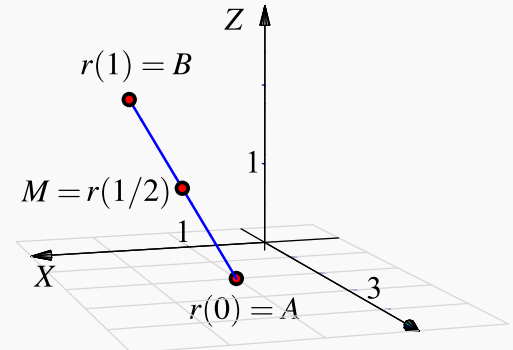
$$r(t) = A + t(B - A) \quad \text{con } t \in [0, 1].$$

El punto inicial es $r(0) = A + 0 \cdot (B - A) = A$; el punto final es $r(1) = A + 1 \cdot (B - A) = B$ y el punto medio es $r(1/2) = A + \frac{1}{2} \cdot (B - A) = \frac{A+B}{2}$.

Ejemplo 7.8

El segmento C_1 que va de $A = (1, 2, 0)$ hasta $B = (2, 1, 2)$ se puede parametrizar con

$$\begin{aligned} r(t) &= A + t(B - A) \\ &= (1+t, 2-t, 2t) \quad \text{con } t \in [0, 1]. \end{aligned}$$



Ejemplo 7.9

Considere la curva $C = C_1 + C_2 + C_3$ tal y como se muestra en la figura. Parametrizar C .

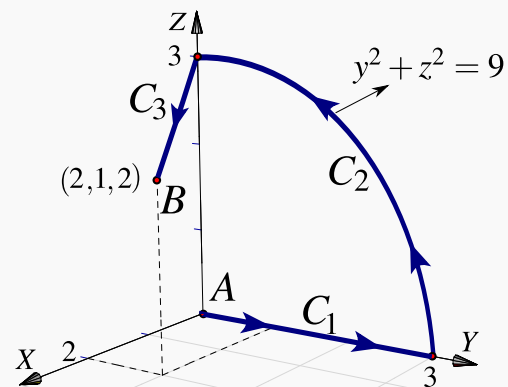
Solución:

- C_1 es un segmento de recta sobre el eje Y por tanto $x(t) = 0$ y $z(t) = 0$. Una parametrización es

$$r_1(t) = (0, t, 0) \quad \text{con } t \in [0, 3].$$

- C_2 es un cuarto de circunferencia de radio 3, en el plano YZ . Lo podemos parametrizar con

$$r_2(t) = (0, 3 \cos t, 3 \sin t) \quad \text{con } t \in [0, \pi/2].$$



- C_3 es un segmento de recta que va de $(2, 1, 2)$ hasta $(0, 0, 3)$. Podemos parametrizar con

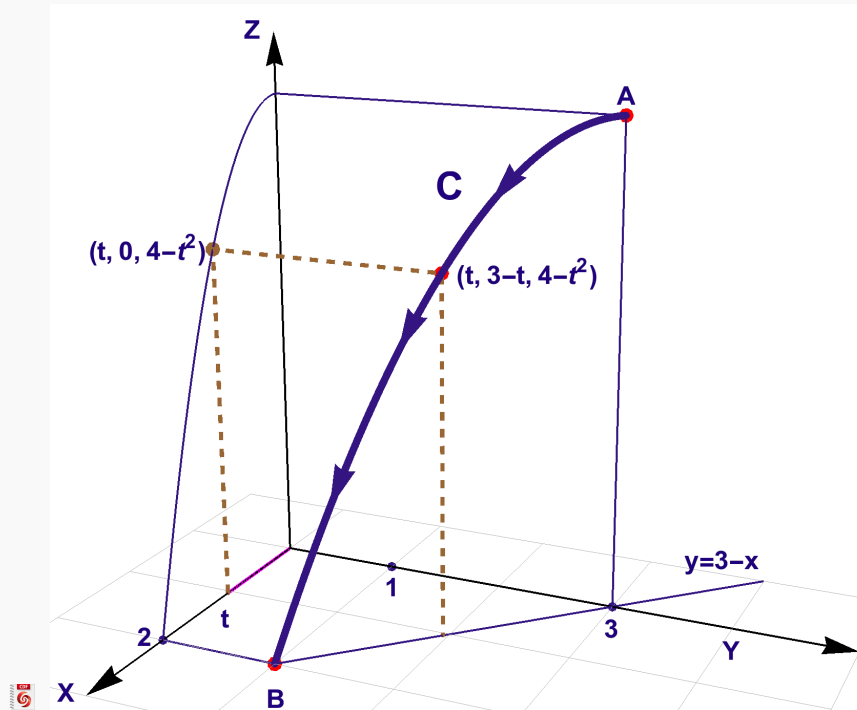
$$\begin{aligned} r_3(t) &= (2, 1, 2) + t[(0, 0, 3) - (2, 1, 2)] \\ &= (2 - 2t, 1 - t, 2 + 2t) \quad \text{con } t \in [0, 1] \end{aligned}$$

Ejemplo 7.10

 Ver con CDFPlayer

Requiere FreeCDF Player

Considere la curva C de intersección entre las superficies $S_1 : z = 4 - x^2$ y el plano $S_2 : x + y = 3$ en el primer octante. Determine una parametrización para C .



Solución: Si tomamos a $x = t$, entonces la curva $S_1 : z = 4 - x^2$ se parametriza con $r_0(t) = (t, 0, 4 - t^2)$ y la parametrización de C se obtiene usando el hecho de que $y = 3 - x$, pues la curva está en el plano S_2 . Una parametrización es

$$C : r(t) = (t, 3 - t, 4 - t^2), \quad t \in [0, 2]$$

Ejemplo 7.11

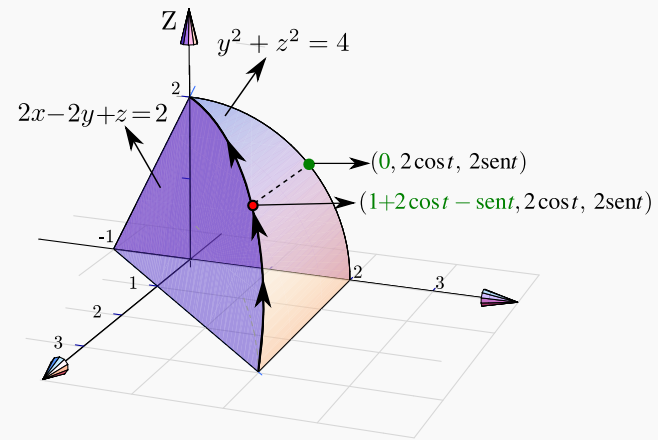
Considere la curva C de intersección entre el plano $2x - 2y + z = 2$ y el cilindro $y^2 + z^2 = 4$. Determine una parametrización para C .

Solución: Los puntos de C son puntos $(x(t), y(t), z(t))$ en donde $y(t)$ y $z(t)$ están en la circunferencia $y^2 + z^2 = 4$, es decir, podemos poner $y(t) = 2 \cos t$ y $z(t) = 2 \sin t$.

Como $x(t)$ está en el plano $2x - 2y + z = 2$, despejando: $x(t) = 1 - z(t)/2 + y(t)$, ahora podemos escribir

$$C: r(t) = (1 + 2 \cos t - \sin t, 2 \cos t, 2 \sin t) \text{ con } t \in [0, \pi/2]$$

Observe que $r(0) = (3, 2, 0)$ y $r(\pi/2) = (0, 0, 2)$.

**Ejemplo 7.12**

Considere la curva C de intersección entre el cilindro $x^2 + y^2 = 1$ y el plano $z = 2 - x$. Parametrizar C .

Solución: Hay varias maneras de parametrizar C . Veamos dos maneras.

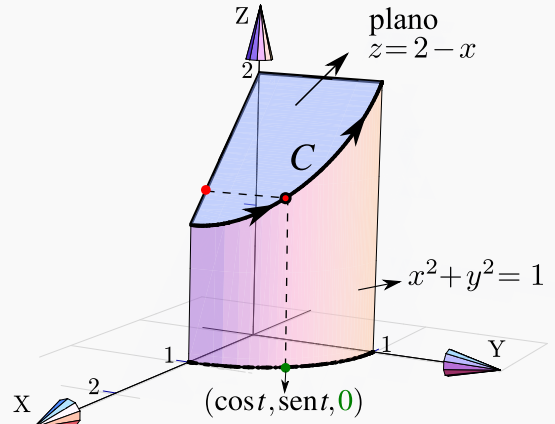
- **Primera manera:** Los puntos de C son puntos $(x(t), y(t), z(t))$ con $x(t)$ y $y(t)$ sobre la circunferencia $x^2 + y^2 = 1$, por lo tanto podemos poner $x(t) = \cos t$ y $y(t) = \sin t$. Como $z(t)$ está en el plano $z = 2 - x$, entonces $z(t) = 2 - x(t)$. Una parametrización podría ser

$$C: r(t) = (\cos t, \sin t, 2 - \cos t) \text{ con } t \in [0, \pi/2]$$

Observe que $r(0) = (1, 0, 1)$ y que $r(\pi/2) = (0, 1, 2)$.

- **Segunda manera:** Ver los puntos de C con $x(t)$ y $z(t)$ sobre la recta $z = 2 - x$ y $y(t)$ en el cilindro $x^2 + y^2 = 1$. Una parametrización se podría obtener tomando a $x = t$ como parámetro:

$$C: r(t) = (t, \sqrt{1-t^2}, 2-t) \text{ con } t \in [0, 1]$$



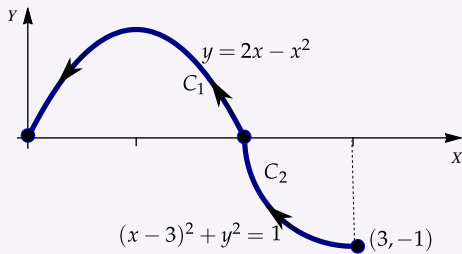
La parametrización invierte la orientación, eso lo indicamos con " $-C$ ".

28

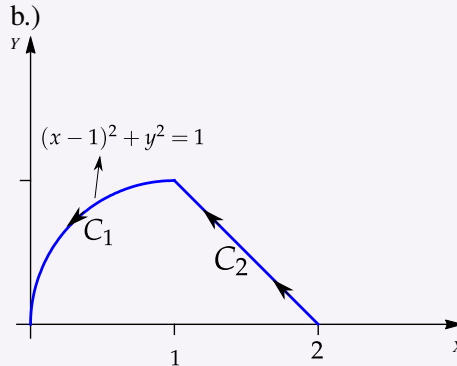
Ejercicios

7.1.1 Determine una parametrización para cada una de las siguientes curvas.

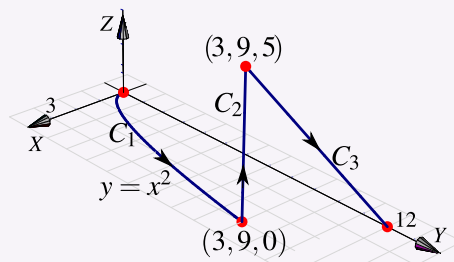
a.)



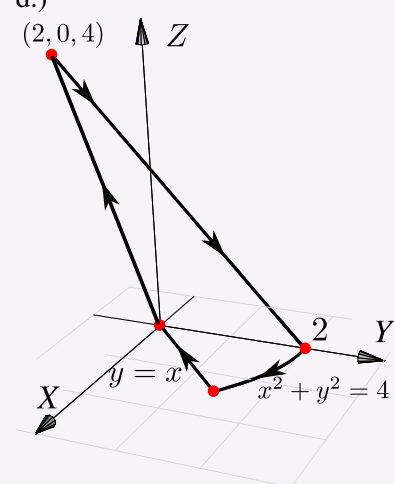
b.)



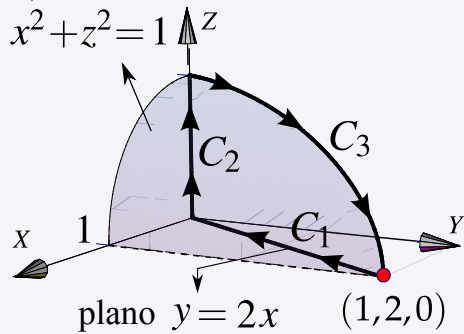
c.)



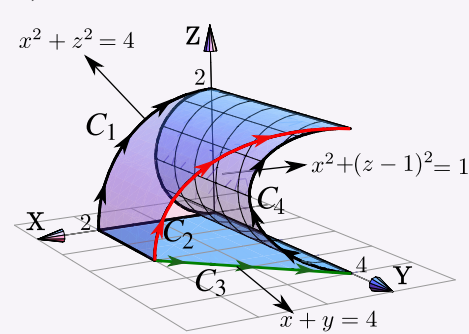
d.)



e.)



f.)



7.2 Longitud de una curva.

Consideremos una curva C regular y simple, parametrizada por \mathbf{r} en $[a, b]$. Para calcular la longitud de C , la idea es partir el intervalo $[a, b]$ en n partes $[a, t_1] \cup [t_1, t_2] \cup \dots \cup [t_{n-1}, b]$ y considerar una línea poligonal inscrita en C , como se muestra en la figura.

 Ver con CFDPlayer

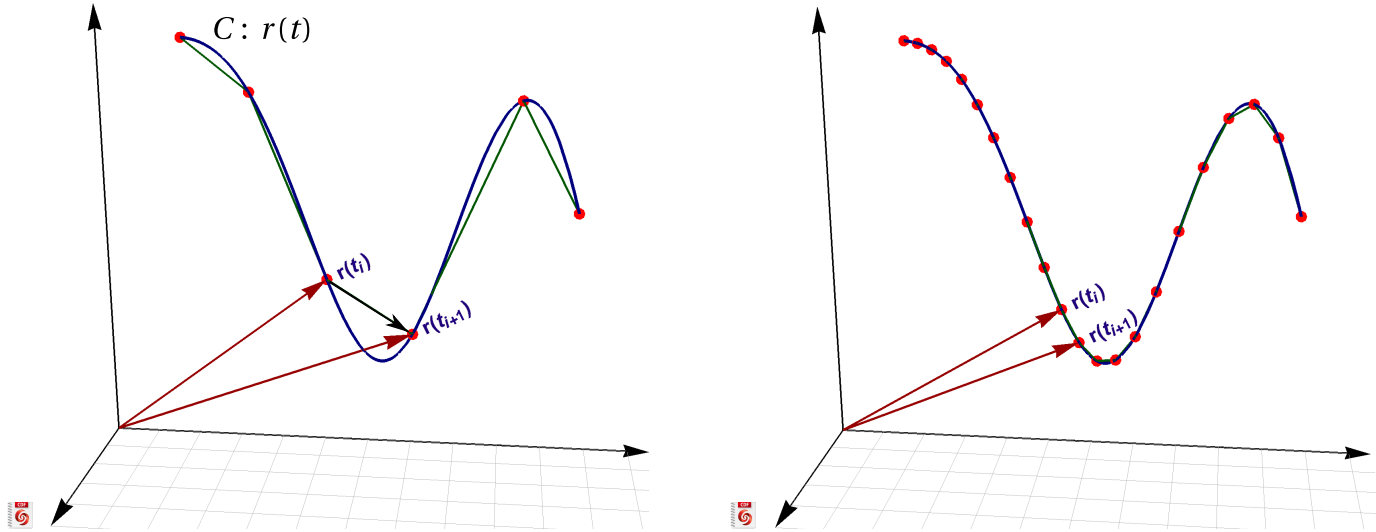


Figura 7.9: Longitud de arco como una integral de Riemann.

La longitud de la curva (“rectificable”) se define como el límite al cual tiende la suma de las longitudes de los segmentos de la línea poligonal cuando $\|P\| = \text{Máx}(t_{i-1} - t_i) \rightarrow 0$ si $n \rightarrow \infty$, es decir

$$s = \lim_{n \rightarrow \infty} \sum_{i=1}^n \|\mathbf{r}(t_i) - \mathbf{r}(t_{i-1})\|$$

Si C es regular, por el teorema del valor medio podemos poner $\|\mathbf{r}(t_i) - \mathbf{r}(t_{i-1})\| = \|\mathbf{r}'(\xi_i)(t_i - t_{i-1})\|$ con $\xi_i \in]t_i, t_{i-1}[$ y concluir

$$\lim_{n \rightarrow \infty} \sum_{i=1}^n \|\mathbf{r}'(\xi_i)\Delta t\| = \int_a^b \|\mathbf{r}'(t)\| dt$$

Definición 7.2 (Longitud de una curva).

Sea C regular, simple y parametrizada por $\mathbf{r}(t)$, $t \in [a, b]$. Si $ds = \|\mathbf{r}'(t)\|dt$, entonces la longitud (de arco) de C es

$$s = \int_C 1 \cdot ds = \int_a^b \|\mathbf{r}'(t)\| dt$$

Además, la longitud de arco *no depende* de la parametrización de C (ni, por tanto, de la orientación).

Sea C parametrizada por $\mathbf{r}(t)$ con $t \in [a, b]$.

Caso C: $\mathbf{r}(t) = x(t)\hat{\mathbf{i}} + y(t)\hat{\mathbf{j}}$

Si $\mathbf{r}(t) = x(t)\hat{\mathbf{i}} + y(t)\hat{\mathbf{j}}$ con $t \in [a, b]$ entonces

$$s = \int_C ds = \int_a^b \|\mathbf{r}'(t)\| dt = \int_a^b \sqrt{(x'(t))^2 + (y'(t))^2} dt$$

Caso C: $y = f(x)$

Si $y = f(x)$ entonces tomando $x = t$ tenemos

$$s = \int_C \|\mathbf{r}'(t)\| dt = \int_a^b \sqrt{1 + (f'(x))^2} dx$$

Caso C: $\mathbf{r}(t) = x(t)\hat{\mathbf{i}} + y(t)\hat{\mathbf{j}} + z(t)\hat{\mathbf{k}}$

Si $\mathbf{r}(t) = x(t)\hat{\mathbf{i}} + y(t)\hat{\mathbf{j}} + z(t)\hat{\mathbf{k}}$ con $t \in [a, b]$ entonces

$$s = \int_C ds = \int_a^b \|\mathbf{r}'(t)\| dt = \int_a^b \sqrt{(x'(t))^2 + (y'(t))^2 + (z'(t))^2} dt$$

Ejemplo 7.13

Calcular la longitud de la circunferencia de un círculo de radio a .

Solución: La circunferencia C se puede parametrizar con

$$C : \mathbf{r}(t) = \underbrace{a \cos(t)}_{x(t)} \hat{\mathbf{i}} + \underbrace{a \sin(t)}_{y(t)} \hat{\mathbf{j}} \quad \text{con } t \in [0, 2\pi[.$$

$$\mathbf{r}'(t) = \underbrace{-a \sin(t)}_{x'(t)} \hat{\mathbf{i}} + \underbrace{a \cos(t)}_{y'(t)} \hat{\mathbf{j}}$$

$$s = \int_C ds = \int_a^b \|\mathbf{r}'(t)\| dt = \int_0^{2\pi} \sqrt{(a \sin t)^2 + (a \cos t)^2} dt = \int_0^{2\pi} a dt = 2a\pi$$

Ejemplo 7.14

Calcular la longitud de la hélice $x(t) = 2 \cos(t)$, $y(t) = 2 \sin(t)$, $z(t) = t/4$ con $t \in [0, 2\pi]$.

Solución:

$$\mathbf{r}(t) = \underbrace{2\cos(t)}_{x(t)} \hat{\mathbf{i}} + \underbrace{2\sin(t)}_{y(t)} \hat{\mathbf{j}} + \underbrace{t/4}_{z(t)} \hat{\mathbf{k}} \text{ con } t \in [0, 2\pi].$$

$$\mathbf{r}'(t) = \underbrace{-2\sin(t)}_{x'(t)} \hat{\mathbf{i}} + \underbrace{2\cos(t)}_{y'(t)} \hat{\mathbf{j}} + \underbrace{1/4}_{z'(t)} \hat{\mathbf{k}}$$

$$\begin{aligned} \int_C ds &= \int_a^b \|\mathbf{r}'(t)\| dt = \int_0^{2\pi} \sqrt{4\sin^2(t) + 4\cos^2(t) + \frac{1}{16}} dt \\ &= \int_0^{2\pi} \sqrt{\frac{65}{16}} dt = 2\pi \sqrt{\frac{65}{16}}. \end{aligned}$$

29

Ejercicios

7.2.1 Calcular la longitud de la curva C : $y = \sqrt{x^3}$, $x \in [0, 4]$

7.2.2 Calcular la longitud de la curva C : $x = \frac{2}{3}(y-1)^{3/2}$, $y \in [1, 4]$.

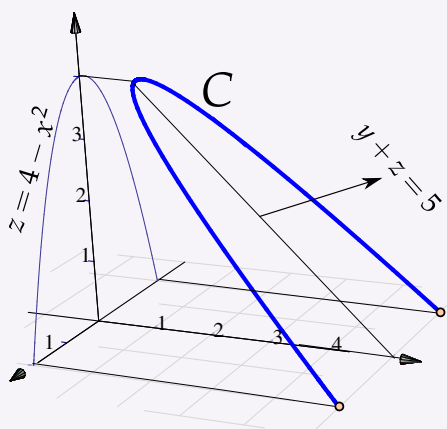
7.2.3 Calcular la longitud de la curva C : $y^2 = (2x-1)^3$, $x \in [1/2, 4]$ (Ayuda: La curva tiene dos ramas).

7.2.4 Calcular la longitud de la curva C : $y = \log(\sec x)$, $x \in [0, \pi/4]$

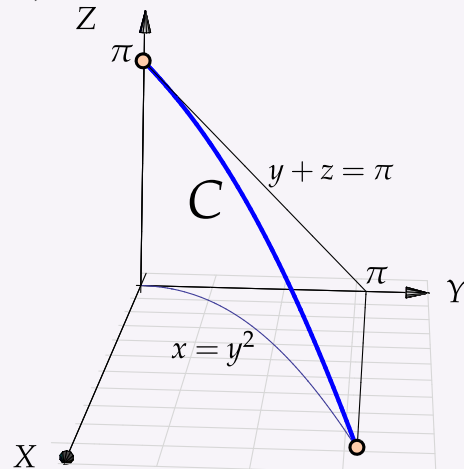
7.2.5 Calcular la longitud de la curva C : $y = \frac{x^3}{6} + \frac{1}{2x}$, $x \in [1, 2]$

7.2.6 Plantear la o las integrales que dan la longitud de las siguientes curvas,

a.)



b.)



7.3 Integral de línea para campos escalares.

Masa de un alambre. Consideremos un trozo de alambre delgado cuya masa varía continuamente y tiene valor $\rho(\mathbf{x})$ gramos por centímetro en el punto \mathbf{x} sobre C .

Para estimar la masa total sobre C , hacemos una partición de C : $\{\mathbf{r}(t_0), \mathbf{r}(t_1), \dots, \mathbf{r}(t_{k+1})\}$ donde \mathbf{r} es una parametrización de C .

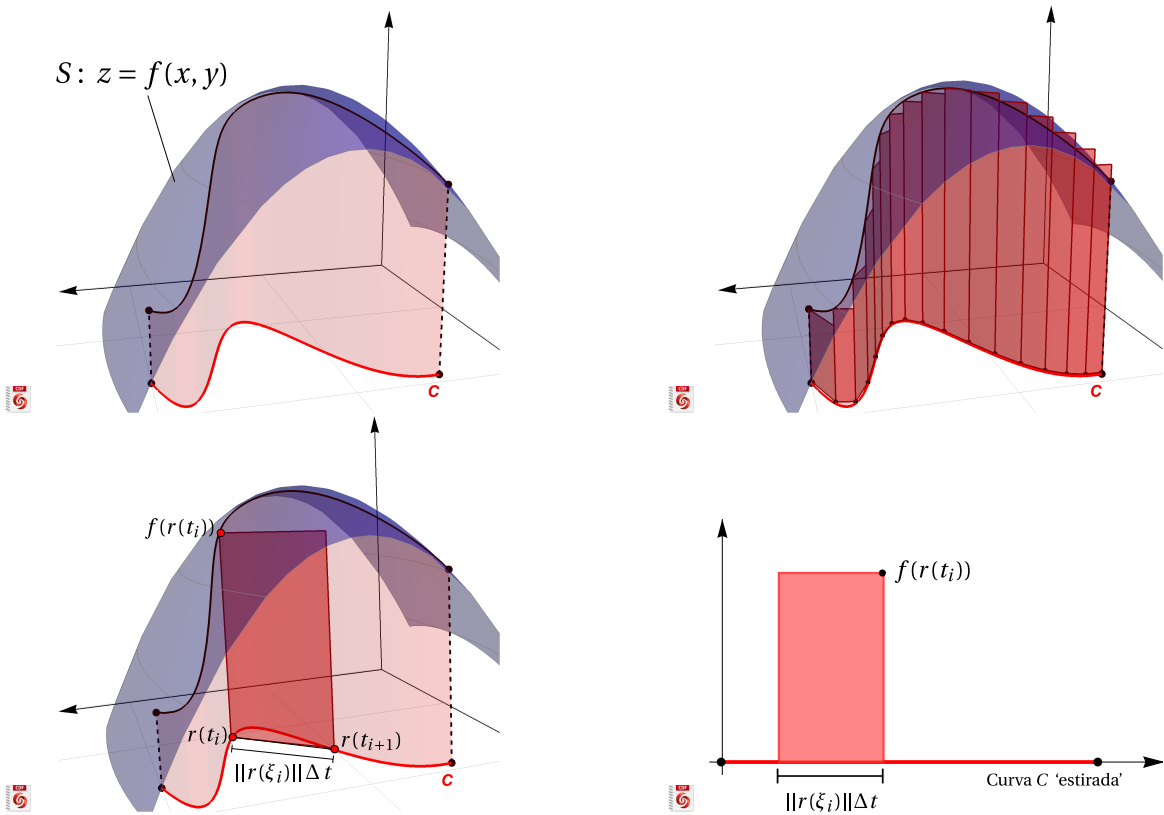
Si $\Delta s_i = \|\mathbf{r}(t_{i+1}) - \mathbf{r}(t_i)\|$ centímetros, la masa del segmento que va de $\mathbf{r}(t_{i+1})$ a $\mathbf{r}(t_i)$ es aproximadamente $\rho(\mathbf{r}(t_i))\Delta s_i$ gramos y la masa total m del alambre sería

$$m \approx \sum_{i=1}^k \rho(\mathbf{r}(t_i))\Delta s_i$$

Esta es una suma de Riemann y por tanto podemos tomar el límite (si existe): $m = \int_C \rho(\mathbf{x}) ds$

Generalizando la fórmula, si $\Delta s_i = \|\mathbf{r}(t_{i+1}) - \mathbf{r}(t_i)\| = \|\mathbf{r}'(\xi_i)\|\Delta t$, entonces

$$\int_C f \, ds = \lim_{n \rightarrow \infty} \sum_{i=1}^k f(\mathbf{r}(t_i)) \|\mathbf{r}'(\xi_i)\| \Delta t$$



Definición 7.3

Sea $f : U \subset \mathbb{R}^n \rightarrow \mathbb{R}$ continua y C una curva suave y simple, contenida en U y parametrizada por $\mathbf{r}(t)$ con $t \in [a, b]$, entonces la integral de línea de f sobre C es

$$\int_C f \, d\mathbf{s} = \int_a^b f(\mathbf{r}(t)) \|\mathbf{r}'(t)\| dt$$

Ejemplo 7.15

Sea C el arco de parábola $x = y^2$ con $y \in [0, \sqrt{2}]$. Calcular $\int_C 2x - 2y^2 + 8y \, ds$

Solución: Usemos $y = t$ como parámetro,

$$C : \mathbf{r}(t) = \underbrace{t^2}_{x(t)} \hat{\mathbf{i}} + \underbrace{t}_{y(t)} \hat{\mathbf{j}} \quad \text{con } t \in [0, \sqrt{2}].$$

$$\mathbf{r}'(t) = \underbrace{2t}_{x'(t)} \hat{\mathbf{i}} + \underbrace{1}_{y'(t)} \hat{\mathbf{j}}$$

Entonces $ds = \|\mathbf{r}'(t)\| dt = \sqrt{[x'(t)]^2 + [y'(t)]^2} dt = \sqrt{(2t)^2 + 1^2} dt$

$$\begin{aligned} \int_C 2x - 2y^2 + 8y \, ds &= \int_0^{\sqrt{2}} (2t^2 - 2t^2 + 8t) \sqrt{(2t)^2 + 1^2} dt \\ &= \int_0^{\sqrt{2}} 8t \sqrt{4t^2 + 1} dt \\ &= \frac{2}{3} (4t^2 + 1)^{3/2} \Big|_0^{\sqrt{2}} = 52/3 \end{aligned}$$

Ejemplo 7.16

Calcular $\int_C (x^2 + y^2)^5 \, ds$ con C la circunferencia $x^2 + y^2 = 4$.

Solución: Una parametrización de la circunferencia es

$$C : \mathbf{r}(t) = 2 \cos t \hat{\mathbf{i}} + 2 \sin t \hat{\mathbf{j}}, \quad \text{con } t \in [0, 2\pi].$$

Como $ds = \|\mathbf{r}'(t)\| dt = \sqrt{4 \cos^2 t + 4 \sin^2 t} dt = 2dt$ entonces

$$\int_C (x^2 + y^2)^5 \, ds = \int_0^{2\pi} 4^5 \cdot 2 \, dt = 2 \cdot 4^5 \cdot 2\pi.$$

Ejemplo 7.17

Calcular $\int_C \frac{z^2}{x^2+y^2} \, ds$ con C la espira (una vuelta) de la hélice $x(t) = 2\cos(t)$, $y(t) = 2\sin(t)$, $z(t) = 2t$.

Solución: Como $\|\mathbf{r}'(t)\| = \sqrt{4\sin^2 t + 4\cos^2 t + 4} = \sqrt{8}$, entonces

$$\int_C \frac{z^2}{x^2+y^2} \, ds = \int_0^{2\pi} \frac{4t^2}{4} \sqrt{8} \, dt = \frac{16\sqrt{2}}{3} \pi^3.$$

30**Ejercicios**

7.3.1 Calcular $\int_C xy^2 \, ds$ donde C es la mitad superior de la circunferencia de ecuación $x^2 + y^2 = 16$

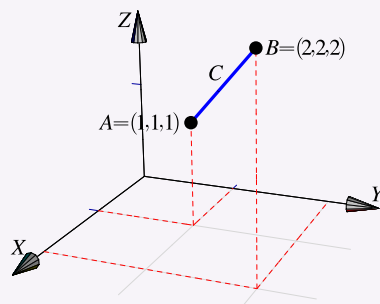
7.3.2 Calcular $\int_C x \, ds$ donde C es el arco de parábola C : $y = x^2$ con $x \in [-1, 1]$.

7.3.3 Calcular $\int_C \frac{xy+z}{2x-y} \, ds$ donde C es el segmento de recta que va de $(0, 0, 0)$ a $(1, 1, 0)$.

7.3.4 Calcule la integral de línea

$$\int_C \frac{x+y+z}{x^2+y^2+z^2} \, ds$$

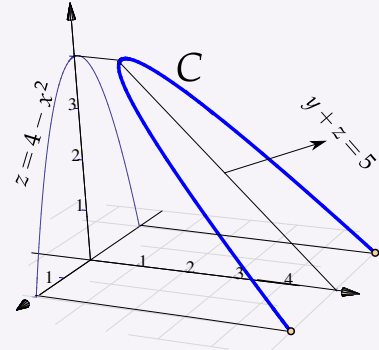
donde C es el segmento de recta que va desde $A = (1, 1, 1)$ hasta el punto $B = (2, 2, 2)$, tal y como se muestra en la figura a la derecha



7.3.5 Calcule la integral de línea

$$\int_C \frac{x^2 + 2y}{\sqrt{33 - 8z}} \, ds$$

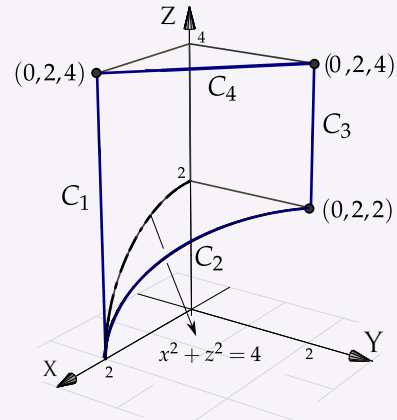
donde C es la curva que se muestra en la figura a la derecha



7.3.6 Calcule la integral de línea

$$\int_C x + y + z - 2 \, ds$$

donde $C = C_1 + C_2 + C_3 + C_4$ es la curva que se muestra en la figura a la derecha



7.4 (*)Longitud de arco en coordenadas polares.

Ahora el parámetro será θ . Si C esta dada por $r = r(\theta)$ con $\theta_1 \leq \theta \leq \theta_2$, entonces

$$\begin{cases} x(\theta) &= r(\theta) \cos(\theta) \\ y(\theta) &= r(\theta) \sin(\theta) \end{cases} \implies \begin{cases} x' &= r'(\theta) \cos(\theta) - r(\theta) \sin(\theta) \\ y' &= r'(\theta) \sin(\theta) + r(\theta) \cos(\theta) \end{cases}$$

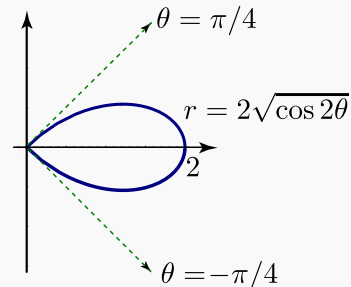
Luego, desarrollando y simplificando: $\|(x', y')\| = \sqrt{(x')^2 + (y')^2} = \sqrt{(r'(\theta))^2 + r^2(\theta)}$. Así,

Longitud de arco en coordenadas polares

$$\int_C f \, ds = \int_{\theta_1}^{\theta_2} f(r(\theta) \cos(\theta), r(\theta) \sin(\theta)) \sqrt{[r'(\theta)]^2 + r^2(\theta)} \, d\theta$$

Ejemplo 7.18

Calcular $\int_C x \sqrt{x^2 - y^2} \, ds$ con C la curva de ecuación $(x^2 + y^2)^2 = 4(x^2 - y^2)$, $x \geq 0$.

**Figura 7.10:** Curva C

Solución: Cambiando a polares la curva queda con ecuación $r = 2\sqrt{\cos(2\theta)}$ donde $-\frac{\pi}{4} \leq \theta \leq \frac{\pi}{4}$. Además

$$(x')^2 + (y')^2 = [r'(\theta)]^2 + r^2(\theta) = \left(-\frac{2\sin(2\theta)}{\sqrt{\cos 2\theta}}\right)^2 + \left(2\sqrt{\cos(2\theta)}\right)^2 = \frac{4}{\cos 2\theta}$$

$$\begin{aligned} \int_C x \sqrt{x^2 - y^2} \, ds &= \int_{-\pi/4}^{\pi/4} r \cos \theta \sqrt{r^2 \cos^2 \theta - r^2 \sin^2 \theta} \sqrt{\frac{4}{\cos(2\theta)}} \, d\theta \\ &= 8 \int_{-\pi/4}^{\pi/4} \cos 2\theta \cos \theta \, d\theta \quad (\text{sustituyendo } r \text{ y simplificando}). \\ &= 8 \int_{-\pi/4}^{\pi/4} \cos \theta - 2 \sin^2 \theta \cos \theta \, d\theta \quad (\text{sustituyendo } \cos 2\theta = \cos^2 \theta - \sin^2 \theta) \\ &= \left. \sin \theta - 2 \frac{\sin^3 \theta}{3} \right|_{-\pi/4}^{\pi/4} = \frac{16\sqrt{2}}{3}. \end{aligned}$$

Trabajo. Si se aplica una fuerza (empuje) constante \mathbf{F} (en la dirección del movimiento) para mover un objeto a una distancia d en línea recta, entonces el trabajo que hace la fuerza es $W = \text{Fuerza} \cdot \text{distancia}$. Si hay un ángulo θ entre la dirección en la que se aplica la fuerza constante y la dirección del movimiento, entonces solo la componente de la fuerza en la dirección del desplazamiento hace algún trabajo.

Supongamos que el vector $\Delta\mathbf{r}$ es la dirección del desplazamiento. Si θ es la medida del ángulo formado por \mathbf{F} y $\Delta\mathbf{r}$ entonces el escalar $||\mathbf{F}|| \cos \theta$ es la componente de la fuerza en la dirección del movimiento¹ (0 si $\theta = \pi/2$ y $||\mathbf{F}||$ si $\theta = 0$). Luego el trabajo realizado es

$$W = ||\mathbf{F}|| ||\Delta\mathbf{r}|| \cos \theta = \mathbf{F} \cdot \Delta\mathbf{r}$$

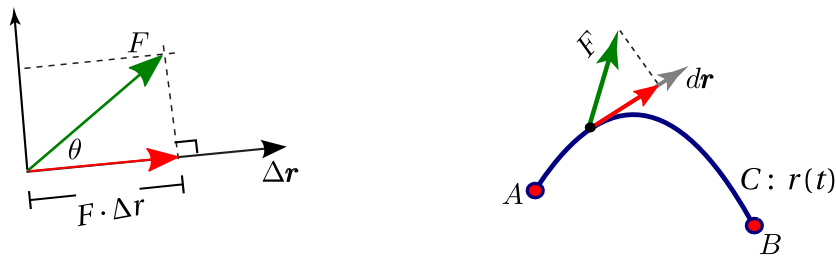


Figura 7.11: Trabajo.

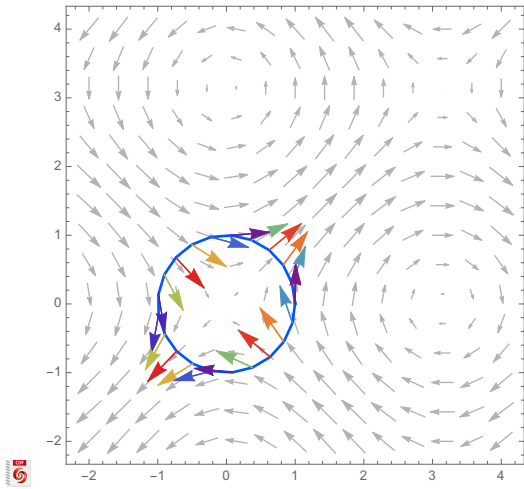


Figura 7.12: $\mathbf{F}(x,y) = (\operatorname{sen} y, \operatorname{sen} x)$ sobre una curva C

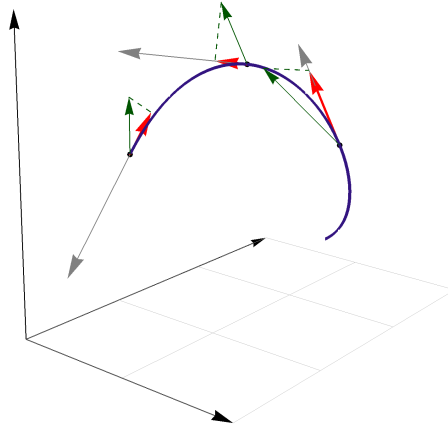


Figura 7.13: $\mathbf{F}(x,y,z) = -0.5(x \operatorname{sen} y, 0, -\operatorname{sen} z)$ sobre una curva C

Para calcular el trabajo que hace una fuerza para mover una partícula sobre una curva $C : \mathbf{r}(t)$, usamos como vector de desplazamiento el vector tangente $d\mathbf{r}$. El escalar $\mathbf{F} \cdot d\mathbf{r}$ puede ser positivo o negativo, dependiendo de la orientación de la curva. Para calcular el trabajo sobre una curva C , se consideran pedazos muy pequeños de la curva, tan pequeños que

¹ \mathbf{F} se descompone como la suma de su componente orthogonal y su proyección orthogonal sobre $\Delta\mathbf{r}$. Solamente la proyección orthogonal es la parte de \mathbf{F} responsable del trabajo que se efectúa.

son, aproximadamente, segmentos de recta y la fuerza es casi constante sobre estos pedazos de tamaño $\|\Delta\mathbf{r}\|$. El trabajo hecho por \mathbf{F} para mover la partícula desde el inicio hasta el final de $d\mathbf{r}$ es $\mathbf{F} \cdot d\mathbf{r}$. Sumando todos los trabajos (pasando a la integral) obtenemos

$$W = \int_C \mathbf{F} \cdot d\mathbf{r}$$

Definición 7.4 (Trabajo).

Sea \mathbf{F} un campo vectorial continuo sobre la curva C . Suponemos que C está orientada, es regular y simple. Entonces

$$W = \int_C \mathbf{F} \cdot d\mathbf{r} = \lim_{\substack{k \rightarrow \infty \\ \|M\| \rightarrow 0}} \sum_{i=1}^k \mathbf{F}(\mathbf{r}_i) \cdot \Delta\mathbf{r}_i,$$

si el límite existe cuando es tomado sobre todas las particiones ordenadas $\mathbf{r}(t_0), \mathbf{r}(t_1), \dots, \mathbf{r}(t_{k+1})$ de C con $\|M\| = \max_i \{\|\Delta\mathbf{r}_i\|\}$ y $\Delta\mathbf{r}_i = \mathbf{r}(t_{i+1}) - \mathbf{r}(t_i)$, $i = 1, \dots, k$

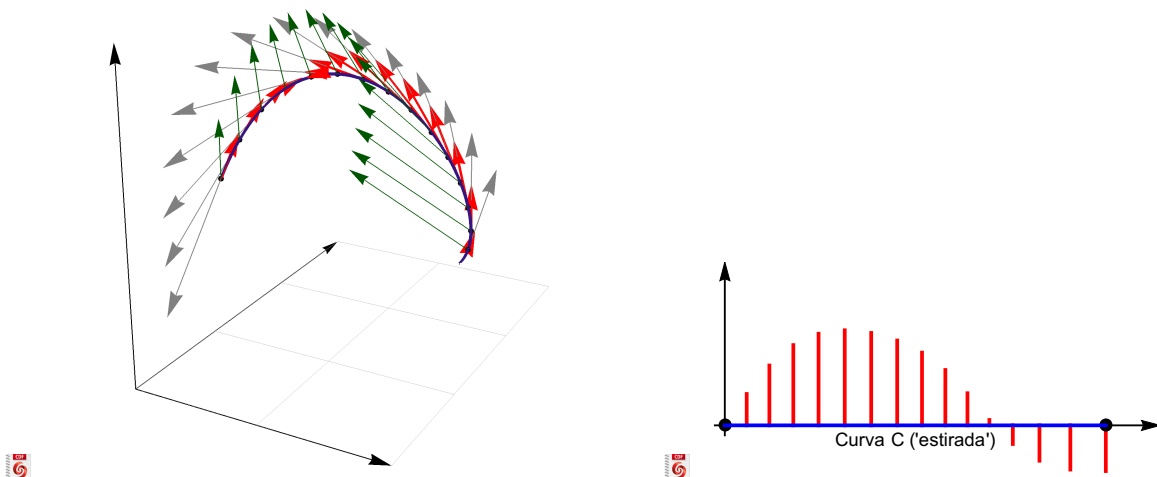


Figura 7.14: Calculando el trabajo W

En la definición anterior, C puede ser regular, cerrada y simple. En particular si C es la unión de curvas regulares y simples C_1, C_2, \dots, C_m , escribimos $C = C_1 + C_2 + \dots + C_m$ y definimos

$$\int_C \mathbf{F} \cdot d\mathbf{r} = \int_{C_1} \mathbf{F} \cdot d\mathbf{r} + \int_{C_2} \mathbf{F} \cdot d\mathbf{r} + \dots + \int_{C_n} \mathbf{F} \cdot d\mathbf{r}$$

- El vector unitario tangente es $T = \frac{\mathbf{r}'(t)}{\|\mathbf{r}'(t)\|}$ y $d\mathbf{r} = (dx_1(t), dx_2(t), \dots, dx_n(t)) = (x'_1(t) dt, x'_2(t) dt, \dots, x'_n(t) dt)$. Si C esta parametrizada por $\mathbf{r}(s)$ (usando la longitud de arco s como parámetro) con $0 \leq s \leq \ell$, entonces como $d\mathbf{r} = \mathbf{r}'(t) dt = \frac{\mathbf{r}'(t)}{\|\mathbf{r}'(t)\|} \|\mathbf{r}'(t)\| dt = T ds$, tenemos

$$\int_C \mathbf{F} \cdot d\mathbf{r} = \int_0^\ell (F \cdot T) ds$$

La función escalar $\mathbf{F} \cdot T$ puede tener discontinuidades de primera especie ligadas a algún punto esquina de C .

- Si C está parametrizada por $\mathbf{r}(t)$ con $t \in [a, b]$, entonces

$$\int_C \mathbf{F} \cdot d\mathbf{r} = \int_a^b (\mathbf{F}(\mathbf{r}(t)) \cdot \frac{\mathbf{r}'(t)}{\|\mathbf{r}'(t)\|}) \|\mathbf{r}'(t)\| dt = \int_a^b (\mathbf{F}(\mathbf{r}(t)) \cdot \mathbf{r}'(t)) dt$$

$$\mathbf{F}(x, y) = P(x, y)\hat{\mathbf{i}} + Q(x, y)\hat{\mathbf{j}}$$

Sea $\mathbf{F}(x, y) = P(x, y)\hat{\mathbf{i}} + Q(x, y)\hat{\mathbf{j}}$, como $dx = x'(t)dt$ y $dy = y'(t)dt$, podemos escribir

$$\int_C \mathbf{F} \cdot d\mathbf{r} = \int_a^b \mathbf{F}(\mathbf{r}(t)) \cdot \mathbf{r}'(t) dt = \int_a^b P dx + Q dy$$

Es decir,

$$\begin{aligned} \int_C \mathbf{F} \cdot d\mathbf{r} &= \int_a^b P dx + Q dy \\ &= \int_a^b (P(x(t), y(t)), Q(x(t), y(t))) \cdot (x'(t), y'(t)) dt \end{aligned}$$

$$\mathbf{F}(x, y, z) = P(x, y, z)\hat{\mathbf{i}} + Q(x, y, z)\hat{\mathbf{j}} + R(x, y, z)\hat{\mathbf{k}}$$

Si $\mathbf{F}(x, y, z) = P(x, y, z)\hat{\mathbf{i}} + Q(x, y, z)\hat{\mathbf{j}} + R(x, y, z)\hat{\mathbf{k}}$, como $dx = x'(t)dt$, $dy = y'(t)dt$ y $dz = z'(t)dt$, podemos escribir

$$\int_C \mathbf{F} \cdot d\mathbf{r} = \int_a^b \mathbf{F}(\mathbf{r}(t)) \cdot \mathbf{r}'(t) dt = \int_a^b P dx + Q dy + R dz$$

Es decir,

$$\begin{aligned} \int_C \mathbf{F} \cdot d\mathbf{r} &= \int_a^b P dx + Q dy + R dz \\ &= \int_a^b (P(x(t), y(t), z(t)), Q(x(t), y(t), z(t)), R(x(t), y(t), z(t))) \cdot (x'(t), y'(t), z'(t)) dt \end{aligned}$$

- Cuando una curva C es parametrizada por $\mathbf{r}(t)$ con $t \in [a, b]$, entonces inducimos una orientación en C . Distintas parametrizaciones pueden inducir distintas orientaciones.

Por ejemplo, en la figura se tiene la curva $y = 2 \sin(x)$ con $x \in [0, 3]$. Dos parametrizaciones que inducen orientaciones opuestas son $\mathbf{r}_1(t) = (t, \sin t)$ y $\mathbf{r}_2(t) = (3 - t, \sin(3 - t))$ ambas con $t \in [0, 3]$.



Figura 7.15: Orientación inducida por dos parametrizaciones.

Si $\mathbf{r}_1(t)$ parametriza C en una dirección con vector tangente T y $\mathbf{r}_2(t)$ parametriza C en sentido contrario, con vector tangente $-T$, entonces denotamos la segunda curva como $-C$ y admitimos como válido que

Convenio

$$\int_{-C} \mathbf{F} \cdot d\mathbf{r} = - \int_C \mathbf{F} \cdot d\mathbf{r}$$

- Más adelante, cuando veamos el teorema de Green, usaremos la siguiente noción de orientación: *la curva cerrada C está orientada positivamente, respecto a una región D , si al movernos sobre C , la región siempre está a nuestra izquierda.*
- Note que el trabajo W puede ser un número negativo. Esto ocurre cuando la fuerza actúa en contra del desplazamiento de la partícula.
- En la sección 7.9, la integral $\int_C \mathbf{F} \cdot d\mathbf{r}$ se interpreta como “la suma” de las componentes de \mathbf{F} tangentes a la curva. Si C es cerrada, esta integral indica cómo \mathbf{F} tiende a circular alrededor de la curva. Esta interpretación es la que usamos para el teorema de Green.

Ejemplo 7.19

Consideremos una fuerza constante $\mathbf{F}(x, y) = 1\hat{\mathbf{i}} + 0\hat{\mathbf{j}}$. Calcule $\int_C \mathbf{F} \cdot d\mathbf{r}$ si C el segmento de recta que se muestra en la figura.

Solución: Usamos a $x = t$ como parámetro. La parametrización $\mathbf{r}(t) = t\hat{\mathbf{i}} + 1\hat{\mathbf{j}}$, $t \in [0, 2]$, parametriza a $-C$ pues $\mathbf{r}(0) = (0, 1) = B$ y $\mathbf{r}(2) = (2, 1) = A$.

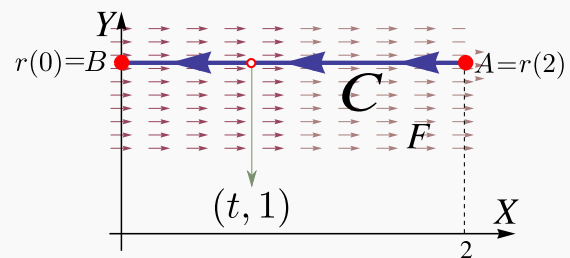


Figura 7.16: Curva C

Es costumbre escribir, $-C: \mathbf{r}(t) = t\hat{\mathbf{i}} + 1\hat{\mathbf{j}}, t \in [0, 2]$. Luego, $\mathbf{r}'(t) = 1\hat{\mathbf{i}} + 0\hat{\mathbf{j}}$

Como $\mathbf{F}(x, y) = 1\hat{\mathbf{i}} + 0\hat{\mathbf{j}}$ entonces $P(x, y) = 1$ y $Q(x, y) = 0$.

$$\begin{aligned}\int_C \mathbf{F} \cdot d\mathbf{r} &= - \int_{-C} \mathbf{F} \cdot d\mathbf{r} \\ &= - \int_C (P(x(t), y(t)), Q(x(t), y(t))) \cdot (x'(t), y'(t)) dt \\ &= - \int_0^2 (1, 0) \cdot (1, 0) dt \\ &= - \int_0^2 1 dt = -2\end{aligned}$$

Ejemplo 7.20

Sea $\mathbf{F}(x, y) = x\hat{\mathbf{i}} + (x+y)\hat{\mathbf{j}}$. Calcule $\int_C \mathbf{F} \cdot d\mathbf{r}$ si C es la curva de ecuación es $y = x^2$, $x \in [-1, 2]$ tal y como se muestra en la figura.

Solución: Usamos a $x = t$ como parámetro. La parametrización $\mathbf{r}(t) = t\hat{\mathbf{i}} + t^2\hat{\mathbf{j}}, t \in [-1, 2]$, parametriza a “ $-C$ ” pues $\mathbf{r}(-1) = (-1, 1) = B$ y $\mathbf{r}(2) = (2, 4) = A$.

Es costumbre escribir,

$$-C: \mathbf{r}(t) = t\hat{\mathbf{i}} + t^2\hat{\mathbf{j}}, t \in [-1, 2].$$

Luego $\mathbf{r}'(t) = 1\hat{\mathbf{i}} + 2t\hat{\mathbf{j}}$

Como $\mathbf{F}(x, y) = x\hat{\mathbf{i}} + (x+y)\hat{\mathbf{j}}$ entonces $P(x, y) = x$ y $Q(x, y) = x+y$.

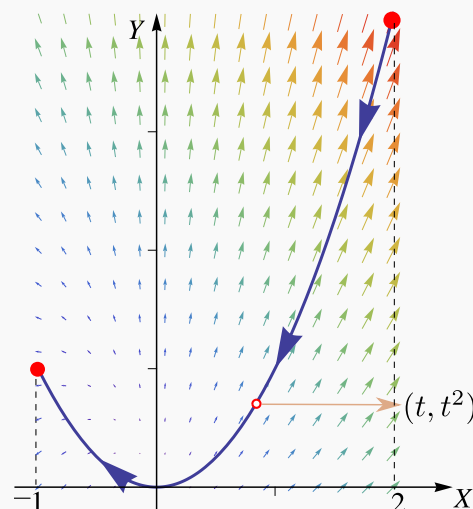


Figura 7.17: Curva C

$$\begin{aligned}
 \int_C \mathbf{F} \cdot d\mathbf{r} &= - \int_{-C} \mathbf{F} \cdot d\mathbf{r} \\
 &= - \int_C (P(x(t), y(t)), Q(x(t), y(t))) \cdot (x'(t), y'(t)) dt \\
 &= - \int_{-1}^2 (t, t+t^2) \cdot (1, 2t) dt \\
 &= - \int_{-1}^2 t + 2t^2 + 2t^3 dt = -15
 \end{aligned}$$

Ejemplo 7.21

Calcular $\int_C y^2 dx + x^2 dy$ donde C es la elipse $\frac{x^2}{4} + \frac{y^2}{9} = 1$.

Solución: Podemos usar la parametrización

$$-C: \mathbf{r}(\theta) = 2 \cos \theta \hat{\mathbf{i}} + 3 \sin \theta \hat{\mathbf{j}} \text{ con } \theta \in [0, 2\pi].$$

Como $\mathbf{F}(x, y) = (y^2, x^2)$ entonces $P = y^2$ y $Q = x^2$. Entonces,

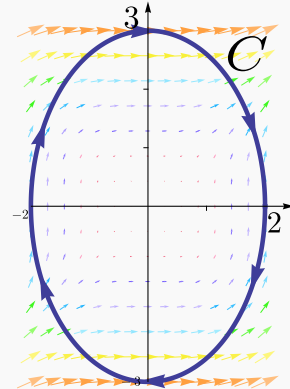


Figura 7.18: Curva C .

$$\begin{aligned}
 \int_C y^2 dx + x^2 dy &= \int_C \mathbf{F} \cdot d\mathbf{r} \\
 &= - \int_0^{2\pi} (9 \sin^2 \theta, 4 \cos^2 \theta) \cdot (-2 \sin \theta, 3 \cos \theta) d\theta \\
 &= - \int_0^{2\pi} -18 \sin^3 \theta + 12 \cos^3 \theta d\theta = 0 \quad (\text{Usar: } \cos^3 \theta = (1 - \sin^2 \theta) \cos \theta.)
 \end{aligned}$$

Ejemplo 7.22

Sea $\mathbf{F}(x, y) = (y^2, x^2)$. Calcule $\int_C \mathbf{F} \cdot d\mathbf{r}$ donde C es la curva de la figura 7.19.

Solución: Parametrizamos C ,

$$\left\{ \begin{array}{l} C_1 : \quad \mathbf{r}_1(t) = (t, 0) \text{ con } t \in [0, 1] \\ C_2 : \quad \mathbf{r}_2(t) = (1, t) \text{ con } t \in [0, 1] \\ -C_3 : \quad \mathbf{r}_3(t) = (t, t^2) \text{ con } t \in [0, 1] \end{array} \right.$$

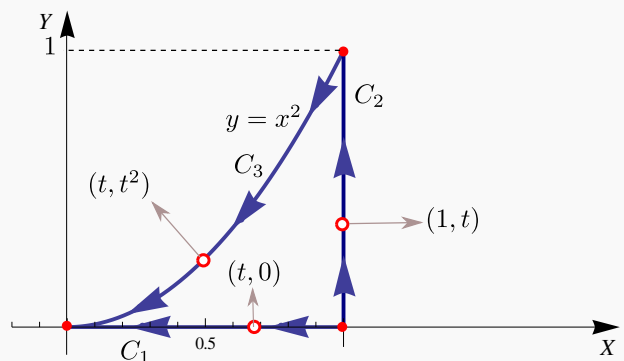


Figura 7.19: Curva $C = C_1 \cup C_2 \cup C_3$.

$$\begin{aligned} \int_C y^2 dx + x^2 dy &= \int_{C_1} y^2 dx + x^2 dy + \int_{C_2} y^2 dx + x^2 dy - \int_{-C_3} y^2 dx + x^2 dy \\ &= \int_0^1 (0, t^2) \cdot (1, 0) dt + \int_0^1 (t^2, 1) \cdot (0, 1) dt - \int_0^1 (t^4, t^2) \cdot (1, 2t) dt \\ &= \int_0^1 0 dt + \int_0^1 1 dt - \int_0^1 [t^4 + 2t^3] dt = \frac{3}{10}. \end{aligned}$$

Ejemplo 7.23

Sea $\mathbf{F}(x, y, z) = 2x \ln(yz) \hat{i} + \left(\frac{x^2}{y} - 5e^x \right) \hat{j} + \left(\frac{x^2}{z} + 2z \right) \hat{k}$
y sea C la curva de la figura. Calcular $\int_C \mathbf{F} \cdot d\mathbf{r}$.

Solución:

$$\left\{ \begin{array}{l} -C_1 : \quad \mathbf{r}_1(t) = (0, t, 1) \text{ con } t \in [1, 3], \\ C_2 : \quad \mathbf{r}_2(t) = (0, 1, t) \text{ con } t \in [1, 2]. \end{array} \right.$$

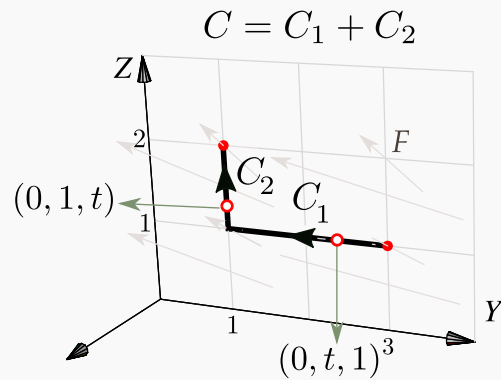


Figura 7.20: Curva $C = C_1 \cup C_2$.

Luego

$$\begin{aligned}
 \int_C \mathbf{F} \cdot d\mathbf{r} &= \int_{C_1} \mathbf{F} \cdot d\mathbf{r} + \int_{C_2} \mathbf{F} \cdot d\mathbf{r} = - \int_1^3 \mathbf{F}(\mathbf{r}_1(t)) \cdot \mathbf{r}'_1(t) dt + \int_1^2 \mathbf{F}(\mathbf{r}_2(t)) \cdot \mathbf{r}'_2(t) dt \\
 &= - \int_1^3 \mathbf{F}(0, t, 1) \cdot \mathbf{r}'_1(t) dt + \int_1^2 \mathbf{F}(0, 1, t) \cdot \mathbf{r}'_2(t) dt \\
 &= - \int_1^3 (0, -5, 2) \cdot (0, 1, 0) dt + \int_1^2 (0, -5, 2t) \cdot (0, 0, 1) dt \\
 &= - \int_1^3 [0 + (-5) \cdot 1 + 0] dt + \int_1^2 [0 + 0 + (2t) \cdot 1] dt = 13
 \end{aligned}$$

Ejemplo 7.24

Sea $\mathbf{F}(x, y, z) = (x+y) \hat{\mathbf{i}} + (y-z) \hat{\mathbf{j}} + (x+z) \hat{\mathbf{k}}$ y sea C la curva de la figura 7.21. Calcular $\int_C \mathbf{F} \cdot d\mathbf{r}$.

Solución: Primero parametrizamos C .

C_1 se puede parametrizar usando la fórmula para el segmento de recta que va desde $A_1 = (1, 2, 0)$ hasta $A_2 = (0, 4, 2)$, es decir,

$$C_1 : \mathbf{r}_1(t) = A_1 + t(A_2 - A_1) = (1-t) \hat{\mathbf{i}} + (2+2t) \hat{\mathbf{j}} + 2t \hat{\mathbf{k}}, \quad \text{con } t \in [0, 1].$$

C_2 se puede parametrizar tomando $z = t$.

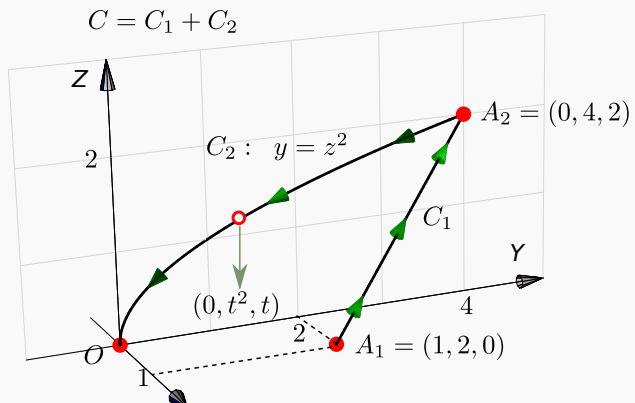
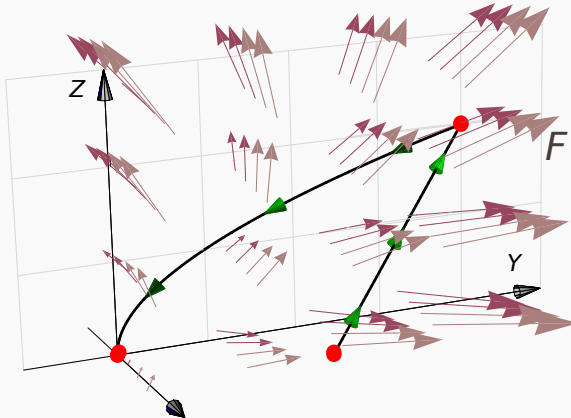


Figura 7.21: Curva C

$$\left\{
 \begin{array}{l}
 C_1 : \mathbf{r}_1(t) = (1-t) \hat{\mathbf{i}} + (2+2t) \hat{\mathbf{j}} + 2t \hat{\mathbf{k}}, \quad t \in [0, 1], \quad \checkmark \\
 -C_2 : \mathbf{r}_2(t) = (0, t^2, t), \quad t \in [0, 2], \quad \mathbf{r}_2(0) = (0, 0, 0) \quad \text{y} \quad \mathbf{r}_2(2) = A_2.
 \end{array}
 \right.$$

$$\begin{aligned}
 \int_C \mathbf{F} \cdot d\mathbf{r} &= \int_{C_1} \mathbf{F} \cdot d\mathbf{r} - \int_{C_2} \mathbf{F} \cdot d\mathbf{r} \\
 &= \int_0^1 \mathbf{F}(r_1(t)) \cdot r'_1(t) dt - \int_0^2 \mathbf{F}(r_2(t)) \cdot r'_2(t) dt \\
 &= \int_0^1 (3+t, 2, 1+t) \cdot (-1, 2, 2) dt - \int_0^2 (t^2, t^2-t, t) \cdot (0, 2t, 1) dt \\
 &= \int_0^1 t+3 dt - \int_0^2 t-2t^2+2t^3 dt = -\frac{23}{6}
 \end{aligned}$$

Ejemplo 7.25

Sea $\mathbf{F}(x, y, z) = (z + \cos x)\hat{i} + (2z + x \cos x)\hat{j} + x\hat{k}$.

Calcular $\int_C \mathbf{F} \cdot d\mathbf{r}$ si $C = C_1 + C_2 + C_3$, tal y como se muestra en la figura de la derecha.

Solución:

Una parametrización para C es

$$C : \begin{cases} -C_1 : r_1(t) = (2, 1, t), t \in [0, 2] \\ -C_2 : r_2(t) = (t, 1, 0), t \in [0, 2] \\ -C_3 : r_3(t) = (0, t, 0), t \in [0, 1] \end{cases}$$

Así

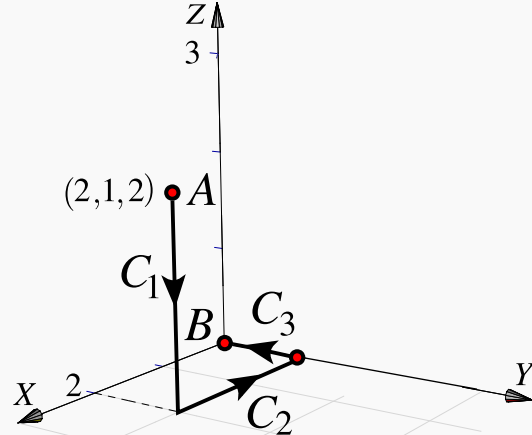


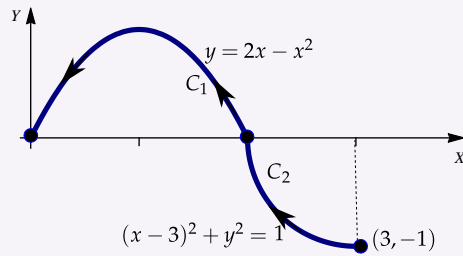
Figura 7.22

$$\begin{aligned}
 \int_C \mathbf{F} \cdot d\mathbf{r} &= - \int_0^2 (\textcolor{blue}{t} + \cos(2), 2\textcolor{blue}{t} + 2\cos(2), 2) \cdot \mathbf{r}'_1(\textcolor{red}{t}) dt - \int_0^2 (\cos \textcolor{blue}{t}, \textcolor{blue}{t} \cos \textcolor{blue}{t}, \textcolor{blue}{t}) \cdot \mathbf{r}'_2(\textcolor{red}{t}) dt - \int_0^1 (\textcolor{blue}{t}, 0, 0) \cdot \mathbf{r}'_3(\textcolor{red}{t}) dt \\
 &= - \int_0^2 (\textcolor{blue}{t} + \cos(2), 2\textcolor{blue}{t} + 2\cos(2), 2) \cdot (\mathbf{0}, \mathbf{0}, \textcolor{blue}{t}) dt - \int_0^2 (\cos \textcolor{blue}{t}, \textcolor{blue}{t} \cos \textcolor{blue}{t}, \textcolor{blue}{t}) \cdot (\mathbf{1}, \mathbf{0}, \mathbf{0}) dt - \int_0^1 (\textcolor{blue}{t}, 0, 0) \cdot (\mathbf{0}, \mathbf{1}, \mathbf{0}) dt \\
 &= - \int_0^2 2\textcolor{blue}{t} dt - \int_0^2 \cos \textcolor{blue}{t} dt - 0 \\
 &= -\textcolor{blue}{t}^2 \Big|_0^2 - \sin \textcolor{blue}{t} \Big|_0^2 = -4 - \sin(2)
 \end{aligned}$$

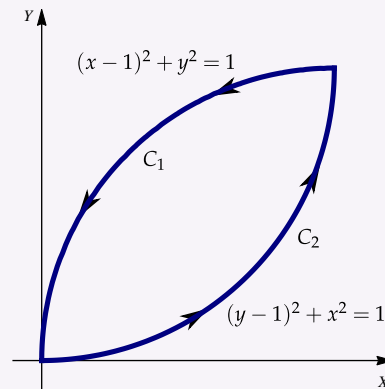
31

Ejercicios

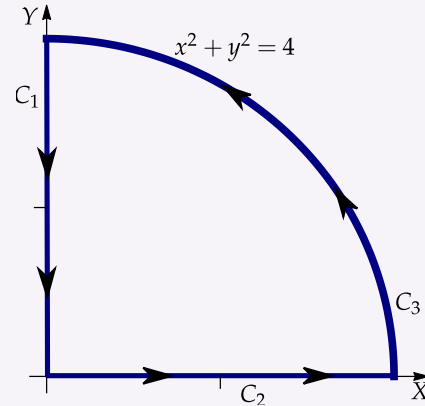
- 7.5.1 Calcular $\int_C \mathbf{F} \cdot d\mathbf{r}$, $\mathbf{F}(x,y) = x\mathbf{i} - y\mathbf{j}$, $C_1 : (x - 3)^2 + y^3 = 1$ donde $C = C_1 \cup C_2$.



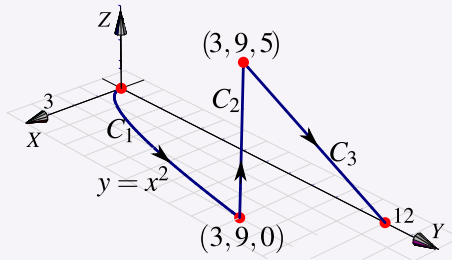
- 7.5.2 Calcule $\int_C x dy - y dx$ donde $C = C_1 \cup C_2$



- 7.5.3 Calcule la integral $\int_C \mathbf{F} \cdot d\mathbf{r}$ donde $C = C_1 \cup C_2 \cup C_3$, y además $\mathbf{F}(x, y) = (2y + \sqrt{9+x^3})\mathbf{i} + (5x + e^{\arctan y})\mathbf{j}$

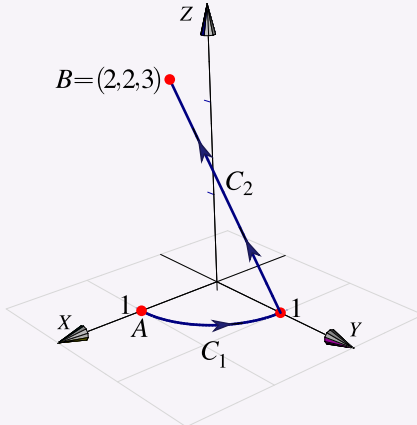


- 7.5.4 Calcule $\int_C x^2 z dx - y x^2 dy + 3 x z dz$ donde $C = C_1 \cup C_2 \cup C_3$ (figura de la derecha).



7.5.5 Evalúe la integral de línea $\int_C x \, ds$ donde $C = C_1 \cup C_2 \cup C_3$ es la curva del ejercicio anterior.

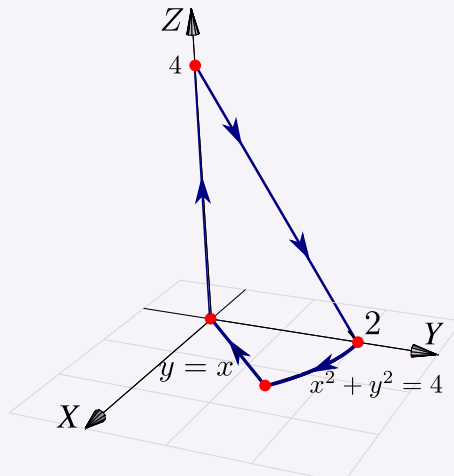
7.5.6 Calcule $I = \int_C x \, dx + z \, dy + dz$. La curva $C = C_1 \cup C_2$ es la curva que aparece en la figura; C_1 es un trozo de la circunferencia $x^2 + y^2 = 1$ y C_2 es el segmento que va de $(0, 1, 0)$ a $B = (2, 2, 3)$.



7.5.7 Considere el campo de fuerzas

$$\mathbf{F}(x, y, z) = 4xe^z \hat{i} + y\cos(z) \hat{j} + 2x^2e^z \hat{k}.$$

Sea C la curva de la figura a la derecha. Calcule $\int_C \mathbf{F} \cdot d\mathbf{r}$.



7.6 Campos conservativos. Independencia de la trayectoria.

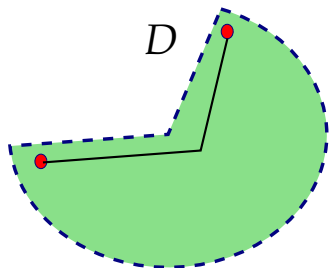
Una condición para que la integral de línea no dependa de la trayectoria que une a A con B es que exista φ tal que $\mathbf{F} = \nabla\varphi$ con $\varphi \in C^1$. En este caso podemos calcular la integral de línea usando cualquier camino que una A con B o también, usando el Teorema Fundamental para la integral de línea.

Definición 7.5

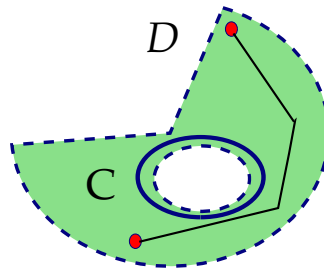
Un conjunto $D \subset \mathbb{R}^n$ se dice *conexo* si todo par de puntos de D se pueden unir con una curva regular a trozos contenida en D . Es decir, D es de “una sola pieza”.

Un conjunto $D \subset \mathbb{R}^n$ abierto y conexo se dice *simplemente conexo* si toda curva cerrada simple C en D , encierra una región que está también en D . Es decir, los conjuntos simplemente conexos no tienen “agujeros”.

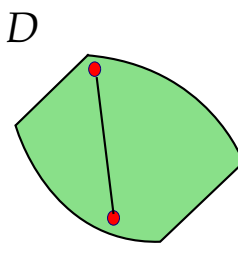
Un conjunto $D \subset \mathbb{R}^n$ se dice *convexo* si para todo par de puntos $A, B \in D$, el segmento de recta que une A con B está contenido en D , es decir, $\{A + t(B - A) : t \in [0, 1]\} \subset D$.



D es simplemente conexo, pero no convexo



D es conexo pero no simplemente conexo



D es convexo

Definición 7.6

Sea \mathbf{F} un campo vectorial definido sobre un conjunto abierto U . Si φ es una función diferenciable sobre U tal que $\mathbf{F} = \nabla\varphi$, decimos que φ es una *función potencial* de \mathbf{F} . También decimos que \mathbf{F} es *conservativo*.

Si U es conexo y \mathbf{F} conservativo, las funciones potenciales de \mathbf{F} son iguales salvo constantes. También se puede mostrar que si $\mathbf{F} = (P, Q)$ y si $P_y \neq Q_x$, entonces \mathbf{F} no es conservativo (no tiene función potencial). La condición $P_y = Q_x$ es solo *necesaria* para que \mathbf{F} sea conservativo. La condición es *necesaria y suficiente* si U es *simplemente conexo*.

Teorema 7.1 (Test de derivadas mixtas).

Sea $\mathbf{F} = P \hat{\mathbf{i}} + Q \hat{\mathbf{j}}$ es de clase C^1 en un conjunto *simplemente conexo* D del plano. Decimos que \mathbf{F} es *conservativo* si

$$\frac{\partial P}{\partial y} = \frac{\partial Q}{\partial x}$$

Sea $\mathbf{F} = P \hat{\mathbf{i}} + Q \hat{\mathbf{j}} + R \hat{\mathbf{k}}$ es de clase C^1 en un conjunto *simplemente conexo* D del espacio. Decimos que \mathbf{F} es *conservativo* si

$$\frac{\partial P}{\partial y} = \frac{\partial Q}{\partial x}, \quad \frac{\partial P}{\partial z} = \frac{\partial R}{\partial x}, \quad \frac{\partial Q}{\partial z} = \frac{\partial R}{\partial y}$$

Teorema 7.2 (Teorema Fundamental para integrales de línea).

Sea $\varphi : D \subset \mathbb{R}^n \rightarrow \mathbb{R}$ una función de clase C^1 donde D es conexo y abierto. Sea C una curva regular a trozos en D parametrizada por \mathbf{r} y sean $A = \mathbf{r}(a)$ y $B = \mathbf{r}(b)$; se tiene

$$\int_C \nabla \varphi \cdot d\mathbf{r} = \varphi(B) - \varphi(A)$$

Teorema 7.3 (Campos conservativos).

Sea D simplemente conexo. Sea C una curva orientada y simple contenida en D y parametrizada por \mathbf{r} . Suponemos que C inicia en A y termina en B . Sea \mathbf{F} un campo definido en D .

- \mathbf{F} es conservativo \iff existe φ de clase C^1 tal que $\mathbf{F} = \nabla \varphi$, sobre D .
- Si \mathbf{F} es conservativo, existe φ de clase C^1 tal que $\int_C \mathbf{F} \cdot d\mathbf{r} = \varphi(B) - \varphi(A)$
- Si \mathbf{F} es conservativo, $\int_C \mathbf{F} \cdot d\mathbf{r} = \int_{C'} \mathbf{F} \cdot d\mathbf{r}$ donde C' es cualquier curva, contenida en D , regular a trozos y que va de A a B .
- \mathbf{F} es conservativo \iff $\int_C \mathbf{F} \cdot d\mathbf{r} = 0$ para cualquier curva cerrada simple C contenida en D .

Observe que si $\int_C \mathbf{F} \cdot d\mathbf{r} = 0$ para *alguna* curva cerrada simple C , esto no significa que \mathbf{F} sea conservativo. En la parte 3. del ejemplo 7.5 tenemos un campo con integral nula sobre una elipse pero que no es conservativo.

Ejemplo 7.26

Sea $\mathbf{F}(x, y, z) = (2x \ln(yz) - 5ye^x) \hat{\mathbf{i}} + \left(\frac{x^2}{y} - 5e^x\right) \hat{\mathbf{j}} + \left(\frac{x^2}{z} + 2z\right) \hat{\mathbf{k}}$ y sea C una curva simple que une $A = (2, 2, 1)$ con $B = (3, 1, e)$. Calcule $\int_C \mathbf{F} \cdot d\mathbf{r}$.

Solución: \mathbf{F} es de clase C^1 en la región $D = \{(x, y, z) : x > 0, y > 0, z > 0\}$. Esta región es simplemente conexa.

El campo es conservativo en esta región pues,

$$\frac{\partial P}{\partial y} = -5e^x + 2x/y = \frac{\partial Q}{\partial x}, \quad \frac{\partial P}{\partial z} = 2x/z = \frac{\partial R}{\partial x}, \quad \frac{\partial Q}{\partial z} = 0 = \frac{\partial R}{\partial y}$$

Luego, podemos calcular la integral de línea usando un camino C' en D que une A con B o también podemos calcular una función potencial φ y usar el teorema fundamental para integrales de línea.

En este caso vamos a calcular la integral usando una función potencial φ . Como $\nabla \varphi = \mathbf{F}$ entonces $\varphi_x = P$, $\varphi_y = Q$, y $\varphi_z = R$.

$$\varphi_x = 2x \ln(yz) - 5ye^x \implies \varphi(x, y, z) = \int 2x \ln(yz) - 5ye^x dx = x^2 \ln(yz) - 5ye^x + K_1(y, z).$$

$$\varphi_y = \frac{x^2}{y} - 5e^x \implies \varphi(x, y, z) = \int \frac{x^2}{y} - 5e^x dy = x^2 \ln y - 5ye^x + K_2(x, z).$$

$$\varphi_z = \frac{x^2}{z} + 2z \implies \varphi(x, y, z) = \int \frac{x^2}{z} + 2z dz = x^2 \ln z + z^2 + K_3(x, y).$$

Observemos que $x^2 \ln y + x^2 \ln z = x^2 \ln(yz)$. Recolectando primitivas podemos adivinar que

$$\varphi(x, y, z) = x^2 \ln(yz) - 5ye^x + K$$

lo cual podemos aceptar *después de verificar* que $\varphi_x = P$, $\varphi_y = Q$, y $\varphi_z = R$. Finalmente,

$$\int_C \mathbf{F} \cdot d\mathbf{r} = \varphi(B) - \varphi(A) = 8 + 11e^2 - 5e^3 - 4 \log(2) \approx -13.9207.$$

Ejemplo 7.27

Considere el campo de fuerzas $\mathbf{F}(x, y, z) = 4xe^z \hat{i} + \cos(y) \hat{j} + 2x^2e^z \hat{k}$.

Sea C la curva de la figura. Calcule $\int_C \mathbf{F} \cdot d\mathbf{r}$.

Solución: \mathbf{F} es de clase C^1 sobre $D = \mathbb{R}^3$ que es simplemente conexa. Dichosamente no tenemos que integrar sobre la curva C pues \mathbf{F} es conservativo. En efecto

$$\frac{\partial P}{\partial y} = 0 = \frac{\partial Q}{\partial x}, \quad \frac{\partial P}{\partial z} = 4xe^z = \frac{\partial R}{\partial x}, \quad y \quad \frac{\partial Q}{\partial z} = 0 = \frac{\partial R}{\partial y}$$

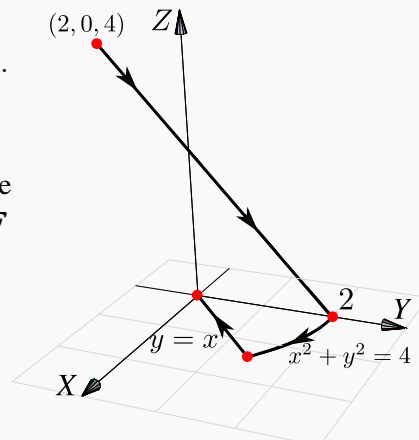


Figura 7.23: Curva C .

En este ejemplo vamos a calcular la integral de dos maneras distintas: usando una función potencial y también usando un camino C' .

Primer Manera: Con un camino C' que inicia en $(2, 0, 4)$ y termina en $(0, 0, 0)$. El camino que hemos escogido se ve en la figura.

$$\begin{cases} -C_1 : r_1(t) = (t, 0, 4) \text{ con } t \in [0, 2] \\ -C_2 : r_2(t) = (0, 0, t) \text{ con } t \in [0, 4] \end{cases}$$

$$\begin{aligned} \int_{C'} \mathbf{F} \cdot d\mathbf{r} &= \int_{C_1} \mathbf{F} \cdot d\mathbf{r} + \int_{C_2} \mathbf{F} \cdot d\mathbf{r} \\ &= - \int_0^2 \mathbf{F}(t, 0, 4) \cdot \mathbf{r}'_1(t) dt - \int_0^4 \mathbf{F}(0, 0, t) \cdot \mathbf{r}'_2(t) dt \\ &= - \int_0^2 (4e^4 t, 1, 2e^4 t^2) \cdot (1, 0, 0) dt - \int_0^4 (0, 1, 0) \cdot (0, 0, 1) dt \\ &= - \int_0^2 4te^4 dt = -8e^4. \end{aligned}$$

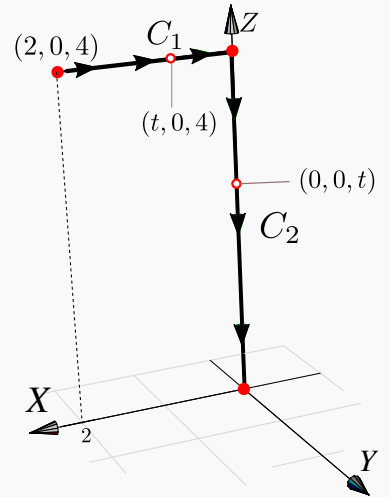


Figura 7.24: Curva $C' = C_1 \cup C_2$.

Segunda Manera: Con una función potencial.

$$\begin{cases} \varphi_x = 4xe^z \implies \varphi(x, y, z) = \int 4xe^z dx = 2x^2 e^z + K_1(y, z), \\ \varphi_y = \cos(y) \implies \varphi(x, y, z) = \int \cos y dy = \operatorname{sen} y + K_2(x, z), \implies \varphi(x, y, z) = 2x^2 e^z + \operatorname{sen} y + C \\ \varphi_z = 2x^2 e^z \implies \varphi(x, y, z) = \int 2x^2 e^z dz = 2x^2 e^z + K_3(x, y). \end{cases}$$

Finalmente, $\int_C \mathbf{F} \cdot d\mathbf{r} = \varphi(0, 0, 0) - \varphi(2, 0, 4) = -8e^4$.

Comentario: La condición “simplemente conexo” para que F sea conservativo.

Sea $F(x, y) = \left(\frac{-y}{x^2 + y^2}, \frac{x}{x^2 + y^2} \right)$ definido en $\mathbb{R}^2 - \{(0, 0)\}$. Se verifica que $P_y = Q_x$ pero

$$\int_C F \cdot dr = 2\pi \text{ si } C \text{ es la circunferencia } x^2 + y^2 = 1,$$

lo cual indica que F no tiene función potencial.

Lo mismo pasa si consideramos $F(x, y, z) = \left(\frac{-y}{x^2+y^2}, \frac{x}{x^2+y^2}, 0 \right)$ para $\mathbb{R}^3 - \{(0, 0, 0)\}$

El problema en principio es que se requiere que F esté definido en una región **simplemente conexa**, pero la explicación detallada de este fenómeno con el campo F es una cuestión topológica que tiene que ver con homotopías. Un artículo sencillo de leer sobre esto, lo puede encontrar en V. Pati, "How Topology Governs Analysis" <http://www.isibang.ac.in/~statmath/stinc/database/notes/puncturedplane.pdf>

32

Ejercicios

7.6.1 Sea F un campo de fuerzas tal que $F(x, y, z) = (2xy + z^3)\mathbf{i} + x^2\mathbf{j} + 3xz^2\mathbf{k}$.

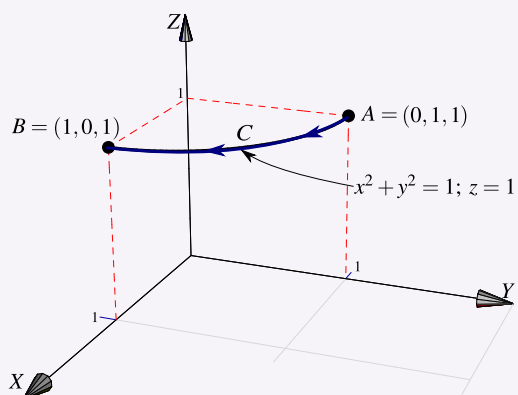
- Demostrar que F es un campo de fuerzas conservativo.
- Hallar una función potencial de F .
- Determinar el trabajo realizado para desplazar un cuerpo en este campo desde la posición $(1, 1, 1)$ hasta $(1, 1, 2)$.

7.6.2 Sea F un campo de fuerzas tal que $F(x, y, z) = (yz - y^2 + 2xz)\mathbf{i} + (xz - 2xy)\mathbf{j} + (xy + x^2)\mathbf{k}$.

- Demostrar que F es un campo de fuerzas conservativo.
- Hallar una función potencial de F .
- Determinar el trabajo realizado para desplazar un cuerpo en este campo desde la posición $(0, 1, 0)$ hasta $(-1, -1, 0)$.

7.6.3 Sea $\mathbf{F}(x, y, z) = (2x + 5)\hat{\mathbf{i}} + (3y^2)\hat{\mathbf{j}} + \frac{1}{z}\hat{\mathbf{k}}$ y C la trayectoria que va de $A = (0, 1, 1)$ hasta $B = (1, 0, 1)$ de acuerdo a la figura de la derecha.

- Verifique que el campo vectorial \mathbf{F} es conservativo.
- Calcule la integral de línea $\int_C \mathbf{F} \cdot d\mathbf{r}$ utilizando una función potencial.
- Calcule la integral de línea $\int_C \mathbf{F} \cdot d\mathbf{r}$, sin usar una función potencial.

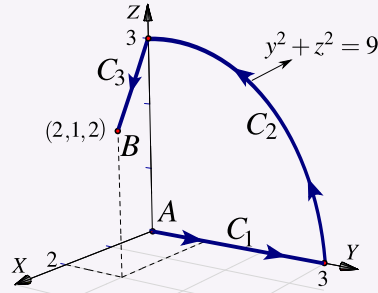


7.6.4 Sea \mathbf{F} definido por

$$\mathbf{F}(x, y, z) = (yz + y\cos(xy)) \hat{\mathbf{i}} + (xz + x\cos(xy)) \hat{\mathbf{j}} + xy \hat{\mathbf{k}}$$

y \mathbf{C} la trayectoria que va de A hasta B de acuerdo a la figura de la derecha.

- a.) Verifique que el campo vectorial \mathbf{F} es conservativo.
- b.) Calcule la integral de línea $\int_{\mathbf{C}} \mathbf{F} \cdot d\mathbf{r}$ utilizando una función potencial.
- c.) Calcule la integral de línea $\int_{\mathbf{C}} \mathbf{F} \cdot d\mathbf{r}$ sin usar una función potencial.

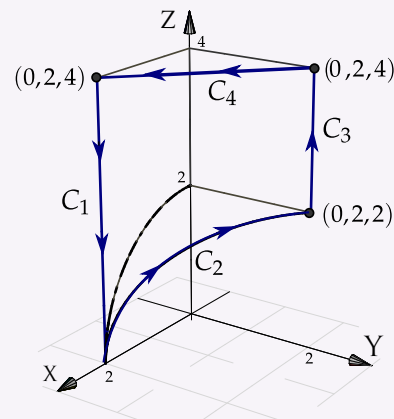


7.6.5 Sea \mathbf{F} definido por

$$\mathbf{F}(x, y, z) = x \hat{\mathbf{i}} - y \hat{\mathbf{j}} + z \hat{\mathbf{k}}$$

y $\mathbf{C} = C_1 + C_2 + C_3 + C_4$ la curva que se muestra en la figura de la derecha.

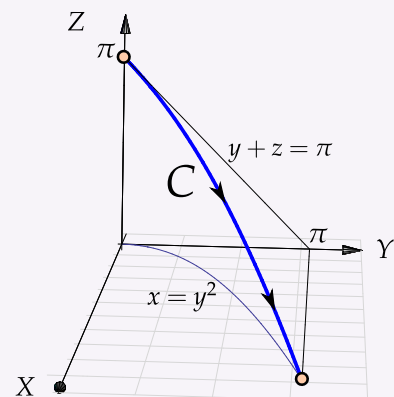
- a.) Verifique que el campo vectorial \mathbf{F} es conservativo.
- b.) Calcule la integral de línea $\int_{\mathbf{C}} \mathbf{F} \cdot d\mathbf{r}$ utilizando una función potencial.
- c.) Calcule la integral de línea $\int_{\mathbf{C}} \mathbf{F} \cdot d\mathbf{r}$ sin usar una función potencial.



7.6.6 Sea F un campo de fuerzas tal que

$$\mathbf{F}(x, y, z) = \left(y\cos(xy) + \frac{1}{x+1}, x\cos(xy), \frac{1}{z+1} \right).$$

- a.) Demostrar que F es un campo de fuerzas conservativo.
- b.) Calcule la integral de línea $\int_{\mathbf{C}} \mathbf{F} \cdot d\mathbf{r}$

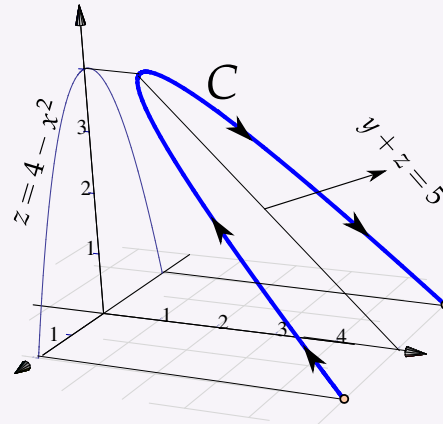


 7.6.7 Sea F un campo de fuerzas tal que

$$F(x, y, z) = -(2x + 3x^2z^2)\mathbf{i} - (2y + 3y^2z^4)\mathbf{j} - (2x^3z + 4y^3z^3)\mathbf{k}$$

a.) Demostrar que F es un campo de fuerzas conservativo.

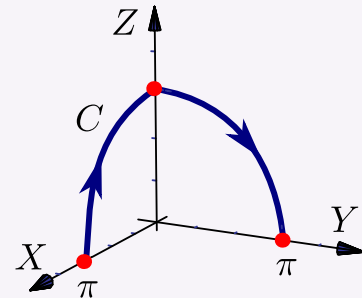
b.) Calcule la integral de línea $\int_C \mathbf{F} \cdot d\mathbf{r}$



 7.6.8 Considere el campo vectorial $\mathbf{F}(x, y, z) = (yz^2 - \sin x \sin(\pi - y), xz^2 - \cos(\pi - y) \cos x, 2xyz)$ y sea C la curva que une los puntos $(\pi, 0, 0)$ con $(0, \pi, 0)$, como se ve en la figura

a.) Verifique que \mathbf{F} es conservativo.

b.) Calcule $\int_C \mathbf{F} \cdot d\mathbf{r}$ usando una función potencial.



 7.6.9 Sea $F(x, y) = \left(\frac{-y}{x^2 + y^2}, \frac{x}{x^2 + y^2} \right)$ definido en $\mathbb{R}^2 - \{(0, 0)\}$. Verifique que $P_y = Q_x$ pero que sin embargo, $\int_C \mathbf{F} \cdot d\mathbf{r} = 2\pi$ si C es la circunferencia $x^2 + y^2 = 1$.

7.7 Teorema de Green (en el plano).

El siguiente teorema, llamado “Teorema de Green en el plano”, aplica para regiones planas limitadas por curvas cerradas y simples, regulares a trozos. Una idea intuitiva, en términos de “circulación”, se puede ver en la sección 7.9.

Teorema 7.4 (Teorema de Green en el plano).

Sean P y Q campos escalares derivables con continuidad en un conjunto abierto S_1 del plano XY . Sea C una curva simple cerrada regular a trozos y sea D la región encerrada por C (es decir, $C = \partial D$). Si D está contenida en S_1 , se tiene la identidad

$$\oint_C \mathbf{P} dx + \mathbf{Q} dy = \iint_D \frac{\partial \mathbf{Q}}{\partial x} - \frac{\partial \mathbf{P}}{\partial y} dA$$

donde C es recorrida en sentido contrario a las agujas del reloj.

- Intuitivamente, C es recorrida en sentido contrario a las agujas del reloj si al caminar a lo largo de C la región D está siempre a la izquierda. Notar que $C = \partial D$ indica que C es la *frontera* de D .

Ejemplo 7.28

Calcular $\int_C y^2 dx + x^2 dy$ si C es la curva de la figura.

Solución:

En este caso, $P(x,y) = y^2$ y $Q(x,y) = x^2$. Como se cumplen las condiciones del teorema de Green entonces,

$$\begin{aligned} \int_C y^2 dx + x^2 dy &= \iint_D \frac{\partial Q}{\partial x} - \frac{\partial P}{\partial y} dA \\ &= \int_0^1 \int_0^{x^2} 2x - 2y \, dy \, dx \\ &= \int_0^1 2x^3 - x^4 \, dx = \frac{3}{10} \end{aligned}$$

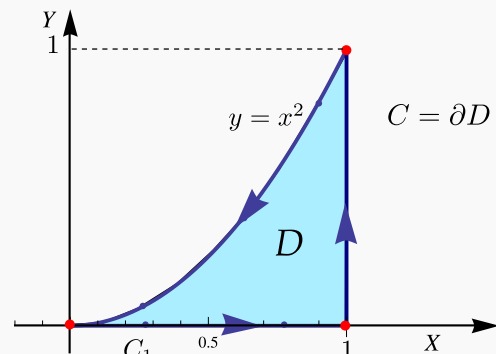


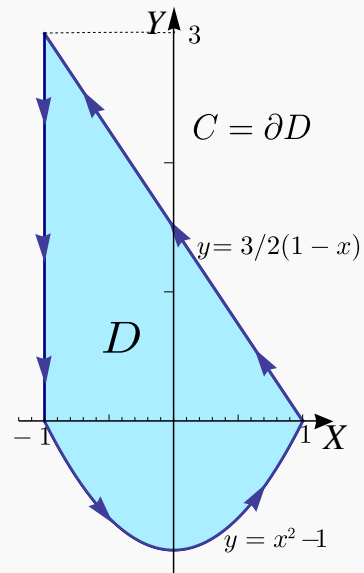
Figura 7.25: Curva $C = C_1 \cup C_2 \cup C_3$.

Ejemplo 7.29

Calcular $\int_C (x+y)dx + (3x + \arctan y)dy$ si C es la curva de la figura.

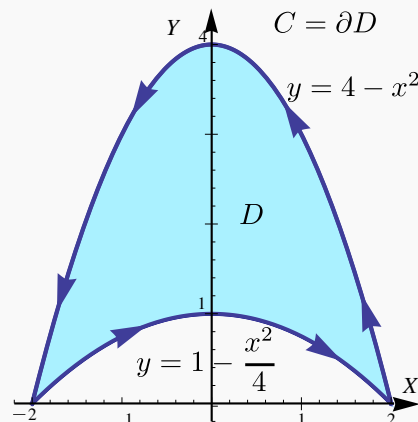
Solución: En este ejemplo, $P(x,y) = x+y$ y $Q(x,y) = 3x + \arctan(y)$. Como se cumplen las condiciones del teorema de Green, entonces

$$\begin{aligned}\int_C (x+y)dx + (3x + \arctan y)dy &= \iint_D \frac{\partial Q}{\partial x} - \frac{\partial P}{\partial y} dA \\ &= \int_{-1}^1 \int_{x^2-1}^{\frac{3-3x}{2}} 3-1 dy dx \\ &= \int_{-1}^1 5-3x-2x^2 dx = \frac{26}{3}\end{aligned}$$

**Ejemplo 7.30**

Calcular $\int_C (x + \arcsen x)dx + (2x + \ln(y^2 - 3))dy$ si C es la curva de la figura.

Solución: En este ejemplo, $P(x,y) = x + \arcsen x$ y $Q(x,y) = 2x + \ln(y^2 - 3)$. Como se cumplen las condiciones del teorema de Green podemos poner



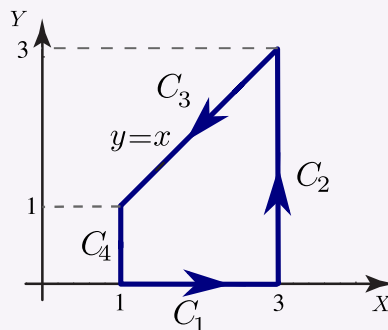
$$\begin{aligned}
 \int_C (x + \arcsen x) dx + (2x + \ln(y^2 - 3)) dy &= \iint_D \frac{\partial Q}{\partial x} - \frac{\partial P}{\partial y} dA \\
 &= \int_{-2}^2 \int_{1-x^2/4}^{4-x^2} 2 dy dx \\
 &= \int_{-2}^2 6 - \frac{3x^2}{2} dx = 16.
 \end{aligned}$$

33

Ejercicios

7.7.1 Sea \mathbf{F} un campo vectorial dado por $\mathbf{F}(x,y) = (x+y)\hat{i} - (x^2+y^2)\hat{j}$. La curva C es la frontera del trapezoide limitado por las curvas $y=0$, $x=1$, $x=3$ y $y=x$ como se muestra en la figura.

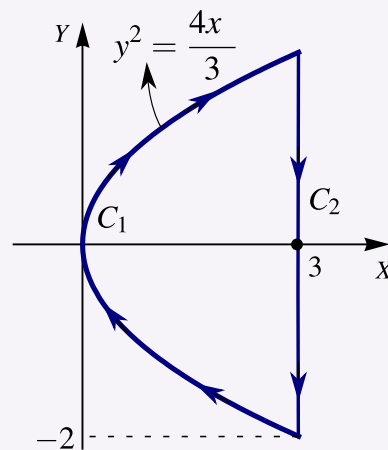
- Calcular la integral $\int_C \mathbf{F} \cdot d\mathbf{r}$ usando el teorema de Green.
- Calcular la integral $\int_C \mathbf{F} \cdot d\mathbf{r}$ sin utilizar el teorema de Green.



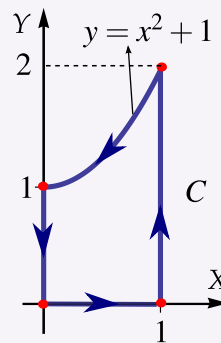
7.7.2 Considere el campo vectorial

$$\mathbf{F}(x,y) = x\hat{i} + (x+y^2)\hat{j}.$$

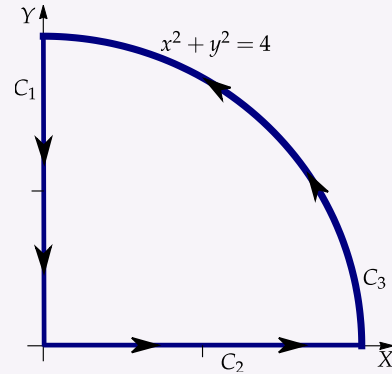
Calcular $\int_C \mathbf{F} \cdot d\mathbf{r}$ donde $\mathbf{C} = \mathbf{C}_1 + \mathbf{C}_2$ tal y como se muestra en la figura a la derecha.



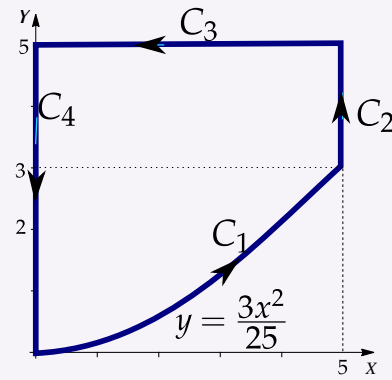
- 7.7.3 Considere el campo vectorial $\mathbf{F}(x,y,z) = y\hat{\mathbf{i}} + x^2\hat{\mathbf{j}}$. Calcule la integral de línea $\int_C \mathbf{F} \cdot d\mathbf{r}$ donde C es la curva que se muestra en la figura a la derecha



- 7.7.4 Calcule la integral $\int_C \mathbf{F} \cdot d\mathbf{r}$ donde $C = C_1 \cup C_2 \cup C_3$, y $\mathbf{y} F(x, y) = (xy^2 + \sqrt{2 + \cos x})\mathbf{i} + (yx^2 - ye^{\operatorname{sen} y})\mathbf{j}$



- 7.7.5 Calcule $\int_C (4y + \arctan(x/5))dx + (x^2 + \ln(y+1))dy$ donde C es el camino representado en la figura a la derecha.



7.8 Área como una integral de línea.

Si $P(x,y) = 0$ y $Q(x,y) = x$ entonces $Q_x - P_y = 1$, aplicando el teorema de Green (si se cumplen las condiciones) obtenemos otra manera para calcular el área de A_D siendo la frontera de la región D una curva orientada contra-reloj.

$$\oint_C 0 dx + x dy = \iint_D 1 dA = A_D$$

Lo cual puede ser conveniente si la integral de línea no ofrece gran dificultad.

Teorema 7.5

Si D es una región plana limitada por una curva C , cerrada simple, regular a trozos y orientada contra-reloj, entonces el área de D viene dada por

$$A_D = \oint_C x dy$$

Ejemplo 7.31

Calcular el área de la región encerrada por la elipse $\frac{x^2}{a^2} + \frac{y^2}{b^2} = 1$.

Solución: Parametrizamos la elipse con $\mathbf{r}(t) = a \cos t \hat{\mathbf{i}} + b \sin t \hat{\mathbf{j}}$ con $t \in [0, 2\pi[$. Esta parametrización orienta la elipse contra-reloj. En este caso, $x = a \cos t$ mientras que $y = b \sin t$ y $dy = b \cos t dt$,

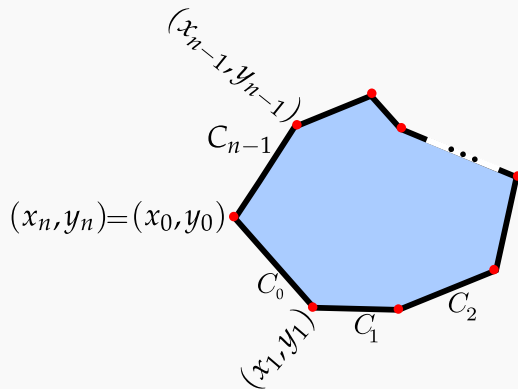
$$A_D = \int_C x dy = \int_0^{2\pi} a \cos t \cdot b \cos t dt = \pi ab.$$

Ejemplo 7.32 (Área de un polígono simple).

Verifique que el área de un polígono simple de n vértices $\{(x_0, y_0), \dots, (x_{n-1}, y_{n-1})\}$ es

$$A = \sum_{k=0}^{n-1} \frac{(x_{k+1} + x_k)(y_{k+1} - y_k)}{2}$$

Asumimos que $(x_0, y_0) = (x_n, y_n)$.



Solución: El área del polígono es, por el teorema de Green en el plano,

$$A_P = \oint_C x dy = \iint_D 1 dA$$

Aquí $C = C_1 + C_2 + \dots + C_{n-1}$ y cada segmento C_i está parametrizado por

$$\mathbf{r}_i(t) = ((x_{k+1} - x_k) \mathbf{t} + x_k, (y_{k+1} - y_k) \mathbf{t} + y_k) \quad \text{con } t \in [0, 1],$$

entonces,

$$A_P = \oint_C x dy = \sum_{k=0}^{n-1} \oint_{C_i} (y_{k+1} - y_k) [(x_{k+1} - x_k) \mathbf{t} + x_k] dt = \sum_{k=0}^{n-1} \frac{(x_{k+1} - x_k)(y_{k+1} - y_k)}{2}$$

7.9 Teorema de Stokes (Teorema de Green en el espacio).

Rotacional de un campo vectorial. Sea $\mathbf{F} = (P, Q, R)$ entonces *el rotacional* de \mathbf{F} es

$$\mathbf{Rot}\mathbf{F} = \begin{vmatrix} \hat{\mathbf{i}} & \hat{\mathbf{j}} & \hat{\mathbf{k}} \\ \frac{\partial}{\partial x} & \frac{\partial}{\partial y} & \frac{\partial}{\partial z} \\ P & Q & R \end{vmatrix} = (R_y - Q_z, P_z - R_x, Q_x - P_y).$$

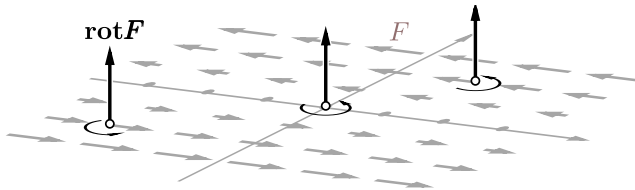
El gradiente, la divergencia y el rotacional se puede expresar en términos del *operador “nabla”*,

$$\nabla = \left(\frac{\partial}{\partial x}, \frac{\partial}{\partial y}, \frac{\partial}{\partial z} \right)$$

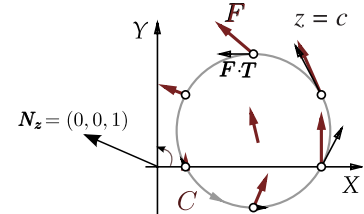
Este operador lo aplicamos como si fuera un vector. De esta manera,

$$\begin{aligned} \nabla f &= \left(\frac{\partial}{\partial x}, \frac{\partial}{\partial y}, \frac{\partial}{\partial z} \right) f &= \left(\frac{\partial f}{\partial x}, \frac{\partial f}{\partial y}, \frac{\partial f}{\partial z} \right) \\ \nabla \cdot \mathbf{F} &= \left(\frac{\partial}{\partial x}, \frac{\partial}{\partial y}, \frac{\partial}{\partial z} \right) \cdot (P, Q, R) &= \frac{\partial P}{\partial x} + \frac{\partial Q}{\partial y} + \frac{\partial R}{\partial z} \\ \nabla \times \mathbf{F} &= \left(\frac{\partial}{\partial x}, \frac{\partial}{\partial y}, \frac{\partial}{\partial z} \right) \times (P, Q, R) &= (R_y - Q_z, P_z - R_x, Q_x - P_y) \end{aligned}$$

Circulación y vorticidad. La “vorticidad” es la tendencia de un fluido que se mueve a girar un objeto que es arrastrado por este fluido.



La “circulación” es el movimiento total del fluido a medida que viaja a lo largo de una curva. La circulación de un fluido sobre una circunferencia C en un plano $z = c$ se mide con la componente tangencial de \mathbf{F} , es decir, se mide con $\mathbf{F} \cdot \mathbf{T}$ donde $\mathbf{T} = \frac{\mathbf{r}'(t)}{\|\mathbf{r}'(t)\|}$.



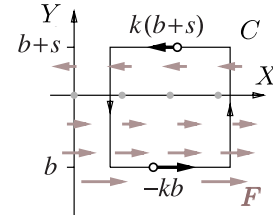
El “movimiento total” del fluido sobre C se obtiene integrando respecto a la longitud de arco,

$$\text{circulación} = \int_C \mathbf{F} \cdot \mathbf{T} ds = \int_C \mathbf{F} \cdot d\mathbf{r}$$

Si la circunferencia es C : $\mathbf{r}(t) = (a + r \cos t)\hat{i} + (a + r \sin t)\hat{j} + c\hat{k}$ con $t \in [0, 2\pi]$ y si $\mathbf{F}(x, y, z) = (-ky, 0, 0)$, entonces $\text{Rot}\mathbf{F} = (0, 0, k)$ y

$$\text{circulación} = \int_C \mathbf{F} \cdot d\mathbf{r} = k\pi r^2 = \text{Rot}\mathbf{F} \cdot \mathbf{N}_z A_{\text{círculo}}$$

Sobre un cuadrado tenemos algo parecido. Sea C la frontera de un cuadrado, orientada contrareloj, en el plano $z = c$. Supongamos que cada uno de sus lados miden L y que estos lados son paralelos a los ejes. Como antes $\mathbf{F} = (-ky, 0, 0)$. En este caso, $\mathbf{F} \cdot \mathbf{T} = 0$ en los lados paralelos al eje Y . En el lado de arriba ($y = b + L$) la velocidad tangencial es $k(b + L)$ y el lado de abajo ($y = b$) la velocidad tangencial es $-kb$; por lo tanto,



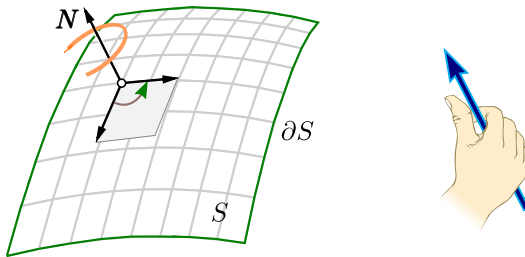
$$\text{circulación} = k(b + L)L - kbL = kL^2 = \text{Rot}\mathbf{F} \cdot \mathbf{N}_z A_{\text{cuadrado}}$$

Con un (buen poco) de esfuerzo, podemos calcular la circulación de \mathbf{F} a través de la frontera de rectángulos en los otros planos y generalizar este *comportamiento local* para llegar a la conclusión de que si S_1 es una superficie orientada, entonces

$$\text{circulación de } \mathbf{F} \text{ a través de } \partial S_1 = \text{Flujo de } \text{Rot}\mathbf{F} \text{ a través de } S_1$$

$$\int_{\partial S_1} \mathbf{F} \cdot \mathbf{T} ds = \iint_{S_1} \text{Rot}\mathbf{F} \cdot \mathbf{N} dS = \iint_D \text{“circulación microscópica de } \mathbf{F}” dA$$

Orientación positiva de $C = \partial S_1$ respecto a \mathbf{N} . El teorema de Stokes (o de Green en el espacio) requiere que la curva esté orientada “positivamente”, esto significa que la orientación de la curva debe ser tal que gire contra-reloj respecto al vector normal unitario \mathbf{N} .

Figura 7.26: Orientación positiva de C respecto a N .**Teorema 7.6 (Teorema de Stokes).**

Sea S_1 una superficie orientable, regular a trozos y limitada por una curva $C = \partial S_1$, cerrada y regular a trozos. Si $\mathbf{F} = (P, Q, R)$ es de clase C^1 sobre S_1 y si \mathbf{N} (el vector normal unitario) es elegido de tal manera que C tiene orientación positiva, entonces

$$\int_C \mathbf{F} \cdot d\mathbf{r} = \iint_{S_1} \mathbf{Rot F} \cdot \mathbf{N} dS$$

El teorema de Stokes se puede extender a dos o más curvas cerradas.

Ejemplo 7.33

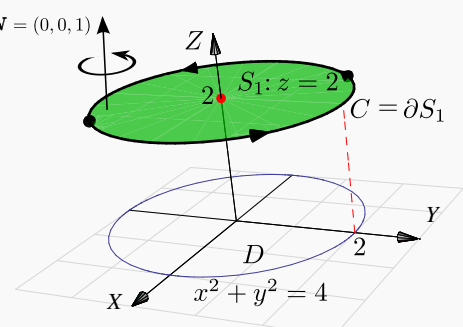
Sea S_1 la superficie de ecuación $z = 2$ definida sobre el círculo $D = \{x^2 + y^2 \leq 4\}$, tal y como se muestra en la figura. La curva C es la frontera de S_1 . Una parametrización para C es

$$\mathbf{r}(t) = \underbrace{2 \cos t}_x i + \underbrace{2 \sin t}_y j + \underbrace{2}_z k, \quad t \in [0, 2\pi]$$

Si $\mathbf{F}(x, y, z) = 3y i - xz j + yz^2 k$,

- a.) calcular $\int_C \mathbf{F} \cdot d\mathbf{r}$ usando la definición de integral de línea,
- b.) utilice el Teorema de Stokes para calcular $\int_C \mathbf{F} \cdot d\mathbf{r}$.

Solución:



a.) Por definición de integral de línea.

$$\begin{aligned}\int_C \mathbf{F} \cdot d\mathbf{r} &= \int_C \mathbf{F}(\mathbf{r}(t)) \cdot \mathbf{r}'(t) dt \\ &= \int_0^{2\pi} (3 \cdot 2 \sin t, -(2 \cos t)(2), (2 \sin t)(2)^2) \cdot (-2 \sin t, 2 \cos t, 0) dt \\ &= \int_0^{2\pi} -12 \sin^2 t - 8 \cos^2 t dt = -20\pi\end{aligned}$$

b.) La superficie es $S: z = 2$ y la proyección es el círculo $x^2 + y^2 = 4$.

El vector \mathbf{N} se debe tomar de acuerdo a la regla de la mano derecha: $\mathbf{N} = \frac{(-z_x, -z_y, 1)}{\|(-z_x, -z_y, 1)\|} = (0, 0, 1)$.

Luego, $\text{Rot } \mathbf{F} = (x+z^2, 0, -3-z)$. Entonces,

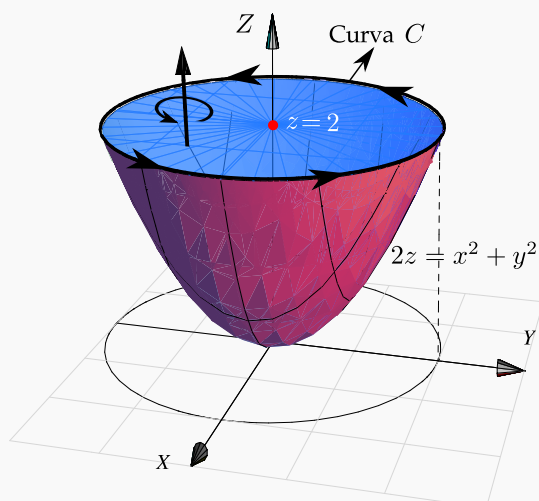
$$\begin{aligned}\int_C \mathbf{F} \cdot d\mathbf{r} &= \iint_S \text{Rot } \mathbf{F} \cdot \mathbf{N} dS = \iint_{R_{xy}} (x+z^2, 0, -3-z) \cdot (0, 0, 1) dA = \iint_{R_{xy}} -3-z dA \\ &= \iint_{R_{xy}} -5 dA, \quad \text{pues } S_1: z = 2 \\ &= \int_0^{2\pi} \int_0^2 -5 r dr d\theta = -20\pi\end{aligned}$$

Ejemplo 7.34

Utilice el teorema de Stokes para calcular $\int_C \mathbf{F} \cdot d\mathbf{r}$ donde $\mathbf{F}(x, y, z) = 3yi - xzj + yz^2k$ y C es la curva de intersección entre el parabolóide $2z = x^2 + y^2$ y el plano $z = 2$, tal y como se muestra en la figura.

Solución: La curva es borde de dos superficies, el plano $z = 2$ y también del parabolóide $2z = x^2 + y^2$. ¿Cuál superficie escoger, el parabolóide o el plano?

De acuerdo al Teorema de Stokes, se puede escoger cualquiera de las dos. La más simple es el plano $z = 2$.



Si $S : z - 2 = 0$ entonces $\mathbf{N} = \pm(0, 0, 1)$. ¿Cuál signo se escoge?.

Las integrales $\int_C \mathbf{F} \cdot d\mathbf{r}$ y $\iint_{S_1} \text{Rot} \mathbf{F} \cdot \mathbf{N} dS$ tienen el mismo valor si \mathbf{N} se escoge de acuerdo a la regla de la mano derecha (sino, difieren en el signo), en este caso particular y de acuerdo a la orientación de C , el que se debe escoger es $\mathbf{N} = (0, 0, 1)$.

$$\begin{aligned}\int_C \mathbf{F} \cdot d\mathbf{r} &= \iint_{S_1} \text{Rot} \mathbf{F} \cdot \mathbf{N} dS \\ &= \iint_{R_{xy}} (z^2 + x, 0, -z - 3) \cdot (0, 0, 1) dA, \\ &= \int_0^{2\pi} \int_0^2 (-z - 3) r dr d\theta = \int_0^{2\pi} \int_0^2 (-2 - 3) r dr d\theta = -10 \theta \Big|_0^{2\pi} = -20\pi.\end{aligned}$$

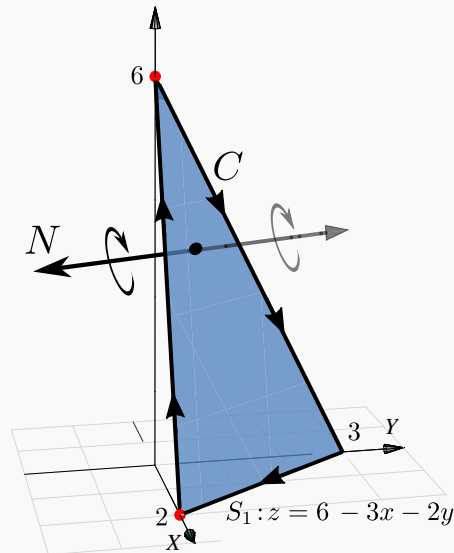
Ejemplo 7.35

Sea $\mathbf{F}(x, y, z) = (x+y, 2x-z, y+z)$ y S_1 la porción del plano $3x + 2y + z = 6$ en el primer octante. Sea C la frontera de la superficie S_1 . Calcular $\int_C \mathbf{F} \cdot d\mathbf{r}$.

Solución: La ecuación de la superficie S_1 es $z = 6 - 3x - 2y$. La curva está orientada a favor de reloj respecto al vector normal $N_1 = (-z_x, -z_y, 1) = (3, 2, 1)$, como se ve en la figura, por lo tanto debemos usar el vector $N_1 = (z_x, z_y, -1) = (-3, -2, -1)$. Recordemos que no necesitamos hacerlo unitario por la cancelación de normas en la integral de superficie.

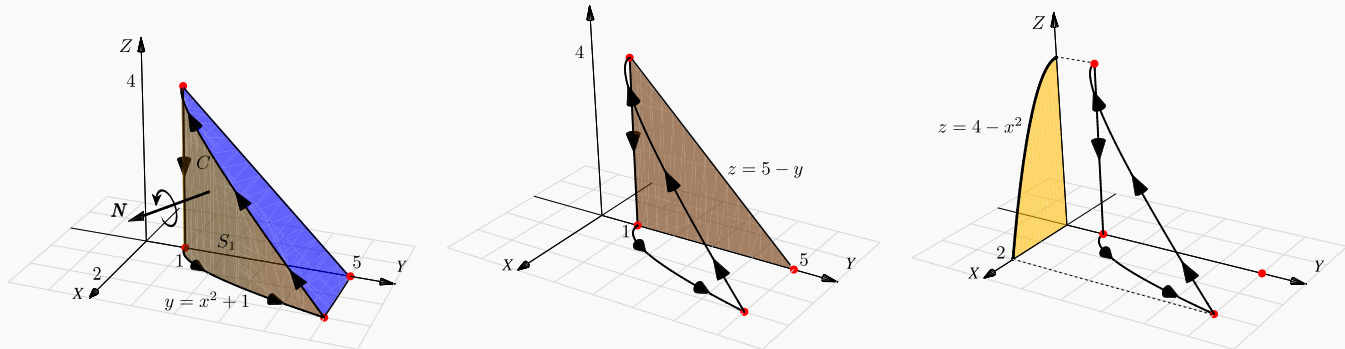
• $\text{Rot} \mathbf{F} = (2, 0, 1)$.

$$\begin{aligned}\int_C \mathbf{F} \cdot d\mathbf{r} &= \iint_{S_1} \text{Rot} \mathbf{F} \cdot \mathbf{N} dS \\ &= \iint_D (2, 0, 1) \cdot (-3, -2, -1) dy dx \\ &= - \int_0^2 \int_0^{3-3/2x} 7 dy dx = -21.\end{aligned}$$



Ejemplo 7.36

Calcular $\int_C \mathbf{F} \cdot d\mathbf{r}$ si $\mathbf{F}(x, y, z) = (yz, x, z^2)$. C es la frontera de la superficie $S_1 : y = x^2 + 1$ limitada por los planos $z = 5 - y$ y $z = 0$, como se ve en la figura.



Solución: Vamos a resolver el problema de dos maneras: Proyectando S_1 sobre XZ y proyectando S_1 sobre YZ .

Proyectando S_1 sobre el plano XZ . Como $S_1 : y = 1 + x^2$, un vector normal es $\mathbf{N}_1(x, y, z) = \pm(-y_x, 1, -y_z)$. El normal adecuado es $\mathbf{N}_1(x, y, z) = (y_x, -1, y_z) = (2x, -1, 0)$. En la figura aparece el vector $\mathbf{N}_1(1, 2, 2) = (2, -1, 0)$. $\text{Rot}\mathbf{F} = (0, y, 1 - z)$.

$$\begin{aligned} \int_C \mathbf{F} \cdot d\mathbf{r} &= \iint_{S_1} \text{Rot}\mathbf{F} \cdot \mathbf{N} dS \\ &= \int_0^2 \int_0^{\sqrt{4-x^2}} (0, y, 1-z) \cdot (2x, -1, 0) dz dx \\ &= \int_0^2 \int_0^{\sqrt{4-x^2}} -y dz dx \\ &= \int_0^2 \int_0^{\sqrt{4-x^2}} -x^2 - 1 dz dx = -48/5. \end{aligned}$$

Proyectando S_1 sobre el plano YZ . Como $S_1 : x = \sqrt{1-y}$, un vector normal es $\mathbf{N}_1(x, y, z) = \pm(1, -x_y, -x_z)$. El normal adecuado es $\mathbf{N}_1(x, y, z) = \left(1, \frac{-1}{2\sqrt{y-1}}, 0\right)$. $\text{Rot}\mathbf{F} = (0, y, 1 - z)$.

$$\begin{aligned}
 \int_C \mathbf{F} \cdot d\mathbf{r} &= \iint_{S_1} \mathbf{Rot F} \cdot \mathbf{N} dS \\
 &= \int_1^5 \int_0^{5-y} (\mathbf{0}, \mathbf{y}, \mathbf{1-z}) \cdot \left(\mathbf{1}, \frac{-1}{2\sqrt{y-1}}, \mathbf{0} \right) dz dy \\
 &= \int_1^5 \int_0^{5-y} -\frac{y}{2\sqrt{y-1}} dz dy = -48/5.
 \end{aligned}$$

Ejemplo 7.37

Sea $S_1 : y = 4 - x^2 - z^2$ en el primer octante y $C = \partial S_1$. Calcular $\int_C \mathbf{F} \cdot d\mathbf{r}$ si $\mathbf{F}(x, y, z) = (xy, z, y)$

Solución: La ecuación de la superficie S_1 es $y = 4 - x^2 - z^2$. Vamos a proyectar sobre el plano XZ . El vector normal adecuado para que se cumpla la identidad del teorema de Stokes es $\mathbf{N}_1(x, y, z) = (-y_x, 1, -y_z) = (2x, 1, 2z)$. Para ver esto, tome un punto de la superficie S , digamos $(1, 2, 1)$. En este caso $N_1(1, 2, 1) = (2, 1, 2)$. Al trasladarlo a la superficie, vemos que es el vector adecuado.

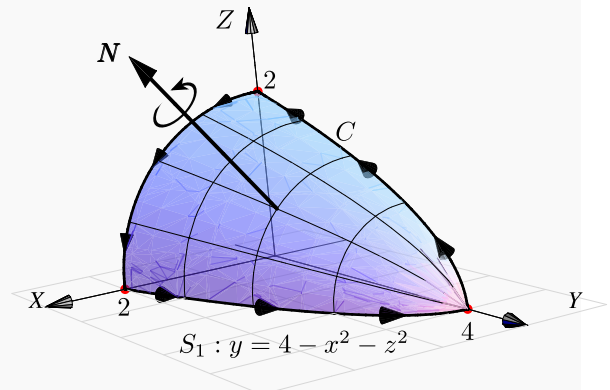


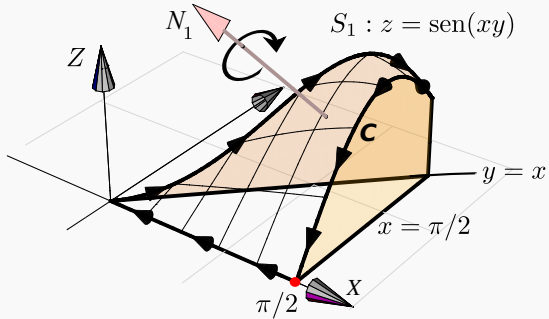
Figura 7.27: Curva C .

• $\mathbf{Rot F} = (0, 0, -x)$.

$$\begin{aligned}
 \int_C \mathbf{F} \cdot d\mathbf{r} &= \iint_{S_1} \mathbf{Rot F} \cdot \mathbf{N} dS \\
 &= \iint_D (0, 0, -x) \cdot (2x, 1, 2z) dz dx \\
 &= \int_0^2 \int_0^{\sqrt{4-x^2}} -2xz dz dx = -4.
 \end{aligned}$$

Ejemplo 7.38

Sea Q el sólido limitado por las superficies $S_1 : z = \operatorname{sen}(xy)$, $S_2 : x = \frac{\pi}{2}$ y $S_3 : y = x$. Calcule $\int_C \mathbf{F} \cdot d\mathbf{r}$ si $\mathbf{F} = (z, x, x)$ y C es la frontera de la superficie S_1 .



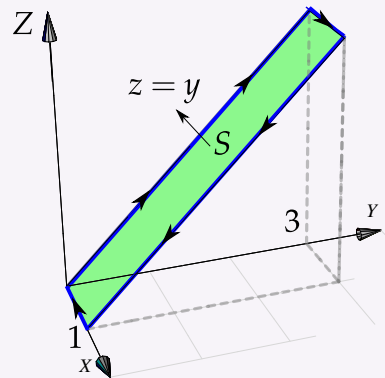
Solución: Como $S_1 : z = \operatorname{sen}(xy)$, entonces $\mathbf{N}_1(x, y, z) = (-y\cos(xy), -x\cos(xy), 1)$. Tomamos un punto de la superficie, digamos $(1, 1, \operatorname{sen}(1))$, en la figura de arriba se muestra la traslación del vector $\mathbf{N}_1(1, 1, \operatorname{sen}(1))$; se nota que la curva C **no** está orientada positivamente, así que debemos tomar $\mathbf{N}_1 = (\operatorname{y}\cos(xy), \operatorname{x}\cos(xy), -1)$.

Ahora, $\operatorname{Rot}\mathbf{F} = (0, 0, 1)$; proyectamos sobre el plano XY , la región de integración es el triángulo $0 \leq x \leq \pi/2$ y $0 \leq y \leq x$.

$$\begin{aligned} \int_C \mathbf{F} \cdot d\mathbf{r} &= \iint_{S_1} \operatorname{Rot}\mathbf{F} \cdot \mathbf{N} dS \\ &= \int_0^{\pi/2} \int_0^x (0, 0, 1) \cdot (\operatorname{y}\cos(xy), \operatorname{x}\cos(xy), -1) dy dx \\ &= \int_0^{\pi/2} \int_0^x -1 dy dx = \frac{\pi^2}{8} \end{aligned}$$

34**Ejercicios**

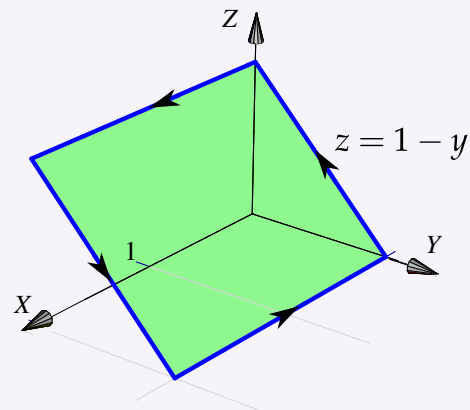
- 7.9.1 Calcule $\int_C \mathbf{F} \cdot d\mathbf{r}$ donde C es el camino que se representa en la figura a la derecha y además F es el campo de fuerzas: $F(x, y, z) = x^2 \mathbf{i} + 4xy^3 \mathbf{j} + xy^2 \mathbf{k}$.



7.9.2 Considere el campo de fuerzas

$$\mathbf{F}(x, y, z) = z^2 y \cos(xy) \mathbf{i} + z^2 x (1 + \cos(xy)) \mathbf{j} + 2 \sin(xy) \mathbf{k}.$$

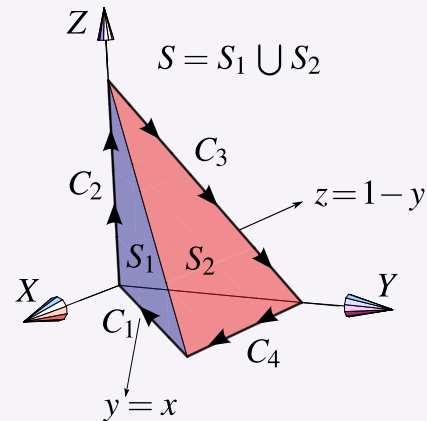
Calcule $\int_C \mathbf{F} \cdot d\mathbf{r}$ si C es el camino que se indica en la figura a la derecha.



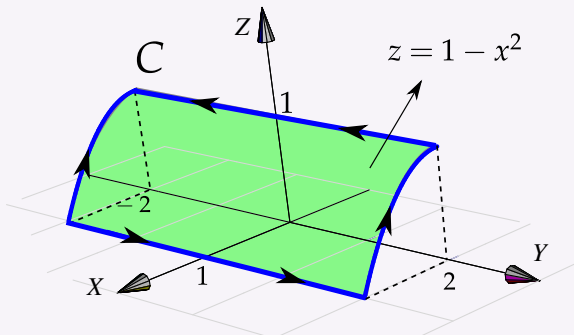
7.9.3 Sea $\mathbf{F}(x, y, z) = -y^2 \mathbf{i} + z \mathbf{j} + x \mathbf{k}$. Consideremos la superficie de la figura, $S = S_1 \cup S_2$ y la curva $C = C_1 + C_2 + C_3 + C_4$ el borde de la superficie S .

a.) Calcular $\int_C \mathbf{F} \cdot d\mathbf{r}$ usando la definición de integral de línea.

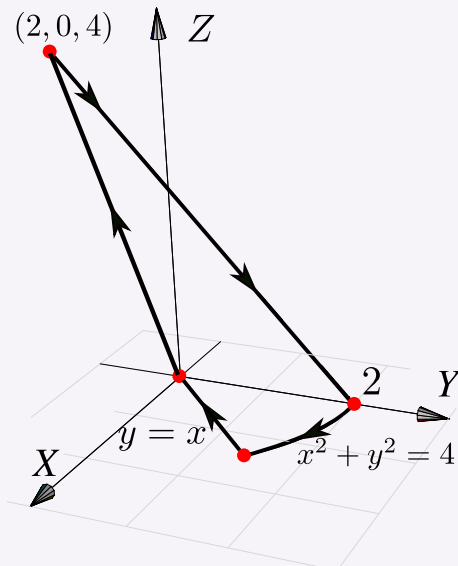
b.) Calcular $\int_C \mathbf{F} \cdot d\mathbf{r}$ usando el Teorema de Stokes



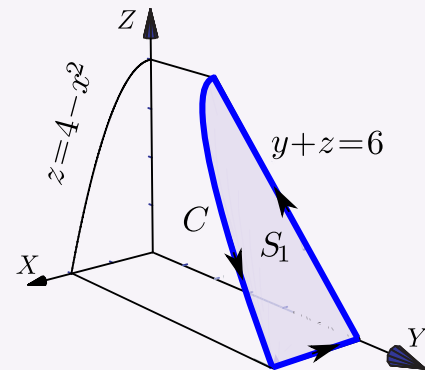
7.9.4 Usando el Teorema de Stokes calcule la integral $\int_C \mathbf{F} \cdot d\mathbf{r}$ donde $\mathbf{F}(x, y, z) = xy \mathbf{i} + yz \mathbf{j} + xz \mathbf{k}$ y C es el camino indicado en la figura a la derecha.



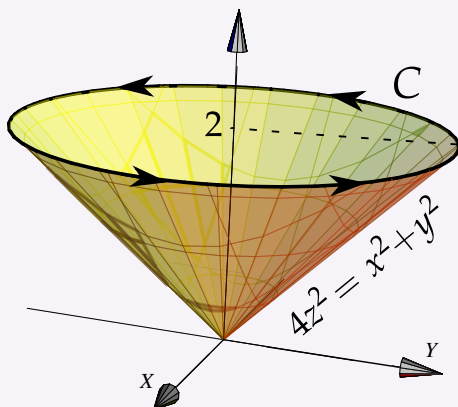
- 7.9.5 Sea $\mathbf{F}(x,y,z) = -y \hat{\mathbf{i}} + z \hat{\mathbf{j}} + (x+z) \hat{\mathbf{k}}$. Use el teorema de Stokes para calcular $\int_C \mathbf{F} \cdot d\mathbf{r}$ donde C es la curva de la figura que sigue.



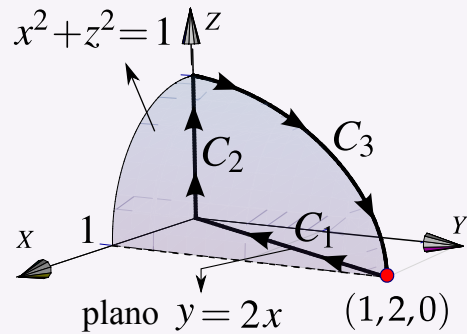
- 7.9.6 Sea $\mathbf{F}(x,y,z) = 2yz \hat{\mathbf{i}} - 4x \hat{\mathbf{j}} - 3z^2 \hat{\mathbf{k}}$, y sea C la curva que se obtiene al interseccar la superficie $z = 4 - x^2$ con el plano $y + z = 6$, tal y como se muestra en la figura. Calcular $\int_C \mathbf{F} \cdot d\mathbf{r}$.



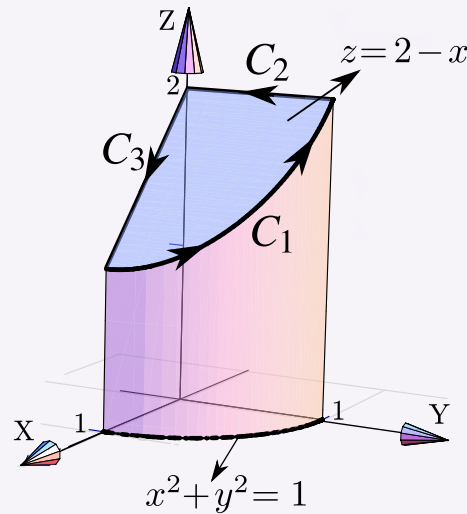
- 7.9.7 Plantee las integrales necesarias para calcular $\int_C \mathbf{F} \cdot d\mathbf{r}$ si $\mathbf{F}(x, y, z) = 3y \hat{\mathbf{i}} - xz \hat{\mathbf{j}} + yz^2 \hat{\mathbf{k}}$ y C es el camino indicado en la figura a la derecha.



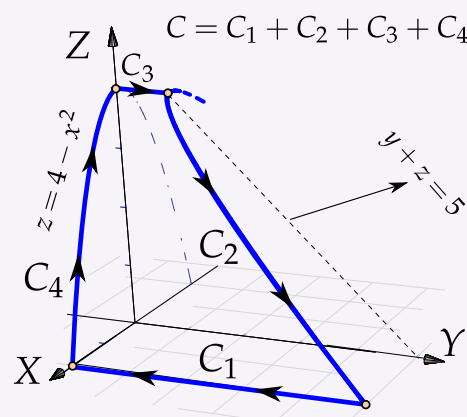
- 7.9.8 Sea $\mathbf{F}(x, y, z) = (x^2 - y, yz - x, x + 2y)$. Calcule la integral de línea $\int_C \mathbf{F} \cdot d\mathbf{r}$, donde C es la curva que se muestra en la figura de la derecha.



- 7.9.9 Sea $\mathbf{F}(x, y, z) = (x + z, 2y, y - z)$. Calcule la integral de línea $\int_C \mathbf{F} \cdot d\mathbf{r}$, donde $C = C_1 + C_2 + C_3$ tal y como se muestra en la figura de la derecha.



- 7.9.10 Calcule la integral $\int_C \mathbf{F} \cdot d\mathbf{r}$ donde $\mathbf{F} = (zx, zy, x)$ y además $C = C_1 + C_2 + C_3 + C_4$ es la curva que se muestra en la figura.





Revisado: Enero, 2018
Versión actualizada de este libro y el formato CDF:
[**http://tecdigital.tec.ac.cr/revistamatematica/Libros/**](http://tecdigital.tec.ac.cr/revistamatematica/Libros/)

[Apéndice A: Más sobre cónicas](#)

[Apéndice B: Coordenadas Polares](#)

[Apéndice C: Representación gráfica de regiones definidas por desigualdades](#)

[Bibliografía](#)



8 — Apéndices

8.1 Apéndice A: Más sobre cónicas

En esta sección vamos a ver que la manera práctica de identificar la cónica de ecuación (1.2), con todos sus elementos. También vamos a ver teoría de *invariantes*. Usando esta teoría podemos identificar la cónica, sin atender a sus elementos, directamente aplicando el siguiente teorema,

Teorema 8.1

Consideremos la ecuación general $Ax^2 + Bxy + Cy^2 + Dx + Ey + F = 0$. Entonces,

- a) si $B^2 - 4AC = 0$ y $4ACF + BDE - AE^2 - CD^2 - FB^2 \neq 0$, tenemos una parábola,
- b) si $B^2 - 4AC < 0$ y $(A+C)(4ACF + BDE - AE^2 - CD^2 - FB^2) < 0$, tenemos una elipse,
- c) si $B^2 - 4AC > 0$ y $4ACF + BDE - AE^2 - CD^2 - FB^2 \neq 0$, tenemos una hipérbola.

Si definitivamente se sabe que la ecuación general corresponde a una cónica propia, entonces

- a) si $B^2 - 4AC = 0$, tenemos una parábola,
- b) si $B^2 - 4AC < 0$, tenemos una elipse,
- c) si $B^2 - 4AC > 0$, tenemos una hipérbola.

Preliminares: Traslación y rotación de ejes.

Traslación del origen. Sea P con coordenadas (x, y) en el sistema estándar XY . Nos interesa las coordenadas de P en un nuevo sistema $X'Y'$ con ejes paralelos a los ejes X e Y . Si el nuevo sistema tiene su origen en el punto (h, k) (en coordenadas estándar), el punto P tendrá coordenadas

$$P = (x', y') = (x - h, y - k)$$

en el nuevos sistema. Así, la transformación de coordenadas, para pasar del sistema XY al sistema $X'Y'$, es

$$\begin{cases} x = x' + h \\ y = y' + k \end{cases} \quad (8.1)$$

Si aplicamos este cambio de variable a la ecuación general

$$Ax^2 + Bxy + Cy^2 + Dx + Ey + F = 0,$$

obtenemos

$$Ax'^2 + Bx'y' + Cy'^2 + (D + 2Ah + Bk)x' + (A + Bh + 2Ck)y' + Dh + Ah^2 + Ek + Bhk + Ck^2 + F = 0.$$

Cónicas centrales. Para eliminar la traslación en el eje X' y la traslación en el eje Y' , debemos tomar h y k de tal manera que

$$\begin{cases} D + 2Ah + Bk = 0, \\ A + Bh + 2Ck = 0. \end{cases} \quad (8.2)$$

Este sistema tiene solución si $B^2 - 4AC \neq 0$. En este caso,

$$\begin{cases} h = \frac{2CD - BE}{B^2 - 4AC}, \\ k = \frac{2AE - BD}{B^2 - 4AC}. \end{cases} \quad (8.3)$$

Así, si $B^2 - 4AC \neq 0$, la ecuación general queda reducida a

$$Ax'^2 + Bx'y' + Cy'^2 + \frac{CD^2 - BDE + AE^2 + B^2F - 4ACF}{B^2 - 4AC} = 0. \quad (8.4)$$

Las cónicas propias para las cuales $B^2 - 4AC \neq 0$, se llaman “cónicas centrales”. Como la ecuación reducida (8.4) permanece sin cambios al sustituir x e y por $-x$ y $-y$, esta cónica es simétrica respecto al punto (h, k) definido por las ecuaciones (8.3). Es decir, (h, k) es el *centro* de esta cónica.

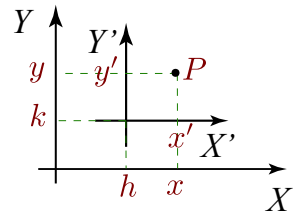


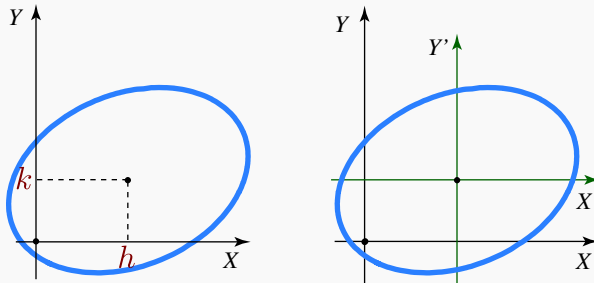
Figura 8.1

Ejemplo 8.1

Consideremos la cónica $3x^2 - 2xy + 5y^2 - 10x - 10y - 4 = 0$. Verifique que es una cónica central y calcule su centro (h, k) . Aplicar el cambio de variable (8.1) para reducir la cónica.

Solución: Como $B^2 - 4AC \neq 0$, se trata de una cónica central. El centro es, según (8.3), $(h, k) = (15/7, 10/7)$. Aplicando el cambio de variable $x = x' + h$ y $y = y' + k$, obtenemos

$$3x'^2 - 2x'y' + 5y'^2 - 153/7 = 0.$$



Rotación alrededor del origen. Sea P con coordenadas (x, y) en el sistema estándar XY . Nos interesa las coordenadas de P en un nuevo sistema $X'Y'$ que corresponden a una rotación, respecto al origen en el sistema XY . Si el ángulo de rotación es θ (contra-reloj), el punto $P = (x, y)$ tendrá coordenadas

$$(x', y') = (x \cos \theta + y \sin \theta, -x \sin \theta + y \cos \theta)$$

en el nuevo sistema.

En la figura (8.2) se ve que $OM = ON \cos \theta - NP \sin \theta$ (¿por qué?) y como $x' = ON$ y $y' = NP$, concluimos entonces que $x = x' \cos \theta - y' \sin \theta$. De manera análoga, $y = x' \sin \theta + y' \cos \theta$.

La transformación de coordenadas, para pasar del sistema XY al sistema rotado (en un ángulo θ contra-reloj) $X'Y'$, es,

$$\begin{cases} x = x' \cos \theta - y' \sin \theta \\ y = x' \sin \theta + y' \cos \theta \end{cases} \quad (8.5)$$

En forma matricial,

$$\begin{pmatrix} x \\ y \end{pmatrix} = \begin{pmatrix} \cos \theta & -\sin \theta \\ \sin \theta & \cos \theta \end{pmatrix} \begin{pmatrix} x' \\ y' \end{pmatrix}$$

Al sustituir $x = x' \cos \theta - y' \sin \theta$ e $y = x' \sin \theta + y' \cos \theta$ en la ecuación general $Ax^2 + Bxy + Cy^2 + Dx + Ey + F = 0$, obtenemos la ecuación

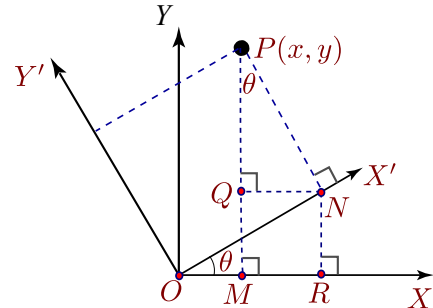


Figura 8.2

$$A'x'^2 + Bx'y' + C'y'^2 + D'x' + E'y' + F = 0,$$

donde

$$A' = A \cos^2 \theta + B \sin \theta \cos \theta + C \sin^2 \theta$$

$$B' = B \cos^2 \theta - 2A \sin \theta \cos \theta + 2C \sin \theta \cos \theta - B \sin^2 \theta$$

$$C' = C \cos^2 \theta - B \sin \theta \cos \theta + A \sin^2 \theta$$

$$D' = D \cos \theta + E \sin \theta$$

$$E' = E \cos \theta - D \sin \theta$$

$$F' = F$$

Eliminar el término “ xy ”. Aquí es de interés el caso en que tomemos θ de tal manera que el coeficiente de “ xy ” se anule. En este caso, nos quedaría una nueva ecuación,

$$A'x'^2 + C'y'^2 + D'x' + E'y' + F = 0.$$

Esto nos dice que si la ecuación $Ax^2 + Bxy + Cy^2 + Dx + Ey + F = 0$ corresponde a una cónica propia, este cambio de variable deja la cónica en forma estándar (sin rotación) en el sistema $X'Y'$.

Si en la ecuación general, $B \neq 0$, podemos usar una rotación para eliminar el término “ xy ”. Al sustituir $x = x' \cos \theta - y' \sin \theta$ e $y = x' \sin \theta + y' \cos \theta$ en la ecuación general $Ax^2 + Bxy + Cy^2 + Dx + Ey + F = 0$, obtenemos la ecuación

$$\begin{aligned} & x'^2 (A \cos^2 \theta + B \sin \theta \cos \theta + C \sin^2 \theta) \\ & + x'y' (B \cos^2 \theta - 2A \sin \theta \cos \theta + 2C \sin \theta \cos \theta - B \sin^2 \theta) \\ & + y'^2 (C \cos^2 \theta - B \sin \theta \cos \theta + A \sin^2 \theta) \\ & + y'(E \cos \theta - D \sin \theta) + x'(D \cos \theta + E \sin \theta) + F = 0 \end{aligned}$$

Necesitamos calcular θ de tal manera que su coeficiente $B \cos^2 \theta - 2A \sin \theta \cos \theta + 2C \sin \theta \cos \theta - B \sin^2 \theta$ se anule,

$$B \cos^2 \theta - 2A \sin \theta \cos \theta + 2C \sin \theta \cos \theta - B \sin^2 \theta = 0 \implies (\textcolor{violet}{C} - A) \sin(2\theta) + B \cos(2\theta) = 0.$$

- Si $A \neq C$, $\tan(2\theta) = \frac{B}{A-C}$. Aquí tomamos la solución $\theta = \frac{\arctan(B/(A-C))}{2} \in]-\pi/4, \pi/4[$.

- Si $A = C$, entonces $B \cos(2\theta) = 0$. Para eliminar la rotación podemos tomar $\theta = \pi/4$.
- Si $\theta = \alpha$ es el ángulo que anula el coeficiente del término “ xy ”, la ecuación general queda como

$$A'x'^2 + C'y'^2 + D'x' + E'y' + F' = 0$$

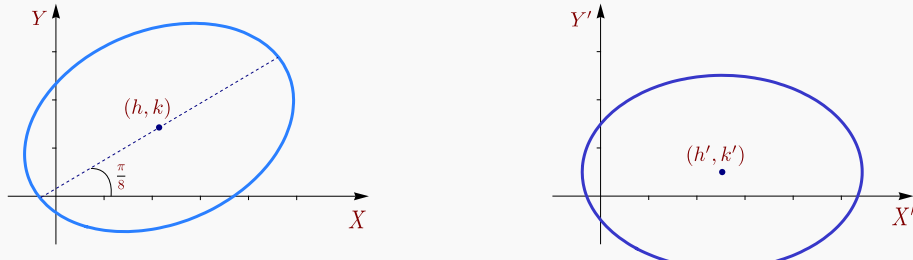
Más adelante haremos referencia al caso particular $\theta = \pi/2$, en este caso, el efecto de la transformación es, básicamente, intercambiar x con y , es decir, el resultado de aplicar el cambio de variable es

$$Cx^2 - Bxy + Ay^2 + Ex - Dy + F = 0.$$

Ejemplo 8.2

Consideremos la cónica $3x^2 - 2xy + 5y^2 - 10x - 10y - 4 = 0$. Su centro es, según (8.3), $(h, k) = (15/7, 10/7)$. Como $A = 3 \neq C = 5$, el ángulo de rotación que anula el coeficiente del término xy al hacer el cambio de variable (8.5) es $\theta = \frac{\arctan(-2/(3-5))}{2} = \pi/8$. Al aplicar el cambio de variable se obtiene la cónica (con coeficientes aproximados)

$$2.585x'^2 + 5.414y'^2 - 13.065x' - 5.411y' - 4 = 0.$$



El centro de la cónica en el sistema $X'Y'$ es $(h', k') \approx (2.526, 0.499)$. Como conocemos el ángulo de rotación, entonces $\begin{pmatrix} h \\ k \end{pmatrix} = \begin{pmatrix} \cos \theta & -\sin \theta \\ \sin \theta & \cos \theta \end{pmatrix} \begin{pmatrix} h' \\ k' \end{pmatrix} \approx \begin{pmatrix} 2.14286 \\ 1.42857 \end{pmatrix}$ como ya sabíamos.

Estudio de la ecuación general.

En el estudio de la ecuación general, empezamos con el caso más sencillo. Necesitamos este caso para reducir los casos más complejos, vía traslación o rotación, a este caso y luego, usando *invariantes*, obtener la clasificación del teorema (8.1).

Reducción al caso más simple. Vamos a establecer la reducción de la ecuación general en los casos en que $B^2 - 4AC$ se anula o no se anula.

Si $B^2 - 4AC \neq 0$, la ecuación general se reduce a

$$A'\bar{x}^2 + C'\bar{y}^2 + F' = 0.$$

En efecto, si $h = (2CD - BE)/(B^2 - 4AC)$ y $k = (2AE - BD)/(B^2 - 4AC)$, al aplicar la traslación $x = x' + h$, $y = y' + k$, a la ecuación general $Ax^2 + Bxy + Cy^2 + Dx + Ey + F = 0$, obtenemos

$$Ax'^2 + Bx'y' + Cy'^2 + \frac{CD^2 - BDE + AE^2 + B^2F - 4ACF}{B^2 - 4AC} = 0, \quad (8.6)$$

Ahora, a esta ecuación reducida le aplicamos la rotación $x'' = x' \cos \theta - y' \sen \theta$ e $y'' = x' \sen \theta + y' \cos \theta$ con θ escogido de tal manera que se elimine el término “ $x'y'$ ”, obtenemos

$$\begin{aligned} & x''^2 (A \cos^2 \theta + B \sen \theta \cos \theta + C \sen^2 \theta) + y''^2 (C \cos^2 \theta - B \sen \theta \cos \theta + A \sen^2 \theta) \\ & + \frac{CD^2 - BDE + AE^2 + B^2F - 4ACF}{B^2 - 4AC} = 0. \end{aligned}$$

O, en forma abreviada, $A'x''^2 + C'y''^2 + F' = 0$.

Si $B^2 - 4AC = 0$, la ecuación general se reduce a

$$A'x''^2 + E'y' + F' = 0 \quad \text{o} \quad C'y''^2 + D'x' + F' = 0.$$

En efecto, como $B = \pm 2\sqrt{AC}$, la ecuación general se reduce a

$$Ax^2 \pm 2\sqrt{AC}xy + Cy^2 + Dx + Ey + F = 0.$$

Como antes, tomamos θ de tal manera que se elimine el término “ xy ”. La ecuación general se reduce a

$$A'x'^2 + D'x' + E'y' + F' = 0 \quad \text{o} \quad C'y'^2 + D'x' + E'y' + F' = 0.$$

Hay dos casos pues $A' = 0$ o $C' = 0$. Para ver esto, observemos que

$$\begin{aligned} A' &= A \cos^2 \theta \pm 2\sqrt{AC} \sen \theta \cos \theta + C \sen^2 \theta = (\sqrt{A} \cos \theta \pm \sqrt{C} \sen \theta)^2 \\ C' &= C \cos^2 \theta \pm 2\sqrt{AC} \sen \theta \cos \theta + A \sen^2 \theta = (\sqrt{C} \cos \theta \pm \sqrt{A} \sen \theta)^2 \end{aligned}$$

Uno de estos coeficientes se anula si $\sqrt{C} \sen \theta = -\sqrt{A} \cos \theta$ o $\sqrt{A} \sen \theta = \sqrt{C} \cos \theta$. Si $A = C$ y $B = \pm 2\sqrt{AC}$, obtenemos el resultado. Si $A \neq C$ y $B = \pm 2\sqrt{AC}$, entonces como $\tan(2\theta) = \frac{2\tan \theta}{1 - \tan^2 \theta} = \frac{B}{A - C}$ tenemos,

$$\begin{aligned} B \tan^2 \theta + 2(A - C) \tan \theta - B &= 0 \implies \tan \theta = \frac{-2(A - C) \pm \sqrt{4(A - C)^2 + 4B^2}}{2B} \\ &\implies \tan \theta = \pm \frac{A}{\sqrt{AC}} = \pm \frac{\sqrt{A}}{\sqrt{C}} \quad (\text{racionalizando con } \sqrt{A}), \\ &\implies \sqrt{C} \sen \theta = -\sqrt{A} \cos \theta \quad \text{o} \quad \sqrt{A} \sen \theta = \sqrt{C} \cos \theta. \end{aligned}$$

Completando cuadrados, estas ecuaciones se reducen a

$$A'x''^2 + E'y' + F' = 0 \quad \text{o} \quad C'y''^2 + D'x' + F' = 0.$$

Así, el estudio de la ecuación general se reduce al estudio de los casos $A'x'^2 + C'y'^2 + F' = 0$ y $C'y'^2 + D'x' + F' = 0$ (pues aplicando una rotación de $\pi/2$, se intercambia x con y). En lo que sigue, se hace el estudio detallado.

Estudio de los casos más simples. El primer caso que analizamos corresponde a la ecuación

$$Ax^2 + Cy^2 + F = 0. \quad (8.7)$$

Si ninguno de los coeficientes es cero, tenemos

$$\frac{x^2}{-\frac{F}{A}} + \frac{y^2}{-\frac{F}{C}} = 1. \quad (8.8)$$

De aquí podemos deducir que¹

- a) Si $AC > 0$ y $AF < 0$, tenemos una elipse.
- b) Si $AC > 0$ y $AF > 0$, no hay lugar geométrico.
- c) Si $AC < 0$ y $F < 0$ o $F > 0$, tenemos una hipérbola.

En el caso de que algunos coeficientes en $Ax^2 + Cy^2 + F = 0$ sean cero, tenemos

- d) Si $AC > 0$ y $F = 0$, tenemos un punto.
- e) Si $AC < 0$ y $F = 0$, tenemos dos rectas que se intersecan.
- f) Si $AC = 0$ y $(A+C)F > 0$, no hay lugar geométrico.
- g) Si $AC = 0$ y $(A+C)F < 0$, tenemos líneas paralelas.
- h) Si $AC = 0$ y $F = 0$, tenemos una línea.

Ecuaciones sin el término “xy”. En la ecuación

$$Ax^2 + Cy^2 + Dx + Ey + F = 0. \quad (8.9)$$

Si A ni C son cero, completando cuadrados tenemos

$$A\left(x + \frac{D}{2A}\right)^2 + C\left(y + \frac{E}{2C}\right)^2 = \frac{D^2}{4A} + \frac{E^2}{4C} - F. \quad (8.10)$$

Si hacemos el cambio de variable $x' = x + \frac{D}{2A}$, $y' = y + \frac{E}{2C}$, la ecuación (8.9) se convierte en

$$Ax'^2 + Cy'^2 + \frac{4ACF - CD^2 - AE^2}{4AC} = 0.$$

Esta ecuación es del mismo tipo que la ecuación (8.8), así que podemos concluir que

¹Observe que $AC > 0$ y $AF < 0$ significa que A y F tienen signo contrario y que A y C tienen el mismo signo.

- a) si $AC > 0$ y $\frac{4ACF - CD^2 - AE^2}{4C} < 0$, tenemos una elipse,
- b) si $AC < 0$ y $\frac{4ACF - CD^2 - AE^2}{4AC} \geq 0$, tenemos una hipérbola.

Usando la ecuación (8.10) podemos establecer centro, vértices, etc., en términos de los coeficientes A, C, D, E y F .

Casos $A = 0$ ó $C = 0$.

Ecuación $Ax^2 + Dx + Ey + F = 0$. Si $A \neq 0$ y $E \neq 0$, completando cuadrados en la ecuación, se obtiene la ecuación canónica de la parábola

$$\left(x + \frac{D}{2A}\right)^2 = -\frac{E}{A} \left(y + \frac{F}{E} - \frac{D^2}{4EA}\right)$$

Ecuación $Cy^2 + Dx + Ey + F = 0$. Si $C \neq 0$ y $D \neq 0$, completando cuadrados en la ecuación, se obtiene la ecuación canónica de la parábola

$$\left(y + \frac{E}{2C}\right)^2 = -\frac{D}{C} \left(x + \frac{F}{D} - \frac{E^2}{4CD}\right)$$

Ecuaciones con el término “ xy ”. Si la ecuación $Ax^2 + Bxy + Cy^2 + Dx + Ey + F = 0$ corresponde a una cónica propia, la presencia del término “ Bxy ” indica que la cónica no está en posición estándar sino que presenta una rotación de ángulo θ , respecto al origen. El “discriminante” $B^2 - 4AC$, si se trata de una cónica no degenerada, indica la naturaleza de la cónica.

Ejemplo 8.3

Consideremos la cónica (propia) $3x^2 + 5y^2 - 10x - 10y - 4 = 0$. Para tener una primera idea de cómo afecta la aparición del término “ Bxy ”, vamos a agregar a esta ecuación este término de tal manera que $B^2 - 4AC$ sea negativo, positivo y nulo. Para esto, en la figura (8.3) se muestra la gráfica de las cónicas $3x^2 + 5y^2 - 10x - 10y - 4 = 0$, $3x^2 - 2xy + 5y^2 - 10x - 10y - 4 = 0$, $3x^2 - \sqrt{60}xy + 5y^2 - 10x - 10y - 4 = 0$ y $3x^2 - 20xy + 5y^2 - 10x - 10y - 4 = 0$, en ese orden.

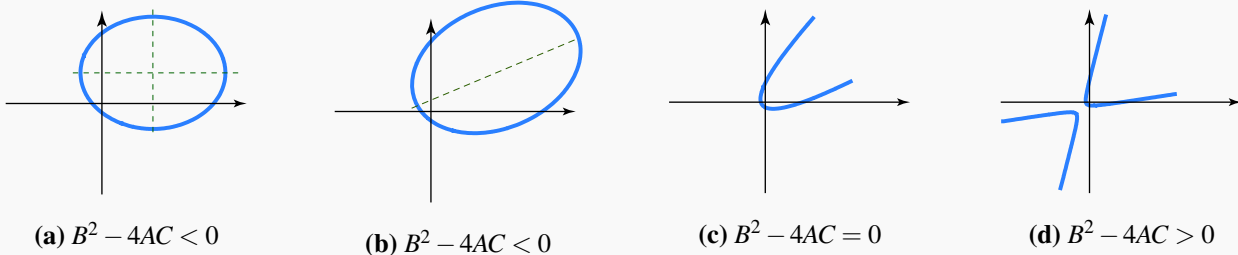


Figura 8.3: En el caso de cónicas propias, el signo de $B^2 - 4AC$ nos indica que tipo de cónica se trata.

Para estudiar la ecuación general hacemos un cambio de variable para convertir esta ecuación en una del tipo (8.10). La idea del cambio de variable es introducir un nuevo sistema $X'Y'$ en el que la cónica quede en posición estándar, i.e.,

respecto a este sistema la cónica no presenta rotación.

Si $\theta = \alpha$ es el ángulo que anula el coeficiente del término “ xy ”, la ecuación general queda como

$$A'x'^2 + C'y'^2 + D'x' + E'y' + F' = 0$$

donde

$$A' = A \cos^2 \alpha + B \sin \alpha \cos \alpha + C \sin^2 \alpha$$

$$C' = C \cos^2 \alpha - B \sin \alpha \cos \alpha + A \sin^2 \alpha$$

$$D' = D \cos \alpha + E \sin \alpha$$

$$E' = E \cos \alpha - D \sin \alpha$$

$$F' = F.$$

Como esta ecuación es del tipo (8.10),

- a) si $A'C' > 0$ y $\frac{4A'C'F' - C'D'^2 - A'E'^2}{4C'} < 0$, tenemos una elipse,
- b) si $A'C' < 0$ y $\frac{4A'C'F' - C'D'^2 - A'E'^2}{4A'C'} \geq 0$, tenemos una hipérbola,
- c) si $C' = 0$, $A' \neq 0$ y $E' \neq 0$, tenemos una parábola,
- d) si $A' = 0$, $C' \neq 0$ y $D' \neq 0$, tenemos una parábola.

Centro, focos y vértices de la cónica. Una vez que hemos eliminado el término “ xy ” de la ecuación general, podemos obtener la ecuación canónica, completando cuadrados. Si en el sistema $X'Y'$, el centro (o el vértice) de la cónica es (h', k') , entonces, en el sistema XY , (h, k) se puede obtener como

$$\begin{pmatrix} h \\ k \end{pmatrix} = \begin{pmatrix} \cos \alpha & -\sin \alpha \\ \sin \alpha & \cos \alpha \end{pmatrix} \begin{pmatrix} h' \\ k' \end{pmatrix}.$$

Y en general, si (x', y') es un foco o un vértice de la cónica en el sistema $X'Y'$, entonces el respectivo foco o vértice en el sistema XY sería

$$\begin{pmatrix} \cos \alpha & -\sin \alpha \\ \sin \alpha & \cos \alpha \end{pmatrix} \begin{pmatrix} x' \\ y' \end{pmatrix}$$

Si $B^2 - 4AC \neq 0$, el centro (de la elipse o hipérbola) en el sistema XY también se puede calcular (como vimos antes) con

la fórmula,

$$h = (2CD - BE)/(B^2 - 4AC), k = (2AE - BD)/(B^2 - 4AC).$$

Si $B^2 - 4AC = 0$, se dice que el centro de la cónica está “en el infinito”.

Si ya tenemos la ecuación sin rotación, el resto de la información la calculamos de la manera usual y luego aplicamos una rotación para ubicarla en el sistema XY .

Ejemplo 8.4

Identifique la cónica $3x^2 - 2xy + 5y^2 - 10x - 10y - 4 = 0$, determine su ecuación canónica en el sistema $X'Y'$ y trazar su gráfica.

Solución: Primero calculamos el ángulo de rotación

$$\tan(2\alpha) = \frac{B}{A - C} = 1 \implies \alpha = \pi/8.$$

La nueva ecuación es

$$A'x'^2 + C'y'^2 + D'x' + E'y' + F' = 0.$$

donde

$$A' = A \cos^2 \alpha + B \operatorname{sen} \alpha \cos \alpha + C \operatorname{sen}^2 \alpha \approx 2.585$$

$$C' = C \cos^2 \alpha - B \operatorname{sen} \alpha \cos \alpha + A \operatorname{sen}^2 \alpha \approx 5.414$$

$$D' = D \cos \alpha + E \operatorname{sen} \alpha \approx -13.065$$

$$E' = E \cos \alpha - D \operatorname{sen} \alpha \approx -5.411$$

$$F' = F = -4.$$

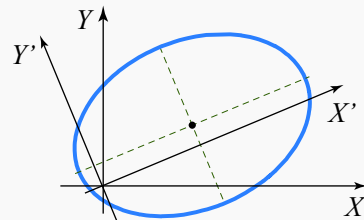
La cónica en el sistema $X'Y'$ tiene ecuación (con coeficientes aproximados)

$$2.585x'^2 + 5.414y'^2 - 13.065x' - 5.411y' - 4 = 0.$$

Se trata de una elipse con ecuación canónica

$$\frac{(x' - 2.527)^2}{8.456} + \frac{(y' - 0.499)^2}{4.037} = 1.$$

Para hacer la representación gráfica, podemos dibujar los ejes X' , Y' en el sistema estándar (rotando los ejes $\pi/8$ contra-reloj) y dibujar respecto a estos ejes usando la ecuación canónica.



Ejemplo 8.5

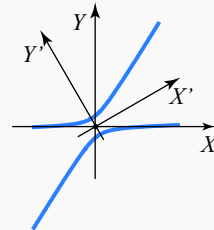
Identifique la cónica $x^2 - 20\sqrt{3}xy + 21y^2 - 6 = 0$, determine su ecuación canónica en el sistema $X'Y'$ y trazar su gráfica.

Solución: Primero calculamos el ángulo de rotación

$$\tan(2\alpha) = \frac{B}{A-C} = \sqrt{3} \implies \alpha = \pi/6$$

La nueva ecuación es

$$-9x'^2 + 31y'^2 + 0 \cdot x' + 0 \cdot y' - 6 = 0.$$



La cónica en el sistema $X'Y'$ tiene ecuación $-9x'^2 + 31y'^2 - 6 = 0$. Se trata de una hipérbola con ecuación canónica $-\frac{x'^2}{2/3} + \frac{y'^2}{6/31} = 1$. Para hacer la representación gráfica, podemos dibujar los ejes X' , Y' en el sistema estándar (rotando los ejes $\pi/6$ contra-reloj) y dibujar respecto a estos ejes, usando la ecuación canónica.

Ejemplo 8.6

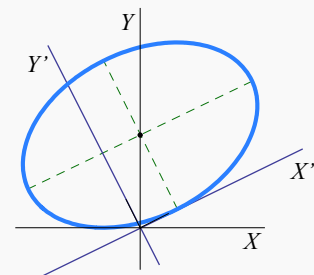
Identifique y haga la representación gráfica de la cónica $5x^2 - 4xy + 8y^2 + 4\sqrt{5}x - 16\sqrt{5}y + 4 = 0$. Determine su centro (h, k) en el sistema XY .

Solución: Aplicando el cambio de variable nos queda,

$$4x'^2 + 9y'^2 - 8x' - 36y' + 4 = 0 \quad o \quad \frac{(x'-1)^2}{9} + \frac{(y'-2)^2}{4} = 1.$$

El ángulo de rotación es $\theta \approx 0.463$. El centro de la elipse, en el sistema $X'Y'$ es $(h', k') = (1, 2)$, por tanto, en el sistema XY es

$$\begin{pmatrix} \cos \theta & -\sin \theta \\ \sin \theta & \cos \theta \end{pmatrix} \begin{pmatrix} h' \\ k' \end{pmatrix} = (0, \sqrt{5}).$$

**Invariantes y clasificación de cónicas.**

No es necesario eliminar el término “ xy ” para clasificar una cónica. Esto se puede determinar con el valor de ciertas combinaciones de coeficientes.

Cuando aplicamos a la ecuación general $Ax^2 + Bxy + Cy^2 + Dx + Ey + F = 0$, el cambio de variable (8.5) obtenemos la

ecuación $A'x'^2 + C'y'^2 + D'x' + E'y' + F' = 0$, donde

$$\begin{aligned} A' &= A \cos^2 \theta + B \operatorname{sen} \theta \cos \theta + C \operatorname{sen}^2 \theta \\ C' &= C \cos^2 \theta - B \operatorname{sen} \theta \cos \theta + A \operatorname{sen}^2 \theta \\ D' &= D \cos \theta + E \operatorname{sen} \theta \\ E' &= E \cos \theta - D \operatorname{sen} \theta \\ F' &= F \end{aligned} \tag{8.11}$$

Cuando aplicamos el cambio de variable (8.1), del origen al nuevo origen $O' = (h, k)$, la ecuación general queda $A'x'^2 + C'y'^2 + D'x' + E'y' + F' = 0$, donde

$$\begin{aligned} A' &= A, B' = B, C' = C, \\ D' &= 2Ah + Bk + D, \\ E' &= Bh + 2Ck + E, \\ F' &= Ah^2 + Bhk + Ck^2 + Dh + Ek + F. \end{aligned} \tag{8.12}$$

Se observa entonces que si aplicamos una rotación, el coeficiente F no varía y si aplicamos una traslación, no varían los coeficientes A, B y C . También hay combinaciones de coeficientes que no cambian cuando se aplican combinaciones de estas dos transformaciones de coordenadas. Estas combinaciones se llaman *invariantes* (respecto a traslación y rotación). Las combinaciones de coeficientes que nos interesan son las que deciden la naturaleza de la cónica, por ejemplo $B^2 - 4AC$.

El invariante más simple es la combinación $\Theta = A + C$. En efecto, en el caso de una traslación es obvio, según (8.12), que $A + C = A' + C'$. En el caso de una rotación, podemos usar (8.21) para establecer que $A' + C' = (A + C) \cos^2 \theta + (A + C) \operatorname{sen}^2 \theta = A + C$.

Un segundo invariante es $\Phi = B^2 - 4AC$. El valor de Φ no cambia si aplicamos una traslación pues no cambian A, B y C . Si aplicamos una rotación,

$$A' - C' = (A - C) \cos 2\theta + B \operatorname{sen} 2\theta,$$

y entonces

$$(A' - C')^2 + B'^2 = (A - C)^2 + B^2,$$

Ahora, agregamos $2AC - 2AC$ en el miembro izquierdo y $2A'C' - 2A'C'$ en el miembro derecho para obtener

$$(A' + C')^2 - 4A'C' + B'^2 = (A + C)^2 - 4AC + B^2,$$

finalmente, como Θ es invariante,

$$B'^2 - 4A'C' = B^2 - 4AC.$$

Un tercer invariante es $\Delta = 4ACF + BDE - AE^2 - CD^2 - FB^2$. La prueba es similar.

Ahora vamos aplicar estos invariantes para identificar cónicas a partir de la ecuación general. Como hemos visto, la ecuación general $Ax^2 + Bxy + Cy^2 + Dx + Ey + F = 0$, se puede reducir a alguna de las formas

$$A'x^2 + C'y^2 + F' = 0, \text{ con } A', C' \text{ no nulos.} \tag{8.13}$$

$$C''y^2 + D''x = 0, \text{ con } C'' \neq 0 \text{ y } D'' \neq 0. \quad (8.14)$$

Es suficiente considerar estos casos porque al aplicar una rotación de $\pi/2$ se intercambia x con y y se obtienen las otras combinaciones.

- Si la ecuación general se reduce a la forma (8.14), entonces $\Phi = 0$ y $\Delta = -C''D''^2 \neq 0$. Como Φ y Δ son invariantes, aplicados en la ecuación general, nos dice que si

$$\Phi = B^2 - 4AC = 0 \text{ y } \Delta = 4ACF + BDE - AE^2 - CD^2 - FB^2 \neq 0,$$

entonces tenemos una parábola.

Si la ecuación general se reduce a la forma (8.13), entonces $\Phi = -4A'C'$ y $\Delta = 4A'C'F' = -\Phi F'$.

- Si $\Phi > 0$, la ecuación general solo se puede reducir a la forma (8.13) y en este caso $\Phi = -4A'C' > 0$ nos dice que A' y C' tienen signos opuestos y que F' es cero solo cuando $\Delta = 0$. De acuerdo a nuestra caracterización de cónicas en el caso más simple, la ecuación general representa una hipérbola si $\Phi = B^2 - 4AC > 0$ y $\Delta \neq 0$.
- Si $\Phi < 0$, la ecuación general solo se puede reducir a la forma (8.13) y en este caso $\Phi = -4A'C' < 0$ nos dice que A' y C' tienen signos iguales y que F' es cero solo cuando $\Delta = 0$. De acuerdo a nuestra caracterización de cónicas en el caso más simple, la ecuación general representa una elipse si $\Phi = B^2 - 4AC < 0$, $\Delta \neq 0$ y F' tiene signo opuesto a A' y C' . En resumen, si $\Phi < 0$, la ecuación general corresponde a una elipse si $\Theta\Delta < 0$.

Toda este análisis se resumen en teorema (8.1).

Excentricidad: Otra manera de definir las cónicas.

La parábola, la elipse y la hipérbola se pueden definir en términos de las distancias a un punto fijo y una recta dada. En un plano, consideremos una recta fija ℓ y un punto fijo F , no contenido en la recta; se llama “cónica” al lugar geométrico de un punto Q que se mueve en el plano de tal manera que la razón $\frac{d(Q, F)}{d(Q, \ell)}$ es siempre igual a una constante positiva, denotada con e . La recta ℓ se llama directriz y el punto F se llama foco. La constante $e = \frac{d(Q, F)}{d(Q, \ell)}$ se llama *excentricidad* de la cónica.

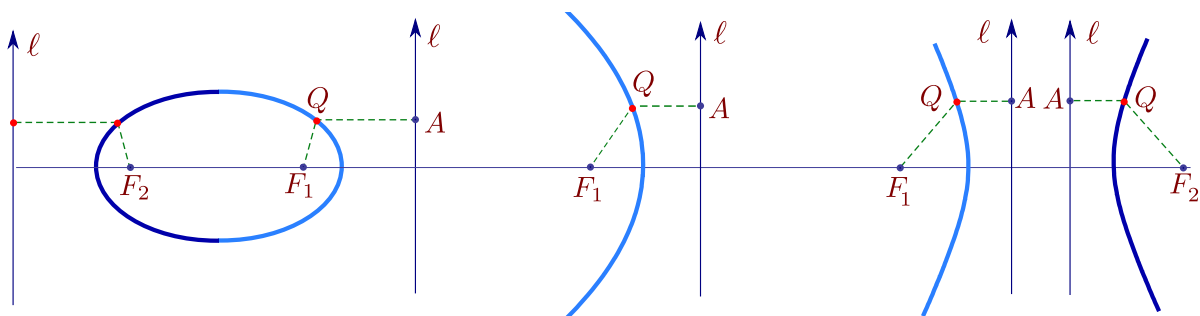


Figura 8.4

Para hacer el análisis sencillo, se puede ubicar la directriz en el eje Y y se puede tomar el foco en $F = (s, 0)$, con $s > 0$. Si $Q = (x, y)$ está en el lugar geométrico, entonces si QA es el segmento perpendicular al eje Y , de debe cumplir

$$\frac{\overline{QF}}{\overline{QA}} = e,$$

que analíticamente corresponde a

$$\frac{\sqrt{(x-s)^2 + y^2}}{|x|} = e.$$

Simplificando se obtiene $(1-e^2)x^2 - 2sx + y^2 + s^2 = 0$. Esta ecuación es la ecuación de una cónica, pero su naturaleza depende del valor de e .

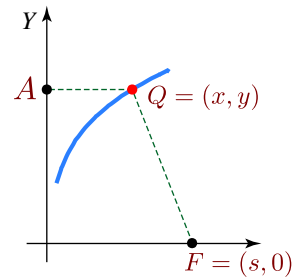
- Si $e = 1$, obtenemos la parábola $y^2 = 2s(x - s/2)$.
- Si $e \neq 1$, podemos dividir por $1-e^2$ y completar el cuadrado:

$$\frac{\left(x - \frac{s}{1-e^2}\right)^2}{\frac{s^2e^2}{(1-e^2)^2}} + \frac{y^2}{\frac{s^2e^2}{1-e^2}} = 1. \quad (8.15)$$

Por tanto, si $e > 1$ entonces $1-e^2 < 0$; y tenemos la hipérbola $\frac{\left(x - \frac{s}{1-e^2}\right)^2}{\frac{s^2e^2}{(1-e^2)^2}} - \frac{y^2}{\frac{s^2e^2}{e^2-1}} = 1$

con centro $(h, k) = \left(\frac{s}{1-e^2}, 0\right)$, $a^2 = \frac{s^2e^2}{(1-e^2)^2}$, y $b^2 = \frac{s^2e^2}{e^2-1}$. Como en la hipérbola $c^2 = a^2 + b^2$, tenemos en particular, $e = \frac{c}{a}$.

- Si $e < 1$, entonces $1-e^2 > 0$ y la ecuación corresponde a una elipse. De manera análoga, se puede mostrar que $e = \frac{c}{a}$.

**Figura 8.5**

En resumen, dada una recta ℓ y un punto fijo F que no está en ℓ , el lugar geométrico de los puntos Q del plano tales que el cociente de las distancias de Q a F y a ℓ es una constante, e , es

- a) una elipse si $0 < e < 1$ (una circunferencia si $e = 0$),
- b) una parábola si $e = 1$ y
- c) una hipérbola si $e > 1$.

En general, si a es la longitud del semieje mayor en la elipse o la longitud del semieje transversal en la hipérbola, en ambos casos, la excentricidad es $e = c/a$; c se calcula como $c^2 = a^2 - b^2$ en la elipse y como $c^2 = a^2 + b^2$ en la hipérbola. En la parábola la excentricidad es siempre $e = 1$.

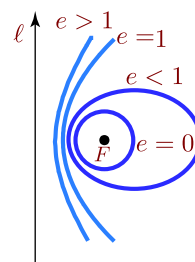
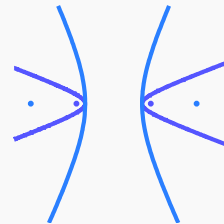
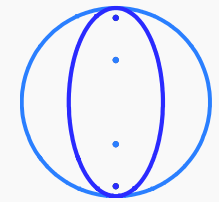


Figura 8.6

Ejemplo 8.7

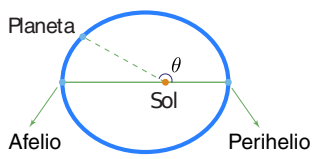
En este ejemplo consideramos cónicas con distinta excentricidad. La elipse $\frac{(x-2)^2}{4} + \frac{(y-1)^2}{5} = 1$ (en celeste) tiene excentricidad $e = \frac{c}{a} \approx 0.44$ mientras que la elipse $(x-2)^2 + \frac{(y-1)^2}{5} = 1$ (en violeta) tiene excentricidad $e = \frac{c}{a} \approx 0.89$. Como se observa, si la excentricidad es ≈ 1 , la elipse se parece a una circunferencia.

La hipérbola $\frac{(x-2)^2}{4} - (y-1)^2 = 1$ (en celeste) tiene excentricidad $e = \frac{c}{a} \approx 1.118$. La hipérbola $\frac{(x-2)^2}{4} - \frac{(y-1)^2}{30} = 1$ (en violeta) tiene excentricidad $e = \frac{c}{a} \approx 2.91$. Se observa como una excentricidad grande hace que la hipérbola tenga ramas “estrechas”.



Ecuación polar de una cónica.

El matemático y astrónomo J. Kepler (1571-1630), sobre la base de una gran cantidad de datos obtenidos por Tycho Brahe (1546-1601) acerca del movimiento planetario (en particular de Marte), descubrió que la trayectoria de los planetas del sistema solar es elíptica, con el sol en uno de sus focos. En un principio Kepler pensaba que las órbitas debían ser circulares, una idea difícil de desechar dado que la excentricidad de la órbita de Marte es 0.093315 (casi una circunferencia!).



El *Afelio* es el punto más alejado de la órbita de un planeta alrededor del Sol. El *perihelio*, es el punto más cercano al Sol. Si a es la longitud del semieje mayor de la órbita elíptica y e la excentricidad, entonces en el afelio, la distancia del planeta al sol es $r = a(1 + e)$ y en el perihelio la distancia del planeta al sol es $a(1 - e)$. Para obtener estas distancias es conveniente expresar la ecuación de una elipse en términos del semieje mayor a y la excentricidad.

Para simplificar, supongamos que tenemos una cónica C con excentricidad e , un foco F en el origen y una directriz vertical ℓ a una distancia d a la derecha de F .

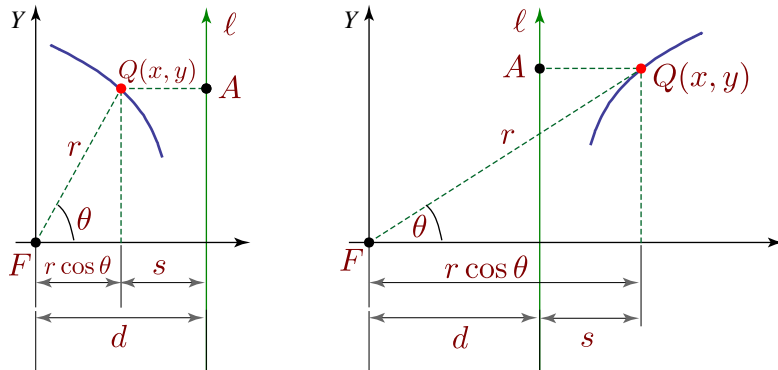


Figura 8.7

Como vimos en la sección anterior, se debe cumplir

$$\frac{\overline{QF}}{\overline{QA}} = e.$$

Si ponemos $s = \overline{QA}$ y $r = \overline{QF}$, entonces $s = |d - r\cos\theta|$ y $\frac{r}{|d - r\cos\theta|} = e$.

- Si $Q(x,y)$ está a la izquierda de la directriz ℓ , entonces $s = d - r\cos\theta$, despejando r obtenemos

$$r = \frac{ed}{1 + e\cos\theta}$$

- Si $Q(x,y)$ está a la derecha de la directriz ℓ , entonces $s = r\cos\theta - d$, despejando r obtenemos

$$r = \frac{ed}{e\cos\theta - 1}$$

En este caso, como $r > 0$, $e > 0$ y $d > 0$, se cumple $e\cos\theta > 1$ por lo que $e > 1$. Esto dice que solo las hipérbolas tienen puntos a la derecha de la directriz ℓ .

En resumen,

Teorema 8.2

Sea C una cónica con excentricidad e , un foco F en el origen y una directriz vertical ℓ a una distancia d a la derecha de F . Si $0 < e \leq 1$, la cónica C es una elipse o una parábola; todo punto de C está a la izquierda de ℓ y

satisface la ecuación polar

$$r = \frac{ed}{1 + e \cos \theta} \quad (8.16)$$

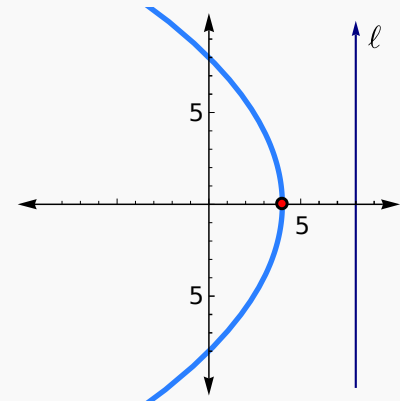
Si $e > 1$, la curva es una hipérbola con una rama a cada lado de ℓ . Los puntos de la rama de la izquierda satisfacen la ecuación (8.16) y los de la rama de la derecha satisfacen

$$r = \frac{ed}{e \cos \theta - 1} \quad (8.17)$$

Ejemplo 8.8

Considere la cónica con ecuación polar $r = \frac{8}{1 + \cos \theta}$.

Como $e = 1$, se trata de una parábola. El foco está, por supuesto, en el origen. La directriz está a la derecha del foco y tiene ecuación $x = 8$. El vértice es $V = (4, 0)$.



En *Wolfram Mathematica* se puede hacer la representación gráfica usando `PolarPlot`. El código del ejemplo anterior es,

```
PolarPlot[ 8/(1+Cos[t]),{t,0,2Pi},
  PlotRange->{{-10,10},{-10,10}},
  AxesStyle->Arrowheads[{-0.05,0.05}]
];
```

Afilio y Perihelio. La ecuación de una elipse ($0 < e < 1$) con foco en el origen es $r = \frac{ed}{1 + e \cos \theta}$. Para calcular la distancia al sol en el Perihelio hacemos $\theta = 0$, es decir, $r = \frac{ed}{1 + e}$. Para calcular la distancia al sol en el Afelio hacemos $\theta = \pi$, es decir, $r = \frac{ed}{1 - e}$. Como la suma de ambas distancias es $2a$, entonces $2a = \frac{ed}{1 + e} + \frac{ed}{1 - e} \Rightarrow a = \frac{ed}{(1 + e)(1 - e)}$. Así, $r = \frac{ed}{1 + e} = a(1 - e)$ y $r = \frac{ed}{1 - e} = a(1 + e)$.

Reconocimiento de cónicas con métodos matriciales.

La ecuación general $Ax^2 + 2Bxy + Cy^2 + Dx + Ey + F = 0$ se puede escribir en términos matriciales como

$$(x \ y) \begin{pmatrix} A & B \\ B & C \end{pmatrix} \begin{pmatrix} x \\ y \end{pmatrix} + (D \ E) \begin{pmatrix} x \\ y \end{pmatrix} + F = 0, \quad (8.18)$$

o, como $X^T AX + KX + F = 0$ con $X = \begin{pmatrix} x \\ y \end{pmatrix}$, $A = \begin{pmatrix} A & B \\ B & C \end{pmatrix}$ y $K = (D \ E)$.

Si $P = \begin{pmatrix} p_{11} & p_{12} \\ p_{21} & p_{22} \end{pmatrix}$ es una matriz que diagonaliza ortogonalmente a A , tal que $\text{Det}(P) = 1$, entonces el cambio de variable $\begin{pmatrix} x \\ y \end{pmatrix} = P \begin{pmatrix} x' \\ y' \end{pmatrix}$ provoca una rotación. Sustituyendo $X = PX'$ en la ecuación (8.18),

$$(PX')^T A(PX') + K(PX') + F = 0 \iff X'^T (P^T AP)X' + K(PX') + F = 0.$$

Como P diagonaliza a A , entonces

$$(P^T AP) = \begin{pmatrix} \lambda_1 & 0 \\ 0 & \lambda_2 \end{pmatrix},$$

donde λ_1 y λ_2 son vectores propios de A . Entonces, $X'^T (P^T AP)X' + K(PX') + F = 0$ es equivalente a

$$(x' \ y') \begin{pmatrix} \lambda_1 & 0 \\ 0 & \lambda_2 \end{pmatrix} \begin{pmatrix} x' \\ y' \end{pmatrix} + (D \ E) \begin{pmatrix} p_{11} & p_{12} \\ p_{21} & p_{22} \end{pmatrix} \begin{pmatrix} x' \\ y' \end{pmatrix} + F = 0, \quad (8.19)$$

o

$$\lambda_1 x'^2 + \lambda_2 y'^2 + D'x' + E'y' + F = 0. \quad (8.20)$$

Como se ve, se eliminó el término “ xy ” y la cónica se puede reconocer fácilmente.

Cálculo de la matriz P . Primero hay que calcular una *base ortonormal* para cada espacio propio asociado a cada valor propio λ_i . En nuestro caso, cada espacio propio tiene una base ortonormal con un solo vector unitario.

Ahora debemos colocar estos vectores base como columnas de la matriz P de tal manera que $|P| = 1$.

Si $P = (v_1 \ v_2)$ con $|P| = 1$, los vectores unitarios v_1 y v_2 , generan los nuevos ejes $X'Y'$. El ángulo de rotación es $\theta = \angle e_1, v_1$ con $e_1 = (0, 1)$.

Ejemplo 8.9

Identifique y haga la representación gráfica de la cónica $5x^2 - 4xy + 8y^2 + 4\sqrt{5}x - 16\sqrt{5}y + 4 = 0$.

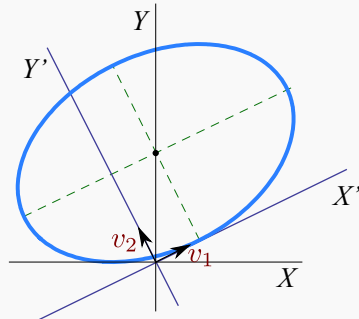
Solución: La forma matricial de la cónica es

$$X^T AX + KX + F = 0$$

$$\text{con } A = \begin{pmatrix} 5 & -2 \\ -2 & 8 \end{pmatrix} \text{ y } K = \begin{pmatrix} 4\sqrt{5} \\ -16\sqrt{5} \end{pmatrix}.$$

La ecuación característica de A es

$$|\lambda I - A| = \text{Det} \begin{pmatrix} \lambda - 5 & 2 \\ 2 & \lambda - 8 \end{pmatrix} = (\lambda - 9)(\lambda - 4).$$



La base ortonormalizada para el espacio propio asociado a $\lambda_1 = 4$ es $v_1 = \begin{pmatrix} 2/\sqrt{5} \\ 1/\sqrt{5} \end{pmatrix}$

La base ortonormalizada para el espacio propio asociado a $\lambda_2 = 9$ es $v_2 = \begin{pmatrix} -1/\sqrt{5} \\ 2/\sqrt{5} \end{pmatrix}$.

La matriz $P = \begin{pmatrix} 2/\sqrt{5} & -1/\sqrt{5} \\ 1/\sqrt{5} & 2/\sqrt{5} \end{pmatrix}$ tiene determinante igual a 1. Ahora, haciendo el cambio de variable $X = PX'$ nos queda,

$$4x'^2 + 9y'^2 - 8x' - 36y' + 4 = 0 \quad \text{o} \quad \frac{(x' - 1)^2}{9} + \frac{(y' - 2)^2}{4} = 1.$$

El ángulo de rotación es $\theta = \arccos((1, 0) \cdot v_1) / \|(1, 0)\| \|v_1\| = \arccos(2/\sqrt{5}) \approx 0.463$. El centro de la elipse, en el sistema $X'Y'$ es $(h', k') = (1, 2)$, por tanto, en el sistema XY es $\begin{pmatrix} \cos \theta & -\sin \theta \\ \sin \theta & \cos \theta \end{pmatrix} \begin{pmatrix} h' \\ k' \end{pmatrix}$, i.e., $(h, k) = (0, \sqrt{5})$.

Ecuación paramétrica de una cónica.

Una parametrización de una curva \mathbf{C} es una función $r(t) = (x(t), y(t))$, $t \in [a, b]$, con $x(t)$ y $y(t)$ funciones continuas en $[a, b]$. Las parametrizaciones es lo que más usado en gráficos por computadora y modelado geométrico ya que los puntos de la curva se calculan fácilmente. En contraste, la evaluación de los puntos de una curva definida implícitamente (como es el caso de las cónicas) es mucho más difícil.

En esta sección vamos a establecer una parametrización para la cónica propia de ecuación general $Ax^2 + Bxy + Cy^2 + Dx + Ey + F = 0$. Hay varias maneras de hacer esto. Aquí vamos a usar la teoría que hemos desarrollado previamente, usando algunas parametrizaciones conocidas para los casos simples. No vamos a ver cómo se obtiene una parametrización. Para esto puede ver ([?]). En principio, podemos usar el teorema (8.1) para identificar la cónica, luego la llevamos a la forma estándar. En esta forma es fácil definir la parametrización.

Parábola. La parábola $(y - k)^2 = 4p(x - h)$ se puede parametrizar como

$$\begin{cases} x(t) = h + pt^2, \\ y(t) = k + 2pt, \end{cases} \quad t \in \mathbb{R}.$$

Para parametrizar $Ax^2 + Bxy + Cy^2 + Dx + Ey + F = 0$, recordemos que esta ecuación corresponde a una parábola si $B^2 - 4AC = 0$ y $4ACF + BDE - AE^2 - CD^2 - FB^2 \neq 0$. Aplicamos una rotación de ángulo $\theta = \arctan(B/(A-C))$ si $A \neq C$, en otro caso, $\theta = \pi/4$. La ecuación se reduce a

$$A'x'^2 + C'y'^2 + D'x' + E'y' + F' = 0,$$

donde

$$\begin{aligned} A' &= A \cos^2 \theta + B \sin \theta \cos \theta + C \sin^2 \theta, \\ C' &= C \cos^2 \theta - B \sin \theta \cos \theta + A \sin^2 \theta, \\ D' &= D \cos \theta + E \sin \theta, \\ E' &= E \cos \theta - D \sin \theta, \\ F' &= F. \end{aligned} \tag{8.21}$$

En este caso $A' = 0$ o $C' = 0$. En resumen, la ecuación se reduce a

$$A'x'^2 + D'x' + E'y' + F = 0 \quad \text{o} \quad C'y'^2 + D'x' + E'y' + F = 0.$$

Una vez que tenemos la ecuación así, ya podemos completar cuadrados y aplicar la parametrización. Para obtener una representación gráfica simétrica se puede usar $t \in [-s, s]$, $s > 0$.

Estudio del caso $C'y'^2 + D'x' + E'y' + F = 0$. La ecuación canónica en el sistema $X'Y'$ es

$$(y' + E'/2C')^2 = -\frac{D'}{C'}(x' + F/D' - E'^2/4C'D').$$

Por lo tanto, $h = (E'^2 - 4C'D')/4C'D'$, $k = -E'/2C'$ y $p = -D/4C'$. La parametrización en el sistema $X'Y'$ es

$$\begin{cases} x'(t) = h + pt^2, \\ y'(t) = k + 2pt, \end{cases} \quad t \in [-s, s], \quad s > 0.$$

y la parametrización en el sistema XY es

$$\begin{pmatrix} x(t) \\ y(t) \end{pmatrix} = \begin{pmatrix} \cos \theta & -\sin \theta \\ \sin \theta & \cos \theta \end{pmatrix} \begin{pmatrix} x'(t) \\ y'(t) \end{pmatrix}, \quad t \in \mathbb{R}.$$

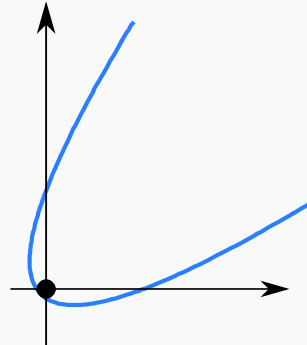
donde θ es el ángulo de rotación.

Ejemplo 8.10

Parametrizar la cónica $3x^2 - \sqrt{36}xy + 3y^2 - 10x - 10y - 4 = 0$.

Solución: Como $B^2 - 4AC = 0$ y $4ACF + BDE - AE^2 - CD^2 - FB^2 = -1200 \neq 0$, se trata de una parábola. Como $A = C$ el ángulo es $\theta = \pi/4$. Al aplicar la rotación nos queda la ecuación

$$6y^2 - 10\sqrt{2}x - 4 = 0.$$



Entonces $h = -\sqrt{2}/5$, $k = 0$ y $p = 5/(6\sqrt{2})$. Por lo tanto, la parametrización en el sistema XY es

$$\begin{cases} x(t) = \frac{1}{60}(-12 - 50t + 25t^2), \\ y(t) = \frac{1}{60}(-12 + 50t + 25t^2), \end{cases} t \in [-s, s], s > 0.$$

El estudio del caso $A'x'^2 + D'x' + E'y' + F = 0$ queda como ejercicio.

La elipse. Si la ecuación canónica de la elipse es $\frac{(x-h)^2}{a^2} + \frac{(y-k)^2}{b^2} = 1$, una parametrización es

$$\begin{cases} x(t) = h + a \cos t, \\ y(t) = k + b \sin t, \end{cases} t \in [0, 2\pi].$$

En particular, la circunferencia $(x-h)^2 + (y-k)^2 = r^2$ se parametriza como

$$\begin{cases} x(t) = h + r \cos t, \\ y(t) = k + r \sin t, \end{cases} t \in [0, 2\pi].$$

Si $Ax^2 + Bxy + Cy^2 + Dx + Ey + F = 0$ es la ecuación de una elipse, al aplicar una rotación que elimine el término “ xy ”, obtenemos

$$A'x'^2 + C'y'^2 + D'x' + E'y' + F = 0$$

Completando cuadrados nos queda

$$\frac{(x'-h)^2}{F'/A'} + \frac{(y'-k)^2}{F'/C'} = 1,$$

donde $h = -D'/2A'$, $k = -E'/2C'$, $F' = -F + D'^2/4A' + E'^2/4C'$. Esta información es suficiente para parametrizar la elipse con $\begin{pmatrix} x'(t) \\ y'(t) \end{pmatrix}$ en el sistema $X'Y'$. La parametrización $\begin{pmatrix} x(t) \\ y(t) \end{pmatrix}$ en el sistema XY se obtiene con

$$\begin{pmatrix} x(t) \\ y(t) \end{pmatrix} = \begin{pmatrix} \cos \theta & -\sin \theta \\ \sin \theta & \cos \theta \end{pmatrix} \begin{pmatrix} x'(t) \\ y'(t) \end{pmatrix}, \quad t \in [0, 2\pi],$$

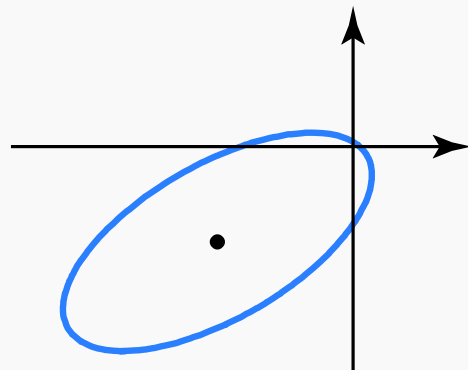
donde θ es el ángulo de rotación.

Ejemplo 8.11

Parametrizar la cónica $2x^2 - 2\sqrt{3}xy + 4y^2 + 5x + 6y - 1 = 0$.

Solución: Como $B^2 - 4AC = -20 < 0$ y $(A+C)(4ACF + BDE - AE^2 - CD^2 - FB^2) = 6(-192 - 60\sqrt{3}) < 0$, se trata de una elipse. El ángulo de rotación es $\theta = \pi/6$. Al aplicar la rotación nos queda la ecuación

$$x^2 + \left(3 + \frac{5\sqrt{3}}{2}\right)x + 5y^2 + \left(-\frac{5}{2} + 3\sqrt{3}\right)y - 1 = 0.$$



Entonces $h = -3.66506$, $k = -0.269615$, $a = 3.84658$ y $b = 1.72024$. Por tanto,

$$\begin{aligned} x'(t) &= -3.66506 + 3.84658 \cos t \\ y'(t) &= -0.269615 + 1.72024 \sin t. \end{aligned}$$

La parametrización en el sistema XY es

$$\begin{pmatrix} x(t) \\ y(t) \end{pmatrix} = \begin{pmatrix} \frac{\sqrt{3}}{2} & -\frac{1}{2} \\ \frac{1}{2} & \frac{\sqrt{3}}{2} \end{pmatrix} \begin{pmatrix} x'(t) \\ y'(t) \end{pmatrix} = \begin{pmatrix} -3.03923 + 3.33123 \cos t - 0.860121 \sin t \\ -2.06603 + 1.92329 \cos t + 1.48977 \sin t \end{pmatrix}, \quad t \in [0, 2\pi],$$

El centro de la elipse, en XY , es $(-3.03923, -2.06603)$.

La Hipérbola. Si la ecuación canónica de la hipérbola es $\frac{(x-h)^2}{a^2} - \frac{(y-k)^2}{b^2} = 1$, una parametrización es

$$\begin{cases} x(t) = h + a \cosh t, \\ y(t) = k + b \sinh t, \end{cases} \quad t \in [-s, s], \quad s > 0.$$

Esta parametrización solo es para la rama derecha de la hipérbola. La rama de la izquierda la obtenemos por reflexión

sobre el eje $x = h$, es decir,

$$\begin{cases} x(t) = 2h - (h + a \cosh t), \\ y(t) = k + b \sinh t, \end{cases} \quad t \in [-s, s], s > 0.$$

Si $Ax^2 + Bxy + Cy^2 + Dx + Ey + F = 0$ corresponde a una hipérbola (i.e. si $B^2 - 4AC < 0$ y $B^2 - 4AC > 0$ y $4ACF + BDE - AE^2 - CD^2 - FB^2 \neq 0$), eliminamos el término “ xy ” y obtenemos la forma reducida $A'x^2 + C'y^2 + D'x + E'y + F = 0$. Completando cuadrados obtenemos h , k , a y b pero respecto al sistema $X'Y'$. Si $(x'(t), y'(t))$ es la parametrización en el sistema $X'Y'$, la representación gráfica de la cónica en el sistema XY la podemos hacer con la parametrización

$$\begin{pmatrix} x(t) \\ y(t) \end{pmatrix} = \begin{pmatrix} \cos \theta & -\sin \theta \\ \sin \theta & \cos \theta \end{pmatrix} \begin{pmatrix} x'(t) \\ y'(t) \end{pmatrix},$$

donde θ es el ángulo de rotación. El estudio completo queda como ejercicio.

8.2 Apéndice B: Coordendas Polares

6 Coordenadas polares.

Las coordenadas de un punto en el plano también se pueden establecer fijando un punto O , llamado **punto** u **origen** y construyendo un eje con punto inicial O . Este eje lo llamamos **Eje Polar**. Este nuevo sistema de coordendas se llama “sistema de coordenadas polares”.

A cada punto P en el plano se le pueden asignar las coordenadas (r, θ) (llamadas *coordenadas polares del punto*) de la manera que se indica en la figura que sigue,

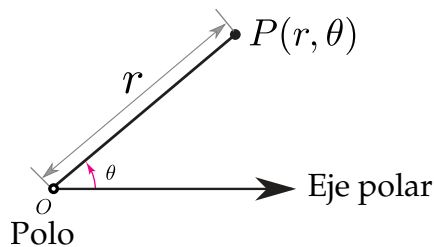


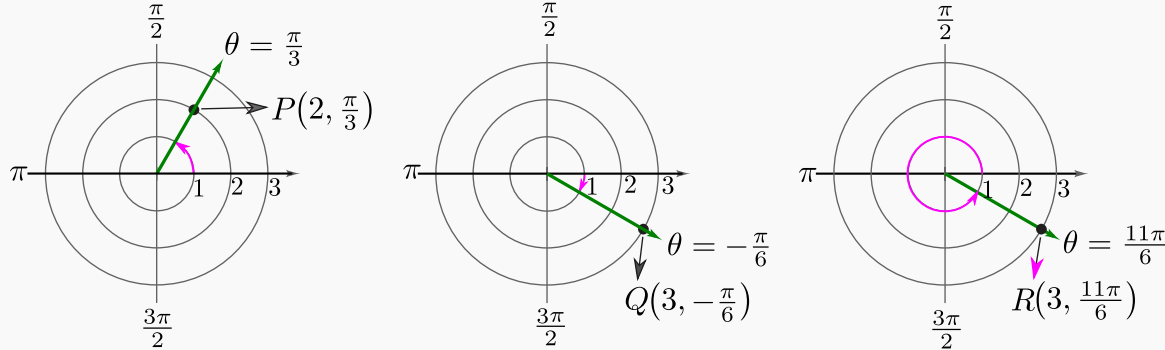
Figura 8.8: Coordenadas polares de P .

- r es la distancia de O a P . Más adelante la tomaremos como una “distancia dirigida”, es decir, el signo “ $-$ ” invierte la dirección.
- θ es el ángulo desde el Eje Polar hasta el segmento \overline{OP}

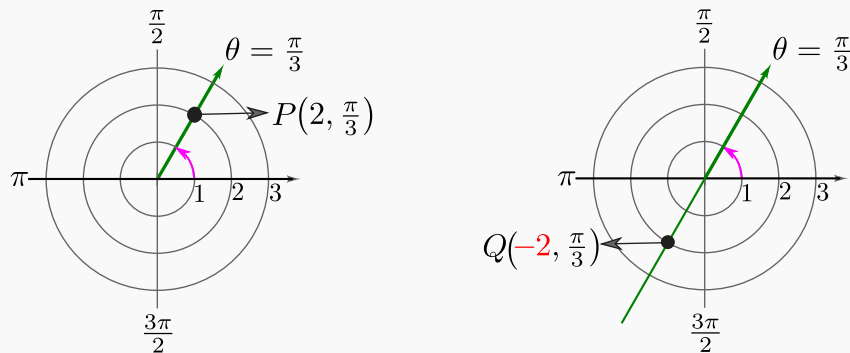
Ejemplo 8.12

- a.) El punto $P\left(2, \frac{\pi}{3}\right)$ está a 2 unidades del polo. El ángulo desde el Eje Polar hasta \overline{OP} es $\theta = \frac{\pi}{3}$.

- b.) El punto $Q\left(3, -\frac{\pi}{6}\right)$ está a 3 unidades del polo. El ángulo desde el Eje Polar hasta \overline{OQ} es $\theta = -\frac{\pi}{6}$.
- c.) El punto $R\left(3, \frac{11\pi}{6}\right)$ está a 3 unidades del polo. El ángulo desde el Eje Polar hasta \overline{OR} es $\theta = \frac{11\pi}{6}$.

Figura 8.9: Puntos P , Q y R .**Ejemplo 8.13** (r como “distancia dirigida”)

- a.) El punto $P\left(2, \frac{\pi}{3}\right)$ está a 2 unidades del polo. El ángulo desde el Eje Polar hasta \overline{OP} es $\theta = \frac{\pi}{3}$.
- b.) El punto $Q\left(-2, \frac{\pi}{3}\right)$ está a 2 unidades del polo pero en dirección opuesta a P . El ángulo desde el Eje Polar hasta \overline{OP} es $\theta = \frac{\pi}{3}$.

Figura 8.10: r como “distancia dirigida”

- c.) El punto $P\left(2, \frac{\pi}{3}\right)$ tambien se puede representar como $P\left(2, \frac{\pi}{3} + 2\pi\right)$ y como $P\left(-2, \frac{\pi}{3} + \pi\right)$

No unicidad. A diferencia de las coordenadas rectangulares de un punto, en coordenadas polares la representación no es única: $P(r, \theta)$ también se puede representar como $P(r, \theta \pm 2k\pi)$ con $k \in \mathbb{Z}$.

Además como r la tomamos como una *distancia dirigida*, entonces $P(r, \theta)$ también se puede representar como $P(-r, \theta \pm (2k+1)\pi)$ con $k \in \mathbb{Z}$.

Adicionalmente, el polo se puede representar con $O(0, \theta)$ con $\theta \in \mathbb{R}$.

35

Ejercicios

8.2.1 Represente, en un sistema de coordenadas polares, los siguientes puntos,

- a.) $(2, \pi)$
- b.) $(-2, \pi)$
- c.) $(3, \pi/4)$
- d.) $(3, 9\pi/4)$
- e.) $(-3, 5\pi/4)$

Conversión de coordenadas

Para empezar podemos establecer una relación inicial entre la coordenada (r, θ) de un punto P y sus respectivas coordenadas cartesianas. La relación se puede ver usando una figura,

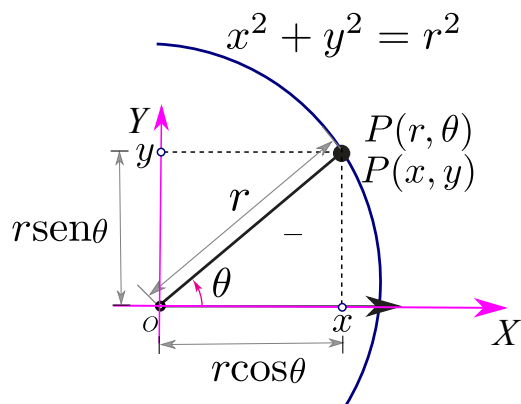


Figura 8.11: Conversión de coordenadas

Conversión de coordenadas polares a coordenadas rectangulares. Deducimos que si tenemos las coordenadas polares (r, θ) de un punto P , entonces las coordenadas cartesianas de P son (x, y) con

$$\begin{cases} x &= r \cos \theta \\ y &= r \sin \theta \end{cases}$$

Conversión de coordenadas rectangulares a coordenadas polares. Si tenemos las coordenadas (x, y) de un punto P , podemos determinar un juego de coordenadas polares con $r \geq 0$ y $\theta \in [0, 2\pi[$.

La función "arctan" usualmente la tomamos como la inversa de la función tangente, por tanto la función "arctan" devuelve ángulos en el intervalo $]-\pi/2, \pi/2]$. Es costumbre hacer algunos ajustes a la función arcotangente de tal manera que, dado u punto punto (x, y) , podamos obtener un juego de coordenadas (r, θ) con el ángulo correcto.

Dado en punto (x, y) , un juego de coordenadas polares para este punto es (r, θ) con

$$\begin{aligned} r &= \sqrt{x^2 + y^2} \\ \theta &= \begin{cases} \arctan(y/x) & \text{si } x > 0 \quad (\text{I y IV cuadrante}) \\ \arctan(y/x) + \pi & \text{si } x < 0 \quad (\text{II y III cuadrante}) \\ \frac{\pi}{2} & \text{si } x = 0 \quad y > 0 \\ -\frac{\pi}{2} & \text{si } x = 0 \quad y < 0 \\ 0 & \text{si } x = 0 \quad y = 0 \quad (\text{convenio}) \end{cases} \end{aligned}$$

Ejemplo 8.14 (Conversión de coordenadas polares a coordenadas rectangulares)

- a.) Consideremos el punto $P(\sqrt{3}, \pi/3)$. Para hacer la conversión a coordenadas rectangulares, usamos la fórmula que establecimos más arriba.

$$(r, \theta) = (\sqrt{3}, \pi/3) \implies \begin{cases} x = \sqrt{3} \cos \pi/3 = \frac{\sqrt{3}}{2} \\ y = \sqrt{3} \sin \pi/3 = \frac{3}{2} \end{cases} \implies (x, y) = \left(\frac{\sqrt{3}}{2}, \frac{3}{2} \right)$$

- b.) Consideremos el punto $P(-\sqrt{3}, \pi/3)$. Para hacer la conversión a coordenadas rectangulares, usamos la fórmula que establecimos más arriba.

$$(r, \theta) = (-\sqrt{3}, \pi/3) \implies \begin{cases} x = -\sqrt{3} \cos \pi/3 = -\frac{\sqrt{3}}{2} \\ y = -\sqrt{3} \sin \pi/3 = -\frac{3}{2} \end{cases} \implies (x, y) = \left(-\frac{\sqrt{3}}{2}, -\frac{3}{2} \right)$$

Ejemplo 8.15 (Conversión de coordenadas rectangulares a coordenadas polares)

- a.) Consideremos el punto $P(-1, 1)$. Para hacer la conversión a coordenadas polares, usamos la fórmula que establecimos más arriba. Observemos que $P(-1, 1)$ está en **II cuadrante**.

$$(x, y) = (-1, 1) \implies \begin{cases} r &= \sqrt{2} \\ \theta &= \arctan\left(\frac{1}{-1}\right) + \pi = -\frac{\pi}{4} + \pi = \frac{3\pi}{4} \end{cases} \implies (r, \theta) = \left(\sqrt{2}, \frac{3\pi}{4}\right)$$

- b.) Consideremos el punto $P(0, 2)$. Para hacer la conversión a coordenadas polares, usamos la fórmula que establecimos más arriba. Observemos que $P(0, 2)$ está en el eje Y .

$$(x, y) = (0, 2) \implies \begin{cases} r &= \sqrt{4} = 2 \\ \theta &= \frac{\pi}{2} \end{cases} \implies (r, \theta) = \left(2, \frac{\pi}{2}\right)$$

36**Ejercicios**

8.2.2 Haga la conversión a coordenadas cartesianas de los siguientes puntos,

- | | |
|-----------------|-------------------|
| a.) $(1, \pi)$ | c.) $(2, \pi/3)$ |
| b.) $(-1, \pi)$ | d.) $(-2, \pi/3)$ |

8.2.3 Haga una conversión a coordenadas polares de los siguientes puntos,

- | | |
|------------------------------|-----------------------------|
| a.) $(0, -5)$ | d.) $(\sqrt{3}, -\sqrt{3})$ |
| b.) $(-5, 0)$ | e.) $(\sqrt{2}, \sqrt{3})$ |
| c.) $(-\sqrt{3}, -\sqrt{3})$ | |

Curvas en coordenadas polares

Para hacer la conversión de la ecuación de una curva en coordenadas rectangulares a una ecuación en coordenadas polares, usamos las relaciones

$$r = \sqrt{x^2 + y^2}, \quad \begin{cases} x &= r \cos \theta \\ y &= r \sin \theta \end{cases}$$

A veces es posible despejar $r = g(\theta)$, con excepción de algunos valores de r , y este despeje aún así es adecuado para nuestros cálculos.

Los dos primeros ejemplos que siguen son las curvas más simples: $r = \text{constante}$ y $\theta = \text{constante}$.

Ejemplo 8.16 (Circunferencias y rayos)

a.) Las circunferencia $x^2 + y^2 = a^2$ tiene ecuación polar $r = a$ (función constante).

En efecto, sustituyendo obtenemos

$$\color{blue}{x^2 + y^2} = a^2$$

$$r^2 = a^2$$

$$\color{red}{r} = a$$

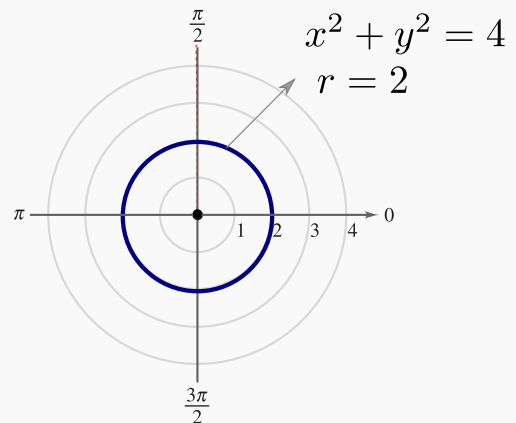


Figura 8.12: Circunferencia $r = 2$

b.) La recta de ecuación $y = mx$ (una recta que pasa por el origen) tiene ecuación $\theta = \arctan(m)$

En efecto, sustituyendo obtenemos

$$\color{blue}{y} = m\color{red}{x}$$

$$\color{blue}{r \sin \theta} = m \color{red}{r \cos \theta}$$

$$\tan \theta = m$$

$$\color{red}{\theta} = \arctan(m)$$

Por ejemplo, la recta $y = \sqrt{3}x$ tiene ecuación en polares

$$\theta = \arctan \sqrt{3} = \frac{\pi}{3}.$$

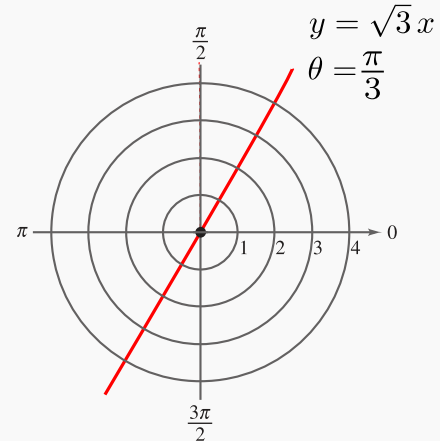


Figura 8.13: Recta $\theta = \frac{\pi}{3}$

Ejemplo 8.17 (Ecuación polares de una curva)

Obtener una ecuación en coordenadas polares de la curva $(x^2 + y^2)^3 = 2^5x$.

Solución: Sustituyendo,

$$(x^2 + y^2)^3 = 2^5x$$

$$(r^2)^3 = 2^5 r \cos \theta$$

$$r^6 = 2^5 r \cos \theta$$

$$r = 2\sqrt[5]{\cos \theta}$$

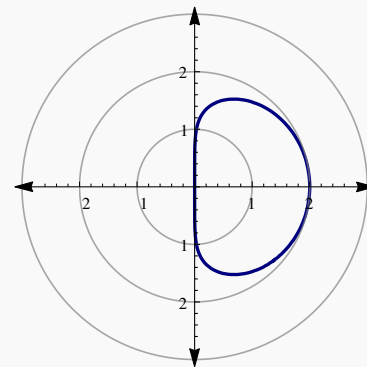


Figura 8.14: Curva $(x^2 + y^2)^3 = 2^5x$.

37

Ejercicios

8.2.4 Obtener una ecuación en coordenadas polares para la curva $(x^2 + y^2)^3 = x^3$.

8.2.5 Obtener una ecuación en coordenadas polares para la curva $y = x$

8.2.6 Obtener una ecuación en coordenadas polares para la curva $(x + 1)^2 + y^2 = 1$

8.2.7 Obtener una ecuación en coordenadas polares para la curva $x^2 + y^2 = 2\sqrt{x^2 + y^2} + x$

Graficar en coordenadas polares.

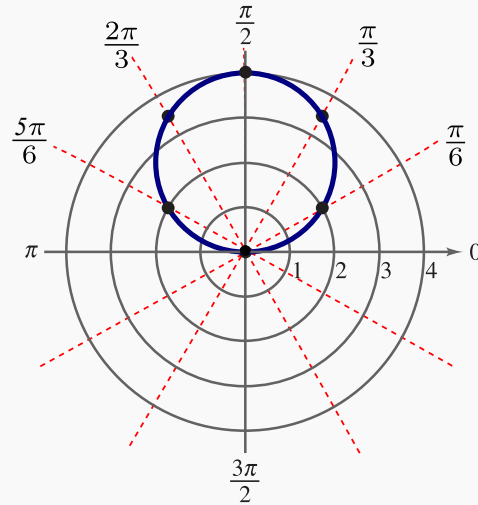
En general, en este curso, nos interesan curvas de ecuación $r = g(\theta)$. La manera de hacer la representación gráfica de curvas sencillas es (por ahora) representar algunos puntos de la curva y usar propiedades de simetría para completar el gráfico.

Ejemplo 8.18

Realizar el gráfico de la función $r = 4 \sin \theta$

Solución: Hacemos una tabla de valores para esta función tomando valores de θ en $[0, 2\pi]$.

θ	r
0	0
$\frac{\pi}{6}$	2
$\frac{\pi}{3}$	$2\sqrt{3}$
$\frac{\pi}{2}$	4
$\frac{2\pi}{3}$	$2\sqrt{3}$
$\frac{5\pi}{6}$	2
π	0
$\frac{7\pi}{6}$	-2
$\frac{3\pi}{2}$	-4

Figura 8.15: Gráfica de $r = 4 \sin \theta$

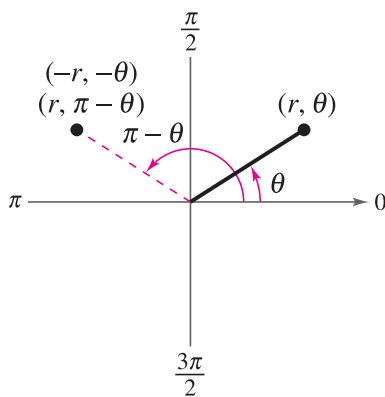
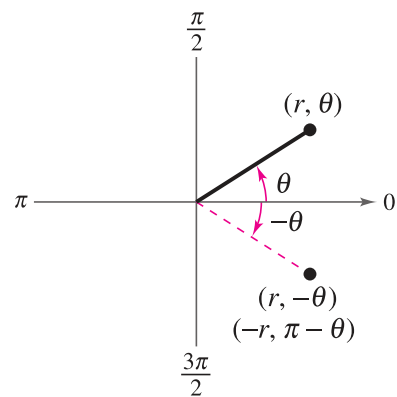
Nota: Observe que, para esta función, en realidad solo se necesita una tabla de valores en $[0, \pi]$

Nota: Observe que esta curva, en coordendas rectangulares, tiene ecuación $x^2 + (y - 2)^2 = 4$. Una parametrización es $r(t) = (2 \cos(t) + 2, 2 \sin(t))$ y en para esta ecuación, $t \in [0, 2\pi]$...

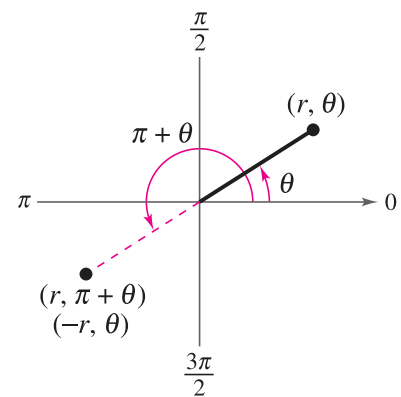
Simetría

En el ejemplo 8.18 podemos notar que la gráfica presenta simetría respecto al eje Y . Haber notado esto nos hubiera permitido conocer propiedades de simetría de la gráfica. Hay una manera de verificar si una curva presenta simetría respecto a la línea $\theta = \pi/2$, respecto al Eje Polar y respecto al Polo. Estas pruebas de simetría solo dan “condiciones suficientes”, es decir, si la prueba de simetría falla, podría ser todavía que la curva presente simetría. Esto es así porque como las coordenadas en polares no son únicas, las curvas pueden tener ecuaciones alternativas. En algunas de estas ecuaciones las pruebas de simetría funcionan, en otras no.

Pruebas de simetría. En este curso solo consideramos tres pruebas de simetría.

(a) Simetría respecto a la recta $\theta = \pi/2$ 

(b) Simetría respecto al Eje Polar



(c) Simetría respecto al Polo

(Pruebas de simetría: Suficientes pero no necesarias)

Prueba de simetría

Aplicar a $r = f(\theta)$ y simplificar

$$\text{Simetría respecto a la recta } \theta = \pi/2 \quad r = f(\pi - \theta) \quad \text{o} \quad -r = f(-\theta)$$

$$\text{Simetría respecto al Eje Polar} \quad r = f(-\theta) \quad \text{o} \quad -r = f(\pi - \theta)$$

$$\text{Simetría respecto al Polo} \quad r = f(\pi + \theta) \quad \text{o} \quad -r = f(\theta)$$

Para aplicar las pruebas de simetría es útil recordar que

$$\left\{ \begin{array}{lcl} \cos(-\theta) & = & \cos(\theta) \\ \sin(-\theta) & = & -\sin(\theta) \\ \cos(\pi - \theta) & = & -\cos(\theta) \\ \sin(\pi - \theta) & = & \sin(\theta) \\ \cos(\pi + \theta) & = & -\cos(\theta) \\ \sin(\pi + \theta) & = & -\sin(\theta) \end{array} \right.$$

Ejemplo 8.19

Aplicar las pruebas de simetría la curva de ecuación $r = 3 + 2\cos\theta$.

Solución:

a.) Simetría respecto a la recta $\theta = \pi/2$: La prueba no dice nada.

$r = 3 + 2 \cos \theta$. Primera sustitución: $r = 3 + 2 \cos(\pi - \theta) = 3 - 2 \cos \theta$, falla!

$r = 3 + 2 \cos \theta$. Segunda sustitución: $-r = 3 + 2 \cos(-\theta) \implies r = -3 - 2 \cos \theta$, falla!

b.) Simetría respecto al Eje Polar: Sí hay simetría.

$r = 3 + 2 \cos \theta$. Primera sustitución: $r = 3 + 2 \cos(-\theta) = 3 + 2 \cos \theta \quad \checkmark$

c.) Simetría respecto al Polo: La prueba no dice nada.

$r = 3 + 2 \cos \theta$. Primera sustitución: $r = 3 + 2 \cos(\pi + \theta) = 3 - 2 \cos \theta$, falla!

$r = 3 + 2 \cos \theta$. Segunda sustitución: $-r = 3 + 2 \cos \theta \implies r = -3 - 2 \cos \theta$, falla!

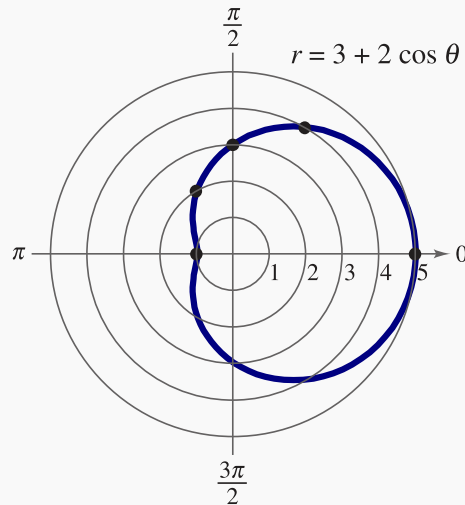


Figura 8.16: La curva $r = 3 + 2 \cos \theta$ presenta simetría respecto al Polo

Prueba rápida de simetría

a.) Las curvas de ecuación $r = f(\sin \theta)$ son simétricas respecto a la línea $\theta = \frac{\pi}{2}$

b.) Las curvas de ecuación $r = f(\cos \theta)$ son simétricas respecto al Eje Polar

38**Ejercicios**

- 8.2.8** Verifique que la curva $r = 1 - 2 \cos \theta$ es simétrica respecto al Polo
- 8.2.9** Aplicar las pruebas de simetría a la curva de ecuación $r = 2 \cos 3\theta$.
- 8.2.10** Aplicar las pruebas de simetría a la curva de ecuación $r^2 = a^2 \cos 3\theta$ con a constante no nula.
- 8.2.11** Aplicar las pruebas de simetría a la curva de ecuación $r^2 = a^2 \cos 2\theta$ con a constante no nula.
- 8.2.12** Aplicar las pruebas de simetría a la curva de ecuación $r = 3 \cos 2\theta$ con a constante no nula.

Máximos, ceros y tangentes al polo.

Una ayuda adicional para realizar el gráfico de una curva con ecuación en coordenadas polares, es conocer los ángulos para los que $|r|$ es máximo y para los cuales $r = 0$ y adicionalmente conocer las *tangentes al polo*.

Máximo valor de $|r|$. Para curvas sencillas podemos obtener el valor máximo de $|r|$ por inspección, usando el hecho de que $-1 \leq \sin \theta \leq 1$ y $-1 \leq \cos \theta \leq 1$.

Adicionalmente podríamos aplicar cálculo: Los puntos críticos los obtenemos resolviendo la ecuación $\frac{dr}{d\theta} = 0$.

Ceros. Resolvemos la ecuación trigonométrica $f(\theta) = 0$

Tangentes al Polo. Sea C una curva de ecuación $r = f(\theta)$ con f una función derivable. Si la gráfica de C pasa por el Polo cuando $\theta = \alpha$ entonces $f(\alpha) = 0$.

Una tangente $\theta = \alpha$ a la curva $r = f(\theta)$ es una “tangente al polo” si $f'(\alpha) = 0$.

Como $r = f(\theta)$, $\begin{cases} x &= f(\theta) \cos \theta \\ y &= f(\theta) \sin \theta \end{cases}$ y entonces, las pendientes de las tangentes vienen dadas por

$$\frac{dy}{dx} = \frac{\frac{dy}{d\theta}}{\frac{dx}{d\theta}} = \frac{f'(\theta) \sin \theta + f(\theta) \cos \theta}{f'(\theta) \cos \theta - f(\theta) \sin \theta} \quad (\text{cuidado: La pendiente de la tangente no es } f'(\theta))$$

Así, la recta $\theta = \alpha$ es una tangente a la curva si existe la derivada

$$\left. \frac{dy}{dx} \right|_{\theta=\alpha} = \frac{f'(\alpha) \sin \alpha + f(\alpha) \cos \alpha}{f'(\alpha) \cos \alpha - f(\alpha) \sin \alpha}$$

El caso más sencillo es cuando $f(\alpha) = 0$ y $f'(\alpha) \neq 0$, en este caso: $\left. \frac{dy}{dx} \right|_{\theta=\alpha} = \tan \alpha$.

Tangentes y Tangentes al Polo

- La línea $\theta = \alpha$ es una *tangente al polo* en la gráfica de la curva C si $f(\alpha) = 0$ y $f'(\alpha) \neq 0$
- La línea $\theta = \alpha$ es una *tangente al polo* vertical, en la gráfica de la curva C , si $f(\alpha) = 0$ y $\left| \frac{dy}{dx} \right| \rightarrow \infty$ si $\theta \rightarrow \alpha$
- La línea $\theta = \alpha$ es una *tangente al polo* horizontal, en la gráfica de la curva C , si $f(\alpha) = 0$ y $\left. \frac{dy}{dx} \right|_{\theta=\alpha} = 0$.
- También puede pasar que la derivada solo exista como un límite unilateral o que dy/dx se tenga que calcular como una forma indeterminada en el caso de que $f(\alpha) = 0$ y $f'(\alpha) = 0$.

Ejemplo 8.20

Realizar el gráfico de la curva de ecuación $r = 1 - 2 \cos \theta$.

Solución: Para realizar la gráfica vamos a aplicar las pruebas de simetría, vamos a calcular los valores máximos, los ceros y las tangentes al polo. Finalmente haremos una tabla de valores.

- Simetría:** La curva es simétrica respecto al Eje Polar.
- El valor máximo de $|r|$:** Por inspección: Como $2 \geq -2 \cos \theta \geq -2$, entonces el valor máximo es $|r| = 3$ cuando $\theta = \pi$
- Ceros en $[0, 2\pi]$:** $1 - 2 \cos \theta = 0 \implies \cos \theta = \frac{1}{2} \implies \theta = \pi/3 \text{ y } \theta = 5\pi/3$.
- Tangentes al Polo en $[0, 2\pi]$:** La función se anula en $\alpha = \pi/3, 5\pi/3$. Como $r'(\theta) = 2 \sin \theta$ y como $r'(\pi/3) \neq 0$ y $r'(5\pi/3) \neq 0$, entonces las rectas $\theta = \pi/3$ y $\theta = 5\pi/3$ son dos tangentes al Polo.
- Tabla de valores y gráfico**

θ	0	$\pi/6$	$\pi/3$	$\pi/2$	$2\pi/3$	π
r	-1	≈ -0.73	0	1	2	3

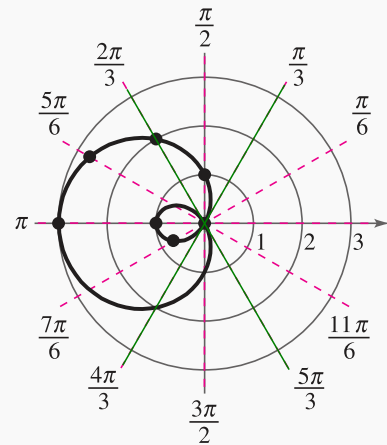


Figura 8.17: Curva de ecuación $r = 1 - 2 \cos \theta$.

Nota sobre tangentes al Polo. Si f' no está definida en el cero $\theta = \alpha$ entonces no se pueden definir tangentes al Polo para este valor del ángulo. Como ya indicamos, puede pasar que la derivada solo exista como un límite unilateral o que dy/dx se tenga que calcular como una forma indeterminada en el caso de que $f(\alpha) = 0$ y $f'(\alpha) = 0$. Por ejemplo, la curva de ecuación $r = \sqrt{\cos(2\theta)}$ tiene ceros en $\theta = \pm\pi/4$ pero su derivada $r'(\theta) = \frac{-\operatorname{sen}(2\theta)}{\sqrt{\cos(2\theta)}}$ está definida solo si $\cos(2\theta) > 0$. Aún así, la derivada existe como límite unilateral:

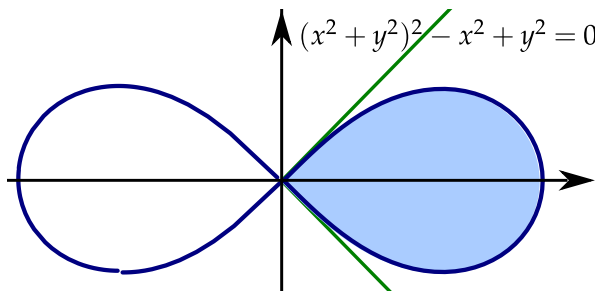


Figura 8.18: Las rectas $\theta = \pm\pi/4$ son tangentes al Polo.

Las rectas $\theta = \pm\pi/4$ son “tangentes en el límite”, pues como

$$\begin{aligned} x &= r(\theta) \cos \theta \\ y &= r(\theta) \sin \theta \end{aligned}$$

Entonces,

$$\frac{dy}{dx} = \frac{\frac{dy}{d\theta}}{\frac{dx}{d\theta}} = \frac{r'(\theta) \sin \theta + r(\theta) \cos \theta}{r'(\theta) \cos \theta - r(\theta) \sin \theta} = \frac{\frac{-\operatorname{sen}(2\theta)}{\sqrt{\cos(2\theta)}} \operatorname{sen} \theta + \sqrt{\cos(2\theta)} \cos \theta}{\frac{-\operatorname{sen}(2\theta)}{\sqrt{\cos(2\theta)}} \cos \theta - \sqrt{\cos(2\theta)} \operatorname{sen} \theta} \rightarrow 1 \text{ si } \theta \rightarrow \frac{\pi}{4}^+$$

39**Ejercicios**

8.2.13 Realizar el gráfico de las curvas cuya ecuación se indica en la lista que sigue. Usar simetría, ceros, valores máximos de $|r|$, tangentes al Polo y una tabla de valores.

- a.) $r = 2$
- b.) $\theta = 3\pi/4$
- c.) $r = 3 \cos \theta$
- d.) $r = 3 \sin \theta$
- e.) $r = 2 + 3 \cos \theta$
- f.) $r = 2 - 3 \cos \theta$
- g.) $r = 4 \cos 2\theta$
- h.) $r = 4 \sin 2\theta$

Curvas especiales

Hay muchas curvas importantes que tienen una ecuación simple en coordenadas polares. A continuación hacemos un resumen de algunas de estas curvas.

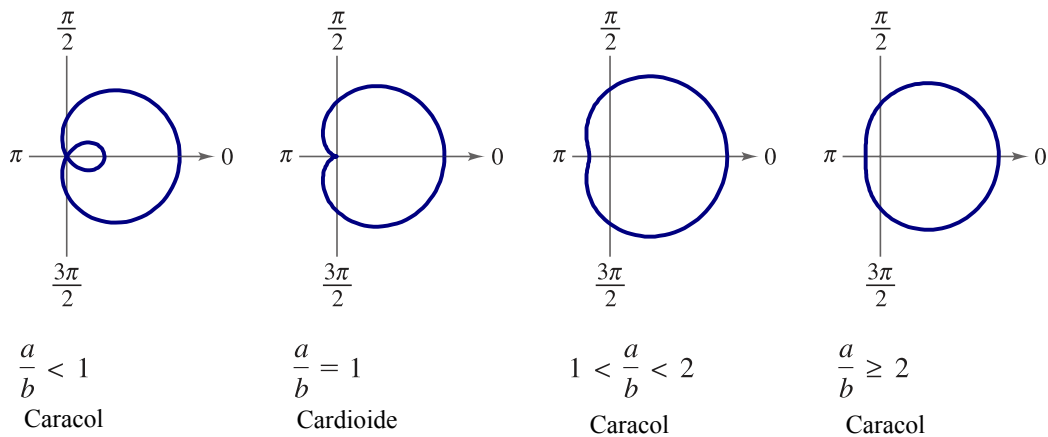
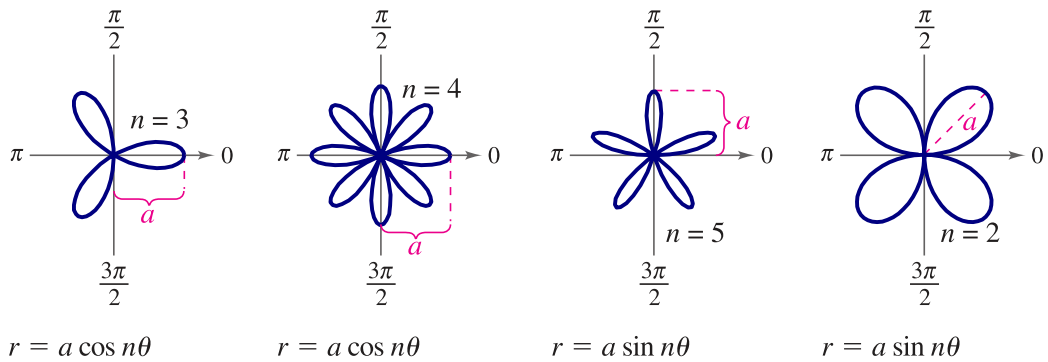
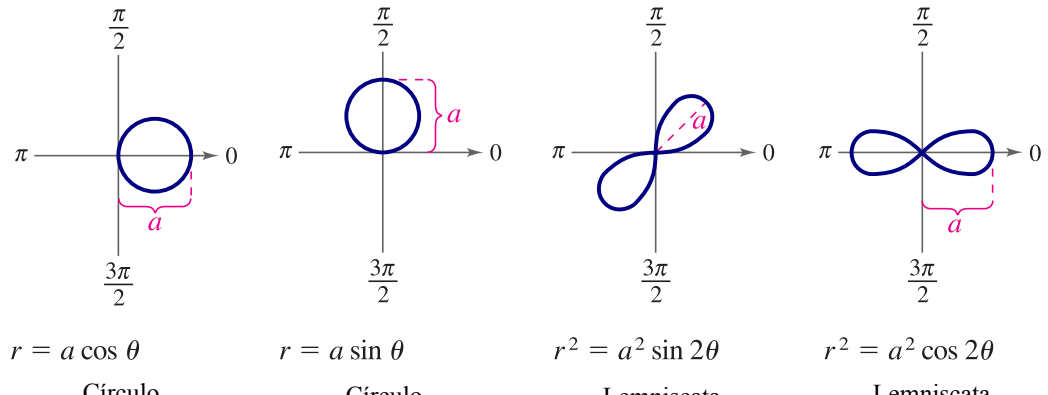
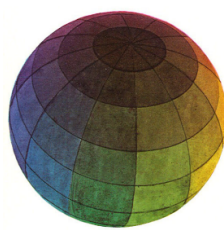


Figura 8.19: Caracoles $r = a \pm b \cos \theta$, $r = a \pm b \sin \theta$, $a > 0$, $b > 0$.

**Figura 8.20:** Rosas de n pétalos si n es impar y de $2n$ pétalos si n es par**Figura 8.21:** Círculos y Lemniscatas



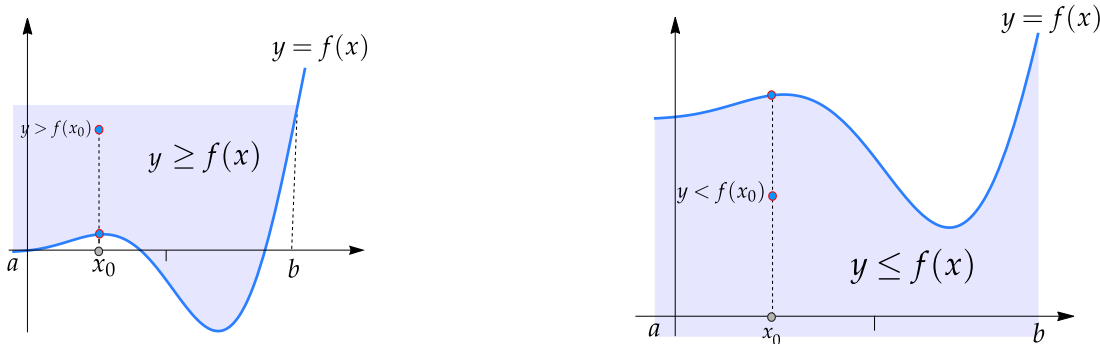
Revisado: Enero, 2018
Versión actualizada de este libro y el formato CDF:
<http://tecdigital.tec.ac.cr/revistamatematica/Libros/>

8.3 Apéndice C: Representación gráfica de regiones definidas por desigualdades

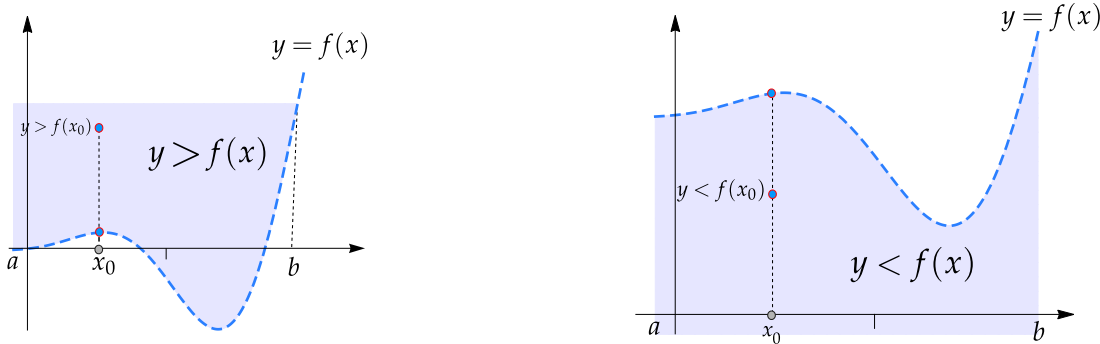
En general, cualquier combinación de ecuaciones y desigualdades pueden definir una región, de manera implícita. Esta sección se introduce casos sencillos.

- Desigualdades del tipo $y \geq f(x)$ o $y \leq f(x)$ en un intervalo $[a, b]$.

La representación gráfica de la curva $y = f(x)$ consiste de la representación de los pares (x, y) con $y = f(x)$. Los puntos (x, y) con $y \geq f(x)$ conforman una región por encima de la representación gráfica de f (incluyendo esta representación) y, de manera análoga, los puntos (x, y) con $y \leq f(x)$ conforman una región por debajo de la representación gráfica de f (incluyendo esta representación).



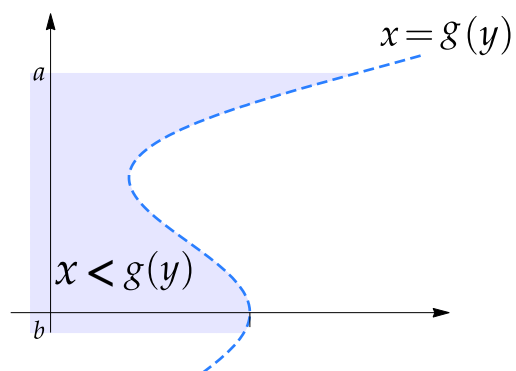
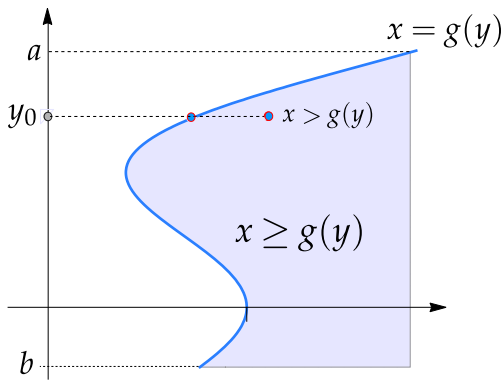
- Desigualdades del tipo $y > f(x)$ o $y < f(x)$ en un intervalo $[a, b]$. Este caso es similar al anterior, como la desigualdad es estricta, no incluye la curva $y = f(x)$.



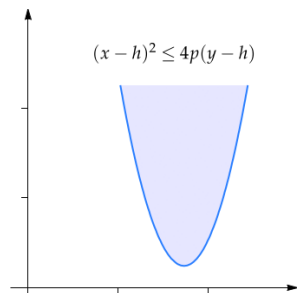
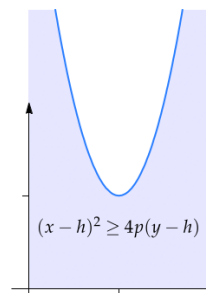
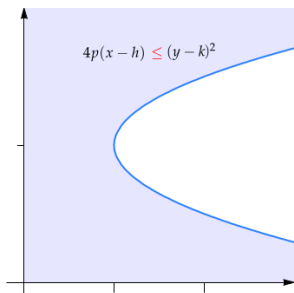
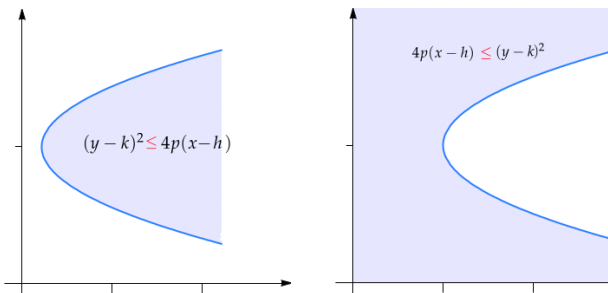
- Desigualdades del tipo $x \geq g(y)$ o $x \leq g(y)$ en un intervalo $[a, b]$.

La representación gráfica de la curva $x = g(y)$ consiste de la representación de los pares (x, y) con $x = g(y)$. Los puntos (x, y) con $x \geq g(y)$ conforman una región a la derecha de la representación gráfica de g (incluyendo esta representación) y, de manera análoga, los puntos (x, y) con $x \leq g(y)$ conforman la región a la izquierda de la representación gráfica de g (incluyendo esta representación.)

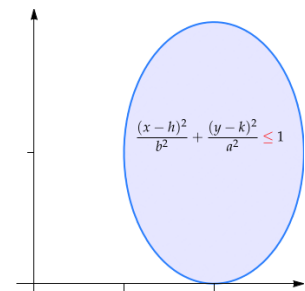
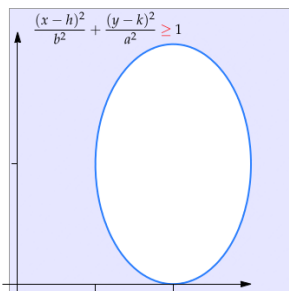
Cuando la desigualdad es estricta, la región no incluye la curva.



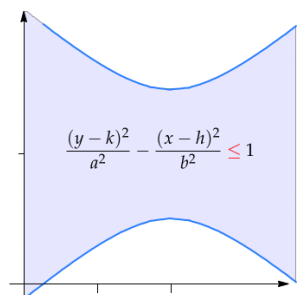
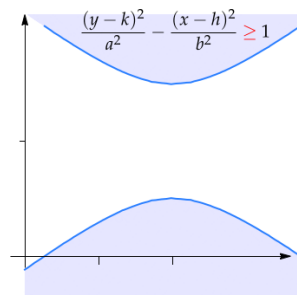
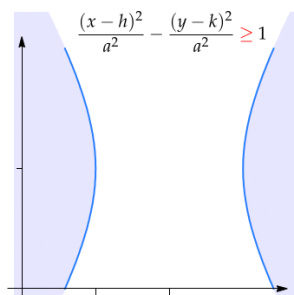
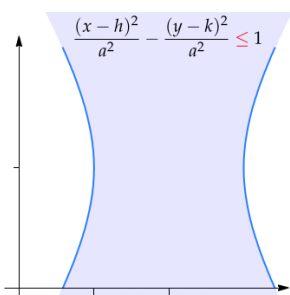
● Paráboles.



● Elipses.



● Hipérbolas.



Ahora vamos a ver un ejemplo de cómo se puede representar el dominio de una función de dos variables.

Ejemplo 8.21 (Dominio de una función).

Determine y realice la representación gráfica del dominio de la función $f(x,y) = \sqrt{3y - 6x + 3} + \ln(1 - x) + 1$

Solución: Necesitamos que $3y - 6x + 3 \geq 0$ y que $1 - x > 0$, es decir,

$$D_f = \{(x,y) \in \mathbb{R}^2 \text{ tal que } y \geq 2x - 1 \text{ y } x < 1\}$$

Representación gráfica: El dominio de f es la *intersección* de la región $y \geq 2x - 1$ (región arriba de la recta $y = 2x - 1$, incluida) y de la región $x < 1$ (región a la izquierda de la recta $x = 1$, sin incluirla).

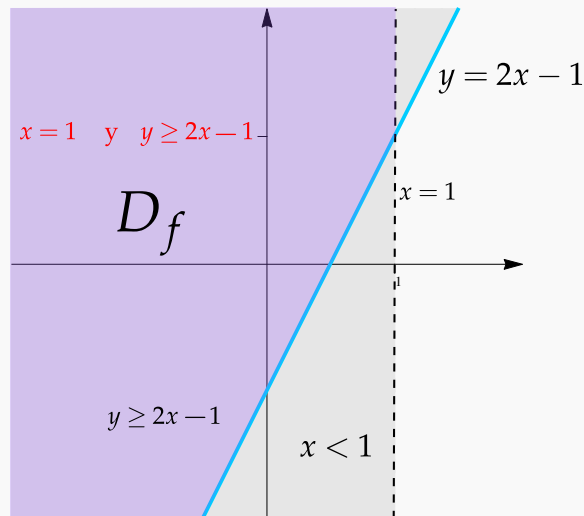


Figura 8.22: $D_f = \{(x,y) \in \mathbb{R}^2 \text{ tal que } y \geq 2x - 1 \text{ y } x < 1\}$

Ejemplo 8.22 (Dominio de una función).

Determine y realice la representación gráfica del dominio de la función $f(x,y) = \frac{1}{y^2 - 2y - 4x - 3} + \frac{1}{\sqrt{x-y}}$

Solución: Necesitamos $x - y > 0$ y que $y^2 - 2y - 4x - 3 \neq 0$. Completando cuadrados obtenemos que la ecuación $y^2 - 2y - 4x - 3 = 0$ corresponde a la parábola $(y-1)^2 = 4(x+1)$.

$$D_f = \{(x,y) \in \mathbb{R}^2 \text{ tal que } y < x \text{ y } (y-1)^2 \neq 4(x+1)\}$$

Representación gráfica: El dominio de f es la región $y < x$ (región abajo de la recta $y = x$, sin incluirla) *excluyendo* la parábola $(y - 1)^2 = 4(x + 1)$.

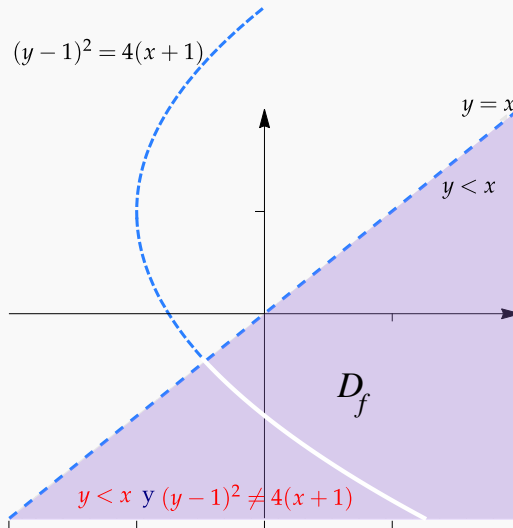


Figura 8.23: $D_f = \{(x, y) \in \mathbb{R}^2 \text{ tal que } y < x \text{ y } (y - 1)^2 \neq 4(x + 1)\}$

Ejemplo 8.23 (Dominio de una función).

Determine y realice la representación gráfica del dominio de la función $f(x, y) = \ln(x - y^2) + \sqrt{1 - y^2 - \frac{x^2}{2}}$

Solución: Necesitamos que $x - y^2 > 0$ y que $1 - y^2 - \frac{x^2}{2} \geq 0$, es decir,

$$D_f = \left\{ (x, y) \in \mathbb{R}^2 \text{ tal que } x > y^2 \text{ y } y^2 + \frac{x^2}{2} \leq 1 \right\}$$

Representación gráfica: El dominio de f es la *intersección* de la región $x > y^2$ (región a la derecha de la parábola $x = y^2$, sin incluirla) y de la región $y^2 + \frac{x^2}{2} \leq 1$ (el interior de la elipse $y^2 + \frac{x^2}{2} = 1$ incluyendo la elipse).

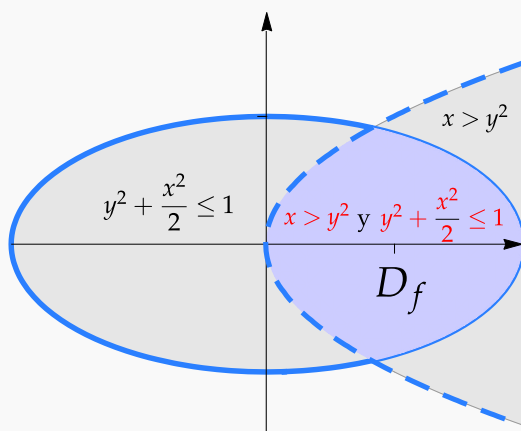


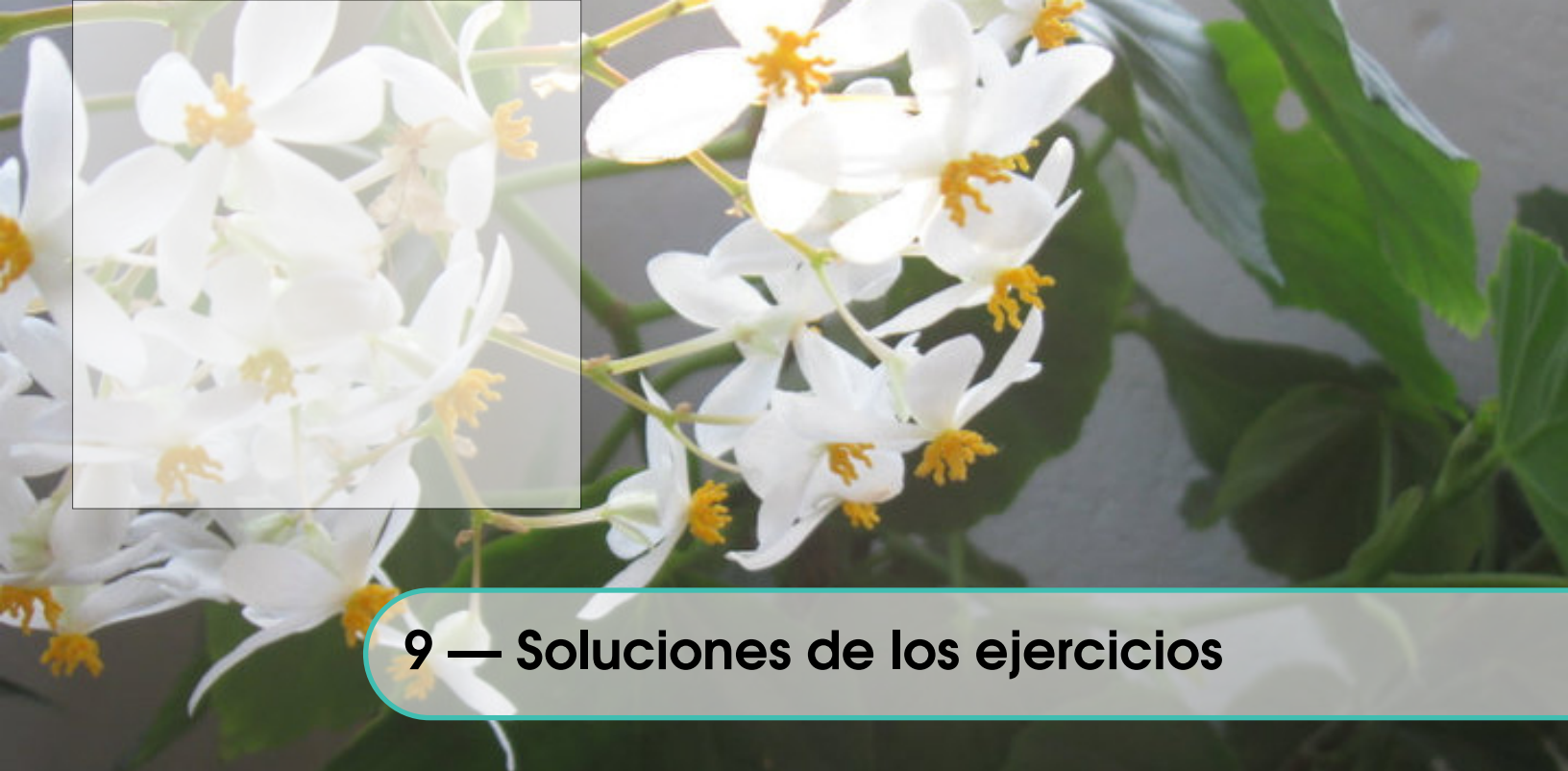
Figura 8.24: $D_f = \left\{ (x,y) \in \mathbb{R}^2 \text{ tal que } x > y^2 \text{ y } y^2 + \frac{x^2}{2} \leq 1 \right\}$



Bibliografía

- [1] James J. Callahan. *Advanced Calculus. A Geometric View*. Springer. 1st Edition. 2010.
- [2] Serge Lang. *Calculus of Several Variables*. Addison-Wesley. 1973.
- [3] Klaus Weltner, Wolfgang J. Weber, Jean Grosjean y Peter Schuster. *Mathematics for Physicists and Engineers*. Springer-Verlag Berlin Heidelberg. 2009.
- [4] Wilfred Kaplan. *Advanced Calculus*. Pearson; 5 edition. 2002.
- [5] Sadri Hassani. *Mathematical Methods For Students of Physics and Related Fields*. Springer. 2009.
- [6] Susan J. Colley. *Vector Calculus*. Pearson Education, Inc., 4ta ed. 2012.
- [7] Andrew Pressley. *Elementary Differential Geometry*. 2nd edition. Springer-Verlag London Limited. 2010.
- [8] B. Kusse.; E. Westwing. *Mathematical Physics. Applied Mathematics for Scientists and Engineers*. 2nd Edition. Wiley-VCH Verlag GmbH & Co. 2006.
- [9] Claudio Pita R. *Cálculo Vectorial*. Prentice-Hall. 1995.
- [10] Louis Brand. *Advanced Calculus. An Introduction to Classical Analysis*. Wiley & Sons, Inc. 1995.
- [11] Tom Apostol. *Calculus*. Wiley. 1967
- [12] J.M. Aarts. “*Plane and Solid Geometry*.” Springer. 2007.
- [13] A. Chiang. “*Métodos Fundamentales de Economía Matemática*”. McGraw-Hill. 1987
- [14] J. L. Coolidge. “*A history of the conic sections and quadric surfaces*”. Dover publications, Inc. 1968.
- [15] E. Dowling. “*Matemáticas Para Economistas*”. McGraw-Hill. 1982

- [16] Eric W. Weisstein, “Quadratic Surface.” From MathWorld—A Wolfram Web Resource. <http://mathworld.wolfram.com/QuadraticSurface.html>
- [17] H. Eves. “*An introduction to the history of mathematics*”. Holt, Rinehart and Winston, Inc. 1969.
- [18] Jerrold Marsden, Anthony Tromba. *Cálculo Vectorial*. Addison-Wesley, 2004.
- [19] M. Minoux. “*Mathematical Programming*”. Wiley & Sons. New York. 1986
- [20] Walter Mora F. “Gráficos 3D interactivos con Mathematica y LiveGraphics3D ”. Revista digital Matemática, Educación e Intenet (<http://tecdigital.tec.ac.cr//revistamatematica/>). Volumen 6, número 2. 2005.
- [21] Jorge Poltronieri. *Cálculo Integral: Integración Múltiple*. Editorial Cimpa. 1ra ed. Escuela de Matemática, Universidad de Costa Rica. 2006.
- [22] Jorge Poltronieri. “*Cálculo Integral: Integración de Línea y Superficie*”. Editorial Cimpa. 1ra ed. Escuela de Matemática, Universidad de Costa Rica. 2006.
- [23] Sherman Stein. “*Cálculo con Geometría Analítica*”. McGraw-Hill. 1984.
- [24] Sudhir R. Ghorpade, Balmohan V. Limaye. “*A Course in Multivariable Calculus and Analysis*”. Springer. 2009
- [25] Susan Colley. “*Vector Calculus*”. Pearson. 4ta ed. 2006.
- [26] Rangarajan K. Sundaram. *A First Course in Optimization Theory*. Cambridge University Press. 1996.
- [27] J. Vergara, “*Programación Matemática y Cálculo Económico*”. Ed. Vicens-vives. España. 1975.



9 — Soluciones de los ejercicios

Soluciones del Capítulo 1

1.3.1 Se trata de una parábola con foco en $(2, 3)$ y directriz con ecuación $x = 4$. Por lo tanto, la parábola tiene vértice en $(3, 3)$ y abre hacia la izquierda. Su ecuación es $(y - 3)^2 = -4(x - 3)$.

1.3.2

a.) $2x^2 - 4x + 1 = y \Rightarrow 2(x-1)^2 = y+1 \Rightarrow (x-1)^2 = \frac{1}{2}(y+1)$.

b.) $y^2 = -\frac{8}{9}(x+\frac{3}{8})$

c.) $(y+1)^2 = 4(x+2)$

d.) $(x+1)^2 = 2(y-2)$

e.) $x^2 = (y-2)$

1.3.3 El vértice es $(h, k) = (1, 3)$. Por la posición del foco se deduce que el eje es paralelo al eje X y la parábola abre hacia la derecha. Entonces la ecuación canónica es $(y - 3)^2 = 4p(x - 1)$. Como $p = \|(2, 3) - (1, 3)\| = 1$, la ecuación canónica es $(y - 3)^2 = 4(x - 1)$.

1.3.4

La ecuación canónica es de la forma $(y - k)^2 = 4p(x - h)$. Como contiene los tres puntos, entonces

$$\begin{cases} (0-k)^2 &= 4p(0-h) \\ (2-k)^2 &= 4p(-1-h) \\ (-2-k)^2 &= 4p(-2-h) \end{cases} \implies h = \frac{1}{24}, p = -\frac{2}{3} \text{ y } k = \frac{1}{3}$$

Por tanto, la parábola es $\left(y - \frac{1}{3}\right)^2 = 4 \cdot -\frac{2}{3} \left(x - \frac{1}{24}\right)$

1.3.5

Como $(h, k) = (-1, 1)$ y $p = 1$, entonces $(x + 1)^2 = 4(y - 1)$.

1.3.6 ↪ La ecuación es $(y - k)^2 = 4p(x - h)$ y abre a la izquierda. El vértice es $(h, k) = (5, 4)$ y $p = -2$. Entonces la ecuación canónica es $(y - 4)^2 = -8(x - 5)$.

1.3.7 ↪ $(x - 2)^2 = 2(y - 3)$.

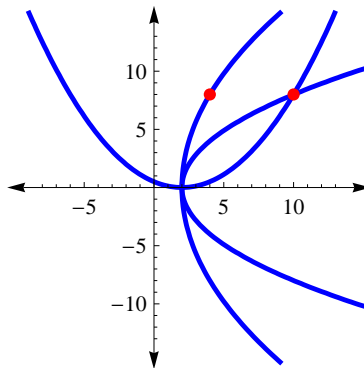
1.3.8 ↪ El vértice es $(h, k) = (2, 0)$. Como $b > 2$, la parábola solo podría abrir hacia arriba o hacia la derecha.

- Si abre hacia arriba, la ecuación canónica es $(x - 2)^2 = 4py$. En este caso, como $8 + p = 10 \implies p = 2$ y entonces $b = 10$. En este caso tenemos la parábola $(x - 2)^2 = 8y$.

- Si abre hacia la derecha, la ecuación canónica es $y^2 = 4p(x - 2)$. En este caso, como la directriz tiene ecuación $x = 2 - p$, tenemos

$$\begin{cases} b - (2 - p) = 10 \\ 64 = 4p(b - 2) \end{cases} \implies p = 8; b = 4 \text{ o } p = 2; b = 10.$$

Las tres paráolas son $(x - 2)^2 = 8y$; $y^2 = 32(x - 2)$ y $y^2 = 8(x - 2)$.



1.3.9 ↪ Si el foco está en la directriz tendríamos una recta (una cónica degenerada).

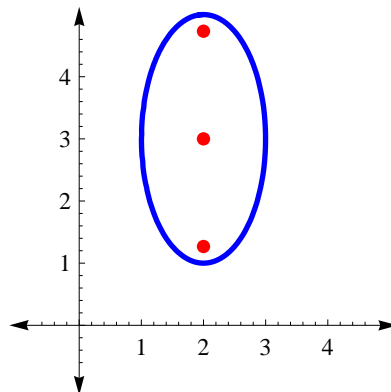
1.4.1 ↪ $\frac{(x + 1)^2}{1/4} + \frac{(y - 5/4)^2}{1} = 1$.

1.4.2 ↪

- $\frac{(y - 1)^2}{4} + \frac{(x + 2)^2}{\frac{6}{5}} = 1$
- $\frac{(x + 4)^2}{16} + \frac{(y + 2)^2}{4} = 1$
- $\frac{(x + 2)^2}{4} + \frac{(y + 4)^2}{16} = 1$
- $x^2 + \frac{(y - 2)^2}{2} = 1$

1.4.3 ↪ La ecuación canónica la obtenemos completando cuadrados.

- Ecuación canónica: $\frac{(y-3)^2}{4} + \frac{(x-2)^2}{1} = 1$.
- Centro: $(h, k) = (2, 3)$
- $a^2 = 4, b^2 = 1$ y $c = \sqrt{3}$
- Focos: $(2, 3 \pm \sqrt{3})$
- No hay intersección con ejes.

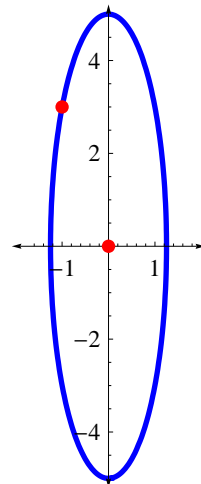


1.4.4 ↵ Los datos los podemos representar en la figura de la derecha.

Como el centro es $(h, k) = (0, 0)$, entonces la ecuación es

$$\frac{x^2}{b^2} + \frac{y^2}{a^2} = 1$$

Esto es así pues el vértice $(0, 5)$ nos indica que el eje mayor está (en este caso) sobre el eje Y.



Ahora, como $(0, 5)$ es un vértice y el centro está en $(0, 0)$, se sigue que $a = 5$ y

$$\frac{x^2}{b^2} + \frac{y^2}{25} = 1$$

Por otra parte, como $(-1, 3)$ está en la elipse

$$\frac{(-1)^2}{b^2} + \frac{3^2}{25} = 1$$

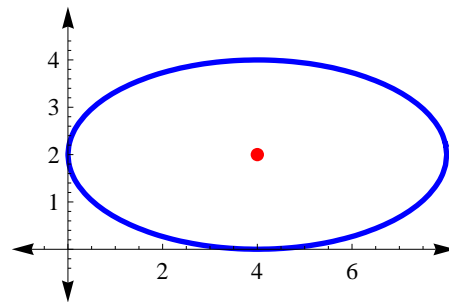
de aquí, despejando, obtenemos $b^2 = \frac{25}{16}$. Finalmente, la ecuación canónica de la elipse es

$$\frac{x^2}{\frac{25}{16}} + \frac{y^2}{25} = 1$$

1.4.5 ↵ La elipse se puede ver en la figura de la derecha.

Como la elipse es tangente a los ejes en el primer cuadrante, el otro vértice debe ser $(0, 2)$ (su eje mayor no puede ser paralelo al eje Y pues su semieje menor sería de 8 unidades y el mayor de 1 unidad!). Luego, $(h, k) = (4, 2)$, $a = 4$ y $b = 2$. La ecuación canónica es

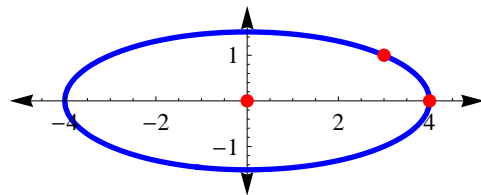
$$\frac{(x-4)^2}{16} + \frac{(y-2)^2}{4} = 1.$$



1.4.6 ↪ La elipse se puede ver en la figura de la derecha. Según los datos, $(h, k) = (0, 0)$ y $(4, 0)$ es el vértice de la derecha, entonces $a = 4$ y $(3, 1)$ satisface la ecuación de la elipse:

$$\frac{3^2}{16} + \frac{1^2}{b^2} = 1 \implies b^2 = \frac{16}{7}. \text{ La ecuación canónica es}$$

$$\frac{x^2}{16} + \frac{y^2}{\frac{16}{7}} = 1.$$



- Centro: $(h, k) = (0, 0)$,

$$c = \sqrt{\frac{96}{7}},$$

$$\bullet \text{ focos: } (0 \pm \sqrt{\frac{96}{7}}, 0),$$

$$\bullet \text{ vértices: } (4, 0) \text{ y } (-4, 0).$$

1.4.7 ↪ $(x-2)^2 + \frac{(y-1)^2}{9} = 1.$

- Centro: $(h, k) = (2, 1)$,

$$c = \sqrt{8},$$

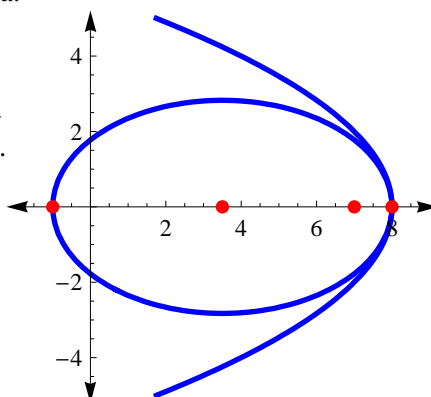
$$\bullet \text{ focos: } (2, 1 \pm \sqrt{8})$$

$$\bullet \text{ vértices: } (2, 1 \pm 3).$$

1.4.8 ↪ La elipse se puede ver en la figura de la derecha.

La ecuación canónica de la parábola es $y^2 = -4(x-8)$. De esta ecuación se obtiene el otro foco y un vértice derecho de la elipse. La ecuación canónica es

$$\frac{(x-3.5)^2}{4.5^2} + \frac{y^2}{8} = 1.$$



- Centro: $(h, k) = (3.5, 0)$,
- $c = 3.5$,
- focos: $(0, 0)$ y $(7, 0)$,
- vértices: $(-1, 0)$ y $(8, 0)$.

1.4.9 ↪ La ecuación canónica es $\frac{x^2}{64} + \frac{y^2}{55} = 1$.

- Centro: $(h, k) = (0, 0)$,
- $c = 3$,
- focos: $(\pm 3, 0)$,
- vértices: $(\pm 8, 0)$.

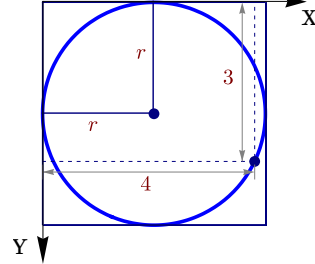
1.4.10 ↪ La ecuación canónica es $\frac{(x-2)^2}{9} + \frac{(y+3)^2}{16} = 1$. Por lo tanto es una elipse.

- Centro: $(h, k) = (2, -3)$,
- $c = \sqrt{7}$,
- focos: $(2, -3 \pm \sqrt{7})$,
- vértices: $(2, -3 \pm 4)$.

1.4.11 ↪ Si consideramos los lados del cuadrado como ejes coordenados, el círculo inscrito es un círculo con centro en (r, r) y $(x, y) = (3, 4)$ es un punto en la circunferencia.

Por lo tanto,

$$\begin{aligned}(x-h)^2 + (y-k)^2 &= r^2, \\ (3-r)^2 + (4-r)^2 &= r^2, \\ r &= 7 - 2\sqrt{6} \approx 2.1 \\ r &= 7 + 2\sqrt{6} \approx 11.8\end{aligned}$$



Como $r < 4$ entonces $r = 7 - 2\sqrt{6}$.

1.4.12 ↪

a.) C es una parábola de ecuación canónica

$$(x-2)^2 = -8(y+1).$$

- b.) Centro de la elipse $(2, -1)$
- c.) $d(F_1, F_2) = 4 \implies 2c = 4 \implies c = 2$
- d.) $d(F_1, V_1) = 3 \implies a - c = 3 \implies a = 5$
- e.) $b^2 = 21$
- f.) Ecuación canónica de la elipse:

$$\frac{(x-2)^2}{21} + \frac{(y+1)^2}{25} = 1$$

- g.) Vértices $(2, 4)$, $(2, -6)$.
- h.) Focos $(2, 1)$, $(2, -3)$.

1.4.13 ↺ 🔍

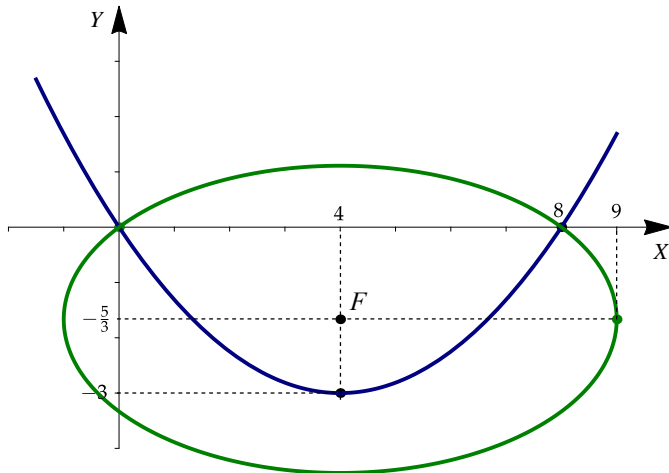


Figura 9.1: Parábola P y elipse E

Según la figura ??, la parábola P tiene ecuación $(x-4)^2 = 4p(y+3)$. Además como $(0,0)$ es un punto de la parábola P , al sustituir obtenemos que $p = \frac{4}{3}$. Entonces el foco de la parábola es $F = (4, -5/3)$.

Ahora, la ecuación canónica de la elipse E , con centro en F , es

$$\frac{(x-4)^2}{n^2} + \frac{(y+5/3)^2}{m^2} = 1$$

Como la elipse E contiene a los puntos $(0,0)$ y $(9, -\frac{5}{3})$, sustituimos estos puntos en la ecuación de la elipse E ,

$$\left\{ \begin{array}{lcl} \frac{(0-4)^2}{n^2} + \frac{(0+5/3)^2}{m^2} & = & 1 \\ \\ \frac{(9-4)^2}{n^2} + \frac{(-5/3+5/3)^2}{m^2} & = & 1 \end{array} \right. \implies n^2 = 25 \quad y \quad m^2 = \frac{625}{81}$$

La ecuación canónica de la elipse E es $\frac{(x-4)^2}{25} + \frac{(y+5/3)^2}{\frac{625}{81}} = 1$

1.4.14 ↺ 🔍 De la información que nos dan deducimos:

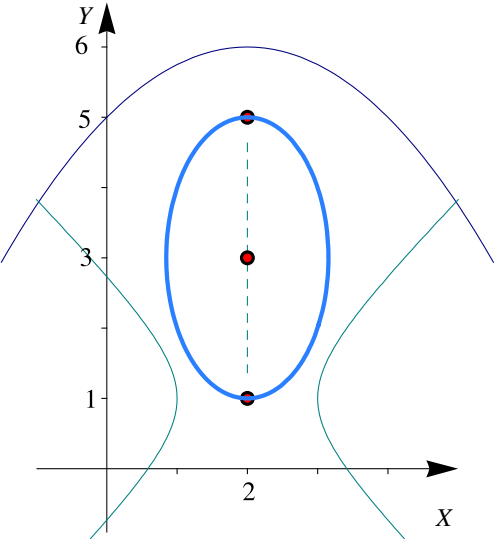
- El **foco** de la parábola $(x-2)^2 = -4(y-6)$ es $V_1 = (2, 6-1) = (2, 5)$ pues $p = -1$.
- El centro de la hipérbola $(x-2)^2 - (y-1)^2 = 1$ es $V_2 = (2, 1)$.
- Los vértices nos indican que la elipse tiene centro en $(h, k) = (2, 3)$ y su ecuación canónica es

$$\frac{(x-2)^2}{b^2} + \frac{(y-3)^2}{2^2} = 1.$$

- Como la elipse contiene el punto $(1, 2)$,

$$\frac{(1-2)^2}{b^2} + \frac{(2-3)^2}{2^2} = 1 \implies b^2 = \frac{4}{3}.$$

La ecuación canónica de la elipse es $\frac{(x-2)^2}{4} + \frac{(y-3)^2}{\frac{4}{3}} = 1$.



1.4.15 ↪

- 1.5.1 ↪** La ecuación canónica es

$$\frac{x^2}{64} - \frac{y^2}{36} = 1.$$

Como $c = 10$, los focos son $(\pm 10, 0)$ y los vértices son $(\pm 8, 0)$. La ecuación de las asíntotas es $3x - 4y = 0$ y $3x + 4y = 0$.

- 1.5.2 ↪** La ecuación canónica es $\frac{y^2}{9} - \frac{(x-1)^2}{7} = 1$.

- 1.5.3 ↪** El centro es $(-4, 1)$. $a = 6$ y $b = 4$. La ecuación canónica es $\frac{(x+4)^2}{36} - \frac{(y-1)^2}{16} = 1$.

- 1.5.4 ↪** La ecuación canónica es $\frac{(x-1)^2}{16} - \frac{(y+2)^2}{9} = 1$. Vértices en $(-3, 2)$, $(5, -2)$ y focos en $(-4, -2)$, $(6, -2)$. Las asíntotas son $y = \pm \frac{3}{4}(x-1) - 2$.

- 1.5.5 ↪** La ecuación canónica es

$$\frac{(x-3)^2}{9} - \frac{(y-2)^2}{4} = 1.$$

Como $c = \sqrt{13}$, los focos son $(3 \pm \sqrt{13}, 2)$ y los vértices son $(3 \pm 3, 2)$.

- 1.5.6 ↪** Como $\sqrt{3} \cdot 4 > 6$, la asíntota $y = \sqrt{3}x$ va por arriba del punto $(4, 6)$. Esto nos dice que la ecuación de la hipérbola es $\frac{x^2}{a^2} - \frac{y^2}{b^2} = 1$. Como $(4, 6)$ está en la hipérbola y como $b^2 = 3a^2$, entonces $\frac{16}{a^2} - \frac{36}{3a^2} = 1 \implies a = 4$. Así, la ecuación canónica es

$$\frac{x^2}{4} - \frac{y^2}{12} = 1.$$

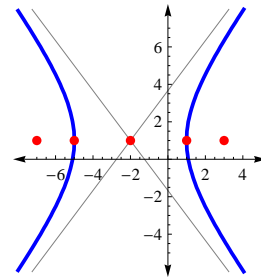
1.5.7 La ecuación canónica es $\frac{x^2}{6} - \frac{y^2}{2} = 1$.

1.5.8 La parábola tiene ecuación canónica $(y-1)^2 = -8(x+2)$, por tanto el centro de la hipérbola es $(-2, 1)$.

Como un foco esta en $(3, 1)$ y un vértice esta en $(1, 1)$, el eje transversal es paralelo al eje X , $a=3$, $c=5$ y $b=4$. La ecuación canónica es

$$\frac{(x+2)^2}{9} - \frac{(y-1)^2}{16} = 1.$$

Sus focos son $(3, 1)$, $(-7, 1)$ y sus vértices $(1, 1)$, $(-5, 1)$. Las asíntotas son $y = \pm\frac{4}{3}(x+2) + 1$. La hipérbola interseca al eje X en $x \approx -5.093$ y $x \approx 1.0933$.



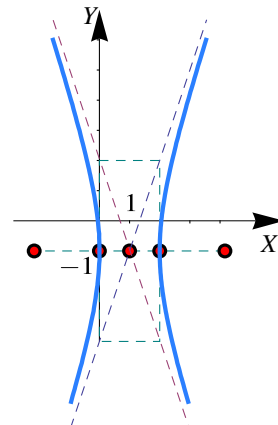
1.5.9

- a.) Como $k > 0$ y $k - 16 > 0$, se trata de una elipse.
- b.) Como $k > 0$ y $k - 16 < 0$, se trata de una hipérbola.
- c.) Como $k < 0$ y $k - 16 < 0$, la ecuación no tiene solución, es decir, no es la ecuación de una curva.

1.5.10 Se trata de una hipérbola.

La ecuación canónica es $(x-1)^2 - \frac{(y+1)^2}{9} = 1$.

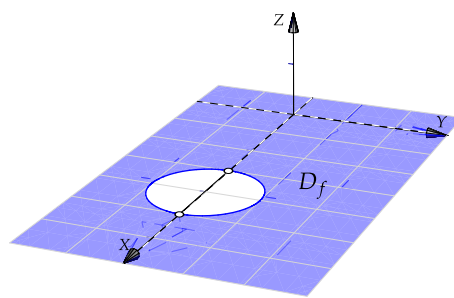
- Centro $(1, -1)$,
- $a^2 = 1$ y $b^2 = 9$,
- $c^2 = 1 + 9 \implies c = \sqrt{10}$,
- Focos $(1 \pm \sqrt{10}, -1)$.
- Asíntotas: $y = \pm\frac{3}{1}(x-1) - 1$.



1.5.11

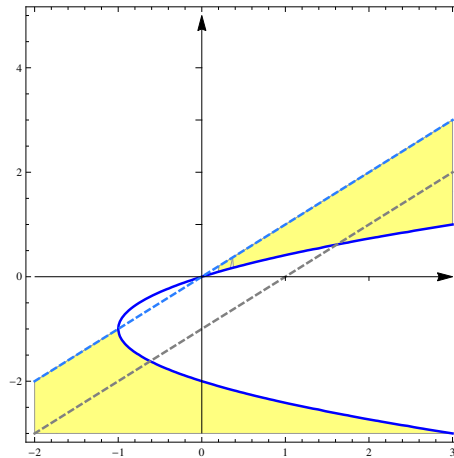
Soluciones del Capítulo 2

2.2.1 $D_f = \{(x,y) \in \mathbb{R}^2 \text{ tq } (x-4)^2 + y^2 \geq 1 \text{ y } x \neq 0 \text{ y } y \neq 0\}$ Este dominio corresponde al exterior de la elipse (incluye el borde) y se debe excluir los ejes X y Y (líneas punteadas).



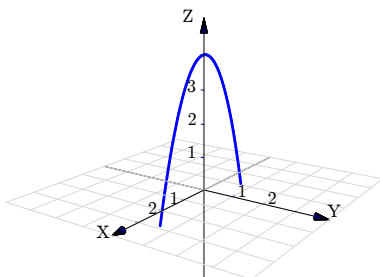
2.2.2 ↪ ↤ Como $\log(1) = 0$ debemos excluir los puntos para los cuales $x - y = 1$.

$$D_f = \{(x, y) \in \mathbb{R}^2 \text{ tq } (y+1)^2 \geq x+1 \text{ y } y \neq x-1 \text{ y } y < x\}$$

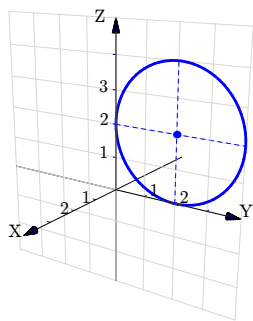


2.3.1 ↪ ↤

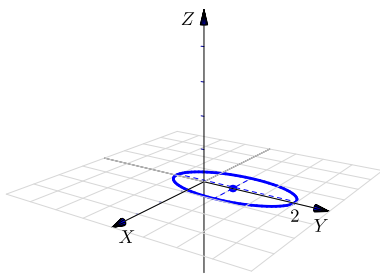
a.) $z = 4 - x^2; y = 0$.



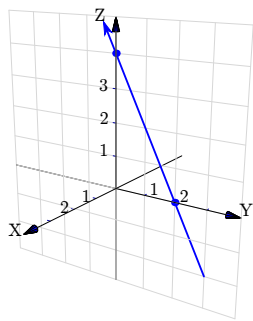
b.) $(z - 2)^2 + (y - 2)^2 = 4; x = 0$.



c.) $\frac{(y-1)^2}{4} + x^2 = 1; z = 0$



d.) $z + 2y = 4; x = 0$



e.)

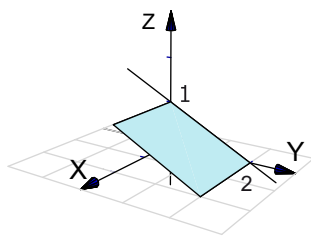
f.)

g.)

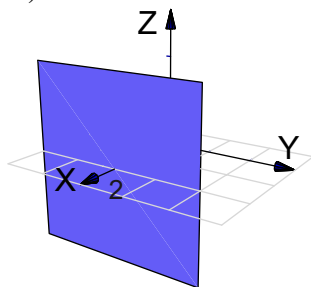
2.3.2 ↪👁 Es un punto, $P = (1, -2, 0)$

2.3.3 ↪👁

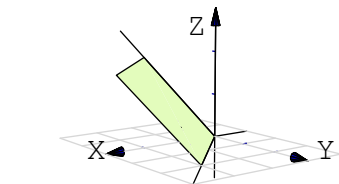
a.) Plano $2z + y = 2$.



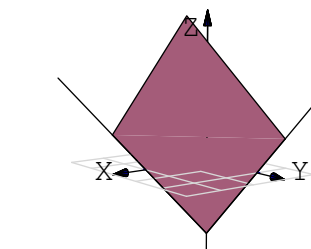
b.) Plano $x = 2$.



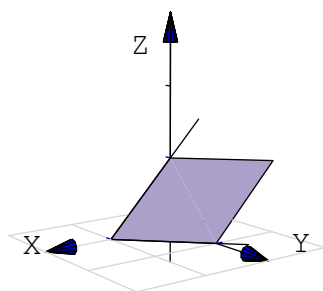
c.) Plano $x - y - z = 0$. Podemos usar las rectas $y = x$ y $z = x$.



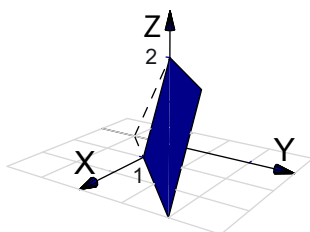
d.) Plano $x + y - z = 2$. Podemos usar las intersecciones con los ejes: $x = 2$; $y = 2$; $z = -1$.



e.) Plano $2x + 2y + 2z = 2$. Podemos usar las intersecciones con los ejes: $x = 1$; $y = 1$; $z = 1$.

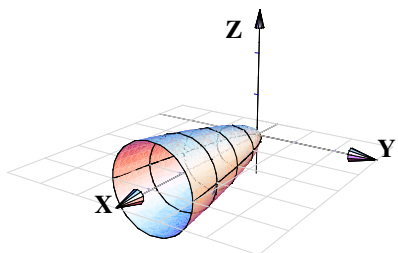


2.3.4 ↪ Plano $4x - 4y + 2z = 4$ en el primer octante. En este caso el plano lo dibujamos desde el segmento que va de $x = 1$ hasta $z = 2$.

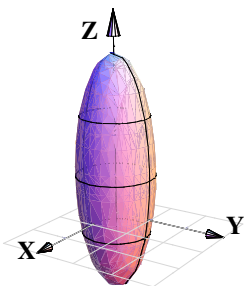


2.4.1 ↪

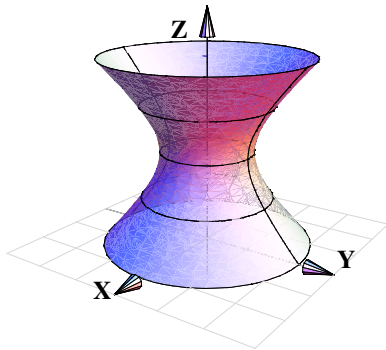
- a.) $y = (x-2)^2 + (z-2)^2$
- b.) $z^2 + y^2 = x/4$



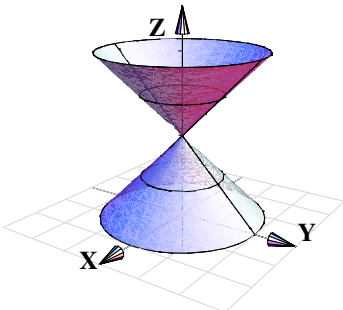
c.) $x^2 + y^2 + (z-1)^2/9 = 1$



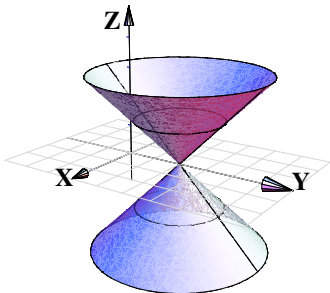
d.) $x^2 + y^2 - (z - 2)^2 = 1$



e.) $x^2 + y^2 - (z - 2)^2 = 0$

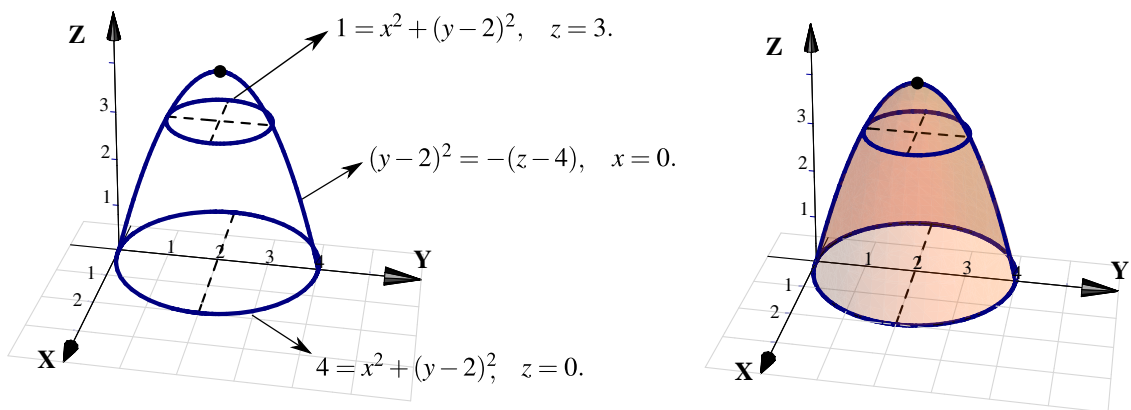


f.) $x^2 + (y - 2)^2 - z^2 = 0$



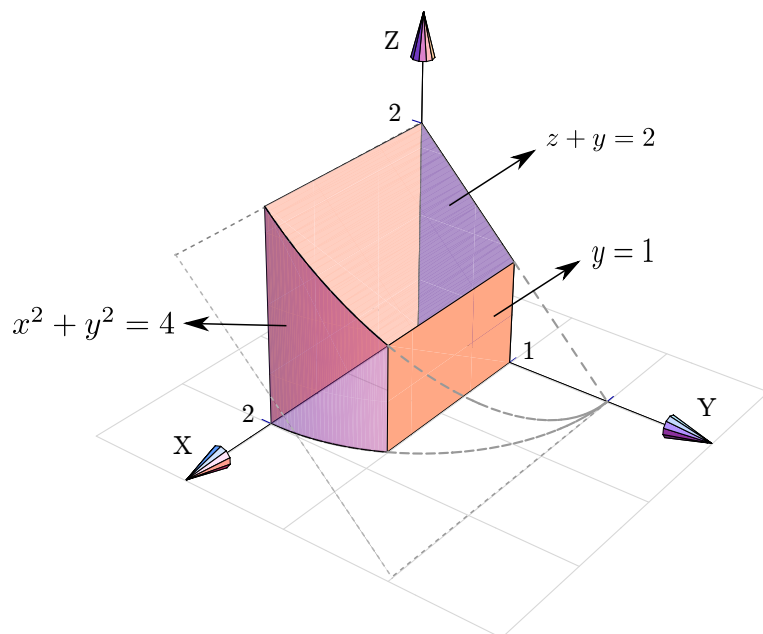
2.4.2 ↪ Se trata del paraboloide $4 - z = x^2 + (y - 2)^2$. El vértice es $(0, 2, 4)$.

- a.) Si $x = 0$ entonces $4 - z = (y - 2)^2$. Por tanto la traza es $(y - 2)^2 = -(z - 4)$, $x = 0$.
- b.) Si $z = 3$ obtenemos la traza $1 = x^2 + (y - 2)^2$, $z = 3$.
- c.) Si $z = 0$ obtenemos la traza $4 = x^2 + (y - 2)^2$, $z = 0$.

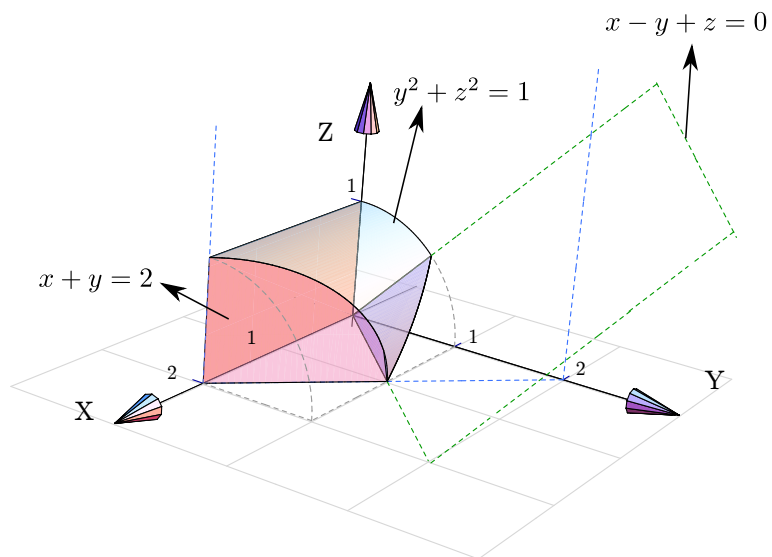
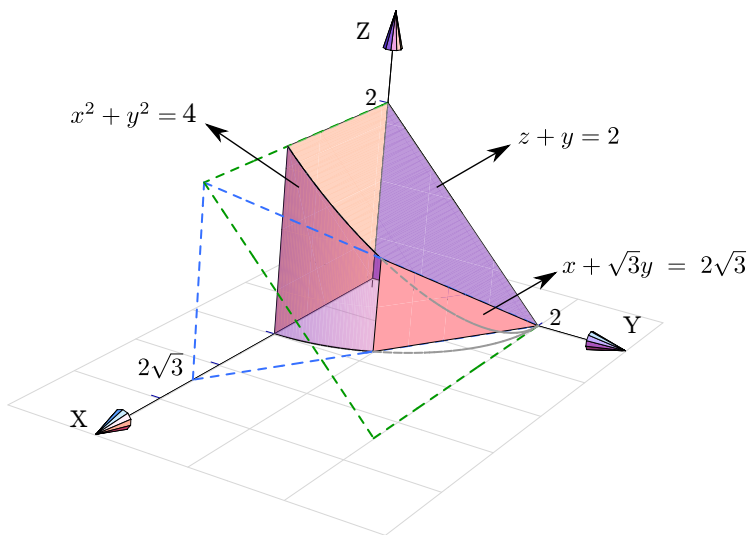


2.5.1 ↵

2.5.2 ↵ Sólido Q_1

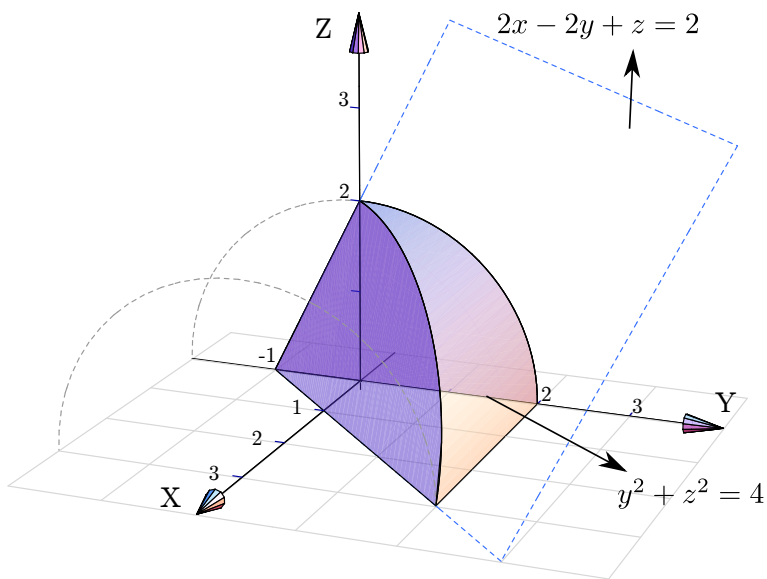


2.5.3 ↵ Sólido Q_2 .

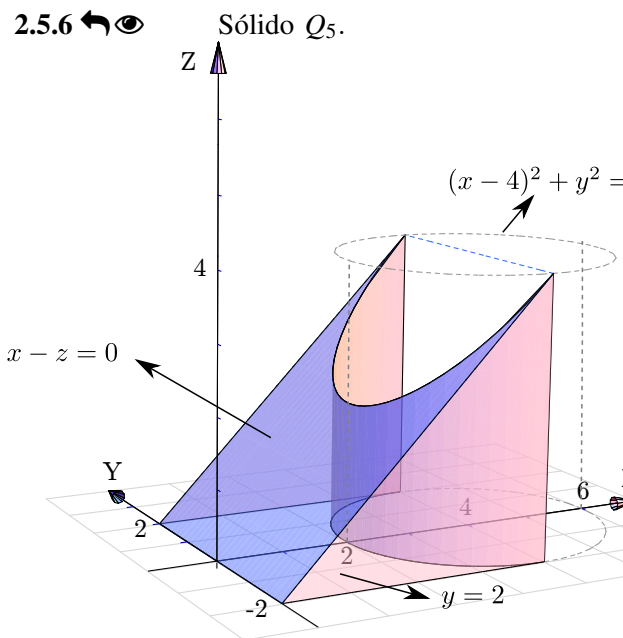


2.5.4 ↵ Sólido Q_3 .

2.5.5 ↵ Sólido Q_4 .

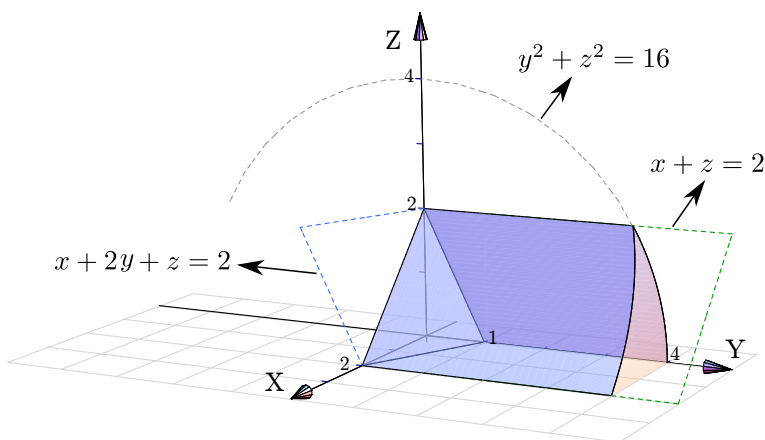


2.5.6 ↵👁

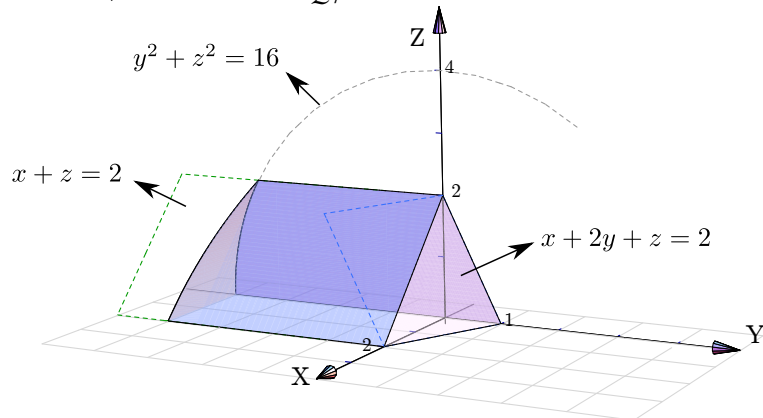


2.5.7 ↵👁

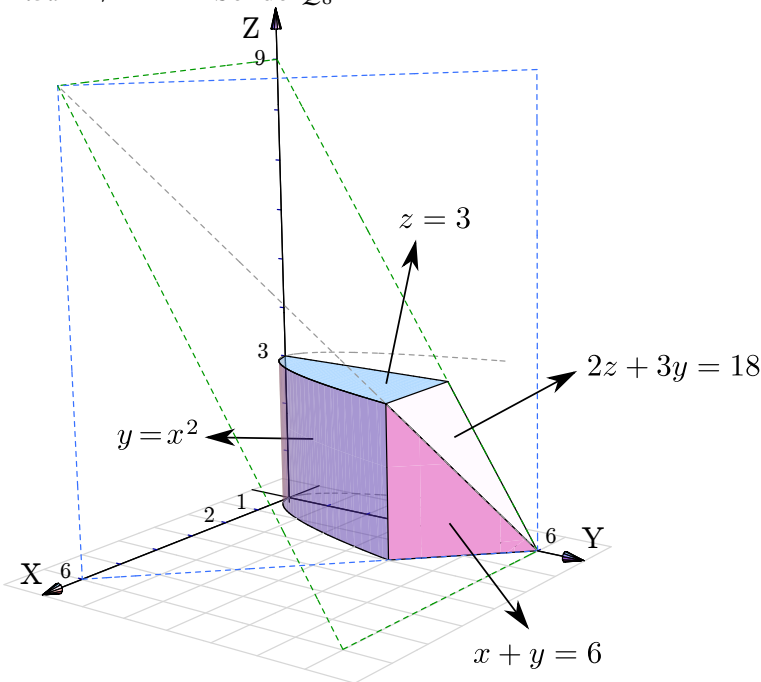
Sólido Q_6 .



2.5.8 Sólido Q_7 .

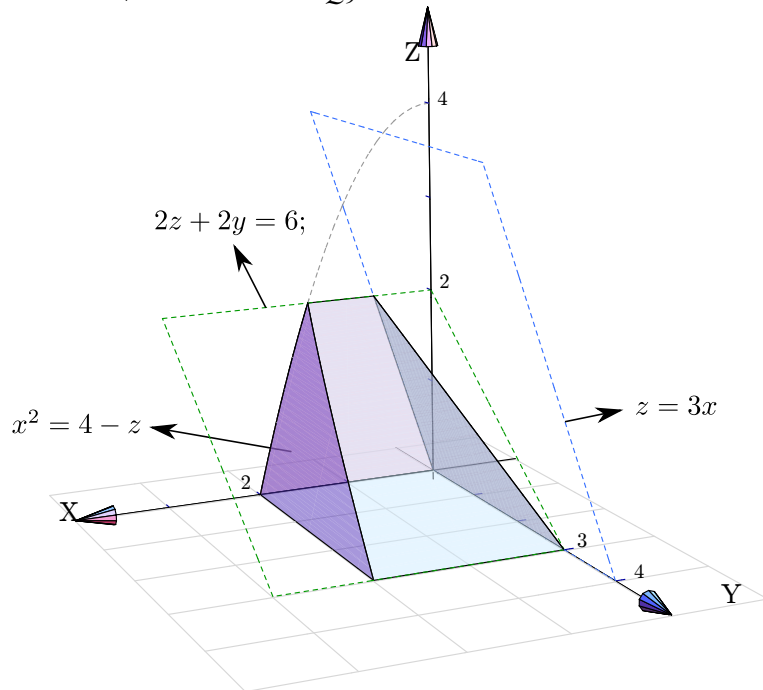


2.5.9 Sólido Q_8 .



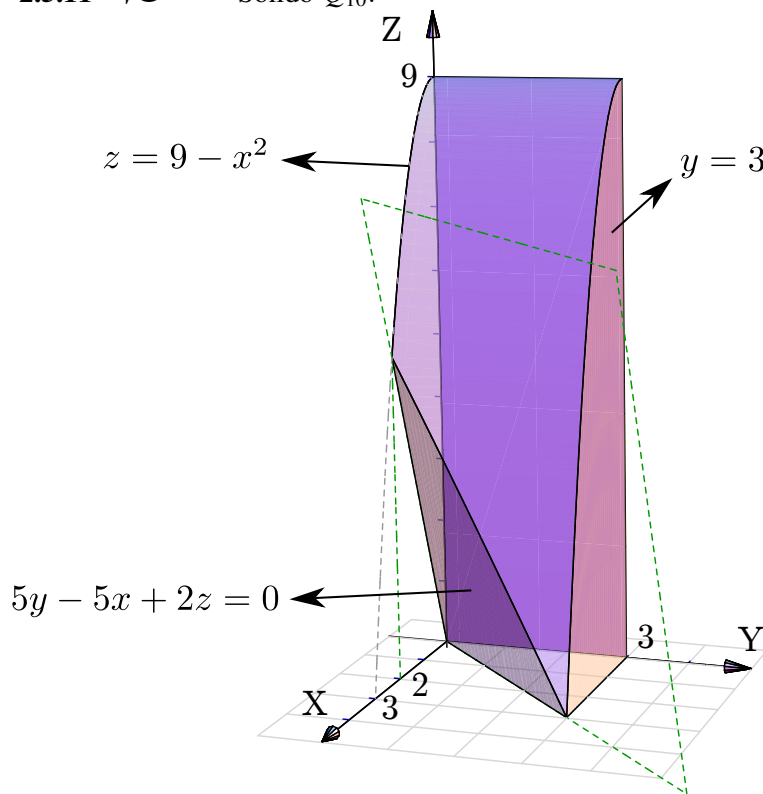
2.5.10

Sólido Q_9 .



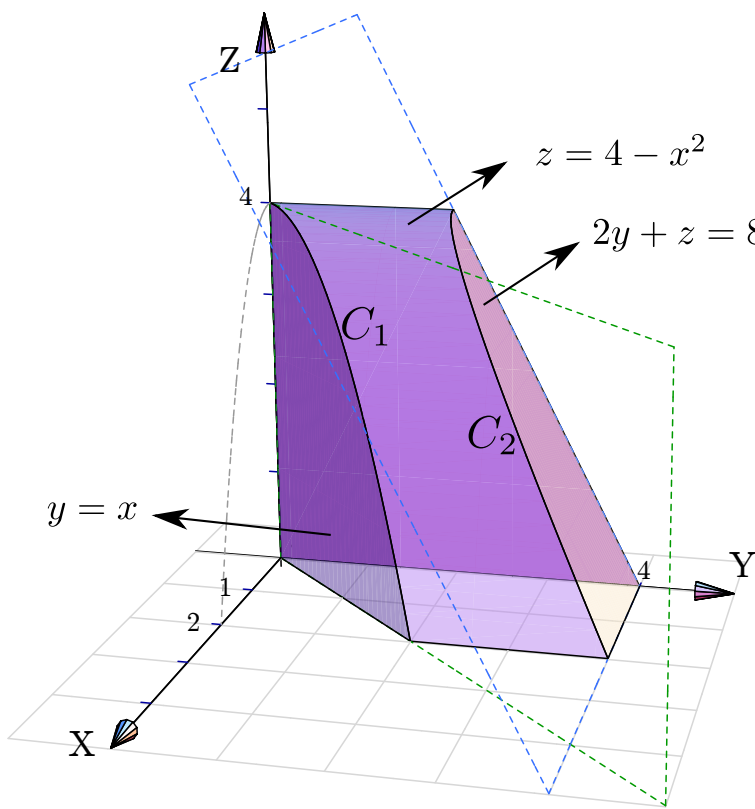
2.5.11

Sólido Q_{10} .



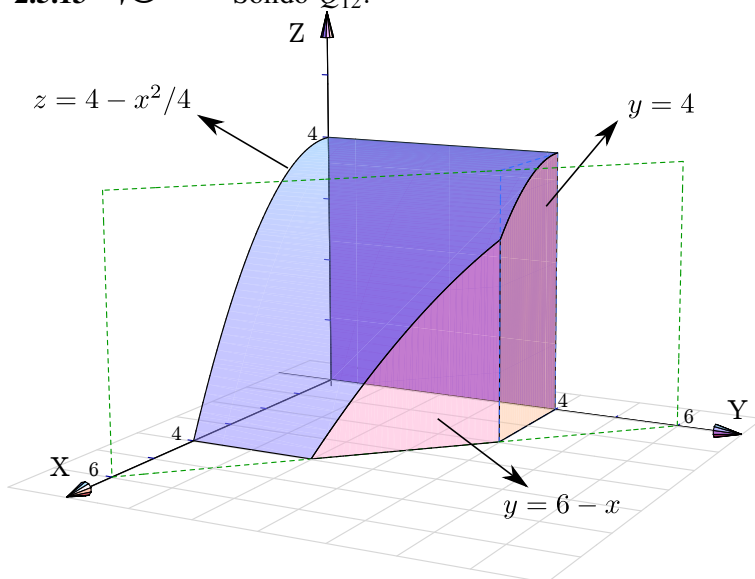
2.5.12

Sólido Q_{11} .



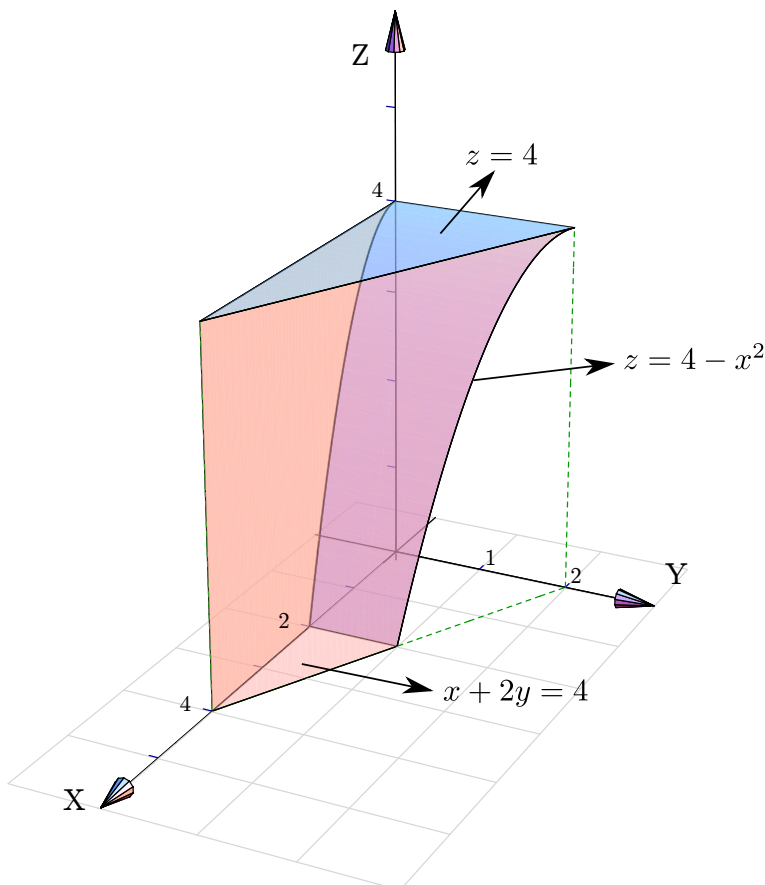
2.5.13 ↪

Sólido Q_{12} .



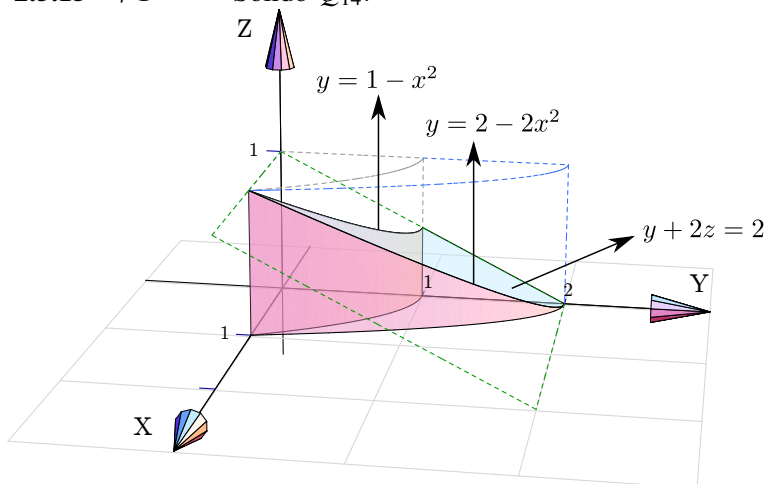
2.5.14 ↪

Sólido Q_{13} .



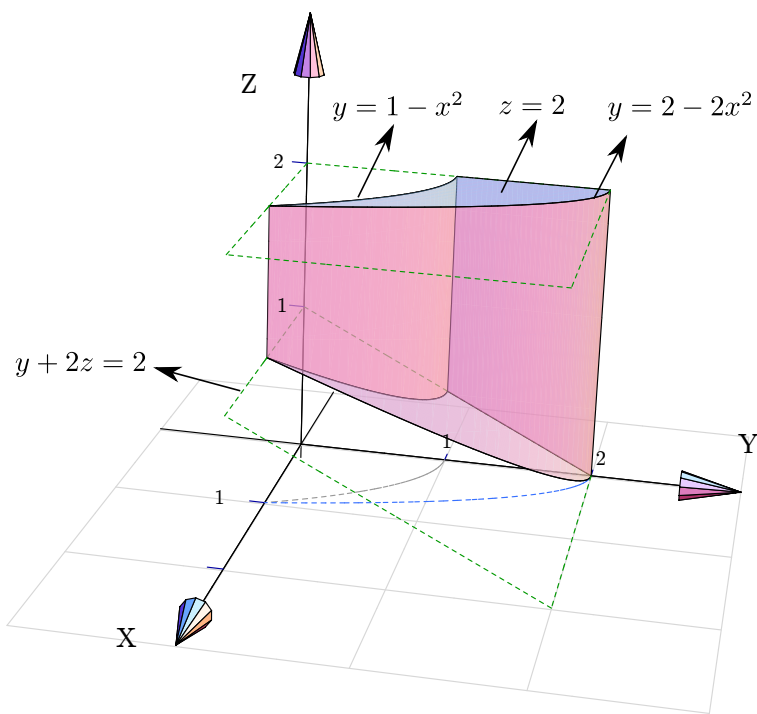
2.5.15 ↪

Sólido Q_{14} .



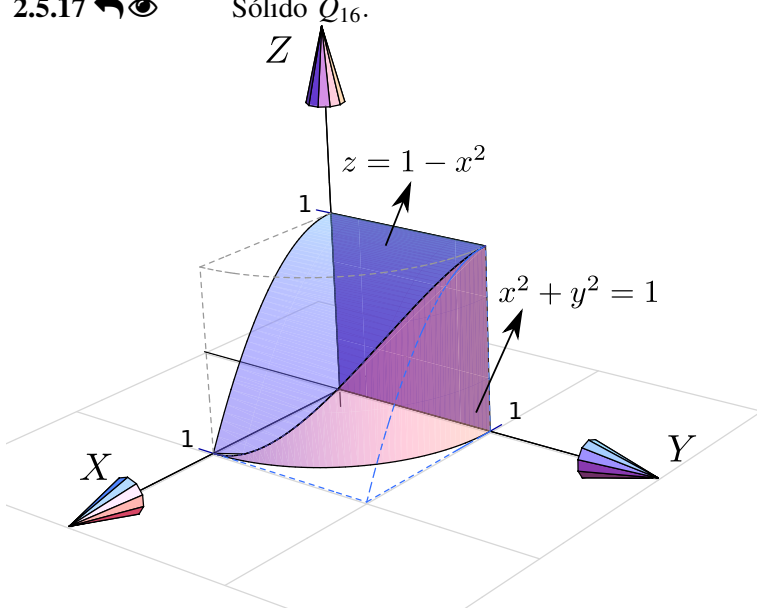
2.5.16 ↪

Sólido Q_{15} .



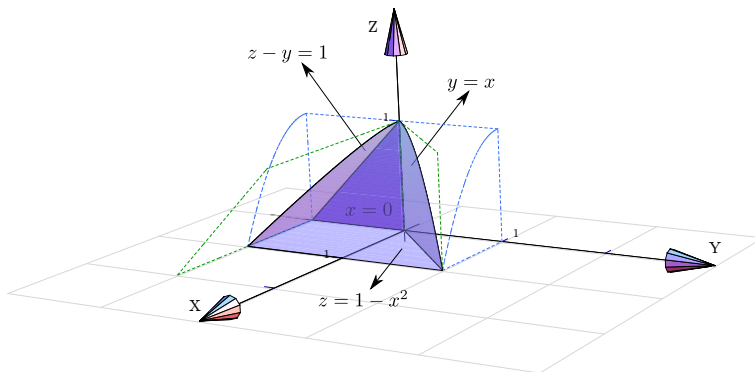
2.5.17 ↵ ⚡

Sólido Q_{16} .



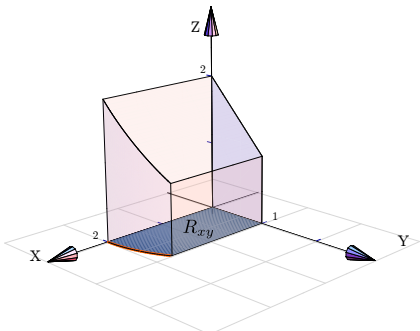
2.5.18 ↵ ⚡

Sólido Q_{17} .

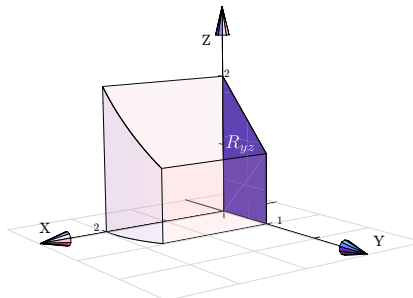


2.6.1 ↵👁 Proyecciones de Q .

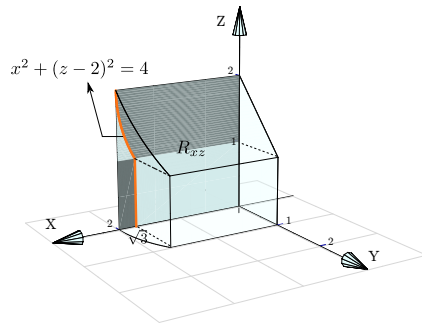
Proyección sobre XY



Proyección sobre YZ

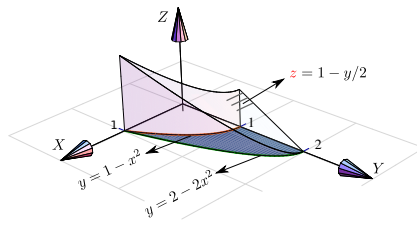


Proyección sobre XZ

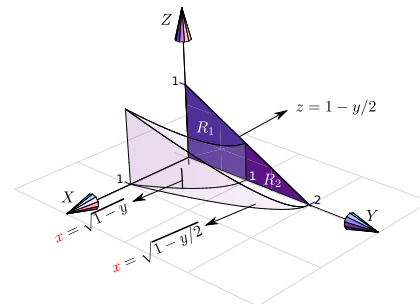


2.6.2 ↵👁 Proyecciones de Q .

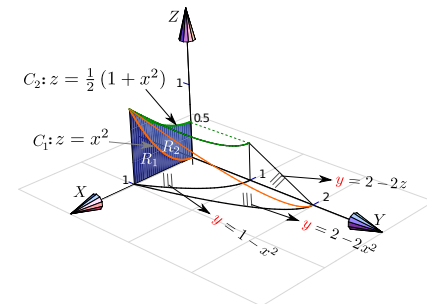
Proyección sobre XY



Proyección sobre YZ

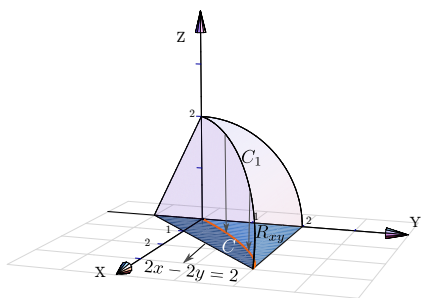


Proyección sobre XZ



2.6.3 ↵👁 Proyecciones de Q .

Proyección sobre XY

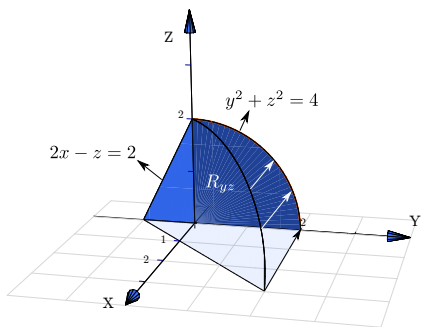


La curva C_1 se proyecta en la curva C en el plano XY . La curva C_1 es la intersección de las superficies $y^2 + z^2 = 4$ y $2x - 2y + z = 2$; para calcular su ecuación eliminamos z ,

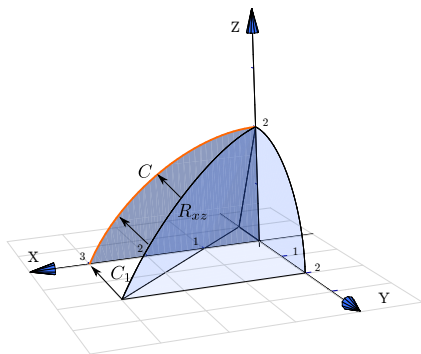
$$\begin{cases} y^2 + z^2 = 1 \\ 2x - 2y + z = 2 \end{cases} \implies y^2 + (2 - 2x + 2y)^2 = 4.$$

(una elipse con rotación)

Proyección sobre YZ



Proyección sobre XZ



La curva C_1 se proyecta en la curva C en el plano XZ . La curva C_1 es la intersección de las superficies $y^2 + z^2 = 1$ y $2x - 2y + z = 2$,

$$\begin{cases} y^2 + z^2 = 1 \\ 2x - 2y + z = 2 \end{cases} \implies (-1 + \frac{z}{2} + x)^2 + z^2 = 1.$$

(una elipse con rotación)

Soluciones del Capítulo 3

3.3.1 ↪

Usando la regla para la derivada del cociente,

$$\begin{aligned}
 \frac{\partial f}{\partial y} &= \frac{\frac{\partial}{\partial y} [xy] \cdot (x^2 - y^2) - \frac{\partial}{\partial y} [x^2 - y^2] \cdot xy}{(x^2 - y^2)^2} \\
 &= \frac{x \cdot (x^2 - y^2) + 2y \cdot xy}{(x^2 - y^2)^2} \\
 \frac{\partial f}{\partial x} &= \frac{\frac{\partial}{\partial x} [xy] \cdot (x^2 - y^2) - \frac{\partial}{\partial x} [x^2 - y^2] \cdot xy}{(x^2 - y^2)^2} \\
 &= \frac{y \cdot (x^2 - y^2) - 2x \cdot xy}{(x^2 - y^2)^2}
 \end{aligned}$$

$$f_y(2,1) = \frac{10}{9}.$$

3.3.2 ↩👁 Se debe usar la regla de la cadena para funciones de una variable,

$$\begin{aligned}
 \frac{\partial f}{\partial y} &= 5 \ln^4(x^y + x^2 + 2^y) \cdot \frac{\partial}{\partial y} [\ln(x^y + x^2 + 2^y)] \\
 &= 5 \ln^4(x^y + x^2 + 2^y) \cdot \frac{1}{x^y + x^2 + 2^y} \cdot (x^y \ln x + 2^y \ln 2) \\
 &= \\
 \frac{\partial f}{\partial x} &= 5 \ln^4(x^y + x^2 + 2^y) \cdot \frac{\partial}{\partial x} [\ln(x^y + x^2 + 2^y)] \\
 &= 5 \ln^4(x^y + x^2 + 2^y) \cdot \frac{1}{x^y + x^2 + 2^y} \cdot (y \cdot x^{y-1} + 2x)
 \end{aligned}$$

3.3.3 ↩👁

- $\frac{\partial^2 z}{\partial x^2} = 4a^2 - 2$
- $\frac{\partial^2 z}{\partial y^2} = 4b^2 - 2$
- $\frac{\partial^2 z}{\partial x^2} + \frac{\partial^2 z}{\partial y^2} = 4(a^2 + b^2) - 4 = 0. \checkmark$

3.3.4 ↩👁 Sea $u = \frac{x^2}{y}$, entonces $z = f(u)$

- $\frac{\partial z}{\partial x} = f'(u) \cdot \frac{2x}{y}$
- $\frac{\partial z}{\partial y} = f'(u) \cdot \frac{-x^2}{y^2}$
- $x \frac{\partial z}{\partial x} + 2y \frac{\partial z}{\partial y} = f'(u) \left[\frac{2x^2}{y} - \frac{2x^2}{y} \right] = 0 \checkmark$

3.3.5 ↩👁

- $\frac{\partial z}{\partial x} = \frac{y - \frac{y}{x^2 + y^2}}{2z}$

- $\frac{\partial z}{\partial x} = \frac{x + \frac{x}{x^2 + y^2}}{2z}$

- Ahora sustituimos,

$$\begin{aligned} zx \frac{\partial z}{\partial x} + zy \frac{\partial z}{\partial y} &= zx \frac{y - \frac{y}{x^2 + y^2}}{2z} + zy \frac{x + \frac{x}{x^2 + y^2}}{2z} \\ &= \frac{2xy - \frac{xy}{x^2 + y^2} + \frac{xy}{x^2 + y^2}}{2} = xy \end{aligned}$$

3.3.6 Pongamos $C(x, t) = \frac{e^{-x^2/kt}}{\sqrt{t}}$.

- $\frac{\partial C}{\partial t} = \frac{\left(\sqrt{t} \frac{-2x}{kt} - \frac{1}{\sqrt{t}}\right) e^{-x^2/kt}}{t} = e^{-x^2/kt} \left(\frac{x^2}{kt^{5/2}} - \frac{1}{2t^{3/2}}\right)$

- $\frac{\partial C}{\partial x} = \frac{1}{\sqrt{t}} \frac{-2x}{kt} e^{-x^2/kt}$

- $\frac{\partial^2 C}{\partial x^2} = e^{-x^2/kt} \frac{1}{\sqrt{t}} \left(\frac{4x^2}{k^2 t^2} - \frac{2}{kt}\right) = e^{-x^2/kt} \left(\frac{4x^2}{k^2 t^{5/2}} - \frac{2}{kt^{3/2}}\right)$

- Luego, multiplicando $\frac{\partial^2 C}{\partial x^2}$ por $\frac{k}{4}$ se obtiene la identidad.

3.3.7

z es una función de dos variables pero f es una función de un solo argumento y como tal, se deriva de la manera ordinaria. Aquí es conveniente hacer el cambio de variable $u = x^2 + y$ de tal manera que $z = f(u) \cdot \sqrt{x + y^2}$.

$$\begin{aligned} \frac{\partial z}{\partial y} &= f'(u) \cdot \frac{\partial}{\partial y}[u] \cdot \sqrt{x + y^2} + f(u) \cdot \frac{\partial}{\partial y}[\sqrt{x + y^2}] \\ &= f'(u) \cdot (x^2 + 1) \cdot \sqrt{x + y^2} + f(u) \cdot \frac{y}{\sqrt{x + y^2}} \\ &= \\ \frac{\partial z}{\partial x} &= f'(u) \cdot \frac{\partial}{\partial x}[u] \cdot \sqrt{x + y^2} + f(u) \cdot \frac{\partial}{\partial x}[\sqrt{x + y^2}] \\ &= f'(u) \cdot (2xy) \cdot \sqrt{x + y^2} + f(u) \cdot \frac{1}{2\sqrt{x + y^2}} \end{aligned}$$

3.3.8

- $u_x = e^y \cos x$

- $u_y = e^y \sin x$

- $u_{xx} = -e^y \sin x$

- $u_{yy} = e^y \operatorname{sen} x$
- $\frac{\partial^2 u}{\partial x^2} + \frac{\partial^2 u}{\partial y^2} = -e^y \operatorname{sen} x + e^y \operatorname{sen} x = 0 \quad \checkmark$

3.3.9 ↪ ↤

- $u_t = -a \cos(x - at) + \frac{a}{x + at}$
- $u_{tt} = -a^2 \operatorname{sen}(x - at) - \frac{a^2}{(x + at)^2}$
- $u_x = \cos(x - at) + \frac{1}{x + at}$
- $u_{xx} = -\operatorname{sen}(x - at) - \frac{1}{(x + at)^2}$
- $u_{tt} = -a^2 \operatorname{sen}(x - at) - \frac{a^2}{(x + at)^2} = a^2 \cdot \left(-\operatorname{sen}(x - at) - \frac{1}{(x + at)^2} \right) = a^2 \cdot u_{xx}. \quad \checkmark$

3.3.10 ↪ ↤ Sea $A = x - at$ y $B = x + at$, entonces $u(x, t) = f(A) + g(B)$.

- $u_t = -af'(A) + ag'(B)$
- $u_{tt} = a^2 f''(A) + a^2 g''(B)$
- $u_x = f'(A) + g'(B)$
- $u_{xx} = f''(A) + g''(B)$
- $u_{tt} = a^2 f''(A) + a^2 g''(B) = a^2 \cdot u_{xx}. \quad \checkmark$

3.3.11 ↪ ↤ Satisface $\frac{\partial z}{\partial x} + \frac{\partial z}{\partial y} = 1$.

- $z_x = \frac{e^x}{e^x + e^y}$
 - $z_y = \frac{e^y}{e^x + e^y}$
 - $\frac{\partial z}{\partial x} + \frac{\partial z}{\partial y} = \frac{e^x}{e^x + e^y} + \frac{e^y}{e^x + e^y} = 1 \quad \checkmark$
- Satisface $\frac{\partial^2 z}{\partial x^2} \cdot \frac{\partial^2 z}{\partial y^2} - \left(\frac{\partial^2 z}{\partial x \partial y} \right)^2 = 0$.
- $z_{xx} = \frac{e^x \cdot (e^x + e^y) - e^x \cdot e^x}{(e^x + e^y)^2}$
 - $z_{yy} = \frac{e^y \cdot (e^x + e^y) - e^y \cdot e^y}{(e^x + e^y)^2}$
 - $\frac{\partial^2 z}{\partial x \partial y} = \frac{\partial}{\partial x} \left[\frac{e^y}{e^x + e^y} \right] = \frac{-e^y \cdot e^x}{(e^x + e^y)^2}$.
 - $\frac{\partial^2 z}{\partial x^2} \cdot \frac{\partial^2 z}{\partial y^2} - \left(\frac{\partial^2 z}{\partial x \partial y} \right)^2 = \frac{e^x \cdot (e^x + e^y) - e^x \cdot e^x}{(e^x + e^y)^2} \cdot \frac{e^y \cdot (e^x + e^y) - e^y \cdot e^y}{(e^x + e^y)^2} - \left(\frac{-e^y \cdot e^x}{(e^x + e^y)^2} \right)^2$
 $= \frac{e^x \cdot e^y}{(e^x + e^y)^2} \cdot \frac{e^y \cdot e^x}{(e^x + e^y)^2} - \left(\frac{-e^y \cdot e^x}{(e^x + e^y)^2} \right)^2 = 0 \quad \checkmark$

3.3.12 ↪ ↤

Sea $u = y \operatorname{sen}(x)$, entonces $w = f(u)$.

- $w_x = f'(u) \cdot y \cos(x)$
- $w_y = f'(u) \cdot \sin(x)$
- $\cos(x)w_x + y \sin(x)w_y = \cos^2(x) \cdot y \cdot f'(u) + \sin^2(x) \cdot y \cdot f'(u) = (\cos^2 x + \sin^2 x) y f'(u) = y f'(u)$

3.3.13 ↪ ↘

$\frac{\partial g}{\partial x} = 2x \sin(3x - 2y) + 3x^2 \cos(3x - 2y)$, $\frac{\partial g}{\partial y} = -2x^2 \cos(3x - 2y)$ y $\frac{\partial^2 g}{\partial y \partial x} = -4x \cos(3x - 2y) - 6x^2 \sin(3x - 2y)$. La identidad se verifica de manera directa.

3.3.14 ↪ ↘ Derivamos a ambos lados respecto a R_1 ,

$$\frac{\partial}{\partial R_1} \left[\frac{1}{R} \right] = \frac{\partial}{\partial R_1} \left[\frac{1}{R_1} + \frac{1}{R_2} + \frac{1}{R_3} \right]$$

$$\frac{-1 \cdot \frac{\partial R}{\partial R_1}}{R^2} = \frac{-1}{R_1^2} \implies \frac{\partial R}{\partial R_1} = \frac{R^2}{R_1^2}.$$

3.3.15 ↪ ↘

- $\frac{\partial P}{\partial V} = -\frac{P}{V}$
- $\frac{\partial V}{\partial T} = \frac{mR}{P}$
- $\frac{\partial T}{\partial P} = \frac{V}{mR}$
- $\frac{\partial P}{\partial V} \frac{\partial V}{\partial T} \frac{\partial T}{\partial P} = -\frac{P}{V} \frac{mR}{P} \frac{V}{mR} = -1. \checkmark$

3.3.16 ↪ ↘ $\frac{\partial K}{\partial m} \frac{\partial^2 K}{\partial v^2} = \frac{1}{2} v^2 \cdot m = K. \checkmark$ **3.3.17 ↪ ↘**

- $\frac{\partial w}{\partial x} = f'(u) \cdot 2x \cdot g(y)$
- $\frac{\partial^2 w}{\partial x^2} = 2g(y) \cdot [f''(u) \cdot 2x^2 + f'(u)]$
- $\frac{\partial^2 w}{\partial y \partial x} = 2x[f''(u) \cdot 2y \cdot g(y) + g'(y) \cdot f'(u)]$
- $\frac{\partial w}{\partial y} = f'(u) \cdot 2y \cdot g(y) + g'(y) \cdot f(u)$

3.3.18 ↪ ↘

- $\frac{\partial w}{\partial x} = f'(u) \cdot \frac{1}{y} + g'(v) \cdot \frac{-y}{x^2}$
- $\frac{\partial^2 w}{\partial y \partial x} = f''(u) \cdot \frac{-x}{y^2} \cdot \frac{1}{y} - \frac{1}{y^2} \cdot f'(u) + g''(v) \cdot \frac{1}{x} \cdot \frac{-y}{x^2} - \frac{1}{x^2} \cdot g'(v).$

3.3.19 ↪ ↘ Sea $u = x^2 - 4y^2$,

- $\frac{\partial w}{\partial y} = -e^{3x} f'(u) \cdot 8y$

• $\frac{\partial^2 w}{\partial x \partial y} = 8y [-3e^{3x}f'(u) - e^{3x}f''(u) \cdot 2x]$

3.3.20 ↪ ↘
 $\frac{\partial u}{\partial rr} = n(n-1)r^{n-2} \cos(n\theta)$ y $\frac{\partial u}{\partial \theta \theta} = -n^2 r^n \cos(n\theta)$. Sustituyendo y simplificando se verifica la ecuación.

3.5.1 ↪ ↘

$$\begin{aligned}\frac{dz}{dt} &= \frac{\partial z}{\partial x} \cdot \frac{dx}{dt} + \frac{\partial z}{\partial y} \cdot \frac{dy}{dt} \\ &= (y^2 + 1) \cdot \cos t + 2xy \cdot \sec^2 t\end{aligned}$$

3.5.2 ↪ ↘
 $\frac{dw}{dt} = 2t + 2t \sin 2t + 2t^2 \cos 2t$

3.5.3 ↪ ↘

$$\begin{aligned}\frac{\partial z}{\partial x} &= \frac{\partial z}{\partial u} \cdot \frac{\partial u}{\partial x} + \frac{\partial z}{\partial v} \cdot \frac{\partial v}{\partial x} \\ &= \left[\sqrt{u+v^2} + \frac{u}{2\sqrt{u+v^2}} \right] \cdot y + \left[\frac{uv}{\sqrt{u+v^2}} \right] \cdot \frac{-y/x^2}{1+\left(\frac{y}{x}\right)^2}\end{aligned}$$

$$\begin{aligned}\frac{\partial z}{\partial y} &= \frac{\partial z}{\partial u} \cdot \frac{\partial u}{\partial y} + \frac{\partial z}{\partial v} \cdot \frac{\partial v}{\partial y} \\ &= \left[\sqrt{u+v^2} + \frac{u}{2\sqrt{u+v^2}} \right] \cdot x + \left[\frac{uv}{\sqrt{u+v^2}} \right] \cdot \frac{1/x}{1+\left(\frac{y}{x}\right)^2}\end{aligned}$$

3.5.4 ↪ ↘

a.) $\frac{\partial z}{\partial x} = g(y) \cdot \left[\frac{\partial f}{\partial x} \right]$

b.) $\frac{\partial z}{\partial y} = g'(y) \cdot f(x,y) + g(y) \left[\frac{\partial f}{\partial y} \right]$

c.) $\frac{\partial z}{\partial t} = g'(y) \cdot 3r^2 \cdot f(x,y) + g(y) \left[\frac{\partial f}{\partial x} \cdot 2t + \frac{\partial f}{\partial y} \cdot 3r^2 \right]$

$\frac{\partial z}{\partial u} = g'(y) \cdot 2u \cdot f(x,y) + g(y) \left[\frac{\partial f}{\partial x} \cdot 0 + \frac{\partial f}{\partial y} \cdot 2u \right]$

3.5.5 ↪ ↘

- $\frac{\partial z}{\partial x} = \frac{\partial f}{\partial u} \cdot y + \frac{\partial f}{\partial v}$

- Aplicamos regla del producto,

$$\begin{aligned}\frac{\partial^2 z}{\partial x \partial y} &= \frac{\partial}{\partial y} \left[\frac{\partial f}{\partial u} \cdot y \right] + \frac{\partial}{\partial y} \left[\frac{\partial f}{\partial v} \right] \\ &= 1 \cdot \frac{\partial f}{\partial u} + y \left[\frac{\partial^2 f}{\partial u^2} \cdot x \right] + \left[\frac{\partial^2 f}{\partial u \partial v} \cdot x \right]\end{aligned}$$

3.5.6 ↪

$$\begin{aligned}\frac{\partial z}{\partial u} &= \frac{\partial^2 f}{\partial x^2} \cdot \frac{\partial x}{\partial u} + \frac{\partial^2 f}{\partial y \partial x} \cdot \frac{\partial y}{\partial u} + \frac{\partial^2 f}{\partial x \partial y} \cdot \frac{\partial x}{\partial u} + \frac{\partial^2 f}{\partial y^2} \cdot \frac{\partial y}{\partial u} \\ &= \frac{\partial^2 f}{\partial x^2} \cdot 2u + \frac{\partial^2 f}{\partial y \partial x} \cdot 1 + \frac{\partial^2 f}{\partial x \partial y} \cdot 2u + \frac{\partial^2 f}{\partial y^2} \cdot 1\end{aligned}$$

$$\begin{aligned}\frac{\partial z}{\partial v} &= \frac{\partial^2 f}{\partial x^2} \cdot \frac{\partial x}{\partial v} + \frac{\partial^2 f}{\partial y \partial x} \cdot \frac{\partial y}{\partial v} + \frac{\partial^2 f}{\partial x \partial y} \cdot \frac{\partial x}{\partial v} + \frac{\partial^2 f}{\partial y^2} \cdot \frac{\partial y}{\partial v} \\ &= \frac{\partial^2 f}{\partial x^2} \cdot 1 + \frac{\partial^2 f}{\partial y \partial x} \cdot 2v + \frac{\partial^2 f}{\partial x \partial y} \cdot 1 + \frac{\partial^2 f}{\partial y^2} \cdot 2v\end{aligned}$$

3.5.7 ↪

- $\frac{\partial z}{\partial x} = 2x \frac{\partial f}{\partial u} + y \frac{\partial f}{\partial v}$

- Aplicamos la regla del producto,

$$\begin{aligned}\frac{\partial^2 z}{\partial x^2} &= \frac{\partial}{\partial x} \left[2x \frac{\partial f}{\partial u} \right] + \frac{\partial}{\partial x} \left[y \frac{\partial f}{\partial v} \right] \\ &= 2 \frac{\partial f}{\partial u} + 2x \left[2x \frac{\partial^2 f}{\partial u^2} + y \frac{\partial^2 f}{\partial v \partial u} \right] + y \left[2x \frac{\partial^2 f}{\partial u \partial v} + y \frac{\partial^2 f}{\partial v^2} \right]\end{aligned}$$

- Simplificando se obtiene el resultado.

3.5.8 ↪

Primero debemos hacer un cambio de variable para poder aplicar la regla de la cadena. Sea $z = f(u, v) - g(w)$. Entonces,

$$z_y = f_u \cdot -\operatorname{sen}y - g'(w) \cdot 6xy.$$

$$z_{xy} = -\operatorname{sen}y(f_{uu} \cdot 2x + f_{uv} \cdot 2x) - g''(w) \cdot 3y^2 \cdot 6xy + 6y \cdot g'(w)$$

3.5.9 ↪

Primero debemos hacer un cambio de variable para poder aplicar la regla de la cadena. Sea $z = x^2 f^4(u, v)$. Entonces,

$$z_x = 2xf^4(u, v) + x^2(4f^3(u, v) \cdot (f_u \cdot y + f_v \cdot 0))$$

$$z_y = x^2(4f^3(u, v) \cdot (f_u \cdot x + f_v \cdot 2y))$$

3.5.10 Las derivadas parciales que se piden aparecen cuando calculamos $\frac{\partial z}{\partial x}$ y $\frac{\partial z}{\partial y}$. La idea es despejar a partir de estos dos cálculos.

$$\begin{cases} \frac{\partial z}{\partial x} = \frac{\partial f}{\partial s} \cdot 2x + \frac{\partial f}{\partial t} \cdot y \\ \frac{\partial z}{\partial y} = \frac{\partial f}{\partial s} \cdot -1 + \frac{\partial f}{\partial t} \cdot x \end{cases} \Rightarrow \frac{\partial f}{\partial t} = \frac{1}{y+2x^2} \left[\frac{\partial z}{\partial x} + 2x \cdot \frac{\partial z}{\partial y} \right]$$

$$\text{De manera análoga, } \frac{\partial f}{\partial s} = \frac{1}{y+2x^2} \left[\frac{\partial z}{\partial x} - y \cdot \frac{\partial z}{\partial y} \right]$$

3.5.11 Sea $u = xy$. Con un cálculo directo obtenemos $\frac{\partial z}{\partial x} = yf(u)$ y $\frac{\partial z}{\partial y} = xf'(u)$. Sustituyendo en la ecuación diferencial se obtiene el resultado.

3.5.12

3.5.13

Al aplicar el cambio de variable, z es una función de u y v , es decir, $z = z(u, v)$. Por tanto

$$\frac{\partial z}{\partial x} = \frac{\partial z}{\partial u} u_x + \frac{\partial z}{\partial v} v_y = y \frac{\partial z}{\partial u} + \frac{1}{y} \frac{\partial z}{\partial v} \quad y \quad \frac{\partial z}{\partial y} = x \frac{\partial z}{\partial u} - \frac{x^2}{y} \frac{\partial z}{\partial v}$$

Sustituyendo $\frac{\partial z}{\partial x}$, $\frac{\partial z}{\partial y}$, $x = \sqrt{uv}$ y $y = \sqrt{u/v}$ en (*), nos queda

$$\frac{\partial z}{\partial u} = v \operatorname{sen} u$$

3.6.1

Sea $F(x, y, z) = x^2y^2 + \operatorname{sen}(xyz) + z^2 - 4$. Si las derivadas parciales z_x y z_y existen en todo el dominio en el que $F_z \neq 0$, entonces

- $\frac{\partial z}{\partial x} = -\frac{F_x}{F_z} = -\frac{2xy^2 + yz \cos(xyz)}{xycos(xyz) + 2z}$
- $\frac{\partial z}{\partial y} = -\frac{F_y}{F_z} = -\frac{2x^2y + xz \cos(xyz)}{xycos(xyz) + 2z}$
- La identidad se obtiene sustituyendo y simplificando.

3.6.2 En este caso, $F = g\left(\frac{xy}{z}, x^2 + y^2\right)$.

- $\frac{\partial z}{\partial x} = -\frac{g_x}{g_z} = -\frac{g_u \cdot \frac{y}{z} + g_v \cdot 2x}{-g_u \cdot \frac{xy}{z^2}}$
- $\frac{\partial z}{\partial x} = -\frac{g_y}{g_z} = -\frac{g_u \cdot \frac{x}{z} + g_v \cdot 2y}{-g_u \cdot \frac{xy}{z^2}}$
- $y \cdot \frac{g_u \cdot \frac{y}{z} + g_v \cdot 2x}{g_u \cdot \frac{xy}{z^2}} - x \cdot \frac{g_u \cdot \frac{x}{z} + g_v \cdot 2y}{g_u \cdot \frac{xy}{z^2}} = -\frac{g_u \left(\frac{x^2 - y^2}{z} \right)}{g_u \cdot \frac{xy}{z^2}} = -\frac{z(x^2 - y^2)}{xy} \quad \checkmark$

3.6.3 ↪ Sea $F = z - f(u)$ con $u = z/xy$.

$$\begin{aligned}\frac{\partial z}{\partial x} &= -\frac{F_x}{F_z} = -\frac{-f'(u) \cdot \frac{-z}{x^2 y}}{1 - f'(u) \cdot \frac{1}{xy}} = -\frac{z}{x} \cdot \frac{f'(u)}{xy - f'(u)}. \\ \frac{\partial z}{\partial y} &= -\frac{F_y}{F_z} = -\frac{-f'(u) \cdot \frac{-z}{xy^2}}{1 - f'(u) \cdot \frac{1}{xy}} = -\frac{z}{y} \cdot \frac{f'(u)}{xy - f'(u)}. \\ x \frac{\partial z}{\partial x} - y \frac{\partial z}{\partial y} &= -x \cdot \frac{z}{x} \cdot \frac{f'(u)}{xy - f'(u)} - y \cdot -\frac{z}{y} \cdot \frac{f'(u)}{xy - f'(u)} = 0 \quad \checkmark\end{aligned}$$

3.6.4 ↪ La primera derivada se hace derivando implícitamente; las segundas derivadas son derivadas ordinarias.

$$\bullet \frac{\partial z}{\partial x} = -\frac{z \ln(yz)}{x - z}.$$

$$\begin{aligned}\frac{\partial^2 z}{\partial x^2} &= \frac{\partial}{\partial x} \left[-\frac{z \ln(yz)}{x - z} \right] = -\frac{\left[\frac{\partial z}{\partial x} \cdot \ln(yz) + z \cdot \frac{y \cdot \frac{\partial z}{\partial x}}{yz} \right] (x - z) - \left(1 - \frac{\partial z}{\partial x} \right) \cdot z \ln(yz)}{(x - z)^2} \\ &= -\frac{\left[-\frac{z \ln(yz)}{x - z} \cdot \ln(yz) + z \cdot \frac{y \cdot -\frac{z \ln(yz)}{x - z}}{yz} \right] (x - z) - \left(1 + \frac{z \ln(yz)}{x - z} \right) \cdot z \ln(yz)}{(x - z)^2}\end{aligned}$$

$$\bullet \frac{\partial z}{\partial y} = -\frac{xz}{y(x - z)}$$

$$\begin{aligned}\frac{\partial^2 z}{\partial y^2} = \frac{\partial}{\partial y} \left[-\frac{xz}{y(x-z)} \right] &= -\frac{x \cdot \frac{\partial z}{\partial y} \cdot y(x-z) - \left(x-z - y \cdot \frac{\partial z}{\partial y} \right) \cdot xz}{y^2(x-z)^2} \\ &= \frac{x \cdot \frac{xz}{y(x-z)} \cdot y(x-z) - \left(x-z - y \cdot \frac{xz}{y(x-z)} \right) \cdot xz}{y^2(x-z)^2}\end{aligned}$$

$$\begin{aligned}\frac{\partial^2 z}{\partial x \partial y} = \frac{\partial}{\partial x} \left[-\frac{xz}{y(x-z)} \right] &= -\frac{\left(z + x \cdot \frac{\partial z}{\partial x} \right) \cdot y(x-z) - \left(y - y \cdot \frac{\partial z}{\partial x} \right) \cdot xz}{y^2(x-z)^2} \\ &= -\frac{\left(z + x \cdot -\frac{z \ln(yz)}{x-z} \right) \cdot y(x-z) - \left(y - y \cdot -\frac{z \ln(yz)}{x-z} \right) \cdot xz}{y^2(x-z)^2}\end{aligned}$$

3.6.5 ↲👁

3.6.6 ↲👁

3.6.7 ↲👁

3.6.8 ↲👁

3.6.9 ↲👁

3.6.10 ↲👁

3.6.11 ↲👁

3.6.12 ↲👁

3.6.13 ↲👁

3.12.1 ↲👁

a.) $\nabla f = (-2x, -2y)$

$$D_{\vec{u}} f(Q) = \nabla f(Q) \cdot \frac{u}{\|u\|} = (-2, -2) \cdot \frac{(-2, 1)}{\sqrt{5}} = \frac{2}{\sqrt{5}}$$

b.)

$$D_u f(P) = (-2a, -2b) \cdot (-2, 1) / \sqrt{5} = \sqrt{2} \implies 4a - 2b = \sqrt{10}$$

$$D_v f(P) = (-2a, -2b) \cdot (1, 1) / \sqrt{2} = \sqrt{5} \implies -2a - 2b = \sqrt{10}$$

Entonces, $a = 0$ y $b = -\sqrt{5/2}$. $P = (0, -\sqrt{5/2}, 3/2)$.

c.) La superficie S tiene ecuación $z = 4 - x^2 - y^2$. Si $G = z - 4 + x^2 + y^2$ entonces un vector normal al plano es $N = \nabla G(R) = (2, -2, 1)$. Luego la ecuación cartesiana es $2x - 2y + z = 6$.

d.) $D_u f(R)$ es máxima si $\vec{u} = \nabla f(R) = (-2, 2)$. En este caso, $D_{\nabla f(R)} f(R) = \|\nabla f(R)\| = \sqrt{8}$.

3.12.2 ↪ ↤

a.) $\nabla f = \left(-\frac{2x+yz}{xy+3z^2}, \frac{-xz}{xy+3z^2} \right)$

$$D_{\vec{u}} f(Q) = \nabla z(Q) \cdot \frac{\vec{v}}{\|\vec{v}\|} = (-1, 0) \cdot \frac{(-2, 1)}{\sqrt{5}} = \frac{2}{\sqrt{5}}$$

b.)

$$D_{\vec{v}} z(P) = (-2/b, 0) \cdot (-2, 1)/\sqrt{5} = \sqrt{2} \implies b = 4/\sqrt{10}$$

c.) La superficie S tiene ecuación $G(x, y, z) = x^2 + xyz + z^3 - 1$, entonces $\nabla G = (2x + yz, xz, xy + 3z^2)$. Un vector normal al plano es $N = \nabla G(R) = (1, 1, 2)$. Luego la ecuación cartesiana es $x + y + 2z = 2$.

d.) $D_u z(R)$ es mínima si $\vec{u} = -\nabla z(R) = (1/2, 1/2)$. En este caso, $D_{\nabla z(R)} z(R) = -\|\nabla z(R)\| = -\sqrt{1/2}$.

3.12.3 ↪ ↤

a.) $z = z(x, y)$ está definida de manera implícita. Sea $F(x, y, z) = z^3 + xz + y - 1$.

$$\nabla z = \left(-\frac{F_x}{F_z}, -\frac{F_y}{F_z} \right) = \left(-\frac{z}{3z^2+x}, -\frac{1}{3z^2+x} \right);$$

$$\begin{aligned} D_{\vec{u}} z(P) &= \nabla z(P) \cdot \frac{(1, -2)}{\sqrt{5}} \\ &= (0, -1) \cdot \frac{(1, -2)}{\sqrt{5}} = 2/\sqrt{5} \approx 0.894427. \end{aligned}$$

b.) El máximo valor que podría alcanzar la derivada direccional en P es $\|\nabla z(P)\| = 1$ cuando $\vec{v} = \nabla z(P) = (0, -1)$.

c.) Como la superficie S tiene ecuación $G(x, y, z) = z^3 + xz + y - 1$, la ecuación cartesiana del plano tangente en el punto P es $\nabla G(P) \cdot (x, y, z) = \nabla G(P) \cdot P$.

- $\nabla G(x, y, z) = (z, 1, 3z^2 + x)$
- $N = \nabla G(1, 1, 0) = (0, 1, 1)$

La ecuación cartesiana del plano tangente en el punto P es $y + z = 1$.

3.12.4 ↪ ↤

a.) $z = z(x, y)$ está definida de manera implícita. Sea $F(x, y, z) = xyz^2 - 8z$.

$$\nabla z = \left(-\frac{F_x}{F_z}, -\frac{F_y}{F_z} \right) = \left(-\frac{yz^2}{2zxy-8}, -\frac{xz^2}{2zxy-8} \right);$$

$$\begin{aligned} D_{\vec{u}} z(P) &= \nabla z(P) \cdot \frac{(-5, \sqrt{2})}{\sqrt{27}} \\ &= (-8, -8) \cdot \frac{(-5, \sqrt{2})}{\sqrt{27}} = \frac{40 - 8\sqrt{2}}{\sqrt{27}} \approx 5.52068 \end{aligned}$$

b.)

c.) Como la superficie S tiene ecuación $G(x, y, z) = xyz^2 - 8z$, la ecuación cartesiana del plano tangente en el punto P es $\nabla G(P) \cdot (x, y, z) = \nabla G(P) \cdot P$.

- $\nabla G(x, y, z) = (yz^2, xz^2, 2xyz - 8)$

- $N = \nabla G(1, 1, 8) = (64, 64, 8)$

La ecuación cartesiana del plano tangente en el punto P es $64x + 64y + 8z = 192$.

3.12.5 La recta normal L pasa por P y va en la dirección de un vector normal a la superficie S en P . Podemos tomar $N = \nabla G(P) = (1, 1, 2/\sqrt{2})$, así una ecuación vectorial de la recta es $L: (x, y, z) = P + t(1, 1, 2/\sqrt{2})$, $t \in \mathbb{R}$.

3.12.6

- a.)
b.)

3.12.6

Soluciones del Capítulo 4

4.2.1 Los puntos críticos son $(0, 0)$ y $P = (\frac{4}{25}, \frac{2}{5})$. En $(0, 0)$ el criterio no decide, en $(\frac{4}{25}, \frac{2}{5}, f(P))$ es punto de silla.

4.2.2 Puntos críticos.

$$\begin{cases} \frac{\partial f}{\partial x} = 4x^3 - 4y = 0 \implies y = x^3, \\ \frac{\partial f}{\partial y} = 4y^3 - 4x = 0 \implies x(x^8 - 1) = 0 \implies \begin{cases} x = 0 \\ x = \pm 1 \end{cases} \end{cases}$$

Puntos críticos: $(0, 0)$, $(1, 1)$, $(-1, -1)$.

Clasificación. $D_2(x, y) = f_{xx} \cdot f_{yy} - (f_{xy})^2 = 12x^2 \cdot 12y^2 - 16$.

P	$f_{xx}(P)$	$f_{yy}(P)$	$(f_{xy}(P))^2$	$D_2(P)$	Clasificación
$(0,0)$	0	0	16	-16	$(0,0,1)$ es punto de silla.
$(1,1)$	12	12	16	128	$(1,1,-1)$ es mínimo local.
$(-1,-1)$	12	12	16	128	$(-1,-1,-1)$ es mínimo local

4.2.3 ↩👁 Puntos críticos.

$$\begin{cases} f_x = 3x^2 + 3y^2 - 6x = 0 & (E1) \\ f_y = 6xy - 6y = 0 & (E2) \end{cases} \implies \begin{cases} 3(x^2 + y^2 - 2x) = 0 \\ 6y(x-1) = 0 \end{cases} \implies y=0 \text{ o } x=1.$$

• Si $y=0$, sustituyendo en (E1) queda

$$3(x^2 - 2x) = 0 \implies x=0, x=2.$$

• Si $x=1$, sustituyendo en (E1) queda

$$3(y^2 - 1) = 0 \implies y=1, y=-1.$$

Finalmente, tenemos cuatro puntos críticos: $(0,0)$, $(2,0)$, $(1,1)$ y $(1,-1)$.

Clasificación.

$$D_2(x,y) = f_{xx} \cdot f_{yy} - (f_{xy})^2 = (6x-6) \cdot (6x-6) - 36y^2.$$

- En $(0,0)$ f alcanza un máximo relativo, pues $D_2(0,0) = 36 > 0$ y $f_{xx}(0,0) = -6 < 0$.
- En $(2,0)$ f alcanza un mínimo relativo pues $D_2(2,0) = 36 > 0$ y $f_{xx}(2,0) = 6 > 0$.
- En $(1,1)$ f no alcanza un extremo pues $D_2(1,1) = -36 < 0$ (punto de silla).
- En $(1,-1)$ f no alcanza un extremo pues $D_2(1,-1) = -36 < 0$ (punto de silla).

4.2.4 ↩👁 Como $P = (1,2)$ es punto crítico, las derivadas parciales de z se anulan en P , es decir

$$\begin{cases} \frac{\partial z}{\partial x} \Big|_{(1,2)} = 0 \\ \frac{\partial z}{\partial y} \Big|_{(1,2)} = 0 \end{cases} \implies \begin{cases} \left(y - \frac{a}{x^2}\right) \Big|_{(1,2)} = 0 \\ \left(x - \frac{b}{y^2}\right) \Big|_{(1,2)} = 0 \end{cases} \implies \begin{cases} 2 - \frac{a}{1^2} = 0 \\ 1 - \frac{b}{2^2} = 0 \end{cases} \implies a=2 \text{ y } b=4$$

$$\text{Ahora, } D_2(x,y) = \left(\frac{2a}{x^3}\right) \left(\frac{2b}{y^3}\right) - 1^2 = \left(\frac{4}{x^3}\right) \left(\frac{8}{y^3}\right) - 1.$$

• $D_2(1,2) = 3$ y $z_{xx}(1,2) = 4 > 0$. Luego, en el punto $P = (2,1)$ z alcanza un mínimo relativo.

4.2.5 ↩👁

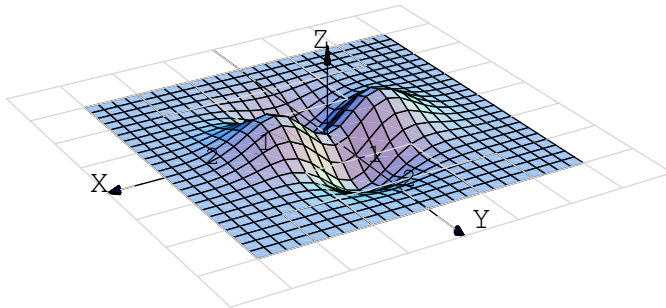
• Puntos críticos: Resolvemos el sistema,

$$\begin{cases} z_x = 8x - y = 0 \implies 8x = y \\ z_y = -x + 2y = 0 \implies 2y = x \end{cases} \implies 16y = y \implies y = 0$$

así, el único punto crítico es $(0, 0)$.

- Test: $D_2(x, y) = 8 \cdot 2 \cdot -(-1)^2 = 15$ (es constante) y puesto que $z_{xx} = 8 > 0$, entonces $(0, 0, 0)$ es un mínimo relativo.

4.2.6 La gráfica de f es,



- Puntos críticos: El sistema es $\begin{cases} z_x = 2xe^{-x^2-y^2} - 2xe^{-x^2-y^2}(x^2 - y^2) = 0 \\ z_y = -2ye^{-x^2-y^2} - 2ye^{-x^2-y^2}(x^2 - y^2) = 0 \end{cases}$

Simplificando queda $\begin{cases} e^{-x^2-y^2}2x(1-x^2+y^2) = 0 \\ -e^{-x^2-y^2}2y(1+x^2-y^2) = 0 \end{cases}$

como $e^{-x^2-y^2} > 0$ entonces nos queda el sistema

$$\begin{cases} 2x(1-x^2+y^2) = 0 \\ -2y(1+x^2-y^2) = 0 \end{cases}$$

Tenemos 4 casos:

- CASO 1.) $2x = 0$ y $2y = 0$. Entonces $x = 0$ y $y = 0$.
- CASO 2.) $2x = 0$ y $(1+x^2-y^2) = 0$. Entonces $x = 0$ y $y = \pm 1$

- CASO 3.) $-2y = 0$ y $(1 - x^2 + y^2) = 0$. Entonces $y = 0$ y $x = \pm 1$

- CASO 4.) $(1 - x^2 + y^2) = 0$ y $(1 + x^2 - y^2) = 0$. Este caso es inconsistente pues quedaría

$$x^2 - y^2 = 1 \quad y \quad x^2 - y^2 = -1$$

- Test: Calculamos D_2 y evaluamos cada uno de los cinco puntos.

$$z_{xx} = 2e^{-x^2-y^2}(2x^4 - x^2(2y^2 + 5) + y^2 + 1)$$

$$z_{yy} = 2e^{-x^2-y^2}(x^2(2y^2 - 1) - 2y^4 + 5y^2 - 1)$$

$$z_{xy} = 4xye^{-x^2-y^2}(x^2 - y^2)$$

Luego tenemos:

- Para $P = (0, 0, 0)$, $D_2(P) = -4$. P es un punto de silla.
- Para $(0, 1, -1/e)$, $D_2(P) = 2.165 > 0$ $z_{xx} = 1.47 < 0$. Se trata de un mínimo relativo.
- Para $(0, -1, -1/e)$, $D_2(P) = 2.165 > 0$ $z_{xx} = 1.47 < 0$. Se trata de un mínimo relativo.
- Para $(1, 0, 1/e)$, $D_2(P) = 2.165 > 0$ $z_{xx} = -1.47 < 0$. Se trata de un máximo relativo.
- Para $(-1, 0, -1/e)$, $D_2(P) = 2.165 > 0$ $z_{xx} = -1.47 < 0$. Se trata de un máximo relativo.

4.2.7 ↪ ↘ La distancia del punto al paraboloide es $d(x, y) = \sqrt{(x-2)^2 + (y-2)^2 + (x^2 + y^2)^2}$.

Puntos críticos: Debemos resolver el sistema

$$\begin{aligned} x - 2 + 2x(x^2 + y^2) &= 0 \\ y - 2 + 2y(y^2 + x^2) &= 0 \end{aligned}$$

Como $x = 0$, $y = 0$ no es solución del sistema, podemos asumir que $x \neq 0$ y $y \neq 0$. Luego, despejando $x^2 + y^2 = \frac{2-x}{2x} = \frac{2-y}{2y} \implies x = y$.

Ahora, sustiyendo $x = y$ en cualquiera de las ecuaciones, obtenemos $x - 2 + 4x^3 = 0$. La calculadora nos da las soluciones $x = 0.68939835\dots, y = 0.68939835\dots$.

Clasificación. $D_2(x, y) = [(1 + 4x^2 + 2(x^2 + y^2)) \cdot [1 + 4y^2 + 2(x^2 + y^2)] - 16x^2y^2]$. Evaluamos $D_2(0.68939835\dots, 0.68939835\dots) = 19.4466\dots > 0$ y $f_{xx}(0.68939835\dots, 0.68939835\dots) > 0$, es de-

cir, el punto en el paraboloide dónde se alcanza la distancia mínima al punto $(2, 2, 2)$ es $(0.68939835\dots, 0.68939835\dots, z(0.68939835\dots, 0.68939835\dots))$.

4.2.8 ↪ Los puntos críticos son $(0, 0)$, $(1, 1)$ y $(-1, -1)$

4.2.9 ↪ Suponga que las dimensiones de la caja son x cm de ancho, y cms de largo y z cms de alto, entonces su volumen es :

$$10 = xyz \implies z = \frac{10}{xy}$$

Por otro lado, el costo total esta dado por $c(x, y, z) = 20xz + 20yz + 40xy$

De donde obtenemos que

$$c(x, y) = \frac{200}{x} + \frac{200}{y} + 40xy$$

Calculando las derivadas parciales, formamos el siguiente sistema

$$\begin{cases} \frac{\partial c}{\partial x} = 40y - \frac{200}{x^2} = 0 & \text{(E1)} \\ \frac{\partial c}{\partial y} = 40x - \frac{200}{y^2} = 0 & \text{(E2)} \end{cases}$$

Multiplicando por (E1) por x a ambos lados y (E2) por y ambos lados, obtenemos $x = y$. Sustituyendo en (E1) obtenemos $x = y = \sqrt[3]{5}$

$D_2(x, y) = \frac{160000}{x^3 y^3} - 1600$ y al evaluar en el punto $P = (\sqrt[3]{5}, \sqrt[3]{5})$, tenemos que $((\sqrt[3]{5}, \sqrt[3]{5}, 120\sqrt[3]{5}))$ es un mínimo local.

Respuesta: Las dimensiones de la caja con costo mínimo son $x = \sqrt[3]{5}$, $y = \sqrt[3]{5}$ y $z = 10/\sqrt[3]{25}$.

4.2.10 ↪

4.2.11 ↪

4.2.12 ↪ El área de la superficie es $S(x, y, h) = 2xh + 2yh + 2xy = 64$. Despejando h obtenemos que el volumen es $V = xy \frac{32 - xy}{x + y}$. Resolviendo $\nabla V = (0, 0)$ obtenemos $x = y = \sqrt{32/3}$.

4.2.13 ↪ Puntos críticos: $(0, 0)$ y $(1, -1/2e)$. El punto $(0, 0, 0)$ es punto de silla y en $(1, -1/2e)$ la función alcanza un mínimo local.

4.4.1 ↪ Problema: “Maximizar $V(r, h) = \pi r^2 h$ sujeto a $48\pi = 2\pi rh + \pi r^2$.”

• $L(r, h, \lambda) = \pi r^2 h - \lambda(2rh + r^2 - 48)$.

• $\begin{cases} L_r = 2\pi rh - \lambda(2h + 2r) = 0 & (1) \\ L_h = \pi r^2 - \lambda 2r = 0 & (2) \\ L_\lambda = 2rh + r^2 = 48 & (3) \end{cases} \Rightarrow \begin{cases} \lambda = \frac{\pi rh}{h+r}, \text{ pues } h > 0 \text{ y } r > 0. \\ \lambda = \pi r/2 \\ 2rh + r^2 = 48 \end{cases}$

Ahora, $\lambda = \lambda \Rightarrow \frac{\pi rh}{h+r} = \frac{\pi}{2} r \Rightarrow r(h-r) = 0 \Rightarrow r = h \quad (r > 0)$.

Luego, sustituimos $r = h$ en la ecuación (3) :

$$2rh + r^2 = 48 \Rightarrow 2h^2 + h^2 = 48 \Rightarrow h = \pm 4.$$

\therefore Las dimensiones son $h = 4$ y $r = 4$.

4.4.2 ↵

a.) Como $xy^2z = 32$ entonces x, y ni z puede ser nulos (sino el producto sería 0).

b.) Problema:

“Minimizar $d(Q, O)$ sujeto a la restricción $xy^2z = 32$.”

“Minimizar $d = \sqrt{x^2 + y^2 + z^2}$ sujeto a la restricción $xy^2z = 32$.”

sea $L(x, y, z, \lambda) = \sqrt{x^2 + y^2 + z^2} - \lambda(xy^2z - 32) = \sqrt{x^2 + y^2 + z^2} - \lambda xy^2z - 32\lambda$.

• Puntos críticos.

$$\begin{cases} L_x = 0 \\ L_y = 0 \\ L_z = 0 \\ L_\lambda = 0 \end{cases} \Rightarrow \begin{cases} \frac{x}{\sqrt{x^2 + y^2 + z^2}} - \lambda y^2 z = 0 & (\text{E1}) \\ \frac{y}{\sqrt{x^2 + y^2 + z^2}} - 2\lambda xyz = 0 & (\text{E2}) \\ \frac{z}{\sqrt{x^2 + y^2 + z^2}} - \lambda xy^2 = 0 & (\text{E3}) \\ xy^2z - 32 = 0 & (\text{E4}) \end{cases}$$

Como x, y y z son no nulos, podemos despejar λ en las ecuaciones (E1), (E2) y (E3),

$$\lambda = \underbrace{\frac{x}{y^2 z \sqrt{x^2 + y^2 + z^2}}}_{2x^2 = y^2} = \frac{y}{2xyz \sqrt{x^2 + y^2 + z^2}} = \frac{z}{xy^2 \sqrt{x^2 + y^2 + z^2}},$$

de donde obtenemos $2x^2 = y^2$ y $y^2 = 2z^2$, es decir $x = \pm z$ y $y^2 = 2z^2$. Sustituyendo en la ecuación (E4) nos queda $z \cdot 2z^2 \cdot z = 2z^4 = 32$, es decir $z = \pm 2$.

Finalmente, como $y^2 > 0$ y como $xy^2z = 32$ entonces x y z deben tener el mismo signo, es decir, $x = z$ y $y = \pm\sqrt{2}z$. Tenemos solo cuatro posibles soluciones,

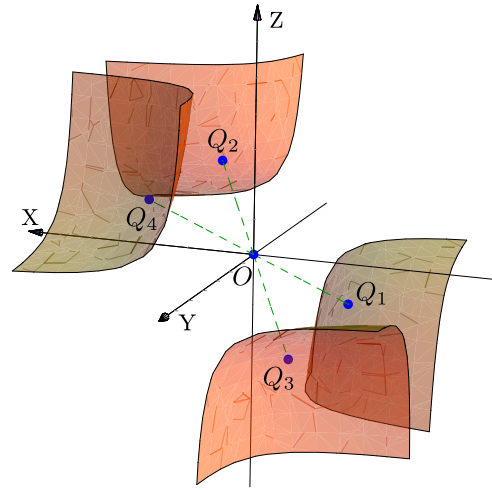
$$Q_1 = (2, -2\sqrt{2}, 2); \quad \lambda = 1/8,$$

$$Q_2 = (2, -2\sqrt{2}, 2); \quad \lambda = 1/8,$$

$$Q_3 = (-2, 2\sqrt{2}, -2); \quad \lambda = 1/8,$$

$$Q_4 = (-2, 2\sqrt{2}, -2); \quad \lambda = 1/8.$$

Como $d(Q_1, O) = d(Q_2, O) = d(Q_3, O) = d(Q_4, O)$, los cuatro puntos son los puntos de S más cercanos al origen.



4.4.3 Problema: “Minimizar $A = 3\pi r^2 + 2\pi rh$ sujeto a la restricción $V = \pi r^2 h + \frac{2}{3}\pi r^3 = 400$ ”

La altura total es $h + r \approx 8.49$ m y el diámetro es $d \approx 8.49$ m

4.4.4 Problema: “Maximizar $\rho = 2 + xz + y^2$ sujeto a la restricción $x^2 + y^2 + z^2 - 4 = 0$ ”.

Sea $L(x, y, z, \lambda) = 2 + xz + y^2 - \lambda(x^2 + y^2 + z^2 - 4)$. Factorizando en la ecuación $L_y = 0$ obtenemos los casos $y = 0$ y $\lambda = 1$, y con las ecuaciones $L_x = 0$ y $L_z = 0$ obtenemos los casos $z = 0$ y $\lambda = \pm 1/2$. Resolviedo para estos casos se obtienen los cuatro puntos críticos: $(0, \pm 2, 0)$, $(\pm\sqrt{2}, 0, \pm\sqrt{2})$, $(\pm\sqrt{2}, 0, \mp\sqrt{2})$.

Evaluando ρ en los seis puntos encontramos que ρ es máximo en los puntos $(0, \pm 2, 0)$ y mínimo en los puntos $(\pm\sqrt{2}, 0, \mp\sqrt{2})$.

4.4.5 $(0, -1, 2)$.

4.4.6 $x = 3/2, y = 3/2, \lambda = -3$.

4.4.7

4.4.8 $\lambda = 0, x = -1, y = 0$,

$\lambda = 0, x = 1, y = 0$,

$\lambda = 0, y = -1, x = 0$,

$\lambda = 0, y = 1, x = 0$,

$\lambda = \frac{1}{2}, x = -\frac{1}{\sqrt{2}}, y = -\frac{1}{\sqrt{2}}$,

$\lambda = \frac{1}{2}, x = -\frac{1}{\sqrt{2}}, y = \frac{1}{\sqrt{2}}$,

$$\lambda = \frac{1}{2}, x = \frac{1}{\sqrt{2}}, y = -\frac{1}{\sqrt{2}},$$
$$\lambda = \frac{1}{2}, x = \frac{1}{\sqrt{2}}, y = \frac{1}{\sqrt{2}}.$$

4.4.9 $(\pm\sqrt{2}, 1)$ y $\lambda = 1$. Observe que $x = 0$ no satisface la restricción.

4.4.10

4.4.11

4.9.1

4.9.2

4.9.3

4.9.4

4.9.5

4.9.6

4.9.7

4.9.8

4.9.9

4.9.10

4.9.11

4.9.12 $x = \pm 1/3, y = \pm 3, z = \pm 4/3, w_{max} = 2\sqrt{3}/3$

4.10.1

4.10.2

4.10.3

4.10.4

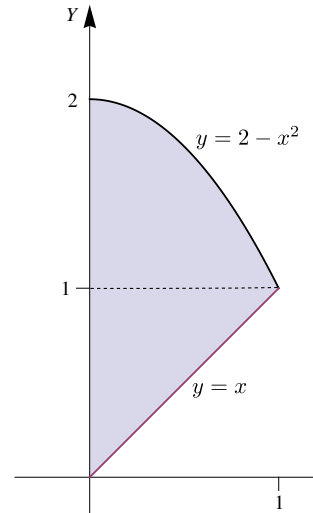
4.10.5

4.10.6

Soluciones del Capítulo 5

5.3.1 ↵

$$A_R = \int_0^1 \int_x^{2-x^2} dy dx = 7/6$$



5.3.2 ↵

5.3.3 ↵

$$1. I = \int_0^2 \int_{-2+\sqrt{2-y}}^{2-y} f(x,y) \cdot dx dy$$

$$2. I = \int_{-2}^{-2+\sqrt{2}} \int_{-(x+2)^2}^2 f(x,y) \cdot dy dx + \int_{-2+\sqrt{2}}^0 \int_0^2 f(x,y) \cdot dy dx + \int_0^2 \int_0^{2-x} f(x,y) \cdot dy dx$$

5.3.4 ↵

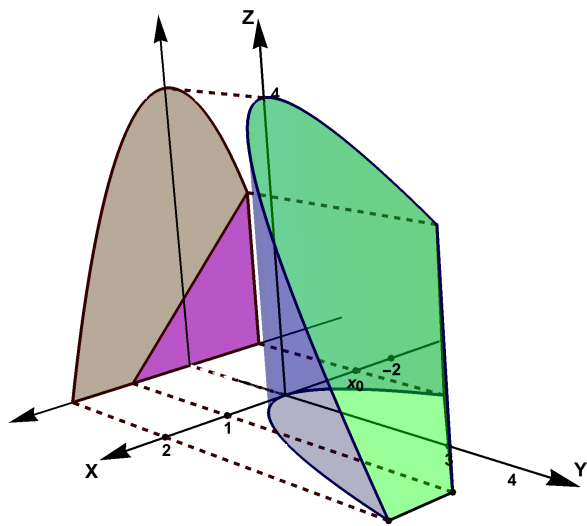
Cuidado, debe escoger la rama correcta en cada parábola.

$$\iint_R f(x,y) dA = \int_0^2 \int_{-2+\sqrt{2-y}}^{3-\sqrt{y}} f(x,y) \, dx \, dy$$

$$\iint_R f(x,y) dA = \int_{-2}^{-2+\sqrt{2}} \int_{-(x+2)^2}^2 f(x,y) \, dy \, dx + \int_{-2+\sqrt{2}}^0 \int_0^2 f(x,y) \, dy \, dx + \int_{3-\sqrt{2}}^3 \int_0^{(x-3)^2} f(x,y) \, dy \, dx$$

5.3.5 ↵

Proyección sobre XZ



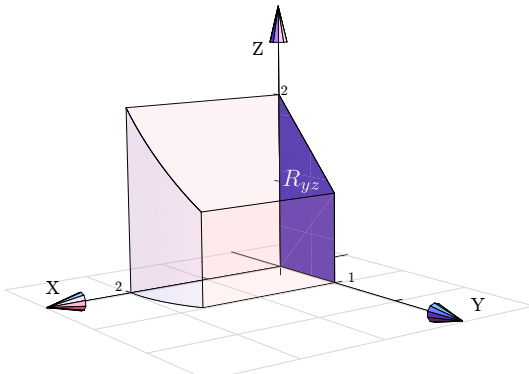
Volumen de Q proyectando sobre XY

$$\begin{aligned}
 V_Q &= \iint_{R_1} (4-y) dA + \iint_{R_2} (4-y) dA \\
 &= \int_{x_0}^1 \int_{x^2}^{3+x} (4-y) dy dx + \int_1^2 \int_{x^2}^4 (4-y) dy dx \\
 \text{con } x_0 &= 0.5 \cdot (1 - \sqrt{13}) \approx -1.30
 \end{aligned}$$

5.3.6 ↵👁 El cálculo es fácil proyectando sobre XY o YZ .

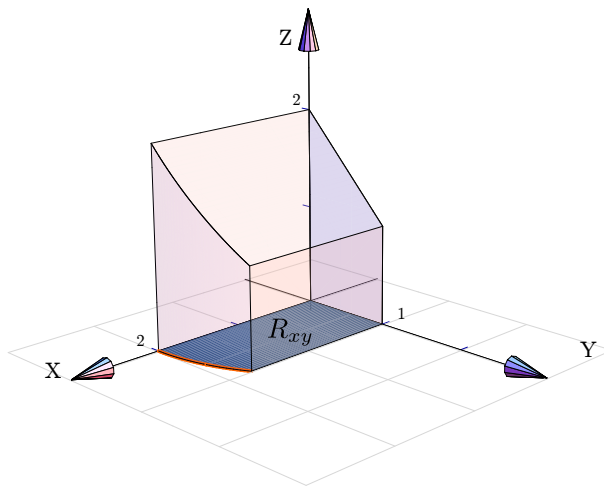
Proyección sobre YZ .

$$V_Q = \int_0^1 \int_0^{2-y} \left[\sqrt{4-y^2} - 0 \right] dz dy$$



Proyección sobre XY .

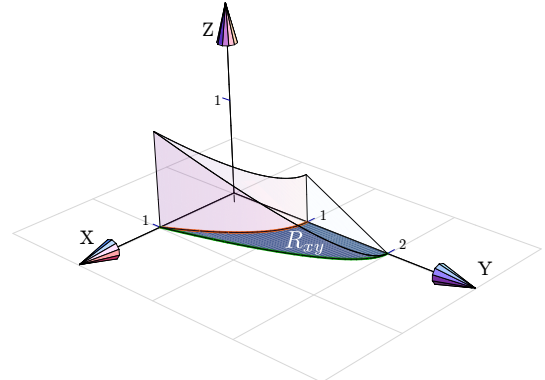
$$V_Q = \int_0^1 \int_0^{\sqrt{4-y^2}} [2 - y - 0] dx dy$$



5.3.7 ↵👁

Proyectando sobre XY .

$$V_Q = \int_0^1 \int_{1-x^2}^{2-2x^2} [1 - y/2 - 0] dy dx$$

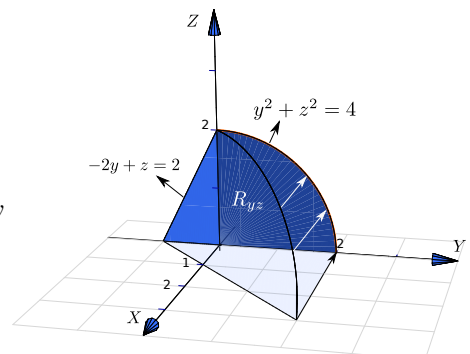


5.3.8 ↵👁

5.3.9 ↵👁

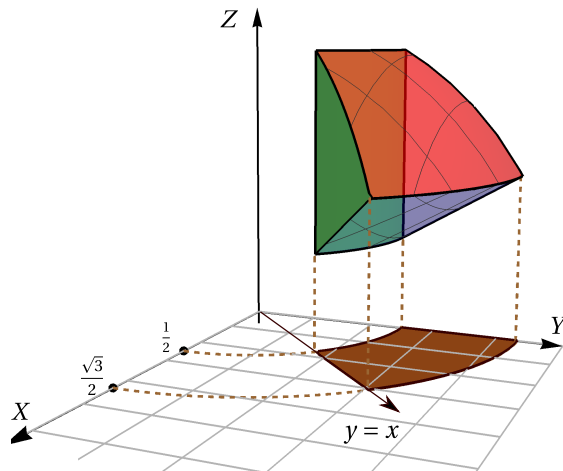
Proyectamos sobre YZ .

$$V_Q = \int_{-1}^0 \int_0^{2+2y} [1 - z/2 + y - 0] dz dy + \int_0^2 \int_0^{\sqrt{4-y^2}} [1 - z/2 + y - 0] dz dy$$



5.3.10 ↵👁

Proyectamos sobre XY .



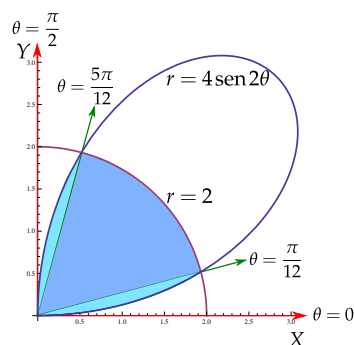
$$V = \int_0^{1\sqrt{8}} \int_{\sqrt{1/4-x^2}}^{\sqrt{3/4-x^2}} \sqrt{1-x^2-y^2} - \sqrt{(x^2+y^2)/3} dy dx + \int_{1\sqrt{8}}^{\sqrt{3/8}} \int_x^{\sqrt{3/4-x^2}} \sqrt{1-x^2-y^2} - \sqrt{(x^2+y^2)/3} dy dx$$

5.5.1 **Solución:** La región está entre las curvas $r = 2$ y $r = 4 \operatorname{sen} 2\theta$. Esto nos da tres subregiones: desde el origen hasta la curva $r = 4 \operatorname{sen} 2\theta$ y desde el origen hasta la curva $r = 2$.

Como $r = 0 \implies r = \operatorname{sen} 2\theta = 0 \implies \theta = 0$ y $\theta = \frac{\pi}{2}$. Podemos verificar con la figura que el dominio de la curva $r = 4 \operatorname{sen} 2\theta$ es $[0, \pi/2]$.

Para obtener los límites de integración de las tres subregiones, buscamos la intersección entre las curvas: $r = 2 \cap r = 4 \operatorname{sen} 2\theta$, es decir,

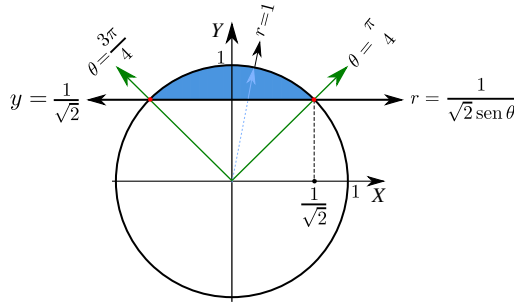
$$2 = 4 \operatorname{sen} 2\theta \implies \theta = \frac{\pi}{12} \text{ y } \theta = \frac{5\pi}{12}.$$



$$\begin{aligned}
 I &= \iint_R r^2 \cdot r dr d\theta \\
 &= \int_0^{\pi/12} \int_0^{4 \sin 2\theta} r^3 dr d\theta \\
 &\quad + \int_{\pi/12}^{5\pi/12} \int_0^2 r^3 dr d\theta \\
 &\quad + \int_{5\pi/12}^{\pi/2} \int_0^{4 \sin 2\theta} r^3 dr d\theta = \frac{16\pi}{3} - 7\sqrt{3}
 \end{aligned}$$

5.5.2 ↵

Solución: Debemos hacer el cambio de variable $x = r \cos(\theta)$ y $y = r \sin(\theta)$.



Observe que

- La recta $y = \frac{1}{\sqrt{2}}$ se transforma en $r \sin \theta = \frac{1}{\sqrt{2}} \Rightarrow r = \frac{1}{\sqrt{2} \sin(\theta)}$.
- La circunferencia $x^2 + y^2 = 1$ se transforma en $r = 1$.
- La recta $y = x$ se transforma en $\theta = \pi/4$. En efecto, $y = x \Rightarrow \cos \theta = \sin(\theta) \Rightarrow \theta = \pi/4$. Esto, por supuesto, también lo podemos establecer de manera geométrica.

$$\begin{aligned}
 A_R &= \iint_R 1 \cdot dA = \int_{\frac{\pi}{4}}^{\frac{3\pi}{4}} \int_{\frac{1}{\sqrt{2}\sin(\theta)}}^1 r dr d\theta \\
 &= \int_{\frac{\pi}{4}}^{\frac{3\pi}{4}} \frac{r^2}{2} \Big|_{\frac{1}{\sqrt{2}\sin(\theta)}}^1 d\theta = \int_{\frac{\pi}{4}}^{\frac{3\pi}{4}} \frac{1}{2} - \frac{1}{4} \frac{1}{\sin^2(\theta)} d\theta = \int_{\frac{\pi}{4}}^{\frac{3\pi}{4}} \frac{1}{2} - \frac{1}{4} \csc^2(\theta) d\theta = \frac{\theta}{2} + \frac{1}{4} \cot(\theta) \Big|_{\frac{\pi}{4}}^{\frac{3\pi}{4}} = \frac{\pi - 2}{4}
 \end{aligned}$$

5.5.3 ↵

5.5.4 ↵

Los límites de integración son $\theta = -\pi/6$ y $\theta = 7\pi/6$. Ahora calcule la integral que da el área.

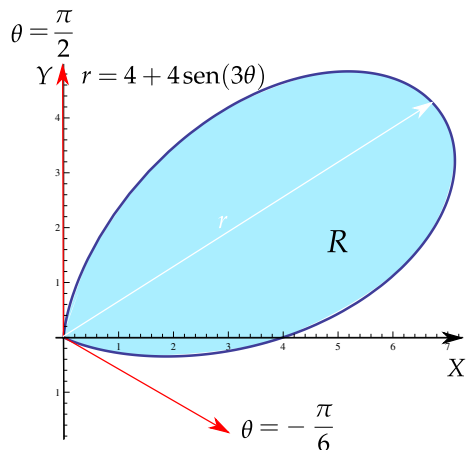
5.5.5 ↵👁

Solución: La ecuación de la curva es $r = 4 + 4 \operatorname{sen} 3\theta$.

Tangentes al polo: $4 + 4 \operatorname{sen} 3\theta = 0 \implies \theta = -\frac{\pi}{6} + 2k\frac{\pi}{3}$.

Observando la figura tenemos que los límites de integración adecuados son $\theta = -\frac{\pi}{6}$ y $\theta = \frac{\pi}{2}$.

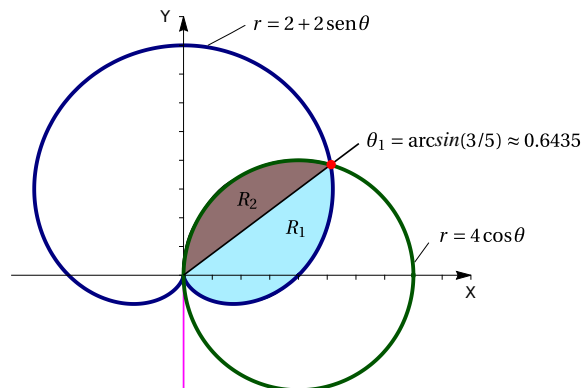
$$A_R = \iint_R 1 \cdot r dr d\theta = \int_{-\pi/6}^{\pi/2} \int_0^{4+4\operatorname{sen}\theta} 1 \cdot r dr d\theta = 8\pi$$



5.5.6 ↵👁

Solución:

a.)



a.) **Tangentes al polo:**

$$2 + 2 \operatorname{sen} \theta = 0 \implies \theta = -\frac{\pi}{2}$$

$$4 \cos \theta = 0 \implies \theta = \frac{\pi}{2}$$

b.) Intersección

$$2 + 2 \sin \theta = 4 \cos \theta \implies -12 + 8 \sin \theta + 20 \sin^2 \theta = 0 \implies \theta = \arcsin(3/5) \approx 0.6435$$

c.) **Área:** $A_R = \int_{-\frac{\pi}{2}}^{\arcsin(\frac{3}{5})} \int_0^{2+2\sin(\theta)} r dr d\theta + \int_{\arcsin(\frac{3}{5})}^{\frac{\pi}{2}} \int_0^{4\cos(\theta)} r dr d\theta = -\frac{28}{5} + \frac{7\pi}{2} - \arcsin\left(\frac{3}{5}\right)$

d.) $r = 0 \implies 2 + 2 \sin(3\theta) = 0 \implies \theta_1 = \frac{7\pi}{6}$ y $\theta_2 = \frac{11\pi}{6}$.

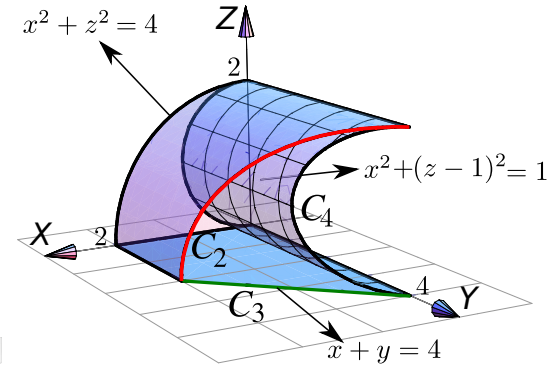
$$\int_{\frac{7\pi}{6}}^{\frac{11\pi}{6}} \int_0^{2\sin(3\theta)+2} 1 r dr d\theta = 2\pi$$

Nota: El intervalo $[-7\pi/6, -\pi/6]$ no es correcto, agrega un trozo adicional de curva y el resultado daría, en valor absoluto, 3π . Use Wolfram Alpha (Internet) para graficar `+ 2 Sin[3t]PolarPlot[2, t, -7 Pi/6, -Pi/6]`

5.5.7 ↵👁 $V_Q = \int_0^{2\pi} \int_0^{\pi/4} \int_0^1 \rho^2 \sin \varphi d\rho d\varphi d\theta = \frac{\pi}{3} (2 - \sqrt{2})$

Solución: La manera fácil es proyectar sobre XZ y usar coordenadas polares,

5.5.8 ↵👁
$$\begin{aligned} V_Q &= \iint_{R_{xz}} 4 - x \, dA \\ &= \int_0^{\pi/2} \int_{2\sin\theta}^2 (4 - r\cos\theta) \cdot r \, dr \, d\theta \\ &= 2\pi - 2 \end{aligned}$$



5.5.9 ↵👁 Proyectar sobre XZ y usar coordenadas polares. Calculando la intersección entre las superficies podemos establecer que la región de integración R_{xy} está entre las curvas $x^2 + y^2 = \frac{1}{4}$, $x^2 + y^2 = \frac{3}{4}$ y las rectas $y = x$ y $x = 0$.

$$V_Q = \int_{\pi/4}^{\pi/2} \int_{1/2}^{\sqrt{3}/2} \left(\sqrt{1 - x^2 - y^2} - \sqrt{\frac{1 - x^2 - y^2}{3}} \right) r dr d\theta$$

5.5.10 ↵👁 Aplicamos el cambio de variable

$$x = ar \cos t \quad y = br \sin t; \text{ el Jacobiano es } J = rab$$

La nueva región es $D = \{(u, v) \in \mathbb{R}^2 \mid u^2 + v^2 \leq 1\}$. Ahora use coordenadas polares.

5.5.11 ↪

Transformamos la región R es un círculo con el cambio de variable,

$$u = \frac{(x-1)}{3}, \quad v = \frac{y}{5}. \quad \text{El Jacobiano es } J = \frac{1}{15}.$$

La nueva región es $D = \{(u, v) \in \mathbb{R}^2 \mid u^2 + v^2 \leq 1\}$. Ahora use coordenadas polares.

5.5.12 ↪

5.5.13 ↪ $I = 3/4(e - e^{-1})$.

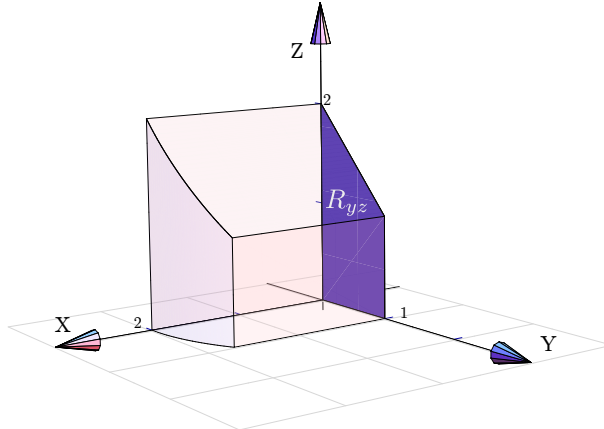
5.5.14 ↪

5.5.15 ↪

5.6.1 ↪ El cálculo es fácil proyectando sobre XY o YZ .

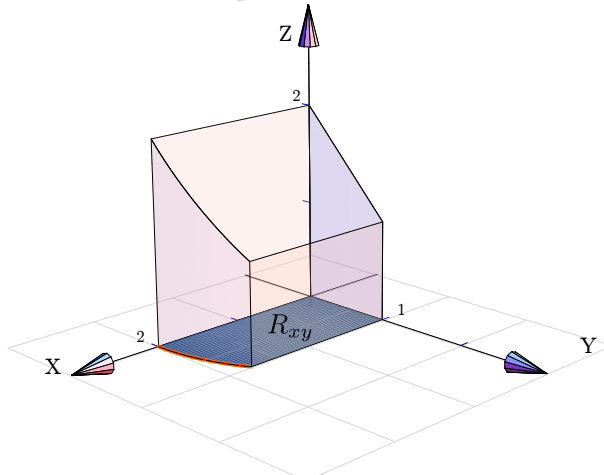
Proyección sobre YZ .

$$V_Q = \int_0^1 \int_0^{2-y} \left[\int_0^{\sqrt{4-y^2}} dx \right] dz dy$$



Proyección sobre XY .

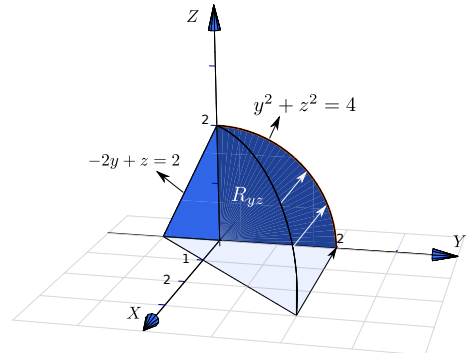
$$V_Q = \int_0^1 \int_0^{\sqrt{4-y^2}} \left[\int_0^{2-y} dz \right] dx dy$$



5.6.2**5.6.3**

Proyectamos sobre YZ .

$$V_Q = \int_{-1}^0 \int_0^{2+2y} \left[\int_0^{1-z/2+y} dx \right] dz dy + \int_0^2 \int_0^{\sqrt{4-y^2}} \left[\int_0^{1-z/2+y} dx \right] dz dy$$



5.6.4 a) $\frac{395}{8}$
b)

5.8.1 $V_C = \int_0^{2\pi} \int_0^a \int_0^{h-hr/a} r dz dr d\theta = \frac{\pi a^2 h}{3}$

5.8.2 $V_Q = \int_0^{2\pi} \int_0^{1/\sqrt{2}} \int_r^{\sqrt{1-r^2}} r dz dr d\theta = \frac{\pi}{3} (2 - \sqrt{2})$

5.8.3 $V_Q = \int_0^{2\pi} \int_0^1 \int_r^{\sqrt{4-r^2}} r dz dr d\theta = 2\pi \left(\frac{8}{3} - \sqrt{3} \right)$

5.8.4 $\frac{8\pi^2}{3} - 2\sqrt{3}\pi.$

5.8.5 La proyección sobre XY es la región limitada por la recta $x + y = 2$ en el primer cuadrante.

$$V_Q = \int_0^2 \int_0^{2-x} \int_{\sqrt{4-x^2}}^4 dz dy dx.$$

5.9.1

5.9.2 $V_Q = \int_0^{2\pi} \int_0^{\pi/4} \int_0^1 \rho^2 \sin \varphi d\rho d\varphi d\theta = \frac{\pi}{3} (2 - \sqrt{2})$

5.9.3 Como $z = \rho \cos \varphi = h$, entonces el sólido se puede describir en coordenadas polares como

$$0 \leq \rho \leq \frac{h}{\cos \varphi}, \quad 0 \leq \theta \leq 2\pi \quad y \quad 0 \leq \varphi \leq \arctan(a/h).$$

Esta integral es sencilla (aunque no parece). Recuerde que $\cos \varphi = \frac{h}{\sqrt{a^2 + h^2}}$, con esto la integral simplifica muy bien.

$$V_C = \int_0^{2\pi} \int_0^{\arctan(a/h)} \int_0^{h/\cos\varphi} \rho^2 \sin\varphi d\rho d\varphi d\theta = \frac{\pi a^2 h}{3}$$

5.9.4 ↵👁

5.9.5 ↵👁 Como $z = a - h$ entonces $\rho \cos \varphi = a - h$. Así Q se describe en coordenadas esféricas como

$$\frac{a-h}{\cos\varphi} \leq \rho \leq a, \quad 0 \leq \theta \leq 2\pi, \quad \text{y} \quad 0 \leq \varphi \leq \pi/2 - \arcsin\left(\frac{a-h}{a}\right).$$

$$\begin{aligned} \iiint_Q dV &= \int_0^{2\pi} \int_0^{\pi/2 - \arcsin(a-h/a)} \int_{\frac{a-h}{\cos\varphi}}^a \rho^2 \sin\varphi d\rho d\varphi d\theta \\ &= \int_0^{2\pi} \int_0^{\pi/2 - \arcsin(a-h/a)} \frac{\rho^3 \sin\varphi}{3} \Big|_{\frac{a-h}{\cos\varphi}}^a d\varphi d\theta \\ &= \int_0^{2\pi} \int_0^{\pi/2 - \arcsin(a-h/a)} \frac{1}{3} [a^3 \sin\varphi - (a-h)^3 \sec^3\varphi \sin\varphi] d\varphi d\theta \\ &= \int_0^{2\pi} \frac{1}{3} \left[-a^3 \cos\varphi - (a-h)^3 \frac{1}{2 \cos^2\varphi} \right] \Big|_0^{\pi/2 - \arcsin(a-h/a)} d\theta \quad \text{pues } \int \sec^3\varphi \sin\varphi d\varphi = \frac{\sec^2\varphi}{2} + K \text{ (sustitución).} \\ &= \int_0^{2\pi} \frac{1}{3} \left[\frac{3ah^2 - h^3}{2} \right] d\theta \quad \text{pues } \cos\left(\pi/2 - \arcsin\left(\frac{a-h}{a}\right)\right) = \frac{a-h}{a}. \\ &= \frac{\pi}{3} (3ah^2 - h^3) \end{aligned}$$

5.10.1 ↵👁**5.10.2 ↵👁**

5.10.3 ↵👁 $2a^2\pi$

Soluciones del Capítulo 6

6.5.1 ↵👁 Vamos a proyectar sobre el plano XY . La proyección es el círculo $x^2 + y^2 \leq 2$.

- Como $z = \sqrt{9 - x^2 - y^2}$ entonces podemos poner $\mathbf{N} = \frac{(-x/z, -y/z, 1)}{\|(-x/z, -y/z, 1)\|}$. Luego,

$$\begin{aligned}
 \iint_S \mathbf{F} \cdot \mathbf{N} dS &= \iint_S (y, -x, 8z) \cdot \frac{(-x/z, -y/z, 1)}{\|(-x/z, -y/z, 1)\|} \|(-x/z, -y/z, 1)\| dA \\
 &= \iint_D 8z dA \\
 &= \int_0^{2\pi} \int_0^2 8\sqrt{9-r^2} r dr d\theta \\
 &= \frac{16\pi(5^{3/2} - 9^{3/2})}{-3}
 \end{aligned}$$

6.5.2 ↪⊗ $\iint_S \mathbf{F} \cdot \mathbf{N} dS = \pi$

6.5.3 ↪⊗

6.5.4 ↪⊗

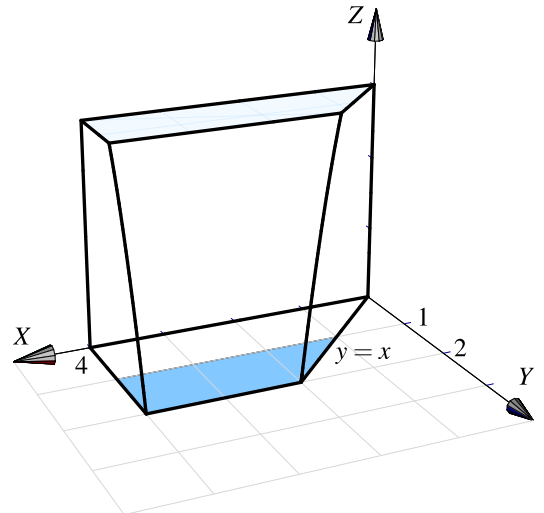
$$\begin{aligned}
 \iint_S \mathbf{F} \cdot \mathbf{N} dS &= \int_1^3 \int_0^3 (0, x+y, 1-(x-2)^3) \cdot (-3(x-2)^2, 0, 1) dy dx \\
 &= \int_1^3 \int_0^3 (1-(x-2)^3) dy dx \\
 &= \int_1^3 \int_0^3 (-x^3 + 6x^2 - 12x + 9) dy dx \\
 &= 3 \int_1^3 (-x^3 + 6x^2 - 12x + 9) dx = 3 \left(-\frac{x^4}{4} + 2x^3 - 6x^2 + 9x \right) \Big|_0^3 = 6
 \end{aligned}$$

6.5.5 ↪⊗ Proyectamos sobre XY

$$\begin{aligned}
 A_S &= \iint_S dS \\
 &= \int_{\pi/4}^{\pi/2} \int_1^{\sqrt{3}} \sqrt{1+4r^2} r dr d\theta \\
 &= \frac{1}{12} \int_{\pi/4}^{\pi/2} (1+4r^2)^{3/2} \Big|_1^{\sqrt{3}} d\theta = \frac{\pi}{48} (13\sqrt{13} - 5\sqrt{5})
 \end{aligned}$$

6.5.6 ↪⊗ Proyectamos sobre XY .

$$\begin{aligned}
 \iint_S \mathbf{F} \cdot \mathbf{N} dS &= \int_1^2 \int_y^4 (xy, x, z+1) \cdot (0, 2y, 1) dx dy \\
 &= \int_1^2 \int_y^4 2xy + z + 1 dx dy \\
 &= \int_1^2 \int_y^4 2xy + 4 - y^2 + 1 dx dy
 \end{aligned}$$



6.7.1 Se puede aplicar el teorema de divergencia. $\text{Div } \mathbf{F} = 1 - 1 + 2 = 2$.

$$\begin{aligned}
 \iint_S \mathbf{F} \cdot \mathbf{N} dS &= \int_0^2 \int_0^{4-x^2} \int_0^{3-x} 2dy dz dx \\
 &= \int_0^2 \int_0^{4-x^2} (6 - 2x) dz dx \\
 &= \int_0^2 (6 - 2x)(4 - x^2) dx \\
 &= \int_0^2 (2x^3 - 6x^2 - 8x + 24) dx \\
 &= \left(\frac{x^4}{2} - 2x^3 - 4x^2 + 24x \right) \Big|_0^2 = 8 - 16 - 16 + 48 = 24
 \end{aligned}$$

6.7.2

6.7.3 $\text{div } \mathbf{F} = y^2 + z^2$

- La proyección es el círculo $x^2 + y^2 \leq 1$

$$\begin{aligned}
 \iint_S \mathbf{F} \cdot \mathbf{N} dS &= \iiint_Q \operatorname{div} \mathbf{F} dV \\
 &= \int_0^{2\pi} \int_0^1 \int_{-1}^1 r^2 r dr d\theta \\
 &= \pi
 \end{aligned}$$

6.7.4 ↲👁**6.7.5** ↲👁**6.7.6** ↲👁**6.7.7** ↲👁

6.8.1 ↲👁 Vamos a proyectar sobre el plano xy . Como se ve en la figura, la proyección está entre los círculos $x^2 + y^2 = 1$ y $x^2 + y^2 = 2$ con $0 \leq \theta \leq \pi/4$. Entonces

$$\begin{aligned}
 A_S &= \iint_D \sqrt{1+z_x^2+z_y^2} dA \\
 &= \iint_D \sqrt{1+4x^2+4y^2} dy dx \\
 &= \int_0^{\pi/4} \int_1^2 \sqrt{4r^2+1} r dr d\theta, \quad (\text{sustitución: } u = 4r^2 + 1) \\
 &= \frac{(-5\sqrt{5} + 17\sqrt{17})\pi}{48}
 \end{aligned}$$

6.8.2 ↲👁 el círculo $x^2 + y^2 = 1$.

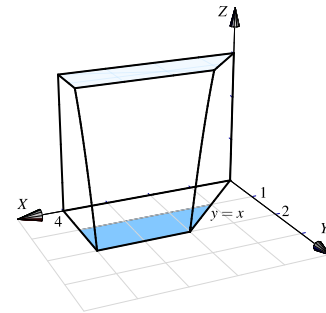
$$dS = \sqrt{z_x^2 + z_y^2 + 1} dA = \sqrt{\frac{x^2}{x^2+y^2} + \frac{y^2}{x^2+y^2} + 1} dA$$

$$A_S = \iint_S dS = \int_0^{2\pi} \int_0^1 \sqrt{2} r dr d\theta = \pi\sqrt{2}.$$

6.8.3 ↲👁

6.8.4 ↵👁 Proyectamos sobre XY .

$$\begin{aligned} \iint_S 2xy + z + 1 \, dS &= \int_1^2 \int_y^4 2xy + z + 1 \, dx \, dy \\ &= \int_1^2 \int_y^4 2xy + 4 - y^2 + 1 \, dx \, dy \end{aligned}$$



6.8.5 ↵👁

$$\begin{aligned} A &= \iint_S dS = \int_0^2 \int_0^x \sqrt{4x^2 + 1} \, dy \, dx \\ &= \int_0^2 x \sqrt{4x^2 + 1} \, dx \\ &= \int_1^{17} \sqrt{u} \frac{du}{8} = \frac{u^{\frac{3}{2}}}{12} \Big|_1^{17} = 5,7577 \end{aligned}$$

6.8.6 ↵👁 Proyectamos sobre XY

$$\begin{aligned} A_S &= \iint_S dS \\ &= \int_{\pi/4}^{\pi/2} \int_1^{\sqrt{3}} \sqrt{1+4r^2} \, r \, dr \, d\theta \\ &= \frac{1}{12} \int_{\pi/4}^{\pi/2} (1+4r^2)^{3/2} \Big|_1^{\sqrt{3}} \, d\theta = \frac{\pi}{48} (13\sqrt{13} - 5\sqrt{5}) \end{aligned}$$

6.8.7 ↵👁

6.8.8 ↵👁

6.8.9 ↵👁

6.8.10 ↵👁

Soluciones del Capítulo 7

7.1.1 ↵👁

1. Parametrización de la curva e.)

- $-C_1 : r_1(t) = (t, 2t, 0)$ con $t \in [0, 1]$.
Observe que $r_1(0) = (0, 0, 0)$ y $r_1(1) = (1, 2, 0)$.
- $C_2 : r_2(t) = (0, 0, t)$ con $t \in [0, 1]$.
Observe que $r_2(0) = (0, 0, 0)$ y $r_2(1) = (0, 0, 1)$.
- $-C_3 : r_3(t) = (\cos t, 2\cos t, \sin t)$ con $t \in [0, \pi/2]$.
Observe que $r_3(0) = (1, 2, 0)$ y $r_3(\pi/2) = (0, 0, 1)$.

2. Parametrización de la curva f.)

- $C_1 : r_1(t) = (2\cos t, 0, 2\sin t)$ con $t \in [0, \pi/2]$.
Observe que $r_1(0) = (2, 0, 0)$ y $r_1(\pi/2) = (0, 0, 2)$.
- $C_2 : r_2(t) = (2\cos t, 4 - 2\cos t, 2\sin t)$ con $t \in [0, \pi/2]$.
Observe que $r_2(0) = (2, 2, 0)$ y $r_2(\pi/2) = (0, 4, 2)$.
- $-C_3 : r_3(t) = (t, 4 - t, 0)$ con $t \in [0, 2]$.
Observe que $r_3(0) = (0, 4, 0)$ y $r_3(2) = (2, 2, 0)$.
- $-C_4 : r_4(t) = (\cos t, 4 - \cos t, 1 + \sin t)$ con $t \in [-\pi/2, \pi/2]$.
Observe que $r_4(-\pi/2) = (0, 4, 0)$ y $r_4(\pi/2) = (0, 4, 2)$.

7.2.1 ↩👁 $s = \int_0^{44} \sqrt{1+9/4t} dt = 296$

7.2.2 ↩👁 $s = 2 \int_1^4 \sqrt{t} dt = 14/3$

7.2.3 ↩👁 $s = 2 \int_{1/2}^4 \sqrt{1+9(2t-1)} dt = 1022/27$

7.2.4 ↩👁 Recuerde que $\int \sec x dx = \ln |\sec x + \tan x|$.

$$s = \int_0^{\pi/4} \sec t dt = \ln(\sqrt{2} + 1)$$

7.2.5 ↩👁

7.2.6 ↩👁

7.3.1 ↩👁 La circunferencia se parametriza como $r(t) = (4\cos t, 4\sin t)$ con $t \in [0, \pi]$.

$$\int_C xy^2 ds = 64 \int_0^\pi \cos t \sin^2 t dt = 0$$

7.3.2 ↩👁 $\int_C x ds = \int_{-1}^1 t \sqrt{1+4t^2} dt = 0$

7.3.3 ↩👁 $C : r(t) = (t, t, 0)$ con $t \in [0, 1]$.

$$\int_C \frac{xy+z}{2x-y} \, \textcolor{red}{ds} = \int_0^1 t\sqrt{2}dt$$

7.3.4 $r'(t) = (1, 1, 1)$ y entonces

$$\begin{aligned} \int_C \frac{x+y+z}{x^2+y^2+z^2} \, \textcolor{red}{ds} &= \int_1^2 \frac{t+t+t}{t^2+t^2+t^2} \sqrt{1^2+1^2+1^2} \, dt \\ &= \int_1^2 \frac{\sqrt{3}}{t} dt = \sqrt{3} \ln|t| \Big|_1^2 = \sqrt{3} \ln 2 \end{aligned}$$

7.3.5 $\int_C \frac{x^2+2y}{\sqrt{33-8z}} \, \textcolor{red}{ds} = \int_{-1}^1 8-t^2 dt$

7.3.6

7.5.1

7.5.2

7.5.3

7.5.4

7.5.5

7.5.6 Parametrizamos las curvas,

$$C_1 : r_1(t) = \cos t \hat{i} + \sin t \hat{j} + 0 \hat{k} \text{ con } t \in [0, \pi/2].$$

$$C_2 : r_2(t) = A + t(B-A) = 2t \hat{i} + (t+1) \hat{j} + 3t \hat{k}, \quad t \in [0, 1].$$

$$\begin{aligned} \int_C xdx + zdy + dz &= \int_{C_1} xdx + zdy + dz + \int_{C_2} xdx + zdy + dz \\ &= \int_0^{\pi/2} -\cos t \sin t dt + \int_0^1 4t + 3t + 3 dt \\ &= -\frac{1}{2} + \frac{13}{2} = 6. \end{aligned}$$

7.5.7

7.6.1

7.6.2 Una función potencial es $\phi(x, y, z) = xyz - y^2x + x^2z$

7.6.3

(a) Como $\text{rot } \mathbf{F} = (0, 0, 0)$, entonces \mathbf{F} es conservativo sobre cualquier región simplemente conexa donde $z \neq 0$.

$$\phi = \int 2x + 5 \, dx = x^2 + 5x + K_1(y, z)$$

$$(b) \quad \nabla \phi = F \implies \phi = \int 3y^2 \, dy = y^3 + K_2(x, z) \implies \phi(x, y, z) = x^2 + 5x + y^3 + \ln z.$$

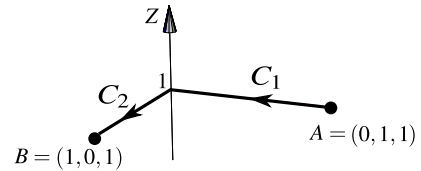
$$\phi = \int \frac{1}{z} \, dz = \ln|z| + K_3(x, y)$$

Luego, $\int_C \mathbf{F} \cdot d\mathbf{r} = \phi(B) - \phi(A) = 6 - 1 = 5$

(c) Como \mathbf{F} es conservativo en regiones simplemente conexas, donde z no se anula, podemos tomar el camino $C' = C_1 + C_2$ para integrar.

$$-C_1 : r_1(t) = (0, t, 1) \text{ con } t \in [0, 1]. \quad r'_1(t) = (0, 1, 0)$$

$$C_2 : r_2(t) = (t, 0, 1) \text{ con } t \in [0, 1]. \quad r'_2(t) = (1, 0, 0)$$



Entonces,

$$\int_{C'} \mathbf{F} \cdot d\mathbf{r} = - \int_0^1 (5, 3t^2, 1) \cdot (0, 1, 0) dt + \int_0^1 (2t + 5, 0, 1) \cdot (1, 0, 0) dt = -1 + 6 = 5$$

7.6.4 ↪ ↘

1.

$$\begin{aligned} \text{Rot } \mathbf{F} &= \left| \begin{array}{ccc} \hat{\mathbf{i}} & \hat{\mathbf{j}} & \hat{\mathbf{k}} \\ \frac{\partial}{\partial x} & \frac{\partial}{\partial y} & \frac{\partial}{\partial z} \\ yz + y\cos(xy) & xz + x\cos(xy) & xy \end{array} \right| = (x-x)\hat{\mathbf{i}} + (-y+y)\hat{\mathbf{j}} \\ &\quad + (z+\cos(xy)+xy\cos(xy)-(z+\cos(xy)+xy\cos(xy)))\hat{\mathbf{k}} \\ &= (0, 0, 0) \end{aligned}$$

2. Sea $G(x, y, z)$ una función potencial, así

- $G_x(x, y, z) = yz + y\cos(xy) \implies G(x, y, z) = xyz + \sin(xy) + C_1(y, z)$
- $\frac{\partial}{\partial y}(xyz + \sin(xy) + C_1(y, z)) = xz + x\cos(xy) \implies C_{1y}(y, z) = 0 \implies C_1(y, z) = C_2(z)$
- $\frac{\partial}{\partial z}(xyz + \sin(xy) + C_2(z)) = xy \implies C_2'(z) = 0 \implies C_2(z) = K$

Así, $G(x, y, z) = xyz + \sin(xy) + K$, por lo que

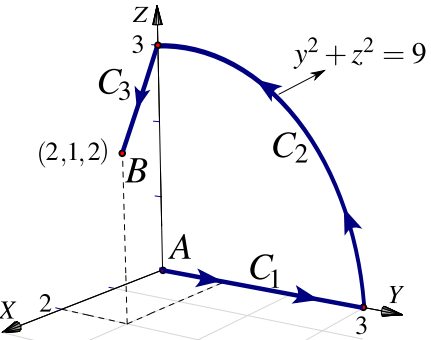
$$\int_C \mathbf{F} \cdot d\mathbf{r} = G(0, 0, 0) - G(2, 1, 2) = K - (4 + \sin(2) + K) = -4 - \sin(2).$$

3. Se seguirá la siguiente ruta

$$-C_1 : r_1(t) = (2, 1, t), t \in [0, 2]$$

$$-C_2 : r_2(t) = (t, 1, 0), t \in [0, 2]$$

$$-C_3 : r_3(t) = (0, t, 0), t \in [0, 1]$$



Así

$$\begin{aligned} \int_C \mathbf{F} \cdot d\mathbf{r} &= - \int_0^2 (t + \cos(2), 2t + 2\cos(2), 2) \cdot (0, 0, t) dt - \int_0^2 (\cos t, t \cos t, t) \cdot (1, 0, 0) dt - \int_0^1 (t, 0, 0) \cdot (0, 1, 0) dt \\ &= - \int_0^2 2t dt - \int_0^2 \cos t dt - 0 \\ &= -t^2 \Big|_0^2 - \sin t \Big|_0^2 = -4 - \sin(2) \end{aligned}$$

7.6.5 ↩👁 $\int_C \mathbf{F} \cdot d\mathbf{r} = 0$

7.6.6 ↩👁

7.6.7 ↩👁 Calcule usando el camino que va de $(2, 5, 0)$ a $(-2, 5, 0)$

7.6.8 ↩👁

• $\mathbf{F} = (P, Q, R)$ es conservativo pues $P_y = z^2 + \operatorname{sen} x \cos(\pi - y) = Q_x$, $R_y = 2xz = Q_z$ y $R_x = 2yz = P_z$.

• una función potencial es $\phi(x, y, z) = xyz^2 + \cos(x) \operatorname{sen}(\pi - y) + K$. Por lo tanto

$$\int_C \mathbf{F} \cdot d\mathbf{r} = \phi(0, \pi, 0) - \phi(\pi, 0, 0) = 0$$

7.6.9 ↩👁

7.7.1 ↩👁

a.) $-\frac{64}{3}$

b.) $\int_{C_1} \mathbf{F} \cdot d\mathbf{r} + \int_{C_2} \mathbf{F} \cdot d\mathbf{r} + \int_{C_3} \mathbf{F} \cdot d\mathbf{r} + \int_{C_4} \mathbf{F} \cdot d\mathbf{r} = 4 - 36 + 28/3 + 4/3 = -\frac{64}{3}$

7.7.2 ↩👁

Como se cumplen las condiciones para aplicar el teorema de Green en el plano, excepto la orientación de la curva, entonces

$$\int_C \mathbf{F} \cdot d\mathbf{r} = - \int_{-2}^2 \int_{3y^2/4}^3 1 - 0 dx dy = -8.$$

7.7.3 ↪ Por el teorema de Green:

$$\begin{aligned}\int_{nC} \mathbf{F} \cdot d\mathbf{r} &= \int_0^1 \int_0^{x^2+1} \left(\frac{\partial Q}{\partial x} - \frac{\partial P}{\partial y} \right) dy dx \\ &= \int_0^1 \int_0^{x^2+1} (2x-1) dy dx \\ &= \int_0^1 (2x-1)(x^2+1) dx = \frac{1}{6}.\end{aligned}$$

7.7.4 ↪**7.7.5 ↪****7.9.1 ↪****7.9.2 ↪****7.9.3 ↪**

$$1. \quad \int_{\mathbf{C}} \mathbf{F} \cdot d\mathbf{r} = \int_{\mathbf{C}_1} \mathbf{F} \cdot d\mathbf{r} + \int_{\mathbf{C}_2} \mathbf{F} \cdot d\mathbf{r} + \int_{\mathbf{C}_3} \mathbf{F} \cdot d\mathbf{r} + \int_{\mathbf{C}_4} \mathbf{F} \cdot d\mathbf{r}$$

$$a) \quad -C_1 : r_1(t) = (t, t, 0) \quad t \in [0, 1] \implies \int_{\mathbf{C}_1} \mathbf{F} \cdot d\mathbf{r} = - \int_0^1 -t^2 dt = \frac{1}{3}$$

$$b) \quad C_2 : r_2(t) = (0, 0, t) \quad t \in [0, 1] \implies \int_{\mathbf{C}_2} \mathbf{F} \cdot d\mathbf{r} = \int_0^1 0 dt = 0$$

$$c) \quad C_3 : r_3(t) = (0, t, 1-t) \quad t \in [0, 1] \implies \int_{\mathbf{C}_3} \mathbf{F} \cdot d\mathbf{r} = \int_0^1 1-t dt = \frac{1}{2}$$

$$d) \quad C_4 : r_4(t) = (t, 1, 0) \quad t \in [0, 1] \implies \int_{\mathbf{C}_4} \mathbf{F} \cdot d\mathbf{r} = \int_0^1 -1^2 dt = -1$$

$$\int_{\mathbf{C}} \mathbf{F} \cdot d\mathbf{r} = 1/3 + 1/2 - 1$$

$$2. \quad \iint_S \mathbf{Rot} \mathbf{F} \cdot \mathbf{N} dS = \iint_{S_1} \mathbf{Rot} \mathbf{F} \cdot \mathbf{N} dS + \iint_{S_2} \mathbf{Rot} \mathbf{F} \cdot \mathbf{N} dS.$$

$$\mathbf{Rot} \mathbf{F} = (-1, -1, 2y)$$

Para S_1 un vector normal es $N_1 = (1, -1, 0)$ (acorde con la orientación de \mathbf{C}).

$$\iint_{S_1} \mathbf{Rot} \mathbf{F} \cdot \mathbf{N}_1 d\mathbf{S} = \iint_{S_1} 0 d\mathbf{S} = 0$$

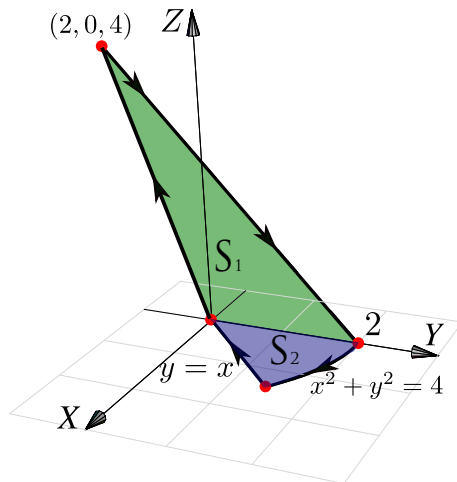
Para S_2 un vector normal es $N_2 = (0, -1, -1)$ (acorde con la orientación de \mathbf{C}).

$$\iint_{S_2} \mathbf{Rot} \mathbf{F} \cdot \mathbf{N}_2 d\mathbf{S} = \int_0^1 \int_x^1 1 - 2y dy dx = -1/2 + 1/3.$$

Finalmente, $\iint_S \mathbf{Rot} \mathbf{F} \cdot \mathbf{N} d\mathbf{S} = 0 + -1/2 + 1/3$.

7.9.4 ↵👁

7.9.5 ↵👁 Aplique el teorema de Stokes con las superficies de la figura que sigue.



7.9.6 ↵👁

7.9.7 ↵👁

7.9.8 ↵👁

$$\mathbf{Rot}(F) = \begin{vmatrix} \hat{\mathbf{i}} & \hat{\mathbf{j}} & \hat{\mathbf{k}} \\ \frac{\partial}{\partial x} & \frac{\partial}{\partial y} & \frac{\partial}{\partial z} \\ x^2 - y & yz - x & x + 2y \end{vmatrix} = (2 - y, -1, 0)$$

Un vector normal para $y = 2x$ es $N_1 = (2, -1, 0)$, pero la curva gira a favor de reloj respecto a N_1 , por lo que ha que ajustar el signo.

Así

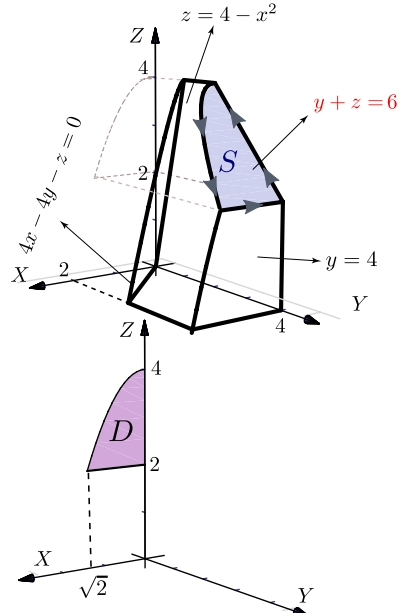
$$\begin{aligned}
 \int_C F dr &= - \iint_S \mathbf{Rot}(F) \cdot \mathbf{N} dA \\
 &= - \iint_R (2-y, -1, 0) \cdot (2, -1, 0) dA \\
 &= - \iint_R (-2y - 3) dA \\
 &= - \int_0^{\frac{\pi}{2}} \int_0^1 (-2(2r\cos\theta) - 3) r dr d\theta \\
 &= - \int_0^{\frac{\pi}{2}} \left(-4 \frac{r^3}{3} \cos\theta - 3 \frac{r^2}{2} \right) \Big|_{r=0}^{r=1} d\theta \\
 &= - \int_0^{\frac{\pi}{2}} \left(-\frac{4}{3} \cos\theta - \frac{3}{2} \right) d\theta \\
 &= - \left(\frac{-4}{3} \sin\theta - \frac{3\theta}{2} \right) \Big|_0^{\frac{\pi}{2}} = -\frac{-4}{3} + \frac{3\pi}{4}
 \end{aligned}$$

7.9.9 ↵👁

Se cumplen las condiciones para aplicar el teorema de Stokes (Teo de Green en el espacio). Podemos tomar como la superficie S , la porción del plano $z = 2 - x$ limitada por el cilindro $x^2 + y^2 = 1$. Entonces un vector normal que nos sirve es $\mathbf{N} = (1, 0, 1)$.

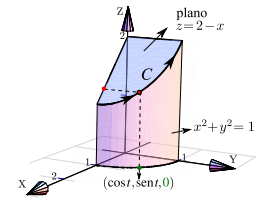
🕒 9.0.1 Sea Q el sólido limitado por $y + z = 6$, $4x - 4y - z = 0$, $z = 4 - x^2$, $z = 0$ y $x = 0$, tal y como se muestra en la figura.

- Calcular $\int_C \mathbf{F} \cdot d\mathbf{r}$ si $\mathbf{F}(x, y, z) = (x, x, z)$ y C es la frontera de la superficie S_1 en la figura.
- Calcular $\iint_{\partial Q} \mathbf{F} \cdot \mathbf{N} dS$ donde $\mathbf{F}(x, y, z) = (x, y, z)$, ∂Q es la frontera del sólido Q y \mathbf{N} es el vector vector normal unitario exterior.



Como $\mathbf{F}(x, y, z) = (x+z, 2y, y-z)$, entonces $\text{Rot}\mathbf{F} = (1, 1, 0)$.

$$\begin{aligned}\int_C \mathbf{F} \cdot d\mathbf{r} &= \iint_S \text{Rot}\mathbf{F} \cdot \mathbf{N} dS \\ &= \int_0^{\pi/2} \int_0^1 (1, 1, 0) \cdot (1, 0, 1) r dr d\theta = \pi/4\end{aligned}$$



7.9.10 ↪

C es una curva cerrada simple, suave a trozos. Podemos usar el Teorema de Stokes (T. Green en el espacio). Tenemos dos opciones, proyectar sobre el plano XY o sobre el plano YZ .

Proyectando sobre el plano XY. En este caso, $S: z = 4 - x^2$ y $N = (-z_x, -z_y, 1) = (2x, 0, 1)$.

$$\begin{aligned}\int_C \mathbf{F} \cdot d\mathbf{r} &= \iint_S \text{Rot}\mathbf{F} \cdot \mathbf{N} dS \\ &= - \iint_{R_{xy}} (-y, x-1, 0) \cdot (2x, 0, 1) dA \\ &= - \int_0^2 \int_0^{x^2+1} -2xy dy dx = \frac{62}{3} \approx 20.6667\end{aligned}$$

Proyectando sobre el plano YZ. En este caso, $S: x = \sqrt{4-z}$ y $N = (1, -x_y, -x_z) = \left(1, 0, \frac{1}{2\sqrt{4-z}}\right)$.

$$\begin{aligned}\int_C \mathbf{F} \cdot d\mathbf{r} &= \iint_S \text{Rot}\mathbf{F} \cdot \mathbf{N} dS \\ &= - \iint_{R_{xy}} (-y, x-1, 0) \cdot \left(1, 0, \frac{1}{2\sqrt{4-z}}\right) dA \quad (*) \\ &= - \int_0^4 \int_0^{5-z} -y dy dz = \frac{62}{3} \approx 20.6667\end{aligned}$$

Nota. La integral $(*)$ no es impropia pues al hacer el producto punto, el integrando es una función acotada. Las discontinuidades en un integrando acotado no afectan la integral sin constituir un conjunto de medida cero.